



I. Artobolevski

Les Mécanismes Dans la Technique Moderne

Tome 3

Mécanismes à engrenage

Éditions MIR • Moscou

И. И. АРТОБОЛЕВСКИЙ

**МЕХАНИЗМЫ
В СОВРЕМЕННОЙ
ТЕХНИКЕ**

Том 3

ЗУБЧАТЫЕ МЕХАНИЗМЫ

**Издательство «Наука»
Москва**

Les mécanismes dans la technique moderne

par I. ARTOBOLEVSKI

Tome 3

Mécanismes à engrenage

**A l'usage
des ingénieurs, constructeurs
et inventeurs**

Editions MIR • Moscou

**Traduit du russe
par G. GORELKINE**

На французском языке

© Traduction française Editions Mir 1976

Table des matières

| | |
|--|------------|
| Préface | 9 |
| Tableau 1. Index des mécanismes classés suivant leurs critères de construction et de structure | 10 |
| Tableau 2. Index des mécanismes classés suivant leur mode de fonctionnement | 18 |
| I. Mécanismes dentés simples | 25 |
| 1. Mécanismes à trois éléments d'usage général (1-56) | 27 |
| 2. Mécanismes à quatre éléments d'usage général (57-64) | 84 |
| 3. Mécanismes avec arrêts (65-91) | 92 |
| 4. Mécanismes servant à tracer les courbes (92-96) | 119 |
| 5. Mécanismes de triage, d'avance et d'alimentation (97-103) | 124 |
| 6. Mécanismes avec éléments de longueur réglable (104-106) | 130 |
| 7. Mécanismes des accouplements (107-108) | 133 |
| 8. Mécanismes des fixateurs (109) | 135 |
| 9. Mécanismes des griffes, des serres et des entretoises (110) | 136 |
| 10. Mécanismes des appareils de levage (111) | 137 |
| 11. Mécanismes d'autres dispositifs spéciaux (112-114) | 138 |
| II. Mécanismes à leviers et engrenage | 141 |
| 1. Mécanismes à quatre éléments d'usage général (115-123) | 143 |
| | 5 |

| | |
|--|------------|
| 2. Mécanismes à cinq éléments d'usage général (124-145) | 152 |
| 3. Mécanismes à éléments multiples d'usage général (146-177) | 174 |
| 4. Mécanismes servant à tracer les courbes (178-197) | 206 |
| 5. Mécanismes pour opérations mathématiques (198-218) | 226 |
| 6. Mécanismes avec arrêts (219-230) | 248 |
| 7. Mécanismes à griffe des caméras (231-234) | 260 |
| 8. Mécanismes de guidage et d'inversion (235-240) | 264 |
| 9. Mécanismes des dispositifs de mesure et d'essai (241-244) | 270 |
| 10. Mécanismes des machines à piston (245-246) | 274 |
| 11. Mécanismes des machines et appareils produisant des vibrations (247-248) | 276 |
| 12. Mécanismes des griffes, des serres et des entretoises (249-250) | 278 |
| 13. Mécanismes des accouplements (251-252) | 280 |
| 14. Mécanismes de commutation, d'enclenchement et de déclenchement (253) | 282 |
| 15. Mécanismes avec éléments de longueur réglable (254) | 283 |
| 16. Mécanismes d'autres dispositifs spéciaux (255-288) | 284 |
| III. Mécanismes à fuseaux et engrenage | 319 |
| 1. Mécanismes à trois éléments d'usage général (289-303) | 321 |
| 2. Mécanismes à éléments multiples d'usage général (304-307) | 336 |
| 3. Mécanismes avec arrêts (308-334) | 340 |
| 4. Mécanismes des croix de Malte (335-364) | 365 |
| 5. Mécanismes de triage, d'avance et d'alimentation (365-366) | 402 |
| 6. Mécanismes d'autres dispositifs spéciaux (367-371) | 404 |
| IV. Mécanismes à rochet et engrenage | 409 |
| 1. Mécanismes à trois éléments d'usage général (372-409) | 411 |
| 2. Mécanismes à quatre éléments d'usage général (410-421) | 441 |

| | |
|---|------------|
| 3. Mécanismes à éléments multiples d'usage général (422-452) | 450 |
| 4. Mécanismes avec arrêts (453-457) | 479 |
| 5. Mécanismes des régulateurs (458-464) | 484 |
| 6. Mécanismes des dispositifs de mesure et d'essai (465) | 491 |
| 7. Mécanismes d'arrêt, de blocage et de verrouillage (466-475) | 492 |
| 8. Mécanismes des accouplements (476-477) | 499 |
| 9. Mécanismes des appareils de levage (478-487) | 501 |
| 10. Mécanismes de triage, d'avance et d'alimentation (488-492) | 510 |
| 11. Mécanismes de commutation, d'enclenchement et de déclenchement (493) | 515 |
| 12. Mécanismes d'autres dispositifs spéciaux (494-502) | 516 |
| V. Mécanismes à came et engrenage | 525 |
| 1. Mécanismes à éléments multiples d'usage général (503-506) | 527 |
| 2. Mécanismes avec arrêts (507-510) | 531 |
| 3. Mécanismes de triage, d'avance et d'alimentation (511-513) | 535 |
| 4. Mécanismes des dispositifs de mesure et d'essai (514-515) | 538 |
| 5. Mécanismes servant à tracer les courbes (516) | 542 |
| 6. Mécanismes d'autres dispositifs spéciaux (517-518) | 543 |
| VI. Mécanismes à vis sans fin | 545 |
| 1. Mécanismes à trois éléments d'usage général (519-524) | 547 |
| 2. Mécanismes à quatre éléments d'usage général (525-527) | 553 |
| 3. Mécanismes à éléments multiples d'usage général (528-535) | 556 |
| 4. Mécanismes avec arrêts (536-538) | 564 |
| 5. Mécanismes de commutation, d'enclenchement et de déclenchement (539-540) | 567 |
| 6. Mécanismes des boîtes de vitesses et des réducteurs (541) | 569 |

| | |
|--|------------|
| 7. Mécanismes pour opérations mathématiques (542-544) | 570 |
| 8. Mécanismes des dispositifs de mesure et d'essai (545-547) | 573 |
| 9. Mécanismes d'autres dispositifs spéciaux (548-554) | 576 |
| VII. Mécanismes dentés composés | 583 |
| 1. Mécanismes des boîtes de vitesses et des réducteurs (555-581) | 585 |
| 2. Mécanismes des boîtes de vitesses planétaires et des réducteurs (582-611) | 614 |
| 3. Mécanismes des boîtes de vitesses différentielles et des réducteurs (612-637) | 644 |
| 4. Mécanismes de transmission harmoniques (638-644) | 670 |
| 5. Mécanismes à éléments multiples d'usage général (645-656) | 677 |
| 6. Mécanismes pour opérations mathématiques (657-662) | 689 |
| 7. Mécanismes des appareils de levage (663-670) | 696 |
| 8. Mécanismes des machines et appareils produisant des vibrations (671-673) | 704 |
| 9. Mécanismes des accouplements (674-675) | 707 |
| 10. Mécanismes des dispositifs de mesure et d'essai (676-679) | 709 |
| 11. Mécanismes des freins (680) | 714 |
| 12. Mécanismes d'autres dispositifs spéciaux (681-689) | 715 |
| Index alphabétique | 724 |

Préface

Le présent volume de l'ouvrage de référence « Les mécanismes dans la technique moderne » est consacré aux mécanismes à engrenage. Nous donnons une description plus détaillée de la structure des mécanismes les plus usités, en nous étendant particulièrement sur la cinématique, les dimensions de leurs éléments, etc. La représentation schématique des mécanismes et leur description restent les mêmes que celles adoptées dans les deux premiers volumes consacrés aux mécanismes à leviers.

La systématisation des mécanismes est réalisée en s'appuyant sur une classification établie à partir de leurs critères de construction et de structure et en indiquant leur destination fonctionnelle.

Pour rendre l'usage des volumes III et IV plus commode, nous donnons deux tableaux à l'aide desquels on peut facilement trouver les mécanismes de structure et de fonctionnement nécessaires.

D'autre part, le lecteur trouve à la fin de chaque volume l'index alphabétique des mécanismes constitué suivant le principe de leur destination fonctionnelle.

L'indexation des sous-groupes est conservée telle qu'elle a été donnée dans les deux premiers volumes, compte tenu, il va sans dire, des mécanismes nouveaux examinés dans ce volume.

Pour toutes les questions relatives à l'usage de cet ouvrage de référence et aux particularités concernant la représentation et la description des mécanismes, l'auteur renvoie les lecteurs à la préface et à l'introduction publiées dans le premier volume de cet ouvrage de référence.

L'auteur exprime sa profonde gratitude aux collaborateurs de la chaire de Théorie des mécanismes et des machines à l'Institut polytechnique par correspondance et tout particulièrement au prof. N. Lévitiski, docteur ès sciences techniques, pour l'examen soigneux du manuscrit et pour ses remarques critiques précieuses, au rédacteur scientifique, le prof. V. Zinoviev, docteur ès sciences techniques, ainsi qu'au rédacteur N. Rosalskaïa qui a préparé ce volume pour l'édition.

I. Artobolevski

Tableau 1

Index des mécanismes classés suivant leurs critères de construction et de structure

| n° du groupe | I | | | |
|------------------------|---------------------------|---|-----------------------|--------------------|
| Dénomination du groupe | Mécanismes dentés simples | | | |
| Indice du groupe | DS | | | |
| | n° d'ordre | Sous-groupes | Indice du sous-groupe | n°s des mécanismes |
| | 1 | Mécanismes à trois éléments d'usage général | Tr | 1-56 |
| | 2 | Mécanismes à quatre éléments d'usage général | Q | 57-64 |
| | 3 | Mécanismes avec arrêts | Ar | 65-91 |
| | 4 | Mécanismes servant à tracer les courbes | TC | 92-96 |
| | 5 | Mécanismes de triage, d'avance et d'alimentation | TA | 97-103 |
| | 6 | Mécanismes avec éléments de longueur réglable | LRg | 104-106 |
| | 7 | Mécanismes des accouplements | Ac | 107-108 |
| | 8 | Mécanismes des fixateurs | Fx | 109 |
| | 9 | Mécanismes des griffes, des serres et des entretoises | GS | 110 |
| | 10 | Mécanismes des appareils de levage | AL | 111 |
| | 11 | Mécanismes d'autres dispositifs spéciaux | DSp | 112-114 |

Tableau 1 (suite)

| n° du groupe | II | | | |
|------------------------|-----------------------------------|--|-----------------------|--------------------|
| Dénomination du groupe | Mécanismes à leviers et engrenage | | | |
| Indice du groupe | LEn | | | |
| | n° d'ordre | Sous-groupes | Indice du sous-groupe | n°s des mécanismes |
| | 1 | Mécanismes à quatre éléments d'usage général | Q | 115-123 |
| | 2 | Mécanismes à cinq éléments d'usage général | C | 124-145 |
| | 3 | Mécanismes à éléments multiples | M | 146-177 |
| | 4 | Mécanismes servant à tracer les courbes | TC | 178-197 |
| | 5 | Mécanismes pour opérations mathématiques | OM | 198-218 |
| | 6 | Mécanismes avec arrêts | Ar | 219-230 |
| | 7 | Mécanismes à griffe des caméras | GC | 231-234 |
| | 8 | Mécanismes de guidage et d'inversion | GI | 235-240 |
| | 9 | Mécanismes des dispositifs de mesure et d'essai | ME | 241-244 |
| | 10 | Mécanismes des machines à piston | MP | 245-246 |
| | 11 | Mécanismes des machines et appareils produisant des vibrations | MV | 247-248 |
| | 12 | Mécanismes des griffes, des serres et des entretoises | GS | 249-250 |
| | 13 | Mécanismes des accouplements | Ac | 251-252 |

Tableau 1 (suite)

| n° du groupe | II | | | |
|------------------------|-----------------------------------|---|-----------------------|--------------------|
| Dénomination du groupe | Mécanismes à leviers et engrenage | | | |
| Indice du groupe | LEn | | | |
| | n° d'ordre | Sous-groupes | Indice du sous-groupe | n°s des mécanismes |
| | 14 | Mécanismes de commutation, d'encenchement et de déclenchement | CE | 253 |
| | 15 | Mécanismes avec éléments de longueur réglable | LRg | 254 |
| | 16 | Mécanismes d'autres dispositifs spéciaux | DSp | 255-288 |
| n° du groupe | III | | | |
| Dénomination du groupe | Mécanismes à fuseau et engrenage | | | |
| Indice du groupe | FE | | | |
| | n° d'ordre | Sous-groupes | Indice du sous-groupe | n°s des mécanismes |
| | 1 | Mécanismes à trois éléments d'usage général | Tr | 289-303 |
| | 2 | Mécanismes à éléments multiples d'usage général | M | 304-307 |
| | 3 | Mécanismes avec arrêts | Ar | 308-334 |

Tableau 1 (suite)

| n ^o du groupe | III | | | |
|--------------------------|----------------------------------|--|-----------------------|--------------------------------|
| Dénomination du groupe | Mécanismes à fuseau et engrenage | | | |
| Indice du groupe | FE | | | |
| | n ^o d'ordre | Sous-groupes | Indice du sous-groupe | n ^{os} des mécanismes |
| | 4 | Mécanismes des croix de Malte | CM | 335-364 |
| | 5 | Mécanismes de triage, d'avance et d'alimentation | | |
| | 6 | Mécanismes d'autres dispositifs spéciaux | TA | 365-366 |
| | | | DSp | 367-371 |
| n ^o du groupe | IV | | | |
| Dénomination du groupe | Mécanismes à rochet et engrenage | | | |
| Indice du groupe | RE | | | |
| | n ^o d'ordre | Sous-groupes | Indice du sous-groupe | n ^{os} des mécanismes |
| | 1 | Mécanismes à trois éléments d'usage général | Tr | 372-409 |
| | 2 | Mécanismes à quatre éléments d'usage général | | |
| | 3 | Mécanismes à éléments multiples d'usage général | Q | 410-421 |
| | | | M | 422-452 |

Tableau 1 (suite)

| n ^o du groupe | IV | | | |
|--------------------------|----------------------------------|--|-----------------------|--------------------------------|
| Dénomination du groupe | Mécanismes à rochet et engrenage | | | |
| Indice du groupe | RE | | | |
| | n ^o d'ordre | Sous-groupes | Indice du sous-groupe | n ^{os} des mécanismes |
| | 4 | Mécanismes avec arrêts | Ar | 453-457 |
| | 5 | Mécanismes des régulateurs | Rg | 458-464 |
| | 6 | Mécanismes des dispositifs de mesure et d'essai | ME | 465 |
| | 7 | Mécanismes d'arrêt, de blocage et de verrouillage | AV | 466-475 |
| | 8 | Mécanismes des accouplements | Ac | 476-477 |
| | 9 | Mécanismes des appareils de levage | AL | 478-487 |
| | 10 | Mécanismes de triage, d'avance et d'alimentation | TA | 488-492 |
| | 11 | Mécanismes de commutation, d'enclenchement et de déclenchement | CE | 493 |
| | 12 | Mécanismes d'autres dispositifs spéciaux | DSp | 494-502 |

Tableau 1 (suite)

| n° du groupe | V | | | |
|------------------------|--------------------------------|--|-----------------------|--------------------|
| Dénomination du groupe | Mécanismes à came et engrenage | | | |
| Indice du groupe | CE | | | |
| | n° d'ordre | Sous-groupes | Indice du sous-groupe | n°s des mécanismes |
| | 1 | Mécanismes à éléments multiples d'usage général | M | 503-506 |
| | 2 | Mécanismes avec arrêts | Ar | 507-510 |
| | 3 | Mécanismes de triage, d'avance et d'alimentation | TA | 511-513 |
| | 4 | Mécanismes des dispositifs de mesure et d'essai | ME | 514-515 |
| | 5 | Mécanismes servant à tracer les courbes | TC | 516 |
| | 6 | Mécanismes d'autres dispositifs spéciaux | DSp | 517-518 |
| n° du groupe | VI | | | |
| Dénomination du groupe | Mécanismes à vis sans fin | | | |
| Indice du groupe | VF | | | |
| | n° d'ordre | Sous-groupes | Indice du sous-groupe | n°s des mécanismes |
| | 1 | Mécanismes à trois éléments d'usage général | Tr | 519-524 |

Tableau 1 (suite)

| n° du groupe | VI | | | |
|------------------------|---------------------------|--|-----------------------|--------------------|
| Dénomination du groupe | Mécanismes à vis sans fin | | | |
| Indice du groupe | VF | | | |
| | n° d'ordre | Sous-groupes | Indice du sous-groupe | n°s des mécanismes |
| | 2 | Mécanismes à quatre éléments d'usage général | Q | 525-527 |
| | 3 | Mécanismes à éléments multiples d'usage général | M | 528-535 |
| | 4 | Mécanismes avec arrêts | Ar | 536-538 |
| | 5 | Mécanismes de commutation, d'enclenchement et de déclenchement | CE | 539-540 |
| | 6 | Mécanismes des boîtes de vitesses et des réducteurs | BV | 541 |
| | 7 | Mécanismes pour opérations mathématiques | OM | 542-544 |
| | 8 | Mécanismes des dispositifs de mesure et d'essai | ME | 545-547 |
| | 9 | Mécanismes d'autres dispositifs spéciaux | DSp | 548-554 |

Tableau 1 (suite)

| n° du groupe | VII | | | |
|------------------------|----------------------------|---|-----------------------|--------------------|
| Dénomination du groupe | Mécanismes dentés composés | | | |
| Indice du groupe | DC | | | |
| | n° d'ordre | Sous-groupes | Indice du sous-groupe | n°s des mécanismes |
| | 1 | Mécanismes des boîtes de vitesses et des réducteurs | BV | 555-581 |
| | 2 | Mécanismes des boîtes de vitesses planétaires et des réducteurs | BP | 582-611 |
| | 3 | Mécanismes des boîtes de vitesses différentielles et des réducteurs | BD | 612-637 |
| | 4 | Mécanismes de transmission harmoniques | MTH | 638-644 |
| | 5 | Mécanismes à éléments multiples d'usage général | M | 645-656 |
| | 6 | Mécanismes pour opérations mathématiques | OM | 657-662 |
| | 7 | Mécanismes des appareils de levage | AL | 663-670 |
| | 8 | Mécanismes des machines et appareils produisant des vibrations | MV | 671-673 |
| | 9 | Mécanismes des accouplements | Ac | 674-675 |
| | 10 | Mécanismes des dispositifs de mesure et d'essai | ME | 676-679 |
| | 11 | Mécanismes des freins | Fr | 680 |
| | 12 | Mécanismes d'autres dispositifs spéciaux | DSp | 681-689 |

Index des mécanismes classés suivant

| n° d'ordre | Indice du sous-groupe | Sous-groupes |
|------------|-----------------------|---|
| 1 | MV | Mécanismes des machines et appareils produisant des vibrations |
| 2 | MTH | Mécanismes de transmission harmoniques |
| 3 | GC | Mécanismes à griffe des caméras |
| 4 | AL | Mécanismes des appareils de levage |
| 5 | BD | Mécanismes des boîtes de vitesses différentielles et des réducteurs |
| 6 | TC | Mécanismes servant à tracer les courbes |
| 7 | OM | Mécanismes pour opérations mathématiques |
| 8 | GS | Mécanismes des griffes, des serres et des entretoises |
| 9 | ME | Mécanismes des dispositifs de mesure et d'essai |
| 10 | BV | Mécanismes des boîtes de vitesses et des réducteurs |
| 11 | CM | Mécanismes des croix de Malte |

Tableau 2

leur mode de fonctionnement

| Indice du groupe | | | | | | |
|------------------|---------|---------|---------|---------|---------|---------|
| DS | LEn | FE | RE | CE | VF | DC |
| — | 247-248 | — | — | — | — | 671-673 |
| — | — | — | — | — | — | 638-644 |
| — | 231-234 | — | — | — | — | — |
| 111 | — | — | 478-487 | — | — | 663-670 |
| — | — | — | — | — | — | 612-637 |
| 92-96 | 178-197 | — | — | 516 | — | — |
| — | 198-218 | — | — | — | 542-544 | 657-662 |
| 110 | 249-250 | — | — | — | — | — |
| — | 241-244 | — | 465 | 514-515 | 545-547 | 676-679 |
| — | — | — | — | — | 541 | 555-581 |
| — | — | 335-364 | — | — | — | — |

| n° d'ordre | Indice du sous-groupe | Sous-groupes |
|------------|-----------------------|--|
| 12 | M | Mécanismes à éléments multiples d'usage général |
| 13 | Ac | Mécanismes des accouplements |
| 14 | GI | Mécanismes de guidage et d'inversion |
| 15 | AV | Mécanismes d'arrêt, de blocage et de verrouillage |
| 16 | CE | Mécanismes de commutation, d'enclenchement et de déclenchement |
| 17 | BP | Mécanismes des boîtes de vitesse planétaires et des réducteurs |
| 18 | MP | Mécanismes des machines à piston |
| 19 | DSP | Mécanismes d'autres dispositifs spéciaux |
| 20 | C | Mécanismes à cinq éléments d'usage général |
| 21 | Rg | Mécanismes des régulateurs |
| 22 | TA | Mécanismes de triage, d'avance et d'alimentation |
| 23 | Ar | Mécanismes avec arrêts |
| 24 | LRg | Mécanismes avec éléments de longueur réglable |
| 25 | Fr | Mécanismes des freins |

Tableau 2 (suite)

| Indice du groupe | | | | | | |
|------------------|---------|---------|---------|---------|---------|---------|
| DS | LEn | FE | RE | CE | VF | DC |
| — | 146-177 | 304-307 | 422-452 | 503-506 | 528-535 | 645-656 |
| 107-108 | 251-252 | — | 476-477 | — | — | 674-675 |
| — | 235-240 | — | — | — | — | — |
| — | — | — | 466-475 | — | — | — |
| — | 253 | — | 493 | — | 539-540 | — |
| — | — | — | — | — | — | 582-613 |
| — | 245-246 | — | — | — | — | — |
| 112-114 | 255-288 | 367-371 | 494-502 | 517-518 | 548-554 | 681-689 |
| — | 124-145 | — | — | — | — | — |
| — | — | — | 458-464 | — | — | — |
| 97-103 | — | 365-366 | 488-492 | 511-513 | — | — |
| 65-91 | 219-230 | 308-334 | 453-457 | 507-510 | 536-538 | — |
| 104-106 | 254 | — | — | — | — | — |
| — | — | — | — | — | — | 680 |

| n° d'ordre | Indice du sous-groupe | Sous-groupes |
|------------|-----------------------|--|
| 26 | Tr | Mécanismes à trois éléments d'usage général |
| 27 | Fx | Mécanismes des fixateurs |
| 28 | Q | Mécanismes à quatre éléments d'usage général |

Tableau 2 (suite)

| | Indice du groupe | | | | | | |
|-------|------------------|---------|---------|----|---------|----|----|
| | DS | LEn | FE | RE | CE | VF | DC |
| 1-56 | — | 289-303 | 372-409 | — | 519-524 | — | |
| 109 | — | — | — | — | — | — | |
| 57-64 | 115-123 | — | 410-421 | — | 525-527 | — | |

I

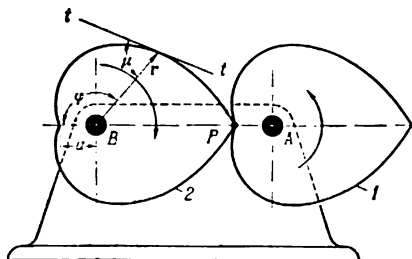
Mécanismes dentés simples

DS

1. Mécanismes à trois éléments d'usage général Tr (1-56). 2. Mécanismes à quatre éléments d'usage général Q (57-64). 3. Mécanismes avec arrêts Ar (65-91). 4. Mécanismes servant à tracer les courbes TC (92-96). 5. Mécanismes de triage, d'avance et d'alimentation TA (97-103). 6. Mécanismes avec éléments de longueur réglable LRg (104-106). 7. Mécanismes des accouplements Ac (107-108). 8. Mécanismes des fixateurs Fx (109). 9. Mécanismes des griffes, des serres et des entretoises GS (110). 10. Mécanismes des appareils de levage AL (111). 11. Mécanismes d'autres dispositifs spéciaux DSp (112-114).

1. Mécanismes à trois éléments d'usage général (1-56)

| | | |
|---|---|--|
| 1 | <p align="center">MÉCANISME CENTROÏDAL À TROIS ÉLÉMENTS DES ROUES ELLIPTIQUES</p> | <p align="center">DS Tr</p> |
| | <div data-bbox="370 323 664 617" data-label="Image"> </div> <p>Les roues 1 et 2 dont les profils représentent deux ellipses identiques tournent autour des axes fixes A et B qui coïncident avec les foyers de ces ellipses. Les profils des roues 1 et 2 sont des centroïdes lorsque ces roues sont en mouvement relatif. Le rapport de transmission i_{12} à chaque position du mécanisme s'écrit</p> $i_{12} = \frac{\omega_1}{\omega_2} = \frac{BP}{AP},$ <p>où ω_1 et ω_2 sont les vitesses angulaires des roues 1 et 2 et P, le point de contact des profils situé toujours sur la droite AB ; le signe n'entre pas en ligne de compte. Chaque fois que le mécanisme effectue un cycle complet de mouvement, le rapport de transmission moyen $i_{12} = 1$. Si l'on désigne les distances entre les centres de rotation des ellipses et leurs foyers $AF = BF_1$ par c, et les grands diamètres des ellipses $C_1D_1 = AB$ par l, la valeur du rapport de transmission changera une seule fois dans les limites de</p> $i_{\min} = \frac{1-k}{1+k} \quad \text{à} \quad i_{\max} = \frac{1+k}{1-k},$ <p>où $k = c/l$. Les profils des roues 1 et 2 sont munis de dents afin que le mécanisme soit en mesure d'effectuer un cycle complet de mouvement.</p> | |



Les roues 1 et 2 tournent autour des axes fixes A et B. Le profil de chaque roue est constitué des deux parties symétriques et identiques d'une spirale logarithmique dont l'équation est

$$r = ae^{m\varphi},$$

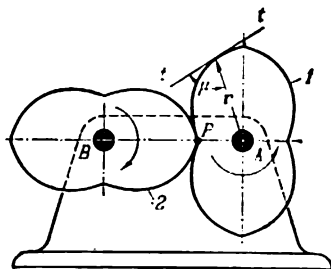
où r est le rayon vecteur du profil; a , le rayon vecteur minimal; $m = \cotg \mu$ et μ , l'angle constant formé par la tangente $t - t'$ avec le profil de rayon vecteur r . Les profils des roues sont des centroïdes lorsque ces roues sont en mouvement relatif. A chaque position du mécanisme le rapport de transmission i_{12} s'écrit

$$i_{12} = \frac{\omega_1}{\omega_2} = \frac{BP}{AP},$$

où ω_1 et ω_2 sont les vitesses angulaires des roues 1 et 2 et P, le point de contact des profils, toujours situé sur la droite AB; le signe n'entre pas en ligne de compte. Chaque fois que le mécanisme effectue un cycle complet de mouvement, le rapport de transmission moyen $i_{12} = 1$. La valeur du rapport de transmission changera une seule fois dans les limites de

$$i_{\min} = \frac{1}{e^{m\pi}} \quad \text{à} \quad i_{\max} = e^{m\pi}.$$

Les profils des roues 1 et 2 sont munis de dents afin que le mécanisme soit en mesure d'effectuer un cycle complet de mouvement.



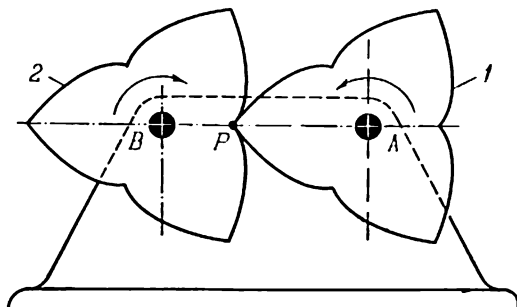
Les roues 1 et 2 tournent autour des axes fixes A et B. Le profil de chaque roue est constitué des quatre parties d'une spirale logarithmique, identiques et symétriques deux à deux. Les profils des roues sont des centroïdes lorsque ces roues sont en mouvement relatif. A chaque position du mécanisme le rapport de transmission i_{12} s'écrit

$$i_{12} = \frac{\omega_1}{\omega_2} = \frac{BP}{AP},$$

où ω_1 et ω_2 sont les vitesses angulaires des roues 1 et 2 et P, le point de contact des profils, toujours situé sur la droite AB ; le signe n'entre pas en ligne de compte. Chaque fois que le mécanisme effectue un cycle complet de mouvement, le rapport de transmission moyen $i_{12} = 1$. La valeur du rapport de transmission changera deux fois dans les limites de

$$i_{\min} = \frac{1}{e^{\frac{m\pi}{2}}} \quad \text{à} \quad i_{\max} = e^{\frac{m\pi}{2}},$$

où $m = \cotg \mu$ et μ est l'angle constant formé par la tangente $t-t$ au profil de rayon vecteur r . Les profils des roues 1 et 2 sont munis de dents afin que le mécanisme soit en mesure d'effectuer un cycle complet de mouvement.



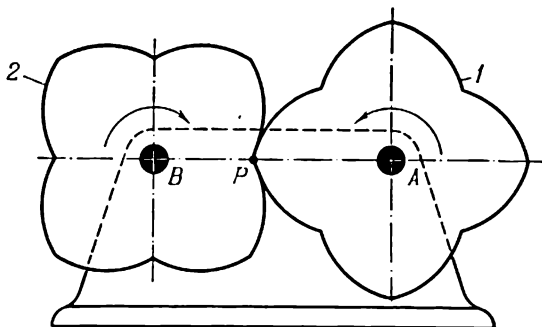
Les roues 1 et 2 tournent autour des axes fixes A et B . Le profil de chaque roue est constitué des six parties d'une spirale logarithmique, identiques et symétriques deux à deux. Les profils des roues sont des centroïdes lorsque ces roues sont en mouvement relatif. A chaque position du mécanisme le rapport de transmission i_{12} s'écrit

$$i_{12} = \frac{\omega_1}{\omega_2} = \frac{BP}{AP},$$

où ω_1 et ω_2 sont les vitesses angulaires des roues 1 et 2 et P , le point de contact des profils, toujours situé sur la droite AB ; le signe n'entre pas en ligne de compte. Chaque fois que le mécanisme effectue un cycle complet de mouvement, le rapport de transmission moyen $i_{12} = 1$. La valeur du rapport de transmission changera trois fois dans les limites de

$$i_{\min} = \frac{1}{2} \quad \text{à} \quad i_{\max} = 2.$$

Les profils des roues 1 et 2 sont munis de dents afin que le mécanisme soit en mesure d'effectuer un cycle complet de mouvement.



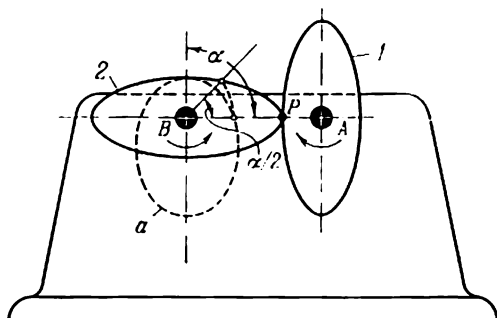
Les roues 1 et 2 tournent autour des axes fixes A et B. Le profil de chaque roue est constitué de huit parties d'une spirale logarithmique, identiques et symétriques deux à deux. Les profils des roues sont des centroïdes lorsque ces roues sont en mouvement relatif. A chaque position du mécanisme le rapport de transmission i_{12} est égal à

$$i_{12} = \frac{\omega_1}{\omega_2} = \frac{BP}{AP},$$

où ω_1 et ω_2 sont les vitesses angulaires des roues 1 et 2 et P, le point de contact des profils, toujours situé sur la droite AB; le signe n'entre pas en ligne de compte. Chaque fois que le mécanisme effectue un cycle complet de mouvement, le rapport de transmission moyen $i_{12} = 1$. La valeur du rapport de transmission changera quatre fois dans les limites de

$$i_{12} = \frac{1}{\sqrt{2}} \quad \text{à} \quad i_{\max} = \sqrt{2}.$$

Les profils des roues 1 et 2 sont munis de dents afin que le mécanisme soit en mesure d'effectuer un cycle complet de mouvement.



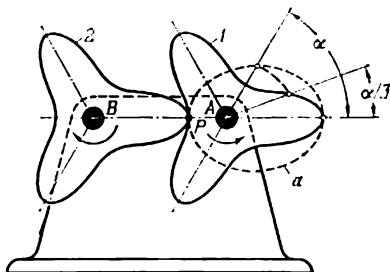
Les roues 1 et 2 tournent autour des axes fixes A et B. Le profil de chaque roue est constitué des deux parties identiques et symétriques d'une courbe de type ovale. On a obtenu ces parties des profils en modifiant les angles α de l'ellipse a dans le rapport $m = 1/2$. Les profils des roues sont des centroïdes lorsque ces roues sont en mouvement relatif. A chaque position du mécanisme le rapport de transmission i_{12} est égal à

$$i_{12} = \frac{\omega_1}{\omega_2} = \frac{BP}{AP},$$

où ω_1 et ω_2 sont les vitesses angulaires des roues 1 et 2 et P, le point de contact des profils, toujours situé sur la droite AB; le signe n'entre pas en ligne de compte. Chaque fois que le mécanisme effectue un cycle complet de mouvement, le rapport de transmission $i_{12} = 1$. La valeur du rapport de transmission changera deux fois dans les limites de

$$i_{\min} = \frac{1-k}{1+k} \quad \text{à} \quad i_{\max} = \frac{1+k}{1-k}.$$

La grandeur $k = c/l$, où c est la distance entre les foyers de l'ellipse a et l , le grand diamètre de l'ellipse a . Les profils des roues 1 et 2 sont munis de dents afin que le mécanisme soit en mesure d'effectuer un cycle complet de mouvement.



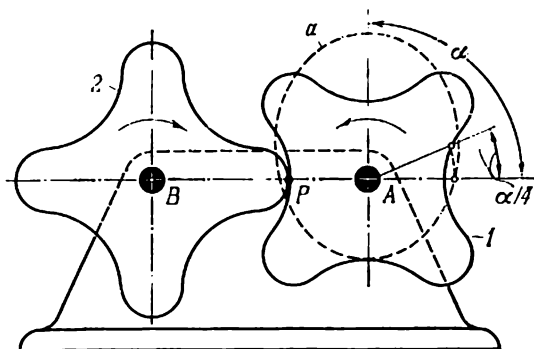
Les roues 1 et 2 tournent autour des axes fixes A et B. Le profil de chaque roue est constitué des six parties, identiques et symétriques deux à deux, d'une courbe de type ovale. Ces parties des profils sont obtenues en modifiant les angles α de l'ellipse a dans le rapport $m = 1/3$. Les profils des roues sont des centroïdes lorsque ces roues sont en mouvement relatif. A chaque position du mécanisme le rapport de transmission i_{12} est égal à

$$i_{12} = \frac{\omega_1}{\omega_2} = \frac{BP}{AP},$$

où ω_1 et ω_2 sont les vitesses angulaires des roues 1 et 2 et P, le point de contact des profils, toujours situé sur la droite AB ; le signe n'entre pas en ligne de compte. Chaque fois que le mécanisme effectue un cycle complet de mouvements le rapport de transmission moyen $i_{12} = 1$. La valeur du rapport de transmission changera trois fois dans les limites de

$$i_{\min} = \frac{1-k}{1+k} \quad \text{à} \quad i_{\max} = \frac{1+k}{1-k}.$$

La grandeur $k = c/l$, où c est la distance entre les foyers de l'ellipse a et l , le grand diamètre de l'ellipse a . Les profils des roues 1 et 2 sont munis de dents afin que le mécanisme soit en mesure d'effectuer un cycle complet de mouvement.



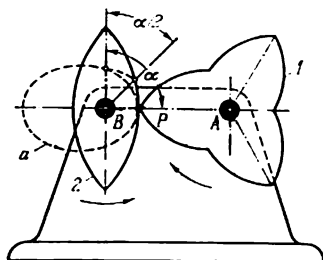
Les roues 1 et 2 tournent autour des axes fixes A et B. Le profil de chaque roue est constitué des quatre parties, identiques et symétriques deux à deux, d'une courbe de type ovale. Ces parties des profils sont obtenues en modifiant les angles α de l'ellipse a dans le rapport $m = 1/4$. Les profils des roues sont des centroïdes lorsque ces roues sont en mouvement relatif. A chaque position du mécanisme le rapport de transmission i_{12} est égal à

$$i_{12} = \frac{\omega_1}{\omega_2} = \frac{BP}{AP},$$

où ω_1 et ω_2 sont les vitesses angulaires des roues 1 et 2 et P, le point de contact des profils, toujours situé sur la droite AB; le signe n'entre pas en ligne de compte. Chaque fois que le mécanisme effectue un cycle complet de mouvement, le rapport de transmission moyen changera quatre fois dans les limites de

$$i_{\min} = \frac{1-k}{1+k} \quad \text{à} \quad i_{\max} = \frac{1+k}{1-k}.$$

La grandeur $k = c/l$, où c est la distance entre les foyers de l'ellipse a et l , le grand diamètre de l'ellipse. Les profils des roues 1 et 2 sont munis de dents afin que le mécanisme soit en mesure d'effectuer un cycle complet.



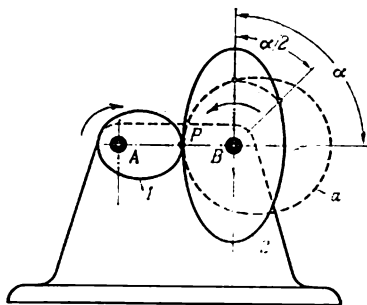
Les roues 1 et 2 tournent autour des axes A et B. Le profil de la roue 2 est constitué des quatre parties, identiques et symétriques deux à deux, d'une courbe de type ovale qu'on obtient en modifiant les angles α de l'ellipse a dans le rapport $m = 1/2$. Le profil de la roue 1 est constitué des six parties d'une courbe de type ovale qu'on obtient en modifiant dans le rapport $m = 1/3$ les angles α de l'ellipse a ayant pour foyer le point B. Les profils des roues 1 et 2 sont des centroïdes lorsque ces roues sont en mouvement relatif. A chaque position du mécanisme le rapport de transmission i_{12} est égal à

$$i_{12} = \frac{\omega_1}{\omega_2} = \frac{BP}{AP},$$

où ω_1 et ω_2 sont les vitesses angulaires des roues 1 et 2 et P, le point de contact des profils, toujours situé sur la droite AB; le signe n'entre pas en ligne de compte. Pour un cycle complet de mouvement du mécanisme, le rapport de transmission moyen est égal à $i_{21} = \frac{3}{2} = 1,5$. Le rapport de transmission changera dans les limites de

$$i_{\min} = \frac{1-k}{1+k} \quad \text{à} \quad i_{\max} = \frac{1+k}{1-k}.$$

La grandeur $k = c/l$, où c est la distance entre les foyers de l'ellipse a , et l , le grand diamètre de l'ellipse. Les profils des roues 1 et 2 sont munis de dents afin que le mécanisme soit en mesure d'effectuer un cycle complet de mouvement.



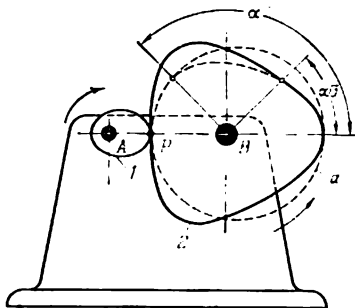
Les roues 1 et 2 tournent autour des axes fixes A et B. Le profil de la roue 1 est une ellipse ayant pour foyer le point A. Le profil de la roue 2 est constitué des deux parties identiques et symétriques d'une courbe de type ovale qu'on obtient en modifiant les angles α de l'ellipse a dans le rapport $m = 1/2$. Le rapport de n longueurs des profils des roues 2 et 1 est égal à $n = 2$. Les profils des roues 1 et 2 sont des centroïdes lorsque ces roues sont en mouvement relatif. A chaque position du mécanisme le rapport de transmission i_{12} est égal à

$$i_{12} = \frac{\omega_1}{\omega_2} = \frac{BP}{AP},$$

où ω_1 et ω_2 sont les vitesses angulaires des roues 1 et 2 et P, le point de contact des profils, toujours situé sur la droite AB; le signe n'entre pas en ligne de compte. Chaque fois que le mécanisme effectue un cycle complet de mouvement, le rapport de transmission moyen $i_{12} = 2$. Le rapport de transmission changera dans les limites de

$$i_{\min} = \frac{l_1}{l_2} \frac{1-k_1}{1+k_2} \quad \text{à} \quad i_{\max} = \frac{l_1}{l_2} \frac{1+k_1}{1-k_2}.$$

Les grandeurs k_1 et k_2 sont respectivement égales à $k_1 = c_1/l_1$ et à $k_2 = c_2/l_2$, où c_1 et c_2 sont les distances entre les foyers de l'ellipse a et de la roue elliptique 1, l_1 et l_2 , les grands diamètres de ces ellipses. Les profils des roues 1 et 2 sont munis de dents afin que le mécanisme soit en mesure d'effectuer un cycle complet de mouvement.



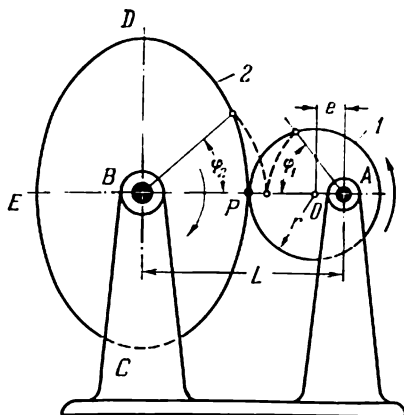
Les roues 1 et 2 tournent autour des axes fixes A et B. Le profil de la roue 1 est une ellipse ayant pour foyer le point A. Le profil de la roue 2 est formé des trois parties identiques et symétriques d'une courbe de type ovale qu'on obtient en modifiant les angles α de l'ellipse a dans le rapport $m = 1/3$. Le rapport des longueurs des profils des roues 2 et 1 est $n = 3$. Les profils des roues 1 et 2 sont des centroïdes lorsque ces roues sont en mouvement relatif. A chaque position du mécanisme le rapport de transmission i_{12} est égal à

$$i_{12} = \frac{\omega_1}{\omega_2} = \frac{BP}{AP},$$

où ω_1 et ω_2 sont les vitesses angulaires des roues 1 et 2 et P, le point de contact des profils, toujours situé sur la droite AB; le signe n'entre pas en ligne de compte. Pour un cycle complet de mouvement du mécanisme, le rapport de transmission moyen est égal à $i_{12} = 3$. Le rapport de transmission changera dans les limites de

$$i_{\min} = \frac{l_1}{l_2} \frac{1 - k_1}{1 + k_2} \quad \text{à} \quad i_{\max} = \frac{l_1}{l_2} \frac{1 + k_1}{1 - k_2}.$$

Les grandeurs k_1 et k_2 sont respectivement égales à $k_1 = c_1/l_1$ et à $k_2 = c_2/l_2$, où c_1 et c_2 sont les distances entre les foyers de l'ellipse a et de la roue elliptique 1, et l_1 et l_2 , les grands diamètres de ces ellipses. Les profils des roues 1 et 2 sont munis de dents afin que le mécanisme soit en mesure d'effectuer un cycle complet de mouvement.



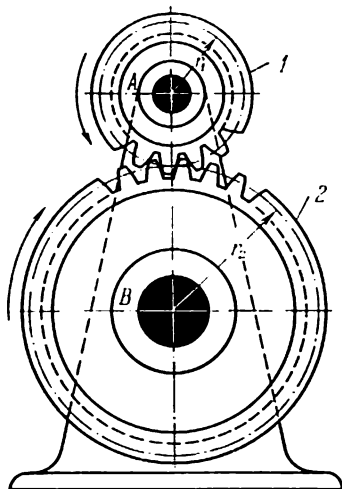
Les roues 1 et 2 tournent autour des axes fixes A et B. Le profil de la roue 1 est une circonférence de centre O. Le profil de la roue 2 est constitué de deux courbes identiques et symétriques DPC et DEC. L'entr'axe L satisfait à la condition

$$L \approx r(1+i) \left[1 - \frac{(i-2)e^2}{4i} + \frac{(-3i^3 + 2i^2 + 12i + 24)e^4}{64i^3} \right],$$

où r est le rayon de la roue ronde 1, $\varepsilon = e/r$ est le rapport entre l'excentricité e et le rayon r , i est le rapport de transmission moyen égal à $i = i_{12} = 1, 2, 3, 4, \dots$. Les angles φ_1 et φ_2 de rotation des centroïdes 1 et 2 sont liés par la relation

$$\varphi_2 = \int_{\varphi_2}^{\varphi_1} \frac{\sqrt{r^2 - e^2 \sin^2 \varphi_1} - e \cos \varphi_1}{L - \sqrt{r^2 - e^2 \sin^2 \varphi_1} + e \cos \varphi_1} d\varphi_1.$$

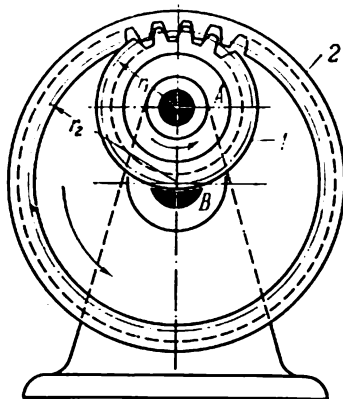
| 12 | MÉCANISME CENTROÏDAL À TROIS ÉLÉMENTS AVEC DES ROUES RONDE ET NON RONDE; | DS Tr |
|----|---|------------------|
| | <p>Les profils des roues 1 et 2 sont des centroïdes lorsque ces roues sont en mouvement relatif. Le rapport de transmission i_{12} est égal à</p> $i_{12} = \frac{\omega_1}{\omega_2} = \frac{BP}{AP},$ <p>où ω_1 et ω_2 sont les vitesses angulaires des roues 1 et 2 et P, le point de contact des profils, toujours situé sur la droite AB; le signe n'entre pas en ligne de compte. Le rapport de transmission i_{12}, exprimé dans les paramètres des roues, est égal à</p> $i_{12} = \frac{L}{\sqrt{r^2 - e^2 \sin^2 \varphi_1} - e \cos \varphi_1} - 1.$ <p>Le rapport de transmission i_{12} changera dans les limites de</p> $i_{\min} = \frac{1 - e^2}{m - (1 - e)} \quad \text{à} \quad i_{\max} = \frac{1 + e}{m - (1 + e)},$ <p>où $m = L/r$. Les profils des roues 1 et 2 sont munis de dents afin que le mécanisme soit en mesure d'effectuer un cycle complet de mouvement. Le rapport de transmission moyen du mécanisme considéré est $i_{12} = 2$. Les longueurs des arcs de cercle DPC et DEC sont égales à $2\pi r$.</p> | |



Les roues 1 et 2 tournent dans les sens différents autour des axes fixes A et B. Le rapport de transmission i_{12} du mécanisme, compte tenu des signes des vitesses angulaires ω_1 et ω_2 des roues 1 et 2, est égal à

$$i_{12} = \frac{\omega_1}{\omega_2} = -\frac{r_2}{r_1} = -\frac{z_2}{z_1},$$

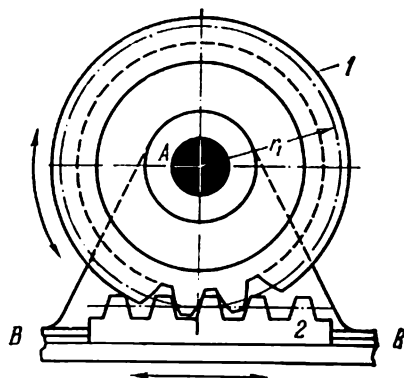
où r_1 et r_2 sont les rayons des cercles primitifs des roues 1 et 2 et z_1 et z_2 , les nombres de dents des roues 1 et 2.



Les roues 1 et 2 tournent dans le même sens autour des axes fixes A et B. Le rapport de transmission i_{12} du mécanisme, compte tenu des signes des vitesses angulaires ω_1 et ω_2 des roues 1 et 2, est égal à

$$i_{12} = \frac{\omega_1}{\omega_2} = \frac{r_2}{r_1} = \frac{z_2}{z_1},$$

où r_1 et r_2 sont les rayons des cercles primitifs des roues 1 et 2 et z_1 et z_2 , les nombres de dents des roues 1 et 2.

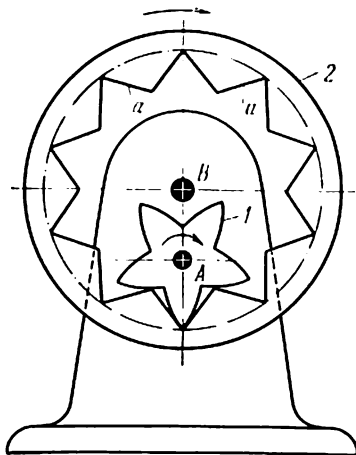


La roue 1 tourne autour d'un axe fixe A. La crémaillère 2 est animée d'un mouvement de translation dans les guides fixes B — B.

La vitesse v_2 de la crémaillère 2 est égale à

$$v_2 = \omega_1 r_1,$$

où ω_1 est la vitesse angulaire de la roue 1, et r_1 , le rayon de son cercle primitif.



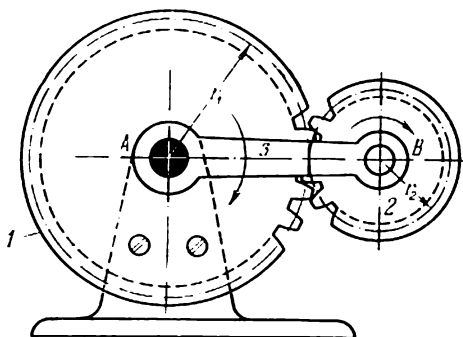
La roue 1, mobile autour d'un axe fixe A, est en engrenage intérieur avec la roue 2 mobile autour d'un axe fixe B. Les profils des dents *a* de la roue 2 sont exécutés suivant les segments des lignes droites.

Le rapport de transmission i_{12} est égal à

$$i_{12} = \frac{\omega_1}{\omega_2} = \frac{n_1}{n_2} = \frac{z_2}{z_1} = 2,$$

où ω_1 , ω_2 et n_1 , n_2 sont les vitesses angulaires et les nombres de tours des roues 1 et 2, et z_1 et z_2 , les nombres de dents des roues 1 et 2.

**MÉCANISME PLANÉTAIRE DENTE
À TROIS ÉLÉMENTS AVEC ROUES
CYLINDRIQUES RONDES À DENTURE
EXTÉRIEURE**

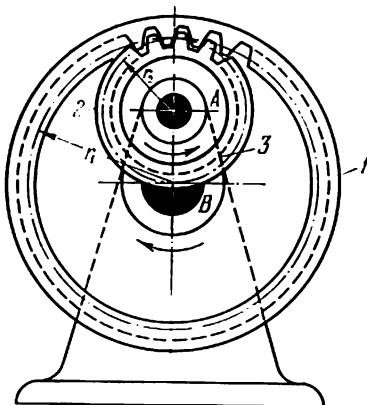


La roue 1 est rendue solidaire du support. La roue 2 tourne sur l'axe B du porte-satellites 3, mobile autour d'un axe fixe A . Le rapport de transmission i_{23} du mécanisme, compte tenu des signes des vitesses angulaires ω_2 et ω_3 de la roue 2 et du porte-satellites 3, est égal à

$$i_{23} = \frac{\omega_2}{\omega_3} = 1 + \frac{r_1}{r_2} = 1 + \frac{z_1}{z_2},$$

où r_1 et r_2 sont les rayons des cercles primitifs des roues 1 et 2, et z_1 et z_2 , les nombres de dents des roues 1 et 2. Les trajectoires des points isolés de la roue 2 sont des épicycloïdes.

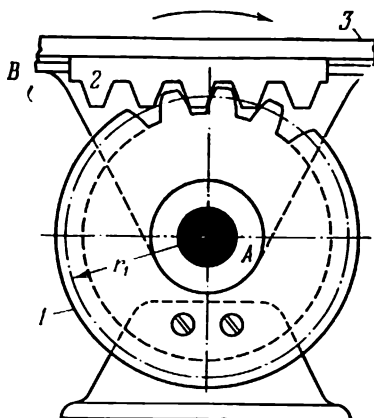
**MÉCANISME PLANÉTAIRE DENTÉ
À TROIS ÉLÉMENTS AVEC ROUES
CYLINDRIQUES RONDES À DENTURE
INTÉRIEURE**



La roue 1 est rendue solidaire du support. La roue 2 tourne sur l'axe A du porte-satellites 3 pivotant autour d'un axe fixe B. Le rapport de transmission i_{23} du mécanisme, compte tenu des signes des vitesses angulaires ω_2 et ω_3 de la roue 2 et du porte-satellites 3, est égal à

$$i_{23} = \frac{\omega_2}{\omega_3} = 1 - \frac{r_1}{r_2} = 1 - \frac{z_1}{z_2},$$

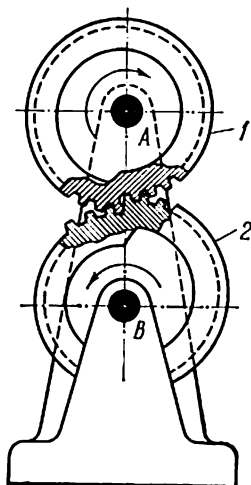
où r_1 et r_2 sont les rayons des cercles primitifs des roues 1 et 2, et z_1 et z_2 , les nombres de dents des roues 1 et 2. Les trajectoires des points isolés de la roue 2 sont des hypocycloïdes.



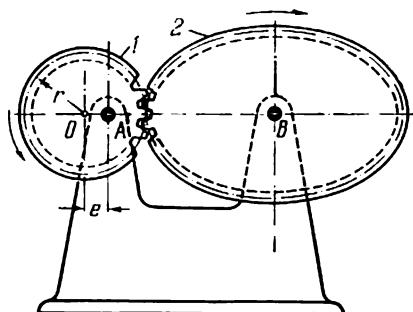
La roue 1 est rendue solidaire du support. La crémaillère 2 coulisse dans les guides $B - B$ du porte-satellites 3, mobile autour d'un axe fixe A . La vitesse angulaire ω_2 de la crémaillère est égale à la vitesse angulaire ω_3 du porte-satellites 3. La vitesse de glissement v de la crémaillère 2 dans les guides $B - B$ est égale à

$$v = \omega_2 r_1,$$

où r_1 est le rayon du cercle primitif de la roue 1. Les trajectoires des points isolés de la crémaillère 2 sont les développantes d'un cercle de rayon r_1 .



Les roues dentées non rondes 1 et 2 tournent autour des axes fixes A et B. Les centroïdes des roues représentent deux spirales identiques. Lorsque la roue menante 1 est en rotation uniforme, la roue menée 2 tourne de façon non uniforme. Au moment où l'engrenage passe du bout de la spirale à son origine il se produit un choc entre les éléments 1 et 2.

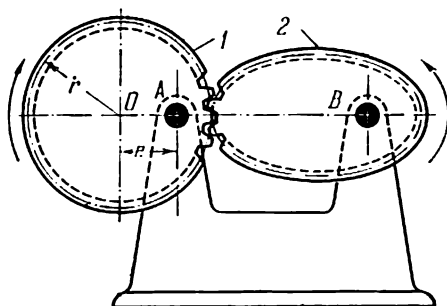


Les roues 1 et 2 tournent autour des axes fixes A et B. Le centre O de la roue 1 est disposé de façon excentrique par rapport à l'axe de rotation A, la valeur de l'excentricité étant égale à e . Le rayon du cercle primitif de la roue 1 est égal à r . La longueur du profil de la centroïde de la roue 2 est $4\pi r$. Pour un cycle complet de mouvement du mécanisme, la grandeur du rapport de transmission moyen est égale à

$$i_{12} = \frac{z_2}{z_1} = 2,$$

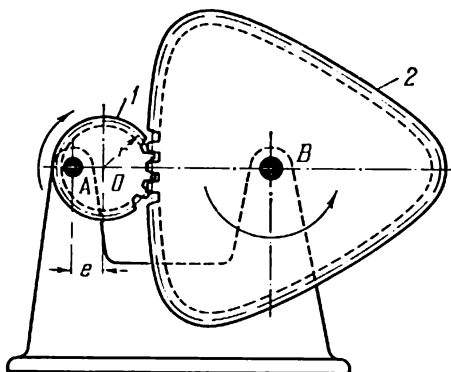
où z_1 et z_2 sont les nombres de dents des roues 1 et 2. Le rapport de transmission changera deux fois dans les limites suivantes:

| | | |
|----------------------|----------------------|-------------------|
| de $i_{\min} = 1,73$ | à $i_{\max} = 2,33$ | pour $e = 0,1r$; |
| de $i_{\min} = 1,57$ | à $i_{\max} = 2,60$ | pour $e = 1/6r$; |
| de $i_{\min} = 1,50$ | à $i_{\max} = 2,75$ | pour $e = 0,2r$; |
| de $i_{\min} = 1,40$ | à $i_{\max} = 3,00$ | pour $e = 1/4r$; |
| de $i_{\min} = 1,31$ | à $i_{\max} = 3,29$ | pour $e = 0,3r$; |
| de $i_{\min} = 1,25$ | à $i_{\max} = 3,50$ | pour $e = 1/3r$; |
| de $i_{\min} = 1,14$ | à $i_{\max} = 4,00$ | pour $e = 0,4r$; |
| de $i_{\min} = 1,00$ | à $i_{\max} = 5,00$ | pour $e = 0,5r$; |
| de $i_{\min} = 0,88$ | à $i_{\max} = 6,50$ | pour $e = 0,6r$; |
| de $i_{\min} = 0,80$ | à $i_{\max} = 8,00$ | pour $e = 2/3r$; |
| de $i_{\min} = 0,77$ | à $i_{\max} = 9,00$ | pour $e = 0,7r$; |
| de $i_{\min} = 0,72$ | à $i_{\max} = 11,00$ | pour $e = 3/4r$. |



Les roues 1 et 2 tournent autour des axes fixes A et B. Le centre O de la roue 1 est disposé de façon excentrique par rapport à l'axe de rotation A, la valeur de l'excentricité étant égale à e . Le rayon du cercle primitif de la roue 1 est égal à r . La longueur du profil de la centroïde de la roue 2 est égale à $2\pi r$. Pour un cycle complet de mouvement du mécanisme, le rapport de transmission moyen $i_{12} = \frac{z_2}{z_1} = 1$, où $z_1 = z_2$ sont les nombres de dents des roues 1 et 2. Le rapport de transmission changera une fois dans les limites suivantes :

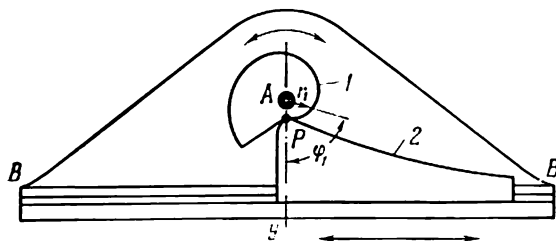
| | | |
|----------------------|---------------------|-------------------|
| de $i_{\min} = 0,82$ | à $i_{\max} = 1,23$ | pour $e = 0,1r$; |
| de $i_{\min} = 0,73$ | à $i_{\max} = 1,41$ | pour $e = 1/6r$; |
| de $i_{\min} = 0,68$ | à $i_{\max} = 1,53$ | pour $e = 0,2r$; |
| de $i_{\min} = 0,63$ | à $i_{\max} = 1,71$ | pour $e = 1/4r$; |
| de $i_{\min} = 0,57$ | à $i_{\max} = 1,92$ | pour $e = 0,3r$; |
| de $i_{\min} = 0,54$ | à $i_{\max} = 2,08$ | pour $e = 1/3r$; |
| de $i_{\min} = 0,49$ | à $i_{\max} = 2,47$ | pour $e = 0,4r$; |
| de $i_{\min} = 0,42$ | à $i_{\max} = 3,25$ | pour $e = 0,5r$; |
| de $i_{\min} = 0,36$ | à $i_{\max} = 4,45$ | pour $e = 0,6r$; |
| de $i_{\min} = 0,33$ | à $i_{\max} = 5,67$ | pour $e = 2/3r$; |
| de $i_{\min} = 0,32$ | à $i_{\max} = 6,48$ | pour $e = 0,7r$; |
| de $i_{\min} = 0,30$ | à $i_{\max} = 8,13$ | pour $e = 3/4r$. |



Les roues 1 et 2 tournent autour des axes fixes A et B. Le centre O de la roue 1 est disposé de façon excentrique par rapport à l'axe de rotation A, la valeur de l'excentricité étant égale à e . Le rayon du cercle primitif de la roue 1 est égal à r . La longueur du profil de la centroïde de la roue 2 est égale à $6\pi r$. Pour un cycle complet de mouvement du mécanisme, le rapport de transmission moyen est égal

à $i_{12} = \frac{z_2}{z_1} = 3$, où z_1 et z_2 sont les nombres de dents des roues 1 et 2. Le rapport de transmission changera trois fois dans les limites suivantes :

| | | |
|---------------------|--------------------|-------------------|
| de $i_{min} = 2,65$ | à $i_{max} = 3,44$ | pour $e = 0,1r$; |
| de $i_{min} = 2,42$ | à $i_{max} = 3,79$ | pour $e = 1/6r$; |
| de $i_{min} = 2,32$ | à $i_{max} = 3,98$ | pour $e = 0,2r$; |
| de $i_{min} = 2,18$ | à $i_{max} = 4,31$ | pour $e = 1/4r$; |
| de $i_{min} = 2,05$ | à $i_{max} = 4,67$ | pour $e = 0,3r$; |
| de $i_{min} = 1,97$ | à $i_{max} = 4,94$ | pour $e = 1/3r$; |
| de $i_{min} = 1,81$ | à $i_{max} = 5,58$ | pour $e = 0,4r$; |
| de $i_{min} = 1,61$ | à $i_{max} = 6,83$ | pour $e = 0,5r$; |
| de $i_{min} = 1,42$ | à $i_{max} = 8,70$ | pour $e = 0,6r$; |
| de $i_{min} = 1,31$ | à $i_{max} = 10,6$ | pour $e = 2/3r$; |
| de $i_{min} = 1,26$ | à $i_{max} = 11,8$ | pour $e = 0,7r$; |
| de $i_{min} = 1,18$ | à $i_{max} = 16,3$ | pour $e = 3/4r$. |



La roue 1 tourne autour d'un axe fixe A. La crémaillère 2 effectue un mouvement de translation dans le guide rectiligne fixe B — B. Les profils de la roue 1 et de la crémaillère 2 sont des centroïdes lorsque cette roue et cette crémaillère sont en mouvement relatif. L'angle de rotation φ_1 et la vitesse angulaire ω_1 de la roue 1 sont liés au déplacement s_2 et à la vitesse v_2 de la crémaillère 2 par la relation

$$\frac{v_2}{\omega_1} = \frac{ds_2}{d\varphi_1} = AP,$$

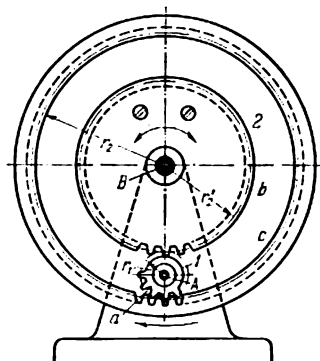
où P est le point de contact des profils, toujours situé sur la droite Ay perpendiculaire à l'axe du guide B — B. Dans le mécanisme considéré, le profil de la roue 1 est formé par une partie de la spirale d'Archimède qui a pour équation

$$r_1 = 2a\varphi_1,$$

où r_1 est le rayon vecteur de la spirale et a , la constante de la spirale. Le déplacement s_2 de la crémaillère 2 est égal à

$$s_2 = a\varphi_1^2,$$

c.-à-d. que le mécanisme reproduit une relation quadratique, et le profil de la crémaillère 2 sera formé par une partie de parabole.



La roue 1, ayant la forme d'un secteur denté *a*, tourne autour d'un axe fixe *A*. La roue 2, dont la surface intérieure *b* et la surface extérieure *c* sont munies de dents, tourne autour d'un axe fixe *B*. Lorsque la roue 1 tourne dans le même sens, la roue menée 2 tournera alternativement dans les deux sens. L'angle φ_2 de rotation de la roue 2 dans le sens des aiguilles d'une montre est égal à

$$\varphi_2 = \frac{r_1}{r_2} \varphi_1,$$

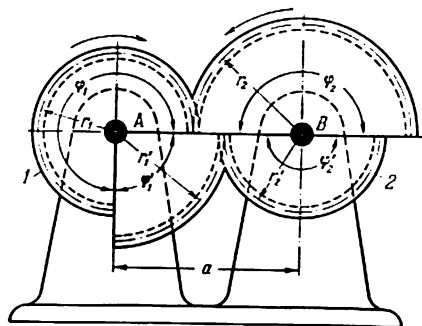
et l'angle φ'_2 de rotation de la roue 2 dans le sens contraire aux aiguilles d'une montre est égal à

$$\varphi'_2 = \frac{r_1}{r'_2} \varphi_1,$$

où r_1 , r_2 et r'_2 sont les rayons des cercles primitifs des roues 1 et 2, et φ_1 , l'angle de rotation de la roue 1. L'angle φ'_2 est plus grand que l'angle φ_2 dans le rapport r_2/r'_2 , c.-à-d.

$$\varphi'_2 = \frac{r_2}{r'_2} \varphi_2.$$

Pour obtenir que la roue 2 tourne de façon continue et ne fasse des arrêts que dans ses positions extrêmes, on s'arrangera pour que le secteur denté de la roue 1 entre en prise avec l'engrenage intérieur *c* immédiatement après avoir désengrené de l'engrenage extérieur *b*. Pour éviter les chocs au moment de l'engrènement, on a pourvu le mécanisme de profils conjugués supplémentaires engendrés suivant les courbes spéciales.



Les roues 1 et 2 tournent autour des axes fixes A et B. Chaque roue est composée de deux secteurs dentés, les rayons de leurs cercles primitifs étant respectivement égaux aux r_1, r'_1 et r_2, r'_2 .

Compte tenu des signes des vitesses angulaires, le rapport de transmission du mécanisme changera deux fois et sera égal à

$$i_{12} = \frac{\omega_1}{\omega_2} = -\frac{r_2}{r_1} = -\frac{z_2}{z_1} \quad \text{et} \quad i'_{12} = \frac{\omega'_1}{\omega'_2} = -\frac{r'_2}{r'_1} = -\frac{z'_2}{z'_1},$$

où ω_1, ω'_1 et ω_2, ω'_2 sont les vitesses angulaires des roues 1 et 2, z_1, z'_1 et z_2, z'_2 , les nombres de dents des secteurs.

Les rayons des secteurs sont liés aux angles $\varphi_1, \varphi'_1 = 2\pi - \varphi_1$, φ_2 et $\varphi'_2 = 2\pi - \varphi_2$ par les conditions

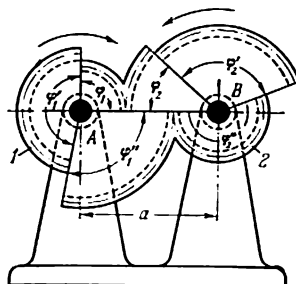
$$r_1 = \frac{a\varphi_2}{\varphi_1 + \varphi_2}, \quad r'_1 = \frac{a\varphi'_2}{\varphi'_1 + \varphi'_2}, \quad r_2 = \frac{a\varphi_1}{\varphi_1 + \varphi_2}$$

et

$$r'_2 = \frac{a\varphi'_1}{\varphi'_1 + \varphi'_2},$$

où a est l'entr'axe. Dans le mécanisme considéré, $\varphi_1 = 3\varphi'_1$ et $\varphi_2 = \varphi'_2$, donc $r_1 = 0,4 a$, $r_2 = 0,6 a$, $r'_1 = 0,67 a$ et $r'_2 = 0,33 a$.

Pour éviter les chocs au moment de passage de l'engrènement d'une paire de secteurs dentés à l'autre, on a pourvu les secteurs dentés de profils conjugués supplémentaires engendrés suivant les courbes spéciales.



Les roues 1 et 2 tournent autour des axes fixes A et B. Chaque roue est composée de trois secteurs dentés. Les rayons de leurs cercles primitifs égalent respectivement r_1 , r_1' , r_1'' et r_2 , r_2' , r_2'' . Le rapport de transmission du mécanisme, compte tenu des signes des vitesses angulaires, changera trois fois et sera égal à

$$i_{12} = \frac{\omega_1}{\omega_2} = - \frac{r_2}{r_1} = - \frac{z_2}{z_1}, \quad i'_{12} = \frac{\omega'_1}{\omega'_2} = - \frac{r'_2}{r'_1} = - \frac{z'_2}{z'_1}$$

et

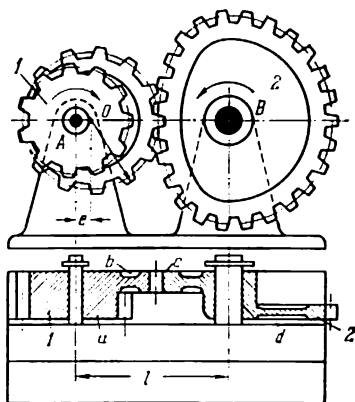
$$i''_{12} = \frac{\omega''_1}{\omega''_2} = - \frac{r''_2}{r''_1} = - \frac{z''_2}{z''_1},$$

où ω_1 , ω'_1 , ω''_1 et ω_2 , ω'_2 , ω''_2 sont les vitesses angulaires des roues 1 et 2, et z_1 , z'_1 , z''_1 et z_2 , z'_2 , z''_2 , les nombres de dents des secteurs. Les rayons des secteurs sont liés aux angles φ_1 , φ'_1 , φ''_1 et φ_2 , φ'_2 , φ''_2 par les conditions suivantes

$$r_1 = \frac{a\varphi_2}{\varphi_1 + \varphi_2}, \quad r'_1 = \frac{a\varphi'_2}{\varphi'_1 + \varphi'_2}, \quad r''_1 = \frac{a\varphi''_2}{\varphi''_1 + \varphi''_2},$$

$$r_2 = \frac{a\varphi_1}{\varphi_1 + \varphi_2}, \quad r'_2 = \frac{a\varphi'_1}{\varphi'_1 + \varphi'_2} \quad \text{et} \quad r''_2 = \frac{a\varphi''_1}{\varphi''_1 + \varphi''_2},$$

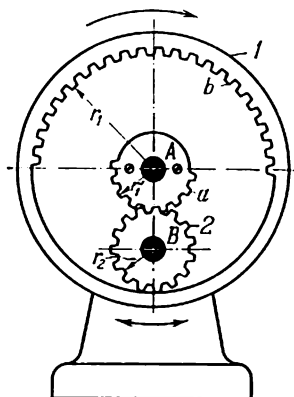
où a est l'entr'axe. Pour éviter les chocs au moment de passage de l'engrènement d'une paire de secteurs dentés à l'autre, on a pourvu les secteurs dentés de profils conjugués supplémentaires engendrés suivant les courbes spéciales.



Les roues 1 et 2 tournent autour des axes fixes A et B. La roue jumelée 1 se compose des roues rondes a et b. Le centre géométrique de la roue a coïncide avec l'axe A. Le centre géométrique O de la roue b a une excentricité e. La roue 2 est composée de la moitié d'une roue non ronde c et de la moitié d'une roue ronde d. Pour deux tours de la roue 1, la roue 2 effectue un tour et le rapport de transmission moyen du mécanisme $i_{12} = 2$. Si ce sont les parties a et d des roues 1 et 2 qui sont en prise, le rapport de transmission i_{12} est constant et est tel que $i_{12} = 2$. Si ce sont les parties b et c des roues 1 et 2 qui sont en prise, le rapport de transmission i_{12} varie dans les limites de

$$i_{\min} = \frac{1 - \varepsilon}{m - (1 - \varepsilon)} \quad \text{à} \quad i_{\max} = \frac{1 + \varepsilon}{m - (1 + \varepsilon)}.$$

Les grandeurs ε et m sont égales à $\varepsilon = \frac{e}{r_1}$ et $m = \frac{l}{r_1}$, où r_1 est le rayon du cercle primitif de la roue b et l, l'entr'axe.

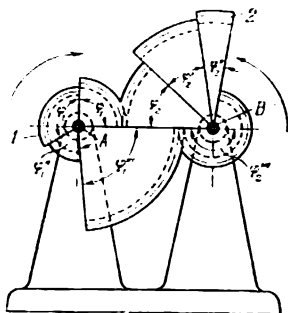


La roue jumelée 1 qui est munie de dents disposées sur les demi-circonférences extérieure *a* et intérieure *b* tourne autour d'un axe fixe *A*. La roue 2 tourne autour d'un axe fixe *B*. Les rayons r_1 , r_1' et r_2 des cercles primitifs des roues 1 et 2 satisfont à la condition $r_1 = 3r_1' = 3r_2$. Lorsque la roue 1 tourne dans la même direction, la roue menée 2 tournera alternativement dans deux directions opposées. L'angle de rotation φ_2' de la roue 2 dans le sens des aiguilles d'une montre est égal à

$$\varphi_2' = 3\varphi_1,$$

et l'angle φ_2 de rotation de la roue 2 dans le sens inverse des aiguilles d'une montre est égal à $\varphi_2 = \varphi_1$.

Pour obtenir que la roue 2 tourne de façon continue et ne fasse des arrêts que dans ses positions extrêmes, il faut que la roue 2, une fois dégagée de l'engrenage *a*, entre immédiatement en prise avec l'engrenage *b*. Pour éviter les chocs au moment de l'engrènement, on a pourvu le mécanisme de profils conjugués supplémentaires engendrés suivant les courbes spéciales.



Les roues 1 et 2 tournent autour des axes fixes A et B. Chaque roue est composée de quatre secteurs dentés. Les rayons de leurs cercles primitifs égalent respectivement r_1, r_1', r_1'', r_1''' et r_2, r_2', r_2'', r_2''' . Compte tenu des signes des vitesses angulaires, le rapport de transmission du mécanisme changera quatre fois de valeur et sera égal à

$$i_{12} = \frac{\omega_1}{\omega_2} = -\frac{r_2}{r_1} = -\frac{z_2}{z_1}, \quad i'_{12} = \frac{\omega'_1}{\omega'_2} = -\frac{r'_2}{r'_1} = -\frac{z'_2}{z'_1},$$

$$i''_{12} = \frac{\omega''_1}{\omega''_2} = -\frac{r''_2}{r''_1} = -\frac{z''_2}{z''_1} \quad \text{et} \quad i'''_{12} = \frac{\omega'''_1}{\omega'''_2} = -\frac{r'''_2}{r'''_1} = -\frac{z'''_2}{z'''_1},$$

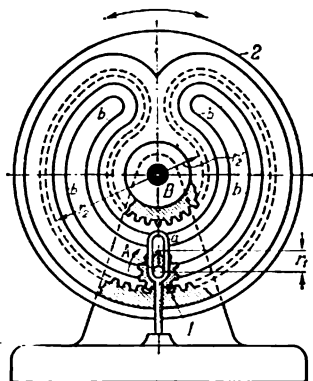
où $\omega_1, \omega'_1, \omega''_1, \omega'''_1$ et $\omega_2, \omega'_2, \omega''_2, \omega'''_2$ sont les vitesses angulaires des roues 1 et 2, z_1, z'_1, z''_1, z'''_1 et z_2, z'_2, z''_2, z'''_2 , les nombres de dents des secteurs. Les rayons des secteurs sont liés aux angles $\varphi_1, \varphi'_1, \varphi''_1, \varphi'''_1$ et $\varphi_2, \varphi'_2, \varphi''_2, \varphi'''_2$ par les conditions

$$r_1 = \frac{a\varphi_2}{\varphi_1 + \varphi_2}, \quad r'_1 = \frac{a\varphi'_2}{\varphi'_1 + \varphi'_2}, \quad r''_1 = \frac{a\varphi''_2}{\varphi''_1 + \varphi''_2},$$

$$r'''_1 = \frac{a\varphi'''_2}{\varphi'''_1 + \varphi'''_2}, \quad r_2 = \frac{a\varphi_1}{\varphi_1 + \varphi_2}, \quad r'_2 = \frac{a\varphi'_1}{\varphi'_1 + \varphi'_2},$$

$$r''_2 = \frac{a\varphi''_1}{\varphi''_1 + \varphi''_2} \quad \text{et} \quad r'''_2 = \frac{a\varphi'''_1}{\varphi'''_1 + \varphi'''_2},$$

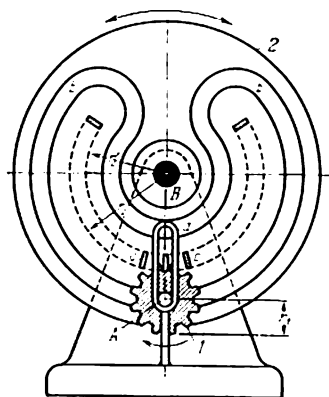
où a est l'entr'axe. Pour éviter les chocs au moment de passage de l'engrènement d'une paire de secteurs dentés à l'autre, on a muni les secteurs de profils conjugués supplémentaires engendrés suivant les courbes spéciales.



Le tourillon A de la roue 1 glisse dans un guidage rectiligne fixe a. La roue 2 à rainure profilée b tourne autour d'un axe fixe B. Les dents de la roue 2 sont disposées le long de la rainure b. Lorsque la roue 1 tourne et l'axe A est à sa position inférieure dans le guidage a, les roues 1 et 2 engrenent intérieurement et les sens de rotation de ces roues coïncident. Lorsque l'axe A est à sa position supérieure dans le guidage a, les roues 1 et 2 engrenent extérieurement et les sens de rotation de ces roues sont inverses. De ce fait la roue 2 effectuera des rotations incomplètes dans les sens opposés, ne marquant des arrêts qu'à ses positions limites. Lorsque la rainure b glissera sur le tourillon A par sa partie extérieure, la rotation de la roue 2

s'effectuera à une vitesse angulaire $\omega_2 = \omega_1 \frac{r_1}{r_2}$, et lorsque la rainure b glissera sur le tourillon A par sa partie intérieure, elle s'effectuera à une vitesse angulaire $\omega'_2 = \omega_1 \frac{r_1}{r'_2}$, où r_1 est le rayon du cercle

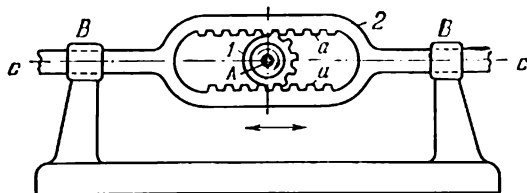
primitif de la roue 1, r_2 et r'_2 , les rayons des cercles primitifs des parties de la roue 2 à dentures intérieure et extérieure, et ω_1 , la vitesse angulaire de la roue 1.



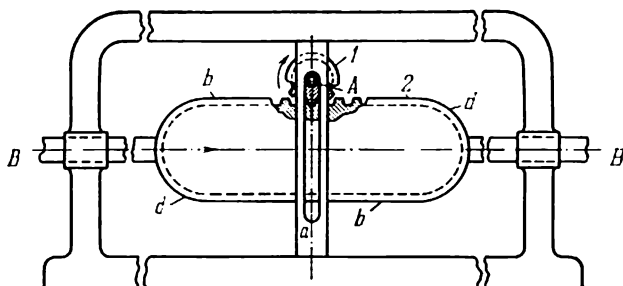
Le tourillon *A* de la roue 1 glisse dans un guidage rectiligne fixe *a*. La roue 2 à rainure profilée *b* tourne autour d'un axe fixe *B*. Les dents de la roue 2 sont disposées à l'intérieur de la rainure *b*. Lorsque la roue 1 tourne et le tourillon *A* est à sa position inférieure dans le guidage *a*, les roues 1 et 2 engrènent extérieurement et leur rotation s'effectue en sens inverse. Lorsque l'axe *A* est à sa position supérieure dans le guidage *a*, les roues 1 et 2 engrènent intérieurement et leur rotation s'effectue dans le même sens. La roue 2 effectuera donc des rotations incomplètes dans les sens inverses, ne marquant des arrêts qu'à ses positions limites. Lorsque la rainure *b* glissera sur le tourillon *A* par sa partie extérieure, la rotation de la roue 2 s'effectuera à une vitesse angulaire $\omega_2 = \omega_1 \frac{r_1}{r_2}$, et lorsque la rainure glissera sur le tourillon *A* par sa partie intérieure, elle s'effectuera à une vitesse angulaire

$$\omega_2' = \omega_1 \frac{r_1}{r_2'} ,$$

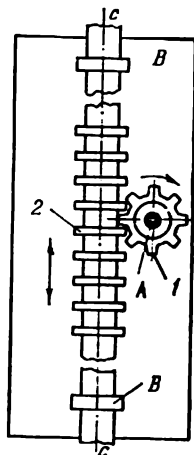
où r_1 est le rayon du cercle primitif de la roue 1, r_2 et r_2' , les rayons des cercles primitifs des parties de la roue 2 à dentures intérieure et extérieure, et ω_1 , la vitesse angulaire de la roue 1.



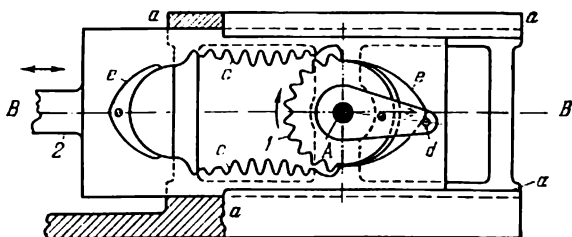
La roue dentée 1 tourne autour d'un axe fixe A. L'élément 2, se déplaçant d'un mouvement de translation le long d'un axe $c - c$ dans un guidage fixe B — B, présente une crémaillère à double face a. Les dents de la roue 1 sont placées sur un côté du cercle primitif. Lorsque la roue 1 tourne de façon continue dans le même sens, ses dents engrenent alternativement avec les dents de la crémaillère a, en imprimant à l'élément 2 un mouvement de translation à droite et à gauche. L'élément 2 marque des arrêts à ses positions limites.



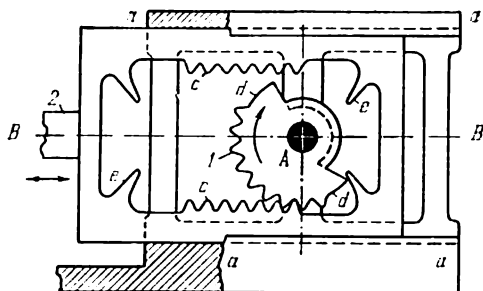
La roue dentée 1 tourne autour d'un axe fixe A. L'arbre de la roue 1 coulisce dans une rainure fixe a. La crémaillère profilée 2, animée d'un mouvement de translation dans un guidage fixe B — B, comporte des parties de trajet rectilignes b et circulaires d. Lorsque la roue 1 tourne de façon continue dans le même sens, ses dents engrènent avec les différentes parties de la crémaillère profilée 2 en communiquant à cette dernière un mouvement de translation à droite et à gauche. Les parties circulaires d de la crémaillère profilée assurent un passage plus régulier de l'engrenage de la partie supérieure b de la crémaillère à sa partie inférieure b.



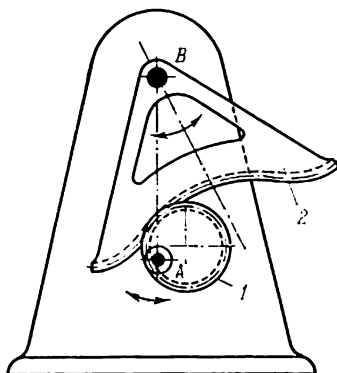
La roue dentée 1 tourne autour d'un axe fixe A. La crémaillère 2 a la forme d'un cylindre comportant des dents circulaires. Lorsque la roue 1 est en rotation, la crémaillère 2 effectue un mouvement de translation le long de l'axe $c - c$ dans un guidage cylindrique $B - B$. Pendant le fonctionnement du mécanisme, la rotation de la crémaillère 2 autour de l'axe $c - c$ est possible.



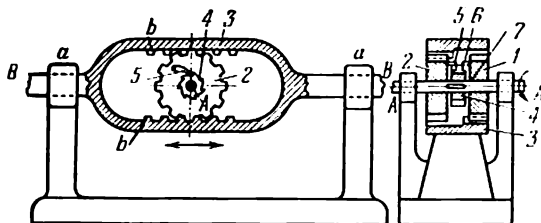
La roue dentée 1 tourne autour d'un axe fixe A. L'élément 2 effectue un mouvement de translation le long de l'axe B — B dans un guidage fixe a — a. Les dents de la roue 1 sont placées sur une moitié du cercle primitif. L'élément 2 comporte une crémaillère à double face c. Lorsque la roue 1 tourne de façon continue dans le même sens, ses dents engrènent alternativement avec les dents de la crémaillère c, en communiquant à l'élément 2 un mouvement de translation à droite et à gauche. Pour éviter les chocs chaque fois que le mouvement de l'élément 2 change de sens, on a pourvu la roue 1 d'un doigt d qui coulisse sur les cames profilées e de l'élément 2.



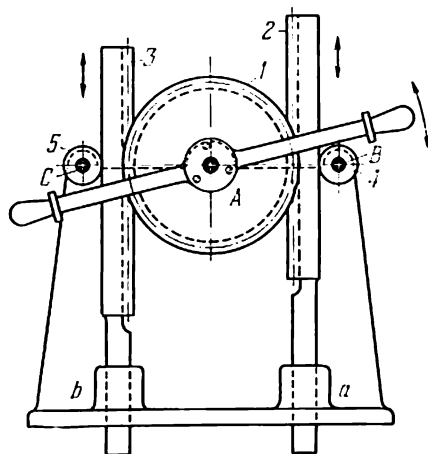
La roue dentée 1 tourne autour d'un axe fixe A. L'élément 2 effectue un mouvement de translation le long de l'axe B — B dans un guidage fixe a — a'. Les dents de la roue 1 sont placées sur une partie du cercle primitif. L'élément 2 comporte une crémaillère à double face c. Lorsque la roue 1 tourne de façon continue dans le même sens, ses dents engrènent alternativement avec les dents de la crémaillère c et communiquent à l'élément 2 un mouvement de translation à droite et à gauche. Pour éviter les chocs chaque fois que le mouvement de l'élément 2 change de sens, on a muni la roue 1 de doigts profilés d qui entrent en prise avec les dents de la crémaillère e.



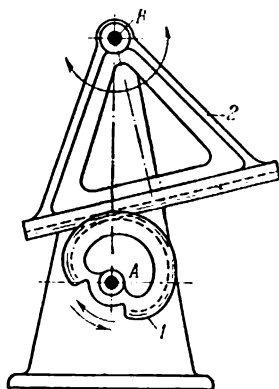
La roue ronde 1, mobile autour d'un axe fixe A disposé de façon excentrique, entre en prise avec une crémaillère curviligne 2 tournant autour d'un axe fixe B. Lorsque la roue 1 tourne dans des sens opposés, la crémaillère 2 reçoit un mouvement oscillatoire autour de l'axe B.



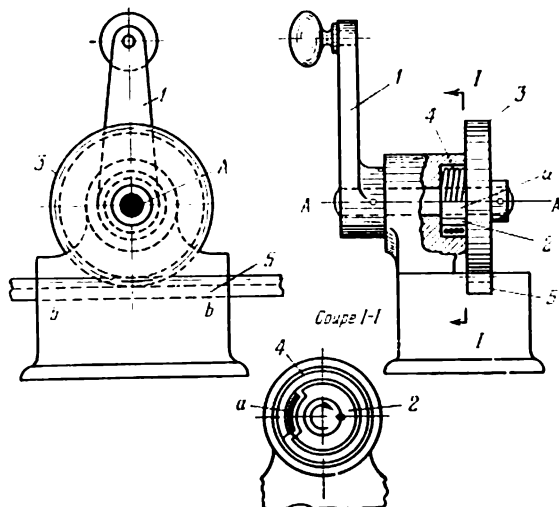
Les roues dentées 1 et 2 tournent autour d'un axe fixe A. L'élément 3 effectue un mouvement de translation le long de l'axe B dans un guidage fixe $a - a$. Les roues 1 et 2 tournent librement sur l'arbre 7, tandis que la roue à rochet 4 est rendue solidaire de l'arbre 7. Les cliquets 6 et 5 tournent librement sur les roues 1 et 2 et entrent en prise avec la roue à rochet 4. Les cliquets sont disposés de façon telle que pendant le mouvement alternatif de l'élément 3 les côtés des crémaillères de cet élément entrent alternativement en prise avec les roues 1 et 2 et transmettent le mouvement à la roue à rochet 4 et à l'arbre 7 par l'intermédiaire des cliquets 6 et 5, faisant tourner cet arbre dans le même sens.



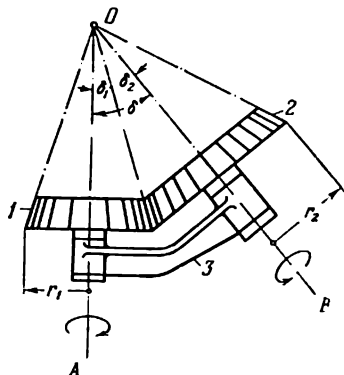
La roue dentée 1, mobile autour d'un axe fixe A, entre en prise avec deux crémaillères parallèles 2 et 3 animées d'un mouvement de translation dans des guidages fixes a et b. Lorsque la roue 1 est en rotation, les crémaillères reçoivent un mouvement alternatif dans les sens opposés à vitesses égales. Les crémaillères 2 et 3 glissent sur les rouleaux 4 et 5 mobiles autour des axes fixes B et C.



La roue non ronde 1, mobile autour d'un axe fixe A, entre en prise avec la crémaillère 2, mobile autour d'un axe fixe B. Lorsque la roue 1 tourne dans les sens opposés, la crémaillère 2 effectue un mouvement de balancement autour de l'axe B.



La manivelle 1 et la roue dentée 3 tournent autour d'un axe fixe A. La crémaillère 5 effectue un mouvement de translation dans un guidage fixe $b - b$. Lorsque la manivelle 1 tourne dans un sens quelconque, l'encoche du disque 2 subissant la résistance de la roue 3 provoque la torsion du ressort 4. Le diamètre du ressort diminue et la rotation de la manivelle est transmise à la roue 3 qui met en mouvement la crémaillère 5. Lorsque la manivelle tourne en sens opposé, le ressort est tordu par l'autre côté de l'encoche du disque et son diamètre diminue également. Lorsqu'on applique un effort à la crémaillère 5 et qu'il y a résistance sur la manivelle 1, le ressort 4 se détend et vient se serrer contre le corps du palier. La force de frottement qui survient alors empêche de transmettre le mouvement de la crémaillère à la manivelle.

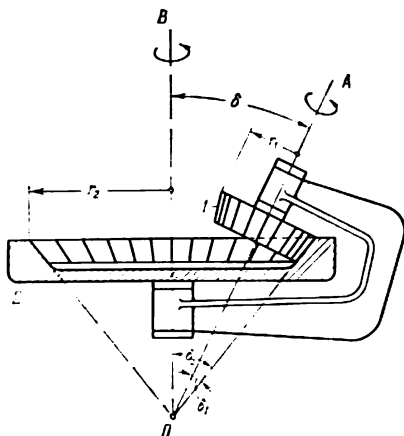


Les roues 1 et 2 tournent en sens opposé autour des axes fixes OA et OB qui se coupent au point O . Compte tenu des signes des vitesses angulaires ω_1 et ω_2 des roues 1 et 2, le rapport de transmission i_{12} du mécanisme est égal à

$$i_{12} = \frac{\omega_1}{\omega_2} = -\frac{r_2}{r_1} = -\frac{z_2}{z_1} = -\frac{\sin \delta_2}{\sin \delta_1} =$$

$$= -\frac{\sin \delta - \cos \delta \operatorname{tg} \delta_1}{\operatorname{tg} \delta_1} = -\frac{\operatorname{tg} \delta_2}{\sin \delta - \cos \delta \operatorname{tg} \delta_2},$$

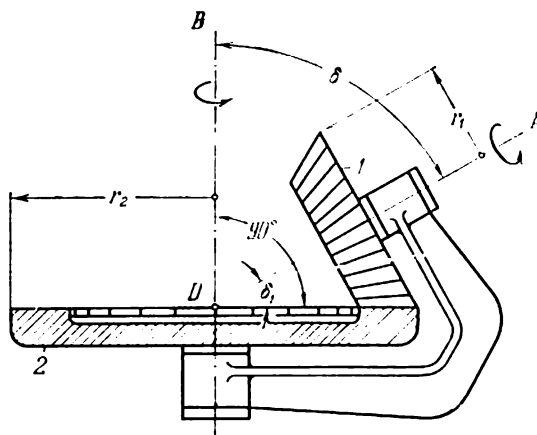
où r_1 et r_2 sont les rayons des cercles osculateurs des cônes primitifs des roues 1 et 2, z_1 et z_2 , les nombres de dents des roues 1 et 2, δ_1 et δ_2 , les moitiés des angles d'ouverture des cônes primitifs des roues 1 et 2 et δ , l'angle formé par les axes OA et OB . Si l'angle $\delta = \delta_1 + \delta_2 = 90^\circ$, le rapport de transmission i_{12} est égal à $i_{12} = -\operatorname{tg} \delta_2 = -\operatorname{cotg} \delta_1$.



Les roues 1 et 2 tournent dans le même sens autour des axes fixes OA et OB qui se coupent au point O . Compte tenu des signes des vitesses angulaires ω_1 et ω_2 des roues 1 et 2, le rapport de transmission i_{12} du mécanisme est égal à

$$i_{12} = \frac{\omega_1}{\omega_2} = \frac{r_2}{r_1} = \frac{z_2}{z_1} = \frac{\sin \delta_2}{\sin \delta_1} = \frac{\cos \delta \operatorname{tg} \delta_1 + \sin \delta}{\operatorname{tg} \delta_1} = \frac{\operatorname{tg} \delta_2}{\cos \delta \operatorname{tg} \delta_2 - \sin \delta},$$

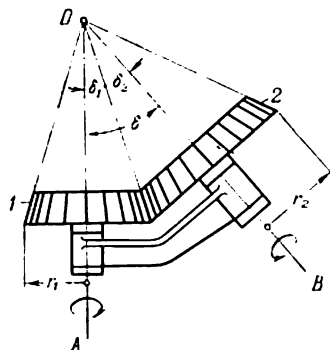
où r_1 et r_2 sont les rayons des cercles osculateurs des cônes primitifs des roues 1 et 2, z_1 et z_2 , les nombres de dents des roues 1 et 2, δ_1 et δ_2 , les moitiés des angles d'ouverture des cônes primitifs des roues 1 et 2 et δ , l'angle formé par les axes OA et OB .



La roue 1 tourne autour d'un axe fixe OA . La roue 2, qui se présente sous la forme d'une crémaillère ronde, tourne autour d'un axe fixe OB . Les axes OA et OB se coupent en O . Le rapport de transmission i_{12} du mécanisme est égal à

$$i_{12} = \frac{\omega_1}{\omega_2} = \frac{r_2}{r_1} = \frac{z_2}{z_1} = \frac{1}{\sin \delta_1} = \frac{1}{\cos \delta},$$

où r_1 et r_2 sont les rayons des cercles osculateurs du cône primitif de la roue 1 et de la crémaillère ronde 2, z_1 et z_2 , les nombres de dents des roues 1 et 2, δ_1 , la moitié de l'angle d'ouverture du cône primitif de la roue 1 et δ , l'angle formé par les axes OA et OB .

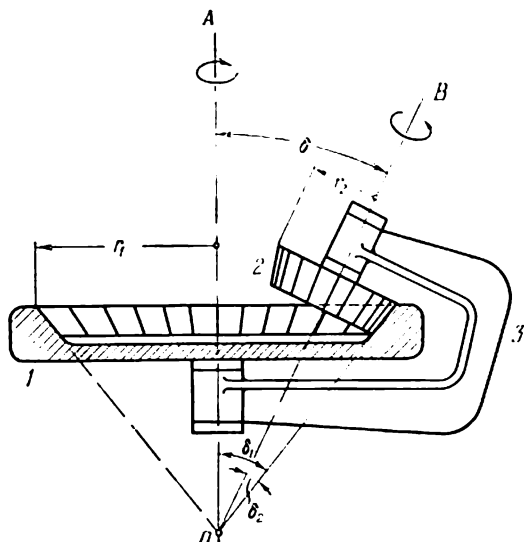


La roue 1 est rendue solidaire du montant. La roue 2 tourne autour de l'axe OB du porte-satellites 3, mobile autour d'un axe fixe OA . Les axes OA et OB se coupent en O . Compte tenu des signes des vitesses angulaires ω_1 et ω_2 des roues 1 et 2, le rapport de transmission i_{23} du mécanisme est égal à

$$i_{23} = \frac{\omega_2}{\omega_3} = 1 + \frac{r_1}{r_2} = 1 + \frac{z_1}{z_2} = 1 + \frac{\sin \delta_1}{\sin \delta_2},$$

où r_1 et r_2 sont les rayons des cercles osculateurs des cônes primitifs des roues 1 et 2, z_1 et z_2 , les nombres de dents des roues 1 et 2, δ_1 et δ_2 , les moitiés des angles d'ouverture des cônes primitifs des roues 1 et 2 et δ , l'angle formé par les axes OA et OB . Si l'angle δ est égal à $\delta = \delta_1 + \delta_2 = 90^\circ$, le rapport de transmission i_{23} est égal à

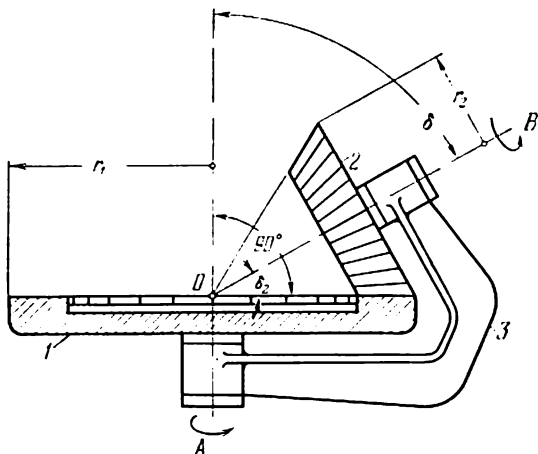
$$i_{23} = 1 + \cotg \delta_2 = 1 + \tg \delta_1.$$



La roue 1 est rendue solidaire du montant. La roue 2 tourne autour de l'axe OB du porte-satellites 3, mobile autour d'un axe fixe OA . Les axes OA et OB se coupent en O . Compte tenu des signes des vitesses angulaires ω_1 et ω_2 des roues 1 et 2, le rapport de transmission i_{23} du mécanisme est égal à

$$i_{23} = \frac{\omega_2}{\omega_3} = 1 - \frac{r_1}{r_2} = 1 - \frac{z_1}{z_2} = 1 - \frac{\sin \delta_1}{\sin \delta_2},$$

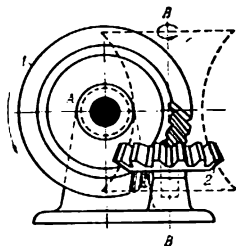
où r_1 et r_2 sont les rayons des cercles osculateurs des cônes primitifs des roues 1 et 2, z_1 et z_2 , les nombres de dents des roues 1 et 2 et δ_1 et δ_2 , les moitiés des angles d'ouverture des cônes primitifs des roues 1 et 2.



La roue 1, se présentant sous la forme d'une crémaillère ronde, est rendue solidaire du montant. La roue 2 tourne autour de l'axe OB du porte-satellites 3, mobile autour d'un axe fixe OA . Les axes OA et OB se coupent en O . Le rapport de transmission i_{23} du mécanisme est égal à

$$i_{23} = \frac{\omega_2}{\omega_3} = 1 - \frac{r_1}{r_2} = 1 - \frac{z_1}{z_2} = 1 - \frac{1}{\sin \delta_2} = 1 - \frac{1}{\cos \delta},$$

où r_1 et r_2 sont les rayons des cercles osculateurs du cône primitif de la crémaillère ronde 1 et de la roue 2, z_1 et z_2 , les nombres de dents de la crémaillère 1 et de la roue 2, δ_2 , la moitié de l'angle d'ouverture du cône primitif de la roue 2 et δ , l'angle formé par les axes OA et OB .



Les roues 1 et 2 tournent autour des axes fixes A et B — B qui se coupent à un angle δ . Les axoïdes primitives des roues sont des hyperboloïdes de révolution ronds à une nappe; les rayons des sections de leurs gorges sont égaux respectivement à r_1 et r_2 . Les dents des roues 1 et 2 sont placées sur certaines parties conjuguées des hyperboloïdes. Compte tenu de signes des vitesses angulaires ω_1 et ω_2 des roues 1 et 2, le rapport de transmission i_{12} est égal à

$$i_{12} = \frac{\omega_1}{\omega_2} = - \frac{r_2 \cos \delta_2}{r_1 \cos \delta_1},$$

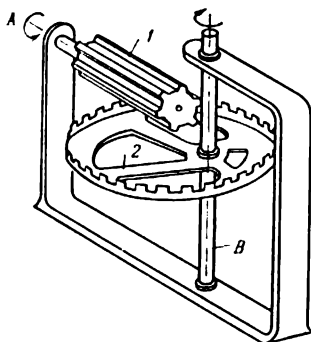
où δ_1 et δ_2 sont les angles formés par les axes A et B — B avec la droite suivant laquelle s'opère le contact entre les hyperboloïdes primitifs. La somme des rayons r_1 et r_2 est égale à

$$r_1 + r_2 = a,$$

où a est la plus courte distance entre les axes A et B — B. Si l'angle $\delta = 90^\circ$, le rapport de transmission i_{12} est égal à

$$i_{12} = - \frac{r_2}{r_1} \operatorname{tg} \delta_1.$$

Si on remplace de façon approchée les parties des hyperboloïdes primitifs constituant la gorge par des cylindres ronds, on obtient un mécanisme de roues hélicoïdales, et si on remplace les parties des hyperboloïdes primitifs éloignées de la gorge par des cônes, on obtient un mécanisme de roues dentées hypoloïdes.



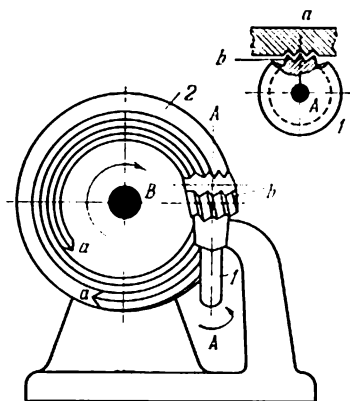
La roue ronde 1, mobile autour d'un axe fixe A, entre en prise avec la roue ronde 2, mobile autour d'un axe fixe B. Les axes A et B se coupent à un angle de 90° . La roue 2 est fixée de façon excentrique par rapport à son axe géométrique. Compte tenu des signes des vitesses angulaires ω_1 et ω_2 des roues 1 et 2, le rapport de transmission moyen du mécanisme est égal à

$$i_{12} = \frac{\omega_1}{\omega_2} = -\frac{r_2}{r_1},$$

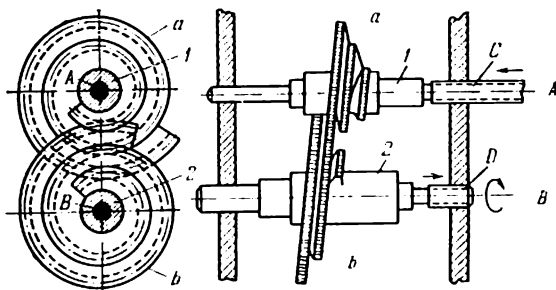
où r_1 et r_2 sont les rayons des cercles primitifs des roues 1 et 2. Le rapport de transmission changera dans les limites

$$\text{de } i_{\min} = \frac{r_2 - e}{r_1} \quad \text{à} \quad i_{\max} = \frac{r_2 + e}{r_1},$$

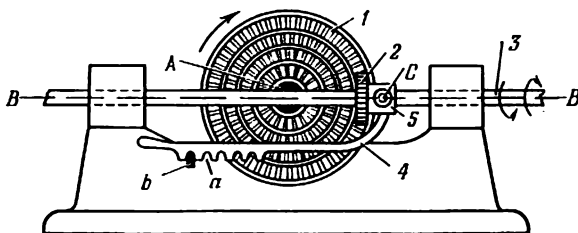
où e est l'excentricité de la roue 2.



La roue hélicoïdale 1 et la crémaillère ronde 2 tournent autour des axes fixes A et B qui se coupent et sont perpendiculaires entre eux. La roue 1 possède des dents hélicoïdales b et la crémaillère ronde 2 comporte une rainure spiroïdale a. Le mouvement de rotation continue de la roue menante 1 se transforme en mouvement de rotation continue de la crémaillère ronde menée 2.

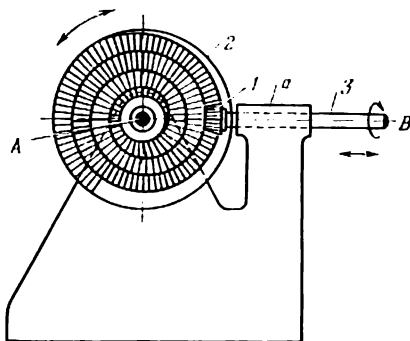


L'élément 1, mobile autour d'un axe fixe *A*, forme un couple hélicoïdal *C* avec le montant. La roue dentée à volute *a*, réalisée en forme de spirale tridimensionnelle, est rigidement liée à l'élément 1. La roue *a* entre en prise avec la roue à volute *b*, solidaire de l'élément 2, qui tourne autour d'un axe fixe *B* et forme un couple hélicoïdal *D* avec le montant. Lorsque l'élément 1 est en mouvement uniforme, l'élément 2 reçoit un mouvement non uniforme.

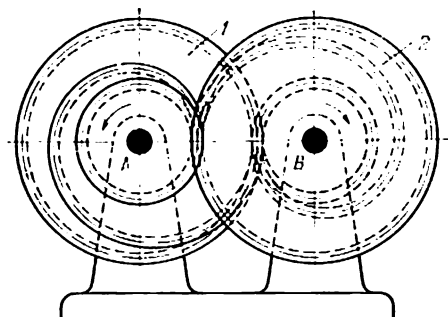


Les roues 1 et 2 tournent autour des axes fixes A et B — B. La roue 1 a la forme d'un disque comportant quatre ceintures munies de dents. La roue 2 est rendue solidaire du coulisseau 5 glissant le long de l'arbre 3. En déplaçant le coulisseau 5 le long de l'arbre 3, on peut amener la roue 2 en prise avec les différentes ceintures dentées de la roue 1. Pour une vitesse angulaire constante de la roue 1, la roue 2 peut avoir quatre vitesses angulaires différentes. Lorsque la roue 2 entre en prise à droite du point A, l'arbre 3 tourne dans un sens, et lorsqu'elle entre en prise à gauche du point A, l'arbre 3 tourne dans le sens opposé.

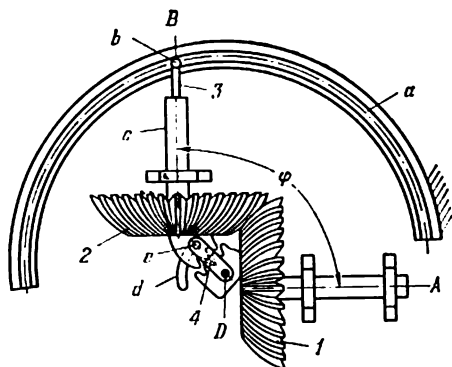
Le déplacement du coulisseau 5 s'opère à l'aide du levier 4 qui forme un couple de rotation C avec le coulisseau 5. Les creux a du levier 4 et le dé b du montant permettent de réaliser l'engrènement de la roue 2 avec toute ceinture dentée de la roue 1.



La roue menante 2, tournant autour d'un axe fixe A, possède des dents coniques disposées suivant une spirale logarithmique. La roue conique menée 1, fixée rigidement sur un arbre 3, tourne autour d'un axe géométrique fixe B, en effectuant un mouvement de translation le long de l'axe B dans un guidage a. Lorsque la roue 2 fait un mouvement de rotation alternatif uniforme, l'arbre 3 reçoit un mouvement hélicoïdal à vitesse constante le long de l'axe B.



Les cônes tronqués 1 et 2, tournant autour des axes fixes *A* et *B* portent les dents dont les lignes axiales, projetées sur le plan du dessin, ont la forme de spirales logarithmiques identiques. Lorsque le cône 1 tourne dans le sens opposé à celui des aiguilles d'une montre, la vitesse angulaire du cône 2 diminue progressivement.



La roue dentée 1, dont les dents sont disposées sur une superficie sphérique, tourne autour d'un axe fixe A et entre en prise avec la roue 2 rigoureusement identique, mobile autour d'un axe B. Les axes A et B se coupent à un angle φ dont la valeur dépend de la position du doigt b de l'élément 3 dans un guidage circulaire fixe a. L'élément 3 coulisse dans la douille c de la roue 2. Le contact entre les dents des roues, ainsi que la position requise de la roue 2 par rapport à la roue 1 s'obtiennent à l'aide du levier 4, mobile autour d'un axe fixe D, dont le doigt e coulisse dans un guidage circulaire fixe d. L'angle φ peut aussi être varié pendant le mouvement.

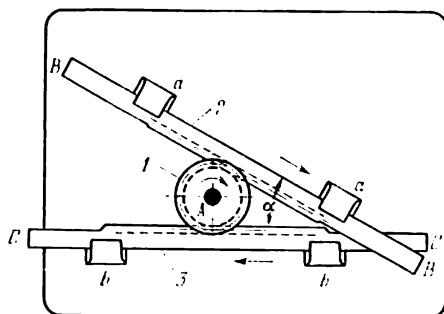
2. Mécanismes à quatre éléments d'usage général (57-64)

57

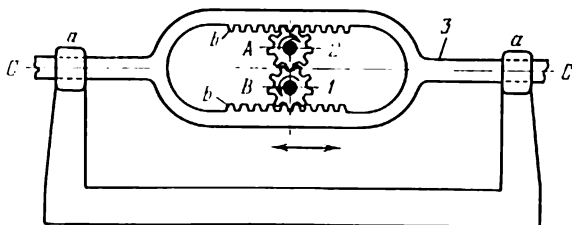
**MÉCANISME DENTE À QUATRE ÉLÉMENTS
POUR ENTRAÎNEMENT
DE DEUX CRÉMAILLÈRES NON PARALLÈLES**

DS

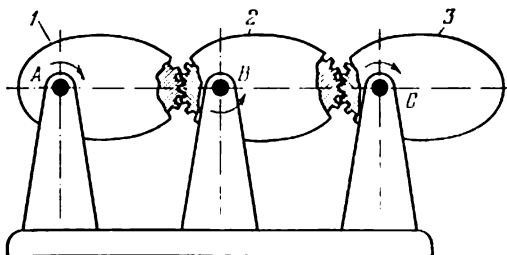
Q



La roue dentée 1, mobile autour d'un axe fixe A, est en prise avec deux crémaillères 2 et 3 animées d'un mouvement de translation dans les guidages fixes a — a et b — b. Les axes des crémaillères C et B forment un angle constant α . Lorsque la roue 1 tourne, les crémaillères se déplacent d'un mouvement de translation à vitesses égales et, par conséquent, leurs déplacements suivant les axes B — B et C — C sont égaux.



Les roues dentées 1 et 2 tournent autour des axes fixes B et A. L'élément 3 effectue un mouvement de translation le long d'un axe C — C dans une glissière a — a. Les roues 1 et 2, qui présentent le même nombre de dents, engrenent l'une avec l'autre et avec les côtés supérieur et inférieur de l'élément 3. Lorsque la roue 1 tourne dans le sens indiqué par la flèche, l'élément 3 se déplace vers la droite. Lorsqu'on change le sens de rotation de la roue 1, l'élément 3 se déplace vers la gauche.



Trois roues elliptiques identiques 1, 2 et 3 tournent autour des axes fixes A , B et C . Le rapport de transmission i_{12} des roues 1 et 2 est égal à

$$i_{12} = \frac{1 + 2e \cos \varphi_1 + e^2}{1 - e^2}.$$

Le rapport de transmission i_{23} des roues 2 et 3 est égal à

$$i_{23} = \frac{1 + 2e \cos \varphi_2 + e^2}{1 - e^2},$$

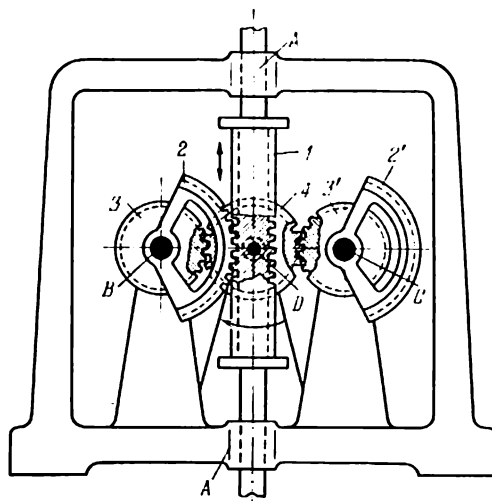
où e est l'excentricité des ellipses telle que $e = \frac{c}{AB} = \frac{c}{BC}$; c , la distance entre les foyers des ellipses; φ_1 , φ_2 et φ_3 , les angles de rotation des roues 1, 2 et 3 liés par les conditions

$$\varphi_2 = \arcsin \frac{1 - e^2}{1 + 2e \cos \varphi_1 + e^2} \sin \varphi_1$$

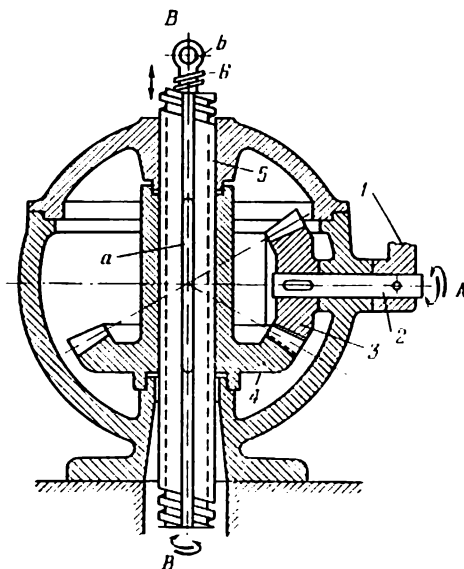
et

$$\varphi_3 = \arcsin \frac{1 - e^2}{1 + 2e \cos \varphi_2 + e^2} \sin \varphi_2.$$

Les sens de rotation des roues 1 et 3 coïncident.

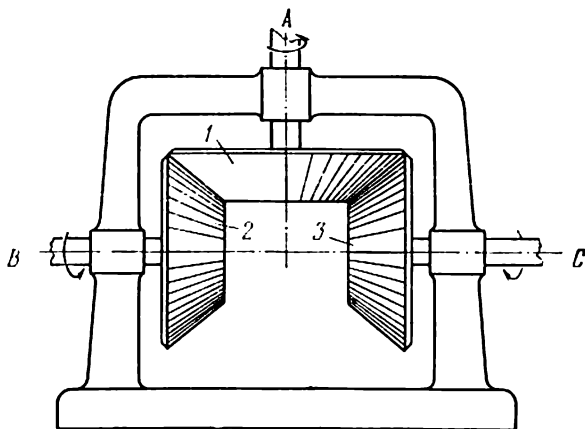


La crémaillère 1 est animée d'un mouvement alternatif dans une glissière fixe A — A. Les secteurs dentés à levier 2 et 2' tournent autour des axes fixes B et C. Les secteurs 2 et 2' sont rigidement reliés à deux roues identiques 3 et 3' qui entrent en prise avec la roue dentée 4, mobile autour d'un axe fixe D.

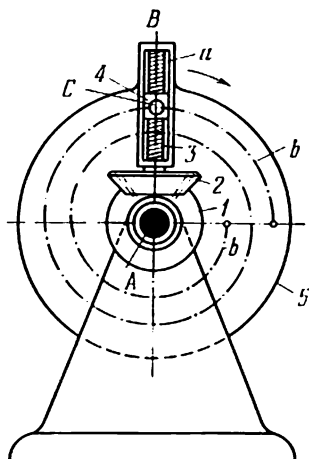


Les roues coniques 3 et 4 tournent autour des axes fixes A et B.

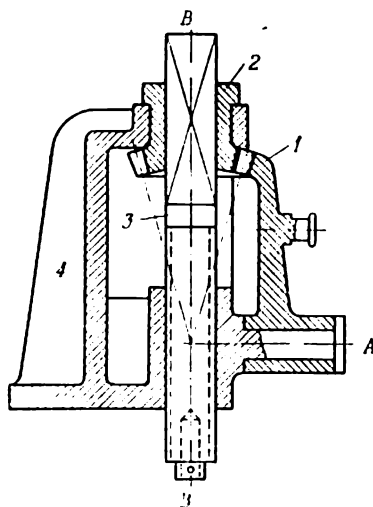
La rotation de la manivelle 1 est transmise par l'intermédiaire de l'arbre 2 et des roues coniques 3 et 4 à la vis 5 qui effectue un mouvement hélicoïdal. La roue 4 est fixé à l'aide d'une clavette coulissante a. La vis 6, constituant un couple hélicoïdal avec la vis 5, possède un filet renversé et est empêché de tourner par un élément (non figuré sur le dessin) qui est relié à l'anneau b, avec lequel il effectue un mouvement de translation.



La roue menante 1, mobile autour d'un axe fixe A et portant les dents sur une moitié de sa surface, transmet un mouvement de rotation en sens opposés avec des arrêts aux roues menées 2 et 3 tournant autour des axes fixes B et C.



La roue conique mobile 2 roule sur une roue conique fixe 1. La roue 2 tourne autour d'un axe *B* et avec l'élément 5 elle tourne autour d'un axe fixe *A*. La roue 2 est rendue solidaire de la vis 3 qui forme un couple hélicoïdal avec le coulisseau 4. Ce dernier coulisse dans les guides *a* de l'élément 5. Lorsque l'élément 5 tourne autour de l'axe *A*, le point *C* de l'élément 4 décrit une partie de la spirale d'Archimède *b*.



Le segment denté conique 1, tournant autour d'un axe fixe A, est en prise avec la roue conique 2 mobile autour d'un axe fixe B — B. L'élément 3 effectue un mouvement hélicoïdal le long et autour de l'axe B — B. Pendant le mouvement oscillatoire du segment 1, la roue 2, tournant autour de l'axe B — B, provoque par son mouvement hélicoïdal le déplacement de l'élément 3 par rapport au montant 4.

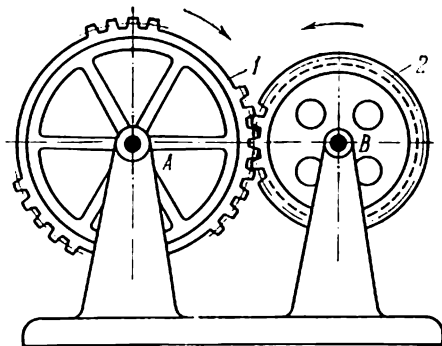
3. Mécanismes avec arrêts (65-91)

65

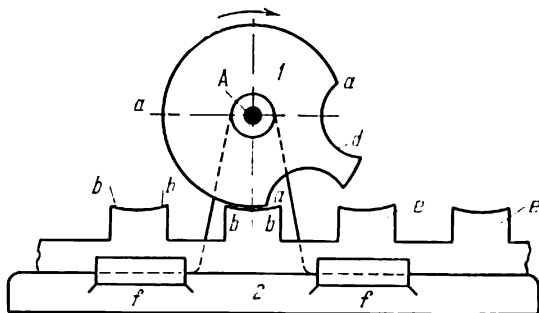
MÉCANISME DENTÉ À TROIS ÉLÉMENTS AVEC ARRÊTS DE LA ROUE MENÉE

DS

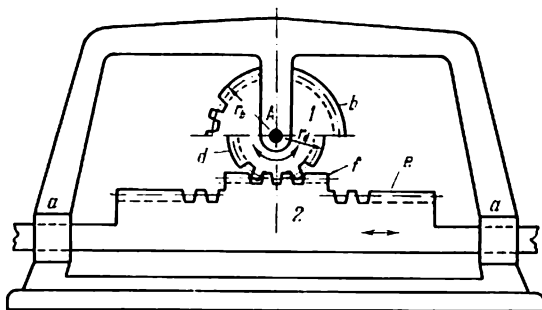
Ar



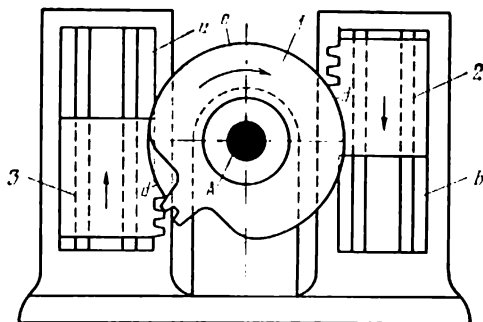
Les roues 1 et 2 tournent autour des axes fixes A et B. La roue 1 comporte des dents sur certaines parties de sa couronne. Lorsque la roue 1 tourne, la roue menée 2 a différentes périodes de mouvement et de repos. La durée du mouvement et du repos de la roue 2 dépend du nombre des dents présentes par certaines parties de la couronne de la roue 1. Pour empêcher le mouvement spontané de la roue 2 et pour éviter les chocs au moment de l'engrènement des roues 1 et 2, le mécanisme est pourvu d'arcs supplémentaires à profils conjugués décrits suivant des courbes spéciales qui ne sont pas figurées sur le schéma.



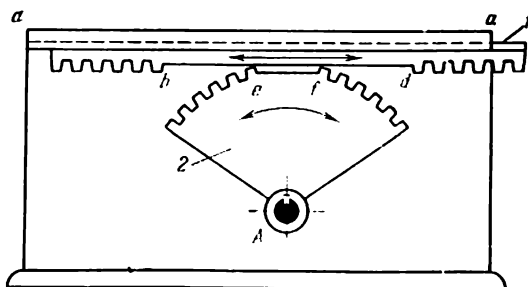
La roue menante 1 portant une dent tourne autour d'un axe fixe A. La crémaillère 2 coulisse dans les glissières fixes $f - f$. Lorsque la roue 1 tourne, la dent d entre successivement en prise avec les dents e de la crémaillère 2, en lui imprimant un mouvement intermittent. On prévient le mouvement de translation spontané de la crémaillère 2 au moyen des arcs de blocage a et b .



La roue dentée 1 tourne autour d'un axe fixe A . La crémaillère 2 se déplace d'un mouvement de translation dans les guides fixes $a - a$. La roue 1 est composée de deux segments dentés b et d aux angles centraux de 180° . La crémaillère 2 est constituée par deux crémaillères e et f . Lorsque la roue 1 est en rotation uniforme, la crémaillère 2 se déplace par saccades, en variant sa vitesse de $v'_2 = \omega_1 r_b$ à $v''_2 = \omega_1 r_d$, où ω_1 est la vitesse angulaire de la roue 1 et r_b et r_d sont les rayons des cercles primitifs des segments b et d .

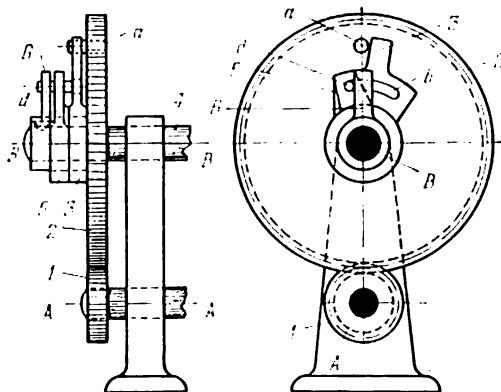


La roue menante 1 comportant deux dents tourne autour d'un axe fixe A. Les crémaillères 2 et 3 sont animées d'un mouvement de translation dans les glissières fixes b et a. Lorsque la roue 1 tourne dans le sens indiqué par la flèche, les crémaillères 2 et 3 reçoivent un mouvement de translation dans les sens opposés avec des arrêts. Le mouvement spontané des crémaillères 2 et 3 est empêché au moyen des arcs de blocage d et e ménagés respectivement sur les crémaillères et la roue.

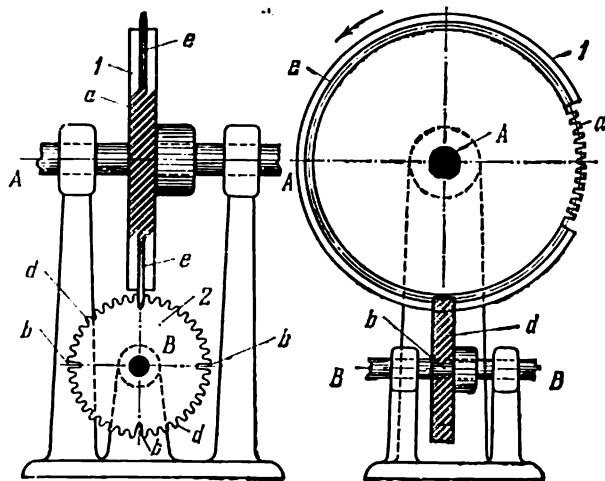


La crémaillère menante *1* est animée d'un mouvement alternatif dans une glissière fixe *a — a*. Le segment denté *2*, mobile autour d'un axe fixe *A*, marque des arrêts pendant le glissement de la partie rectiligne *bd* de la crémaillère sur les dents *e* et *f*.

**MECANISME DENTE À TROIS ÉLÉMENTS
AVEC ÉLÉMENT MENÉ EFFECTUANT
UN MOUVEMENT AVEC RETARD**

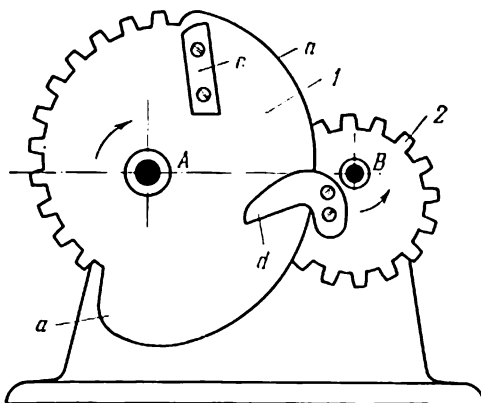


Les roues 1 et 2 tournent autour des axes fixes A et B. La rotation de la roue 1 est transmise à l'arbre 4 avec un certain retard. La roue dentée 2, le secteur 3 et le secteur 5 sont montés librement sur un arbre 4. Le secteur 3 comporte une rainure arquée b. Ces secteurs sont reliés entre eux par le doigt d solidaire du secteur 5. L'élément 6 est rigidement fixé sur l'arbre 4. Lorsque la roue 1 tourne, la roue 2 est mise en mouvement, tandis que l'arbre 4 reste en repos jusqu'au moment où le doigt a fait tourner le secteur 3. En tournant, ce dernier déplace le doigt d jusqu'à ce qu'il touche l'élément 6, après quoi l'arbre 4 se met à tourner.

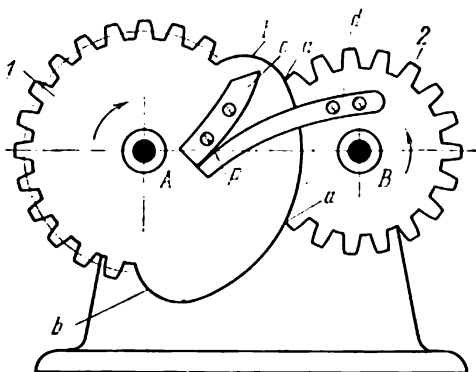


Les roues 1 et 2 tournent autour des axes fixes A et B. Lorsque la roue menante 1 est en mouvement, la roue menée 2 tourne avec des arrêts. La roue 1 comporte des dents hélicoïdales *a* et une ceinture *e*. La roue 2 possède quatre rainures *b* symétriques, entre lesquelles se trouvent les dents hélicoïdales *d*. Le nombre de dents hélicoïdales *a* de la roue menante 1 est égal au nombre de dents hélicoïdales *d* de la roue menée 2, disposées entre deux rainures voisines. Lorsque la roue 1 tourne, la ceinture *e* de la roue 1 entre périodiquement dans les rainures *b* de la roue 2 en provoquant ainsi l'arrêt de cette dernière. Pour une rotation complète, la roue 2 tourne d'un angle de 90° .

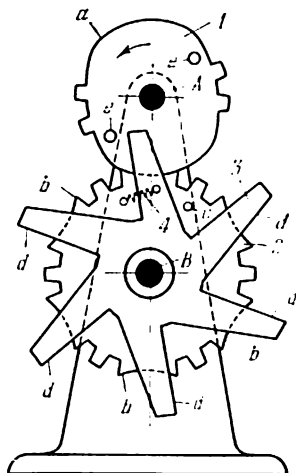
**MÉCANISME DENTÉ À TROIS ÉLÉMENTS
AVEC ARRÊTS DE L'ÉLÉMENT
MENÉ ET LEVIERS ROULANT
AVEC GLISSEMENT**



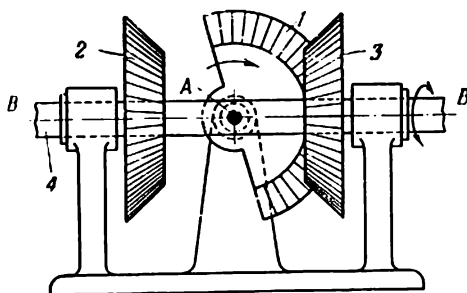
Les roues 1 et 2 tournent autour des axes fixes A et B. Lorsque la roue menante 1 est en mouvement, la roue menée 2 tourne avec des arrêts. L'arc $a - a$ empêche la rotation spontanée de la roue 2 aux moments de repos. Fixés sur les roues 1 et 2, les leviers roulants c et d , qui entrent en contact avant que les dents ne se mettent en prise, assurent un accroissement progressif de la vitesse de la roue menée 2, atténuant par là les chocs qui peuvent se produire au moment de l'engrènement des dents. Le point d'engrènement des leviers c et d ne se trouve sur la ligne des centres AB des roues 1 et 2 qu'au moment initial du contact des leviers. Pendant tout le reste du temps d'engrènement, il se trouve en dehors de la ligne des centres AB . Le mouvement relatif des leviers c et d est suivi d'un glissement.



Les roues 1 et 2 tournent autour des axes fixes A et B. Lorsque la roue menante 1 est en mouvement, la roue menée 2 tourne avec des arrêts. L'arc $a - a$ empêche la rotation spontanée de la roue 2 aux moments de repos. Fixés sur les roues 1 et 2, les leviers roulants c et d entrent en contact avant que les dents ne se mettent en prise et assurent un accroissement progressif de la vitesse de la roue menée 2, atténuant par là les chocs qui peuvent se produire au moment de l'engrènement des dents. Les arcs b de la roue 1 sont décrits par un rayon plus petit que l'arc $a - a$ afin qu'au moment où les profils des leviers c et d entrent en contact la roue 2 puisse tourner librement. Pendant toute la période d'engrènement, le pôle d'engrènement P des leviers c et d se trouve sur la ligne AB qui joint les centres des roues 1 et 2. Le mouvement relatif des leviers c et d s'effectue sans glissement.



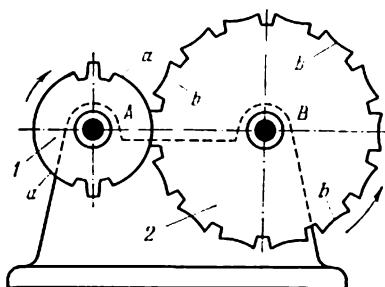
Les roues dentées 1 et 2 tournent autour des axes fixes A et B. Lorsque la roue 1 tourne dans le sens indiqué par la flèche, la roue 2 se déplace avec des arrêts. Les arcs de blocage a et b empêchent la rotation spontanée de la roue 2. Pour diminuer les chocs au moment de l'engrènement des roues 1 et 2, un pignon 3 de rayons d est monté sur l'arbre. Le nombre de rayons de ce pignon est égal au nombre d'arcs de blocage b. Le pignon 3 est relié à la roue 2 par un ressort 4. La rotation du pignon 3 dans le sens des aiguilles d'une montre est limitée par une butée c. Avant l'engrènement des roues 1 et 2, l'un des fuseaux e de la roue 1 entre en contact avec le rayon correspondant et fait tourner le pignon 3 dans le sens des aiguilles d'une montre, en imprimant à la roue 2 une vitesse initiale quelconque et réduisant de cette façon les chocs au moment de l'engrènement des roues 1 et 2.



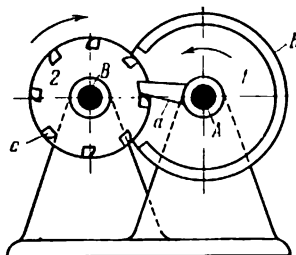
La demi-roue conique *1* tourne autour d'un axe fixe *A*. Les roues coniques *2* et *3*, rigidement montées sur l'arbre *4*, tournent autour d'un axe fixe *B*. La roue *1* entre à tour de rôle en prise avec les roues *2* et *3*, provoquant ainsi la rotation alternative de l'arbre *4*.

**MÉCANISME DENTÉ À TROIS ÉLÉMENTS
AVEC PÉRIODES ÉGALES
DE MOUVEMENT ET DE REPOS
DE L'ÉLÉMENT MENÉ**

DS
Ar



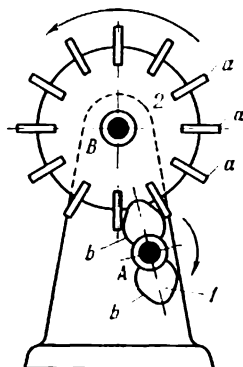
Les roues dentées 1 et 2 tournent autour des axes fixes A et B. Lorsque la roue menante tourne dans le sens indiqué par la flèche, la roue menée 2 tournera avec des arrêts. Les arcs de blocage a et b empêchent la rotation spontanée de la roue 2 au moment de l'arrêt. Etant donné que les dents et les arcs de blocage sont disposés de façon symétrique, la roue 2 a des périodes de mouvement et de repos de durée égale, lorsque la roue 1 est en mouvement uniforme. Pour une rotation complète de la roue 1, la roue 2 a deux périodes de mouvement et deux périodes de repos.



Les roues 1 et 2 tournent autour des axes fixes A et B. La roue 2 possède des dents *c* disposées sur sa surface de hout. La roue 1 comporte un doigt *a* et un anneau de blocage *b*. Lorsque la roue menante 1 tourne, la roue menée 2 ne tourne qu'au moment où la dent *a* se trouve en prise avec la dent *c*. Après le désengrènement des dents *a* et *c* l'anneau de blocage glisse sur la partie intérieure des deux dents voisines *c*, et, par suite, la roue menée marque un arrêt de longue durée. Pour une rotation de la roue 1, la roue 2 tourne d'un angle φ égal à

$$\varphi = \frac{2\pi}{z_2},$$

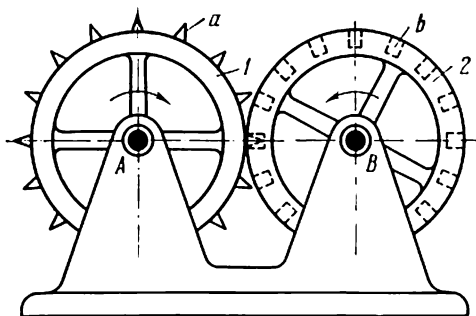
où z_2 est le nombre de dents de la roue 2, qui doit toujours être pair. Le moment où les dents *a* et *c* s'engrènent s'accompagne de chocs.



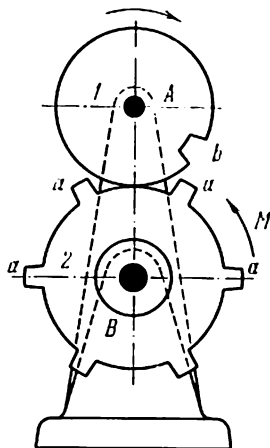
Les roues *1* et *2* tournent autour des axes fixes *A* et *B*. La roue *1* comporte deux dents *b*. La roue *2* a des dents rectilignes *a*. Lorsque la roue menante *1* est en mouvement, la roue menée *2* ne tourne qu'au moment où la dent *b* se trouve en prise avec la dent *a*. Pour une rotation de la roue menante *1*, la roue menée tourne d'un angle φ égal à

$$\varphi = \frac{4\pi}{z_2},$$

où z_2 est le nombre de dents de la roue *2*. Pour une rotation complète, la roue *2* fait douze arrêts. Le moment où les dents *a* et *b* s'engrènent s'accompagne de chocs.



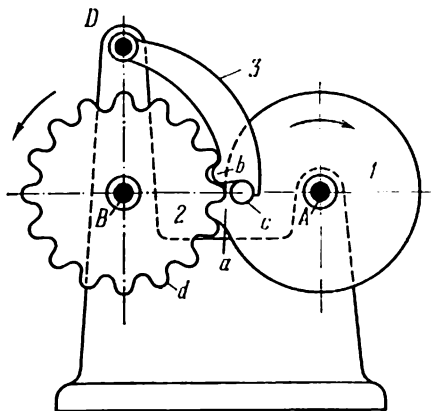
Les roues 1 et 2 tournent autour des axes fixes A et B. La roue 1 comporte des dents a de forme triangulaire. La roue 2 possède des creux b . Le nombre de dents a est égal au nombre de creux b . Le rapport de transmission moyen i_{12} du mécanisme est égal à $i_{12} = -1$. Lorsque la roue menante 1 est en mouvement uniforme, la roue menée 2 effectue un mouvement intermittent accompagné d'arrêts de courte durée.



Les roues 1 et 2 tournent autour des axes fixes A et B. La roue menée 2 subit l'action du moment M de signe constant. La roue 2 comporte des dents a et la roue 1 porte une entaille b . Lorsque la roue menante 1 est en mouvement, la roue menée 2 ne tourne qu'aux moments où les dents a se trouvent en prise avec l'entaille b . Pour une rotation de la roue 1, la roue 2 tourne d'un angle φ égal à

$$\varphi = \frac{2\pi}{z_2},$$

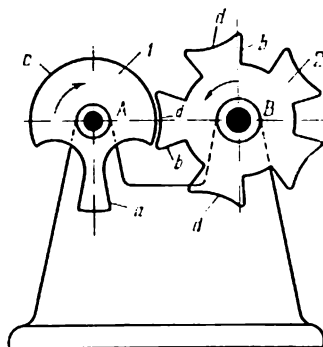
où z_2 est le nombre de dents de la roue 2. Lorsque la roue menante 1 est en mouvement uniforme, la roue menée 2 se déplace d'un mouvement intermittent. Les moments où les dents a et b s'engrènent s'accompagnent de chocs.



Les roues 1 et 2 tournent autour des axes fixes A et B. La roue 1 comporte une dent a. Lorsque la roue menante 1 est en mouvement, la roue menée 2 ne tourne qu'aux moments où la dent a se trouve en prise avec les dents d de la roue 2. Pour une rotation de la roue 1, la roue 2 tourne d'un angle φ égal à

$$\varphi = \frac{2\pi}{z_2},$$

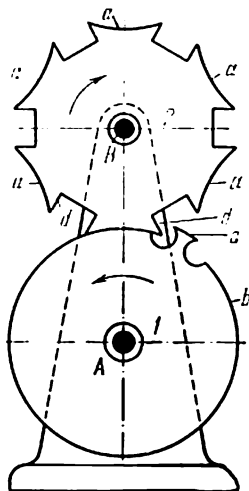
où z_2 est le nombre de dents de la roue 2. Le cliquet 3, mobile autour d'un axe fixe D, s'engage par sa saillie b dans le creux des dents de la roue 2 et empêche de la sorte la rotation spontanée de la roue 2, en la fixant au moment des arrêts. La roue 1 est munie d'un fuseau c qui désengrène le cliquet 3. Les moments où les dents a et d s'engrènent s'accompagnent de chocs.



Les roues 1 et 2 tournent autour des axes fixes A et B. La roue 1 comporte une dent *a*. Lorsque la roue menante 1 est en mouvement, la roue menée 2 ne tourne qu'aux moments où la dent *a* se trouve en prise avec les dents *b* de la roue 2. Pour une rotation complète de la roue 1, la roue 2 tourne d'un angle φ égal à

$$\varphi = \frac{2\pi}{z_2},$$

où z_2 est le nombre de dents de la roue 2. Dans le mécanisme considéré, $\varphi = \frac{2\pi}{5}$. Pour empêcher la rotation spontanée de la roue 2 et pour la fixer aux moments d'arrêts, les roues 1 et 2 sont munies d'arcs de blocage *c* et *d*. Lorsque la roue 1 est en mouvement uniforme, la roue 2 se déplace d'un mouvement intermittent. Les moments où les dents *a* et *b* s'engrènent s'accompagnent de chocs.



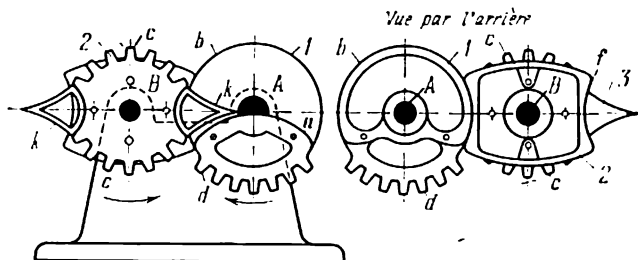
Les roues 1 et 2 tournent autour des axes fixes A et B. La roue 1 comporte une dent *c*. Lorsque la roue menante 1 est en mouvement, la roue menée 2 ne tourne qu'aux moments où la dent *c* se trouve en prise avec les dents *d* de la roue 2. Pour une rotation de la roue 1, la roue 2 tourne d'un angle φ égal à

$$\varphi = \frac{2\pi}{z_2},$$

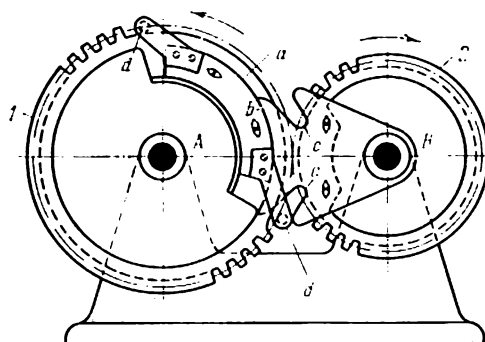
où z_2 est le nombre de dents de la roue 2. Dans le mécanisme considéré, $\varphi = \frac{\pi}{3}$. Pour empêcher la rotation spontanée de la roue 2 et pour la fixer aux moments des arrêts, les roues 1 et 2 sont munies d'arcs de blocage *b* et *a*. Lorsque la roue 1 est en mouvement uniforme, la roue 2 se déplace d'un mouvement intermittent. Les moments où les dents *a* et *b* s'engrènent s'accompagnent de chocs.

**MÉCANISME DENTÉ À TROIS ÉLÉMENTS
AVEC ARRÊTS DE LA ROUE MENÉE
ET ARCS DE TRANSITION
ET DE BLOCAGE**

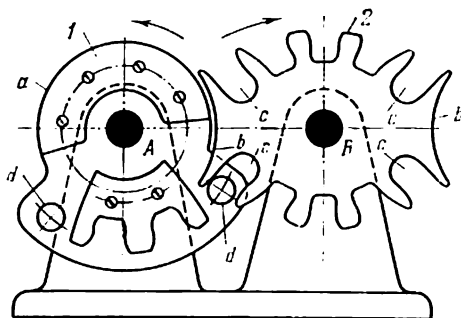
DS
Ar



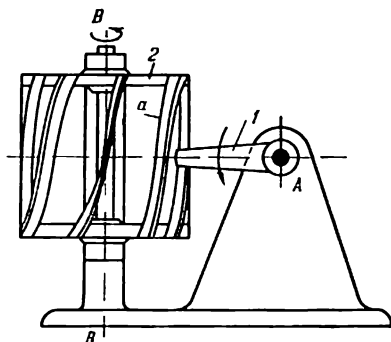
Les roues 1 et 2 tournent autour des axes fixes A et B. La roue 1 possède un secteur denté *d*, et la roue 2, deux secteurs dentés symétriques *c*. Lorsque la roue menante 1 est en mouvement, la roue menée 2 ne tourne qu'aux moments où le secteur *d* est en prise avec les secteurs *c*. Pour une rotation complète de la roue 1, la roue 2 tourne d'un angle $\varphi = 180^\circ$. Pour éviter les chocs au moment où les roues 1 et 2 s'engrènent, ces dernières sont munies d'arcs de transition *a* et *k*, dont les profils sont les parties des centroïdes des roues 1 et 2 en mouvement. Pour empêcher la rotation spontanée de la roue 2 et pour la fixer au moment des arrêts, les roues 1 et 2 sont pourvues d'arcs de blocage *b* et *f*.



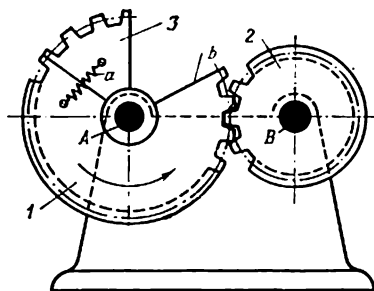
Les roues 1 et 2 tournent autour des axes fixes A et B. La roue menante 1 imprime à la roue menée 2 un mouvement de rotation; cette dernière marque un arrêt de longue durée au cours d'une rotation de la roue. Pour éviter les chocs, la roue 2 s'engrène et se désengrène à l'aide des fuseaux *d* de la roue 1, qui s'engagent dans les creux *c* de la roue 2. Les arcs *a* et *b*, qui bloquent la roue 2, l'empêchent de tourner au moment des arrêts.



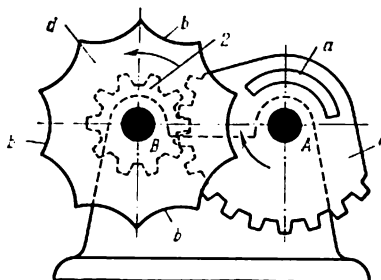
Les roues 1 et 2 tournent autour des axes fixes A et B. La roue menante 1 imprime à la roue menée 2 un mouvement de rotation; cette dernière marque deux arrêts de longue durée au cours d'une rotation de la roue 2. Pour éviter les chocs, la roue 2 s'engrène et se désengrène au moyen des fuseaux *d* de la roue 1, qui s'engagent dans les creux *c* de la roue 2. Les arcs *a* et *b*, qui bloquent la roue 2, l'empêchent de tourner au moment des arrêts.



La manivelle 1 et la roue 2 tournent autour des axes fixes A et B qui se coupent et forment un angle droit. La roue 2 est munie de dents hélicoïdales a. Pendant qu'elle tourne, la manivelle 1 engrène avec les dents a et entraîne la roue 2 qui marque des arrêts de longue durée. Pour une rotation complète de la manivelle 1, la roue 2 tourne d'un angle φ égal à $\varphi = 2\pi/z_2$, où z_2 est le nombre de dents de la roue 2.



Le secteur denté 1 et la roue 2 tournent autour des axes fixes A et B. Lorsque le secteur menant 1 se déplace dans le sens indiqué par la flèche, la roue menée 2 tourne jusqu'à ce que le secteur denté supplémentaire 3, monté sur l'arbre A, entre en prise. Au moment où le secteur 3 engrène avec la roue 2, le ressort a se détend et la roue 2 marque un arrêt qui se prolonge jusqu'à ce que le secteur 3 vienne s'appuyer contre le bord b du secteur 1.



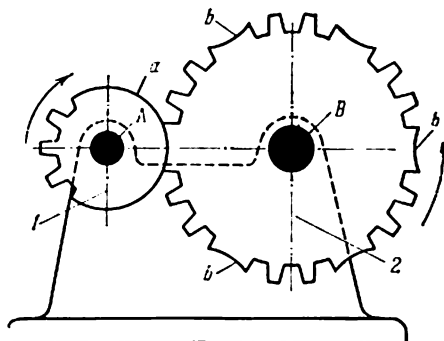
Le secteur denté 1 et la roue 2 tournent autour des axes fixes A et B. Lorsque le secteur menant 1 tourne dans le sens indiqué par la flèche, la roue menée 2 avec le disque d, solidaire de cette roue, tournera jusqu'à ce que les dents du secteur 1 désengrènent de la roue 2. La saillie arquée a glissera ensuite sur l'arc de blocage b, et la roue 2 aura un arrêt. Pour une rotation complète du secteur 1, l'angle de rotation φ_2 de la roue 2 est égal à $\varphi_2 = 2,2\pi$. Par conséquent, après chaque tour du secteur 1, la roue 2 fait un arrêt dans une position qui diffère de la précédente d'un angle $\varphi = 0,2\pi$.

Le rapport de transmission i_{12} du mécanisme est égal à

$$i_{12} = \frac{z_2}{z_1} = \frac{R_2}{R_1} \frac{2,2\pi}{\varphi_1},$$

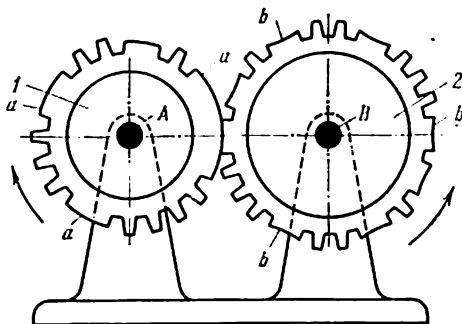
où z_1 , z_2 et R_1 , R_2 sont les nombres de dents et les rayons du secteur 1 et de la roue 2 ; φ_1 , l'angle central du secteur denté 1.

**MÉCANISME DENTÉ À TROIS ÉLÉMENTS
AVEC ÉLÉMENT MENÉ AUX PÉRIODES
DE MOUVEMENT ET DE REPOS
DE DURÉE ÉGALE**



Les roues dentées 1 et 2 tournent autour des axes fixes A et B. Lorsque la roue menante 1 tourne dans le sens indiqué par la flèche, la roue menée 2 tournera avec des arrêts. Les arcs de blocage a et b empêchent la rotation de la roue 2 au moment de l'arrêt. Pour une rotation de la roue 1, la roue 2 tourne d'un angle $\varphi = \frac{\pi}{3}$. Etant donné que les dents et les arcs de blocage sont disposés de façon symétrique, les périodes de mouvement et de repos de la roue 2 seront d'égale durée, lorsque la roue 1 sera animée d'un mouvement uniforme.

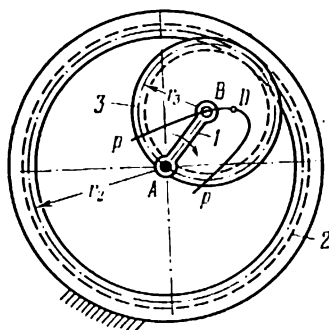
**MÉCANISME DENTÉ À TROIS ÉLÉMENTS
AVEC ÉLÉMENT MENÉ AUX PÉRIODES
DE MOUVEMENT ET DE REPOS
DE DURÉE INÉGALE**



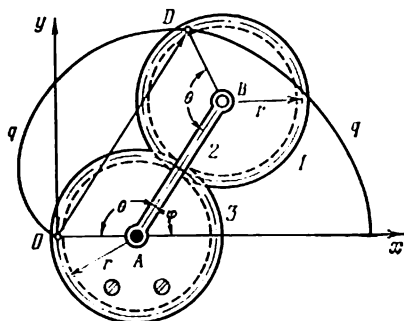
Les roues dentées 1 et 2 tournent autour des axes fixes A et B. Lorsque la roue menante 1 tourne dans le sens indiqué par la flèche, la roue menée 2 tournera avec des arrêts. Les arcs de blocage a et b empêchent la rotation de la roue 2 au moment des arrêts. Etant donné que les nombres de dents sur certaines parties des roues 1 et 2 sont différents et que les longueurs des arcs de blocage sont différentes, la roue 2 aura les périodes de mouvement et de repos de durée inégale, lorsque la roue 1 sera animée d'un mouvement uniforme.

4. Mécanismes servant à tracer les courbes (92-96)

| 92 | MÉCANISME PLANÉTAIRE DENTÉ À TROIS ÉLÉMENTS SERVANT À TRACER LES ÉPICYCLOÏDES | DS TC |
|---|---|----------|
| <div data-bbox="353 309 667 673" data-label="Image"> </div> <p data-bbox="166 694 860 788">Le porte-satellites 3, mobile autour d'un axe fixe A, forme un couple de rotation B avec le satellite 2 qui engrène avec la roue dentée fixe 1. Le satellite 2 possède un bras 4 comportant une rainure rectiligne c, dans laquelle est fixée, à diverses distances BC de l'axe B, la pointe C d'une pièce qui décrit l'épicycloïde $b-b$ dont l'équation est</p> $x = (R + r) \cos \varphi - \lambda r \cos \frac{R+r}{r} \varphi,$ $y = (R + r) \sin \varphi - \lambda r \sin \frac{R+r}{r} \varphi,$ <p data-bbox="166 904 860 1198">où R est le rayon du cercle primitif de la roue 1; r, le rayon du cercle primitif du satellite 2; $\lambda = \frac{BC}{r}$, où BC est la distance à l'axe B de la pointe à tracer C; φ est l'angle de rotation du porte-satellites 3. Sur le dessin, $\lambda = \frac{BC}{r} > 1$, et par conséquent la courbe $b-b$ est une épicycloïde allongée. Pour $\lambda = \frac{BC}{r} < 1$, le point C décrira une épicycloïde raccourcie. Si $\lambda = 1$, le point C sera situé sur le cercle primitif du satellite et décrira une épicycloïde. Si $m = \frac{R}{r}$ est un nombre entier, l'épicycloïde se compose de m branches identiques qui ne se coupent pas. Si m est un nombre fractionnaire, les branches des épicycloïdes se coupent, mais le point C revient toujours à sa position initiale.</p> | | |



Le porte-satellites *1*, mobile autour d'un axe fixe *A*, forme un couple de rotation *B* avec la roue *3* qui engrène avec la roue fixe *2* à denture intérieure. Les rayons des cercles primitifs des roues *2* et *3* satisfont à la condition $r_2 = 2r_3$. Lorsque le porte-satellites tourne autour de l'axe fixe *A*, les points situés sur le cercle primitif de la roue *3* décrivent des lignes droites qui passent par le point *A*. Tout point *D* choisi arbitrairement sur le plan de la roue *3* décrit une ellipse.

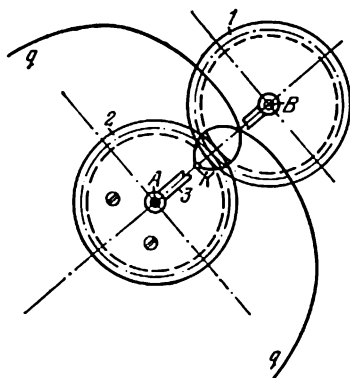


La roue dentée 1 roule sur une roue dentée 3 identique et fixe. Le porte-satellites 2 tourne autour d'un axe fixe A. Le point D de la roue 1, choisi de façon arbitraire et situé sur le cercle primitif, décrit une cardioïde $q - q$ dont l'équation polaire est

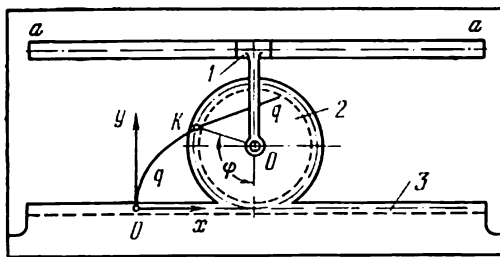
$$\rho = 2r (1 + \cos \varphi),$$

où ρ est le rayon vecteur de la cardioïde; r , le rayon des cercles primitifs des roues 1 et 3; φ , l'angle formé par l'axe Ox et l'axe AB du porte-satellites 2. Dans le système de coordonnées rectilignes xOy l'équation de la cardioïde $q - q$ s'écrit

$$(x^2 + y^2 - 2rx)^2 = 4r^2 (x^2 + y^2).$$



Le porte-satellites 3, mobile autour d'un axe fixe A , forme un couple de rotation B avec une roue cylindrique ronde 1 qui est en prise avec une roue cylindrique ronde fixe identique 2. Pendant le roulement de la roue 1 sur la roue 2, tout point K , situé en dehors du cercle primitif de la roue 1, décrit une cardioïde allongée $q - q$ ayant un point double.



Le coulisseau 1 est animé d'un mouvement dans une glissière $a - a$, et la roue dentée 2 roule sur une barre rectiligne fixe 3. Tout point K de la roue 2 décrira alors une cycloïde $q - q$. L'équation paramétrique de la cycloïde est

$$x = r(\varphi - \sin \varphi), \quad y = r(1 - \cos \varphi),$$

où $r = OK$; φ est l'angle de rotation de la roue 2. Dans le système de coordonnées rectilignes xOy la cycloïde $q - q$ aura pour expression explicite

$$x = r \arccos \frac{r-y}{r} \pm \sqrt{(2r-y)y}.$$

5. Mécanismes de triage, d'avance et d'alimentation (97-103)

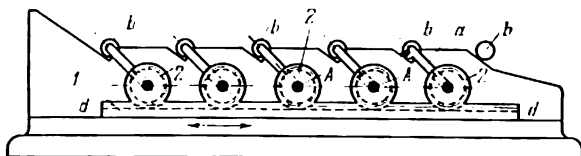
| | | |
|----|--|--|
| 97 | <p align="center">MÉCANISME DENTÉ D'AVANCE D'UNE BANDE</p> | <p align="center">DS TA</p> |
| | <div data-bbox="280 319 771 623" data-label="Image"> <p>The diagram illustrates a mechanical advance mechanism. A sector gear (1) is pivoted at a fixed point A. It is in mesh with a rack (2) that moves vertically within fixed guides labeled 'b-b'. The rack is connected to a ratchet (3) pivoted at point B. The ratchet has a pawl (4) that engages with a notch 'a' on a band. The band also has a bump 'd' on its upper surface. An arrow indicates the band moves to the right. The text explains that as the sector gear rotates clockwise, the ratchet moves up, engaging the notch and pushing the band right. When the sector gear rotates counter-clockwise, the ratchet moves down, and the pawl slips over the bump.</p> </div> <p>Le secteur denté 1, mobile autour d'un axe fixe A, est en prise avec une crémaillère 2 animée d'un mouvement de translation dans des glissières fixes b — b. Le cliquet 3 tourne sur un axe B appartenant à la crémaillère. Lorsque le secteur 1 tourne dans le sens opposé à celui des aiguilles d'une montre, le cliquet 3 s'engage dans l'orifice a de la bande 4, se butant contre la saillie d de la crémaillère, et déplace la bande dans le sens indiqué par la flèche. Lorsque le secteur 1 tourne en sens opposé, le cliquet 3 glisse librement sur la bande.</p> | |

98

MÉCANISME DENTÉ D'AVANCE DES PIÈCES CYLINDRIQUES

DS

TA



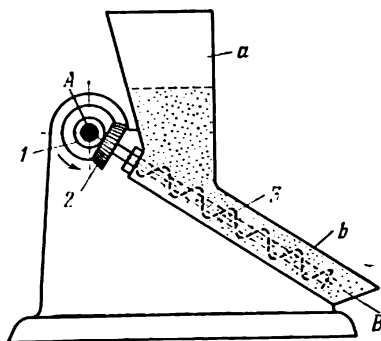
La crémaillère 1 se déplace d'un mouvement de translation dans les guides fixes *d* qui engrènent avec cinq roues dentées identiques 2 mobiles autour des axes fixes *A*. Les leviers *a*, solidaires des roues 2, entraînent les pièces *b* et les déplacent vers les cellules voisines.

99

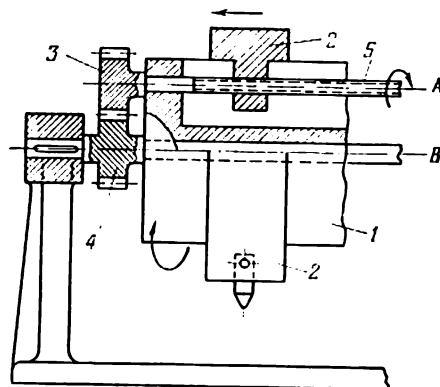
MÉCANISME DENTÉ À TROIS ÉLÉMENTS D'UNE HÉLICE TRANSPORTEUSE

DS

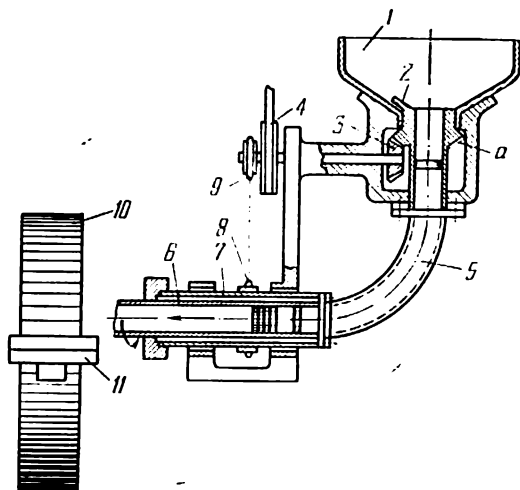
TA



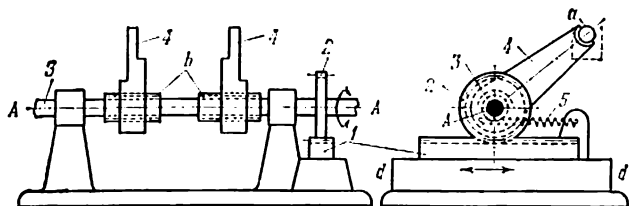
Les roues coniques 1 et 2 tournent autour des axes fixes *A* et *B*. L'hélice transporteuse 3 est rendue solidaire de la roue 2. En tournant, l'hélice transporteuse 3 déplace dans un tube *b* le matériel pulvérulent qui est amené de la trémie *a*.



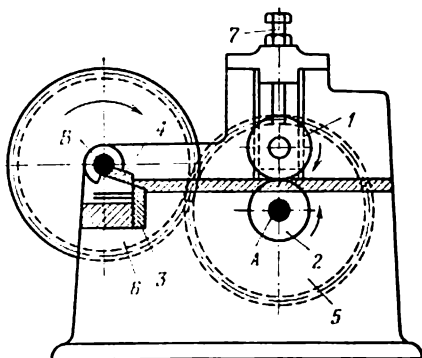
La roue dentée 3 roule sur une roue fixe 4. Un tambour 1 tourne librement autour d'un axe fixe B. La vis 5, solidaire de la roue 3, forme un couple de rotation avec l'élément 2 qui glisse le long des génératrices du tambour 1. L'élément 2 est une tête d'outil. Lorsque le tambour 1 est en rotation, la roue 3 tourne autour des axes A et B et déplace l'élément 2 à l'aide de la vis 5 suivant les génératrices du cylindre 1.



Les segments amenés vers une rectifieuse sans pointes sont chargés dans une trémie 1 et de là glissent dans une douille tournante 2 comportant une roue dentée conique *a* qui est en prise avec une roue dentée 3. Cette dernière est mise en mouvement par un moteur au moyen d'une transmission par courroie et d'une poulie 4. Par une extrémité le tuyau flexible 5 est fixé à la douille 2 et par l'autre à un tube horizontal 6 qui s'engage dans une douille tournante mise en mouvement au moyen des pignons 8 et 9. En tournant, le tube amène les segments vers une meule à rectifier 10 comportant un couteau 11.



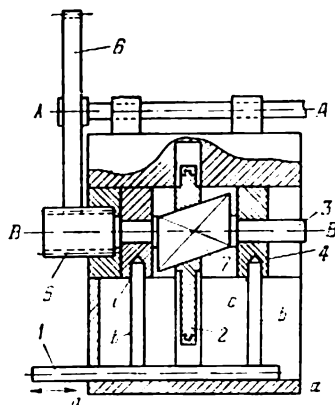
La crémaillère motrice 1 est animée d'un mouvement alternatif dans une glissière fixe $d - d'$ et engrène avec une roue dentée 2 mobile autour d'un axe fixe A. Lorsque la roue dentée 2, calée sur un arbre 3, se met à tourner, les pinces 4, maintenues dans la position gauche limite par un ressort 5, se rapprochent et serrent la pièce a. Les pinces 4 se présentent sous forme d'écrous vissés sur les vis b comportant les filets à gauche et à droite. Les vis b sont rigidement fixées sur l'arbre 3. Lorsqu'une pièce a est serrée, l'arbre 3 cesse de tourner dans les pinces 4. Après avoir surmonté la résistance des ressorts 5, ces dernières tournent et placent la pièce dans la position suivante. Lorsque la crémaillère 1 se déplace en sens inverse, le filetage se dévisse et sort des écrous, les pinces 4 se desserrent et relâchent la pièce. Les pinces reviennent ensuite à leur position initiale sous l'action du ressort 5.



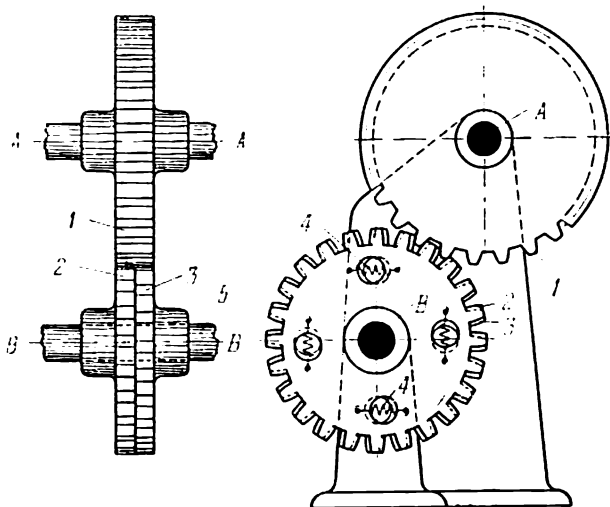
Les roues 5 et 6 tournent autour des axes fixes A et B. Les rouleaux 1 et 2, tournant en sens inverses, amènent le matériel à découper vers un couteau fixe 3. Le couteau supérieur 4 est fixé sur un arbre B entraîné par l'arbre A au moyen des roues dentées 5 et 6. Le découpage du matériel a lieu au moment où le couteau supérieur 4 s'abaisse. Le rouleau 1 est muni d'un dispositif de serrage 7.

6. Mécanismes avec éléments de longueur réglable (104-106)

| | | |
|---|--|-----------|
| 104 | MÉCANISME D'UNE MANIVELLE À RAYON VARIABLE AVEC FIXATEUR DENTÉ | DS LRg |
| <div data-bbox="218 431 813 819" data-label="Image"> </div> <p data-bbox="170 837 865 958">La manivelle 1 est reliée par un doigt b à une roue d aux dents isocèles. On peut varier la longueur de la manivelle 1 dans les limites de $r_{\min} = Bb'$ à $r_{\max} = Bb$ en faisant tourner la roue d autour d'un axe A. La position de la roue d peut être fixée à l'aide de l'élément 2 muni de dents e.</p> <p data-bbox="298 958 737 986">La roue d est fixée par un écrou a.</p> | | |



L'élément 1 qui est animé d'un mouvement de translation dans les guides fixes $a - a$ comporte les doigts b qui s'engagent dans les trous c des coussinets 4. L'arbre 3 tournant dans les coussinets 4 est rigidement relié au coin 7 et à la roue dentée 5. La pièce cylindrique ronde 2 forme un couple de translation avec le coin 7. Lorsque la roue dentée 6 tourne autour d'un axe $A - A$, la roue 5 et l'arbre 3 tournent autour d'un axe $B - B$. On peut varier l'excentricité de la pièce 2 en déplaçant l'élément 1 dans les guides $a - a$ et en le fixant dans la position requise. La variation de l'excentricité peut s'opérer au cours de la rotation de l'arbre 3.



La roue menante 1, qui est en prise avec les roues menées 2 et 3, tourne autour d'un axe fixe A. Deux roues identiques 2 et 3 tournent autour d'un axe fixe B. La roue dentée 2 est rigidement reliée à l'arbre 5, sur lequel tourne librement la roue 3 reliée à la roue 2 par les ressorts 4. On rattrape le jeu dans un engrenage au moyen de ressorts.

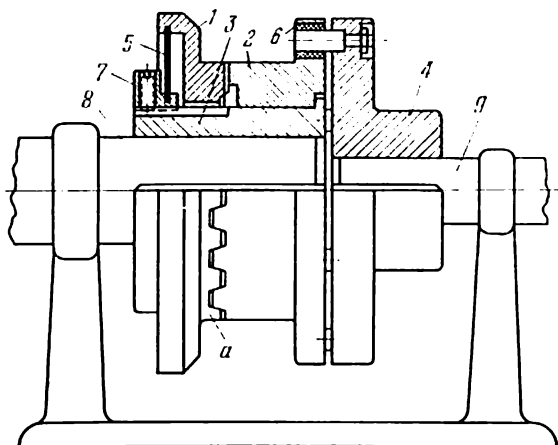
7. Mécanismes des accouplements (107-108)

107

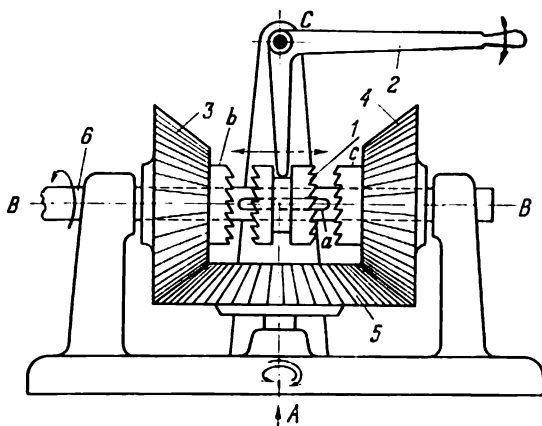
MÉCANISME DENTÉ DU MANCHON DE PROTECTION D'UN ACCOUPLEMENT ÉLASTIQUE

DS

Ac

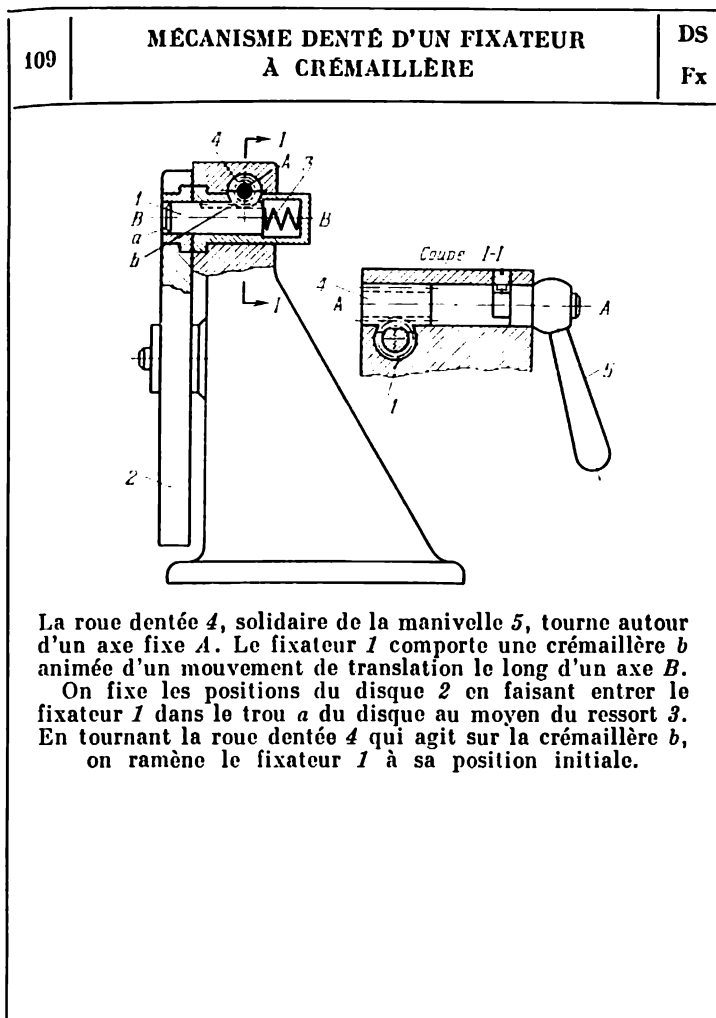


La rotation de l'arbre 8 est transmise par l'intermédiaire de la douille cannelée 3 à la bride 1 comportant les dents *a*. Ces dents permettent de transmettre la rotation à la bride 2 qui comporte des orifices dans lesquels sont introduits des amortisseurs en caoutchouc 6. Ces orifices reçoivent les doigts de la bride 4 reliée à l'arbre mené 9. Lorsque le couple moteur dépasse la valeur établie, la bride 1 désengrène de la bride 2 et repousse le disque élastique 5. La valeur maximum du couple moteur peut être réglée par changement de la position de l'écrou 7.



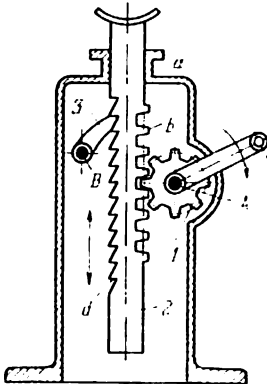
L'arbre 6 tourne autour d'un axe fixe B. La roue conique 5 tourne autour d'un axe fixe A. Un accouplement bilatéral à crabots 1, glissant sur la clavette a de l'arbre 6, entre en prise avec les couronnes à crabots b et c des roues coniques 3 et 4. Ces dernières sont librement montées sur l'arbre 6. En tournant le levier 2 autour d'un axe fixe C, on peut amener la partie droite ou la partie gauche de l'accouplement 1 en prise avec les couronnes c et b, la roue 5 tournant alors en sens inverse.

8. Mécanismes des fixateurs (109)

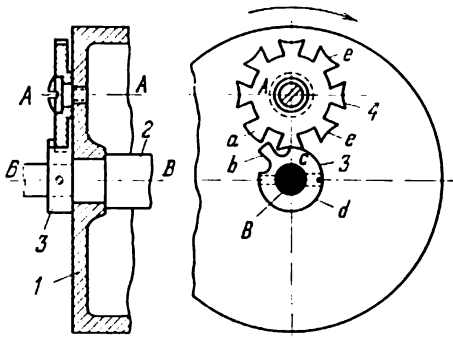


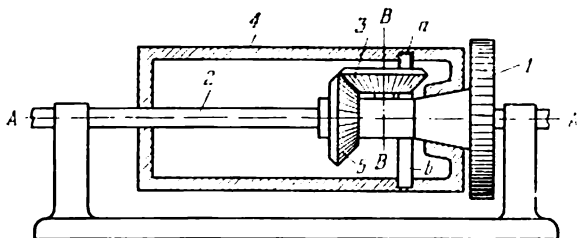
9. Mécanismes des griffes, des serres et des entretoises (110)

10. Mécanismes des appareils de levage (111)

| 111 | MÉCANISME DENTÉ D'UN CRIC À CRÉMAILLÈRE AVEC CLIQUET D'ARRÊT | DS AL |
|-----|---|----------|
| |  <p>The diagram shows a vertical ratchet mechanism. A central vertical shaft is labeled 'a'. A ratchet wheel with teeth labeled 'b' is mounted on this shaft. To the right of the ratchet wheel is a pawl lever pivoted at point 'A'. The pawl has a curved tip labeled 'c' that engages with the teeth of the ratchet wheel. A stop pin labeled 'd' is located on the right side of the pawl. On the left side of the ratchet wheel, there is a stop pin labeled 'd' and a lever pivoted at point 'B' with a curved tip labeled '3' that engages with the teeth of the ratchet wheel. A vertical arrow labeled '1' indicates the direction of rotation for the ratchet wheel.</p> <p>La roue dentée 1, mobile autour d'un axe fixe A, est en prise avec les dents droites b de l'élément 2 animé d'un mouvement de translation dans une glissière fixe a. Lorsqu'on tourne la roue 1 dans le sens indiqué par la flèche, l'élément 2 se déplace vers le haut. Pour empêcher le mouvement de l'élément 2 vers le bas, on a prévu du côté gauche les dents d et le cliquet d'arrêt 3 monté fou sur un axe fixe B.</p> | |

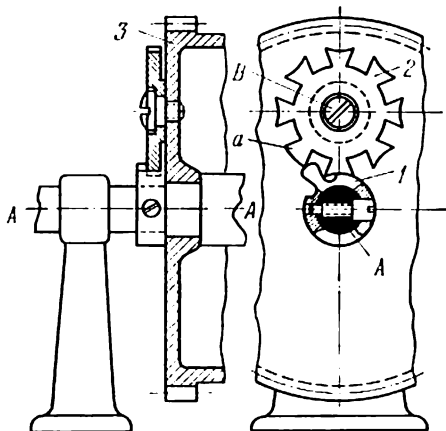
11. Mécanismes d'autres dispositifs spéciaux (112-114)

| 112 | MÉCANISME PLANÉTAIRE DENTÉ À TROIS ÉLÉMENTS POUR ARRÊTAGE D'HORLOGERIE | DS DSp |
|-----|--|-----------|
| |  <p>L'élément 1 tourne autour de l'axe fixe $B - B$ de l'arbre 2 rigidement relié à la roue 3 portant une dent b. La roue dentée 4 qui possède sept dents e et une saillie a tourne autour de l'axe $A - A$ de l'élément 1. Lorsque l'élément 1 tourne, l'arc c de la dent e de la roue 4 glisse sur l'arc de la roue 3, et la roue 4 ne tourne pas autour de l'axe $A - A$. Lorsque la dent e de la roue 4 engrène avec la dent b de la roue 3, la roue 4 tourne sur l'axe $A - A$. Après sept tours de l'élément 1 la saillie a de la roue 4 exerce une pression contre la dent b de la roue 3, et le mécanisme est bloqué. L'élément 1 peut servir d'élément menant, aussi bien que l'arbre 2. Ce mécanisme est utilisé dans les dispositifs d'horlogerie et permet de limiter le remontage du ressort.</p> | |



Les roues 1 et 5 tournent autour d'un axe fixe $A - A$. La roue 3 tourne autour d'un axe $B - B$ et tourne en même temps que cet axe autour de l'axe $A - A$. Lorsque la roue dentée 1 et la roue conique 5, solidaire de la roue dentée, tournent autour de l'arbre 2, sur lequel elles sont librement montées, la roue conique 3 tourne librement autour de son axe $B - B$ et autour de l'axe $A - A$ de l'arbre 2. Le doigt a , fixé sur la roue 3, coulisse dans la rainure b du cylindre distributeur 4 et le met en mouvement le long de l'axe $A - A$ de l'arbre 2. La valeur du mouvement axial du cylindre 4 est réglée par le déplacement du doigt a .

**MÉCANISME DIFFÉRENTIEL DENTÉ
À TROIS ÉLÉMENTS DESTINÉ À LIMITER
LE NOMBRE DE TOURS DE L'AXE DE REMONTAGE
D'UN DISPOSITIF D'HORLOGERIE**



La roue 1 portant un doigt tourne autour d'un axe fixe $A - A$. La roue 2 portant huit dents tourne autour de l'axe B du barillet denté 3. Après sept tours l'axe de barillet $A - A$ se trouve bloqué, lorsque la roue 1 qui comporte un doigt et qui est fixée sur cet axe vient en contact avec la surface cylindrique de la dent a de la roue 2 fixée sur le barillet 3. Lorsque le ressort placé sur l'axe $A - A$ se détend, le barillet 3 tourne autour de l'axe fixe $A - A$ dans le sens opposé à celui du remontage du ressort. La roue 2 roule sur la roue à un doigt 1 de manière qu'à chaque tour du barillet 3 la roue 2 avance d'une dent par rapport à son axe B .

Mécanismes

à leviers et engrenage

LEn

1. Mécanismes à quatre éléments d'usage général Q (115-123). 2. Mécanismes à cinq éléments d'usage général C (124-145). 3. Mécanismes à éléments multiples d'usage général M (146-177). 4. Mécanismes servant à tracer les courbes TC (178-197). 5. Mécanismes pour opérations mathématiques OM (198-218). 6. Mécanismes avec arrêts Ar (219-230). 7. Mécanismes à griffe des caméras GC (231-234). 8. Mécanismes de guidage et d'inversion GI (235-240). 9. Mécanismes des dispositifs de mesure et d'essai ME (241-244). 10. Mécanismes des machines à piston MP (245-246). 11. Mécanismes des machines et appareils produisant des vibrations MV (247-248). 12. Mécanismes des griffes, des serres et des entretoises GS (249-250). 13. Mécanismes des accouplements Ac (251-252). 14. Mécanismes de commutation, d'enclenchement et de déclenchement CE (253). 15. Mécanismes avec éléments de longueur réglable (254). 16. Mécanismes d'autres dispositifs spéciaux DSp (255-288).

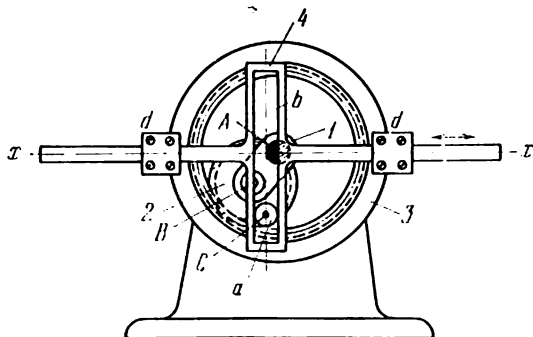
1. Mécanismes à quatre éléments d'usage général (115-123)

115

MÉCANISME PLANÉTAIRE À COULISSE ET ENGRENAGE AVEC COULISSES DE CARDAN

LEn

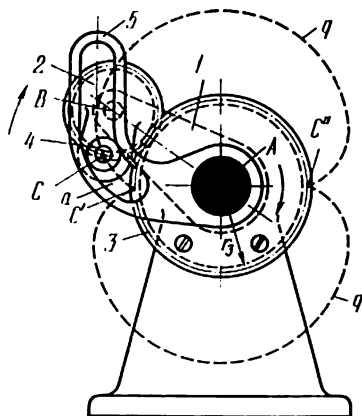
Q



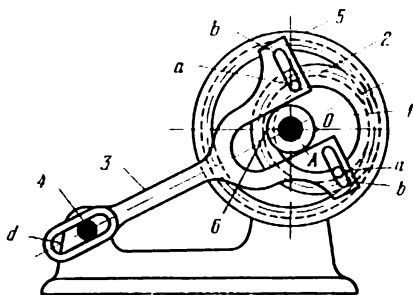
Le porte-satellites I , mobile autour d'un axe fixe A , forme un couple de rotation B avec la roue 2 qui engrène avec la roue fixe 3 . La roue 2 porte le doigt C glissant dans la rainure b de la coulisse 4 en mouvement dans les glissières $d - d$. Les dimensions des éléments du mécanisme satisfont aux conditions $r_3 = 2r_2$ et $BC = r_2$, où r_2 et r_3 sont les rayons des roues 2 et 3 . Pour les dimensions admises des éléments du mécanisme, le point C se déplace suivant une ligne droite qui coïncide avec le diamètre de la roue 3 . Les vitesses angulaires ω_1 et ω_2 du porte-satellites I et de la roue 2 sont égales et de sens opposés. La vitesse v_4 de l'élément 4 est égale à

$$v_4 = v_C \cos \alpha,$$

où v_C est la vitesse du point C de la roue 2 et α , l'angle constant formé par la direction AC avec l'axe $x - x$.



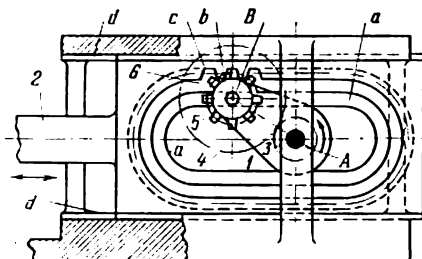
Le porte-satellites 1, mobile autour d'un axe fixe A, forme un couple de rotation B avec le satellite 2 qui engrène avec la roue fixe 3. Le satellite 2 comporte un rouleau 4 mobile autour d'un axe C. Le rouleau 4 glisse dans une rainure curviligne a de la coulisse 5 mobile autour d'un axe A. Les dimensions des éléments du mécanisme satisfont aux conditions $r_3 = 2r_2$ et $BC = r_2$. Pour les dimensions admises des éléments du mécanisme, le point C décrit une épicycloïde $q - q$. La coulisse 5 marque des arrêts de courte durée aux moments où le point C se trouve dans les positions C' et C'' .



L'excentrique 1, mobile autour d'un axe fixe A, porte une couronne dentée 2 qui engrène avec la roue dentée 5. Le cadre 3 comporte des rainures b qui glissent sur les doigts a de la couronne 2. Le cadre 3, qui se déplace par rapport au moyeu 6 de l'excentrique, est empêché de tourner par le doigt fixe 4, sur lequel glisse la rainure d du cadre 3. La roue 2 effectue donc un mouvement de translation à une vitesse égale à la vitesse du centre O de l'excentrique 1. Par conséquent, le rapport de transmission i_{15} est égal à

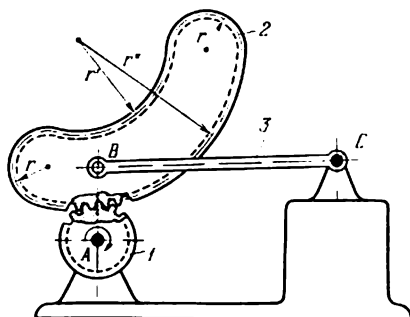
$$i_{15} = \frac{AO}{r_5} = \frac{z_5 - z_2}{z_5},$$

où r_5 est le rayon du cercle primitif de la roue 5; z_2 et z_5 , les nombres de dents des roues 2 et 5. Si la différence entre les nombres de dents est faible, il est possible d'obtenir des rapports de transmission considérables.

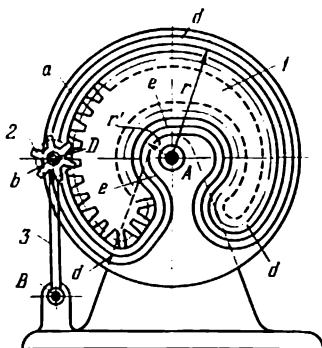


Le levier 1, mobile autour d'un axe fixe A, forme un couple de rotation B avec la roue dentée 5. Cette dernière est solidaire de la roue dentée 4 qui engrène avec la roue dentée 3 mobile autour d'un axe A. Le doigt b de la roue 5 couissant dans la rainure a entre en prise avec la crémaillère profilée c qui se compose de deux parties rectilignes et de deux parties arquées.

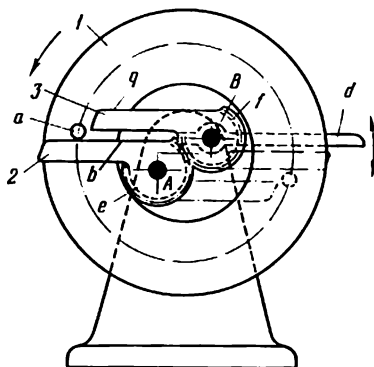
La crémaillère c appartient au coulisseau 2 qui glisse dans les guides d — d. Lorsque la roue menante 3 est animée d'un mouvement uniforme et continu, la roue 5 tourne autour d'un axe B en imprimant au coulisseau mené 2 un mouvement de translation qui s'effectue à une vitesse constante au moment où le doigt b glisse sur les parties rectilignes de la rainure a. Lorsque le doigt b passe sur les parties arquées de la rainure a, le levier 1 tourne autour de l'axe A et le mouvement de la crémaillère 2 devient irrégulier.



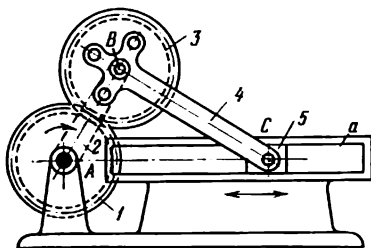
La roue dentée ronde 1, mobile autour d'un axe fixe A, engrène avec la roue profilée 2. Le profil de la courbe initiale de la roue 2 est composé de deux arcs de rayon r et des arcs de rayons r' et r'' . La condition $r'' - r' = 2r$ est remplie. La roue 2 forme un couple de rotation B avec l'élément 3, mobile autour d'un axe fixe C. Lorsque la roue 1 tourne, l'élément 3 effectue un mouvement d'oscillation combiné.



La roue profilée 1, mobile autour d'un axe fixe A, est en prise avec une roue ronde 2. La roue 2 comporte un doigt *b* qui coulisse dans la rainure *a* de la roue 1. La rainure et le profil de la courbe initiale de la roue 1 sont de forme complexe. Sur les parties *d — d*, le profil de la rainure *a* est décrit suivant les arcs de cercle de rayons *r* et *r'*. La roue 2 forme un couple de rotation *D* avec l'élément 3 mobile autour d'un axe fixe *B*. Lorsque la roue 1 tourne, l'élément 3 reçoit un mouvement d'oscillation combiné, en marquant deux arrêts au moment où les doigts glissent sur les parties *e — e*.



Le disque 1 tourne autour d'un axe qui coïncide avec son centre. Le doigt *a*, fixé sur le disque 1, agit alternativement sur la partie rectiligne *b* de l'élément 2, mobile autour d'un axe fixe *A*, et sur la partie rectiligne *q* de l'élément 3, mobile autour d'un axe fixe *B*. L'élément 2 comporte un secteur denté *e* qui engrène avec le secteur *f* de l'élément 3. Les éléments du mécanisme satisfont à la condition $r_2 = r_3$, où r_2 et r_3 sont les cercles primitifs des secteurs 2 et 3. Lorsque le disque 1 tourne dans le sens indiqué par la flèche, les éléments 2 et 3 effectuent un mouvement d'oscillation, en tournant d'un angle de 180° . La pale *d*, reliée à l'élément 3, tourne du même angle.



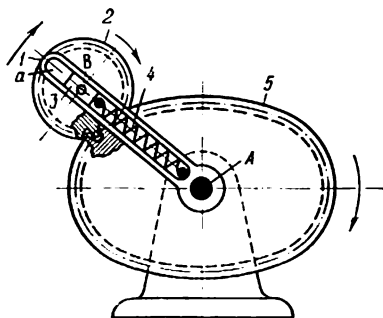
La roue dentée 1, mobile autour d'un axe fixe A, est en prise avec la roue dentée 3, solidaire de la bielle 4. La manivelle 2 tourne autour de l'axe A en formant un couple de rotation B avec la bielle 4. La bielle 4 forme un couple de rotation C avec le coulisseau 5 se mouvant dans une glissière a. Lorsque la roue menante 1 tourne, le coulisseau 5 reçoit un mouvement alternatif. Le rapport de transmission

$i_{12} = \frac{\omega_1}{\omega_2}$, où ω_1 est la vitesse angulaire de la roue 1 et ω_2 , la vitesse angulaire de la manivelle 2, est égal à

$$i_{12} = i_{42}i_{14} + (1 - i_{14}),$$

où $i_{42} = \frac{\omega_4}{\omega_2}$ et $i_{14} = \frac{\omega_1}{\omega_4} = -\frac{z_3}{z_1}$, ω_4 est la vitesse angulaire de la bielle 4 et de la roue 3 solidaire de cette bielle, z_1 et z_3 , les nombres de dents des roues 1 et 3. Le rapport de transmission i_{42} s'obtient à partir des dimensions données des éléments du mécanisme bielle-manivelle ABC. Pour un cycle complet de mouvement du mécanisme, le nombre de tours par minute n_2 de la manivelle 2 et le nombre de tours par minute n_1 de la roue 1 sont liés par la condition

$$n_1 = n_2 \frac{z_1 + z_3}{z_1}.$$



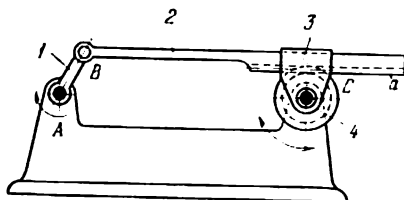
La coulisse 1 tourne autour d'un axe fixe A. Dans la rainure radiale a de la coulisse 1 glisse le coulisseau 3 qui forme un couple de rotation B avec une roue dentée ronde 2. La roue 2 engrène avec une roue non ronde fixe 5. Lorsque la coulisse 1 est en mouvement, la roue 2 tourne simultanément autour des axes A et B et glisse avec le coulisseau 3 dans la rainure a de la coulisse 1. Le ressort 4 assure la constance de l'engrènement des roues 2 et 5.

2. Mécanismes à cinq éléments d'usage général (124-145)

124

MÉCANISME À CAME ET ENGRENAGE
AVEC CRÉMAILLÈRE

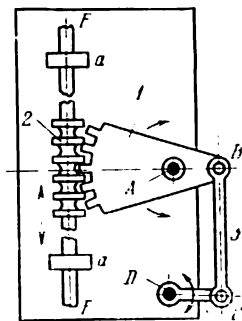
LEn
C



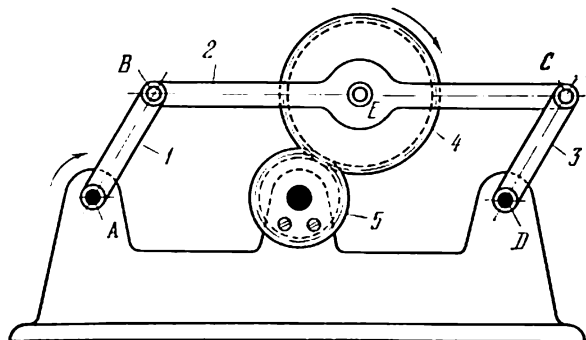
La manivelle 1, mobile autour d'un axe fixe A, transmet le mouvement à la bielle 2 qui glisse dans la coulisse 3. Cette dernière tourne autour d'un axe fixe C. La bielle 2 comporte une crémaillère rectiligne *a* qui engrène avec une roue cylindrique ronde 4. Lorsque la manivelle 1 est en mouvement, la roue 4 reçoit un mouvement d'oscillation autour de l'axe C. L'angle complet de rotation ψ de la roue 4 dans un sens est égal à

$$\psi = \sqrt{\left(\frac{l+k}{r \pm e}\right)^2 - 1} - \sqrt{\left(\frac{l-k}{r \pm e}\right)^2 - 1},$$

où k est la longueur de l'élément AB; l , la distance AC; r , le rayon du cercle primitif de la roue 4; e , la plus courte distance entre le point B et la ligne initiale de la crémaillère *a* dans le sens perpendiculaire à cette dernière.



Le secteur denté 1, mobile autour d'un axe fixe A, est en prise avec la crémaillère 2 animée d'un mouvement de translation dans un guidage fixe $a - a$. Les dents de la crémaillère 2 sont de forme arrondie, ce qui permet à la crémaillère d'effectuer une rotation supplémentaire autour d'un axe fixe F. Le mécanisme du quadrilatère articulé ABCD représente un parallélogramme. Les dimensions des éléments du mécanisme satisfont aux conditions $AB = DC$ et $BC = AD$. Les vitesses angulaires des éléments 1 et 4 sont égales. Les vitesses des points B et C sont aussi égales.

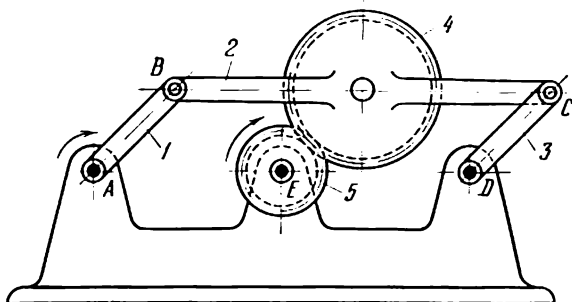


Les manivelles 1 et 3 du parallélogramme articulé $ABCD$ tournent autour des axes fixes A et D . La roue dentée 4 forme un couple de rotation E avec une bielle 2 et engrène avec une roue dentée fixe 5. Les dimensions des éléments du mécanisme satisfont aux conditions $AB = DC = r$, $BC = AD$ et $r_4 + r_5 = r$, où r_4 et r_5 sont les rayons des cercles primitifs des roues 4 et 5. Pour les dimensions admises des éléments, le rapport de transmission i_{14} est égal à

$$i_{14} = \frac{\omega_1}{\omega_4} = \frac{r_4}{r} = \frac{r_4}{r_4 + r_5} = \frac{z_4}{z_4 + z_5},$$

où ω_1 et ω_4 sont les vitesses angulaires de la manivelle 1 et de la roue 4; z_4 et z_5 , les nombres de dents des roues 4 et 5.

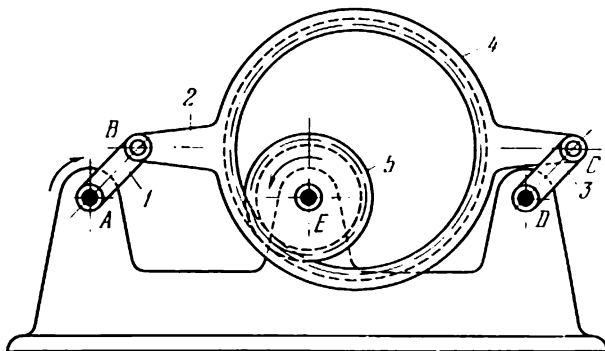
Les vitesses angulaires ω_1 et ω_4 sont de même sens.



Les manivelles 1 et 3 du parallélogramme articulé $ABCD$ tournent autour des axes fixes A et D . La roue dentée 4, solidaire de la bielle 2 du parallélogramme, est en prise avec la roue dentée 5, mobile autour d'un axe fixe E . Les dimensions des éléments du mécanisme satisfont aux conditions $AB = DC = r$, $BC = AD$ et $r_4 + r_5 = r$, où r_4 et r_5 sont les rayons des cercles primitifs des roues 4 et 5. Pour les dimensions admises des éléments, le rapport de transmission i_{15} est égal à

$$i_{15} = \frac{\omega_1}{\omega_5} = \frac{r_5}{r} = \frac{r_5}{r_4 + r_5} = \frac{z_5}{z_4 + z_5},$$

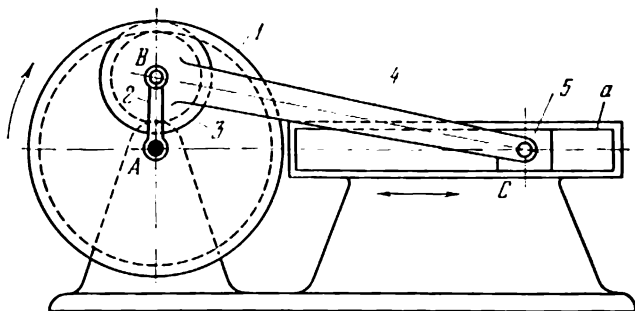
où ω_1 et ω_5 sont les vitesses angulaires de la manivelle 1 et de la roue 5; z_4 et z_5 , les nombres de dents des roues 4 et 5. Les vitesses angulaires ω_1 et ω_5 sont de même sens.



Les manivelles 1 et 3 du parallélogramme articulé $ABCD$ tournent autour des axes fixes A et D . La roue dentée 4, solidaire de la bielle 2 du parallélogramme, est en prise avec la roue dentée 5 tournant autour d'un axe fixe E . Les dimensions des éléments du mécanisme satisfont aux conditions $AB = DC = r$, $BC = AD$ et $r_4 - r_5 = r$, où r_4 et r_5 sont les rayons des cercles primitifs des roues 4 et 5. Pour les dimensions admises des éléments, le rapport de transmission i_{15} est égal à

$$i_{15} = \frac{\omega_1}{\omega_5} = \frac{r_5}{r} = \frac{r_5}{r_4 - r_5} = \frac{z_5}{z_4 - z_5},$$

où ω_1 et ω_5 sont les vitesses angulaires de la manivelle 1 et de la roue 5 ; z_4 et z_5 , les nombres de dents des roues 4 et 5 ; les vitesses angulaires ω_1 et ω_5 sont de sens opposé. Le mécanisme permet de réaliser un grand rapport de transmission si l'on choisit le nombre de dents z_5 proche de z_4 .



La roue dentée 1, mobile autour d'un axe fixe A, est en prise avec la roue dentée 3 solidaire de la bielle 4. La manivelle 2, tournant autour de l'axe A, forme un couple de rotation B avec la bielle 4. Celle-ci forme un couple de rotation C avec le coulisseau 5 glissant dans un guidage fixe a. Lorsque la roue menante 1 est en rotation, le coulisseau 5 reçoit un mouvement alternatif. Le rapport de transmission

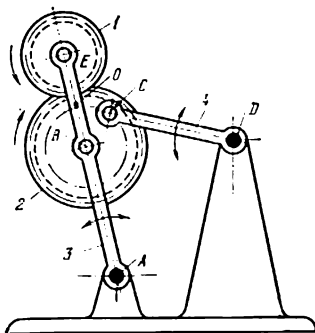
$i_{12} = \frac{\omega_1}{\omega_2}$, où ω_1 est la vitesse angulaire de la roue 1 et ω_2 , la vitesse angulaire de la manivelle 2, est égal à

$$i_{12} = i_{12}i_{14} + (i - i_{14}),$$

où $i_{42} = \frac{\omega_4}{\omega_2}$ et $i_{14} = \frac{\omega_1}{\omega_4} = \frac{z_3}{z_1}$, ω_4 est la vitesse angulaire de la bielle 4 et de la roue 3 solidaire de cette bielle. Le rapport de transmission i_{42} s'obtient des dimensions données des éléments du mécanisme à coulisseau et manivelle ABC. Pour un cycle complet de mouvement du mécanisme, le nombre n_2 de tours à la minute de la manivelle 2 et le nombre n_1 de tours à la minute de la roue 1 sont liés par la condition $n_1 = n_2 \frac{z_1 - z_3}{z_1}$. Si le nombre de dents satisfait à la condition $z_1 = 2z_3$, on a

$$n_1 = \frac{n_2}{2},$$

c'est-à-dire que pour un tour de la roue 1 le coulisseau 5 effectue deux cycles complets de course aller et retour.



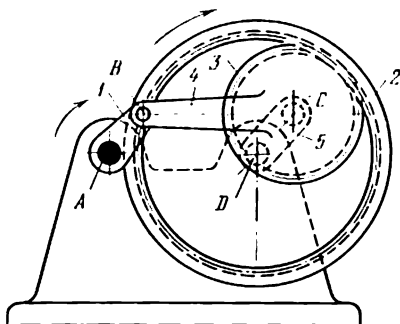
Les leviers oscillants 3 et 4 du mécanisme ABCD à quatre éléments articulés à deux leviers oscillants tournent autour des axes fixes A et D. La bielle BC a la forme d'une roue dentée 2 qui forme des couples de rotation B et C avec les leviers oscillants 3 et 4. La roue dentée 2 engrène avec la roue dentée 1 tournant autour de l'axe E du levier oscillant 3. Lorsque la roue menante 1 tourne, les leviers oscillants menés 3 et 4 reçoivent un mouvement d'oscillation autour des axes A et D dont les rapports de transmission i_{13} et i_{14} s'écrivent

$$i_{13} = \frac{\omega_1}{\omega_3} = \frac{AB}{BO}, \quad i_{12} = \frac{AB}{BO} \frac{z_2}{z_1}$$

et

$$i_{14} = \frac{\omega_1}{\omega_4} = \frac{DC}{CO}, \quad i_{12} = \frac{DC}{CO} \frac{z_2}{z_1},$$

où ω_1 , ω_3 et ω_4 sont les vitesses angulaires de la roue 1 et des leviers oscillants 3 et 4; AB et DC, les longueurs des leviers oscillants 3 et 4; BO et CO, les distances variables entre les points B et C et le point O de croisement des axes des éléments 3 et 4; z_1 et z_2 , les nombres de dents des roues 1 et 2.



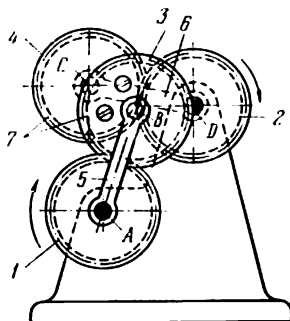
Les manivelles 1 et 5 du parallélogramme articulé $ABCD$ tournent autour des axes fixes A et D . La roue dentée 3, solidaire de la bielle 4 du parallélogramme, est en prise avec la roue dentée 2 tournant autour d'un axe D . Les dimensions des éléments du mécanisme satisfont aux conditions

$$AB = DC = r, \quad BC = AD \quad \text{et} \quad r_2 - r_3 = r,$$

où r_2 et r_3 sont les rayons des cercles primitifs des roues 2 et 3. Pour les dimensions admises des éléments, le rapport de transmission i_{12} est égal à

$$i_{12} = \frac{\omega_1}{\omega_2} = \frac{r_2}{r} = \frac{r_2}{r_2 - r_3} = \frac{z_2}{z_2 - z_3},$$

où ω_1 et ω_2 sont les vitesses angulaires de la manivelle 1 et de la roue 2; z_2 et z_3 , les nombres de dents des roues 2 et 3. Les vitesses angulaires ω_1 et ω_2 sont de même sens. Le mécanisme permet d'obtenir un grand rapport de transmission, si l'on choisit le nombre de dents z_3 proche du nombre de dents z_2 .



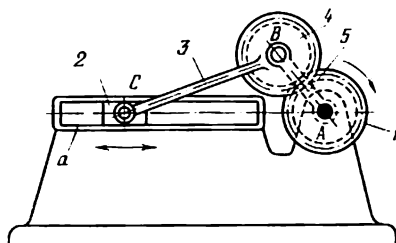
La roue dentée 1, mobile autour d'un axe fixe *A*, engrène avec la roue dentée 3, tournant autour d'un axe *B*. Le levier oscillant 5, mobile autour d'un axe *A*, forme un couple de rotation *B* avec la bielle 7 qui se présente sous la forme de roues 3 et 4 rendues solidaires. La roue 4 est en prise avec la roue dentée 2, mobile autour d'un axe fixe *D*. Le levier oscillant 6 tourne autour d'un axe *D* et forme un couple de rotation avec la roue 4. Les dimensions des roues 1, 2, 3 et 4 sont égales, de même que leur nombre de dents. Les vitesses angulaires ω_1 , ω_2 , ω_5 , ω_6 , ω_7 des éléments 1, 2, 5, 6 et 7 sont liées par les conditions

$$\omega_7 = 2\omega_5 - \omega_1 = 2\omega_6 - \omega_2,$$

où ω_5 , ω_6 et ω_7 se déterminent d'après les dimensions du mécanisme *ABCD* à quatre éléments articulés, à leviers oscillants, choisies de sorte que

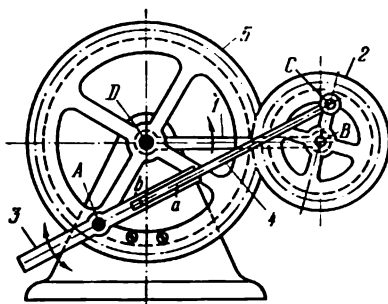
$$AB = DC = 2r \quad \text{et} \quad BC = r,$$

où *r* est le rayon des cercles primitifs des roues 1, 2, 3 et 4.

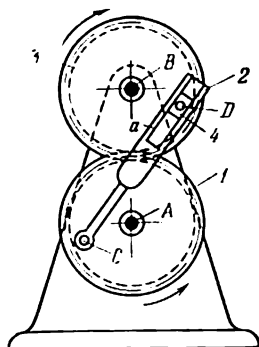


La roue dentée 1, mobile autour d'un axe fixe A, engrène avec la roue dentée 4 identique qui est solidaire de la bielle 3. La manivelle 5 tourne autour d'un axe fixe A formant un couple de rotation B avec la roue 4. Celle-ci forme un couple de rotation C avec le coulisseau 2 glissant dans un guidage fixe a. Lorsque la roue menante 1 tourne autour de l'axe A, le coulisseau 2 effectue les courses aller et retour pendant deux tours de la roue 1, c'est-à-dire que le rapport de trans-

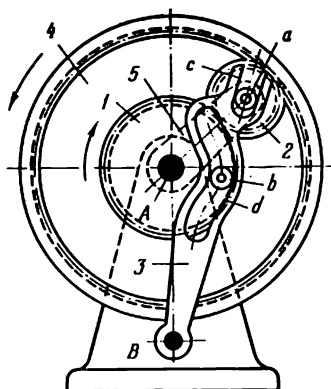
mission i_{15} est égal à $i_{15} = \frac{\omega_1}{\omega_5} = 2$, où ω_1 et ω_5 sont les vitesses angulaires de la roue 1 et de la manivelle 5.



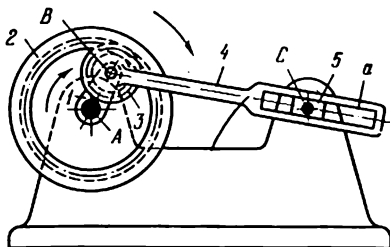
L'élément 1, mobile autour d'un axe fixe D , forme un couple de rotation B avec la roue dentée 2. La roue 2 engrène avec la roue fixe 5. L'élément 4 forme un couple de rotation C avec la roue 2, en glissant par son extrémité a dans la coulisse b de l'élément 3 tournant autour d'un axe fixe A . Lorsque l'élément menant 1 tourne autour de l'axe D , la roue 2 effectue un mouvement de roulement sur la roue 5. L'élément 3 effectue un mouvement de balancement autour de l'axe A .



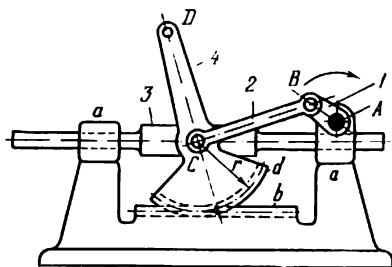
Deux roues dentées identiques 1 et 3 tournent autour des axes fixes A et B. La coulisse 2 forme un couple de rotation C avec la roue 1. Le coulisseau 4, qui forme un couple de rotation D avec la roue 3, se déplace dans le guidage a de la coulisse 2. Lorsque la roue menante 1 tourne, la coulisse 2 effectue un mouvement combiné.



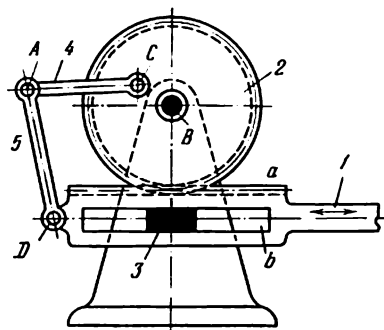
La roue dentée 1, mobile autour d'un axe fixe A, engrène avec le satellite 2 qui est en engrenage intérieur avec la roue dentée 4 tournant autour de l'axe A. Le porte-satellites 5, mobile autour de l'axe A, forme un couple de rotation avec le satellite 2. L'élément 3, tournant autour d'un axe fixe B, possède une coulisse curviligne *d* et une coulisse rectiligne *c*. Le rouleau *b* de la roue 1 glisse dans la coulisse *d*, et le rouleau *a* du satellite 2 glisse dans la coulisse *c*. Lorsque la roue 1 est en mouvement uniforme, la roue 4 effectue un mouvement combiné non uniforme dont la loi est déterminée par le profil de la coulisse curviligne *d*.



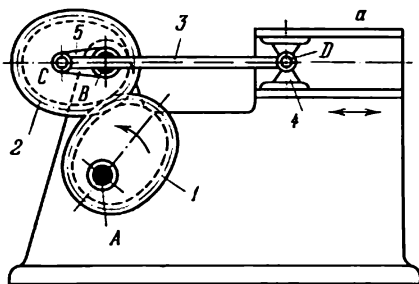
Le porte-satellites 1, mobile autour d'un axe fixe A, forme un couple de rotation B avec le satellite 3. Ce dernier engrène intérieurement avec la roue dentée 2 tournant autour de l'axe A. L'élément 4, solidaire du satellite 3, comporte une coulisse rectiligne a qui glisse sur le coulisseau 5 tournant autour d'un axe fixe C. Lorsque le porte-satellites 1 est en mouvement uniforme, la roue 2 effectue un mouvement combiné non uniforme dont la loi est fonction du rapport des dimensions des éléments du mécanisme.



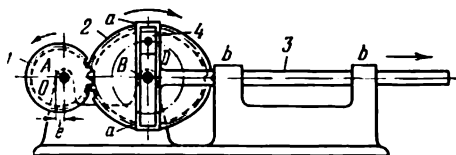
La manivelle 1, mobile autour d'un axe fixe A, forme un couple de rotation B avec la bielle 2 qui, à son tour, forme un couple de rotation C avec le coulisseau 3. Ce dernier se meut dans un guidage fixe $a - a$. L'élément 4, formant un couple de rotation C avec le coulisseau 3, comporte un secteur denté d qui engrène avec une crémaillère fixe b . Lorsque la manivelle 1 tourne, le secteur d roule sur la crémaillère b , le point D de l'élément 4 décrivant les courbes cycloïdales d'une circonférence de rayon r . Le point D décrit, en particulier, une cycloïde allongée.



L'élément 1 comporte une rainure dans laquelle glisse le patin rectiligne 3 du montant. La crémaillère *a* de l'élément 1 engrène avec la roue dentée 2 tournant autour d'un axe fixe B. Les éléments 4 et 5 forment un couple de rotation A et des couples de rotation C et D avec la roue 2 et l'élément 1. Lorsque l'élément menant 1 est en mouvement alternatif, les éléments 4 et 5 effectuent des mouvements combinés tandis que le point A décrit une courbe de bielle composée.

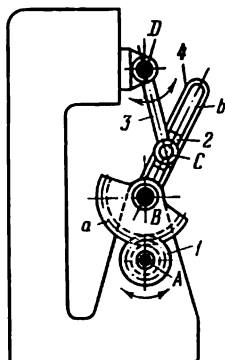


La roue elliptique 1, mobile autour d'un axe fixe A passant par le foyer d'une ellipse, engrène avec une roue 2 identique mobile autour d'un axe fixe B qui passe aussi par le foyer d'une ellipse. La manivelle 5 est rendue solidaire de la roue 2. La bielle 3 forme un couple de rotation C avec la manivelle 5 et un couple de rotation D avec le coulisseau 4 animé d'un mouvement alternatif dans un guidage fixe a. Lorsque la roue 1 est en mouvement uniforme, la vitesse du coulisseau 4 sur la partie finale de sa course se rapproche d'une vitesse constante.

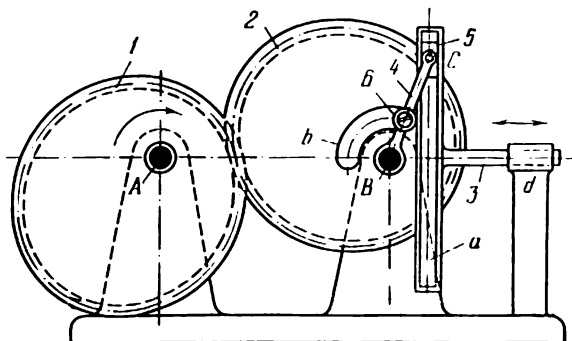


La roue dentée ronde 1, mobile autour d'un axe fixe A disposé de façon excentrique par rapport à l'axe géométrique O de la roue 1, engrène avec une roue non ronde 2 tournant autour d'un axe fixe B. La roue 2 est de forme ovale symétrique. Le périmètre de la courbe initiale de la roue 2 est égal au double périmètre du cercle primitif de la roue 1. La roue 2 forme un couple de rotation avec le coulisseau 4 se mouvant dans la coulisse a de l'élément 3. L'élément 3 est animé d'un mouvement alternatif dans un guidage fixe b — b. Le rapport de transmission moyen i_{12} pour un cycle complet de mouvement du mécanisme est égal à $i_{12} =$

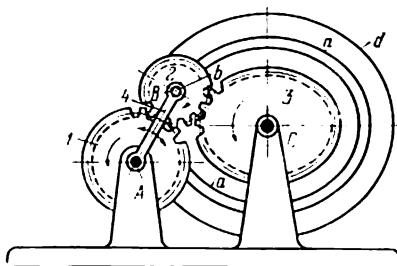
$= \frac{\omega_1}{\omega_2} = 2$, où ω_1 et ω_2 sont les vitesses angulaires des roues 1 et 2. Lorsque la roue menante 1 est en mouvement uniforme, la roue 2 effectue un mouvement de rotation non uniforme, en imprimant à l'élément mené 3 un mouvement alternatif dont la loi peut varier si l'on modifie l'excentricité e de la roue 1.



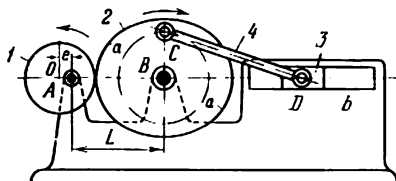
La roue dentée *1*, mobile autour d'un axe fixe *A*, engrène avec le secteur denté *a* de la coulisse *4* tournant autour d'un axe fixe *B*. Le coulisseau *2*, se mouvant dans la rainure *b* de la coulisse *4*, constitue un couple de rotation *C* avec l'élément *3* qui tourne autour d'un axe fixe *D*. Lorsque la roue menante *1* tourne dans les deux sens, l'élément mené *3* reçoit un mouvement de balancement autour de l'axe *D*.



La roue dentée elliptique 1, mobile autour d'un axe fixe A, entre en prise avec une roue dentée elliptique 2 identique, mobile autour d'un axe fixe B. Les points A et B sont les foyers des centroïdes elliptiques initiales des roues 1 et 2. La manivelle 4, solidaire de la roue 2, forme un couple de rotation C avec le coulisseau 5 glissant dans la rainure a de la coulisse 3 qui se meut dans un guidage fixe d. Lorsque la roue menante 1 tourne, la coulisse 3 reçoit un mouvement alternatif. La roue 2 comporte une rainure arquée b qui permet de changer le sens du mouvement de la coulisse 3. En fixant la manivelle 4 en différents points de la rainure b au moyen de la vis 6, on peut varier la loi de mouvement de la coulisse 3.



La roue dentée ronde 1, mobile autour d'un axe fixe A, est en prise avec une roue dentée ronde 2 mobile autour de l'axe B de l'élément 4. La roue 2 engrène avec une roue dentée non ronde 3 mobile autour d'un axe fixe C. Le disque d, solidaire de la roue 3, comporte une rainure a, dans laquelle glisse le doigt b de l'élément 4. Le profil de la courbe primitive de la roue 3 a la forme d'ovale symétrique. Le profil de la rainure a a aussi la forme d'un ovale, équidistant de l'ovale de la courbe primitive de la roue 3. Lorsque la roue menante 1 est en mouvement uniforme, la roue menée 3 reçoit un mouvement non uniforme, l'élément 4 effectuant un mouvement de balancement autour de l'axe A.



La roue dentée ronde 1 tourne autour d'un axe fixe A, situé à la distance e de l'axe géométrique O de la roue 1. La roue dentée non ronde 2 tourne autour d'un axe fixe B.

Les profils des centroïdes primitives des roues 1 et 2, représentées sur la figure, satisfont aux conditions suivantes: le profil de la centroïde de la roue 1 est une circonférence de longueur $2\pi r$, où r est le rayon de la roue 1; le profil de la centroïde de la roue 2 est composé de deux arcs a , égaux et symétriques, dont la longueur est égale à $2\pi r$. Pour un cycle complet de mouvement, le rapport de transmission moyen i_{12} de l'engrenage constitué de roues 1 et 2 est égal à $i_{12} = 2$. Le rapport de transmission i_{12} au cours d'un cycle change dans les limites de $i_{min} = \frac{1-e}{m - (1-e)}$

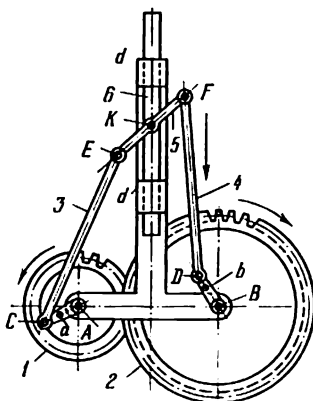
à $i_{max} = \frac{1+e}{m - (1+e)}$, où $e = \frac{e}{r}$, $m = \frac{L}{r}$ et L est la distance de l'entr'axe AB. La bielle 4 forme le couple de rotation C avec la roue 2 et le couple de rotation D avec le coulisseau 3 se mouvant dans un guidage fixe b . En choisissant les différentes valeurs de l'excentricité e , on peut obtenir les différentes lois de mouvement du coulisseau 3.

3. Mécanismes à éléments multiples d'usage général (146-177)

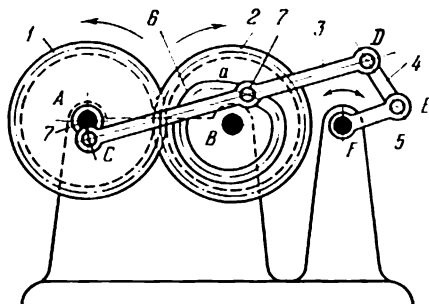
146

MÉCANISME À LEVIERS ET ENGRENAGE DE LA COMMANDE ROMAINE

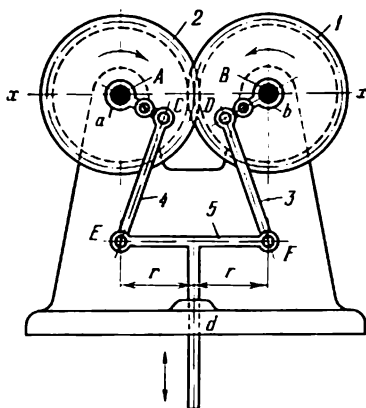
LEn
M



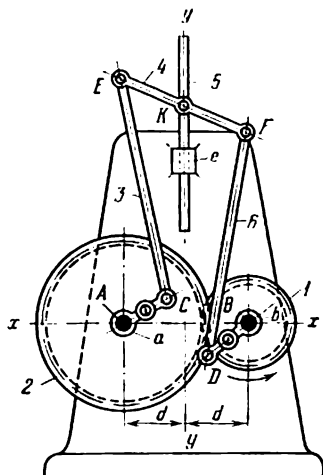
Les roues dentées 1 et 2 tournent autour des axes fixes A et B. Les manivelles a et b peuvent être rigidement fixées sur les roues 1 et 2 à des angles différents par rapport à la droite joignant les centres A et B. Les bielles 3 et 4 forment des couples de rotation C et D avec les roues 1 et 2 et des couples de rotation E et F avec la traverse 5 qui constitue un couple de rotation K avec le coulisseau 6 glissant dans un guidage $d - d'$. Les dimensions des éléments du mécanisme satisfont aux conditions $AC = BD$, $CE = DF$, $KE = KF$. On peut varier la course du coulisseau 6 en choisissant les dimensions des roues 1 et 2 de manière appropriée et en fixant les manivelles a et b à des angles différents par rapport à la ligne AB.



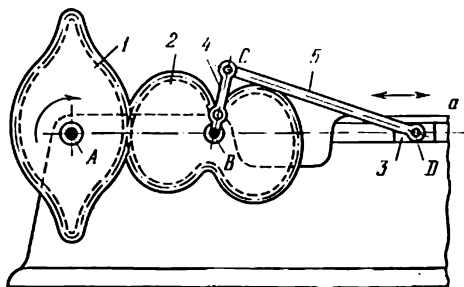
La roue dentée 1, mobile autour d'un axe fixe A, est en prise avec une roue dentée 2 mobile autour d'un axe fixe B. Les rayons des cercles primitifs des roues 1 et 2 sont égaux entre eux. La manivelle 7, solidaire de la roue 1, forme un couple de rotation C avec l'élément 3. La roue 2 est rigidement liée à la came à rainure 6, dans la rainure a de laquelle glisse le rouleau 7 de l'élément 3. L'élément 3 forme un couple de rotation D avec l'élément 4. Ce dernier forme un couple de rotation E avec le levier 5 tournant autour d'un axe fixe F. Lorsque la roue 1 tourne, le levier 5 effectue un mouvement de balancement. On obtiendra la loi cinétique requise pour le levier 5 en choisissant de manière adéquate le profil de la rainure a de la came 6.



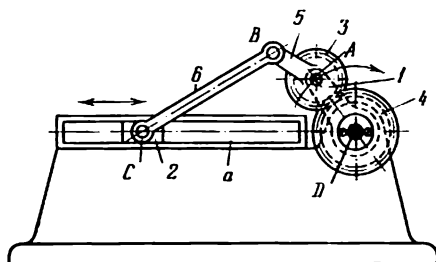
Les roues dentées 1 et 2 qui s'engrènent tournent autour des axes fixes B et A. Les manivelles b et a, solidaires des roues 1 et 2, forment des couples de rotation D et C avec les bielles 3 et 4. Les bielles 3 et 4 forment des couples de rotation F et E avec le coulisseau en T 5 se déplaçant dans un guidage fixe d dont l'axe est perpendiculaire à l'axe $x - x$. Les dimensions des éléments du mécanisme satisfont aux conditions $r_1 = r_2 = r$, où r_1 , r_2 et r sont les rayons des cercles primitifs des roues 1 et 2, $AC = BD$, $CE = DF$. Les angles d'inclinaison des droites AC et BD par rapport à l'axe $x - x$ sont toujours égaux et symétriques. Lorsque la roue 1 tourne, le coulisseau 5 effectue un mouvement alternatif conforme à la loi du coulisseau du mécanisme central à coulisseau et manivelle. Si dans le mécanisme considéré les masses des roues 1 et 2 et des bielles 4 et 3 sont égales, les forces d'inertie des éléments n'exercent aucune pression sur le guide d.



Les roues dentées 1 et 2 qui sont en prise tournent autour des axes fixes B et A. Les manivelles b et a , liées rigidement aux roues 1 et 2, forment des couples de rotation D et C avec les bielles 6 et 3. Les bielles 3 et 6 forment des couples de rotation E et F avec la traverse 4. Cette dernière forme un couple de rotation K avec le coulisseau 5 se mouvant dans un guidage fixe e le long de l'axe $y - y$. Les dimensions des éléments du mécanisme satisfont aux conditions $r_2 = 2r_1$, $AC = BD$, $CE = DF$, $EK = FK$. Dans la position initiale du mécanisme, montrée sur la figure, les angles formés par les lignes AC et BD avec l'axe $x - x$ sont égaux entre eux et symétriques. La loi de mouvement du coulisseau 5 peut être variée en modifiant la position des manivelles a et b sur les roues 1 et 2.



La roue dentée non ronde 1, mobile autour d'un axe fixe A, est en prise avec une roue dentée non ronde 2 mobile autour d'un axe fixe B. La manivelle 4 du mécanisme BCD à coulisseau et manivelle, solidaire de la roue 2, forme un couple de rotation C avec la bielle 5. La bielle 5 forme un couple de rotation D avec le coulisseau 3 glissant dans un guidage fixe a. Les centroïdes des roues 1 et 2 sont conçues de telle sorte que lors de la rotation uniforme de la roue 1 le coulisseau 3 effectue des courses aller et retour à une vitesse constante.

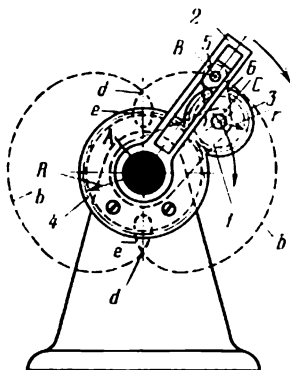


L'élément 1, mobile autour d'un axe fixe D , forme un couple de rotation A avec la roue 3 qui engrène avec la roue fixe 4. La roue 3 est solidaire de l'élément 5 qui forme un couple de rotation B avec la bielle 6. La bielle 6 forme un couple de rotation C avec le coulisseau 2 se mouvant dans un guidage fixe a . Lorsque la roue 3 roule sur la roue 4, le point B décrit l'épicycloïde allongée du cercle primitif de la roue 4, si $AB > r_3$, où r_3 est le rayon du cercle primitif de la roue 3. Si $AB = r_3$, le point B décrit l'épicycloïde, et si $AB < r_3$, le point B décrit l'épicycloïde raccourcie.

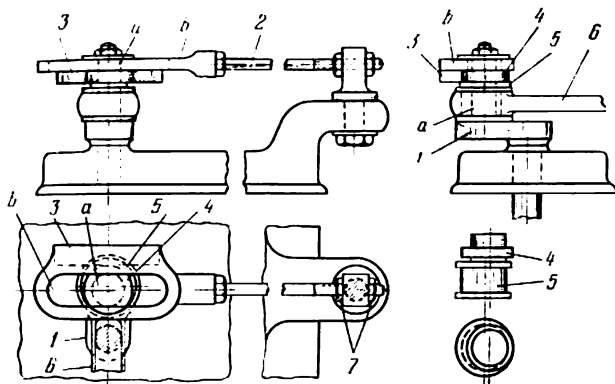
Le rapport de transmission $i_{15} = \frac{\omega_1}{\omega_5}$, où ω_1 est la vitesse angulaire de l'élément 1 et ω_5 , la vitesse angulaire de l'élément 5, est égal à

$$i_{15} = \frac{1}{1 - i_{34}} = \frac{z_3}{z_3 + z_4},$$

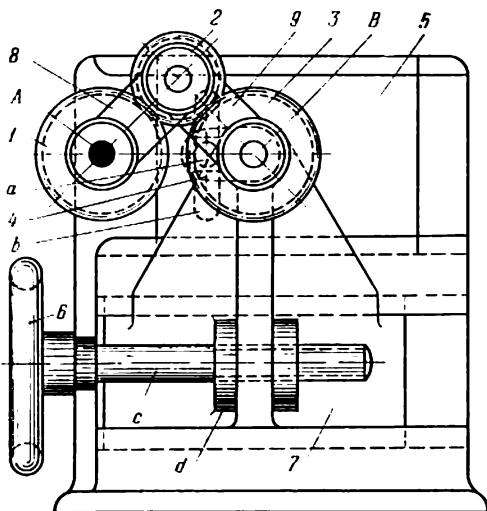
où $i_{34} = -\frac{z_4}{z_3}$, et z_3 et z_4 sont les nombres de dents des roues 3 et 4. Les diverses lois de mouvement du coulisseau 2 peuvent s'obtenir en choisissant de manière appropriée les rapports entre les nombres de dents z_3 et z_4 et en modifiant la longueur AB . Si $AB = r_3 = r_4$, où r_4 est le rayon du cercle primitif de la roue 4, le point B décrit la cardioïde du cercle de rayon r_4 .



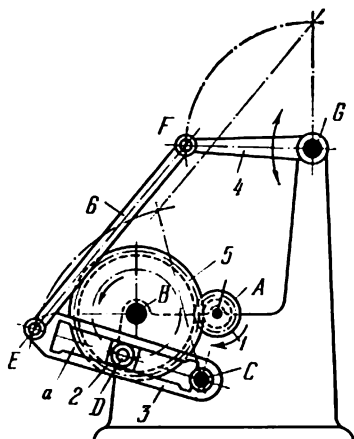
Le porte-satellites *1*, mobile autour d'un axe fixe *A*, forme un couple de rotation *C* avec le satellite *3* qui engrène avec la roue fixe *4*. La manivelle *6*, solidaire du satellite *3*, forme un couple de rotation *B* avec le coulisseau *5* se mouvant dans une coulisse rectiligne *2* tournant autour de l'axe fixe *A*. Le rayon *R* du cercle primitif de la roue *4* est égal à $R = 2r$, où *r* est le rayon du cercle primitif du satellite *3*. L'axe de la coulisse *2* passe par le centre *A*. Si la longueur *CB* de la manivelle *6* dépasse celle du rayon *r*, alors, pour les dimensions admises du mécanisme, le point *B* décrit une épicycloïde allongée *b — b* comportant deux points doubles *d*. Pour un tour complet du porte-satellites *1*, l'élément *2* effectue à deux reprises de faibles mouvements réversibles lorsque le point *B* parcourt les parties de l'épicycloïde qui forment les boucles *e*.



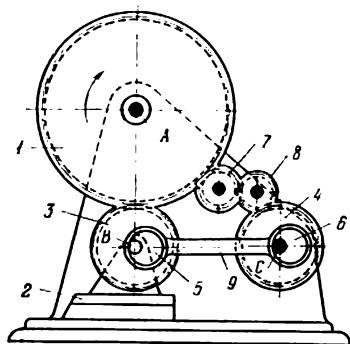
La douille excentrique 5, autour de laquelle tourne la bielle 6 reliée à un élément mené non représenté sur la figure, est montée sur le doigt *a* de la manivelle 1. La douille excentrique 5 est reliée à la roue dentée 4 dont l'axe coïncide avec l'axe du doigt *a* de la manivelle 1. La roue dentée 4 engrène avec la crémaillère 3, solidaire de la coulisse 2, dans la rainure *b* de laquelle glisse le doigt allongé *a* de la manivelle. Le nombre de dents de la roue 4 est choisi de telle sorte que lorsque la manivelle tourne de 180° la douille excentrique 5 tourne d'un angle de 180° dans le sens inverse. La longueur de la course de l'élément 6 varie suivant les positions choisies de la manivelle et de la douille 5. La disposition de la douille 5 est réglée en déplaçant la crémaillère 3 à l'aide des écrous 7.



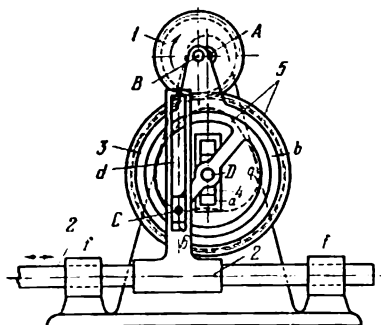
Lorsque la roue dentée 1 tourne autour d'un axe fixe A, la mise en mouvement de la roue dentée 3, tournant autour d'un axe B, s'effectue à l'aide de la roue dentée 2. La roue dentée 3 est reliée au levier 4. Le rouleau a de ce levier, qui se déplace dans la rainure b du coulisseau 5, communique à ce dernier un mouvement alternatif. On règle le déplacement du coulisseau 5 au cours du mouvement en tournant la poignée 6, sur la vis c de laquelle se déplace l'écrou d de la glissière 7. On assure la mise en prise des roues 1, 2 et 3 à l'aide des éléments 8 et 9, la distance de l'entr'axe AB étant variable.



La roue dentée 1, mobile autour d'un axe fixe A, engrène avec la roue dentée 5 tournant autour d'un axe fixe B. La roue 5 forme un couple de rotation D avec le coulisseau 2 se déplaçant dans la rainure a de la coulisse 3 tournant autour d'un axe fixe C. L'élément 6 forme des couples de rotation E et F avec la coulisse 3 et le levier oscillant 4 mobile autour d'un axe fixe G. Lorsque la roue menante 1 est en mouvement uniforme, le levier oscillant 4 reçoit un mouvement de balancement, la vitesse moyenne des courses aller et retour étant différente.



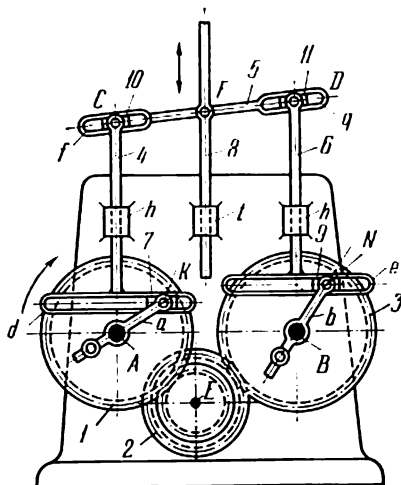
La roue dentée 1, mobile autour d'un axe fixe A, engrène avec la roue 3 tournant autour de l'axe B du coulisseau 2. La roue dentée 1 est reliée à la roue 4 qui tourne autour d'un axe fixe C par l'intermédiaire des roues dentées 7 et 8. Lorsque la roue dentée menante 1 tourne, les roues dentées 3 et 4 sont entraînées dans le mouvement de rotation en même temps que les excentriques 5 et 6 fixées sur ces roues. Le nombre de dents des roues dentées 3 et 4 variant, la position relative des excentriques change, modifiant ainsi la longueur de la course du coulisseau 2 entraîné en mouvement par la tige d'excentrique 9. Le mécanisme reproduit le mouvement alternatif du coulisseau 2 à marche variable.



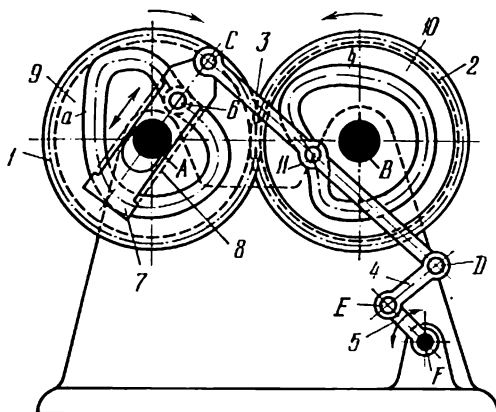
La roue dentée 1, montée de façon excentrique, tourne autour d'un axe fixe A et engreène avec la roue dentée 5. La roue 5 est mobile autour de l'axe D du coulisseau 4 glissant dans le guidage a du montant. La roue 1 forme un couple de rotation B avec l'élément 3 qui constitue, à son tour, avec le coulisseau 4 un couple de rotation se présentant sous la forme d'une douille élargie b. La roue 5 forme un couple de rotation C avec le coulisseau 6 se mouvant dans la rainure d de la coulisse 2 qui glisse dans un guidage fixe f-f. Les dimensions des éléments du mécanisme satisfont aux conditions $r_5 = 2r_1$, $AB = 0,125r_1$, $BD = 3r_1$, $DC = r_1$. Pour les dimensions admises des éléments du mécanisme, le point C décrit une courbe q. Lorsque la roue 1 est en mouvement uniforme, la coulisse 2 effectue un mouvement approximativement uniforme au cours de sa marche avant. Pour les dimensions admises des éléments du mécanisme, les vitesses angulaires ω_1 , ω_5 et ω , des roues 1 et 5 et de la bielle 3 sont liées par la condition

$$\omega_5 = \frac{3\omega_3 - \omega_1}{2}.$$

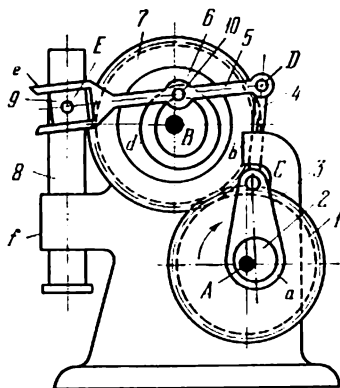
La vitesse angulaire ω , est déterminée d'après les dimensions données des éléments du mécanisme à coulisseau et manivelle ABD.



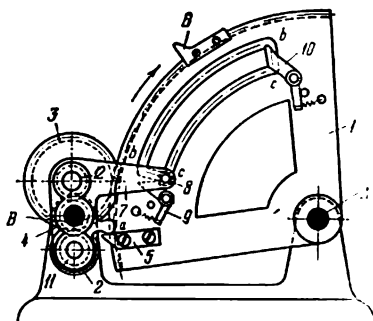
La roue dentée 1, mobile autour d'un axe fixe A, engrène avec une roue dentée 2 mobile autour d'un axe fixe E. La roue 2 engrène avec une roue 3 mobile autour d'un axe fixe B. Les manivelles a et b, solidaires des roues 1 et 3, forment des couples de rotation K et N avec les coulisseaux 7 et 9 glissant dans les rainures d et e des éléments 4 et 6. Ces derniers se meuvent dans des guidages fixes h — h. Les éléments 4 et 6 forment des couples de rotation C et D avec les coulisseaux 10 et 11 se mouvant dans les rainures f et q de l'élément 5. L'élément 5 forme un couple de rotation F avec la tige 8 glissant dans un guidage fixe t. Lorsque la roue 1 tourne, la tige 8 reçoit un mouvement alternatif. La course et la loi cinétique de la tige 8 peuvent être variées en fixant les manivelles a et b dans différentes positions sur les roues 1 et 3.



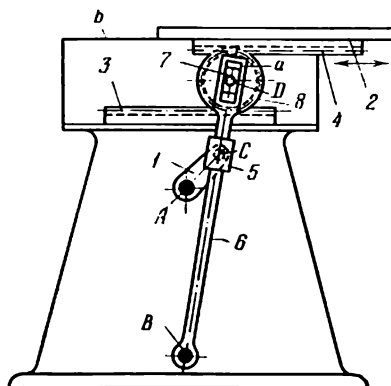
La roue dentée 1, mobile autour d'un axe fixe A, engrène avec la roue dentée 2 tournant autour d'un axe fixe B. Les rayons des cercles primitifs des roues 1 et 2 sont égaux. La roue 1 forme un couple de translation avec l'élément 7 qui glisse dans le guidage 8 appartenant à la roue 1. La came à rainure 9 est rendue solidaire de la roue 1. Le rouleau 6 appartenant au coulisseau 7 glisse dans la rainure a de la came 9. Le rouleau 11 appartenant à l'élément 3 glisse dans la rainure b de la came 10 solidaire de la roue 2. L'élément 3 forme des couples de rotation C et D avec les éléments 7 et 4. L'élément 4 forme un couple de rotation E avec le levier 5 tournant autour d'un axe fixe F. Lorsque la roue 1 tourne, le levier 5 reçoit un mouvement d'oscillation. On obtiendra la loi cinétique voulue du levier 5 en choisissant de manière adéquate les profils des rainures a et b des cames 9 et 10.



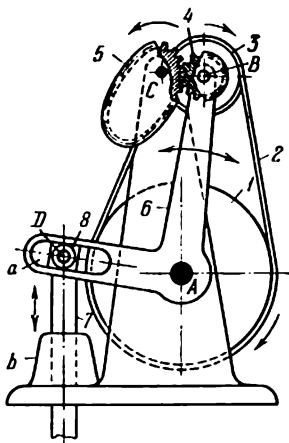
La roue dentée 1, mobile autour d'un axe fixe A, engrène avec une roue dentée 7 tournant autour d'un axe fixe B. L'excentrique 2, solidaire de la roue 1, constitue un couple de rotation qui a la forme d'une douille comportant l'élément 3. L'élément 3 forme un couple de rotation C avec le coulisseau 4 qui glisse dans un guidage b. Le rouleau 10 appartenant à l'élément 5 glisse dans la rainure d de la came 6 qui est solidaire de la roue 7. L'élément 5 forme un couple de rotation D avec le coulisseau 4 et un couple de translation avec le coulisseau 9 glissant dans la coulisse e. Le coulisseau 9 constitue un couple de rotation E avec le coulisseau 8 glissant dans un guidage fixe f. Lorsque la roue 1 tourne, la tige 8 reçoit un mouvement alternatif. On obtiendra la loi cinétique voulue de la tige 8 en choisissant de manière adéquate le profil de la rainure d de la coulisse 6.



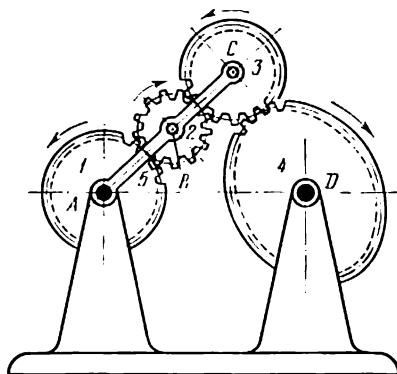
Le mécanisme transforme le mouvement oscillatoire du secteur denté 1, pivotant autour d'un axe fixe A, en un mouvement de rotation de la roue dentée 4 à vitesse variable. La direction et la vitesse de rotation de la roue 4 varient selon la direction du mouvement du secteur 1. Lorsque le secteur 1 se déplace dans le sens indiqué par la flèche, le rouleau 8 qui se trouve à l'extrémité du levier 7 se déplace dans la rainure intérieure c — c du secteur 1. La rotation de la roue dentée 3, qui est en prise avec le secteur denté 1, est transmise à la roue menée 4 par l'intermédiaire de la roue dentée 12 rendue solidaire du secteur denté 1. Le cliquet 5 contactant la saillie du levier 7 désengrène la roue dentée 3 du secteur denté 1, en provoquant simultanément l'engrenage du secteur avec la roue dentée 2. A ce moment la direction du mouvement du secteur 1 change. Lorsque le secteur 1 se déplace dans le sens opposé à celui indiqué par la flèche, le rouleau 8 qui se trouve à l'extrémité du levier 7 est animé d'un mouvement dans la rainure extérieure b — b, le cliquet 9 lui bloquant ainsi le passage dans la rainure intérieure. La roue 2, rigidement liée à la roue dentée 11, commande le mouvement de rotation de la roue menée 4. Quand la saillie a du levier 7 touche le cliquet 6, la roue dentée 2 est dégagée de l'engrenage avec le secteur 1 qui engrène aussitôt avec la roue dentée 3. Le rouleau 8 passe donc dans la rainure intérieure c — c et le cliquet 10 l'empêche de revenir en arrière. Par suite, le secteur 1 tourne dans le sens opposé. La vitesse de rotation de la roue menée changera avec la variation du sens de mouvement du secteur menant 1 grâce à la différence des diamètres des roues dentées 2 et 3.



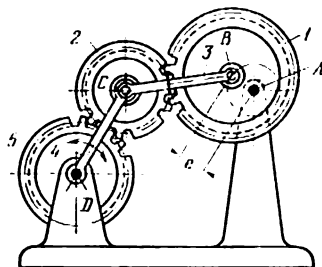
La manivelle 1 tourne autour d'un axe fixe A, formant un couple de rotation C avec le coulisseau 5. Le coulisseau 5 glisse dans la coulisse 6 tournant autour d'un axe fixe B. Le coulisseau 7 qui constitue un couple de rotation D avec la roue dentée 8 glisse dans la rainure a de la coulisse 6. La roue 8 engrène avec la crémaillère fixe 3 et la crémaillère mobile 4 appartenant au coulisseau 2 qui glisse dans un guidage b. Lorsque la manivelle 1 tourne, le coulisseau 2 effectue un mouvement alternatif à une vitesse deux fois égale à celle du point D. On obtient ainsi la duplication de la course du coulisseau 2 par rapport au mouvement du point D.



La poulie ronde 1 tourne autour d'un axe fixe A. L'élément flexible 2 embrasse la poulie 1 et la poulie 3 tournant autour d'un axe B. La roue dentée ronde 4, solidaire de la poulie 3, engrène avec une roue dentée non ronde 5 tournant autour d'un axe fixe C. Le levier 6, mobile autour de l'axe fixe A, forme un couple de rotation avec les éléments 3 et 4 et un couple de translation D avec le coulisseau 8 se mouvant dans la coulisse a appartenant au levier 6. La tige 7, glissant dans un guidage fixe b, constitue un couple de rotation avec le coulisseau 8. Lorsque la poulie 1 tourne, le levier 6 reçoit un mouvement d'oscillation. Par suite, la tige 7 effectue un mouvement alternatif dans le guidage b. La loi de mouvement du levier 6 et de la tige 7 dépend du profil qu'on aura choisi pour la centroïde de la roue non ronde 5.



La roue dentée ronde 1, mobile autour d'un axe fixe A, engrène avec la roue dentée ronde 2 qui tourne autour de l'axe B de l'élément 5. La roue 2 engrène avec une roue dentée ronde 3 mobile autour de l'axe C de l'élément 5. La roue 3 engrène avec une roue dentée non ronde 4 mobile autour d'un axe fixe D, le profil du cercle primitif de cette roue ayant la forme d'un ovale symétrique. L'élément 5 est mobile autour de l'axe fixe A. Lorsque la roue 1 est en mouvement uniforme, la roue menée 4 reçoit un mouvement non uniforme. L'effort de contact entre les roues 3 et 4 est assuré par le poids des roues 2 et 3 et de l'élément 5. Le changement de l'entr'axe CD se fait par rotation de l'élément 5 autour de l'axe A.



La roue dentée ronde 1 tourne autour d'un axe fixe A situé à la distance e de l'axe géométrique B de la roue 1. La roue 1 engrène avec la roue 2 qui est, à son tour, en prise avec la roue 5 tournant autour d'un axe fixe D. Les éléments 3 et 4 forment des couples de rotation cinématiques B, C et D avec les roues 1, 2 et 5 et avec le montant. Lorsque la roue motrice 1 est en mouvement uniforme, la roue réceptrice 5 reçoit un mouvement non uniforme. La loi de mouvement de la roue 5 peut être variée en diminuant ou en augmentant l'excentricité e .

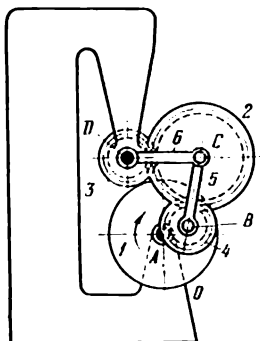
Les vitesses angulaires ω_1 , ω_2 , ω_4 , ω_5 des roues 1, 2 de l'élément 4 et de la roue 5 du mécanisme sont liées par des relations

$$\omega_5 = \omega_1 \frac{i_{21}}{i_{25}} + \omega_2 \frac{1 - i_{21}}{i_{25}} - \omega_4 \frac{1 - i_{25}}{i_{25}},$$

où

$$i_{25} = \frac{\omega_2}{\omega_5} = -\frac{z_5}{z_2}, \quad i_{21} = \frac{\omega_2}{\omega_1} = -\frac{z_1}{z_2},$$

où z_1 , z_2 et z_5 sont les nombres de dents des roues 1, 2 et 5. Les vitesses angulaires ω_4 et ω_5 peuvent être déterminées d'après les dimensions données des éléments du mécanisme à quatre éléments articulés ABCD.



La manivelle 1, qui se présente sous la forme d'un disque, tourne autour d'un axe fixe A et constitue des couples de rotation B avec la bielle 5 et la roue dentée 4. La bielle 5 forme un couple de rotation C avec le levier oscillant 6 animé d'un mouvement de rotation autour d'un axe fixe D. La roue 4 engrène avec la roue 2 mobile autour d'un axe C. La roue 2 engrène, à son tour, avec la roue 3 rendue solidaire du montant. Lorsque la manivelle 1 tourne, les roues 2 et 4 effectuent un mouvement combiné. Les rapports de transmission i_{12} et i_{14} sont tels que

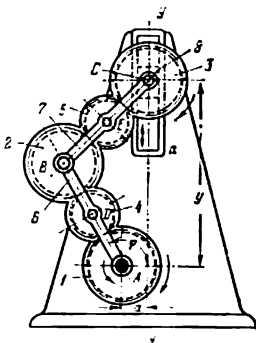
$$i_{12} = \frac{\omega_1}{\omega_2} = \frac{i_{16}}{1 - i_{23}} = i_{16} \frac{z_2}{z_2 + z_3}$$

et

$$i_{14} = \frac{\omega_1}{\omega_4} = \frac{i_{15}}{1 - i_{42}} = i_{15} \frac{z_2}{z_2 + z_4},$$

où ω_1 , ω_2 , ω_4 sont les vitesses angulaires de l'élément 1 et des roues 2 et 4; z_2 , z_3 , z_4 , les nombres de dents des roues 2, 3 et 4. Les rapports de transmission $i_{15} = \frac{\omega_1}{\omega_5}$ et $i_{16} = \frac{\omega_1}{\omega_6}$,

où ω_1 , ω_5 et ω_6 sont les vitesses angulaires des éléments 1, 5 et 6, sont déterminés d'après les dimensions données des éléments du mécanisme ABCD à levier oscillant et manivelle.



La roue dentée 1 tourne autour d'un axe fixe A. La manivelle 6 tourne également autour de l'axe A de façon indépendante. La roue 1 engrène avec la roue 4 tournant autour de l'axe D de la manivelle 6 et engrenant, à son tour, avec la roue 2 mobile autour d'un axe B. La roue 5 tourne autour de l'axe E de la bielle 7 et met en rotation la roue 3 autour d'un axe C. La bielle 7 et la roue 3 constituent un couple de rotation C avec le coulisseau 8 glissant dans un guidage fixe a. Etant donné que les dimensions des roues 1, 2, 3 d'une part et des roues 4, 5 de l'autre sont égales, la longueur de l'élément 8 est égale à celle de la bielle 7. Lorsque la roue motrice 1 tourne à une vitesse angulaire ω_1 et lorsque la manivelle menante 6 tourne à une vitesse angulaire ω_6 , indépendante de la vitesse angulaire ω_1 , la roue réceptrice 3 tournera autour de l'axe C à une vitesse angulaire ω_3 et se déplacera d'un mouvement alternatif le long de l'axe $y - y$. Le déplacement de la roue 3 sera égal à

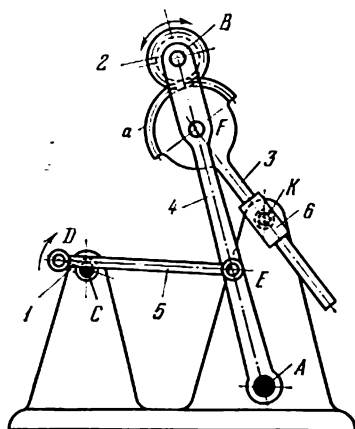
$$y = l (\sin \varphi \pm \sqrt{1 - (\kappa - \cos \varphi)^2}),$$

où l est la longueur des éléments 6 et 7, $\kappa = \frac{a}{l}$ et φ , l'angle de rotation de la manivelle 6.

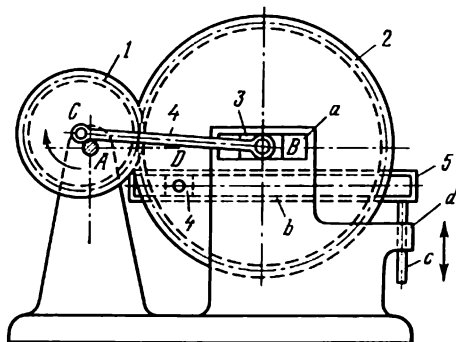
Si $a = 0$, le déplacement y est égal à

$$y = 2l \sin \varphi.$$

En variant les vitesses angulaires ω_1 et ω_6 et leurs sens, on peut obtenir différentes lois de mouvement de la roue réceptrice 3.



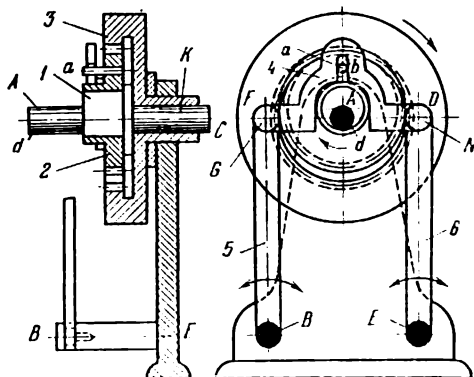
La manivelle 1, mobile autour d'un axe fixe C, constitue un couple de rotation D avec l'élément 5, ce dernier forme un couple de rotation E avec le levier oscillant 4 tournant autour d'un axe fixe A. Le levier oscillant 4 constitue un couple de rotation F avec l'élément 3 glissant dans la coulisse 6 mobile autour d'un axe fixe K. L'élément 3 possède un secteur denté a qui engrène avec la roue dentée 2. Celle-ci forme un couple de rotation B avec le levier oscillant 4. Lorsque la manivelle 1 tourne, la roue 2 effectue un mouvement non uniforme combiné déterminé par les dimensions des éléments.



La roue dentée 1, mobile autour d'un axe fixe A, engrène avec la roue dentée 2 qui tourne autour de l'axe B appartenant au coulisseau 3. Le coulisseau 3 se meut dans un guidage fixe a. La bielle 4 forme des couples de rotation C et B avec la roue 1 et le coulisseau 3. La roue 2 constitue un couple de rotation D avec le coulisseau 4 qui glisse dans la rainure b de la coulisse 5 dont la tige c se meut dans un guidage fixe d. Lorsque la roue 1 tourne, la coulisse 5 reçoit un mouvement alternatif. Les vitesses angulaires ω_1 , ω_2 et ω_4 des roues 1 et 2 et de la bielle 4 sont liées par la relation

$$\omega_2 = \omega_1 \frac{1}{i_{12}} - \omega_4 \frac{1 - i_{12}}{i_{12}},$$

où $i_{12} = -\frac{z_2}{z_1}$, z_1 et z_2 sont les nombres de dents des roues 1 et 2. La vitesse angulaire ω_4 peut être déterminée d'après les dimensions données des éléments du mécanisme ACB à coulisseau et manivelle.

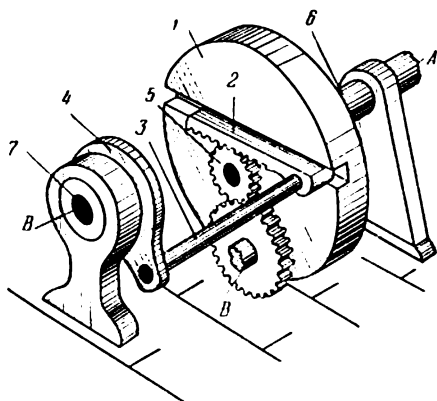


La roue dentée 2, avec l'excentrique 1 solidaire de cette roue, tourne autour d'un axe fixe A et engrène avec la roue 3 mobile autour d'un axe fixe C. La roue 2 comporte un doigt a qui s'engage dans la rainure b appartenant à l'élément 4. L'élément 4 forme des couples de rotation G et N avec les éléments 5 et 6 tournant autour des axes fixes B et E. Lorsque l'arbre menant d est en rotation uniforme, la roue 2 reçoit un mouvement de translation, et la roue menée 3, qui se meut sur l'arbre k, tourne autour de l'axe C à une vitesse angulaire constante. Les éléments du mécanisme satisfont aux conditions $BG = EN$ et $GN = BE$, c'est-à-dire que la figure $BGNE$ est un parallélogramme. Le rapport de transmission i_{dk} de l'arbre d à l'arbre k est égal à

$$i_{dk} = \frac{z_3 - z_2}{z_3},$$

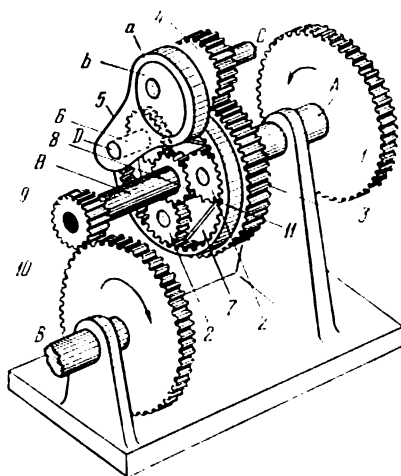
où z_2 et z_3 sont les nombres de dents des roues 2 et 3. Si la différence entre les nombres de dents n'est pas grande, il est possible d'obtenir de grands rapports de transmission.

**MÉCANISME PLANÉTAIRE À COULISSE
ET ENGRENAGE DESTINÉ À REPRODUIRE
LE MOUVEMENT NON UNIFORME
DE L'ARBRE MENÉ**



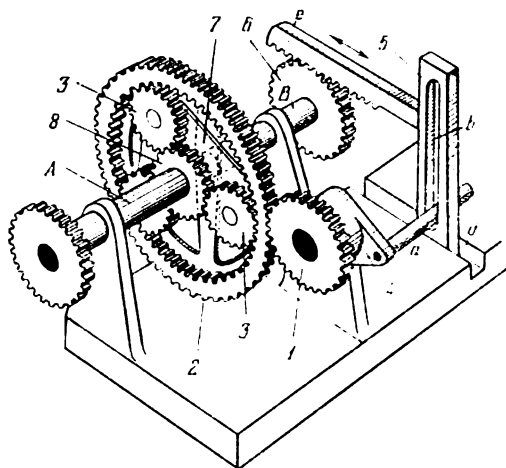
Lorsque l'arbre 6 tourne autour d'un axe fixe A, le disque 1 avec la crémaillère 2 reçoivent un mouvement de rotation. La crémaillère 2 est reliée par le levier 3 à l'élément 4 monté fou sur l'arbre 7 qui tourne autour d'un axe fixe B parallèle à l'axe A. La crémaillère reçoit un mouvement alternatif supplémentaire dans la rainure du disque 1. La roue dentée 5 et l'arbre 7 sont entraînés dans le mouvement conformément à des lois variant selon les rapports des dimensions des éléments.

**MÉCANISME À LEVIERS ET ENGRENAGE
DESTINÉ À REPRODUIRE
LA ROTATION NON UNIFORME
DE L'ÉLÉMENT MENÉ**

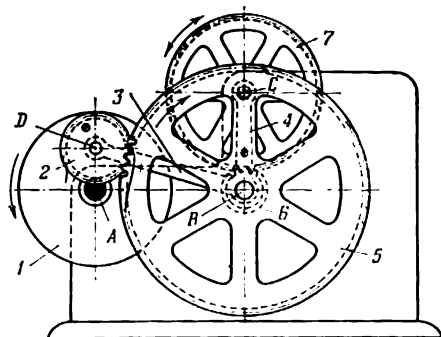


Les commandes indépendantes des arbres *A* et *B* sont réalisées au moyen d'engrenages qui sont en prise avec les roues *1* et *10*. La roue dentée *3*, solidaire de l'arbre *A*, engrène avec la roue dentée *4* mobile autour d'un axe fixe *C*. L'excentrique rond *b*, solidaire de la roue *4*, est embrassé par une douille *a* appartenant à l'élément *5* qui constitue un couple de rotation *D* avec le porte-satellites *7*. La roue dentée *8*, solidaire de l'arbre *A*, engrène avec les satellites *2* qui forment des couples de rotation avec le porte-satellites *7* et qui engrènent avec la roue dentée *11* à denture intérieure. Lorsque les roues dentées *1* et *9* sont en mouvement uniforme, le porte-satellites reçoit un mouvement non uniforme.

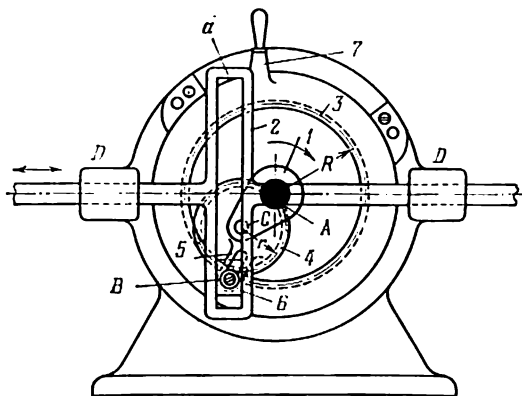
**MÉCANISME PLANÉTAIRE À LEVIERS
ET ENGRENAGE DESTINÉ À REPRODUIRE
LE MOUVEMENT COMBINÉ
DE L'ÉLÉMENT MENÉ**



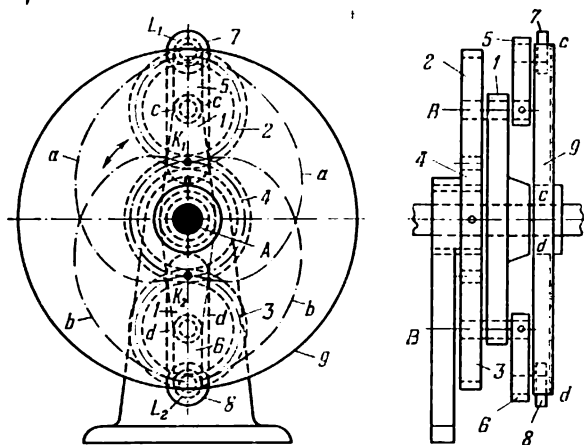
Le levier 4, solidaire de la roue dentée motrice 1, porte un doigt *a* glissant dans la rainure rectiligne *b* de l'élément 5. L'élément 5 se meut dans un guidage fixe *d* et comporte une crémaillère *e* qui engrène avec une roue dentée 6. La roue 6 et le porte-satellites 7 sont solidaires de l'arbre *B*. Le porte-satellites 7 forme des couples de rotation avec les satellites 3. Les satellites 3 entrent en prise intérieure avec la roue dentée 2 et en prise avec la roue dentée 8 solidaire de l'arbre *A*. Lorsque la roue 1 est en mouvement uniforme, l'arbre *A* reçoit un mouvement de rotation non uniforme et peut suivre diverses lois complexes définies par les dimensions des éléments.



Le disque 1 tourne sur un arbre menant A. La roue 2 est rigidement fixée sur ce disque à une distance AD de l'axe A. Le levier oscillant 4 est rendu solidaire des roues dentées 5 et 6. La constance de l'engrènement des roues 2 et 5 s'obtient au moyen de la bielle 3. La roue dentée 6 met en mouvement de rotation la roue dentée 7 autour d'un axe C. L'axe B effectue un mouvement oscillatoire autour de l'axe C. Pour un tour du disque 1, la roue 7 effectue un mouvement dans les deux sens, mais se déplace plus rapidement dans un sens que dans l'autre. La durée des mouvements aller et retour est fonction des dimensions des éléments du quadrilatère ABCD et du rapport des nombres de dents des roues 2, 5, 6 et 7.



Le porte-satellites 1, mobile autour d'un axe fixe A, forme un couple de rotation C avec le satellite 4 qui engrène intérieurement avec la roue fixe 3. La manivelle 5, solidaire du satellite 4, forme un couple de rotation B avec le coulisseau 6 glissant dans la coulisse a de l'élément 2. L'élément 2 coulisse dans un guidage fixe D — D. Les axes de la coulisse a et du guidage D — D sont perpendiculaires entre eux. Le rayon R du cercle primitif de la roue 3 est égal à $R = 2r$, où r est le rayon du cercle primitif du satellite. Lorsque le porte-satellites 1 tourne, tout point du satellite 4 situé sur le cercle primitif se déplace le long d'une droite qui passe par le centre A. En faisant tourner la roue 3 avec la manivelle 7, on peut fixer le point B de la manivelle 5 dans différentes positions par rapport à l'axe AC du porte-satellites 1 et obtenir pour l'élément 2 des courses de longueur variable, allant de zéro à $2R$.

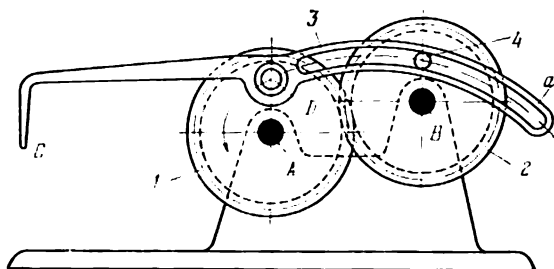


L'élément menant du mécanisme est le porte-satellites 1 tournant autour d'un axe fixe A et formant un couple de rotation B avec les satellites 2 et 3. Les satellites 2 et 3 se déplacent sur la roue dentée fixe 4. Les rouleaux 7 et 8 tournent sur les extrémités des leviers 5 et 6 solidaires des axes des satellites; les trajectoires effectuées par leurs centres sont les épicycloïdes $a - a$ et $b - b$. En couissant dans les rainures $c - c$ et $d - d$ du disque 9, les rouleaux 7 et 8 entraînent ce dernier en rotation à une vitesse qui varie périodiquement de zéro (quand les centres des rouleaux occupent les points K_1 et K_2 de leurs trajectoires) à un maximum quelconque (quand les centres des rouleaux occupent les points L_1 et L_2) et vice versa. Les diamètres des roues dentées 2, 3 et 4 étant égaux, la période pendant laquelle la vitesse du disque mené 9 change est égale à la durée d'un tour de l'élément menant 1 autour de l'axe A.

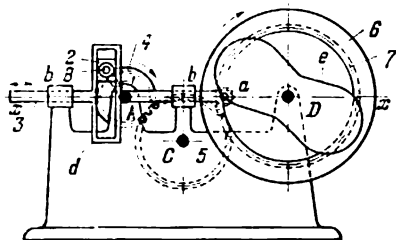
4. Mécanismes servant à tracer les courbes (178-197)

| 178 | MÉCANISME À LEVIERS ET ENGRENAGE AVEC DEUX EXCENTRIQUES DESTINÉ À REPRODUIRE LA COURBE DE BIELLE | LEn TC |
|-----|--|-----------|
| | | |
| | | |

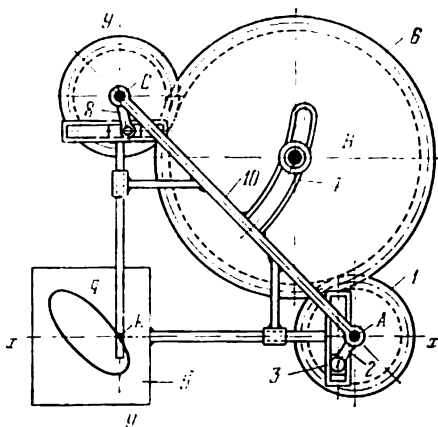
La roue dentée 1, mobile autour d'un axe fixe A, engrène avec une roue dentée 2 tournant autour d'un axe fixe B. L'excentrique 4 est rendu solidaire de la roue dentée 1, et l'excentrique 5, de la roue dentée 2. L'excentrique 4 forme un couple de rotation avec l'élément 3, ce couple se présentant sous la forme d'une bague a embrassant l'excentrique 4. L'élément 3 forme un couple de rotation C avec l'élément 6 qui, à son tour, forme un couple de rotation avec l'excentrique 5. Ce couple de rotation se présente sous la forme d'une bague b embrassant l'excentrique 5. Les dimensions des éléments du mécanisme satisfont aux conditions selon lesquelles les cercles primitifs des roues 1 et 2 sont égaux, de même que les diamètres des excentriques 4 et 5. Lorsque la roue menante 1 tourne, l'élément 3 reçoit un mouvement combiné, tandis que le point D de cet élément décrit une courbe de bielle complexe.



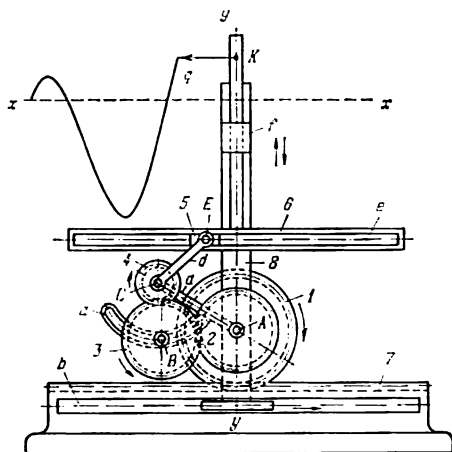
La roue dentée 1, mobile autour d'un axe fixe A, engrène avec la roue 2 tournant autour d'un axe fixe B. La roue 2 comporte un doigt 4 coulissant dans la rainure curviligne *a* de la coulisse 3 qui forme un couple de rotation D avec la roue 1. Le point C de la coulisse 3 décrit une courbe de bielle compliquée.



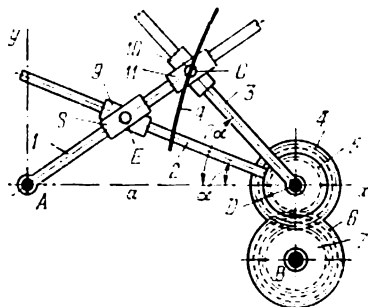
Le mécanisme est destiné à obtenir les courbes du type des sinoïdes. La manivelle 1, solidaire de la roue dentée 4, tourne autour d'un axe fixe A et forme un couple de rotation B avec le coulisseau 2 glissant dans la rainure d de la coulisse 3. La coulisse 3 se meut dans un guidage fixe b — b. La roue 4 engrène avec la roue 5 tournant autour d'un axe fixe C qui, à son tour, engrène avec la roue 7 tournant autour d'un axe fixe D. Le disque 6 est rendu solidaire de la roue 7. Lorsque la manivelle 1 tourne, le point a de la coulisse 3 trace sur le disque 6 la courbe e du type d'une sinoïde. Le déplacement x du point a suivant l'axe x — x est égal à $x = x_0 + r \cos \varphi$, et l'angle φ_7 de rotation du disque 6 est égal à $\varphi_7 = \frac{z_4}{z_7} \varphi$, où x_0 est la coordonnée initiale qui détermine la position de l'élément 3; r, la distance AB; φ , l'angle formé par AB avec l'axe x — x; z_4 et z_7 , les nombres de dents des roues 4 et 7. On obtient des sinoïdes de formes différentes en variant la dimension AB de la manivelle 1 et les nombres de dents z_4 et z_7 .



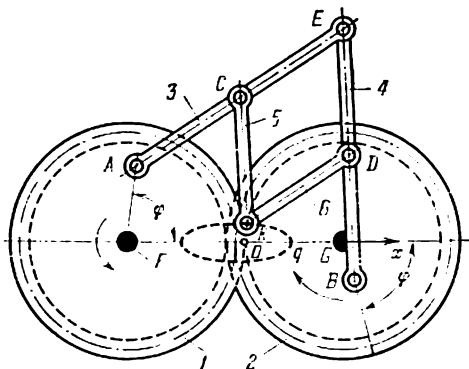
La roue dentée 1 tourne autour d'un axe fixe A et engrène avec la roue dentée 6 mobile autour d'un axe fixe B. L'axe B engrène, à son tour, avec la roue dentée 7 tournant autour d'un axe fixe C. La roue 1 est solidaire de la manivelle 2 commandant le mouvement alternatif le long de l'axe $x - x$ de la coulisse 3 et de la planchette 5 qui lui est solidaire. La manivelle 8, solidaire de la roue 7, imprime à la coulisse 9 portant le crayon k un mouvement alternatif le long de l'axe $y - y$. Le cadre 10 est rendu fixe. Lorsque les mouvements de la planchette et du crayon se composent, une courbe est décrite aux axes $x - x$ et $y - y$. Quand le rapport de transmission des roues dentées 1 et 7 varie, le caractère de la courbe décrite par le crayon k varie également. Lorsqu'on change les roues, l'arbre de la roue intermédiaire 6 doit être fixé dans la position correspondante le long de la rainure 4.



La roue dentée 1 engrène avec une crémaillère fixe 7 et forme un couple de rotation A avec le coulisseau 8 se déplaçant dans un guidage b. L'entraîneur a, solidaire de la roue 1, forme des couples de rotation B et C avec les roues dentées 3 et 4. L'entraîneur d, solidaire de la roue 4, forme un couple de rotation E avec le coulisseau 5 se mouvant dans la rainure e de la coulisse 6 qui glisse dans le guidage f appartenant au coulisseau 8. La roue 3 engrène avec la roue 4 et la roue 2 qui tourne avec la roue 1 autour de l'axe A du coulisseau 8. Lorsque la roue 1 tourne, elle roule sur la crémaillère 7 en déplaçant le coulisseau 8 suivant l'axe $x - x$. La roue 2 transmet par l'intermédiaire des roues 3 et 4 le mouvement au coulisseau 5 qui déplace la coulisse 6 suivant l'axe $y - y$. Tout point K de la coulisse 6 décrit une courbe q du type sinusoïdal. On obtient des courbes de paramètres différents en remplaçant la roue 2 par des roues de rechange. Lorsqu'on change les roues, la roue intermédiaire 3 doit être fixée dans la position correspondante dans la rainure arquée de l'entraîneur a.



L'élément 1, mobile autour d'un axe fixe A, forme un couple de translation avec le coulisseau 8 se mouvant suivant l'axe de l'élément 1. Le coulisseau 8 forme un couple de rotation E avec le coulisseau 9 glissant suivant l'axe de l'élément 2 qui est rigidement relié à la roue dentée 4. La roue 4 tourne autour d'un axe fixe D et engrène avec la roue dentée 7 tournant autour d'un axe fixe B. La roue dentée 6, mobile autour de l'axe B, engrène avec la roue 5 solidaire de l'élément 3 qui forme un couple de translation avec le coulisseau 10 se déplaçant suivant l'axe de l'élément 3. Le coulisseau 10 forme un couple de rotation C avec l'élément 11 se mouvant suivant l'axe de l'élément 1. Le rapport de transmission i_{47} entre les roues 4 et 7 est égal à $i_{47} = -1$, et le rapport de transmission i_{56} entre les roues 5 et 6 est égal à $i_{56} = -2$. Le point C du mécanisme trace la partie q de l'hyperbole.



La roue dentée 1, mobile autour d'un axe fixe F , engrène avec la roue identique 2 tournant autour d'un axe fixe G . Les roues 1 et 2 forment des couples de rotation A et B avec les éléments 3 et 4 qui constituent un couple de rotation E . L'élément 3 forme un couple de rotation C avec l'élément 5, tandis que l'élément 4 forme un couple de rotation D avec l'élément 6. Les éléments 5 et 6 forment un couple de rotation K . Les dimensions des éléments du mécanisme satisfont aux conditions

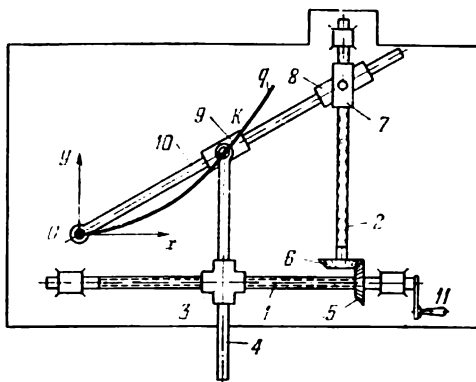
$$AC = CE = ED = DB = CK = DK.$$

Les directions FA et GB forment avec l'axe Ox des angles égaux φ . Lorsque la roue 1 tourne, le point K décrit l'ellipse q qui a pour équation

$$\frac{x^2}{a^2} + \frac{y^2}{b^2} = 1,$$

où

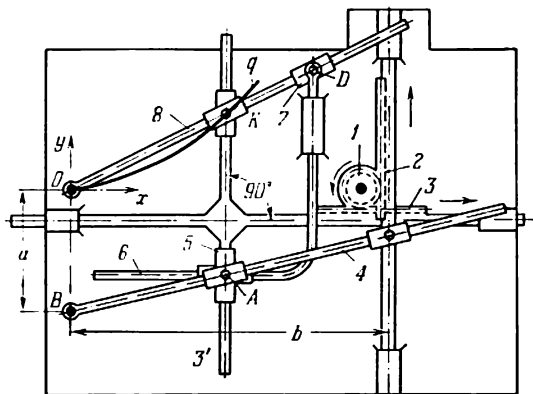
$$a = \frac{FA + GB}{2} \text{ et } b = \frac{FA - GB}{2}.$$



La vis 1 porte l'élément 3 qui est l'écrou de la vis 1. L'élément 4 glisse dans le guidage de l'élément 3. La rotation de la vis 1 est transmise au moyen des roues dentées coniques 5 et 6 à la vis 2 sur laquelle glissent le manchon 7 et le coulisseau 8 s'articulant sur ce manchon. L'élément 4 forme un couple de rotation avec le coulisseau 9 se déplaçant dans la coulisse 10. Lorsqu'on tourne la manette de la vis 11, le point K du mécanisme trace une partie de parabole qui a pour équation

$$y = \frac{1}{k} x^2,$$

où k est la distance de l'axe de la vis 2 à l'origine de coordonnées.

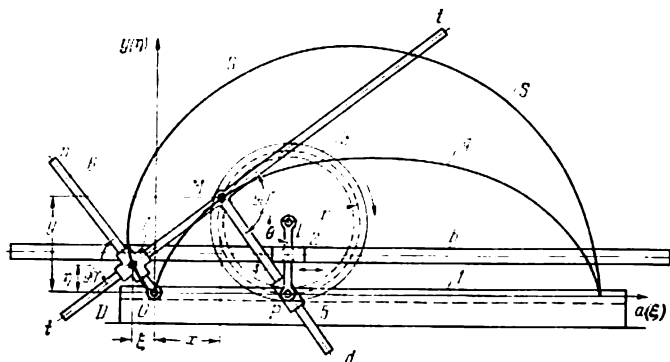


Lorsqu'on met en mouvement la roue dentée 1, elle engrène avec les crémaillères 2 et 3 qui se déplacent dans des guidages fixes dans le sens des flèches. L'inclinaison de la coulisse 4 et la position du point A sur la coulisse 3' changent dans ce cas. La coulisse 3 comporte au point A un croisillon 5 par lequel passe, perpendiculairement à la coulisse 3', la coulisse 6 qui n'effectue dans le guidage fixe qu'un mouvement vertical. La coulisse 6 forme un couple de rotation D avec le coulisseau 7 par lequel passe la coulisse 8. Lorsque le mécanisme est en mouvement, le point K du croisement des coulisses 8 et 3' décrit une partie de parabole cubique qui a pour équation

$$y = \frac{x^3}{ab},$$

où $a = OB$, b est la distance de l'axe de la crémaillère 2 à l'axe de coordonnées.

**MÉCANISME D'ARTOBOLEVSKI À COULISSE
ET ENGRENAGE SERVANT
À TRACER LA PODAIRE DE LA CYCLOÏDE
D'UN CERCLE**



La roue dentée 3 engrène avec la crémaillère fixe 1 et forme un couple de rotation L avec le coulisseau 2 glissant dans un guidage fixe b . Le coulisseau 2 constitue un couple de rotation P avec le coulisseau 5 se déplaçant suivant l'axe Md de l'élément 4 en forme de T. L'élément 4 forme un couple de rotation M avec la roue 3, et la traverse $t-t$ glisse dans le coulisseau 7 en forme de croix dont les axes sont perpendiculaires entre eux. Le coulisseau 7 se meut suivant l'axe On de l'élément 6 tournant autour d'un axe O . Les dimensions des éléments du mécanisme satisfont à la condition $ML = LP = r$, où r est le rayon du cercle primitif de la roue 3. Lorsque le coulisseau 2 effectue un mouvement de translation dans le guidage b , la roue 3 roule sur la crémaillère 1, et le point M décrit la cycloïde q d'un cercle de rayon r dont les équations paramétriques sont de la forme

$$x = r\theta - r \sin \theta \text{ et } y = r - r \cos \theta.$$

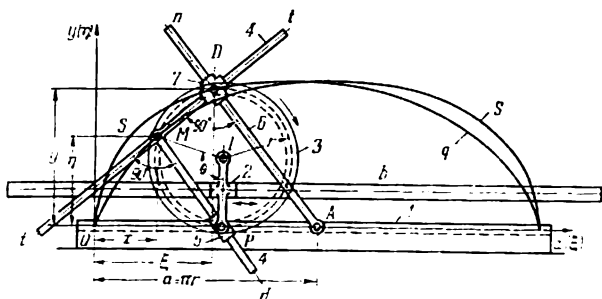
Le point D du coulisseau 7 décrit la podaire $s-s$ de la cycloïde q de centre O dont les équations paramétriques sont de la forme

$$\eta = r \left(1 - \cos \theta - \frac{0}{2} \sin \theta \right)$$

et

$$\xi = r \left[\frac{0}{2} (1 + \cos \theta) - \sin \theta \right],$$

où θ est l'angle MLP .



La roue dentée 3 engrène avec la crémaillère fixe 1 et forme un couple de rotation L avec le coulisseau 2 glissant dans un guidage fixe b . Le coulisseau 2 forme un couple de rotation P avec le coulisseau 3 se déplaçant suivant l'axe Md de l'élément 4 en forme de T. L'élément 4 constitue un couple de rotation M avec la roue 3, et sa traverse $t-t$ glisse dans le coulisseau 7 en forme de croix dont les axes sont perpendiculaires entre eux. Le coulisseau 7 se déplace suivant l'axe An de l'élément 6 mobile autour d'un axe A situé à une distance OA de l'axe Ox . Les dimensions des éléments du mécanisme satisfont aux conditions $OA = \pi r$, $ML = LP = r$, où r est le rayon du cercle primitif de la roue 3. Lorsque le coulisseau 2 est animé d'un mouvement de translation dans le guidage b , la roue 3 roule sur la crémaillère 1, et le point M décrit la cycloïde q d'un cercle de rayon r dont les équations paramétriques sont de la forme

$$x = r\theta - r \sin \theta \text{ et } y = r - r \cos \theta.$$

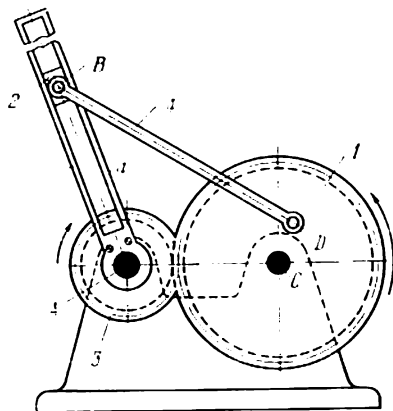
Le point D du coulisseau 7 décrit la podaire $s-s$ de la cycloïde q de centre A dont les équations paramétriques sont de la forme

$$\eta = r \left(1 - \cos \theta + \frac{\pi - \theta}{2} \sin \theta \right)$$

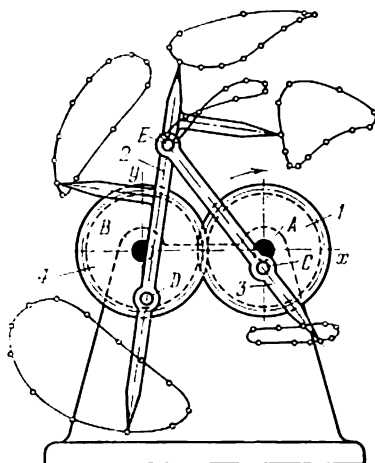
et

$$\xi = r \left[\pi - \sin \theta - \frac{\pi - \theta}{2} (1 + \cos \theta) \right],$$

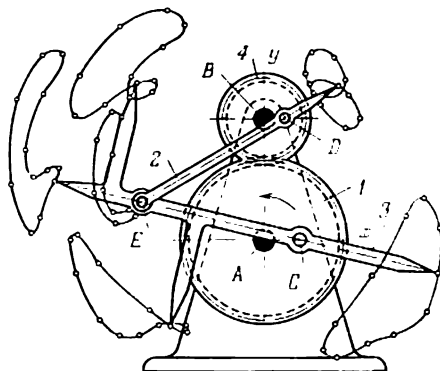
où θ est l'angle MLP .



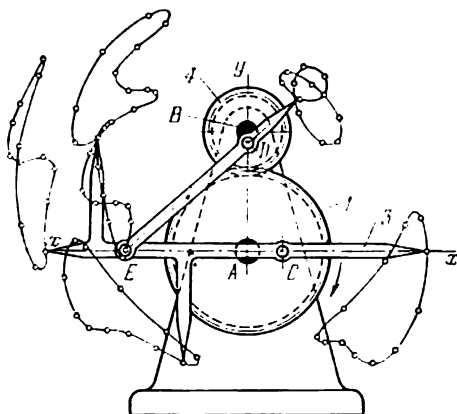
La roue dentée 1, mobile autour d'un axe fixe C, engrène avec la roue dentée 3 qui tourne autour d'un axe fixe A. Le coulisseau 2 glisse dans la rainure a de la coulisse 5 solidaire de la roue 3. L'élément 4 forme des couples de rotation D et B avec la roue 1 et le coulisseau 2. Lorsque la roue 1 tourne, le point B du coulisseau décrit une courbe de bielle complexe.



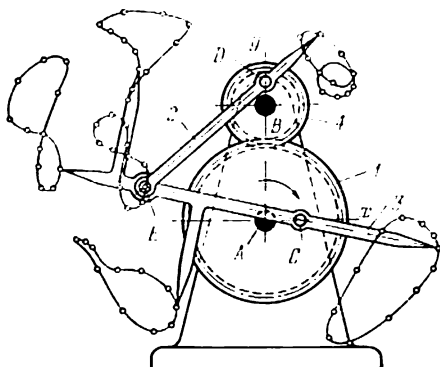
Les roues dentées 1 et 4, qui sont en prise, tournent autour des axes fixes A et B et forment des couples de rotation C et D avec les éléments 3 et 2. Ces derniers constituent un couple de rotation E. Les dimensions des éléments du mécanisme satisfont aux conditions $r_1 = r_4$ et $CE = DE$, où r_1 et r_4 sont les rayons des cercles primitifs des roues 1 et 4. Dans la position de départ du mécanisme montrée sur la figure, les segments de droite AC et BD sont parallèles à l'axe vertical By et sont dirigés vers le bas. Pour les dimensions admises des éléments du mécanisme, lorsque la roue 1 tourne, les points isolés des bielles 2 et 3 décrivent des courbes de bielle complexes montrées sur la figure. En variant les distances AC et BD, on peut obtenir des courbes de bielle de différente forme.



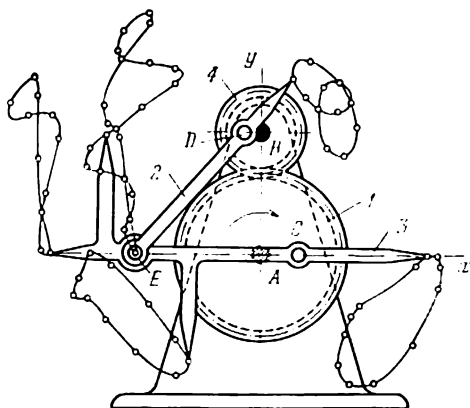
Les roues dentées 1 et 4, qui sont en prise, tournent autour des axes fixes A et B et forment des couples de rotation C et D avec les éléments 3 et 2. Ces derniers forment, à leur tour, un couple de rotation E. Les dimensions des éléments du mécanisme satisfont aux conditions : $r_1 = 2r_4$ et $CE = DE = 2r_1$, où r_1 et r_4 sont les rayons des cercles primitifs des roues 1 et 4. Dans la position de départ du mécanisme montrée sur la figure, les segments de droite AC et BD sont parallèles à l'axe horizontal Ax et sont dirigés vers la droite. Pour les dimensions admises des éléments du mécanisme, lorsque la roue 1 tourne, les points isolés des bielles 2 et 3 décrivent des courbes de bielle complexes montrées sur la figure. En variant les distances AC et BD, on peut obtenir des courbes de bielle de différente forme.



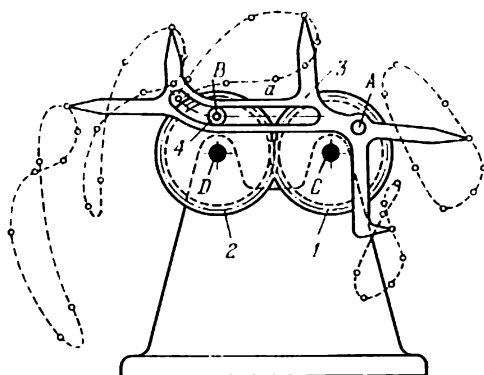
Les roues dentées 1 et 4, qui sont un prise, tournent autour des axes fixes A et B et forment des couples de rotation C et D avec les éléments 3 et 2. Ces derniers forment, à leur tour, un couple de rotation E. Les dimensions des éléments du mécanisme satisfont aux conditions $r_1 = 2r_4$ et $CE = DE = 2r_1$, où r_1 et r_4 sont les rayons des cercles primitifs des roues 1 et 4. Dans la position de départ du mécanisme montrée sur la figure, le segment AC coïncide avec l'axe Ax et est dirigé vers la droite, tandis que le segment BD coïncide avec l'axe Ay et est dirigé vers le bas. Pour les dimensions admises des éléments du mécanisme, lorsque la roue 1 tourne, les points isolés des bielles 2 et 3 décrivent des courbes de bielle complexes montrées sur la figure. En variant les distances AC et BD, on peut obtenir des courbes de bielle de différente forme.



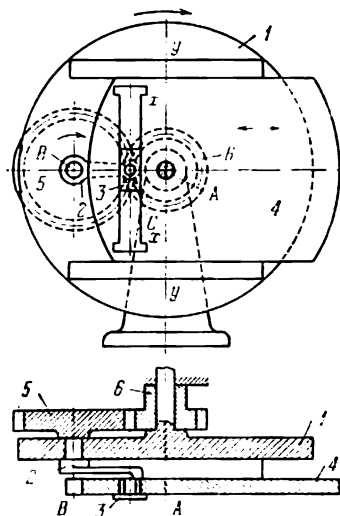
Les roues dentées 1 et 4, qui sont en prise, tournent autour des axes fixes A et B et forment des couples de rotation C et D avec les éléments 3 et 2. Ces derniers forment, à leur tour, un couple de rotation E. Les dimensions des éléments du mécanisme satisfont aux conditions $r_1 = 2r_4$ et $CE = DE = 2r_1$, où r_1 et r_4 sont les rayons des cercles primitifs des roues 1 et 4. Dans la position de départ du mécanisme montrée sur la figure, le segment AC coïncide avec l'axe Ax et est dirigé vers la droite, tandis que le segment BD coïncide avec l'axe Ay et est dirigé vers le haut. Pour les dimensions admises des éléments du mécanisme, lorsque la roue 1 tourne, les points isolés des bielles 2 et 3 décrivent des courbes de bielle complexes montrées sur la figure. En variant les distances AC et BD, on peut obtenir des courbes de bielle de différentes formes.



Les roues dentées 1 et 4, qui sont en prise, tournent autour des axes fixes A et B et forment des couples de rotation C et D avec les éléments 3 et 2. Ces derniers constituent un couple de rotation E. Les dimensions des éléments du mécanisme satisfont aux conditions $r_1 = 2r_4$ et $CE = ED = 2r_1$, où r_1 et r_4 sont les rayons des cercles primitifs des roues 1 et 4. Dans la position du mécanisme montrée sur la figure, les segments AC et BD sont parallèles à l'axe Ax et de sens opposés. Pour les dimensions admises des éléments du mécanisme, lorsque la roue 1 tourne, les autres points des bielles 2 et 3 décrivent des courbes de bielle complexes montrées sur la figure. En variant les distances AC et BD, on peut obtenir des courbes de bielle de différentes formes.



La roue dentée 1 tourne autour d'un axe fixe *C* et engrène avec la roue dentée 2 tournant autour d'un axe fixe *D*. La roue 1 forme un couple de rotation *A* avec la coulisse 3, dans la rainure *a* de laquelle glisse le rouleau 4 tournant autour d'un axe *B* appartenant à la roue 2. Lorsque la roue 1 tourne, les différents points de la coulisse 3 décrivent des courbes de bielle complexes dont la forme dépend des dimensions des éléments du mécanisme et du profil de la rainure *a* de la coulisse 3.



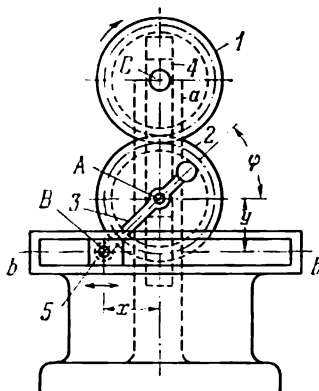
Le mécanisme est destiné à tracer les ovales. Le plateau 1 tournant autour d'un axe fixe A forme un couple cinématique avec une roue dentée 5 mobile autour d'un axe B. La roue 5 engrène avec une roue fixe 6. Lorsque le plateau menant 1 tourne, la roue dentée 5 roule sur la roue fixe 6. La manivelle 2 s'articule sur le plateau 1 et sur le coulisseau 3 glissant dans la rainure verticale $x - x$ du plan 4 qui se déplace dans un guidage $y - y$. Une fois lié au plan 4, le crayon décrit sur le plateau 1 un ovale dont la forme dépend du rapport de transmission des roues dentées.

5. Mécanismes pour opérations mathématiques (198-218)

198

MÉCANISME COSINUSOÏDAL A LEVIERS ET ENGRENAGE

LEn
OM



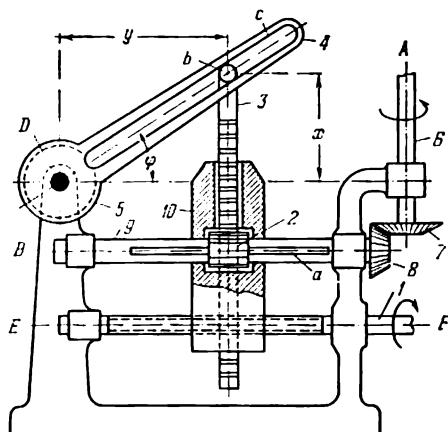
Deux roues dentées rondes identiques 1 et 2 tournent autour des axes C et A appartenant au coulisseau 4 qui glisse dans un guidage vertical *a*. L'élément 3, solidaire de la roue 2, forme un couple de rotation avec le coulisseau 5 se déplaçant dans un guidage fixe *b — b*. Lorsque la roue menante 1 tourne autour de l'axe C, les coulisseaux 5 et 4 glissent dans les guidages *b — b* et *a*, et les trajets *x* et *y* parcourus par les coulisseaux seront donc liés à l'angle φ de rotation des roues 1 et 2 par les relations

$$x = l \cos \varphi$$

et

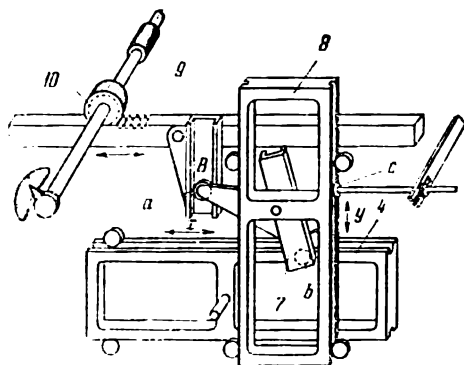
$$y = l \sin \varphi,$$

où *l* est la distance séparant les centres A et B.

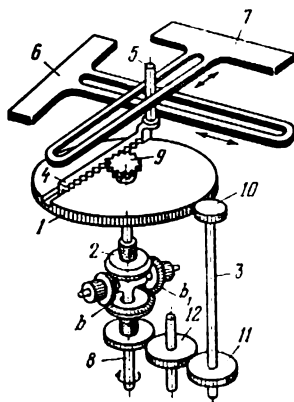


L'arbre 6, tournant autour d'un axe fixe A, entraîne l'arbre 9 dans un mouvement de rotation autour d'un axe fixe B à l'aide de deux roues coniques 7 et 8. L'arbre 9 porte la roue dentée 2 qui se déplace librement le long de l'arbre 9 en glissant sur une clavette a. La roue 2 engrène avec la crémaillère 3 couissant dans un corps 10. Le doigt b glisse dans la rainure c de l'élément 4 tournant autour d'un axe fixe D. La grandeur x est introduite dans le mécanisme par la rotation de l'arbre 6. La grandeur y est introduite dans le mécanisme par la rotation de la vis 1 qui forme un couple hélicoïdal avec le corps 10. L'angle φ de rotation de l'élément 5 est proportionnel aux déplacements linéaires x de la crémaillère 3 et de la vis 1, c.-à-d. que

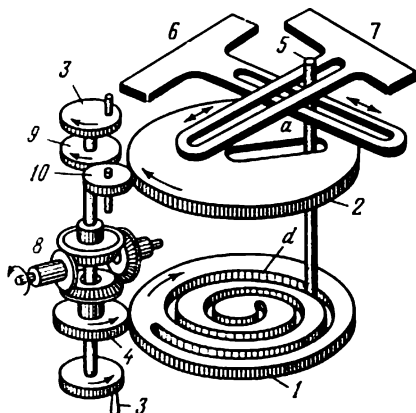
$$\varphi = \text{arc tg } \frac{x}{y}.$$



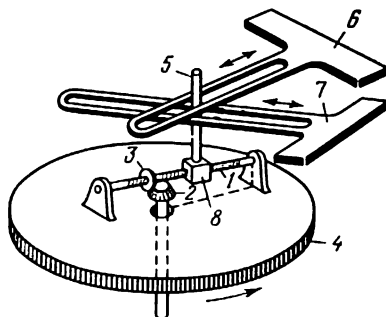
Le mécanisme sert à définir la grandeur du produit $x \cdot y$. La grandeur proportionnelle à y est marquée sur une planche 4 qui se déplace dans les sens indiqués par les flèches. La planche 4 comporte un ergot b qui s'engage dans le trou correspondant de l'auge 7. Lorsque la planche 4 est en mouvement, l'auge 7 pivote autour du point B du rouleau a , et la planche 8 se déplace d'une grandeur proportionnelle à y . La grandeur x est introduite à l'aide de la roue dentée 10 et de la crémaillère 9, la planche 8 recevant un déplacement proportionnel à la grandeur x . Le déplacement résultant de la planche 8 sera de cette façon proportionnel à la grandeur $x \cdot y$ qui est transmise au mécanisme d'asservissement à l'aide d'un rouleau c .



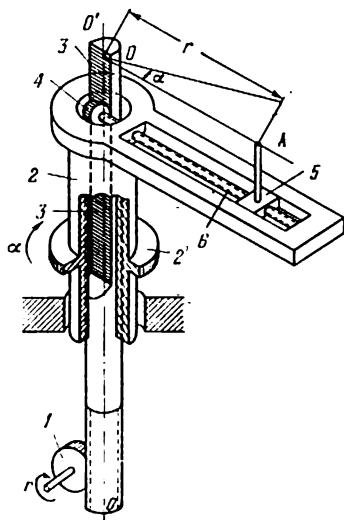
Le mécanisme du coordinateur à crémaillère est destiné à décomposer un vecteur dans un plan suivant les axes de coordonnées situés dans le plan de son action. Les déplacements de translation des éléments 6 et 7, proportionnels aux composantes suivant les axes de coordonnées du vecteur défini par la grandeur de la distance entre le centre de la roue dentée 9 et l'axe du doigt 5 et par l'angle de rotation du disque 1, s'obtiennent à l'aide du doigt 5 fixé sur l'extrémité de la crémaillère 4 mise en prise avec la roue 9. On introduit la grandeur du vecteur à décomposer dans le mécanisme au moyen de l'arbre 8 rigidement relié aux satellites dentés b et b_1 . L'angle d'inclinaison du vecteur aux axes de coordonnées est fixé en tournant le disque 10 à l'aide de l'arbre 3. L'éventualité d'un roulement de la crémaillère 4 susceptible d'altérer la grandeur du vecteur est écartée grâce aux roues dentées 11, 12 et 8 qui agissent sur la roue 9 par l'intermédiaire des satellites b et b_1 et de la roue 2.



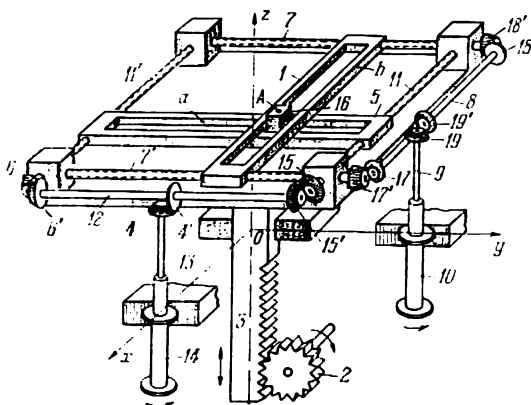
Le mécanisme du coordinateur spiroïdal est destiné à décomposer un vecteur dans un plan suivant les axes de coordonnées situés dans le plan de son action. Les déplacements de translation des éléments 6 et 7, proportionnels aux composantes suivant les axes de coordonnées du vecteur défini par la grandeur de la distance entre le centre du disque 2 et l'axe du doigt 5 et par l'angle de rotation du disque 1, se réalisent à l'aide du doigt 5 couissant dans la rainure spiroïdale *d* du disque 1 et dans la rainure radiale *a* appartenant au disque 2. La rainure *d* a la forme de la spirale d'Archimède. La grandeur et l'angle d'inclinaison du vecteur à décomposer sont introduits au moyen de roues dentées 4 et 1, de satellites dentés 8 et de roues dentées 9 et 10. Les volants 3 servent à introduire le vecteur à décomposer dans le mécanisme.



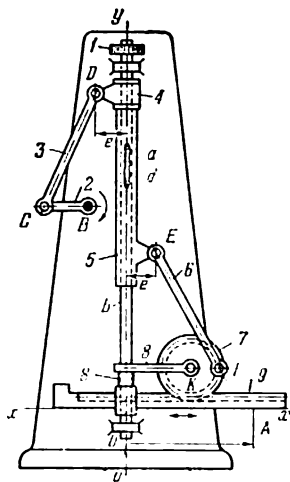
Le mécanisme du coordinateur hélicoïdal est destiné à décomposer un vecteur dans un plan suivant les axes de coordonnées situés dans le plan de son action. Les déplacements de translation des éléments 6 et 7, proportionnels aux composantes suivant les axes de coordonnées du vecteur défini par la grandeur de la distance entre le centre de la roue dentée 4 et l'axe du doigt 5 et par l'angle de rotation du disque 4, se réalisent à l'aide du doigt 5 fixé sur le coulisseau 8 qui forme un couple hélicoïdal avec la vis 1. La grandeur et l'angle d'inclinaison du vecteur à décomposer sont introduits à l'aide de roues coniques 2 et 3 et d'un système d'engrenage (non montré sur la figure) qui font tourner la roue dentée 4.



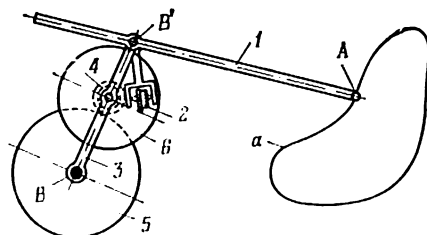
Le module du vecteur \overline{OA} est défini par la rotation de la roue dentée 1, et la direction du vecteur est définie par la rotation de la roue dentée 2' appartenant à l'élément 2. Le mouvement de la roue dentée 1, qui est en prise avec la crémaillère ronde de l'élément 3, est transmis à la roue dentée 4 à laquelle est rigidement reliée la vis 6. L'écrou 5 se déplace sur la vis 6, en variant la grandeur de la distance OA . Lorsque l'élément 2 tourne, l'élément 3 se déplace à la même vitesse angulaire; la roue 1 et la vis 6 ne tournent pas dans ce cas, et le module du vecteur \overline{OA} ne change donc pas.



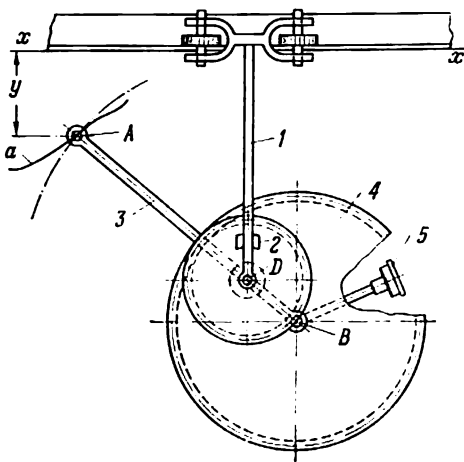
Le mécanisme est destiné à déterminer le vecteur \overline{OA} d'après ses projections $(OA)_x$, $(OA)_y$ et $(OA)_z$ sur les axes Ox , Oy et Oz . La projection $(OA)_x$ est introduite par l'arbre 14 au moyen d'un arbre intermédiaire 13 sur lequel est calée la roue conique 4 qui engrène avec une roue conique identique 4'. La roue 4' est emmanchée sur l'arbre 12, sur lequel sont fixées les roues 6' et 15' qui engrènent avec les roues coniques 6 et 15 calées sur les arbres 11' et 11. Les arbres 11 et 11' forment des couples hélicoïdaux avec l'élément 5. Lorsque l'arbre 14 se meut, l'élément 5 se déplace parallèlement à l'axe Ox , définissant ainsi la projection $(OA)_x$. De même, la rotation de l'arbre 10 est commandée par les arbres intermédiaires 9, 8, les roues coniques 17, 17', 18, 18', 19, 19' et les couples hélicoïdaux formés par l'élément 1 qui se déplace parallèlement à l'axe Oy . Le coulisseau 16 glisse dans les rainures a et b des éléments 5 et 1. La projection $(OA)_z$ est définie par la rotation de la roue dentée 2 qui engrène avec la crémaillère 3 reliée au dispositif définissant les projections $(OA)_x$ et $(OA)_y$. Pour rendre possible le déplacement des roues coniques 4 et 19 suivant l'axe Oz , on prévoit le mouvement de translation des arbres 13 et 9 dans les plans intérieurs des arbres 14 et 10. Le vecteur résultant est défini par la grandeur et la direction du segment OA , où A est le point choisi sur le coulisseau 16.



La manivelle 2 tourne autour d'un axe fixe B , en formant un couple de rotation D avec le coulisseau 4 glissant sur l'arbre b suivant l'axe $y - y'$. L'arbre b porte un doigt a couissant dans la rainure d appartenant au tube 5 qui forme un couple de rotation E avec la bielle 6. La bielle 6 forme un couple de rotation F avec la roue dentée 7. La roue dentée 7 peut tourner autour d'un axe K . La roue 7 engrène avec une crémaillère 9. Les éléments du mécanisme satisfont aux conditions sur la figure dans la position de départ du mécanisme. Lorsque la manivelle 2 est en mouvement, la roue 7 tourne d'un angle égal à celui de la manivelle 2, et la crémaillère 9 reçoit un mouvement suivant l'axe $x - x'$, définissant ainsi le module du vecteur \vec{OA} . Lorsque la roue 1 est en mouvement, l'arbre b reçoit la rotation et fait tourner au moyen du doigt a le tube 5 autour de l'axe $y - y'$, ainsi que l'élément 6, la roue 7, l'élément 8 et la crémaillère 9, définissant ainsi la direction du vecteur \vec{OA} .



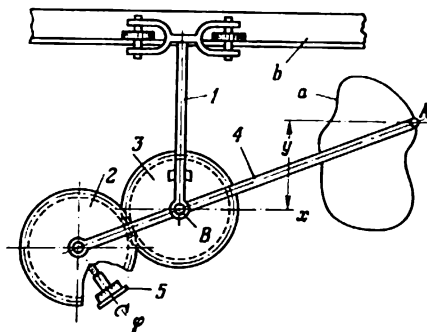
Lorsqu'on suit avec le calquoir *A* la trace de la courbe *a* le levier *1* pivote autour d'un axe fixe *B*. Le rouleau *2* reste sans mouvement pendant ce temps. Si le levier *1* reçoit un mouvement de translation, l'entraîneur *3* tourne autour d'un point *B'* et le satellite *4* roule en même temps que le disque *6* sur la roue fixe *5*, transmettant le mouvement au rouleau *2* qui enregistre l'aire contournée.



Lorsqu'on suit avec le calquoir *A* la trace de la courbe *a*, le baladeur *1*, solidaire de la roue dentée *2*, effectue un mouvement de translation suivant l'axe $x - x$. Le levier *3*, s'articulant en *D*, sert de porte-satellites à la roue *4* tournant autour d'un point *B*. Le rouleau *5*, dont l'axe est solidaire de la roue *4*, tourne avec la roue *4* qui est en prise intérieure avec la roue *2*. La rotation du rouleau *5* est proportionnelle à l'intégrale cherchée, c.-à-d.

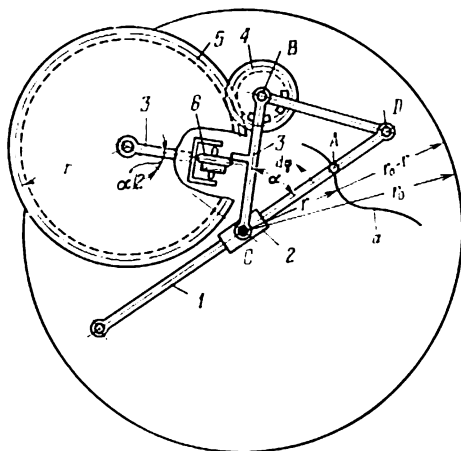
$$\varphi = c \int_{x_1}^{x_2} \sqrt{y} \, dx,$$

où *c* est une grandeur constante.



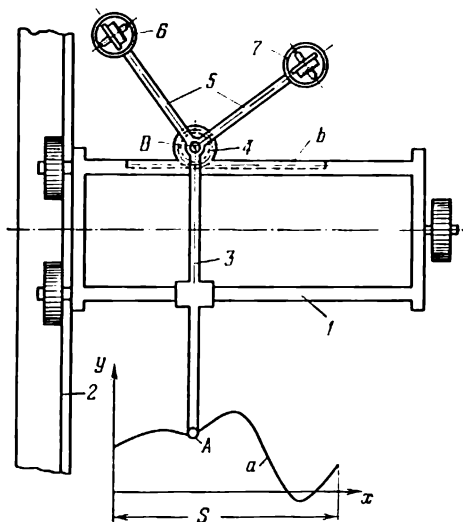
Lorsqu'on suit avec le calquoir *A* la trace de la courbe *a*, le baladeur *1* se déplace dans un guidage rectiligne *b*, tandis que la roue dentée planétaire *2* roule sur la roue dentée *3* qui est articulée en *B* avec le baladeur *1* et l'élément *4*. La roue de comptage *5*, dont l'axe est solidaire de la roue *2*, tourne d'une grandeur proportionnelle à l'intégrale calculée

$$\varphi = c \oint y^2 dx, \text{ où } c \text{ est une grandeur constante.}$$



Lorsqu'on suit avec le calquoir *A* la trace de la courbe *a*, la coulisse *1* glisse dans la douille *2*. L'élément *3* est animé d'un mouvement de rotation par rapport à l'articulation *C*. En tournant autour d'un axe *B*, la roue *4* provoque la rotation de la roue dentée *5*. L'angle de rotation de la roue de comptage *6* est proportionnel à la grandeur

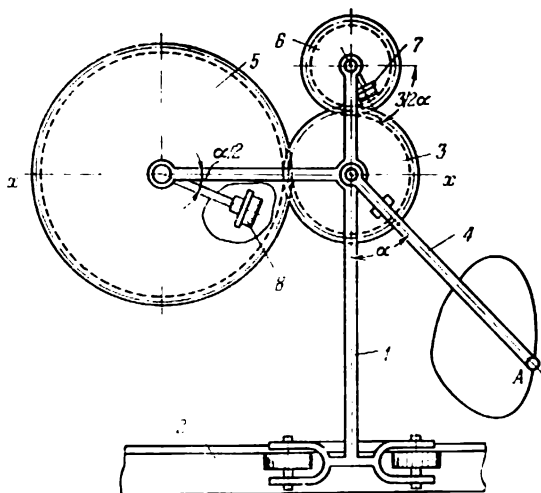
$$\int \sqrt{r_0 - r} \, d\varphi, \text{ où } r_0 \text{ est le rayon du plus grand cercle décrit par le point } A.$$



Lorsqu'on suit avec le calquoir *A* la trace de la courbe *a*, le chariot *1* se déplace dans le guidage *2* parallèlement à l'axe *y*, tandis que la coulisse *3* glisse dans le guidage du curseur *1* parallèlement à l'axe *x*. La roue dentée *4*, qui engrène avec la crémaillère *b*, est fixée sur la coulisse *3* en un point *B*. Le levier *5* qui porte des roues de comptage *6* et *7* est rigidement fixé sur l'axe de la roue dentée *4*. Le mouvement du calquoir *A* se décompose en deux mouvements suivant les axes *x* et *y*. La rotation des rouleaux *6* et *7* est proportionnelle aux coefficients a_h et b_h d'une série harmonique. A chaque paire de coefficients correspond un rayon déterminé de la roue *4*:

$$a_h = -\frac{1}{k\pi} \int_0^s \sin \varphi dy,$$

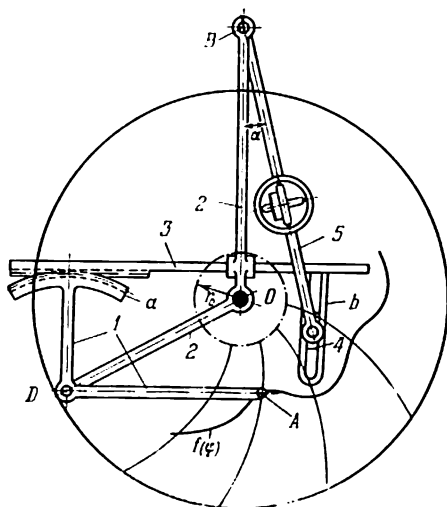
$$b_h = \frac{1}{k\pi} \int_0^s \cos \varphi dy.$$



Lorsqu'on suit avec le calquoir *A* la trace de la courbe fermée $y = f(x)$, le baladeur *1* se déplace dans le guidage *2* suivant l'axe $x - x$. La roue dentée *3*, solidaire du levier *4*, tourne d'un angle quelconque et, à l'aide de roues dentées *5* et *6*, met en mouvement les rouleaux de comptage *7* et *8* dont les axes sont rigidement reliés aux roues dentées. Le mécanisme résout une intégrale de la forme

$$\oint y^{3/2} dx = l^{3/2} \frac{1}{\sqrt{2}} \left(- \oint \sin \frac{3x}{2} dx + 3 \oint \sin \frac{x}{2} dx \right).$$

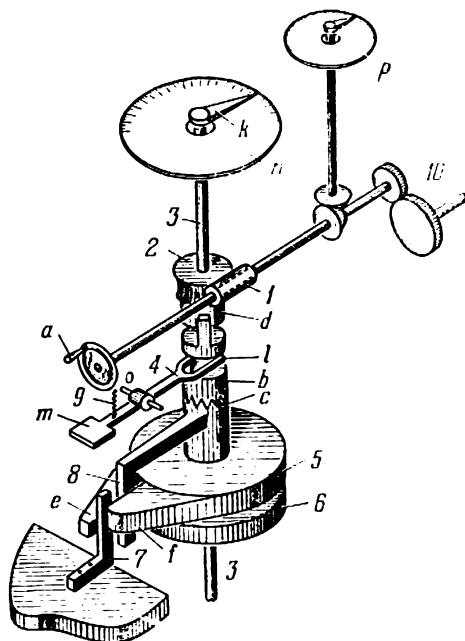
Les indications du rouleau *7* fournissent les valeurs de la première intégrale et les indications du rouleau *8* fournissent celles de la deuxième intégrale.



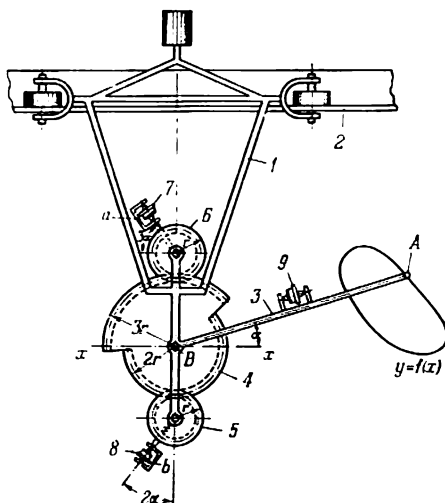
Lorsqu'on suit avec le calquoir *A* la trace de la courbe $f(\varphi)$, l'élément *1* comportant le secteur denté *a* pivote autour du point *D* de l'élément *2*. Le secteur denté *a* fait déplacer la crémaillère *3* comportant la coulisse *b*, dans laquelle glisse le coulisseau *4* qui est articulé sur l'élément *5* tournant autour d'un point *B*. La rotation de l'élément *1* et celle de la crémaillère *3* ont lieu simultanément autour du pôle *O*. Le nombre de tours de la roue de comptage est proportionnel à l'intégrale

$$u = c \int (r - r_0) d\varphi,$$

où *c* est le coefficient de proportionnalité; φ , l'angle de rotation de la crémaillère *3*.



Pour introduire l'une des grandeurs à additionner, on fait tourner au moyen de la manette *a* la vis sans fin *1* qui transmet le mouvement à la roue hélicoïdale *2* montée folle sur l'arbre *3*. L'une des moitiés de l'accouplement *d* est rendue solidaire de la roue *2* et l'autre moitié *b*, montée folle sur l'arbre *3*, engrène avec l'accouplement *c* emmanché sur l'arbre *3*. La rotation de la roue hélicoïdale se transmet donc au moyen d'un manchon à l'arbre *3* portant l'aiguille *k* qui indique sur le cadran *n* le nombre à additionner. Lorsqu'on appuie sur la pédale *m* du dispositif de remise à zéro *4* mobile autour d'un axe *o*, la fourchette *7* libère les accouplements *b* et *c*; l'arbre *3* comportant l'aiguille *k* est ramené à sa position initiale par un ressort aménagé entre les disques *5* et *6* et par les saillies *f* et *e*. Les disques *5* et *6* tournant fou sur l'arbre *3* sont reliés entre eux par un ressort qui tend à les faire tourner l'un par rapport à l'autre. Les saillies *f* et *e* des disques *5* et *6*, butant contre la barre fixe *7*, limitent la rotation des disques. Sur l'arbre *3* est rigidement fixé le levier *8* en forme de Γ dont la saillie est aussi située entre les saillies des disques *5* et *6*. La fourche *1* embraye les accouplements *b* et *c* à l'aide d'un ressort *9*, transmettant ainsi la rotation de la manette *a* à l'aiguille *k*. Lorsqu'on fait tourner l'arbre *3* d'un angle quelconque au moyen de la manette *a*, le levier *8*, surmontant la résistance du ressort logé entre les disques *5* et *6*, fera tourner le disque *5* ou le disque *6* selon le sens de rotation de la manette. Le disque *5* ou le disque *6* tendent alors à faire revenir l'arbre *3* à sa position initiale. La rotation spontanée de l'arbre *3* portant le levier *8* en dehors des limites de la tige *7* est impossible parce que le mouvement se trouve limité par les saillies *f* et *e* des disques *5* et *6*. La position du levier *8* en face de la tige *7* correspond à la position de l'aiguille *k* au point zéro de l'échelle *n*. L'introduction du deuxième, du troisième et des nombres à additionner suivants est réalisée de manière identique. De cette façon, l'arbre de la vis tangente *1* tourne d'un angle égal à la somme algébrique des angles introduits par la manette *a* et proportionnel à la somme des nombres à additionner lue sur l'échelle *p*. La somme obtenue peut être introduite dans le mécanisme approprié à l'aide d'un engrenage et de l'arbre *10*.



Lorsqu'on suit avec le calquoir *A* la trace de la courbe $y = f(x)$, le chariot 1 glisse sur un guide 2 suivant l'axe $x - x$, tandis que la tige 3, portant le calquoir, fait tourner la roue dentée 4, solidaire de cette tige, autour d'un axe *B*. La roue dentée 4 est constituée de deux parties dont les rayons sont $2r$ et $3r$ (r étant le rayon des roues dentées 5 et 6). Le mouvement de la roue dentée 4 est transmis aux roues 5 et 6, auxquelles

sont rigidement reliés les cadres *a* et *b* des rouleaux 7 et 8. L'angle de rotation φ_9 du rouleau 9 est proportionnel à l'aire *F*:

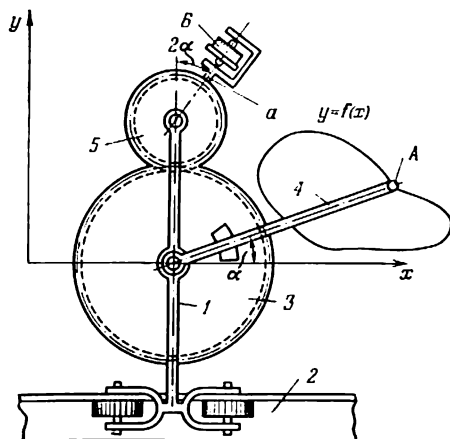
$$\varphi_9 = k \int_{x_1}^{x_2} y \, dx = kF.$$

L'angle de rotation φ_8 du rouleau 8 est proportionnel au moment statique de l'aire *F* par rapport à l'axe $x - x$:

$$\varphi_8 = k \int_{x_1}^{x_2} \sin \left(\frac{\pi}{2} - 2\alpha \right) dx = k \int_{x_1}^{x_2} y^2 \, dx.$$

L'angle de rotation φ_7 du rouleau 7 est proportionnel au moment d'inertie *F* de l'aire par rapport à l'axe $x - x$:

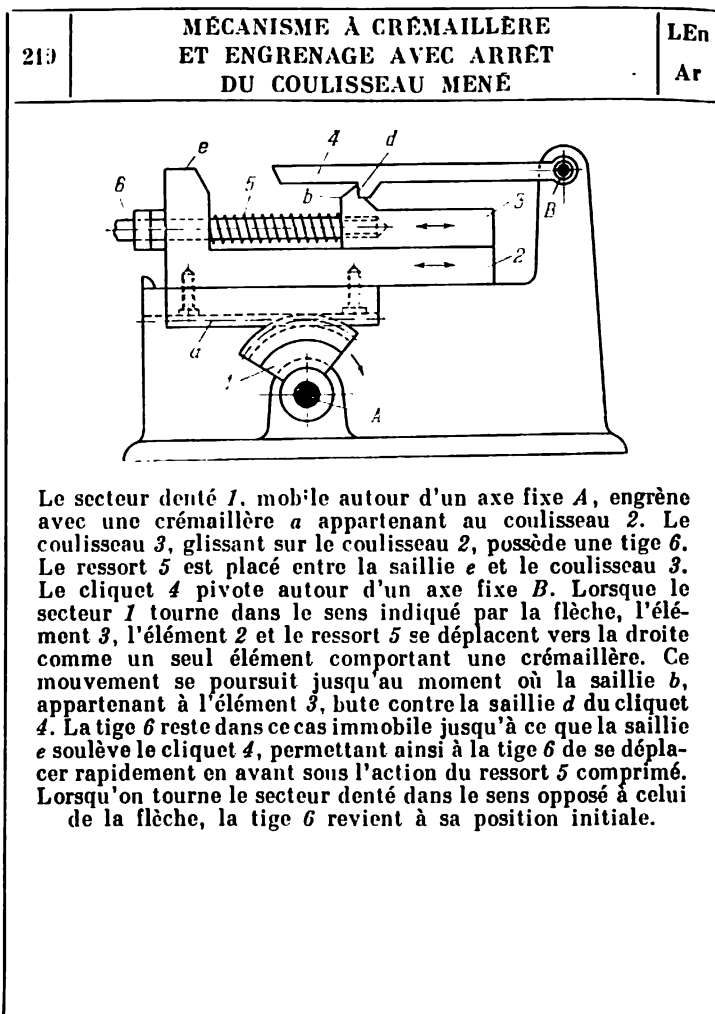
$$\varphi_7 = k \int_{x_1}^{x_2} \sin 3\alpha \, dx = k \int_{x_1}^{x_2} y^3 \, dx.$$

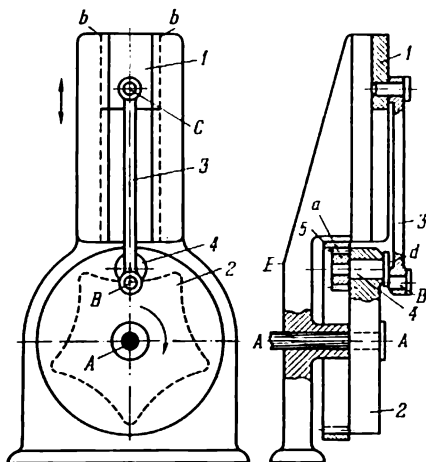


Lorsqu'on suit avec le calquoir *A* la trace de la courbe $y = f(x)$, le chariot *1* se déplace dans les guides *2* suivant l'axe *x*. La roue dentée *3*, rigidement reliée au levier *4* portant le calquoir, tournera d'un angle quelconque et, à l'aide de la roue dentée *5*, mettra en mouvement l'élément *a* solidaire de l'axe de la roue *5*, la roue de comptage *6* enregistrant ainsi la grandeur du moment statique

$$M_x = -\frac{1}{4} l \oint \cos 2\alpha \, dx.$$

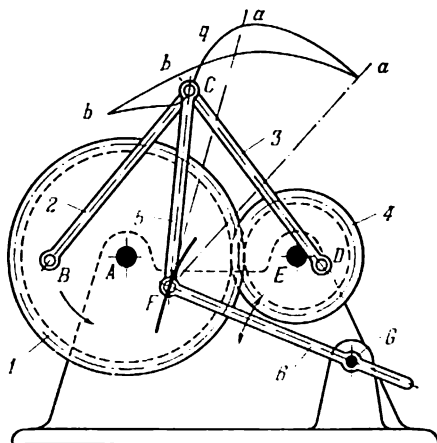
6. Mécanismes avec arrêts (219-230)



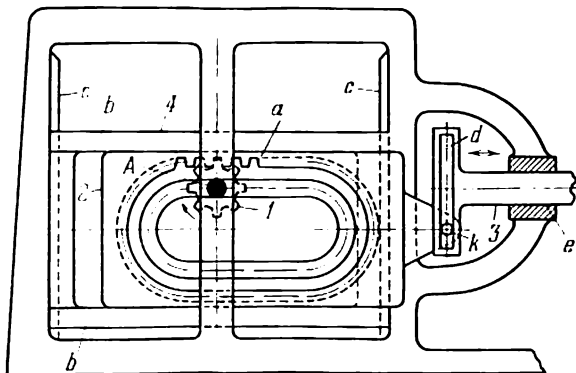


Le disque 2, mobile autour d'un axe fixe $A - A$, forme un couple de rotation avec l'élément 4 qui se présente sous la forme d'une manivelle d dont le doigt constitue un couple de rotation B avec la bielle 3. La bielle 3 forme un couple de rotation C avec le coulisseau 1 glissant dans un guidage fixe $b - b$. La roue dentée a , solidaire de l'élément 4, roule sur une roue dentée fixe 5.

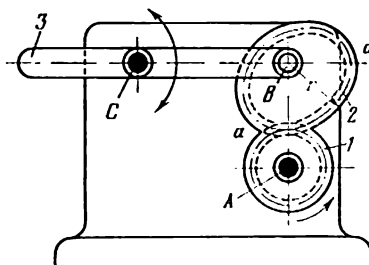
Le coulisseau 1 reçoit un mouvement alternatif avec arrêts. Lorsque le disque 2 est en mouvement, la roue a , qui roule sur la roue fixe 5, imprime à la manivelle d un mouvement de rotation supplémentaire par rapport à l'axe E du doigt 4. Si l'on choisit convenablement les roues dentées a et 5, l'axe $B - B$ de la manivelle d se déplacera sur la trajectoire indiquée en traits discontinus.



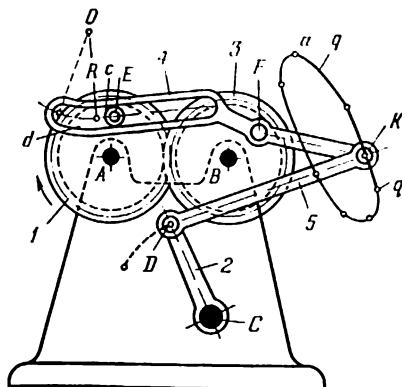
La roue dentée 1, mobile autour d'un axe fixe A, engrène avec une roue dentée 4 pivotant autour d'un axe fixe E. La roue 1 forme un couple de rotation B avec l'élément 2 qui constitue des couples de rotation avec les éléments 3 et 5. L'élément 3 constitue un couple de rotation D avec la roue 4. L'élément 5 constitue un couple de rotation F avec l'élément 6, mobile autour d'un axe fixe G. Les dimensions des éléments du mécanisme satisfont aux conditions : $AB = r$, $BCD = C = 2,9 r$, $CF = 2,6 r$, $DE = 0,3 r$, $FG = 2,5 r$, $AE = 2,2 r$, $AG = 3,2 r$, $EG = 1,5 r$. Le rayon r_1 du cercle primitif de la roue 1 est égal à $r_1 = 1,5 r$, et le rayon r_4 du cercle primitif de la roue 4 est égal à $r_4 = 0,75 r$. Lorsque la roue menante 1 est en mouvement, le point C décrit une courbe de bielle complexe q, dont les parties a — a et b — b coïncident approximativement avec les arcs de cercle de rayon $CF = 2,6 r$ décrits à partir des positions correspondantes du point F. Pour un cycle complet de mouvement du mécanisme, l'élément mené 6 aura deux arrêts prolongés au moment où le point C passera par les parties a — a et b — b de sa trajectoire.



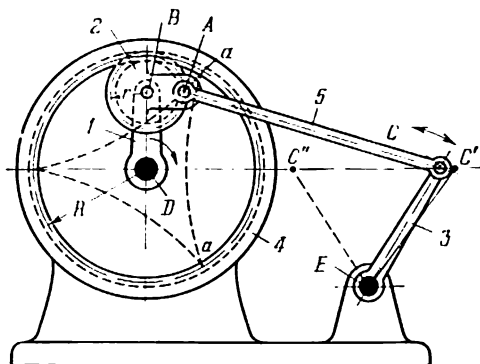
La roue dentée 1, mobile autour d'un axe fixe A, engrène avec la crémaillère profilée a du coulisseau 2 qui glisse dans le guidage b — b du coulisseau 4 se déplaçant dans un guidage c — c. Le coulisseau 2 porte à son extrémité un doigt k glissant dans la rainure d du coulisseau 3 se mouvant dans un guidage fixe e. La crémaillère profilée a est constituée par deux parties rectilignes et par deux parties arquées. Lorsque la roue menante 1 est en mouvement de rotation uniforme et continu, le coulisseau 2 effectue un mouvement de translation uniforme tant que la roue 1 est en prise avec les parties rectilignes de la crémaillère profilée a, le coulisseau 4 restant pendant ce temps immobile. Lorsque la roue 1 entre en prise avec les parties arquées de la crémaillère a, le mouvement du coulisseau 3 devient irrégulier. Le coulisseau 4 est animé d'un mouvement de translation dans le guidage c — c.



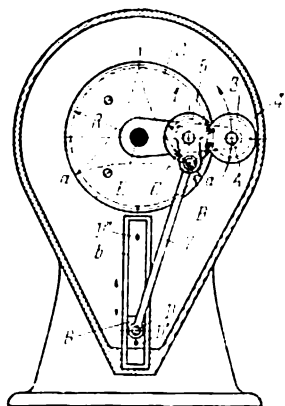
La roue dentée ronde 1, mobile autour d'un axe fixe A, engrène avec une roue non ronde 2. Le profil du cercle primitif de la roue 2 sur la partie $a - a$ est décrit suivant l'arc de cercle de rayon r . L'élément 3, tournant autour d'un axe fixe C, forme un couple de rotation B avec la roue 2. Lorsque la roue menante 1 est en mouvement, l'élément mené 3 reçoit un mouvement d'oscillation avec arrêt au moment où l'arc $a - a$ est en prise. L'effort de contact entre les roues 1 et 2 est assuré par le poids de la roue 2.



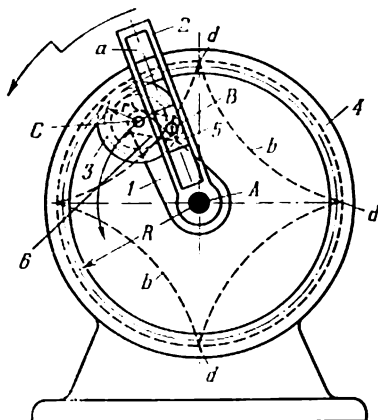
La roue dentée 1, mobile autour d'un axe fixe A, engrène avec une roue dentée identique 3 tournant autour d'un axe fixe B. La roue 1 est munie d'un rouleau c mobile autour de l'axe E de la roue 1. Le rouleau c glisse dans la rainure d de la coulisse 4 qui forme un couple de rotation F avec la roue 3. L'élément 5 constitue des couples de rotation K et D avec la coulisse 4 et l'élément 2 pivotant autour d'un axe fixe C. Le profil de la rainure d de la coulisse 4 est constitué d'une partie rectiligne et d'une partie arquée de rayon R. Lorsque la roue menante 1 est en mouvement, le point K décrit une courbe de bielle complexe $a - q - q$, dont une certaine partie est proche d'un arc de cercle décrit à partir du point D par le rayon DK. Lorsque le point K passe par la partie en question de la courbe $a - q - q$, l'élément mené 2 marquera pratiquement un temps d'arrêt.



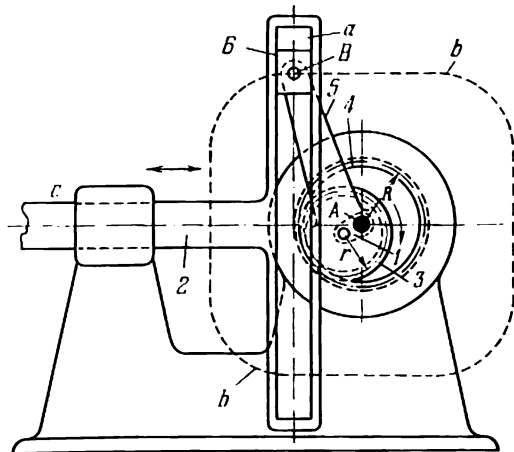
Le porte-satellites 1, mobile autour d'un axe fixe D , forme un couple de rotation B avec le satellite 2 qui entre en prise avec une roue dentée fixe 4. L'élément 5 constitue un couple de rotation A avec la roue 2 et un couple de rotation C avec un levier oscillant 3 pivotant autour d'un axe fixe E . Le point A est situé sur le cercle primitif de la roue 2. Les longueurs des éléments du mécanisme satisfont à la condition $R = 3r$, où R et r sont les rayons des cercles primitifs des roues 4 et 2. Pour les longueurs des éléments admises, le point A du mécanisme décrit une hypocycloïde à trois sommets. La partie $a - a$ de l'hypocycloïde diffère peu d'un arc de cercle de rayon CA décrit à partir du point C' , ce qui correspond à la position limite droite de l'élément 3. Lorsque la manivelle 1 est en rotation continue, le levier oscillant 3 est presque en repos quand il occupe sa position limite droite EC' , et il marque un court arrêt quand il occupe sa position limite gauche EC'' .



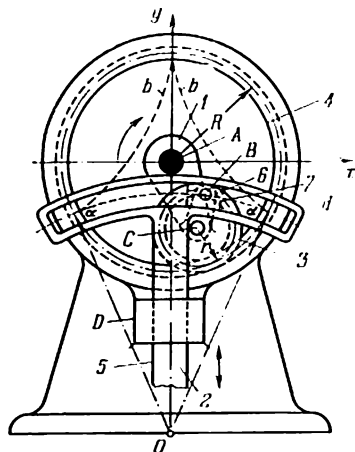
Le porte-satellites 1, mobile autour d'un axe fixe E, forme un couple de rotation A avec une roue dentée 4. La roue dentée 2 est reliée au support. La roue 4 se présente sous la forme de deux satellites égaux, rigidement reliés entre eux, dont l'un engrène avec la roue 2 et l'autre avec la roue dentée 5 tournant autour de l'axe C du porte-satellites 1. L'élément 7 forme un couple de rotation B avec la roue 5 et un couple de rotation D avec le coulisseau 6 se mouvant dans un guidage fixe b. Le point B est situé sur le cercle primitif de la roue 5. Les longueurs des éléments du mécanisme satisfont à la condition $R = 3r$, où R et r sont les rayons des cercles primitifs des roues 2 et 5. Pour les longueurs admises des éléments, le point B du mécanisme décrit une hypocycloïde à trois sommets. La partie a— a de l'hypocycloïde diffère peu de l'arc de cercle de rayon DB décrit à partir du point D', ce qui correspond à la position limite inférieure du coulisseau 6. Lorsque le porte-satellites 1 est en rotation uniforme, le coulisseau 6 est presque à l'état de repos, s'il occupe sa position limite inférieure, et a un court arrêt s'il occupe sa position limite supérieure correspondant au point D".



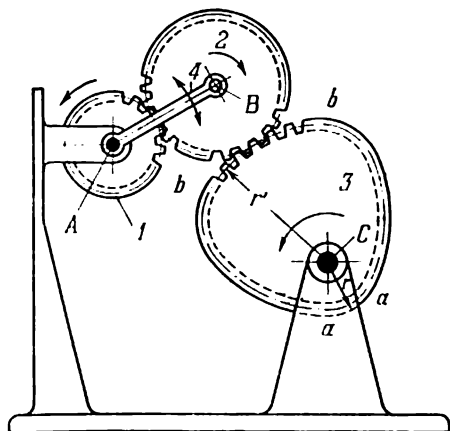
Le porte-satellites 1, mobile autour d'un axe fixe A, forme un couple de rotation C avec le satellite 3 qui engrène intérieurement avec une roue dentée fixe 4. La manivelle 6, rigidement reliée au satellite 3, constitue un couple de rotation B avec le coulisseau 5 se mouvant dans la coulisse rectiligne a de l'élément 2 qui tourne autour d'un axe fixe A. Le rayon R du cercle primitif de la roue 4 est égal à $R = 4r$, où r est le rayon du cercle primitif du satellite égal à la longueur de la manivelle 6. L'axe de la coulisse a passe par le point A. Pour les dimensions choisies du mécanisme, le point B de la manivelle 1 décrit une hypocycloïde à quatre sommets b — b. Pour un tour complet du porte-satellites 1, le point B du mécanisme coïncide quatre fois avec les points d, sommets de l'hypocycloïde b — b. Dans ces positions l'élément 2 marque de brefs arrêts.



Le porte-satellites 1, mobile autour d'un axe fixe A, forme un couple de rotation avec le satellite 3, qui engrène intérieurement avec une roue fixe 4. La manivelle 5, solidaire de la roue 3, constitue un couple de rotation B avec le coulisseau 6 se mouvant dans la coulisse a de l'élément 2. L'élément 2 effectue un mouvement de translation dans un guide fixe c. Le rayon R du cercle primitif de la roue 4 est égal à $R = 1,5 r$, où r est le rayon du cercle primitif de la roue 3. Pour les dimensions choisies du mécanisme, le point B décrit une trajectoire $b - b$ qui a la forme d'un carré aux angles arrondis, autrement dit, celle d'une hypocycloïde allongée. Lorsque le porte-satellites 1 est en mouvement, l'élément 2 effectue un mouvement alternatif observant des arrêts prolongés à la fin de ses courses, quand le point B parcourt les parties verticales rectilignes de sa trajectoire $b - b$, et se déplace à une vitesse quasi uniforme au milieu de sa course, quand le point B parcourt les parties horizontales de sa trajectoire.



Le porte-satellites 1, mobile autour d'un axe fixe A, forme un couple de rotation C avec le satellite 3 qui engrène intérieurement avec la roue dentée 4. La manivelle 6, solidaire du satellite 3, constitue un couple de rotation B avec le coulisseau 7 glissant dans la coulisse arquée d de l'élément 5. Ce dernier effectue un mouvement de translation dans un guidage fixe D. Le rayon R du cercle primitif de la roue 4 est égal à $R = 3r$, où r est le rayon du cercle primitif du satellite, égal à la longueur CB de la manivelle 6. L'axe du guidage D passe par le point A, et le centre O de la coulisse arquée d est situé sur l'axe du guidage D. Pour les dimensions admises du mécanisme, le point B de la manivelle 6 décrit une hypocycloïde à trois sommets $b - b$. L'élément 5 reste presque immobile au moment où le point B passe par la partie $\alpha - \alpha$ de l'hypocycloïde, si le rayon OB de la coulisse arquée d est choisi tel que l'arc qu'il décrit passe par les sommets de l'hypocycloïde $b - b$.



La roue dentée ronde 1, mobile autour d'un axe fixe A, engrène avec une roue dentée ronde 2. L'élément 4, pivotant autour d'un axe fixe A, forme un couple de rotation B avec la roue 2. La roue 2 est en prise avec une roue non ronde 3, mobile autour d'un axe fixe C. Le profil de la courbe primitive de la roue 3 est décrit sur les parties a — a et b — b suivant les arcs de cercle de rayons r et r' . Lorsque la roue menante 1 est en rotation, l'élément mené 4 reçoit un mouvement de bascule marquant deux arrêts au moment où les arcs a — a et b — b sont en prise. Le mécanisme peut également être utilisé pour obtenir un rapport de transmission variable entre les roues 1 et 3. La roue 2 imprime aux roues 1 et 3 le mouvement de rotation dans le même sens. L'effort de contact entre les roues 2 et 3 est assuré par le poids de la roue 2.

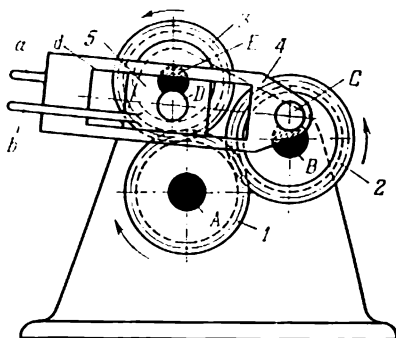
7. Mécanismes à griffe des caméras (231-234)

231

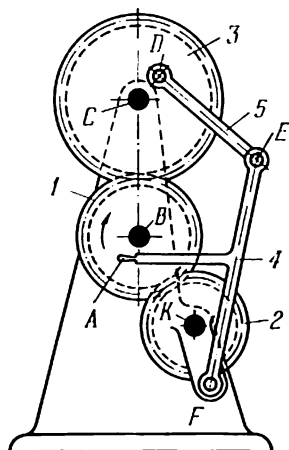
MÉCANISME À COULISSE ET ENGRENAGE DE LA GRIFFE D'UNE CAMÉRA

L'En

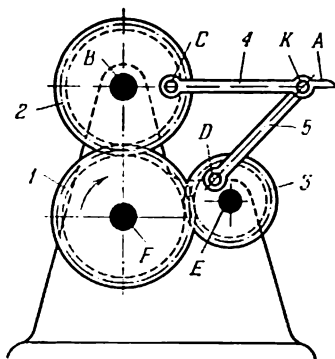
GC



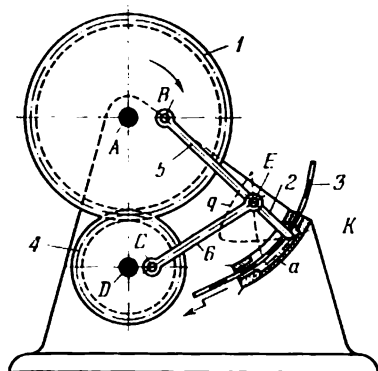
La roue dentée 1, mobile autour d'un axe fixe A, engrène avec les roues 2 et 3 tournant autour des axes fixes B et E. La roue 2 forme un couple de rotation C avec la coulisse 4, et la roue 3 constitue un couple de rotation D avec le coulisseau 5 se mouvant dans la rainure d de la coulisse 4. Lorsque la roue menante 1 est en rotation, le doigt a de la coulisse 4 s'engage dans la perforation du film, déplace ce dernier et revient à sa position initiale. Le doigt b du coulisseau 5 n'est engagé dans la perforation du film qu'après la sortie du doigt a de la perforation et a pour but de maintenir le film en place.



La roue dentée 1, mobile autour d'un axe fixe B, engrène avec les roues dentées 2 et 3 tournant autour des axes fixes K et C. Les roues 2 et 3 forment des couples de rotation avec les éléments 4 et 5 qui constituent un couple de rotation E. Lorsque la roue menante 1 tourne, le point A de l'élément 4 décrit une courbe de bielle complexe qui est utilisée pour entraîner et faire avancer le film de la caméra.



La roue dentée 1, mobile autour d'un axe fixe *F*, engrène avec les roues dentées 2 et 3 tournant autour des axes fixes *B* et *E*. Les éléments 4 et 5 forment des couples de rotation *C* et *D* avec les roues 2 et 3 et un couple de rotation *K*. Lorsque la roue menante 1 tourne, le point *A* de l'élément 4 décrit une courbe de bielle complexe qui est utilisée pour entraîner et faire avancer le film de la caméra.



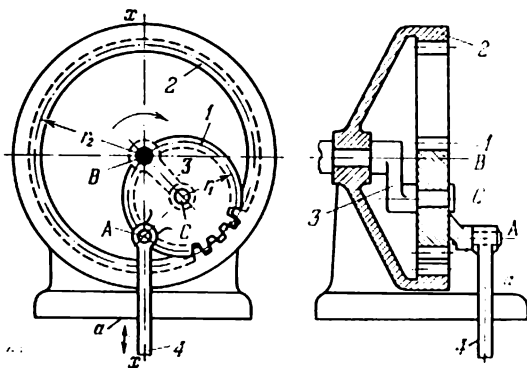
La roue dentée 1, mobile autour d'un axe fixe A, engrène avec la roue dentée 4 tournant autour d'un axe fixe D. La roue 1 forme un couple de rotation B avec l'élément 5, et la roue 4 constitue un couple de rotation C avec l'élément 6. Les éléments 5 et 6 forment un couple de rotation E. Lorsque la roue menante 1 tourne, le point K de la bielle 5 décrit une courbe de bielle complexe q qui est utilisée pour entraîner et faire avancer le film 3 au moyen de l'élément 2 dans le sens indiqué par la flèche.

8. Mécanismes de guidage et d'inversion (235-240)

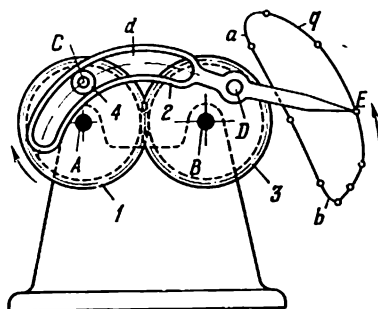
235

MÉCANISME À LEVIERS ET ENGRENAGE DE GUIDAGE DE LA PRESSE

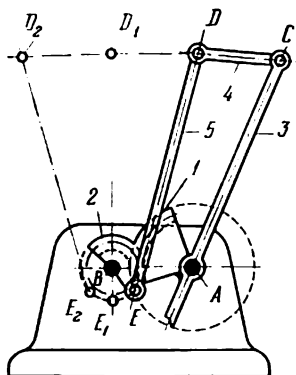
LEn
GI



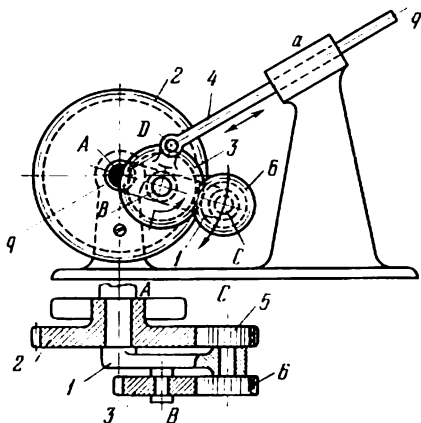
Le porte-satellites menant 3, mobile autour d'un axe fixe B, forme un couple de rotation C avec le satellite 1 qui engrène intérieurement avec une roue dentée fixe 2. Le rayon R du cercle primitif de la roue 2 est égal à $R = 2 r_1$, où r_1 est le rayon du cercle primitif du satellite 1. Pour les dimensions admises des roues 1 et 2, le point A du satellite 1, situé sur le cercle primitif du satellite 1, effectue un mouvement rectiligne suivant l'axe $x - x$. La tige 4 du mécanisme de la presse se meut dans un guidage fixe a suivant l'axe $x - x$.



La roue dentée 1, mobile autour d'un axe fixe A, engrène avec la roue dentée 3 tournant autour d'un axe fixe B. Le doigt 4 de la roue 1, tournant autour d'un axe C, glisse dans la rainure curviligne d de la coulisse 2 qui forme un couple de rotation D avec la roue 3. Le profil de la rainure d peut toujours être choisi tel que le point E de la coulisse 2 décrive une courbe q dont une certaine partie ab est rectiligne.



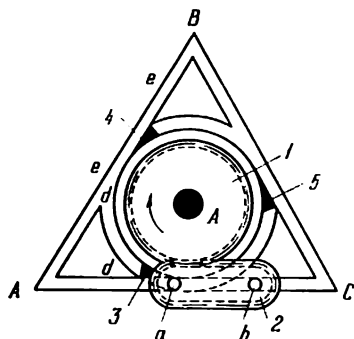
La roue dentée 1, mobile autour d'un axe fixe A , engrène avec le secteur denté 2 tournant autour d'un axe fixe B . L'élément 3, solidaire du secteur 1, forme un couple de rotation C avec l'élément 4 qui, à son tour, constitue un couple de rotation D avec l'élément 5. L'élément 5 forme un couple de rotation E avec le secteur 2. Les longueurs des éléments du mécanisme satisfont aux conditions $AC = 4r_1$, $DC = 1,5r_1$, $ED = 4,5r_1$, $AB = 1,5r_1$, $BE = 0,5r_1$, $r_2 = 0,5r_1$, où r_1 et r_2 sont les rayons des cercles primitifs des secteurs 1 et 2. Pour les dimensions admises des éléments, le point E occupe les positions successives E, E_1, E_2 , et le point D les positions D, D_1, D_2 . Le point D effectue un mouvement approximativement rectiligne.



Le porte-satellites *1*, mobile autour d'un axe fixe *A*, forme un couple de rotation *C* avec des satellites dentés *5* et *6* et un couple de rotation *B* avec une roue dentée *3*. Le satellite *5* engrène avec la roue dentée *2*, solidaire du support. Le satellite *6*, solidaire du satellite *5*, engrène avec la roue *3*. Le coulisseau *4*, constituant un couple de rotation *D* avec la roue *3*, se meut dans un guidage fixe *a* dont l'axe *q — q* passe par le point *A*. Les éléments du mécanisme satisfont

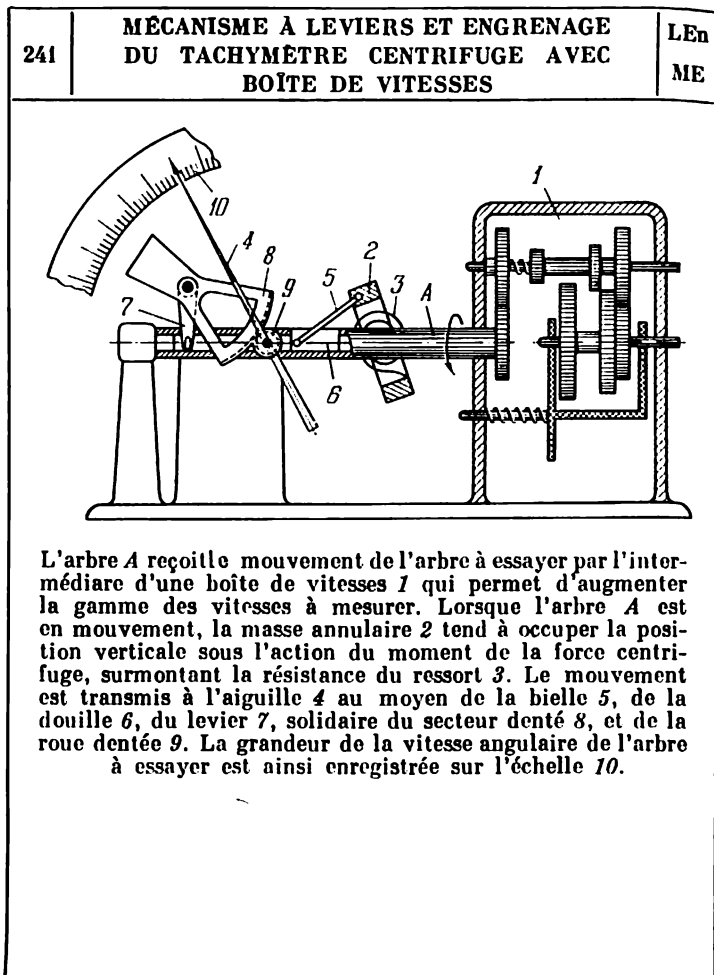
aux conditions $z_5 = z_6$ et $z_3 = \frac{z_2}{2}$, où z_2, z_3, z_5, z_6 sont

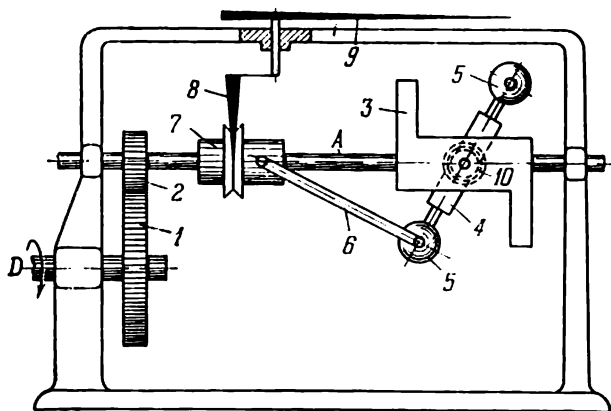
les nombres de dents des roues *2, 3, 5* et *6*. Lorsque le porte-satellites *1* est en mouvement de rotation, la roue *3* roule sur la roue fixe *2*. La roue *6* imprime le mouvement de rotation à la roue *3*. Tout point *D* de la roue *3*, situé sur son cercle primitif, décrit une droite *q — q* qui passe par le centre *A* de la roue *2*.



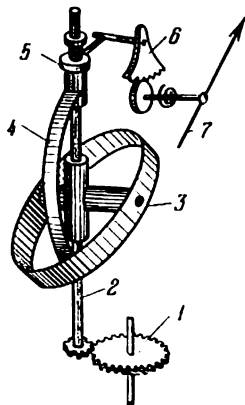
La roue dentée 1, mobile autour d'un axe fixe A, engrène avec une crémaillère profilée 2. Lorsque la roue dentée 1 tourne dans le sens indiqué par la flèche, la crémaillère 2 effectue un mouvement rectiligne vers la gauche. Dès que le doigt *a* dépasse le bord du coin 3, ce dernier bloque automatiquement le guidage rectiligne et le doigt *b* doit parcourir l'arc *d — d* avant l'arrivée du doigt *a* au sommet A du triangle ABC. Les coins 3, 4, 5 sollicités par des ressorts (non figurés) bloquent en permanence les guidages situés sur le cercle; c'est pourquoi, après avoir passé l'arc *d — d*, le doigt *b* se déplace sur la partie rectiligne *e — e*. Dès que le doigt *b* dépasse le bord du coin 4, ce dernier bloque automatiquement le guidage rectiligne et le doigt *a* se déplace sur le guidage rectiligne *d — d* avant l'arrivée du doigt *b* au point B. C'est ainsi que le mouvement se produit avant l'arrivée du doigt *a* au point C.

9. Mécanismes des dispositifs de mesure et d'essai (241-244)

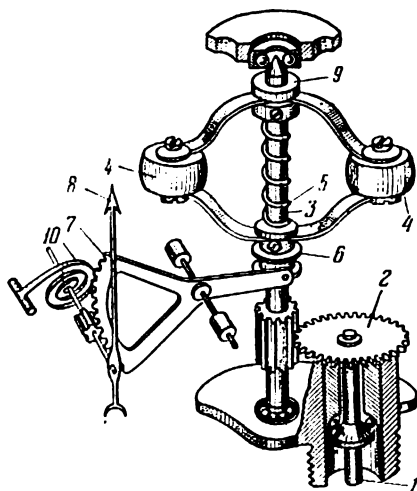




L'arbre *A* reçoit le mouvement de l'arbre à essayer par l'intermédiaire de l'arbre *D* et de l'engrenage 1, 2. Le levier 4 portant des charges 5 s'articule sur l'élément 3 emmanché sur l'arbre *A*. Lorsque l'arbre *A* est en mouvement, le levier 4 tourne sous l'action des forces centrifuges des charges 5, et la bielle 6 fait déplacer la douille 7 en même temps que le levier coudé 8 et l'aiguille 9. L'aiguille 9 indique la vitesse angulaire de l'arbre à essayer. Le ressort 10 ramène le levier 4 avec ses charges 5 à sa position initiale.



La rotation de l'arbre à mesurer est transmise à l'aide de la roue dentée 1 à l'axe 2 sur lequel s'articule la charge 3. Lorsque l'axe 2 est en mouvement, la charge 3 tend à occuper la position perpendiculaire à l'axe du tachymètre. En se déformant, le ressort 4 déplace vers le haut la douille 5 qui fait tourner le secteur 6 et l'aiguille 7.



La rotation de l'arbre de distribution est transmise à l'arbre 1 du tachymètre et, par l'intermédiaire de la roue dentée 2, à l'axe 3. Lorsque l'axe 3 est en mouvement, les charges 4 s'écartent sous l'action de la force centrifuge et serrent le ressort 5. En se déplaçant sur l'axe 3 du mécanisme, le manchon 6 fait tourner le secteur denté 7 et l'aiguille 8 qui indique la vitesse de rotation. Le manchon 9 est rigidement fixé sur l'arbre 3. Le ressort en spirale 10 a pour but de rattraper les jeux dans le mécanisme.

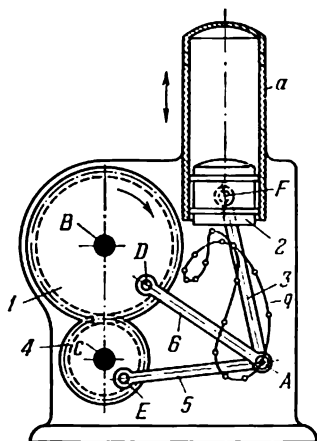
10. Mécanismes des machines à piston (245-246)

245

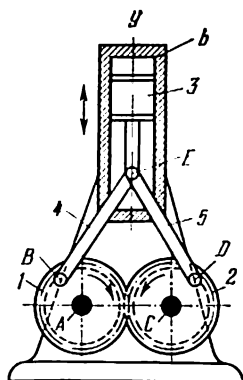
MÉCANISME À LEVIERS ET ENGRENAGE
DE LA MACHINE À PISTON

LEn

MP



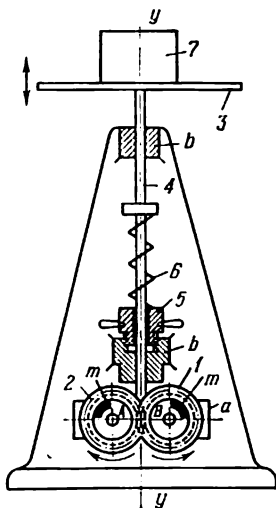
La roue dentée 1, mobile autour d'un axe fixe B, engrène avec une roue dentée 4 tournant autour d'un axe fixe C. Les roues 1 et 4 forment des couples de rotation D et E avec les éléments 6 et 5 qui, à leur tour, constituent un couple de rotation A avec la bielle 3. La bielle 3 forme un couple de rotation F avec le piston 2 coulissant dans le cylindre a. Les longueurs des éléments du mécanisme satisfont aux conditions $r_1 = 2r_4$ et $AD = AE$, où r_1 et r_4 sont les rayons des cercles primitifs des roues 1 et 4. Lorsque la roue menante 1 est en mouvement, le point A décrit une courbe de bielle complexe q, et le piston 2, qui effectue un mouvement alternatif, fait deux courses de longueur différente au cours d'un tour de la roue 1.



Les roues dentées 1 et 2, qui sont en prise, tournent autour des axes fixes A et C en formant des couples de rotation B et D avec les bielles 4 et 5. Ces dernières constituent, à leur tour, des couples de rotation E avec le piston 3 coulissant dans le cylindre b. Les longueurs des éléments du mécanisme satisfont aux conditions $r_1 = r_2$, $AB = CD$ et $BE = DE$, où r_1 et r_2 sont les rayons des cercles primitifs des roues 1 et 2. Les angles formés par les directions AB et CD avec l'axe y du cylindre b sont égaux et symétriques. Lorsque l'une des roues, 1 ou 2, tourne, le piston 3 reçoit un mouvement alternatif le long de l'axe y. Si dans le mécanisme les masses des roues 1 et 2 et des bielles 4 et 5 sont égales, les pressions des forces d'inertie ne s'exercent pas sur les parois du cylindre.

11. Mécanismes des machines et appareils produisant des vibrations (247-248)

| | | |
|---|--|-------------------|
| 247 | MÉCANISME A LEVIERS ET ENGRENAGE DU CRIBLE AVEC ÉLÉMENTS ÉLASTIQUES | LEn MV |
| <div data-bbox="289 431 766 645" data-label="Image"> </div> <p data-bbox="174 666 864 907"> Le cadre 2 qui comporte deux roues dentées identiques 1 tournant autour des axes A et B est relié au cadre 3 par les ressorts 5 et 4. Les masses non équilibrées m sont fixées sur les roues dentées 1 à des angles φ par rapport à l'axe $x - x$ si bien que la force perturbatrice résultante P, égale à $P = m\omega^2 r \cos \varphi$, où ω est la vitesse angulaire de rotation des roues 1 et 2 et r, la distance entre les axes de rotation A et B et le centre des masses des charges m, soit dirigée le long de l'axe $x - x$. Lorsque les roues dentées 1 tournent, les cadres 2 et 3 effectuent des mouvements oscillatoires. </p> | | |



Les roues dentées identiques 1 et 2 tournent autour des axes B et A du cadre a solidaire de la tige 4 animée d'un mouvement de translation dans un guidage b — b. Les roues 1 et 2 portent les masses égales m fixées à des angles φ égaux par rapport à l'axe y — y. Lorsque les roues 1 et 2 sont en rotation uniforme le long de l'axe y — y de la tige 4, une force P s'exerce telle que $P = 2 m \omega^2 r \cos \varphi$, où ω est la vitesse angulaire des roues 1 et 2 ; r, les distances entre les axes de rotation A et B et le centre de masse des charges m. Sous l'action de la force P, la table 3 et l'objet à essayer 7 placé sur la table se mettent à vibrer. Le dispositif à vis 5 permet de régler la tension du ressort 6.

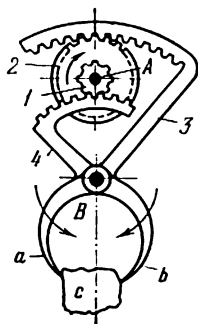
12. Mécanismes des griffes, des serres et des entretoises (249-250)

249

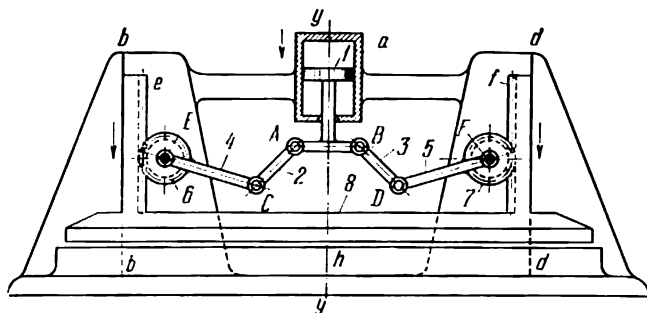
MÉCANISME A LEVIERS ET ENGRENAGE
DE LA GRIFFE AVEC SECTEURS DENTÉS

LEn

GS



Les roues dentées 1 et 2, rigidement reliées entre elles, tournent autour d'un axe fixe A et engrènent avec les secteurs dentés 4 et 3. Ces derniers tournent autour d'un axe fixe B. Lorsque les roues 1 et 2 tournent dans le sens indiqué par la flèche, les mâchoires a et b des secteurs 3 et 4 saisissent l'objet c.



Le piston 1, animé d'un mouvement de translation suivant l'axe $y - y$ du cylindre a , forme des couples de rotation A et B avec les éléments 2 et 3 qui, à leur tour, constituent des couples de rotation C et D avec les éléments 4 et 5. Les éléments 4 et 5, mobiles autour des axes fixes E et F , sont munis de secteurs dentés 6 et 7 engrenant avec les crémaillères e et f qui coulisent dans des guidages verticaux $b - b$ et $d - d$. Les crémaillères e et f appartiennent à l'élément 8. Les longueurs des éléments du mécanisme satisfont aux conditions $AC = BD$, $CE = FD$, $r_6 = r_7$, où r_6 et r_7 sont les rayons des cercles primitifs des secteurs 6 et 7. Les points A et B sont disposés symétriquement par rapport à l'axe $y - y$. Lorsque le piston 1 est animé d'un mouvement de translation, l'élément 8 reçoit un mouvement de translation suivant l'axe $y - y$ et serre la bande contre un plan immobile.

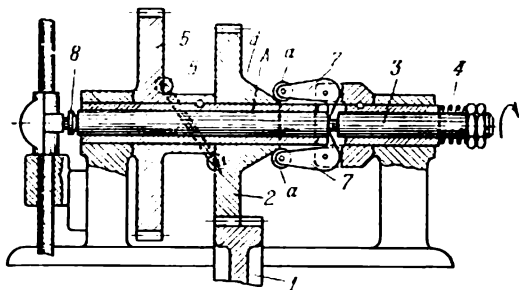
13. Mécanismes des accouplements (251-252)

251

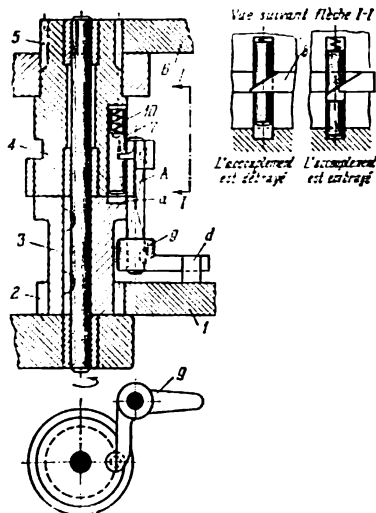
MÉCANISME À LEVIERS ET ENGRENAGE DE L'ACCOUPLEMENT DE SÉCURITÉ

LEn

Ac



Lorsque la charge est normale, le couple moteur est transmis de la roue 1 à la roue 2 montée folle sur l'arbre A et puis il est transmis par le levier 5 à la roue 6. Le plongeur 3, sollicité par le ressort 4, prend la position montrée sur la figure. Lorsque la charge croît, la pression s'exerçant sur les appuis sphériques du levier 5 augmente, et le levier 5 fait déplacer la roue 2 vers la droite par rapport à l'arbre creux A. Les rouleaux a des leviers 7 se déplacent sur la superficie d de la roue 2 et écartent les leviers 7 qui déplacent le plongeur 3 à gauche, serrant le ressort 4; le plongeur 3, agissant sur le bouton 8, arrête la machine. Si la charge diminue, le mécanisme est ramené à sa position de départ sous l'action du ressort 4.



La douille 3 est mise en mouvement de rotation au moyen des roues dentées 1 et 2. La rotation de la douille 3 est transmise à la douille 4 de l'accouplement et aux roues dentées 5 et 6 au moment où la clavette 7 s'engage dans la rainure *a* de la douille 3. Le coin 8, fixé sur l'axe *A* du levier 9, s'oppose au déplacement de la clavette 7 vers le bas. Lorsque la roue dentée 1 est en mouvement, le goujon *d* agit périodiquement sur le levier 9, en l'écartant d'un angle quelconque. Chaque fois que le levier 9 s'écarte, le coin 8 recule, et la clavette 7 descend dans la rainure *a* de la douille 3 sous l'action du ressort 10 et accouple avec cette dernière la douille menée 4, mettant ainsi en mouvement la roue 6. Au cours de son mouvement de retour vers la position initiale, le levier 9 déplace vers le haut la clavette 7, taillée en biseau, au moyen d'un ressort (non figuré).

14. Mécanismes de commutation, d'enclenchement et de déclenchement (253)

| | | |
|---|--|-------------------|
| 253 | MÉCANISME À LEVIERS ET ENGRENAGE DE COMMUTATION | LEn CE |
| <div data-bbox="347 322 678 658" data-label="Image"> </div> <div data-bbox="170 683 864 1115" data-label="Text"> <p>Le mouvement de la roue dentée motrice 1, mobile autour d'un axe fixe A, est transmis à la roue dentée 2 montée folle sur l'arbre 3. Ce mouvement est ensuite transmis au moyen des roues dentées 4 et 5 tournant autour d'un axe fixe B — B à la roue dentée 6 qui est également montée folle sur l'arbre 3. Les roues dentées 2 et 6 mobiles autour d'un axe fixe C — C, engrènent alternativement avec la partie mobile de l'accouplement 7 et font tourner l'arbre 3 dans les deux sens. La vis tangente 8, montée sur l'arbre 3, met en mouvement la roue tangente 9 qui commande le mouvement du levier de commutation 10 relié à la roue 9 par un ressort 11. La roue 9 tournant autour d'un axe fixe E comporte deux éléments arqués amovibles a et d. Lorsque la roue 9 tourne, les bossages b et b' du levier 10 entrent en contact avec les éléments a et d, et le levier reste immobile. Dès que le contact entre les bossages b et b' et les éléments a et d prend fin, le ressort 11 tire le levier 10 et la commutation a lieu.</p> </div> | | |

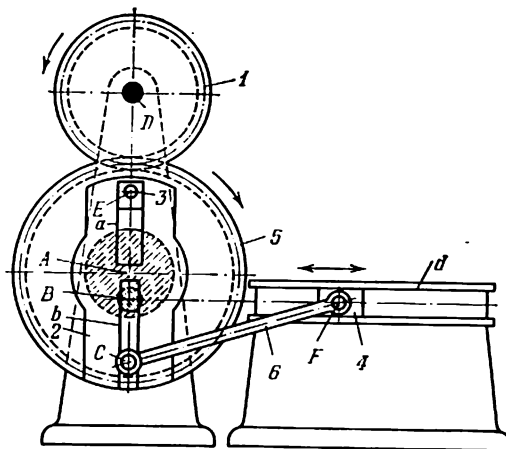
15. Mécanismes avec éléments de longueur réglable (254)

254

MÉCANISME À COULISSE ET ENGRENAGE
AVEC ÉLÉMENT MENÉ DE COURSE RÉGLABLE

LEn

LRg



La roue dentée 1, mobile autour d'un axe fixe D, engrène avec la roue dentée 5 tournant autour d'un axe fixe A. La roue 5 constitue un couple de rotation E avec le coulisseau 3 glissant dans la rainure a de la coulisse 2 mobile autour d'un axe fixe B. La coulisse 2 forme un couple de rotation C avec la bielle 6 qui, à son tour, constitue un couple de rotation F avec le coulisseau 4 se mouvant dans un guidage fixe d. Lorsque la roue motrice 1 est en mouvement uniforme, la coulisse 2 reçoit un mouvement non régulier et le coulisseau 4 se déplace d'un mouvement alternatif où la course aller et la course retour sont de vitesse moyenne différente. La longueur de course du coulisseau 4 peut être variée en déplaçant l'axe du couple de rotation C dans la rainure b de la coulisse 2.

16. Mécanismes d'autres dispositifs spéciaux (255-288)

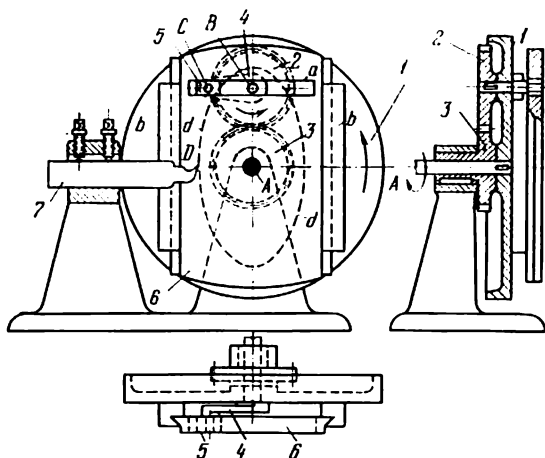
255

MÉCANISME À LEVIERS ET ENGRENAGE
DU PÉTRIN MÉCANIQUE

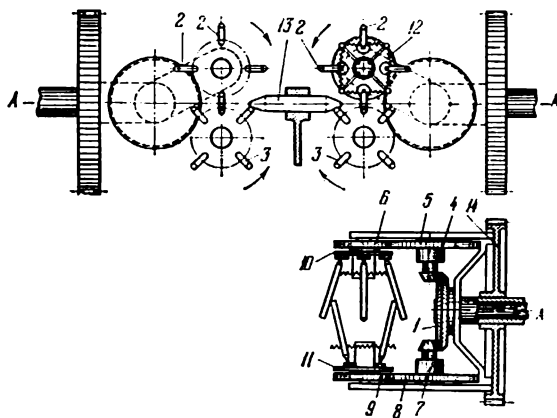
LEn

DSp

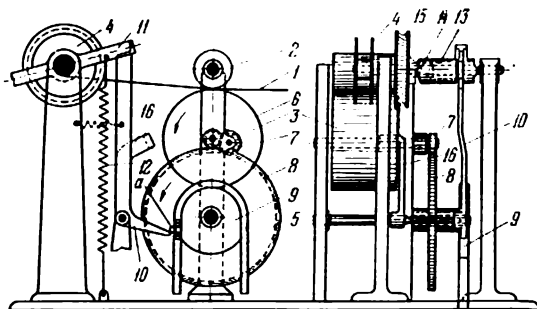
La roue dentée 1, mobile autour d'un axe fixe A, engrène avec une roue dentée 2 tournant autour d'un axe fixe B. Les roues 1 et 2 forment des couples de rotation F et G avec les éléments 6 et 7 qui constituent, à leur tour, un couple de rotation E. Les points C et D des bras 3 et 4 rendus solidaires des éléments 6 et 7 décrivent des courbes de bielle complexes q et t . Les longueurs des éléments du mécanisme satisfont aux conditions $r_1 = r_2$, $FE = GE$, où r_1 et r_2 sont les cercles primitifs des roues 1 et 2. Dans la position de départ du mécanisme, les segments AF et BG coïncident avec la ligne AB et sont dirigés en sens inverses. Le bras 4 peut être fixé dans différentes positions par rapport à l'élément 7.



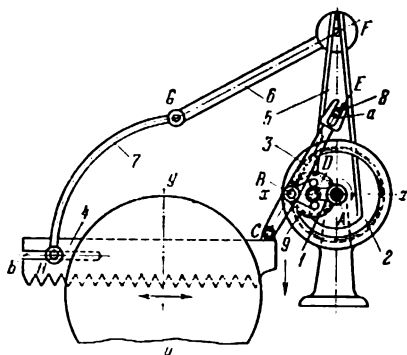
Le plateau 1, mobile autour d'un axe fixe A, forme un couple de rotation B avec le satellite 2 qui engrène avec une roue dentée fixe 3. La manivelle 4, solidaire du satellite 2, forme un couple de rotation C avec le coulisseau 5 glissant dans la coulisse a de la plaque 6. Cette dernière glisse dans le guidage b du plateau 1. Les axes de la coulisse a et du guidage b sont perpendiculaires entre eux. Les roues 2 et 3 ont les dimensions égales. Lorsque le plateau 1 tourne, les points de la plaque 6 décrivent des courbes de forme ovale. Si l'on fixe la pièce à usiner sur la plaque 6, l'outil 7 coupera la pièce par son point D lui imprimant une forme ovale d.



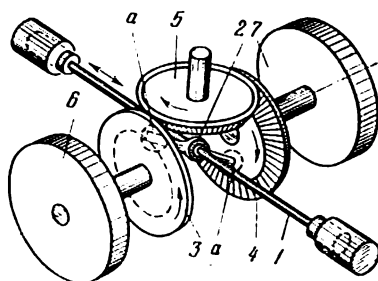
Lorsque la roue dentée 1 tourne autour d'un axe fixe A, les leviers 2 et 3 reçoivent la rotation dans les sens indiqués par les flèches à l'aide des roues dentées 4, 5, 6 et 7, 8, 9. Les leviers 2 et 3, reliés aux disques 10 et 11 par des articulations sphériques, sont maintenus en position neutre par les ressorts 12. Lorsque les disques 10 et 11 tournent, les leviers 2 et 3 compriment les extrémités du cigare 13 selon les génératrices des cônes. La roue 14, qui porte les paliers des roues dentées 4, 5, 6, 7, 8 et 9 et qui tourne autour d'un axe A, permet d'imprimer aux extrémités du cigare la forme conique.



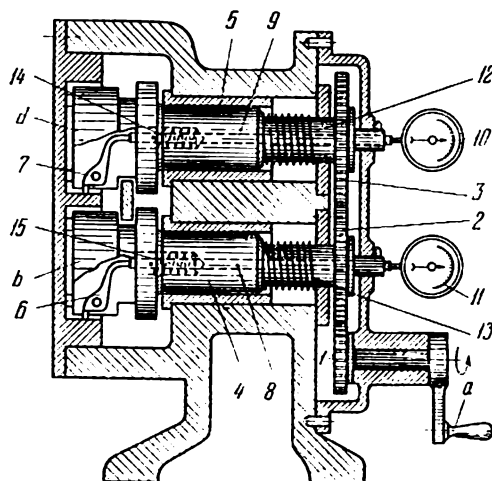
Le ruban 1 d'une machine à écrire est déplacé par les rouleaux 2 et 3 vers la bobine mobile 4. Le mouvement du rouleau 3 est transmis à la chaîne 5 au moyen des roues dentées 6, 7, 8 et 9. Le doigt *a* de la chaîne 5 est mis en position selon la quantité du ruban à enrouler et après le déplacement correspondant de la chaîne 5 il bute contre le levier coudé 10 et le fait tourner. Le levier 11, sollicité par le ressort 12, tourne dans le sens des aiguilles d'une montre. Le manchon 13 est dégagé du disque mobile 15 sous l'action du ressort 14, et la bobine 4 s'arrête. L'enroulement du ruban 1 prend également fin, car le levier de frein 16 arrête le rouleau 3.



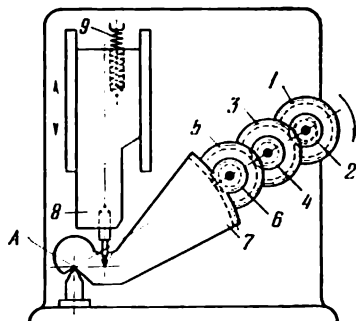
Le porte-satellites 1, mobile autour d'un axe fixe A, forme un couple de rotation D avec le satellite 9 qui engrène avec une roue dentée fixe 2. Le satellite 9 constitue un couple de rotation B avec la coulisse 3. La coulisse 3 forme un couple de rotation C avec la scie 4 et un couple de translation E avec le coulisseau 8 glissant dans la rainure a de la coulisse 3. Le coulisseau 8 tourne autour de l'axe E de l'élément 5 qui constitue un couple de rotation F avec l'élément 6. Ce dernier forme un couple de rotation G avec l'élément 7. L'élément 7 glisse par son extrémité H dans la rainure b de la scie 4. Le rayon r_2 du cercle primitif de la roue 2 est deux fois plus grand que le rayon r_9 du cercle primitif de la roue 9. Par suite le point B, situé sur le cercle primitif de la roue 9, se déplace suivant la droite $x - x$ passant par le point A. Lorsque le porte-satellites 1 est en mouvement, la scie 4 reçoit un mouvement alternatif parallèle à l'axe $x - x$. La scie avance le long de l'axe $y - y$ lorsqu'on tourne l'élément 5 autour de l'axe A



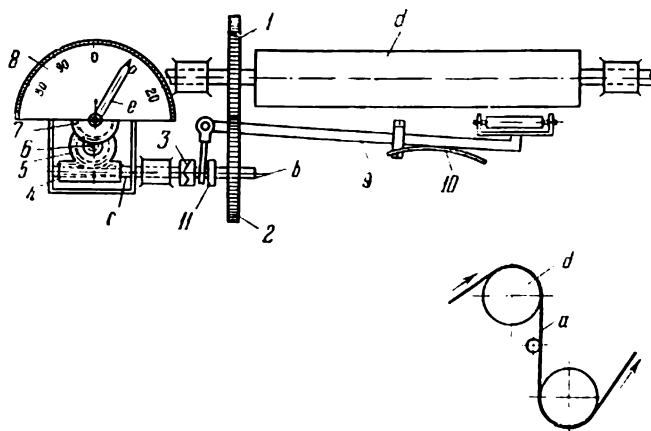
La rotation de la roue dentée conique 5 est transmise aux roues dentées coniques 3 et 4 tournant à des vitesses angulaires égales en sens opposés. Le centre de la navette 2, qui tourne autour de la tige 1 et est reliée aux roues 3 et 4 par des articulations sphériques *a*, se déplace d'un mouvement alternatif en même temps que la tige 1. La tige 1 dont le mouvement alternatif peut se transformer en mouvement de rotation joue le rôle de l'élément menant. Les volants 6 et 7 servent à franchir les points extrêmes.



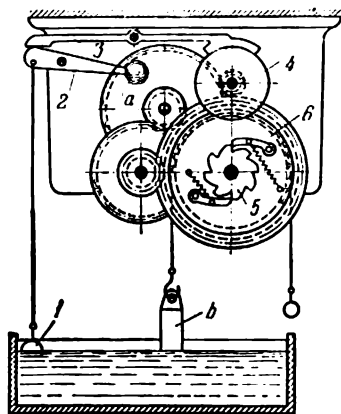
Lorsqu'on fait tourner la roue dentée 1 par la poignée *a*, les barres 4 et 5, reliées entre elles par les roues dentées 2 et 3, tournent également. Les barres 4 et 5 portent à leurs extrémités les disques *b* et *d* dans les rainures desquels sont disposés les leviers 6 et 7. Lorsque la dimension du trou à mesurer s'écarte de la dimension requise, les leviers 6 et 7 agissent sur les tiges des indicateurs 10 et 11 par les goujons 8 et 9 qui passent à travers les barres. Les ressorts 12, 13, 14 et 15 servent à serrer en permanence les leviers 7 et 6 contre les surfaces contrôlées.



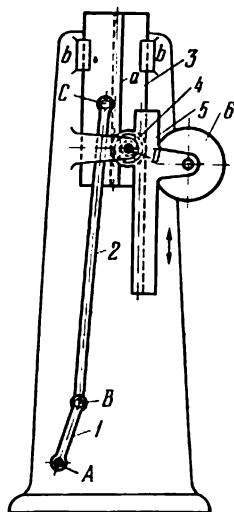
La rotation de la roue dentée 1 est transmise par les roues dentées 2, 3, 4, 5 et 6 au secteur denté 7 qui a pour appui le point A. La rotation du secteur est transformée en mouvement de translation de l'élément 8. Le ressort 9 sert à rattraper les jeux possibles dans le mécanisme. Pour empêcher la descente spontanée de l'élément 8 sous l'action du ressort 9, on a prévu sur la roue dentée 6 une rondelle de friction (non représentée sur la figure) qui, par frottement, équilibre la force exercée par le resso



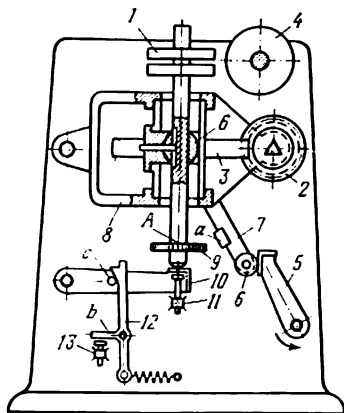
Le papier *a* est déplacé à l'aide du rouleau *d* et de la roue dentée *1* solidaire de ce rouleau. La roue dentée *1* commande la rotation de l'arbre *b* par l'intermédiaire de la roue dentée *2*. Le manchon *3* étant embrayé, le mouvement est transmis à l'arbre et à la vis tangente *4* calée sur cet arbre. La vis tangente *4* entraîne l'aiguille *c* du cadran *8* au moyen de trois pignons *5*, *6* et *7*. Au moment où la bande de papier se rompt, le levier *9* descend et déplace le manchon d'accouplement mobile *11* au moyen du ressort *10*, arrêtant ainsi la machine.



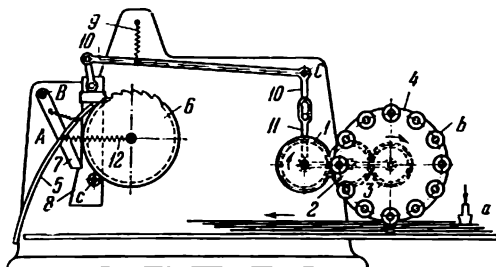
Lorsque le métal se trouve à un niveau normal le flotteur 1 flotte dans le bain et le bras gauche de l'élément 2 agit, sous l'action du poids *a*, sur l'élément 3 portant un sabot de frein qui est serré contre la poulie 4, effectuant ainsi son freinage. La poulie est reliée par un système de pignons et le rochet 6 à la roue à rochet 5 sur laquelle est suspendu par une chaîne le lingot *b*. Lorsque le métal se trouve à un niveau normal, le poids du lingot qui tend à faire tourner la roue à rochet est équilibré par la force de frottement sur la poulie de frein. Lorsque le niveau baisse dans le bain, le flotteur 1 baisse, lui aussi, et entraîne le poids *a* de l'élément 2. Le sabot de frein lâche la poulie 4, et le lingot s'enfonce dans le bain et fond, compensant de la sorte la diminution du métal dans le bain.



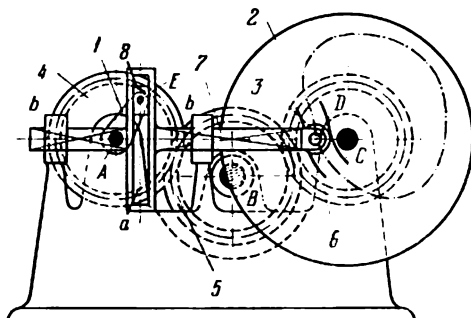
La manivelle 1, mobile autour d'un axe fixe A, forme un couple de rotation B avec la bielle 2 qui constitue, à son tour, un couple de rotation C avec le marbre 3 coulissant dans un guidage b. Le marbre 3 comporte une crémaillère a qui est en prise avec la roue dentée 4 tournant sur un axe fixe D. La roue 4 engrène avec le chariot 5 portant le cylindre d'impression 6. Lorsque la manivelle motrice 1 tourne, le chariot 5 reçoit un mouvement alternatif.



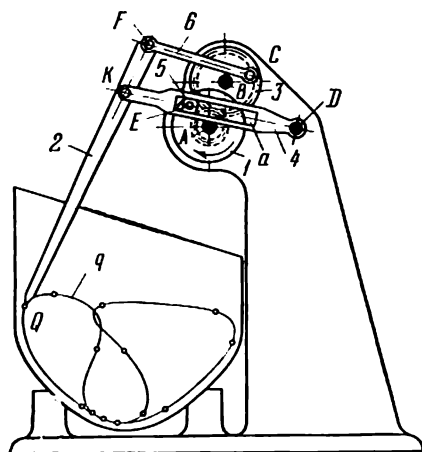
La roue porte-caractères 1 est mise en mouvement à l'aide des roues dentées 2 et 3. Lorsque la lettre requise s'arrête en face de l'arbre 4, la roue 1 s'avance et entre en contact avec l'arbre, imprimant de la sorte le caractère. Lorsque l'élément 5 tourne dans le sens inverse des aiguilles d'une montre, il agit sur le rouleau 6 de l'élément 7 articulé sur le chariot 8 et le fait tourner; son doigt *a* s'engage entre les dents de la roue 9. L'axe *A* tourne autour d'un axe fixe *K*, et la roue 1 s'approche de l'arbre 4. L'élément 10, qui porte l'axe *A*, est soulevé par la tige 11, et le cliquet 12 le maintient dans cette position. Lorsque la tige 13 agit sur la saillie *b* du cliquet 12, ce dernier tourne et libère l'ergot *c*. L'élément 10 s'abaisse et la roue 1 revient à sa position normale sous l'action de la pesanteur.



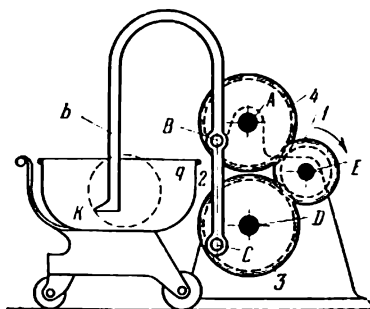
La rotation de la roue dentée 1 est transmise, au moyen d'une roue dentée intermédiaire 2, à la roue dentée 3 montée sur le même arbre que la roue à fuseaux 4. En tournant, la roue 4 frappe par ces fuseaux *b* les feuilles de papier et les avance dans le sens indiqué par la flèche jusqu'à ce qu'elles se heurtent à l'élément d'arrêt 5. La roue ne doit déplacer qu'une seule feuille de papier. On mettra à cet effet les feuilles de papier en pile en observant un certain décalage, toute la pile de feuilles de papier, sauf la première feuille, étant maintenue par un sabot de freinage *a*. Sous la pression de la feuille de papier, l'élément 5 tourne autour d'un axe *A* et engrène par son extrémité supérieure avec la dent de la roue à rochet 6. En agissant sur l'élément 5, la roue à rochet 6 fait tourner l'élément 7 autour d'un axe fixe *B*, libérant ainsi l'élément 8 qui remonte sous l'action du ressort 9. Le levier 10, avec la chape 11, tourne et fait monter la roue à fuseaux 4. L'excentrique (non représenté sur la figure), monté sur le même arbre que le rochet 6, agit sur le rouleau *c* de l'élément 8 et fait descendre ce dernier, déplaçant de la sorte la roue à fuseaux 4 vers le bas. L'élément 7 est serré contre le bâti par le ressort 12.



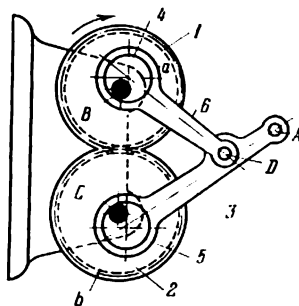
La manivelle 1, mobile autour d'un axe fixe A, forme un couple de rotation E avec le coulisseau 8 glissant dans la rainure a de la coulisse 7 qui glisse, à son tour, dans un guidage fixe b — b. La roue dentée 4, reliée rigidement à la manivelle 1, engrène avec la roue dentée 5 tournant autour d'un axe fixe B. La roue 5 engrène avec la roue dentée 6, mobile autour d'un axe fixe C, qui est solidaire du disque 2, dans lequel on doit exécuter une rainure de came. L'usinage est réalisé à l'aide de la fraise 3 mobile autour de l'axe D de la coulisse 7. Dans le mécanisme considéré, on exécute la rainure de la came tracée d'après la loi sinusoïdale. Les rayons des cercles primitifs des roues 4, 5 et 6 sont égaux entre eux.



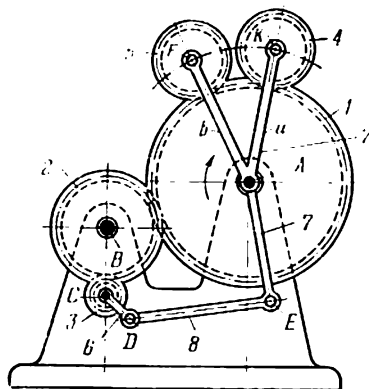
La roue dentée 1, mobile autour d'un axe fixe A, engrène avec la roue dentée 3 qui tourne autour d'un axe fixe B. La roue 1 forme un couple de rotation E avec le coulisseau 5 qui glisse dans la rainure a de la coulisse 4 mobile autour d'un axe fixe D. La roue 3 constitue un couple de rotation C avec l'élément 6. L'élément 2 forme des couples de rotation K et F avec les éléments 4 et 6. Lorsque la roue motrice 1 tourne, l'élément 2, qui est le bras du pétrin mécanique, reçoit un mouvement combiné, tandis que le point Q de l'élément 2 décrit une courbe de bielle complexe q .



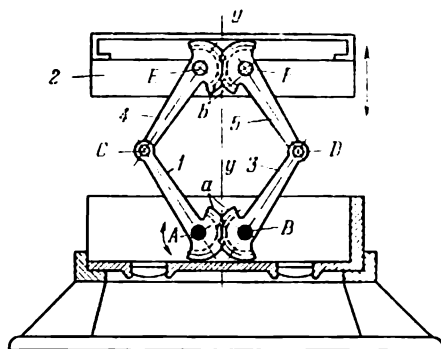
La roue dentée 1 tourne autour d'un axe fixe E et engrène avec les roues dentées 4 et 3 qui tournent autour des axes fixes A et D . Les roues 4 et 3 forment des couples de rotation B et C avec l'élément 2 comportant le bras b servant à pétrir la pâte. Les dimensions des éléments du mécanisme satisfont aux conditions $r_3 = r_4$, $AB = DC$ et $AD = BC$, où r_3 et r_4 sont les rayons des cercles primitifs des roues 3 et 4. De cette façon, la figure $ABCD$ est un parallélogramme et, par conséquent, lorsque la roue 1 tourne, tout point K du bras b décrit le cercle q de rayon égal à $r = AB$.



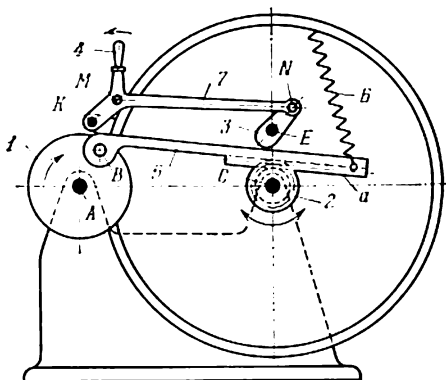
La roue dentée 1, mobile autour d'un axe fixe B, engrène avec la roue dentée 2 qui tourne autour d'un axe fixe C. L'excentrique 4, solidaire de la roue 1, constitue un couple de rotation qui se présente sous la forme d'une douille a comportant l'élément 6. L'excentrique 5, solidaire de la roue 2, constitue un couple de rotation qui se présente sous la forme d'une douille b comportant l'élément 3. Les éléments 3 et 6 constituent un couple de rotation D. Si les nombres de dents des roues 1 et 2 diffèrent peu entre eux, le cycle complet de mouvement du mécanisme sera égal au nombre de tours qui est le plus petit multiple du nombre de dents des roues. Le point A de l'élément 3 décrit alors une courbe de bielle complexe à laquelle on peut avoir recours pour l'installation et la mise en fonctionnement de la rectifieuse.



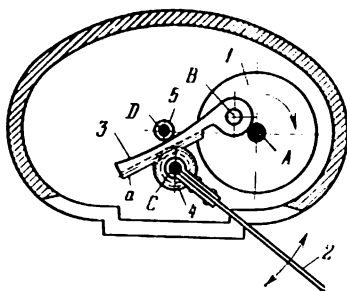
La roue dentée 1, mobile autour d'un axe fixe A, engrène avec la roue dentée 2 qui tourne autour d'un axe fixe B. La roue 2 engrène avec la roue dentée 3 tournant autour d'un axe fixe C. La manivelle 6, solidaire de la roue 3, forme un couple de rotation D avec la bielle 8. La bielle 8 forme un couple de rotation E avec le levier oscillant 7, en forme de V, qui tourne autour d'un axe fixe A. La roue 1 est rendue solidaire d'une grande roue de cylindrage, dont le diamètre est égal au diamètre de la roue 1. Deux rouleaux de cylindrage 4 et 5, qui tournent autour des axes K et F, sont montés sur les rayons a et b du levier oscillant 7. Lorsque la roue motrice 1 est en mouvement, le levier 7 effectue une oscillation complète pour un tour de la roue 3.



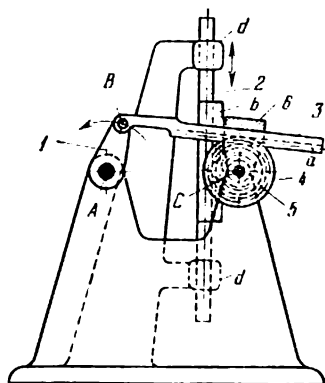
Les éléments 1 et 3, mobiles autour des axes fixes A et B , possèdent des secteurs dentés identiques a qui sont en prise. L'élément 1 forme un couple de rotation C avec l'élément 4, et l'élément 3 constitue un couple de rotation D avec l'élément 5. Les éléments 4 et 5, qui forment des couples de rotation E et F avec l'élément 2, comportent des secteurs dentés identiques b qui sont en prise. Les longueurs des éléments du mécanisme satisfont aux conditions $AC=BD$ et $CE=DF$. Lorsque l'élément 1 est en mouvement, l'élément 2 se déplace d'un mouvement de translation suivant l'axe $y - y$.



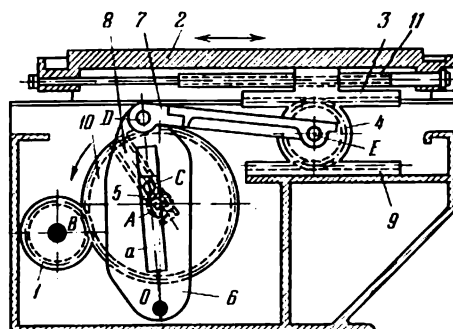
L'élément 1, mobile autour d'un axe fixe A, forme un couple de rotation B avec l'élément 5 comportant la crémaillère a qui est en prise avec la roue dentée 2 tournant autour d'un axe fixe C. L'élément 5 est suspendu au corps de la machine par le ressort 6. Lorsque l'élément moteur 1 est en rotation, la roue 2 effectue un mouvement de bascule, tant que la came 3, mobile autour d'un axe fixe E, se trouve dans la position montrée sur la figure. Lorsqu'on tourne la poignée 4 autour d'un axe fixe K dans le sens opposé à celui indiqué par la flèche, la bielle 7, qui forme des couples de rotation M et N avec la poignée 4 et la came 3, fait tourner la came 3 autour d'un axe fixe E, la crémaillère a désengrène de la roue 2 et cette dernière s'arrête.



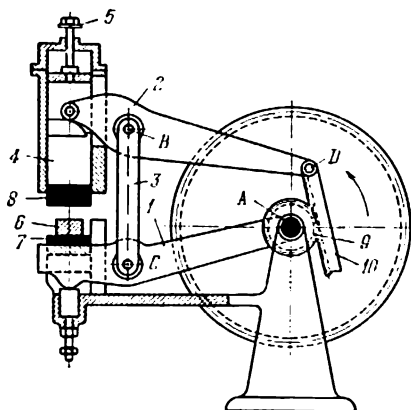
L'élément *1*, mobile autour d'un axe fixe *A*, forme un couple de rotation *B* avec l'élément *3* qui comporte la crémaillère *a* engrenant avec la roue dentée *4* tournant autour d'un axe fixe *C*. Le balai *2* est rendu solidaire de la roue *4*. La continuité d'engrènement de la crémaillère *a* avec la roue *4* est assurée par le galet *5* qui tourne autour d'un axe fixe *D*. Lorsque l'élément *1* est en mouvement, le balai *2* reçoit un mouvement de balancement



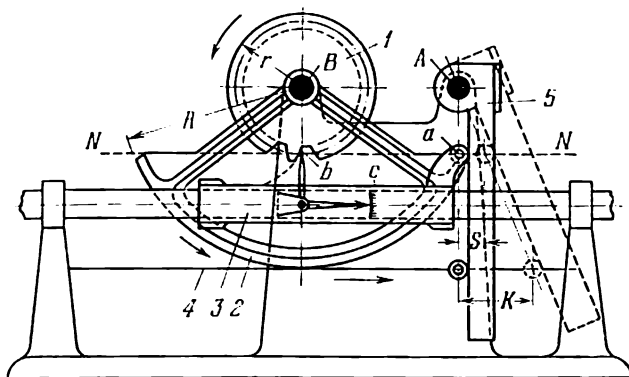
La manivelle 1, mobile autour d'un axe fixe A, forme un couple de rotation B avec l'élément 3 qui comporte la crémaillère a engrenant avec la roue dentée 4 tournant autour d'un axe fixe C. La roue 5, solidaire de la roue 4, engrène avec la crémaillère b de l'élément 2 qui se meut dans un guidage fixe d — d. L'élément 6, qui tourne autour d'un axe C, constitue un couple de translation avec l'élément 3 et assure la continuité d'engrènement de la crémaillère a avec la roue 4. Lorsque la manivelle 1 est en mouvement, l'élément 2 reçoit un mouvement alternatif.



La roue dentée 1, mobile autour d'un axe fixe B, engrène avec la roue dentée 10 qui tourne autour d'un axe fixe A. La roue 10 forme un couple de rotation C avec le coulisseau 5 qui se meut dans la rainure a de la coulisse 6 tournant autour d'un axe fixe O. La coulisse 6 constitue un couple de rotation D avec l'élément 7 qui forme, à son tour, un couple de rotation E avec la roue dentée 4. La roue 4 engrène avec la crémaillère fixe 9 et avec la crémaillère 3 rendue solidaire de la table 2. La fixation de la position de la crémaillère 3 par rapport à la table 2 est assurée par la vis 11. Lorsque la roue motrice 1 est en mouvement, la table 2 reçoit un mouvement alternatif, ses courses aller et retour étant de durée différente. La table 2 se déplace dans ce cas à une vitesse deux fois supérieure à la vitesse du point E. Pour varier la marche de la table 2, la roue 10 est munie d'une coulisse 8, dans laquelle on peut déplacer et fixer l'axe C comportant le coulisseau 5.



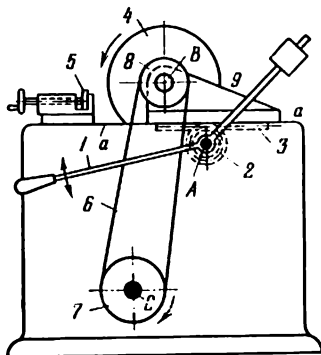
Le mécanisme des ciseaux est composé de deux leviers 1 et 2 réunis par la tige 3 qui forme avec ceux-ci des couples de rotation C et B. Par l'une de ses extrémités le levier 2 bute contre le support 4 du couteau supérieur 8, et par l'autre il constitue un couple de rotation D avec la crémaillère 10 qui engrène avec la roue dentée 9 mobile autour d'un axe fixe A. Le levier 1 sert de support au couteau inférieur 7. L'autre extrémité du levier 1 tourne librement autour de l'axe A. Lorsque la roue 9 est en rotation, le couteau supérieur 8 descend sous le poids de deux leviers 1 et 2 et du support 4. Dès que le couteau supérieur 8 s'approche de la pièce à couper 6, son mouvement se trouve bloqué par l'écrou 5. Lorsque la roue 9 continue à tourner, le levier 2 fait monter le support du couteau inférieur 7 sous l'action de la tige 3, effectuant ainsi la coupe.



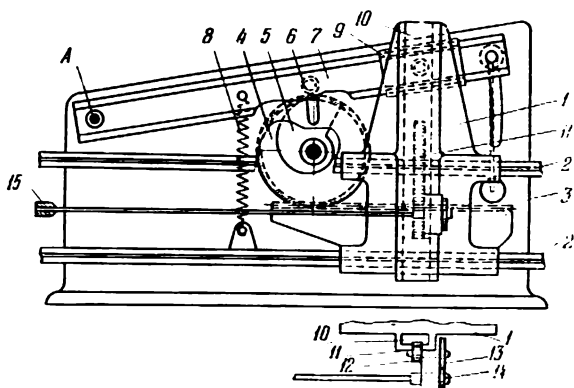
La roue contrôlée 1 et le segment 2 sont montés sur le même axe fixe B. Le galet a et la touche b du chariot 3 se trouvent sur la droite N — N parallèle au sens de déplacement du chariot 3. La distance entre le galet a et l'axe A est égale au rayon du cercle de base de la roue contrôlée 1. Lorsque la roue 1 tourne, le mouvement du segment 2 est transmis par la bande 4 au levier 5 qui pivote de telle façon que $\frac{S}{K} =$

$= \frac{r}{R}$. Cette condition étant remplie, les points de la tangente

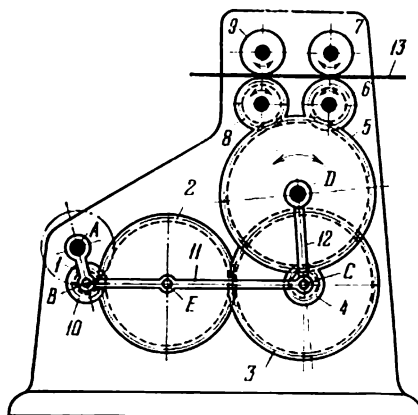
N — N décriront une développante de rayon r. Si le profil de la dent n'a pas de défauts, la touche b reste immobile par rapport au chariot en mouvement 3. Si le profil de la dent s'écarte de la développante régulière, la touche b transmet ces écarts à l'indicateur c.



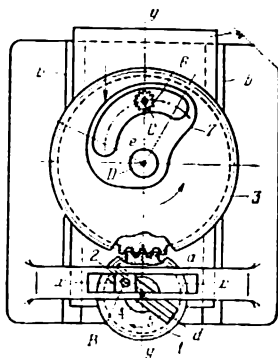
Le levier 1 et la roue dentée 2, qui est solidaire de ce levier, tournent autour d'un axe fixe A. La roue 2 engrène avec la crémaillère 3 du coulisseau 9 qui se meut dans un guidage fixe a. Le disque tranchant 4, mobile autour d'un axe B, est entraîné à l'aide d'une transmission souple constituée par les bielles 7 et 8 et l'élément souple 6. Lorsqu'on tourne le levier 1 dans le sens inverse des aiguilles d'une montre, le coulisseau 9 se déplace vers la gauche et approche le disque 4 de l'objet à traiter 5. Si on tourne le levier 1 dans le sens opposé, le disque s'éloigne de l'objet.



Lorsque le chariot 1 se déplace dans le guidage 2, la crémaillère 3 met en mouvement la roue 4, solidaire de la came 5. La tige 7 portant le rouleau 6 qui subit l'action du ressort 8, pivote autour d'un axe fixe A. La glissière 9, qui se déplace sur la tige 7, est articulée sur la rainure du chariot 1. La glissière 10 se déplace dans la rainure du chariot 1, et la crémaillère 11, reliée à la glissière 10, met en mouvement les roues dentées 12, 13, 14 qui impriment le mouvement à la fraise 15. Le déplacement de la fraise est assuré par le mouvement du chariot 1. De cette façon, la fraise 15 reçoit un mouvement hélicoïdal nécessaire pour le rayage d'un canon.



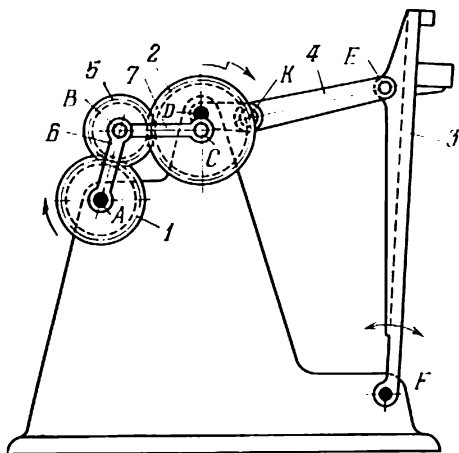
La manivelle 1, solidaire de la roue dentée 10, tourne autour d'un axe fixe A et engrène avec la roue dentée 2. Cette dernière tourne autour de l'axe E de la bielle 11. La roue 2 engrène avec la roue 3, mobile autour d'un axe C. La roue dentée 4, solidaire de la roue dentée 3, engrène avec la roue 5 qui tourne autour d'un axe fixe D. La bielle 11 forme des couples de rotation B et C avec la manivelle 1 et le levier oscillant 12 tournant autour de l'axe fixe D. Lorsque la manivelle 1 est en mouvement uniforme, la roue 5 fait deux rotations dans les deux sens pour un cycle complet de mouvement du mécanisme. Les rouleaux cannelés 7 et 9 seront donc mis en mouvement de rotation alternatif au moyen des roues dentées 6 et 8, agissant ainsi sur le matériau à traiter 13.


$$y = y_0 + r \sin \varphi$$

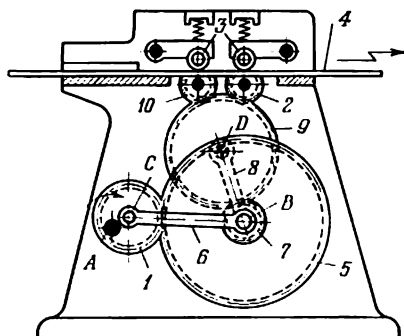
et pivote à un angle ψ égal à

$$\psi = \frac{z_1}{z_3} \varphi,$$

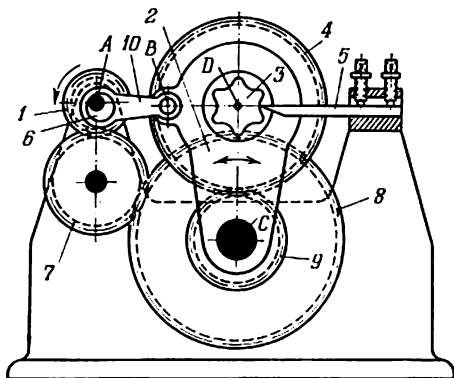
où y_0 est la coordonnée initiale qui définit la position de l'élément 4; r , la distance AB ; q , l'angle formé par AB avec l'axe $x - x$; z_1 et z_3 , les nombres de dents des roues 1 et 3. La fraise 6 exécute la rainure e dans la pièce 7. On varie le déplacement y , en modifiant la longueur AB , autrement dit en fixant l'axe B dans différentes positions de la rainure d .



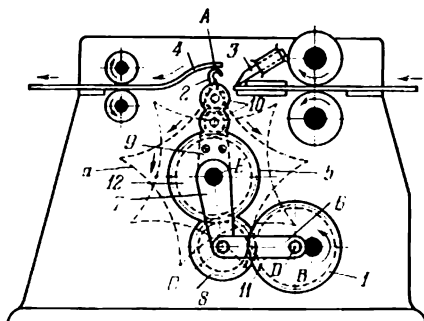
La roue dentée 1, mobile autour d'un axe fixe A, engrène avec la roue 5 qui tourne autour d'un axe B. La roue 5 engrène avec la roue 2 qui tourne autour d'un axe fixe D disposé de façon excentrique. L'élément 6, tournant autour de l'axe A, forme un couple de rotation B avec l'élément 7 qui constitue, à son tour, un couple de rotation C avec la roue 2. L'élément 4 forme des couples de rotation K et E avec la roue 2 et le battant 3 qui tourne autour d'un axe fixe F. Lorsque la roue 1 est en mouvement uniforme, la roue 2 reçoit un mouvement non uniforme, assurant ainsi le mouvement oscillatoire du battant 3.



La roue dentée 1, fixée de façon excentrique et qui tourne autour d'un axe fixe A, engrène avec la roue dentée 5. La roue 5 et la roue 7, solidaire de la première, tournent autour d'un axe B. L'élément 6 forme des couples de rotation C et B avec la roue 1 et l'élément 8 qui tourne autour d'un axe fixe D. La roue 7 engrène avec la roue 9 qui tourne autour de l'axe D. Au moyen de roues dentées 10, la roue 9 entraîne les rouleaux 2 qui sont solidaires de la roue 9. Lorsque la roue 1 est en mouvement uniforme, les rouleaux 2, animés d'un mouvement alternatif intermittent, déplacent la matière fibreuse 4 entre les rouleaux 2 et les rouleaux de pression 3.



L'excentrique 6, mobile autour d'un axe fixe A, forme un couple de rotation avec la bielle 10 qui constitue, à son tour, un couple de rotation B avec le levier oscillant tournant autour d'un axe fixe C. La roue dentée 1, solidaire de l'excentrique 6, transmet le mouvement à la roue 4 à l'aide d'un engrenage constitué de la roue 7 et des roues 8 et 9 reliées rigidement entre elles. La roue 4 tourne autour de l'axe D du levier oscillant 2. La pièce à usiner 3 de profil complexe est rendue solidaire de la roue 4 et effectue avec cette dernière le mouvement combiné autour des axes C et D. L'usinage de la pièce est réalisé au moyen d'un outil de coupe ou d'une fraise 5 reliée au support. La forme de la pièce à exécuter dépend des dimensions des éléments du mécanisme et du rapport de transmission de l'engrenage. La forme de la pièce montrée sur la figure est conventionnelle.



La roue dentée 1, disposée de façon excentrique, tourne autour d'un axe fixe B et engrène avec la roue dentée 8 tournant autour d'un axe fixe C. La roue 8 engrène avec la roue 5, mobile autour d'un axe fixe E. Les éléments 7 et 11 forment des couples de rotation avec les roues 5, 8 et 1. L'élément 7 tourne autour de l'axe E. Le porte-satellites 9, solidaire de la roue 5, comporte deux satellites 10 identiques accouplés l'un après l'autre. La roue fixe 12 est placée sur le même axe que la roue 5 qui lui est égale. Lorsque le porte-satellites 9 est en rotation, les satellites 10 roulent sur la roue 12. Le point A de l'élément 2, solidaire du satellite supérieur 10, décrit une trajectoire complexe *a* qui possède neuf points doubles. Lorsque la roue 1 est en mouvement uniforme, la roue 5 comportant le porte-satellites 9 tourne d'une façon non uniforme. Le point A de l'élément 2, solidaire du satellite supérieur 10, qui suit la trajectoire *a*, déplace périodiquement par à-coups la bande de papier 4 vers le couteau 3.

III

Mécanismes à fuseaux et engrenage FE

1. Mécanismes à trois éléments d'usage général Tr (289-303). 2. Mécanismes à éléments multiples d'usage général M (304-307). 3. Mécanismes avec arrêts Ar (308-334). 4. Mécanismes des croix de Malte CM (335-364). 5. Mécanismes de triage, d'avance et d'alimentation TA (365-366). 6. Mécanismes d'autres dispositifs spéciaux DSp (367-371).

1011

2

1012

3

1013

4

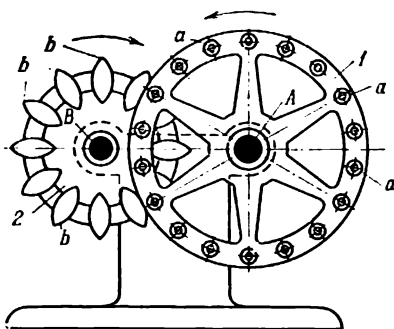
1. Mécanismes à trois éléments d'usage général (289-303)

289

MÉCANISME DE REULEAUX À FUSEAUX ET ENGRENAGE AVEC DENTURE EXTERIEURE

FE

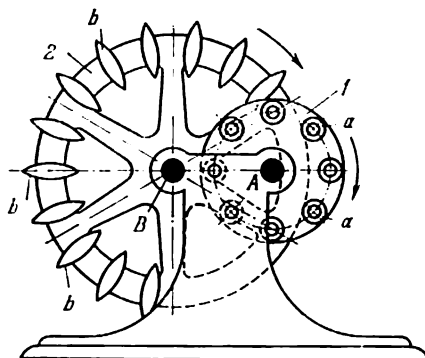
Tr



La roue 1, mobile autour d'un axe fixe A, possède des fuseaux *a* qui engrènent avec les dents lenticulaires *b* de la roue 2 tournant autour d'un axe fixe B. Les profils des dents *b* sont tracés suivant les courbes équidistantes de la partie d'une épicycloïde allongée. Lorsque la roue motrice 1 est en mouvement uniforme, la roue menée 2 reçoit un mouvement également uniforme. Le rapport de transmission i_{12} du mécanisme est tel que

$$i_{12} = \frac{\omega_1}{\omega_2} = - \frac{z_2}{z_1} = - \frac{2}{3},$$

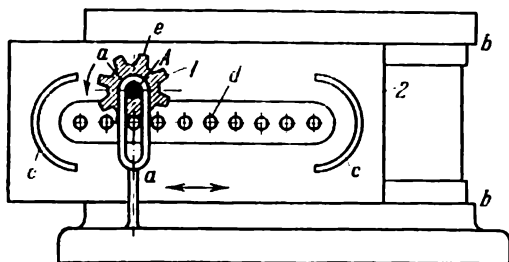
où ω_1 et ω_2 sont les vitesses angulaires des roues 1 et 2 ; z_1 , le nombre de fuseaux *a* ; z_2 , le nombre de dents *b*. Les roues 1 et 2 tournent en sens opposés.



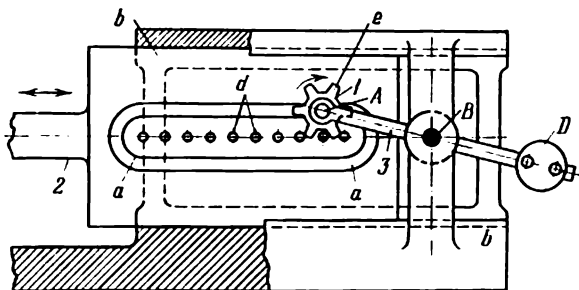
La roue 1, mobile autour d'un axe fixe A, possède des fuseaux qui engrenent avec les dents lentiformes *b* de la roue 2 tournant autour d'un axe fixe B. Les profils des dents *b* sont tracés suivant les courbes équidistantes de la partie d'une hypocycloïde allongée. Lorsque la roue motrice 1 est en mouvement uniforme, la roue menée 2 reçoit un mouvement également uniforme. Le rapport de transmission i_{12} du mécanisme est tel que

$$i_{12} = \frac{\omega_1}{\omega_2} = \frac{z_2}{z_1} = \frac{5}{2},$$

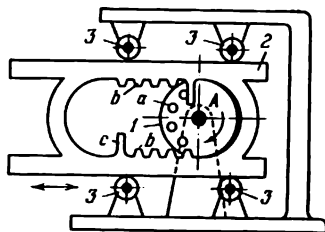
où ω_1 et ω_2 sont les vitesses angulaires des roues 1 et 2; z_1 , le nombre de fuseaux *a*; z_2 , le nombre de dents *b*. Les roues 1 et 2 tournent dans le même sens.



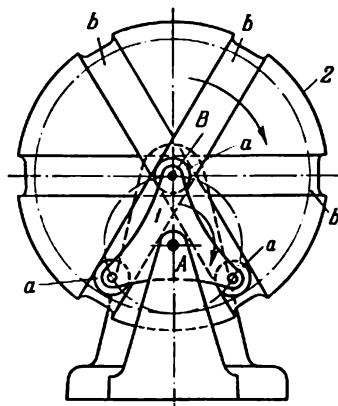
La roue dentée 1, mobile autour d'un axe fixe A, engrène avec la crémaillère 2 comportant les fuseaux d. L'axe A de la roue 1 coulisse dans la rainure fixe a. Lorsque la roue 1 est animée d'un mouvement uniforme continu effectué dans le même sens, la crémaillère 2 reçoit un mouvement alternatif uniforme dans un guidage fixe b. Les arcs profilés c permettent de modifier le sens du mouvement de la crémaillère 2. Lorsque la roue 1 passe de sa position supérieure à sa position inférieure et vice versa, la crémaillère 2 reçoit un mouvement non uniforme. Les profils des dents e de la roue 1 sont tracés suivant les courbes équidistantes de la développante d'un cercle.



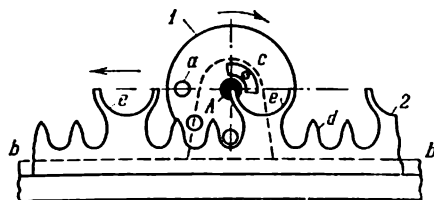
La roue dentée 1, mobile autour d'un axe A, engrène avec la crémaillère 2 comportant les fuseaux d. L'axe A de la roue 1 coulisse dans la rainure a de la crémaillère 2 qui possède des parties rectilignes et curvilignes. La roue 1 forme un couple de rotation A avec le levier 3 qui pivote autour d'un axe fixe B. Lorsque la roue 1 est animée d'un mouvement uniforme continu effectué dans le même sens, la crémaillère 2 se déplace d'un mouvement alternatif uniforme dans un guidage fixe b. Les parties curvilignes de la rainure a permettent de modifier le sens du mouvement de la crémaillère 2. Lorsque la roue 1 passe de sa position supérieure à sa position inférieure et vice versa, la crémaillère 2 reçoit un mouvement non uniforme. Les profils des dents e de la roue 1 sont tracés suivant les courbes équidistantes de la développante d'un cercle. La charge D fait équilibre au poids de la roue 1.



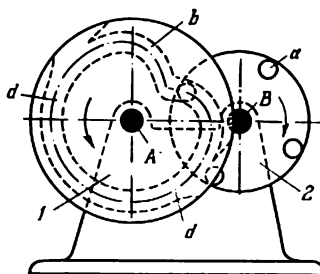
La roue 1 comportant les fuseaux *a*, mobile autour d'un axe fixe *A*, engrène alternativement avec les parties supérieure et inférieure de la crémaillère profilée 2 munie de dents *b* et possédant des parties curvilignes et rectilignes. La crémaillère 2 glisse sur les rouleaux de guidage 3. Lorsque la roue motrice 1 est animée d'un mouvement uniforme continu effectué dans le même sens, la crémaillère menée 2 reçoit un mouvement alternatif à une vitesse constante au moment où les fuseaux *a* se trouvent en prise avec les dents *b* et un mouvement non uniforme effectué suivant une loi sinusoïdale au moment où les fuseaux *a* se trouvent en prise avec les dents allongées *c*.



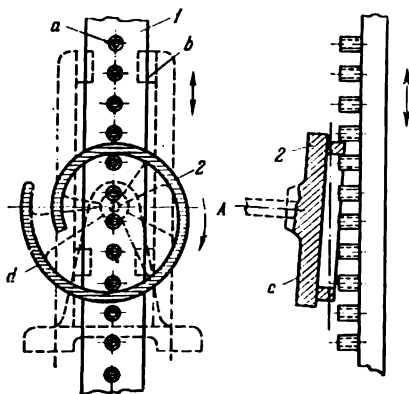
L'élément 1, mobile autour d'un axe fixe A, possède trois fuseaux *a* disposés de façon symétrique. Les distances du point A aux axes des fuseaux *a* sont égales et forment entre elles des angles de 120° . Les fuseaux *a* coulisent dans les rainures radiales rectilignes *b* de la coulisse 2 qui tourne autour d'un axe fixe B. Les axes des rainures forment des angles de 60° entre eux. Lorsque l'élément 1 est animé d'un mouvement uniforme continu, la coulisse 2 reçoit un mouvement également uniforme. Le rapport de transmission i_{12} est égal à $i_{12} = 2$. Les éléments 1 et 2 tournent dans le même sens.



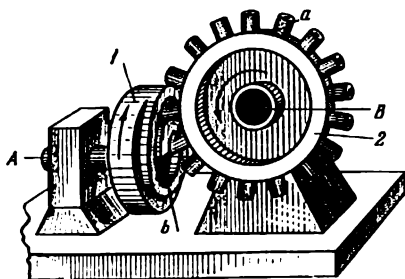
La roue 1 comportant les fuseaux *a*, mobile autour d'un axe fixe *A*, engrène avec les dents *d* de la crémaillère 2 animée d'un mouvement de translation dans un guidage fixe *b*. Les profils des dents *d* de la crémaillère 2 sont tracés suivant les courbes équidistantes de la cycloïde d'un cercle. La roue 1 possède l'arc de blocage *c*, et la crémaillère 2, les arcs de blocage *e*. Lorsque la roue motrice 1 est animée d'un mouvement uniforme, la crémaillère menée 2 reçoit un mouvement également uniforme. Aux moments d'arrêt de la crémaillère l'arc *c* glisse sur les arcs correspondants *e*, empêchant ainsi le déplacement spontané de la crémaillère.



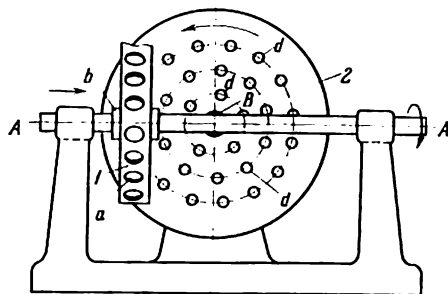
La came 1, mobile autour d'un axe fixe *A*, porte une rainure profilée *b* dont les parties *d — d* sont tracées suivant un arc de cercle de centre *A*. La rainure *b* engrène avec les fuseaux *a* de la roue 2 qui tourne autour d'un axe fixe *B*. Les axes des fuseaux *a*, disposés symétriquement, sont équidistants du centre *B*. Pour un tour de la came motrice 1, la roue à fuseaux 2 pivote à un angle de 90° . La roue 2 observe un arrêt quand la partie curviligne *d — d* de la rainure glisse sur les deux fuseaux voisins *a*, permettant ainsi d'éviter la rotation spontanée de la roue 2.



La crémaillère 1 comportant des fuseaux *a* coulisse dans un guidage *b*. La roue 2 est munie d'une dent *d* de forme hélicoïdale qui est disposée sur le disque *c* de la roue 2. La roue 2 tourne autour de l'axe fixe *A* légèrement incliné par rapport à la surface de la crémaillère 1. Lorsque la roue 2 est animée d'un mouvement uniforme, la crémaillère 1 reçoit un mouvement non uniforme. Pour un tour de la roue 2, la crémaillère se déplace d'un fuseau.



La roue 1, mobile autour d'un axe fixe A, comporte une rainure hélicoïdale *b* qui engrène avec les fuseaux *a* de la roue à fuseaux 2 tournant autour d'un axe fixe B. Le mécanisme permet de transmettre une rotation continue entre les deux axes perpendiculaires entre eux qui ne se coupent pas.

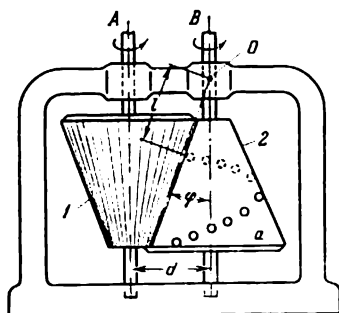


La roue 1, mobile autour d'un axe fixe A, est munie d'orifices *a*, dans lesquels s'engagent pendant l'engrènement les fuseaux *d* de la roue 2 qui tourne autour d'un axe fixe B. Les fuseaux *d* sont disposés sur la face frontale de la roue 2 suivant trois cercles concentriques. En déplaçant le manchon de la roue 1 sur l'axe A, on peut obtenir que l'engrènement se produit sur l'un des cercles concentriques. Le nombre de tours par minute de la roue 1 étant constant, la roue 2 aura trois nombres de tours différents par minute. Lorsque la roue 1, qui se déplace vers la droite, dépasse le point B, la roue 2 change son sens de rotation.

Le rapport de transmission i_{12} du mécanisme est tel que

$$i_{12} = \frac{\omega_1}{\omega_2} = \frac{z_2}{k_1},$$

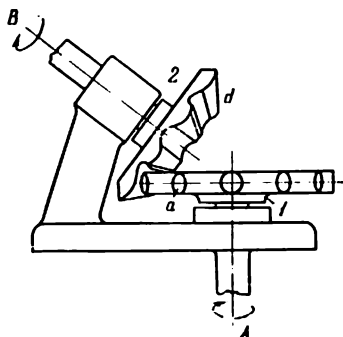
où k_1 est le nombre d'orifices de la roue 1 et z_2 , le nombre de fuseaux du cercle qui sont en prise avec la roue 1.



La roue conique 1, mobile autour d'un axe fixe A , est pourvue de dents dont les génératrices sont parallèles aux génératrices du cône primitif de la roue 1. La roue conique 2, tournant autour d'un axe fixe B , comporte des fuseaux a disposés suivant l'hélice du cône primitif de la roue 2. Lorsque la roue motrice 2 est en mouvement, les fuseaux a engrenent avec la roue dentée 1. Le mécanisme transmet la rotation de la roue 2 à la roue 1, dont les axes A et B sont parallèles, avec le rapport de transmission variable i_{21} égal à

$$i_{21} = \frac{\omega_2}{\omega_1} = \frac{d - l \sin \varphi}{l \sin \varphi},$$

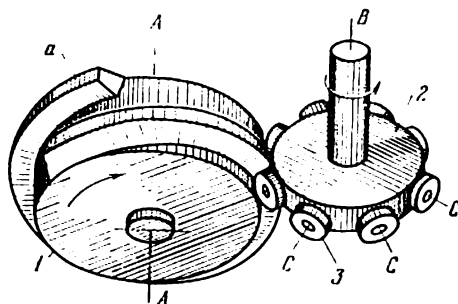
où ω_1 et ω_2 sont les vitesses angulaires des roues 1 et 2; 2φ , l'angle d'ouverture des cônes primitifs; d , l'entr'axe AB ; φ , la moitié de l'angle d'ouverture des cônes primitifs; l , la distance entre le sommet O du cône 2 et le centre du fuseau a .



La roue *1*, mobile autour d'un axe fixe *A*, porte des fuseaux *a* qui engrènent avec les dents *d* de la roue dentée conique *2* tournant autour d'un axe fixe *B*. La roue *1* porte des fuseaux *a* dont les axes sont situés dans le plan de la roue. Le mécanisme permet de transmettre le mouvement entre les axes concourants *A* et *B*. Le rapport de transmission i_{12} du mécanisme est égal à

$$i_{12} = \frac{\omega_1}{\omega_2} = \frac{z_2}{k},$$

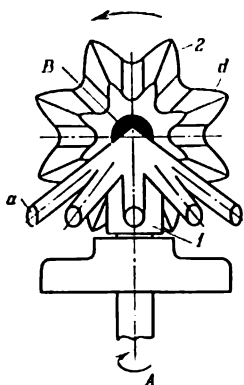
où ω_1 et ω_2 sont les vitesses angulaires des roues *1* et *2*; z_2 , le nombre de dents *d* de la roue *2*; *k*, le nombre de fuseaux *a* de la roue *1*.



La roue 1, mobile autour d'un axe fixe A, est munie d'une dent hélicoïdale *a* qui engrène avec les rouleaux 3 de l'élément 2. Les rouleaux 3 tournent autour des axes C reliés à la roue à fuseaux 2 tournant autour d'un axe fixe B. Les axes A et B se coupent à un angle de 90°. Le rapport de transmission i_{12} du mécanisme est égal à

$$i_{12} = \frac{\omega_1}{\omega_2} = \frac{n_1}{n_2} = -z_3,$$

où ω_1 , ω_2 et n_1 , n_2 sont les vitesses angulaires et les nombres de tours par minute des roues 1 et 2; z_3 , le nombre de rouleaux 3 de la roue 2.

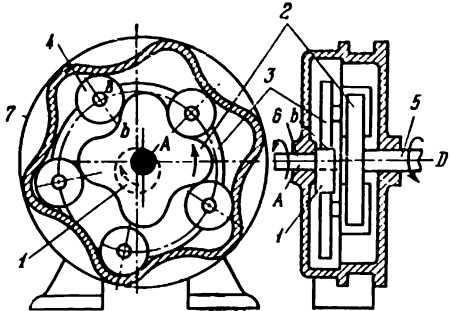


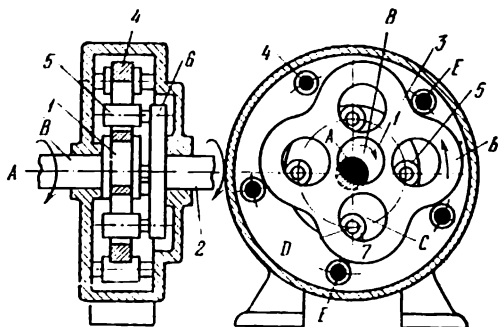
La roue conique 1 , mobile autour d'un axe fixe A , est munie de fuseaux a qui engrènent avec les dents d de la roue dentée conique 2 tournant autour d'un axe fixe B . Le mécanisme permet de transmettre le mouvement entre les axes A et B qui se coupent. Le rapport de transmission i_{12} du mécanisme est égal à

$$i_{12} = \frac{\omega_1}{\omega_2} = \frac{z_2}{k},$$

où ω_1 et ω_2 sont les vitesses angulaires des roues 1 et 2 ; z_2 , le nombre de dents d de la roue 2 ; k , le nombre de fuseaux a de la roue 1 .

2. Mécanismes à éléments multiples d'usage général (304-307)

| 304 | MÉCANISME PLANÉTAIRE À ENGRENAGE ET FUSEAUX AVEC DENTURE INTÉRIEURE | FE M |
|---|---|---------|
| | | |
| | | |
|  | | |
| <p>L'excentrique rond 1, mobile autour de l'axe fixe A de l'arbre 6, est embrassé par la douille b de la roue 3 qui comporte des fuseaux 4 tournant autour des axes B de cette roue. Les fuseaux 4 engrènent intérieurement avec la roue à fuseau fixe 7 et extérieurement avec la roue à fuseau 2 tournant autour de l'axe fixe D de l'arbre 5. Le nombre de tours par minute n_5 de l'arbre 5 est lié au nombre de tours par minute n_6 de l'arbre 6 par la condition suivante</p> $n_5 = -n_6 \frac{z_7 - z_2}{z_2},$ <p>où z_2 et z_7 sont les nombres de dents des roues cycloïdales 2 et 7.</p> | | |



L'excentrique rond 1 d'axe *B* tourne sur un axe fixe *A*. La rondelle 3, qui embrasse l'excentrique 1, possède quatre dents *b* qui engrenent avec les fuseaux ronds 4 mobiles autour des axes fixes *E*. La rondelle 6, solidaire de l'arbre menant 2 tournant autour de l'axe *A*, porte des fuseaux 7. Les fuseaux 7 tournent autour des axes *D* de la rondelle 6 et roulent sur le côté intérieur des orifices ronds qui ont pour centre le point *C* de la rondelle 3. Les dimensions des éléments du mécanisme satisfont aux conditions

$$AB = DC \quad \text{et} \quad BC = AD,$$

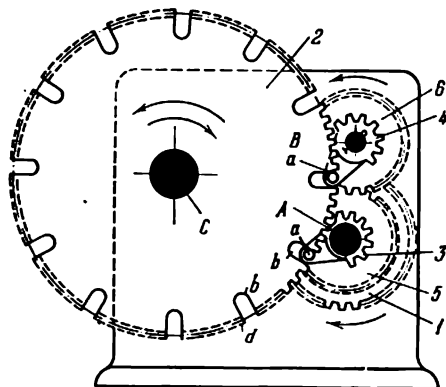
c.-à-d. que la figure *ABCD* est un parallélogramme.

Lorsque l'excentrique 1 tourne autour de l'axe *A*, la rondelle 3 engrène avec les fuseaux 4, imprimant ainsi le mouvement à l'arbre 2.

Le rapport de transmission *i* du mécanisme est égal à

$$i = \frac{z_4 - z_3}{z_3},$$

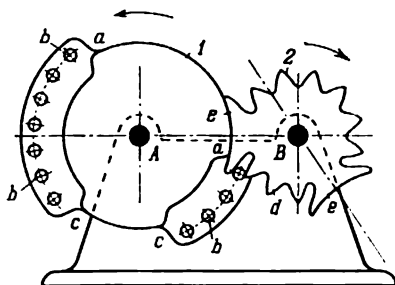
où z_4 est le nombre de fuseaux 4 ; z_3 , le nombre de dents de la rondelle 3.



La roue dentée 1, mobile autour d'un axe fixe A, est reliée à une roue dentée motrice non montrée sur la figure. L'arbre A peut être relié au secteur 3 ou à la roue 5 à l'aide d'une clavette (non figurée sur le dessin) coulissant sur l'arbre A. Dans le premier cas c'est le secteur 3 qui sera mis en mouvement, dans le second cas, ce sont les roues 5 et 6 et le secteur 4 qui tourneront. Il s'ensuit qu'on peut faire tourner la roue 2 autour d'un axe fixe C dans les deux sens. Lorsque les dents du secteur 3 ou 4 engrenent avec les dents d de la roue 2, cette dernière reçoit un mouvement uniforme. Lorsque le fuseau a glisse dans la rainure b, la roue 2 reçoit un mouvement non uniforme.

3. Mécanismes avec arrêts (308-334)

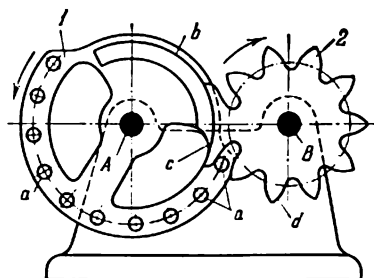
| | | |
|--|---|--|
| 308 | <p align="center">MÉCANISME À PIGNON, À FUSEAUX ET ENGRENAGE AVEC DENTURE EXTÉRIEURE</p> | <p align="center">FE Ar</p> |
| <div data-bbox="298 285 733 616" data-label="Image"> </div> <p data-bbox="166 627 862 915">La roue 1, munie de fuseaux b et mobile autour d'un axe fixe A, engrène périodiquement avec les dents d de la roue 2. Cette dernière tourne autour d'un axe fixe B. La roue 1 comporte un arc de blocage a, et la roue 2 comporte deux arcs de blocage e disposés symétriquement. Lorsque la roue motrice 1 est en mouvement continu, la roue menée 2 tourne avec arrêts. Aux moments d'arrêt de la roue 2, l'arc a glisse sur les arcs correspondants e, permettant ainsi d'éviter la rotation spontanée de la roue 2. La période de mouvement T_m de la roue 2 est égale à la période de repos T_r. Le coefficient de la durée de fonctionnement k du mécanisme est égal à</p> $k = \frac{T_m}{T_r} = 1.$ <p data-bbox="166 971 862 1027">Pour un tour complet de la roue 1, la roue 2 tourne d'un angle φ_2 égal à $\varphi_2 = \pi$.</p> <p data-bbox="166 1027 862 1125">Les profils des dents d de la roue 2 sont tracés suivant les courbes équidistantes de l'épicycloïde d'un cercle. Le rapport de transmission i_{12} au cours de la période T_m est égal à</p> $i_{12} = \frac{r_2}{r_1},$ <p data-bbox="166 1181 862 1209">où r_1 et r_2 sont les rayons des cercles primitifs des roues 1 et 2.</p> | | |



La roue 1, comportant les fuseaux b disposés asymétriquement et les arcs de blocage a et c , tourne autour d'un axe fixe A et engrène périodiquement avec les dents d de la roue 2. La roue 2, qui tourne autour d'un axe fixe B , comporte les dents d disposées asymétriquement et les arcs égaux e . Lorsque la roue motrice 1 est en mouvement continu, la roue menée 2 tourne avec des arrêts. Au moment de l'arrêt de la roue 2, les arcs a et c glissent sur les arcs respectifs e , permettant ainsi d'éviter la rotation spontanée de la roue 2. Les périodes de mouvement T_m de la roue 2 ne sont pas égales entre elles, de même que les périodes de repos. Pendant la période où la partie de la roue 1 portant quatre fuseaux est en prise, la roue 2 tourne d'un angle de $2/3\pi$, et pendant la période où la partie de la roue 1 portant sept fuseaux est en prise, la roue 2 tourne d'un angle de $4/3\pi$. Les profils des dents d de la roue 2 sont tracés suivant les courbes équidistantes de l'épicycloïde d'un cercle. Le rapport de transmission i_{12} au cours de la période de mouvement T_m est égal à

$$i_{12} = \frac{r_2}{r_1},$$

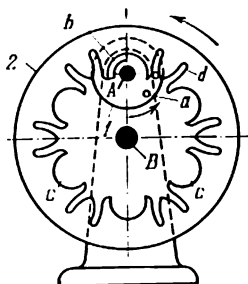
où r_1 et r_2 sont les rayons des cercles primitifs des roues 1 et 2. La rotation des roues 1 et 2 a lieu en sens opposés.



La roue 1 comportant les fuseaux *a* tourne autour d'un axe fixe *A* et engrène périodiquement avec les dents *d* de la roue 2. La roue 2 tourne autour d'un axe fixe *B*. La roue 1 comporte l'arc de blocage *b*, et la roue 2 comporte l'arc de blocage *c*. Lorsque la roue motrice 1 est en mouvement continu, la roue menée 2 tourne avec un arrêt. Au moment de l'arrêt, l'arc *b* glisse sur l'arc *c*, permettant ainsi d'éviter la rotation spontanée de la roue 2. Pour un tour complet de la roue 1, la roue 2 effectue une rotation complète. Les profils des dents *d* de la roue 2 sont tracés suivant les courbes équidistantes de l'épicycloïde d'un cercle. Le rapport de transmission i_{12} au cours de la période de mouvement de la roue 2 est égal à

$$i_{12} = \frac{r_2}{r_1},$$

où r_1 et r_2 sont les rayons des cercles primitifs des roues 1 et 2. Les roues 1 et 2 tournent en sens opposés.



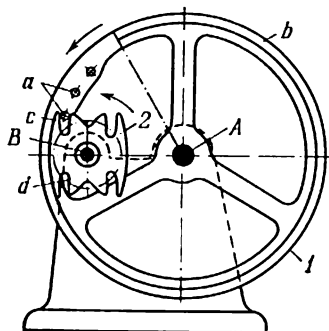
La roue 1 comportant les fuseaux a tourne autour d'un axe fixe A et engrène périodiquement avec les dents d de la roue 2. La roue 2 tourne autour d'un axe fixe B . La roue 1 comporte l'arc de blocage b , et la roue 2 comporte six arcs de blocage c disposés symétriquement. Lorsque la roue motrice 1 est en mouvement continu, la roue menée 2 tourne avec des arrêts. Au moment de l'arrêt, l'arc b glisse sur les arcs respectifs c , permettant ainsi d'éviter la rotation spontanée de la roue 2. Pour un tour complet de la roue 1, la roue 2 tourne d'un angle φ_2 égal à

$$\varphi_2 = \frac{\pi}{3}.$$

Les profils des dents d de la roue 2 sont tracés suivant les courbes équidistantes de l'hypocycloïde d'un cercle. Le rapport de transmission i_{12} au cours de la période de mouvement de la roue 2 est égal à

$$i_{12} = \frac{r_2}{r_1},$$

où r_1 et r_2 sont les rayons des cercles primitifs des roues 1 et 2. Les roues 1 et 2 tournent dans le même sens.



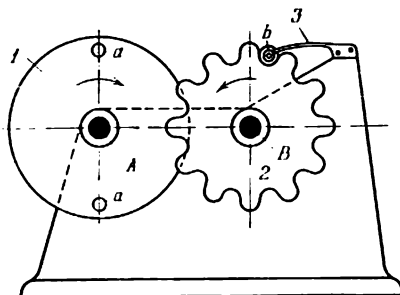
La roue 1 comportant les fuseaux *a* tourne autour d'un axe fixe *A* et engrène périodiquement avec les dents *d* de la roue 2. La roue 2 tourne autour d'un axe fixe *B*. La roue 1 comporte l'arc de blocage *b*, et la roue 2 comporte deux arcs de blocage *c* disposés symétriquement. Lorsque la roue motrice 1 est en mouvement continu, la roue menée 2 tourne avec des arrêts. Au moment de l'arrêt, l'arc *b* glisse sur les arcs respectifs *c*, permettant ainsi d'éviter la rotation spontanée de la roue 2. Pour un tour complet de la roue 1, la roue 2 tourne d'un angle φ_2 égal à

$$\varphi_2 = \frac{\pi}{2}.$$

Les profils des dents *d* de la roue 2 sont tracés suivant les courbes équidistantes de l'épicycloïde d'un cercle. Le rapport de transmission i_{12} au cours de la période de mouvement de la roue 2 est égal à

$$i_{12} = \frac{r_2}{r_1},$$

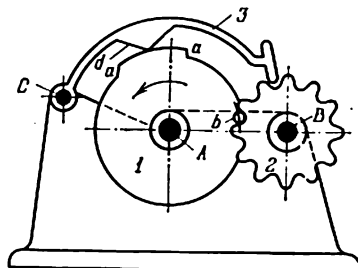
où r_1 et r_2 sont les rayons des cercles primitifs des roues 1 et 2. Les roues 1 et 2 tournent dans le même sens.



La roue motrice 1, mobile autour d'un axe fixe A, comporte des fuseaux *a*. Lorsque la roue 1 est en mouvement continu, la roue menée 2 tourne autour d'un axe fixe B avec des arrêts. Le rapport de transmission moyen i_{12} du mécanisme est égal à

$$i_{12} = \frac{z_2}{z_1} = 6,$$

où z_1 est le nombre de fuseaux de la roue 1, et z_2 , le nombre de dents de la roue 2. Le cliquet à ressort 3 muni du galet *b* s'oppose à la rotation spontanée de la roue 2.



La roue motrice 1, mobile autour d'un axe fixe A, comporte le fuseau b. Lorsque la roue 1 est en mouvement continu, la roue menée 2 tourne autour d'un axe fixe B avec des arrêts. Le rapport de transmission moyen i_{12} du mécanisme est égal à

$$i_{12} = \frac{z_2}{z_1} = 12,$$

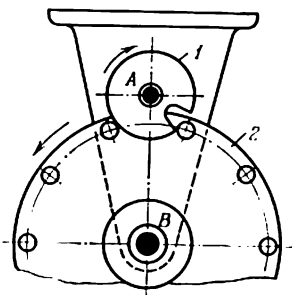
où z_1 est le nombre de fuseaux de la roue 1, et z_2 , le nombre de dents de la roue 2. Le cliquet 3, pivotant autour d'un axe fixe C, s'oppose à la rotation spontanée de la roue 2. Le relèvement du cliquet 3 est réalisé par la partie profilée a — a de la roue 1, qui agit sur la saillie d du cliquet 3.

315

**MÉCANISME À FUSEAUX ET ENGRENAGE
AVEC ARRÊTS DE L'ÉLÉMENT MENÉ**

FE

Ar



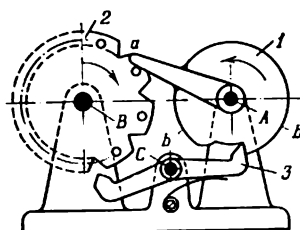
Lorsque l'élément moteur 1 tourne autour d'un axe fixe A, la roue à fuseaux 2 effectue un mouvement intermittent autour d'un axe fixe B. La rotation spontanée de la roue 2 est empêchée par le contour de la roue 1.

316

**MÉCANISME À FUSEAUX ET ENGRENAGE
AVEC ARRÊTS DE L'ÉLÉMENT
MENÉ ET CLIQUET DE BLOCAGE**

FE

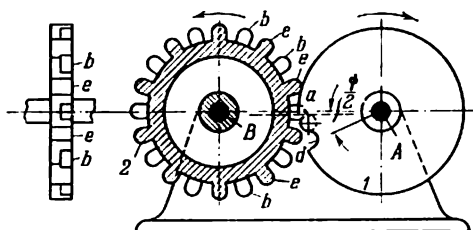
Ar



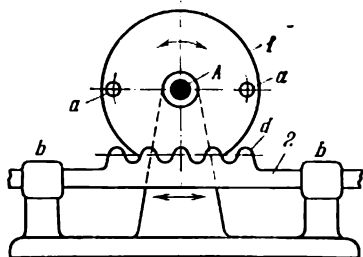
La roue motrice 1 tourne autour d'un axe fixe A. Lorsque la roue 1 est en mouvement, sa dent a entraîne le fuseau de la roue 2, en tournant cette dernière d'un angle quelconque autour d'un axe fixe B. La position de la roue 2 au moment de l'arrêt est bloquée par le cliquet 3, mobile autour d'un axe fixe C, qui est mis en prise à l'aide du cercle b — b de la roue 1.

MÉCANISME À FUSEAUX ET ENGRENAGE
DU COMPTEUR AVEC
ROUE MOTRICE COMPORTANT UN FUSEAU
ET UNE RAINURE

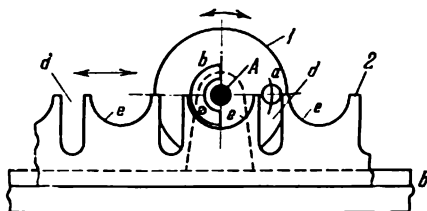
FE
Ar



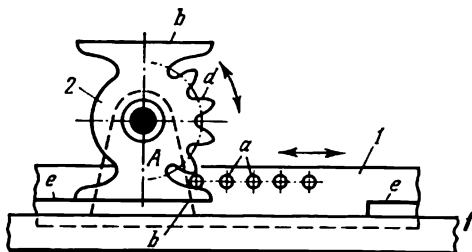
Lorsque la roue motrice 1 tourne autour d'un axe fixe A d'un angle ϕ , la roue 2, portant vingt dents qui ont alternativement une largeur complète et une largeur réduite de moitié, avance de deux divisions, c.-à-d. de $1/10$ de tour autour d'un axe fixe B. La première moitié de ce tour est réalisée sous l'action du fuseau *a* s'exerçant sur la dent *b* de largeur réduite de moitié, et l'autre moitié du tour se produit sous l'action de la rainure *d* s'exerçant sur la dent *e* de largeur complète. Deux dents de largeur complète, qui sont en contact avec la roue motrice 1, empêchent la rotation spontanée de la roue 2 au moment du repos.



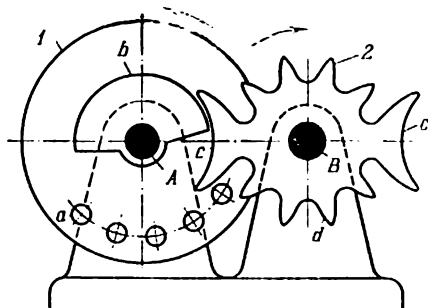
La roue 1, mobile autour d'un axe fixe A, engrène avec les dents *d* de la crémaillère 2 qui se déplace d'un mouvement de translation dans un guidage fixe *b — b*. Les profils des dents *d* de la crémaillère 2 sont tracés par deux demi-cercles. Lorsque la roue motrice 1 est en mouvement uniforme, la crémaillère menée 2 reçoit un mouvement non uniforme. Au moment où les fuseaux *a* entrent en prise avec les dents *d* de la crémaillère, des chocs surviennent entre les éléments 1 et 2.



La roue 1 portant le fuseau *a* tourne autour d'un axe fixe *A* et engrène avec les rainures *d* de la crémaillère 2. Cette dernière est animée d'un mouvement de translation dans un guidage fixe *b*. Les profils des rainures *d* sur les parties de travail sont rectilignes. La roue 1 comporte l'arc de blocage *b*, et la crémaillère 2 comporte des arcs de blocage *e*. Lorsque la roue motrice 1 est en mouvement uniforme, la crémaillère menée 2 reçoit un mouvement non uniforme effectué suivant une loi sinusoïdale avec des arrêts. Au moment de l'arrêt, l'arc *b* glisse sur les arcs respectifs *e*, rendant impossible le déplacement spontané de la crémaillère 2.



La crémaillère 1 portant les fuseaux *a* est animée d'un mouvement de translation dans un guidage fixe *f* et engrène avec les dents *d* de la roue 2 mobile autour d'un axe fixe *A*. Les profils des dents de la roue 2 sont tracés suivant la développante d'un cercle. La crémaillère 1 comporte des plans de blocage *e*, et la roue 2, des plans de blocage *b*. Lorsque la crémaillère motrice 1 est animée d'un mouvement uniforme, la roue menée 2 reçoit un mouvement uniforme. Au moment de l'arrêt de la roue 2, les plans *e* glissent sur les plans respectifs *b* de la roue 2, empêchant cette dernière de tourner spontanément.



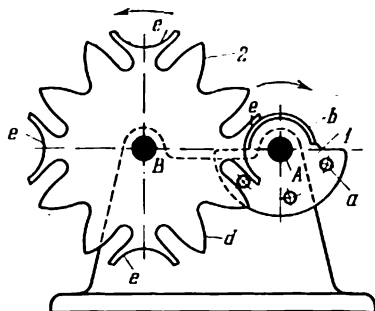
La roue 1 portant les fuseaux *a* tourne autour d'un axe fixe *A* et entre périodiquement en prise avec les dents *d* de la roue 2. La roue 2 tourne autour d'un axe fixe *B*. La roue 1 comporte l'arc de blocage *b*, et la roue 2 comporte deux arcs de blocage *c*. Lorsque la roue motrice 1 est en mouvement continu, la roue menée 2 tourne avec des arrêts. Au moment des arrêts, l'arc *b* glisse sur les arcs respectifs *c*, permettant ainsi d'éviter la rotation spontanée de la roue 2. Pour un tour complet de la roue 1, la roue 2 tourne d'un angle φ_2 égal à

$$\varphi_2 = \pi.$$

Les profils des dents *d* sont tracés suivant les courbes équidistantes de l'épicycloïde d'un cercle. Pendant le mouvement de la roue 2 le rapport de transmission i_{12} est égal à

$$i_{12} = \frac{r_2}{r_1} < 1,$$

où r_1 et r_2 sont les rayons des cercles primitifs des roues 1 et 2. Les roues 1 et 2 tournent dans les sens opposés.



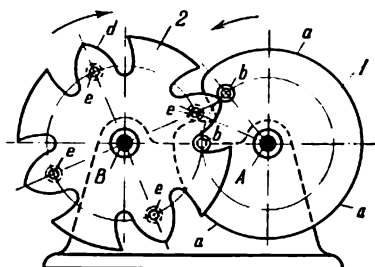
La roue 1 portant les fuseaux a tourne autour d'un axe fixe A et entre périodiquement en prise avec les dents d de la roue 2. La roue 2 tourne autour d'un axe fixe B . La roue 1 comporte l'arc de blocage b , et la roue 2 comporte quatre arcs de blocage e . Lorsque la roue motrice 1 est en rotation continue, la roue menée 2 tourne avec des arrêts. Au moment de l'arrêt, l'arc b glisse sur les arcs respectifs e , empêchant ainsi la roue 2 de tourner spontanément. Pour un tour complet de la roue 1, la roue 2 tourne d'un angle φ_2 qui est égal à

$$\varphi_2 = \frac{\pi}{2}.$$

Les profils des dents d sont tracés suivant les courbes équidistantes de l'épicycloïde d'un cercle. Pendant le mouvement de la roue 2 le rapport de transmission i_{12} est égal à

$$i_{12} = \frac{r_2}{r_1},$$

où r_1 et r_2 sont les rayons des cercles primitifs des roues 1 et 2. Les roues tournent dans les sens opposés.



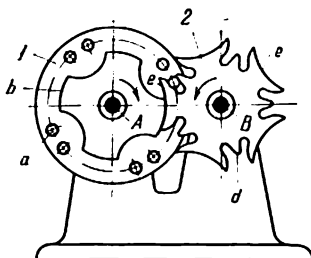
La roue 1 portant les fuseaux *b* tourne autour d'un axe fixe *A* et entre périodiquement en prise avec les dents *d* de la roue 2. La roue 2 tourne autour d'un axe fixe *B*. La roue 1 comporte l'arc de blocage *a*, et la roue 2 comporte quatre rouleaux de blocage *e*. Lorsque la roue motrice 1 est en mouvement continu, la roue menée 2 tourne avec des arrêts. Au moment de l'arrêt, l'arc *a* glisse sur les deux rouleaux voisins *e*, empêchant ainsi la roue 2 de tourner spontanément. Pour un tour complet de la roue 1, la roue 2 tourne d'un angle φ_2 égal à

$$\varphi_2 = \frac{\pi}{2}.$$

Les profils des dents *d* de la roue 2 sont tracés suivant les courbes équidistantes de l'épicycloïde d'un cercle. Pendant le mouvement de la roue 2, le rapport de transmission i_{12} est égal à

$$i_{12} = \frac{r_2}{r_1},$$

où r_1 et r_2 sont les rayons des cercles primitifs des roues 1 et 2. Les roues 1 et 2 tournent dans les sens opposés.



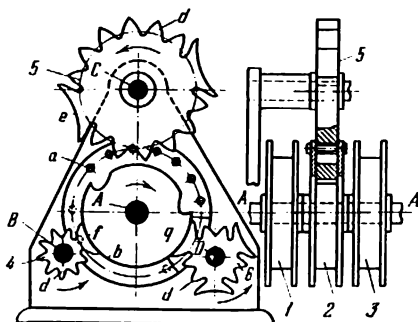
La roue 1 portant les fuseaux a tourne autour d'un axe fixe A et entre périodiquement en prise avec les dents d de la roue 2. La roue 2 tourne autour d'un axe fixe B . La roue 1 comporte quatre arcs de blocage b disposés symétriquement, et l'élément 2 comporte quatre arcs de blocage e disposés symétriquement. Lorsque la roue motrice 1 est en mouvement continu, la roue menée 2 tourne avec des arrêts. Au moment de l'arrêt, les arcs b glissent sur les arcs respectifs e , empêchant ainsi la rotation spontanée de la roue 2. Pour un tour complet de la roue 1, la roue 2 tourne d'un angle φ_2 égal à

$$\varphi_2 = 288^\circ.$$

Le cycle de travail complet du mécanisme est égal à cinq tours de la roue 1. Les profils des dents d de la roue 2 sont tracés suivant les courbes équidistantes de l'épicycloïde d'un cercle. Pendant le mouvement de la roue 2 le rapport de transmission i_{12} est égal à

$$i_{12} = \frac{r_2}{r_1},$$

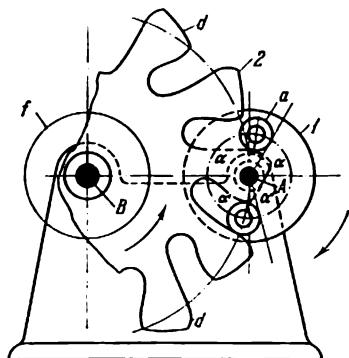
où r_1 et r_2 sont les rayons des cercles primitifs des roues 1 et 2. Les roues 1 et 2 tournent dans les sens opposés.



Trois roues identiques 1, 2, 3 rigidement reliées entre elles et comportant les fuseaux *a* tournent autour d'un axe fixe *A* et engrenent avec les dents *d* des roues 4, 5, 6. Ces dernières tournent autour des axes fixes *B*, *C*, *D*. La roue 1 comporte trois fuseaux, la roue 2 en a sept, et la roue 3, neuf. Chacune des roues 1, 2, 3 comporte l'arc de blocage *b*, tandis que les éléments 4, 5 et 6 comportent les arcs de blocage *f*, *e* et *q*. Lorsque les roues 1, 2 et 3 sont en mouvement continu, les roues menées 4, 5 et 6 tournent avec des arrêts. Au moment de l'arrêt, les arcs de blocage empêchent la rotation spontanée des roues 4, 5 et 6. Pour un tour complet des roues 1, 2 et 3, les roues 4, 5 et 6 tournent des angles φ_4 , φ_5 et φ_6 égaux à

$$\varphi_4 = 2\pi, \quad \varphi_5 = \pi \quad \text{et} \quad \varphi_6 = \frac{2}{3}\pi.$$

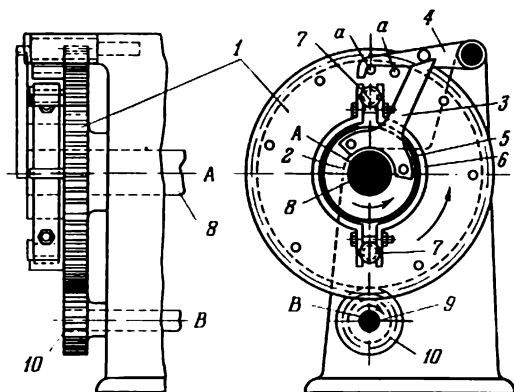
Les roues 4, 5 et 6 ne tournent pas toutes à la fois, mais l'une après l'autre. Les profils des dents *d* des roues 4, 5 et 6 sont tracés suivant les courbes équidistantes de l'épicycloïde d'un cercle. Les roues 1 et 4, 5 et 6 tournent dans les sens opposés.



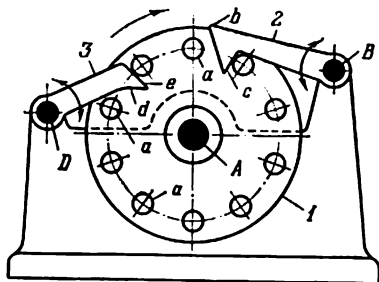
La roue 1 portant deux fuseaux a tourne autour d'un axe fixe A et entre en prise avec les dents d de la roue 2 qui tourne autour d'un axe fixe B . Les centres des arcs extérieurs f des dents d sont disposés suivant le cercle tracé. Le profil de la dent d possède la partie supérieure de la circonférence et deux parties $\alpha - \alpha$ et $\alpha' - \alpha'$ tracées suivant les arcs de cercle à partir du centre A . Les autres parties des profils sont tracées suivant les courbes équidistantes de l'épicycloïde d'un cercle. Le rayon r_1 du cercle primitif de la roue 1 est égal à

$$r_1 = r + r_a,$$

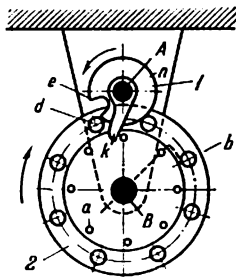
où r est le rayon du fuseau a ; r_a , le rayon du cercle comportant les arcs $\alpha - \alpha$ et $\alpha' - \alpha'$. Lorsque la roue 1 est en mouvement continu, la roue 2 tourne avec des arrêts aux moments où les fuseaux a entrent en contact avec les arcs $\alpha - \alpha$ et $\alpha' - \alpha'$. Ces arcs servent d'arcs de blocage et ont pour but d'empêcher la rotation spontanée de la roue 2. Pour un tour complet de la roue 1, la roue 2 tourne d'un angle comprenant deux dents. Lorsque la roue 1 est en mouvement uniforme, la roue 2 reçoit un mouvement également uniforme.



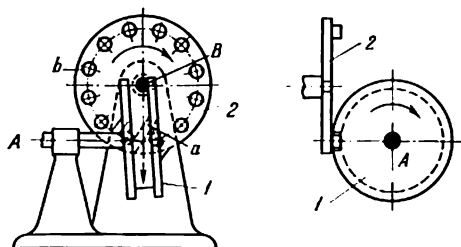
La douille 2 et le levier 3 sont rendus solidaires de l'arbre menant 8, mobile autour d'un axe fixe A. La roue dentée 1, montée folle sur l'arbre 8, engrène avec la roue dentée 10 tournant autour d'un axe fixe B. Lorsque l'arbre 8 est en mouvement, le levier 3 soulève périodiquement le cliquet 4, libérant la roue dentée 1. Au moyen de la garniture de friction 5 serrée par le collier 6 et par les goujons 7 fixés sur la roue 1, la douille 2 fait tourner cette dernière d'un angle quelconque, dont la valeur dépend de la distance qui sépare les fuseaux voisins *a*. Lorsque l'arbre 8 est en mouvement, l'arbre 9 tourne autour de l'axe B avec des arrêts dont la durée dépend de la position des fuseaux *a*.



La roue à fuseau 1, mobile autour d'un axe fixe A, comporte les fuseaux *a*. Lorsque la roue 1 tourne dans le sens indiqué par la flèche, le fuseau *a* agit sur le biseau *b* du cliquet 2 et sur le biseau *d* du cliquet 3 et les fait tourner autour des axes B et D. La rotation de la roue 1 en sens inverse est bloquée par les fuseaux *a* qui butent contre les biseaux *c* et *e* des cliquets 2 et 3.



L'élément 1, mobile autour d'un axe fixe A, possède le doigt *k* et la rainure *e*. Le doigt *k* engrène avec les fuseaux *a* de la roue 2 qui tourne autour d'un axe fixe B, tandis que la rainure *e* entre en prise avec les fuseaux *d* de la roue 2. Les têtes des fuseaux *a* et *d* sont situées dans des plans parallèles. Lorsque l'élément 1 est en mouvement continu, le doigt *k* agit sur le fuseau *a* et tourne la roue à fuseaux jusqu'à ce que la rainure *e* entre en prise avec le fuseau *d*. Lorsque la roue 2 est immobile, l'arc de blocage *n* glisse sur deux fuseaux voisins *d*. Lors de la rotation uniforme de l'élément menant 1, la roue menée 2 reçoit un mouvement non uniforme avec huit périodes de mouvement et d'arrêt pour son tour complet.



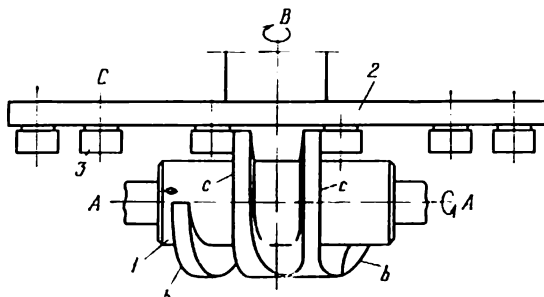
La came à rainure 1 tourne autour d'un axe fixe A. Le profil de la rainure de cette came comporte une partie oblique *a*. La partie *a* du profil entre en prise avec les fuseaux *b* de la roue 2 qui tourne autour d'un axe fixe B. Lorsque la came menante 1 est en mouvement continu, la roue menée 2 tourne de façon non uniforme avec de brefs arrêts. Les axes A et B ne se coupent pas et sont perpendiculaires entre eux.

331

**MÉCANISME À FUSEAUX ET ENGRENAGE
AVEC DISQUE À FUSEAUX
À MOUVEMENT INTERMITTENT**

FE

Ar



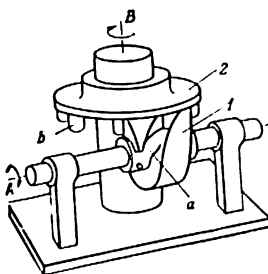
L'élément 1, mobile autour d'un axe fixe A, possède des dents *b* et *c*. Le disque à fuseaux 2, qui tourne autour d'un axe fixe B, comporte les rouleaux 3 mobiles autour des axes C du disque 2. Lorsque l'élément 1 est en mouvement, les dents *b* entrent en prise avec le rouleau 3 et font tourner le disque 2. Les dents *c* s'engagent ensuite entre les rouleaux et effectuent le blocage du disque 2 au moment de ses arrêts.

332

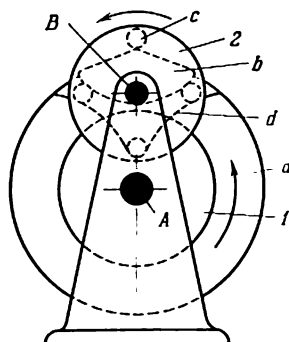
**MÉCANISME TRIDIMENSIONNEL
À FUSEAUX ET CAME AVEC ARRÊTS
DE LA ROUE À FUSEAUX**

FE

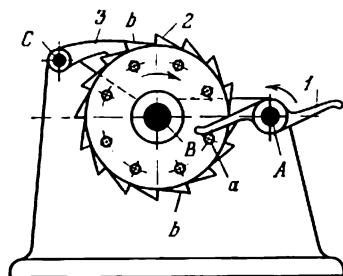
Ar



La came cylindrique 1, mobile autour d'un axe fixe A, possède la rainure hélicoïdale *a* qui entre périodiquement en prise avec la roue à fuseau 2 tournant autour d'un axe fixe B. Lorsque la came 1 est en mouvement continu, la roue 2 tourne avec des arrêts.



L'élément 1 comportant la saillie annulaire *a* tourne autour d'un axe fixe *A*. Lorsque l'élément moteur 1 est en mouvement, la came *b* (représentée sur la figure en trait discontinu) fixée sur ce disque entre en prise avec le fuseau *c* de la roue menée 2 et la fait tourner autour d'un axe fixe *B*. Les deux autres fuseaux glissent sur les biseaux *d* de la saillie annulaire *a*. Dès que les deux fuseaux de la roue 2 se trouvent à l'intérieur de la saillie annulaire *a*, et les deux autres, à l'extérieur, la saillie annulaire *a* passe librement entre ces fuseaux. La roue 2 reste alors immobile jusqu'au moment où la came *b*, après avoir fait un tour, entre en prise avec le fuseau suivant de la roue 2. De cette façon, la roue menée tourne d'un angle de 90° après chaque tour complet de l'élément moteur 1.



Le levier 1 comportant deux bras et mobile autour d'un axe fixe A entre périodiquement en prise avec les fuseaux a de la roue 2 qui tourne autour d'un axe fixe B . La roue à fuseaux 2 possède les dents b qui butent contre le cliquet 3 tournant autour d'un axe fixe C et ayant pour but d'empêcher la rotation de la roue à fuseaux 2 dans le sens contraire à celui indiqué sur la figure par la flèche. Le rapport de transmission i_{12} du mécanisme est égal à

$$i_{12} = \frac{\omega_1}{\omega_2} = 4,$$

où ω_1 et ω_2 sont les vitesses angulaires du levier 1 et de la roue 2 . Le levier 1 et la roue 2 tournent dans les sens opposés.

4. Mécanismes des croix de Malte (335-364)

| | | |
|--|--|--|
| 335 | <p align="center">MÉCANISME À FUSEAU ET ENGRENAGE DE LA CROIX DE MALTE À DENTURE EXTÉRIEURE ET AVEC QUATRE RAINURES</p> | <p align="center">FE CM</p> |
| <div data-bbox="353 354 660 644" data-label="Image"> </div> <p data-bbox="166 663 862 977">L'élément 1, mobile autour d'un axe fixe A, comporte le fuseau a qui entre successivement en prise avec les rainures radiales rectilignes d de la croix de Malte 2, mobiles autour d'un axe fixe B. Les rainures d sont disposées de façon symétrique et leurs axes forment entre eux un angle de 90°. L'élément 1 comporte l'arc de blocage b qui glisse au moment du repos de la croix 2 sur ses arcs de blocage e. Lorsque l'élément moteur 1 est en mouvement uniforme, la croix 2 tourne d'une façon non uniforme avec quatre périodes de mouvement t_m et quatre périodes de repos t_r. Les arcs de blocage b et e servent à empêcher la rotation spontanée de la croix 2 au moment de repos t_r. La durée de la rotation complète T de l'élément 1 est égale à</p> $T = t_m + t_r.$ <p data-bbox="166 1021 862 1145">L'angle de rotation φ_r de l'élément 1, qui correspond à la période de repos de la croix 2, est égal à $\varphi_r = 270^\circ$. L'angle de rotation φ_m de l'élément 1, qui correspond à la période de mouvement de la croix 2, est égal à $\varphi_m = 90^\circ$. Pour un tour complet de l'élément 1, l'angle de rotation φ_c de la</p> | | |

**MÉCANISME À FUSEAU ET ENGRENAGE
DE LA CROIX DE MALTE
À DENTURE EXTÉRIEURE
ET AVEC QUATRE RAINURES**

croix 2 est égal à $\varphi_c = 90^\circ$. La valeur du coefficient $p = t_m/T = 0,25$. La valeur du coefficient $q = t_r/T = 0,75$. Le coefficient du temps de travail $k = p/q = 0,33$. Le rapport de transmission i_{21} est égal à

$$i_{21} = \frac{\omega_2}{\omega_1} = \frac{\lambda (\cos \varphi_1 - \lambda)}{1 - 2\lambda \cos \varphi_1 + \lambda^2},$$

où $\lambda = R/L$; R est le rayon AD ; L , la longueur AB ; φ_1 , l'angle courant de rotation de l'élément 1 évalué à partir de la direction AB ; ω_1 et ω_2 , les vitesses angulaires de l'élément 1 et de la croix 2. La valeur maximale du rapport de transmission i_{21} est égale à

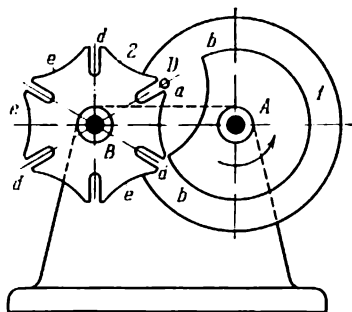
$$i_{21} = \frac{\omega_2}{\omega_1} = 2,41.$$

Le coefficient χ , qui définit la valeur de l'accélération angulaire ε_2 de la croix 2 au moment où le fuseau a engrène et désengrène, est égal à

$$\chi = \frac{\varepsilon_2}{\omega_1^2} = 1.$$

L'élément 1 et la croix 2 tournent dans les sens opposés.

MÉCANISME À FUSEAUX ET ENGRENAGE
DE LA CROIX DE MALTE
A DENTURE EXTÉRIEURE
ET AVEC SIX RAINURES



L'élément 1, mobile autour d'un axe fixe A, comporte le fuseau *a* qui entre successivement en prise avec les rainures radiales rectilignes *d* de la croix de Malte 2 qui tourne autour d'un axe fixe B. Les rainures *d* sont disposées de façon symétrique et leurs axes forment entre eux un angle de 60° . L'élément 1 comporte l'arc de blocage *b* qui glisse au moment de repos de la croix 2 sur ses arcs de blocage *e*. Lorsque l'élément 1 est en mouvement uniforme, la croix 2 tourne d'une façon non uniforme avec six périodes de mouvement t_m et six périodes de repos t_r . Les arcs de blocage *b* et *e* empêchent la rotation spontanée de la croix 2 dans la période de repos t_r . La durée *T* de la rotation complète de l'élément 1 est égale à

$$T = t_m + t_r.$$

L'angle de rotation φ_r de l'élément 1, qui correspond à la période de repos de la croix, est égal à $\varphi_r = 240^\circ$. L'angle de rotation φ_m de l'élément 1, qui correspond à la période de mouvement de la croix 2, est égal à $\varphi_m = 120^\circ$. Pour un

**MÉCANISME À FUSEAUX ET ENGRENAGE
DE LA CROIX DE MALTE
A DENTURE EXTÉRIEURE
ET AVEC SIX RAINURES**

tour complet de l'élément 1, l'angle de rotation φ_c de la croix 2 est égal à $\varphi_c = 60^\circ$. La valeur du coefficient $p = t_m/T = 0,3333$. La valeur du coefficient $q = t_r/T = 0,6667$. Le coefficient du temps de travail $k = p/q = 0,5$. Le rapport de transmission i_{21} est égal à

$$i_{21} = \frac{\omega_2}{\omega_1} = \frac{\lambda (\cos \varphi_1 - \lambda)}{1 - 2\lambda \cos \varphi_1 + \lambda^2},$$

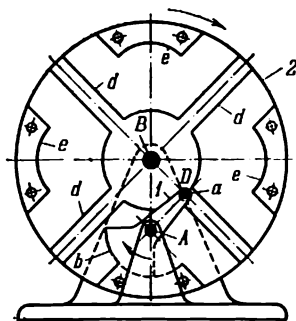
où $\lambda = R/L$; R est le rayon AD ; L , la longueur AB ; φ_1 , l'angle courant de rotation de l'élément 1; ω_1 et ω_2 , les vitesses angulaires de l'élément 1 et de la croix 2. La valeur maximale du rapport de transmission i_{21} est égale à

$$i_{21} = \frac{\omega_2}{\omega_1} = 1.$$

Le coefficient χ , qui définit la valeur de l'accélération angulaire ε_2 de la croix 2 au moment où le fuseau a engrène et désengrène, est égal à

$$\chi = \frac{\varepsilon_2}{\omega_1^2} = 0,577.$$

L'élément 1 et la croix 2 tournent dans les sens opposés.



L'élément 1, mobile autour d'un axe fixe A, comporte le fuseau a qui entre successivement en prise avec les rainures radiales rectilignes d de la croix de Malte 2 mobile autour d'un axe fixe B. Les rainures sont disposées de façon symétrique et leurs axes forment entre eux un angle de 90° . L'élément 1 comporte l'arc de blocage b qui glisse au moment de repos de la croix 2 sur les arcs de blocage e de la croix 2. Lorsque l'élément moteur 1 est en mouvement uniforme, la croix 2 tourne d'une façon non uniforme avec quatre périodes de mouvement t_m et quatre périodes de repos t_r . Les arcs de blocage b et e servent à empêcher la rotation spontanée de la croix 2 dans la période de repos t_r . La durée T de la rotation complète de l'élément 1 est égale à

$$T = t_m + t_r.$$

L'angle de rotation φ_r de l'élément 1, qui correspond à la période de repos de la croix 2, est égal à $\varphi_r = 90^\circ$. L'angle de rotation φ_m de l'élément 1, qui correspond à la période de mouvement de la croix 2, est égal à $\varphi_m = 270^\circ$. Pour un tour complet de l'élément 1, l'angle de rotation de la croix est égal à $\varphi_0 = 90^\circ$. La valeur du coefficient =

**MÉCANISME À FUSEAUX ET ENGRENAGE
DE LA CROIX DE MALTE
À DENTURE INTÉRIEURE
ET AVEC QUATRE RAINURES**

$= t_m/T = 0,75$. Le coefficient du temps de travail $k = p/q = 3$. Le rapport de transmission i_{21} est égal à

$$i_{21} = \frac{\omega_2}{\omega_1} = \frac{\lambda (\cos \varphi_1 - \lambda)}{1 - 2\lambda \cos \varphi_1 + \lambda^2},$$

où $\lambda = R/L$; R est le rayon AD ; L , la longueur AB ; φ_1 , l'angle courant de rotation de l'élément 1 évalué à partir de la direction AB ; ω_1 et ω_2 , les vitesses angulaires de l'élément 1 et de la croix 2. La valeur maximale du rapport de transmission i_{21} est égale à

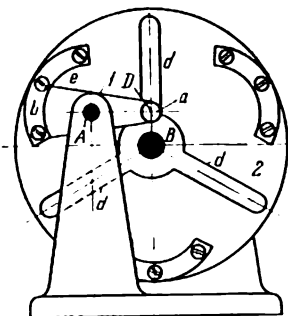
$$i_{21} = \frac{\omega_2}{\omega_1} = 0,414.$$

Le coefficient χ , qui définit la valeur de l'accélération angulaire ε_2 de la croix au moment où le fuseau a engrène et désengrène, est égal à

$$\chi = \frac{\varepsilon_2}{\omega_1^2} = 1.$$

L'élément 1 et la croix 2 tournent dans le même sens.

MÉCANISME À FUSEAUX ET ENGRENAGE
DE LA CROIX DE MALTE
AVEC TROIS RAINURES
ET DENTURE INTÉRIEURE

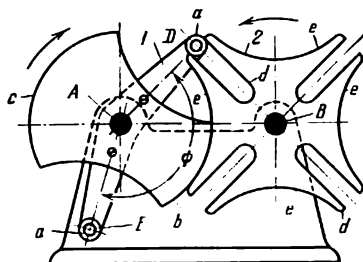


L'élément 1, mobile autour d'un axe fixe A, comporte le fuseau *a* qui entre successivement en prise avec les rainures radiales rectilignes *d* de la croix de Malte 2 tournant autour d'un axe fixe B. Les rainures *d* sont disposées de façon symétrique et leurs axes forment entre eux un angle de 120° . L'élément 1 est muni de l'arc de blocage *b* qui glisse pendant la période de repos de la croix 2 sur les arcs de blocage *e* de la croix 2. Lorsque l'élément moteur 1 est en mouvement uniforme, la croix reçoit un mouvement non uniforme avec trois périodes de mouvement t_m et trois périodes de repos t_r . La durée de la rotation complète de l'élément 1 est égale à

$$T = t_m + t_r.$$

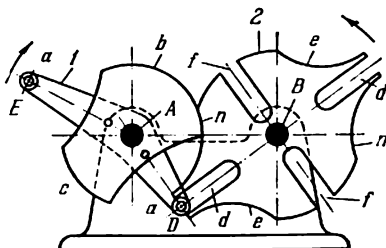
L'angle de rotation de l'élément 1, qui correspond à la période de repos de la croix 2, est égal à $\varphi_r = 60^\circ$. L'angle de rotation φ_m de l'élément 1, qui correspond à la période de mouvement de la croix 2, est égal à $\varphi_m = 300^\circ$. Pour un tour complet de l'élément 1, l'angle de rotation φ_c de

| | | |
|---|---|----------|
| 338 | <p style="text-align: center;">MÉCANISME À FUSEAUX ET ENGRENAGE DE LA CROIX DE MALTE AVEC TROIS RAINURES ET DENTURE INTÉRIEURE</p> | FE CM |
| <p>la croix 2 est égal à $\varphi_c = 120^\circ$. La valeur du coefficient $p = t_m/T = 0,8333$. La valeur du coefficient $q = t_r/T = 0,1667$. Le coefficient du temps de travail $k = p/q = 5$. Le rapport de transmission i_{21} est égal à</p> $i_{21} = \frac{\omega_2}{\omega_1} = \frac{\lambda (\cos \varphi_1 - \lambda)}{1 - 2\lambda \cos \varphi_1 + \lambda^2},$ <p>où $\lambda = R/L$; R est le rayon AD; L, la longueur AB; φ_1, l'angle courant de rotation de l'élément 1; ω_1 et ω_2, les vitesses angulaires de l'élément 1 et de la croix 2. La valeur maximale du rapport de transmission i_{21} est égale à</p> $i_{21} = 0,464.$ <p>Le coefficient χ, qui définit la valeur de l'accélération angulaire ε_2 de la croix 2 au moment où le fuseau a engrène et désengrène, est égal à</p> $\chi = \frac{\varepsilon_2}{\omega_1^2} = 1,729.$ <p>L'élément 1 et la croix 2 tournent dans le même sens.</p> | | |



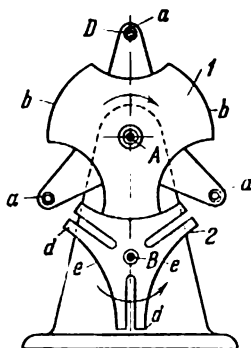
L'élément 1, mobile autour d'un axe fixe A , porte deux fuseaux a qui entrent successivement en prise avec les rainures radiales rectilignes d de la croix de Malte 2 mobile autour d'un axe fixe B . Les rainures d sont disposées de façon symétrique et leurs axes forment entre eux un angle de 90° . L'élément 1 comporte les arcs de blocage b et c qui glissent à la période de repos de la croix 2 sur ses arcs de blocage e . Les dimensions des éléments du mécanisme satisfont à la condition $AD = AE$. Lorsque l'élément moteur 1 est en mouvement uniforme, la croix 2 reçoit un mouvement non uniforme avec quatre périodes de mouvement et quatre périodes de repos. La croix 2 a deux périodes différentes de repos. L'une d'elles correspond à la rotation de l'élément 1 d'un angle φ_1' égal à $\varphi_1' = \psi - 90^\circ$, et l'autre, d'un angle φ_1'' égal à $\varphi_1'' = 270^\circ - \psi$, où ψ est l'angle formé par les directions AD et AE . Les rotations de l'élément 1 et de la croix 2 sont de sens opposé.

**MÉCANISME À FUSEAUX ET ENGRENAGE
DE LA CROIX DE MALTE
AVEC PÉRIODES INÉGALES DE MOUVEMENT
ET DE REPOS**



L'élément 1, mobile autour d'un axe fixe A , porte deux fuseaux a qui entrent successivement en prise avec les rainures radiales rectilignes d et f de la croix 2 mobile autour d'un axe fixe B . Les rainures d et f sont disposées de façon symétrique et leurs axes forment entre eux un angle de 90° . L'élément 1 comporte les arcs de blocage b et c qui glissent sur les arcs de blocage e et n de la croix 2 lorsque celle-ci est au repos. Les distances AD et AE entre l'axe A et les centres des fuseaux a ne sont pas égales entre elles. Lorsque l'élément menant 1 est en mouvement uniforme, la croix 2 reçoit un mouvement non uniforme avec quatre périodes de mouvement et quatre périodes de repos. Les périodes de mouvement et de repos de la croix 2 alternent après chaque demi-tour de l'élément 1. L'élément 1 et la croix 2 tournent dans les sens opposés.

MÉCANISME À FUSEAUX ET ENGRENAGE
DE LA CROIX DE MALTE
À DENTURE EXTÉRIEURE
AVEC TROIS FUSEAUX ET RAINURES

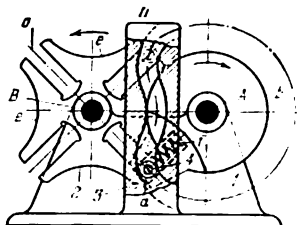


L'élément 1, mobile autour d'un axe fixe A, comporte trois fuseaux *a* qui entrent successivement en prise avec les rainures radiales rectilignes *d* de la croix de Malte 2 mobile autour d'un axe fixe B. Les fuseaux *a* sont également distants de l'axe A. Les droites qui relient les centres des fuseaux *a* au point A forment des angles de 120° . Les rainures *d* sont disposées de façon symétrique et leurs axes forment entre eux un angle de 120° . L'élément 1 possède trois arcs de blocage *b* qui glissent sur les arcs de blocage *e* de la croix 2 quand celle-ci est au repos. Lorsque l'élément 1 est en rotation uniforme, la croix 2 reçoit un mouvement non uniforme avec trois périodes de mouvement t_m et trois périodes de repos t_r . La durée T du tour complet de l'élément 1 est égale à

$$T = 3t_m + 3t_r.$$

L'angle de rotation φ_r de l'élément 1, qui correspond à la période de repos de la croix 2, est égal à $\varphi_r = 60^\circ$. L'angle de rotation φ_m de l'élément 1, qui correspond à la période de mouvement de la croix 2, est égal à $\varphi_m = 60^\circ$. L'angle

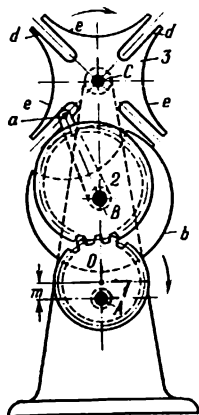
| 341 | <p>MÉCANISME À FUSEAUX ET ENGRENAGE DE LA CROIX DE MALTE À DENTURE EXTÉRIEURE AVEC TROIS FUSEAUX ET RAINURES</p> | FE CM |
|-----|--|----------|
| | <p>de rotation φ_0 de la croix 2 pour un tiers de tour de l'élément 1 est égal à $\varphi_0 = 120^\circ$. La valeur du coefficient $p = t_m/T = 0,1677$. La valeur du coefficient $q = 0,1677$. Le coefficient du temps de travail $k = p/q = 1$. Le rapport de transmission i_{21} est égal à</p> $i_{21} = \frac{\omega_2}{\omega_1} = \frac{\lambda (\cos \varphi_1 - \lambda)}{1 - 2\lambda \cos \varphi_1 + \lambda^2},$ <p>où $\lambda = R/L$; R est le rayon AD; L, la longueur AB; φ_1, l'angle courant de rotation de l'élément 1; ω_1 et ω_2, les vitesses angulaires de l'élément 1 et de la croix 2. L'élément 1 et la croix 2 tournent dans les sens opposés.</p> | |



L'élément 1, mobile autour d'un axe fixe *A*, comporte le fuseau *a* relié au coulisseau 4 qui peut glisser dans la rainure de l'élément 1. Le coulisseau 4 est relié à l'élément 1 par le ressort *f*. Le fuseau *a* engrène avec les rainures radiales rectilignes *d* de la croix 2 mobile autour d'un axe fixe *B*, en couissant en même temps dans la rainure curviligne *n* du support 3. Les rainures *d* sont disposées de façon symétrique et leurs axes forment entre eux un angle de 90°. L'élément 1 possède l'arc de blocage *b* qui glisse sur les arcs de blocage *e* de la croix 2 lorsque celle-ci est au repos. Le profil de la rainure *n* est conçu de manière que lors de la rotation uniforme de l'élément menant 1 la croix 2 tourne à une vitesse angulaire constante dans les périodes de mouvement t_m . La croix 2 a quatre périodes de mouvement t_m et quatre périodes de repos t_r . La durée T d'un tour complet de l'élément 1 est égale à

$$T = t_m + t_r.$$

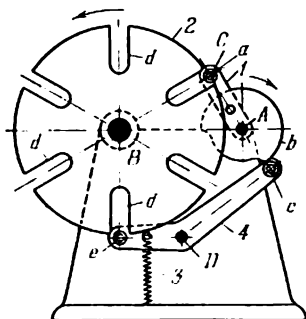
L'angle de rotation de l'élément 1, qui correspond à la période de repos de la croix 2, est égal à $\varphi_r = 270^\circ$. L'angle de rotation φ_m de l'élément 1, qui correspond à la période de mouvement de la croix 2, est égal à $\varphi_m = 90^\circ$. Pour un tour complet de l'élément 1, l'angle de rotation φ_0 de la croix 2 est égal à $\varphi_0 = 90^\circ$. La valeur du coefficient $q = t_r/T = 0,75$. Le coefficient du temps de travail $k = p/q = 0,33$. L'élément 1 et la croix 2 tournent dans les sens opposés.



La roue ronde 1, mobile autour d'un axe fixe A disposé de façon excentrique, engrène avec une roue ovale 2 tournant autour d'un axe fixe B. La roue 2 comporte le fuseau a qui entre successivement dans les rainures radiales rectilignes d de la croix de Malte 3 tournant autour d'un axe fixe C. Les rainures d sont disposées de façon symétrique et leurs axes forment entre eux un angle de 90° . La roue 2 possède un arc de blocage b qui glisse sur les arcs de blocage e de la croix 3 quand celle-ci est au repos. La croix 3 a quatre périodes de mouvement t_m et quatre périodes de repos t_r . Le temps T de la rotation complète de l'élément 2 est égal à

$$T = t_m + t_r.$$

L'angle φ_r de rotation de la roue 2, qui correspond à la période de repos de la croix 3, est égal à $\varphi_r = 270^\circ$. L'angle de rotation φ_m de la roue 2, qui correspond à la période de mouvement de la croix 3, est égal à $\varphi_m = 90^\circ$. Pour un tour complet, l'angle de rotation φ_c de la croix 3 est égal à $\varphi_c = 90^\circ$. La roue 1 et la croix 3 tournent dans le même sens. Lorsque la roue motrice 1 est en mouvement uniforme, la roue 2 reçoit un mouvement non uniforme et imprime à la croix 3 une rotation non uniforme avec la période de mouvement t_m réduite. En modifiant l'excentricité de la roue 1, on peut obtenir différentes périodes de mouvement de la croix 3.



L'élément 1, mobile autour d'un axe fixe A, comporte le fuseau *a* qui entre successivement dans les rainures radiales rectilignes *d* de la croix de Malte 2 tournant autour d'un axe fixe B. Les rainures *d* sont disposées de façon symétrique et leurs axes forment entre eux un angle de 60° . L'élément 1 est rendu solidaire de la came profilée *b* qui agit sur le rouleau C et fait tourner périodiquement le levier 4 autour d'un axe fixe D. Le rouleau *e* pénètre alors dans la rainure *d* de la croix 2 et empêche ainsi la rotation spontanée de la croix 2. L'effort de contact du levier 4 est assuré par le ressort 3. Lorsque l'élément 1 est en mouvement uniforme, la croix 2 reçoit un mouvement non uniforme avec six périodes de mouvement t_m et six périodes de repos t_r . Le temps T de la rotation complète de l'élément 1 est égal à

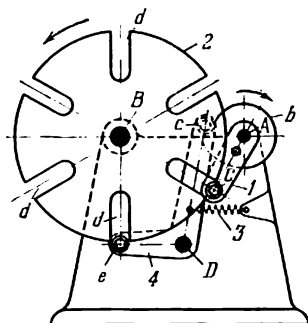
$$T = t_m + t_r.$$

L'angle de rotation φ_r de l'élément 1, qui correspond à la période de repos de la croix 2, est égal à $\varphi_r = 240^\circ$. L'angle de rotation φ_m de l'élément 1, qui correspond à la période de mouvement de la croix 2, est égal à $\varphi_m = 120^\circ$. Pour un

tour complet de l'élément 1, l'angle de rotation φ_c de la croix 2 est égal à $\varphi_c = 60^\circ$. La valeur du coefficient $p = t_m/T = 0,3333$. La valeur du coefficient $q = t_r/T = 0,6667$. Le coefficient du temps de travail $k = p/q = 0,5$. Le rapport de transmission i_{21} est égal à

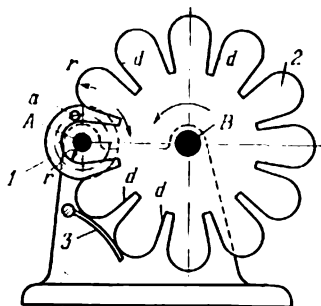
$$i_{21} = \frac{\omega_2}{\omega_1} = \frac{\lambda (\cos \varphi_1 - \lambda)}{1 - 2\lambda \cos \varphi_1 + \lambda^2},$$

où $\lambda = R/L$; R est le rayon AC ; L , la longueur AB ; φ_1 , l'angle courant de rotation de l'élément 1; ω_1 et ω_2 , les vitesses angulaires de l'élément 1 et de la croix 2. L'élément 1 et la croix 2 tournent dans les sens opposés. Le profil de la came b étant symétrique, la croix 2 peut tourner dans les deux sens.



Le levier 1, solidaire de la came b, tourne autour d'un axe fixe A. Le levier 1 porte à son extrémité un rouleau qui s'engage dans la rainure radiale rectiligne d de la roue 2 mobile autour d'un axe fixe B. Lorsque le levier 1 se met à tourner à partir de la position montrée sur la figure, la came b, agissant sur le levier c, fait tourner le levier à deux bras 4 autour d'un axe fixe D et fait sortir le rouleau e de la rainure d de la roue 2. Actionnée par le levier 1, la roue 2 tourne sur son axe et continue son mouvement jusqu'à ce que le rouleau e entre dans la rainure voisine et que le rouleau du levier 1 désengrène de la roue 2. La pause qui survient ensuite dure jusqu'à ce que le levier 1 retourne à sa position initiale montrée sur la figure.

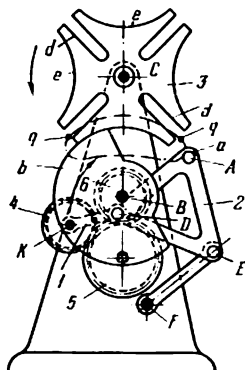
**MÉCANISME À FUSEAU ET ENGRENAGE
DE LA CROIX DE MALTE
À DENTURE EXTÉRIEURE AVEC
DOUZE RAINURES**



L'élément 1, mobile autour d'un axe fixe A, comporte le fuseau a qui entre périodiquement en prise avec les rainures radiales d disposées de façon symétrique de la croix de Malte 2 tournant autour d'un axe fixe B. Les profils des rainures d sont exécutés suivant les lignes droites. Les parties supérieures de la croix ont une forme arrondie de rayon r. Le fuseau a n'est en prise qu'avec un seul côté de la rainure d, suivant le sens de rotation de l'élément 1. L'effort de contact entre l'élément 1 et la croix 2 est assuré par le ressort 3 qui, de plus, a pour but d'empêcher la rotation spontanée de la croix 2. Les axes des rainures d forment un angle de 30° entre eux. La croix 2 possède douze périodes de mouvement t_m et douze périodes de repos t_r . Le temps T de la rotation complète de l'élément 1 est égal à

$$T = t_m + t_r.$$

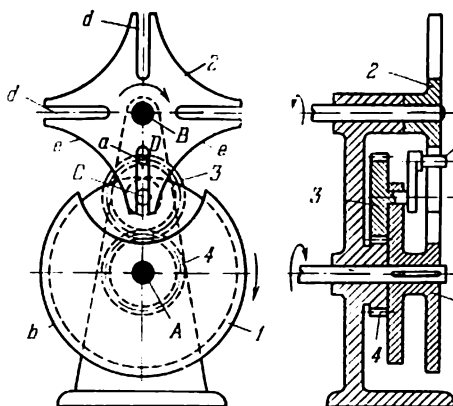
L'angle de rotation φ_r de l'élément 1, qui correspond à la période de repos de la croix 2, est égal à $\varphi_r = 210^\circ$. L'angle de rotation φ_m de l'élément 1, qui correspond à la période de mouvement de la croix 2, est égal à $\varphi_m = 150^\circ$. Pour un tour complet de l'élément 1, l'angle de rotation φ_c de la croix 2 est égal à $\varphi_c = 30^\circ$. La valeur du coefficient $p = t_m/T = 0,4167$. La valeur du coefficient $q = t_r/T = 0,5833$. Le coefficient du temps de travail $k = t_m/t_r = 0,71$. Lorsque l'élément moteur 1 est en mouvement uniforme, la croix 2 reçoit un mouvement non uniforme. L'élément 1 et la croix 2 tournent dans les sens opposés.



La manivelle 1 du mécanisme *KDEF* à quatre éléments articulés est mobile autour d'un axe fixe *K*. Le point *A* du rouleau *a* de la bielle 2 décrit une courbe de bielle dont la partie *q — q* est utilisée pour assurer l'entrée du fuseau *a* dans la rainure *d* et pour faire tourner la croix de Malte 3 autour d'un axe fixe *C*. Les rainures radiales rectilignes *d* sont disposées de façon symétrique et forment entre elles un angle droit. La roue dentée 4, solidaire de la manivelle 1, imprime le mouvement à la roue dentée 6 à l'aide de la roue dentée intermédiaire 5. L'arc de blocage *b*, solidaire de la roue 6, glisse à la période de repos de la croix 3 sur les arcs de blocage respectifs *e* de la croix 3. La croix 3 possède quatre périodes de mouvement t_m et quatre périodes de repos t_r . Le temps T de la rotation complète de la manivelle 1 est égal à

$$T = t_m + t_r.$$

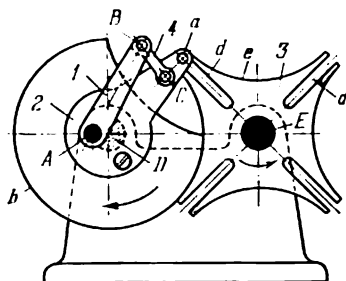
Lorsque la manivelle motrice 1 est en mouvement uniforme, la croix 3 reçoit un mouvement non uniforme effectuant pour un tour complet de la manivelle 1 une rotation d'un angle de 90° . Par le choix approprié des dimensions des éléments du mécanisme *KDEF* à quatre éléments articulés, on peut obtenir une courbe de bielle telle qui assurera le mouvement assez uniforme de la croix 3 dans ses périodes t_m .



L'élément 1, mobile autour d'un axe fixe A, sert de porte-satellites au satellite 3 qui entre en prise avec l'engrenage fixe 4. Le satellite 3 comporte le fuseau *a* qui entre successivement en prise avec les rainures radiales rectilignes *d* de la croix de Malte 2 mobile autour d'un axe fixe B. Les rainures *d* sont disposées de façon symétrique et leurs axes forment entre eux un angle de 90°. Le porte-satellites 1 comporte un arc de blocage *b* qui glisse sur les arcs de blocage *e* de la croix 2 durant les périodes de repos de cette dernière. La croix 2 possède quatre périodes de mouvement t_m et quatre périodes de repos t_r . Le temps T d'une rotation complète du satellite 3 autour de l'axe A est égal à

$$T = t_m + t_r.$$

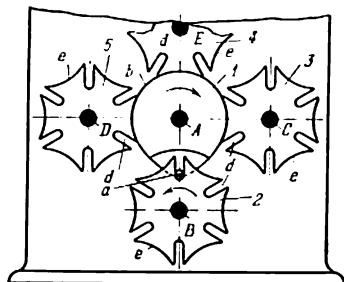
Les rayons des cercles primitifs des roues 3 et 4 étant égaux, le centre D du fuseau *a* décrit une cardioïde. Comme il ressort de la figure, le point D du fuseau *a* se trouve à la distance maximale de l'axe A. Lorsque l'élément menant 1 est en rotation uniforme, le satellite 3 roule sur la roue fixe 4 et le fuseau *a* provoque la rotation de la croix 2 d'un angle de 90°. L'élément 1 et la croix 2 tournent dans les sens opposés.



La manivelle 1 du mécanisme *ABCD* à deux manivelles et quatre éléments articulés tourne autour d'un axe fixe *A*, imprimant un mouvement de rotation autour d'un axe fixe *D* à la manivelle 2. La bielle 4 constitue des couples de rotation *B* et *C* avec les manivelles 1 et 2. La manivelle 2 comporte le fuseau *a* qui entre successivement dans les rainures radiales rectilignes *d* de la croix de Malte 3 tournant autour d'un axe fixe *E*. Les rainures sont disposées de façon symétrique et leurs axes forment entre eux un angle de 90° . L'arc de blocage *b*, solidaire de la manivelle 2, glisse sur les arcs de blocage *e* de la croix 3 durant les périodes de repos de cette dernière. La croix 3 possède quatre périodes de mouvement t_m et quatre périodes de repos t_r . Le temps T de la rotation complète de la manivelle 1 est égal à

$$T = t_m + t_r.$$

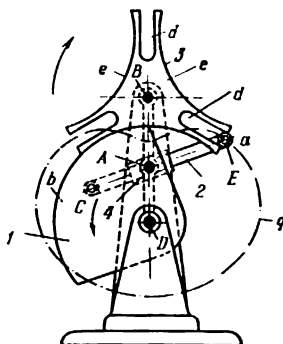
Lorsque la manivelle motrice 1 est en mouvement uniforme, la manivelle 2 tourne de façon non uniforme et, pour un tour complet, fait tourner la croix 3 d'un angle de 90° . Par le choix adéquat des dimensions des éléments du mécanisme *ABCD* à deux manivelles et quatre éléments articulés, on peut assurer à la croix 3 une rotation suffisamment uniforme dans ses périodes t_m .



L'élément 1, mobile autour d'un axe fixe A, comporte le fuseau *a* qui entre successivement dans les rainures *d* des quatre croix de Malte 2, 3, 4 et 5, égales et disposées de façon symétrique, tournant autour des axes fixes B, C, E et D. Les rainures *d* de chacune des croix de Malte sont rectilignes et radiales et leurs axes forment entre eux un angle de 60° . L'élément 1 comporte l'arc de blocage *b* qui glisse sur les arcs de blocage *e* respectifs des croix durant leurs périodes de repos. Chaque croix possède six périodes de mouvement t_m et six périodes de repos t_r . Pour chaque croix, le temps T de la rotation complète de l'élément 1 est égal à

$$T = t_m + t_r.$$

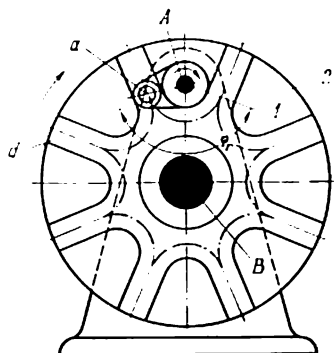
L'angle de rotation φ_r de l'élément 1, qui correspond à la période de repos de chaque croix, est égal à $\varphi_r = 240^\circ$. L'angle de rotation φ_m de l'élément 1, qui correspond à la période de mouvement de chaque croix, est égal à $\varphi_m = 120^\circ$. Pour un tour complet, l'angle de rotation φ_c de chaque croix est égal à $\varphi_c = 60^\circ$. Pour chaque croix, la valeur du coefficient $p = t_m/T = 0,3333$. Pour chaque croix, la valeur du coefficient $q = t_r/T = 0,6667$. Le coefficient du temps de travail de chaque croix est égal à $k = p/q = 0,5$. L'élément moteur 1 et les croix 2, 3, 4 et 5 tournent dans les sens opposés. Lorsqu'une croix tourne, les trois autres restent en repos.



L'élément 1, mobile autour d'un axe fixe D , constitue un couple de rotation C avec l'élément 2 qui glisse dans la coulisse 4. La coulisse 4 tourne autour d'un axe fixe A situé entre les axes D et B . L'élément 2 porte un rouleau a qui entre périodiquement en prise avec les rainures radiales rectilignes d , disposées de façon symétrique, de la croix de Malte 3 tournant autour d'un axe fixe B . Les axes des rainures d forment entre eux un angle de 120° . L'élément 1 comporte l'arc de blocage b qui glisse sur les arcs de blocage e de la croix 3 durant les périodes de repos de cette dernière. Les longueurs des éléments du mécanisme satisfont à la condition $AD = AC$. La croix 3 possède trois périodes de mouvement t_m et trois périodes de repos t_r . Le temps T de la rotation complète de l'élément 1 est égal à

$$T = t_m + t_r.$$

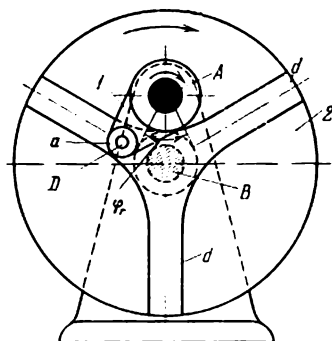
L'angle de rotation φ_r de l'élément 1, qui correspond à la période de repos de la croix 3, est égal à $\varphi_r = 300^\circ$. L'angle de rotation φ_m de l'élément, qui correspond à la période de mouvement de la croix 3, est égal à $\varphi_m = 60^\circ$. Pour un tour complet de l'élément 1, l'angle de rotation φ_c de la croix 3 est égal à $\varphi_c = 120^\circ$. Etant donné que le point E de l'élément 2 décrit le limaçon de Pascal q , la croix tourne à une vitesse angulaire variable lorsque l'élément moteur 1 est en mouvement uniforme. La croix 3 se déplace à une vitesse angulaire minimale quand l'axe de la rainure d coïncide avec la direction BD . En modifiant la dimension CE , on peut obtenir différentes lois du mouvement de la croix 3. L'élément 1 et la croix 3 tournent dans les sens opposés.



L'élément 1, mobile autour d'un axe fixe A, comporte le fuseau *a* qui entre périodiquement en prise avec les rainures radiales rectilignes *d*, disposées de façon symétrique, de la croix de Malte 2 tournant autour d'un axe fixe B. Les axes des rainures *d* forment entre eux un angle de 45° . La croix 2 possède huit périodes de mouvement t_m et huit périodes de repos t_r . Le temps T de la rotation complète de l'élément 1 est égal à

$$T = t_m + t_r.$$

L'angle de rotation φ_r de l'élément 1, qui correspond à la période de repos de la croix 2, est égal à $\varphi_r = 135^\circ$. L'angle de rotation φ_m de l'élément 1, qui correspond à la période de mouvement de la croix 2, est égal à $\varphi_m = 225^\circ$. Pour un tour complet de l'élément 1, l'angle de rotation φ_c de la croix 2 est égal à $\varphi_c = 45^\circ$. La valeur du coefficient $p = t_m/T = 0,625$. La valeur du coefficient $q = t_r/T = 0,375$. Le coefficient du temps de travail $k = p/q = 1,67$. Lorsque l'élément moteur 1 est en mouvement uniforme, la croix 2 reçoit un mouvement non uniforme. L'élément 1 et la croix 2 tournent dans le même sens.



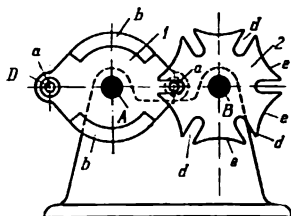
L'élément 1, mobile autour d'un axe fixe A, comporte le fuseau a qui entre périodiquement en prise avec les rainures radiales rectilignes d , disposées de façon symétrique, de la croix de Malte 2 tournant autour d'un axe fixe B. Les axes des rainures forment entre eux un angle de 120° . La croix 2 possède trois périodes de mouvement t_m et trois périodes de repos t_r . Le temps T de la rotation complète de l'élément 1 est égal à

$$T = t_m + t_r.$$

L'angle de rotation φ_r de l'élément 1, qui correspond au repos de la croix 2, est égal à $\varphi_r = 60^\circ$. L'angle de rotation φ_m de l'élément 1, qui correspond au mouvement de la croix 2, est égal à $\varphi_m = 300^\circ$. Pour un tour complet de l'élément 1, l'angle de rotation de la croix 2 est égal à $\varphi_c = 120^\circ$. La valeur du coefficient $p = t_m/T = 0,8333$. La valeur du coefficient $q = t_r/T = 0,1667$. Le coefficient du temps de travail $k = p/q = 5$. Lorsque l'élément moteur 1

| | | |
|--|---|---|
| 353 | <p style="text-align: center;">MÉCANISME À FUSEAU ET ENGRENAGE DE LA CROIX DE MALTE À DENTURE INTÉRIEURE AVEC TROIS RAINURES</p> | <p style="text-align: center;">FE CM</p> |
| <p>est en mouvement uniforme, la croix 2 reçoit un mouvement non uniforme. Le rapport de transmission i_{21} est égal à</p> $i_{21} = \frac{\omega_2}{\omega_1} = \frac{\lambda (\cos \varphi_1 - \lambda)}{1 - 2 \lambda \cos \varphi_1 + \lambda^2},$ <p>où $\lambda = R/L$; R est le rayon AD; L, la longueur AB; φ_1, l'angle courant de la rotation de l'élément 1; ω_1 et ω_2, les vitesses angulaires de l'élément 1 et de la croix 2. La valeur maximale du rapport de transmission i_{21} est égale à</p> $i_{21} = 0,464.$ <p>Le coefficient χ, qui définit la grandeur de l'accélération angulaire ε_2 de la croix au moment où le fuseau a engrène et désengrène, est égal à</p> $\chi = \frac{\varepsilon_2}{\omega_1^2} = 1,729.$ <p>L'élément 1 et la croix 2 tournent dans le même sens.</p> | | |

**MÉCANISME À FUSEAUX ET ENGRENAGE
DE LA CROIX DE MALTE
À DENTURE EXTÉRIEURE
AVEC DEUX FUSEAUX**



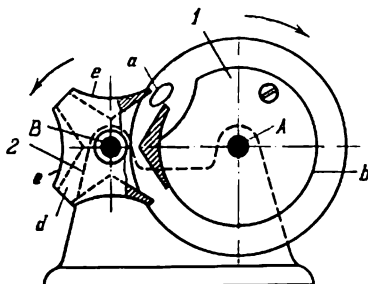
L'élément 1, mobile autour d'un axe fixe A, comporte deux fuseaux a qui entrent successivement en prise avec les rainures radiales rectilignes d , disposées de façon symétrique, de la croix de Malte 2 tournant autour d'un axe fixe B. Les fuseaux a sont disposés l'un en face de l'autre à égale distance de l'axe A. Les axes des rainures d forment entre eux un angle de 60° . L'élément 1 comporte deux arcs de blocage b qui glissent sur les arcs de blocage respectifs e de la croix 2 durant les périodes de repos de cette dernière. Lorsque l'élément moteur 1 est en rotation uniforme, la croix 2 reçoit un mouvement non uniforme avec six périodes de mouvement t_m et six périodes de repos t_r . Le temps de la rotation complète de l'élément 1 est égal à

$$T = 2t_m + 2t_r.$$

L'angle de rotation φ_r de l'élément 1, qui correspond au repos de la croix 2, est égal à $\varphi_r = 60^\circ$. L'angle de rotation φ_m de l'élément 1, qui correspond au mouvement de la croix 2, est égal à $\varphi_m = 120^\circ$. Pour un demi-tour de l'élément 1, l'angle de rotation de la croix 2 est égal à 60° . La valeur du coefficient $p = t_m/T = 0,3333$. La valeur du coefficient $q = t_r/T = 0,1667$. Le coefficient du temps de travail $k = p/q = 2$. Le rapport de transmission i_{21} est égal à

$$i_{21} = \frac{\omega_2}{\omega_1} = \frac{\lambda (\cos \varphi_1 - \lambda)}{1 - 2\lambda \cos \varphi_1 + \lambda^2},$$

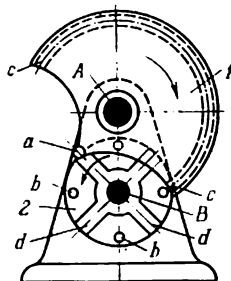
où $\lambda = R/L$; R est le rayon AD; L , la longueur AB; φ_1 , l'angle courant de la rotation de l'élément 1; ω_1 et ω_2 , les vitesses angulaires de l'élément 1 et de la croix 2. L'élément 1 et la croix 2 tournent dans les sens opposés.



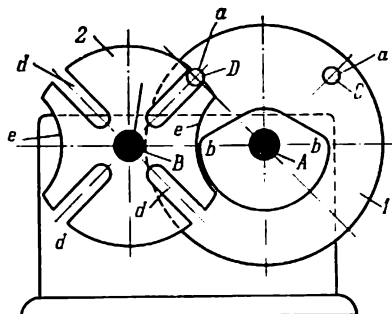
L'élément 1, mobile autour d'un axe fixe A, possède le fuseau *a* de section ovale qui entre successivement en prise avec les rainures *d* de la croix de Malte 2 tournant autour d'un axe fixe B. La croix 2 comporte quatre rainures *d* disposées de façon symétrique et dont les parois ne sont pas parallèles. L'élément 1 possède l'arc de blocage *b* qui glisse sur les arcs de blocage respectifs *e* de la croix 2 durant les périodes de repos de cette dernière. Lorsque l'élément moteur 1 est en mouvement uniforme, la croix 2 reçoit un mouvement non uniforme avec quatre périodes de repos t_r et quatre périodes de mouvement t_m . Le temps T d'une rotation complète de l'élément 1 est égal à

$$T = t_m + t_r.$$

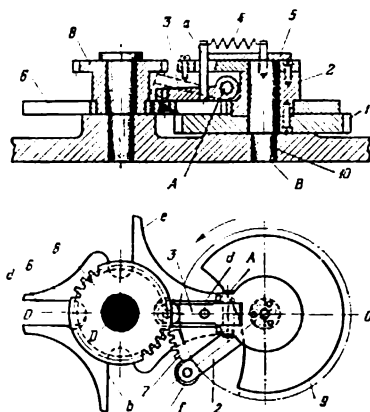
Le fuseau *a*, qui agit sur l'un des côtés de la rainure *d*, fait tourner la croix 2 d'un angle de 90° . L'élément 1 tourne alors d'un angle de 60° . Le mécanisme fonctionne sans à-coups comme si les rainures *d* n'étaient pas radiales. L'élément 1 et la croix 2 tournent dans les sens opposés.



L'élément 1, mobile autour d'un axe fixe A, comporte le fuseau *a* qui entre successivement en prise avec les rainures radiales rectilignes *d*, disposées de façon symétrique, de la croix de Malte 2 tournant autour d'un axe fixe B. L'élément 1 comporte la rainure de blocage *c* qui glisse sur les deux fuseaux *b* diamétralement opposés de la croix 2 durant la période de repos de cette dernière. Les fuseaux *b* sont disposés à égale distance de l'axe B et de façon symétrique par rapport aux rainures *d*. Lorsque l'élément 1 est en rotation uniforme, la croix 2 reçoit un mouvement non uniforme avec quatre périodes de mouvement et quatre périodes de repos. L'élément 1 et la croix 2 tournent dans les sens opposés. Pour un tour de l'élément 1, la croix 2 tourne d'un angle φ_c tel que $\varphi_c = 90^\circ$.

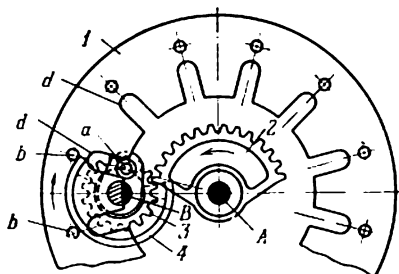


L'élément 1, mobile autour d'un axe fixe A, possède deux fuseaux *a* qui entrent périodiquement en prise avec les rainures radiales rectilignes *d*, disposées de façon symétrique, de la croix de Malte 2 tournant autour d'un axe fixe B. Les fuseaux *a* sont disposés à égale distance de l'axe A, et les droites AC et AD forment un angle de 90° . L'élément 1 comporte l'arc de blocage *b* qui glisse sur l'un des deux arcs de blocage *e* de la croix 2 durant les périodes de repos de cette dernière. Lorsque l'élément moteur 1 est en rotation uniforme, la croix reçoit un mouvement non uniforme. Pour deux tours de l'élément 1, la croix 2 effectue un seul tour avec deux périodes de mouvement et deux périodes de repos.



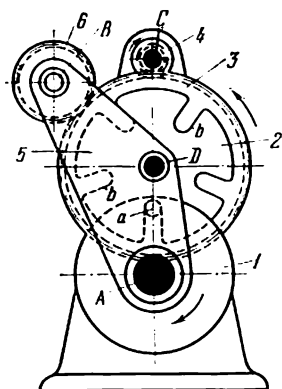
La roue dentée 1, montée folle sur l'arbre 10, est entraînée dans un mouvement de rotation uniforme autour de l'axe fixe B de l'arbre 10. Le levier 3, dont la goupille *a* sollicitée par le ressort 4 roule sur la came fixe 5 (non figurée), s'articule sur la roue 1 rigidement reliée au levier 2. En pénétrant dans la rainure *b* de la croix de Malte 6, mobile autour d'un axe fixe D, le rouleau *f* du levier 2 imprime à cette croix un mouvement accéléré jusqu'au moment où le secteur denté 7 entre en prise avec le secteur 8 relié à la croix de Malte 6. Cette dernière est animée d'un mouvement de rotation uniforme. Dès que les secteurs dentés 7 et 8 désengrènent, le levier 3 tourne par rapport à un axe fixe A et s'engage dans la rainure *d*, provoquant ainsi un mouvement ralenti de la croix de Malte. Cette position est représentée sur la figure. La position de repos du levier 3 est montrée en trait discontinu. Lorsque le levier 3 sort de la rainure *d*, la croix de Malte est bloquée par l'élément 9 qui s'engage dans la rainure arquée *e*.

**MÉCANISME À FUSEAU ET ENGRENAGE
DE LA CROIX DE MALTE
POUR FAIRE TOURNER UNE TABLE
AVEC DES ARRÊTS**

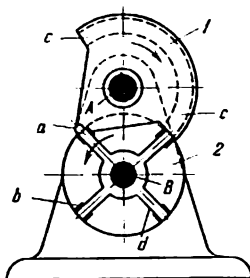


Le secteur denté 2, mobile autour d'un axe fixe A, engrène avec une roue dentée 3 qui tourne autour d'un axe fixe B. Le fuseau a de la roue 3 engrène périodiquement avec les rainures radiales rectilignes d, disposées de façon symétrique, de la table 1. Pour un tour de la roue 3, la table 1 tourne d'un angle égal à celui formé par les axes des deux rainures voisines d. Durant les périodes de repos, l'arc 4 glisse sur les goupilles b de la table 1 et bloque cette dernière. La roue 3 et la table 1 tournent dans le même sens.

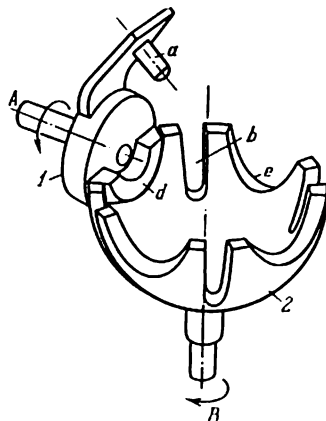
**MÉCANISME À FUSEAU ET ENGRENAGE
DE LA CROIX DE MALTE
AVEC ROUE MENÉE À ROTATION
DE DIRECTION VARIABLE**



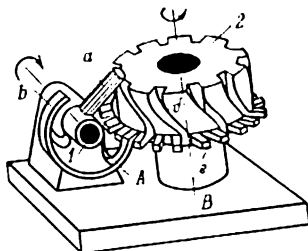
Le disque 1, mobile autour d'un axe fixe A, comporte un fuseau a qui entre en prise avec les rainures radiales rectilignes b, disposées de façon symétrique, de la croix de Malte 2 tournant autour d'un axe fixe D. Lorsque le disque 1 fait un tour, la croix 2 effectue 1/5 de ce tour. La croix 2 est solidaire de la roue dentée 3 qui imprime à la roue dentée 4 un mouvement intermittent autour d'un axe fixe C. On peut modifier le sens de rotation de la roue 4 en tournant le levier 5, qui porte les axes D et B des engrenages 3 et 6, autour de l'axe A. Les roues 3 et 4 se désengrènent, tandis que la roue 6 se met en prise avec les roues 4 et 3.



L'élément 1, mobile autour d'un axe fixe A, comporte le fuseau *a* qui engrène successivement avec les rainures radiales rectilignes *d*, disposées de façon symétrique, de la croix de Malte 2 tournant autour d'un axe fixe B. L'élément 1 possède la rainure de blocage *c* qui glisse sur deux saillies voisines *b* durant la période de repos de la croix 2. Lorsque l'élément menant 1 est en mouvement uniforme, la croix 2 reçoit un mouvement non uniforme avec quatre périodes de mouvement et quatre périodes de repos. Pour un tour de l'élément 1, la croix 2 tourne d'un angle φ_c tel que $\varphi_c = 90^\circ$. L'élément 1 et la croix 2 tournent dans les sens opposés.



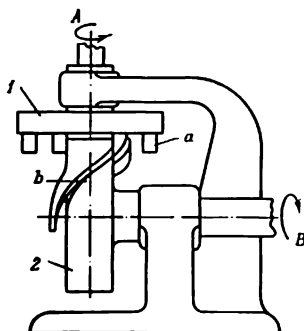
L'élément 1, mobile autour d'un axe fixe *A*, comporte le doigt *a* qui s'engage périodiquement dans les fentes *b* exécutées sur la surface sphérique de la croix de Malte 2 tournant autour d'un axe fixe *B*. L'arc de blocage *d* entre dans les encoches *e* de la croix 2 et glisse sur elles durant les périodes de repos de la croix.



L'élément 1, mobile autour d'un axe A , comporte le fuseau a qui engrène périodiquement avec les rainures d de la croix de Malte 2 tournant autour d'un axe fixe B . Les rainures d sont exécutées suivant les profils hélicoïdaux. L'élément 1 possède l'arc de blocage b qui glisse entre les doigts e de la croix 2 durant ses périodes de repos, empêchant ainsi la rotation spontanée de la croix 2. Les axes A et B ne se coupent pas et sont perpendiculaires entre eux. La croix 2 a dix périodes de mouvement t_m et dix périodes de repos t_r . Le temps T de la rotation complète de l'élément 1 est égal à

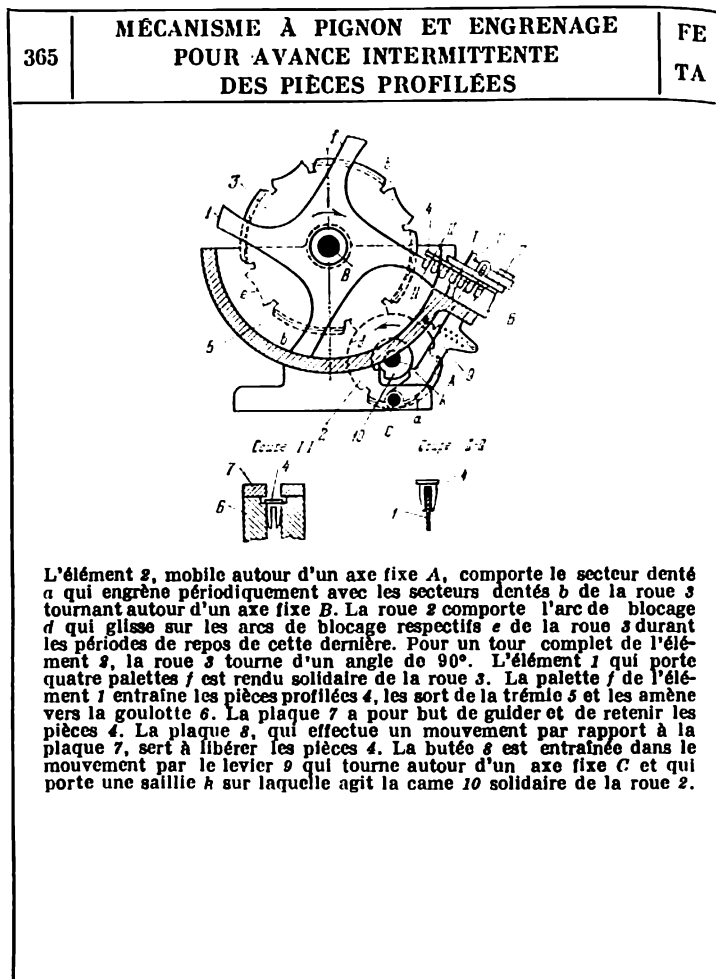
$$T = t_m + t_r.$$

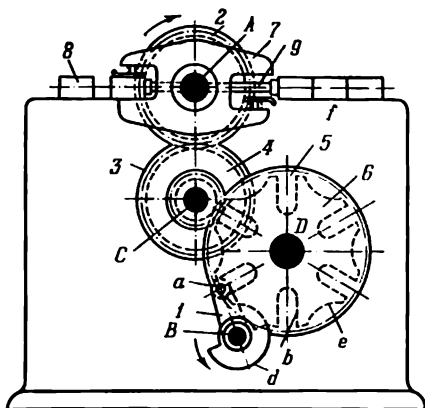
Pour un tour de l'élément 1, la croix 2 tourne d'un angle $\varphi_c = 36^\circ$.



L'élément 1, mobile autour d'un axe fixe A, comporte les fuseaux *a* qui engrènent périodiquement avec la rainure hélicoïdale *b* de l'élément 2 tournant autour d'un axe fixe B. Les axes A et B se coupent. Lorsque l'élément moteur 1 est en mouvement uniforme continu, l'élément 2 effectue un mouvement avec des arrêts. La loi de la variation de la vitesse angulaire de rotation de l'élément 2 dépend du profil de la rainure hélicoïdale *b*.

5. Mécanismes de triage, d'avance et d'alimentation (365-366)





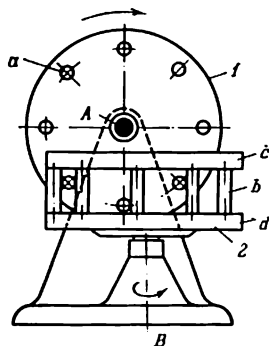
L'élément 1, mobile autour d'un axe fixe B, comporte le fuseau *a* qui engrène périodiquement avec les rainures radiales rectilignes *b*, disposées de façon symétrique, de la croix de Malte 6 tournant autour d'un axe fixe D. L'élément 1 comporte l'arc de blocage *d* qui glisse sur les arcs de blocage respectifs *e* de la croix 6 durant les périodes de repos de cette dernière. La croix 6 a six périodes de mouvement et six périodes de repos. Pour un tour de l'élément 1, la croix 6 tourne d'un angle de 60° . La roue dentée 5, solidaire de la croix 6, engrène avec la roue dentée 4 qui tourne autour d'un axe fixe C. La roue 3, solidaire de la roue 4, engrène avec la roue dentée 2 qui tourne autour d'un axe fixe A. Les rapports de transmission i_{23} et i_{45} sont égaux à $i_{23} = -1$ et $i_{45} = -3$. Pour un tour de l'élément 1, la roue 2 tourne d'un angle de 180° . La serre 7, solidaire de la roue 2, saisit la pièce 8 et la transporte de gauche à droite; le plongeur 9 projette ensuite la pièce sur le convoyeur *f*.

6. Mécanismes d'autres dispositifs spéciaux (367-371)

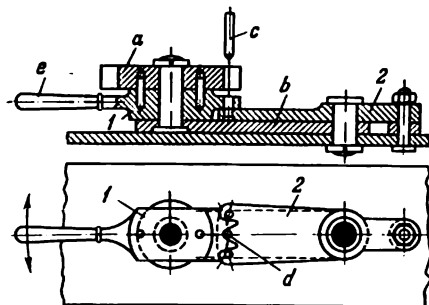
367

MÉCANISME TRIDIMENSIONNEL À FUSEAUX ET ENGRENAGE DU MOULIN À MEULE

FE
DSp



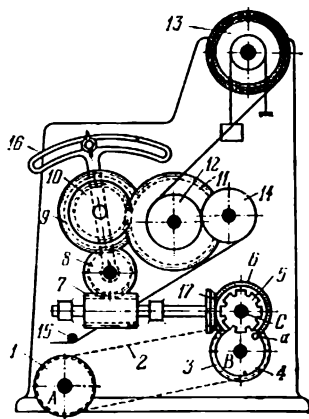
La roue 1, mobile autour d'un axe fixe A, comporte des fuseaux *a* qui engrenent avec les bras *b* de la roue 2 tournant autour d'un axe fixe B. La roue 2 se présente sous la forme de deux disques ronds *c* et *d* reliés entre eux au moyen de bras ronds *b*. Le mécanisme est destiné à transmettre le mouvement entre les axes qui ne se coupent pas et qui sont perpendiculaires entre eux.



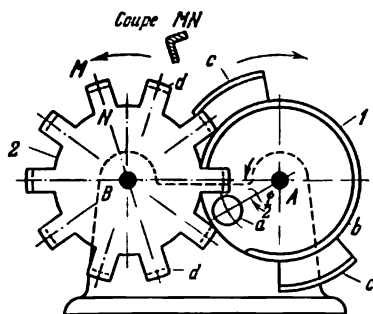
Le pignon à usiner *a* est fixé sur le même axe que l'élément *1* qui représente une partie du pignon identique à celui à usiner. On fixe l'élément *2* rigidement sur la table de la machine-outil. Les axes de rotation des éléments *1* et *2* sont reliés par une plaque *b*. L'axe de rotation de la fraise coïncide avec l'axe du fuseau *d*. Lorsqu'on tourne la poignée *e* dans les sens indiqués par la flèche, l'élément *1* roule sur l'élément *2* et la fraise *c* coupe le profil requis sur le pignon à usiner *a*.

**MÉCANISME À FUSEAU ET ENGRENAGE
POUR DÉROULER LE FIL DE CHAÎNE
DE L'ENSOUPLE ET L'ENVOYER VERS
LE HARNAIS**

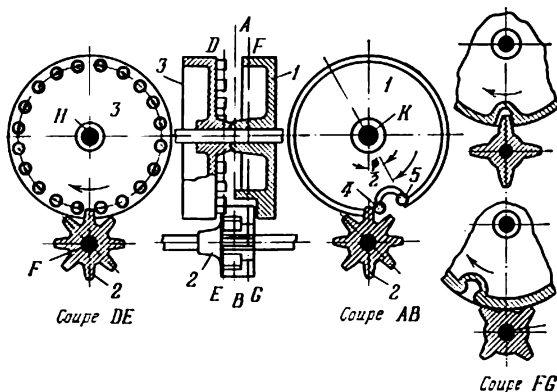
**FE
DSp**



Le mouvement du pignon 1, mobile autour d'un axe fixe et monté sur l'arbre de commande A de la machine-outil, est transmis au moyen de la chaîne 2 au pignon 3 monté sur l'arbre B qui porte également le disque 4 comportant dans les rainures de la croix de Malte 5, lui imprimant une rotation périodique, en même temps qu'à la roue dentée conique 6, autour d'un axe fixe C. Le mouvement de la roue 6 est transmis au rouleau transporteur 12 par l'intermédiaire de la roue conique 17, de la vis tangente 7, de la roue tangente 8 et des engrenages 9, 10 et 11. Lorsque le rouleau 12 est en mouvement, le fil de chaîne se déroule de l'ensouple 13 avec une faible tension produite par un frein à corde. Le fil de chaîne passe autour du rouleau 12, du rouleau auxiliaire 14 et de l'élément 15, puis est dirigé vers les lices. On règle le déroulement de la chaîne à l'aide de la roue dentée interchangeable 10. L'axe sur lequel sont montées les roues dentées 9 et 10 est rendu à cet effet solidaire de l'élément 16.



L'élément 1, mobile autour d'un axe fixe A, comporte le fuseau *a* qui engrène périodiquement avec les dents *d* de la roue 2 tournant autour d'un axe fixe B. Lorsque la roue motrice 1 tourne d'un angle ϕ , la roue 2 effectue $1/10$ du tour. On empêche la rotation spontanée de la roue 2 à l'état de repos en introduisant l'une des dents entre les circonférences concentriques *b* et *c* avant et après la mise en mouvement, et plus tard, en disposant deux dents sur la circonférence *b*.



Lorsque la roue motrice 1 portant deux ergots 4 et 5 tourne d'un angle ϕ autour d'un axe fixe K, la roue intermédiaire 2 et la roue menée 3, qui est toujours en prise avec la première, tournent autour des axes fixes F et H d'un angle qui comprend deux dents, c.-à-d. que la roue 3 portant vingt dents effectue $1/10$ du tour complet. Les dents de la roue intermédiaire 2 possèdent alternativement une largeur complète et une largeur réduite. Lorsque la roue 3 est au repos, les deux dents de largeur complète de la roue intermédiaire 2 se situent sur la circonférence de la roue motrice 1, empêchant ainsi la rotation spontanée de la roue 3.

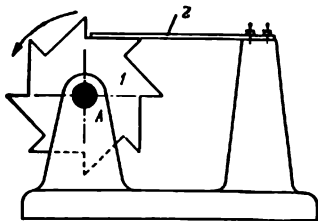
IV

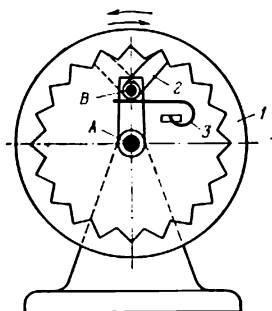
Mécanismes à rochet et engrenage RE

1. Mécanismes à trois éléments d'usage général Tr (372-409). 2. Mécanismes à quatre éléments d'usage général Q (410-421). 3. Mécanismes à éléments multiples d'usage général M (422-452). 4. Mécanismes avec arrêts Ar (453-457). 5. Mécanismes des régulateurs Rg (458-464). 6. Mécanismes des dispositifs de mesure et d'essai ME (465). 7. Mécanismes d'arrêt, de blocage et de verrouillage AV (466-475). 8. Mécanismes des accouplements Ac (476-477). 9. Mécanismes des appareils de levage AL (478-487). 10. Mécanismes de triage, d'avance et d'alimentation TA (488-492). 11. Mécanismes de commutation, d'enclenchement et de déclenchement CE (493). 12. Mécanismes d'autres dispositifs spéciaux DSp (494-502).



1. Mécanismes à trois éléments d'usage général (372-409)

| 372 | MÉCANISME À ROCHET AVEC CLIQUET À RESSORT | RE Tr |
|-----|---|----------|
| |  <p data-bbox="168 718 859 795">La roue à rochet 1 tourne autour d'un axe fixe dans le sens indiqué par la flèche. La rotation de la roue à rochet 1 en sens inverse est rendue impossible par le cliquet à ressort 2.</p> | |

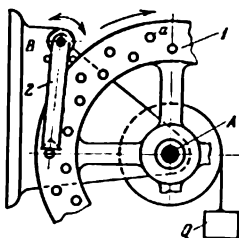


La roue à rochet *1*, qui comporte les dents disposées sur sa surface intérieure, tourne autour d'un axe fixe *A*. Le cliquet réversible *2* peut tourner autour d'un axe *B* serré par un ressort plat *3*. Le sens éventuel du mouvement de la roue à rochet *1* dépend de la position du cliquet réversible *2*.

374

MÉCANISME AVEC UNE ROUE À ROCHET COMPORTANT DES FUSEAUX

RE
Tr

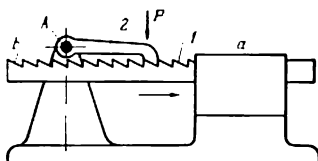


Sous l'action du poids Q , la roue à rochet 1 tourne autour d'un axe fixe A dans le sens indiqué par la flèche. La roue 1 comporte des fuseaux a disposés suivant deux cercles concentriques. Le cliquet 2 est animé d'un mouvement d'oscillation autour d'un axe fixe B et entre périodiquement en prise avec les fuseaux a de la roue 1 imprimant à cette dernière un mouvement de rotation intermittent.

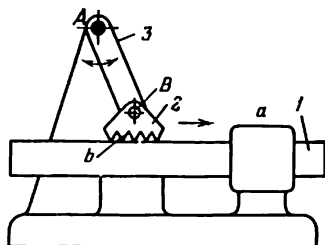
375

MÉCANISME À ROCHET AVEC UNE CRÉMAILLÈRE À DENTS OBLIQUES

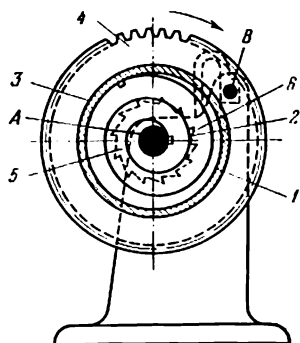
RE
Tr



La crémaillère à rochet 1 , munie de dents obliques b , peut se déplacer d'un mouvement de translation dans un guidage fixe a dans le sens indiqué par la flèche. Le cliquet 2 , mobile autour d'un axe fixe A , est serré constamment par la force P contre les dents de la crémaillère à rochet 1 et ne lui permet de se déplacer que dans le sens indiqué par la flèche.



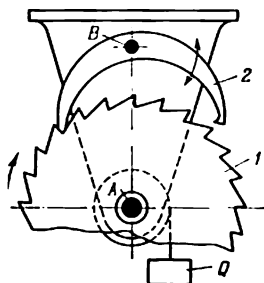
La crémaillère lisse 1 se déplace d'un mouvement de translation dans un guidage fixe *a* dans le sens indiqué par la flèche. L'élément 3, mobile autour d'un axe fixe *A*, constitue un couple de rotation *B* avec le cliquet 2 muni de dents *b*. Lorsque le cliquet entre en prise avec la crémaillère 1, cette dernière ne peut se déplacer que dans le sens indiqué par la flèche.



La roue dentée 4 et le tambour 3, rendu solidaire de la première, sont montés sur l'arbre 1. Le ressort plat 2 enroulé en spirale est fixé à la surface intérieure du tambour 3. L'autre extrémité du ressort 2 est fixée à l'arbre 1 qu'on remonte en le faisant tourner dans le sens des aiguilles d'une montre autour d'un axe fixe A et qui est ensuite maintenu en position fixe au moyen de la roue à rochet 5 et du cliquet 6 tournant autour d'un axe fixe B. En se dé-tendant, le ressort fait tourner le tambour 3 et la roue 4.

378

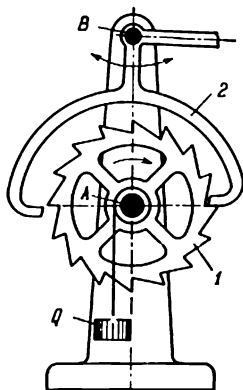
MÉCANISME DE L'ÉCHAPPEMENT À ANCRE

RE
Tr

Lorsque la fourche d'ancrage 2 oscille autour d'un axe fixe B, la roue à rochet 1, soumise à l'action du poids de la charge Q, tourne avec des arrêts autour d'un axe fixe A.

379

MÉCANISME DE L'ÉCHAPPEMENT À ANCRE

RE
Tr

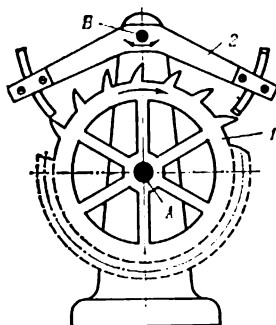
Lorsque la fourche d'ancrage 2 oscille autour d'un axe fixe B, la roue à rochet 1, soumise à l'action du poids de la charge Q, tourne avec des arrêts autour d'un axe fixe A.

380

MÉCANISME DE L'ÉCHAPPEMENT À ANCRE

RE

Tr



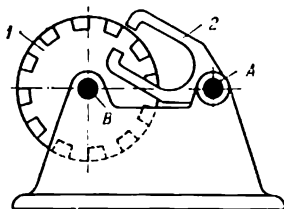
Lorsque la fourche d'ancrage 2 oscille autour d'un axe fixe B, la roue à rochet 1, soumise à l'action d'un couple de torsion constant, tourne avec des arrêts autour d'un axe fixe A.

381

MÉCANISME DE L'ÉCHAPPEMENT À ANCRE

RE

Tr



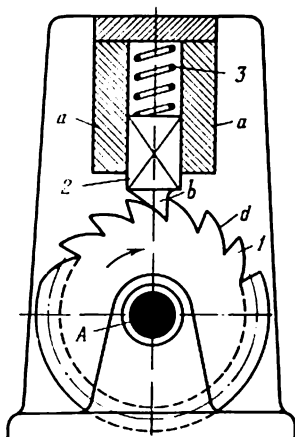
Lorsque la fourche d'ancrage 2 oscille autour d'un axe fixe A, la roue à rochet 1, soumise à l'action d'un couple de torsion constant, tourne avec des arrêts autour d'un axe B.

382

MÉCANISME À ROCHET AVEC UN CLIQUET D'ARRÊT PRISMATIQUE

RE

Tr



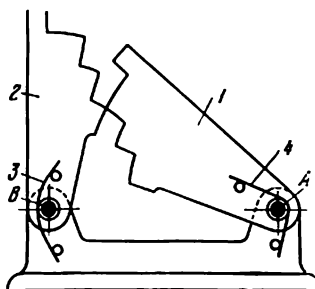
La roue à rochet 1 tourne autour d'un axe fixe A. Le cliquet d'arrêt prismatique 2 glisse dans un guidage fixe $a - a$ et possède un doigt b qui engrène avec les dents d de la roue 1. Le cliquet d'arrêt 2 subit l'action constante du ressort 3 qui le serre contre les dents d de la roue à rochet 2, empêchant cette dernière de tourner dans le sens opposé à celui indiqué par la flèche.

383

MÉCANISME À ROCHET AVEC DES CLIQUETS À GRADINS

RE

Tr



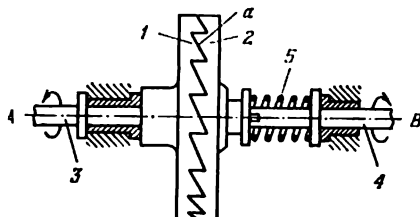
Les secteurs dentés 1 et 2, mobiles autour des axes fixes A et B, possèdent des ressorts plats 4 et 3 qui mettent les secteurs en prise. Chacun des secteurs peut servir ou bien de rochet, ou bien de cliquet.

384

MÉCANISME À ROCHET DU MANCHON À GRIFFES

RE

Tr



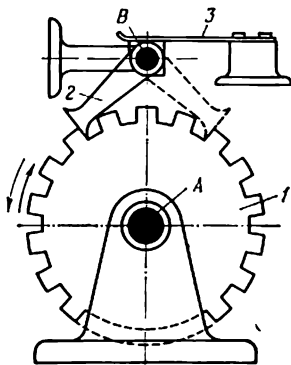
Les disques 1 et 2, mobiles autour des axes fixes A et B, portent sur leurs faces frontales des dents identiques a. La transmission de la rotation de l'arbre 3 à l'arbre 4 n'est possible que dans le sens indiqué par les flèches. Lorsque la rotation change de sens, le disque 2 glisse sur le disque 1. Le ressort 5 assure l'accrochage des disques 1 et 2.

385

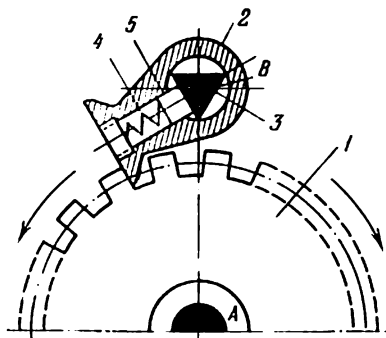
MÉCANISME À ROCHET, À DENTURE EXTÉRIEURE AVEC CLIQUET RÉVERSIBLE

RE

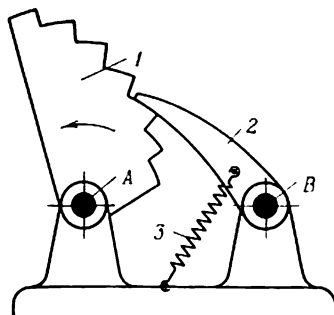
Tr



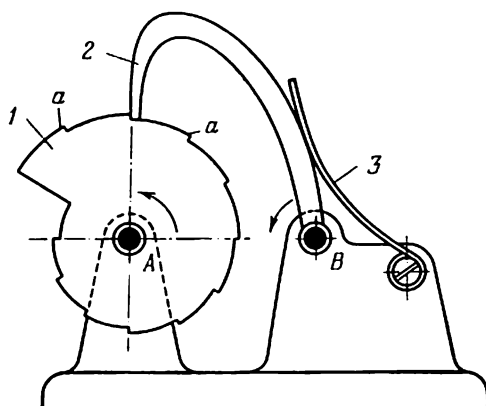
La roue à rochet 1 tourne autour d'un axe fixe A. Le cliquet réversible 2 est mobile autour d'un axe fixe B. Le sens de rotation de la roue à rochet 1 dépend de la position du cliquet réversible 2, bloqué par le ressort 3.



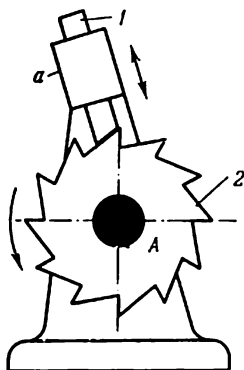
La roue à rochet 1 tourne autour d'un axe fixe A. Le cliquet réversible 2 est mobile autour d'un axe fixe B qui a la forme d'un prisme triangulaire 3. Le sens de rotation de la roue à rochet 1 dépend de la position du cliquet réversible 2. On fixe la position du cliquet sur l'élément 3 à l'aide du ressort 4 et du coulisseau 5.



Le secteur d'encliquetage à gradins 1, mobile autour d'un axe fixe A, ne peut tourner que dans le sens indiqué par la flèche. Le cliquet 2, mobile autour d'un axe fixe B, empêche le secteur de tourner dans le sens inverse. Le ressort 3 sert à assurer l'effort de contact entre la roue 1 et le cliquet 2.



La roue à rochet *1*, mobile autour d'un axe fixe *A*, comporte les dents *a* disposées sur sa surface latérale en forme de spirale. Lorsque la roue à rochet *1* tourne, le cliquet *2* se déplace par saccades autour d'un axe fixe *B* dans le sens indiqué par la flèche. Le ressort *3* sert à assurer l'effort de contact entre le cliquet *2* et la roue *1*.



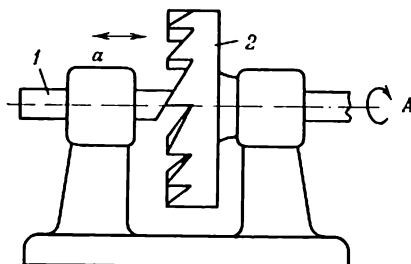
La roue à rochet 2 tourne autour d'un axe fixe A. Le cliquet d'arrêt prismatique 1 qui glisse dans un guidage fixe a subit en permanence l'action d'un ressort (non montré sur le dessin) qui le serre contre les dents de la roue à rochet 2. Le cliquet d'arrêt 1 ne permet pas à la roue à rochet 2 de tourner dans le sens opposé à celui indiqué par la flèche.

390

MÉCANISME À ROCHET AVEC ARRÊTOIR PRISMATIQUE

REJ

Tr



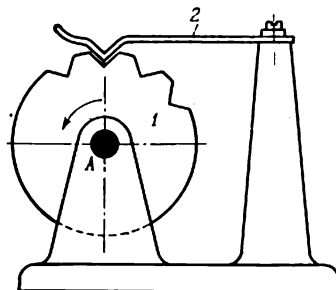
La roue à rochet à denture latérale 2 tourne autour d'un axe fixe A. Le cliquet 1 glisse dans un guidage fixe a. Le cliquet d'arrêt 1 subit l'action constante d'un ressort (non figuré sur le dessin) qui serre ce cliquet contre les dents de la roue à rochet 2 et ne permet pas à cette dernière de tourner dans le sens opposé à celui indiqué par la flèche.

391

MÉCANISME À ROCHET AVEC CLIQUET À RESSORT

RE

Tr

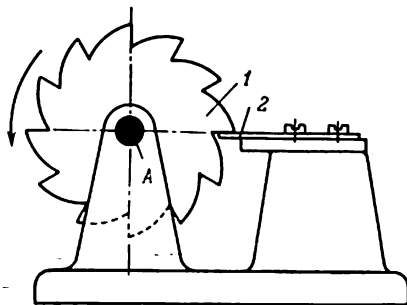


La roue à rochet 1 tourne autour d'un axe fixe A dans le sens indiqué par la flèche. Le ressort 2 sert à empêcher la roue à rochet 1 de tourner dans le sens opposé.

392

MÉCANISME À ROCHET AVEC ARRÊTOIR À RESSORT

RE
Tr

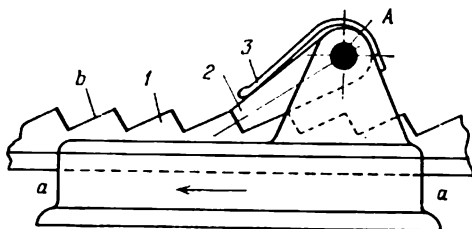


La roue à rochet 1 tourne autour d'un axe fixe A dans le sens indiqué par la flèche. Le ressort 2 empêche la roue à rochet 1 de tourner dans le sens opposé.

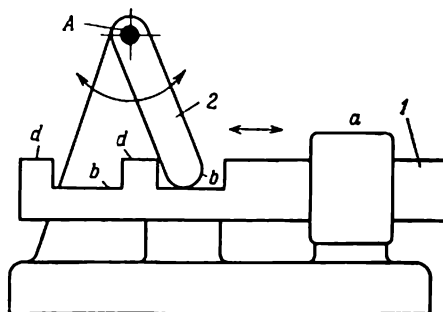
393

MÉCANISME À ROCHET AVEC CRÉMAILLÈRE À DENTURE OBLIQUE

RE
Tr



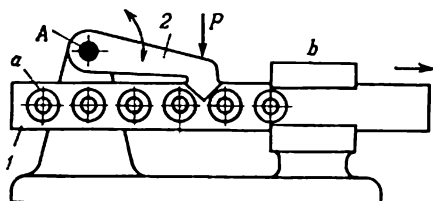
La crémaillère à rochet 1 portant les dents obliques b se déplace d'un mouvement de translation dans un guidage fixe a — a dans le sens indiqué par la flèche. La marche arrière de la crémaillère 1 est rendue impossible par le cliquet 2 qui tourne autour d'un axe fixe A et qui est serré par le ressort 3.



La crémaillère à rochet 1 portant les dents droites *d* se déplace d'un mouvement de translation dans un guidage fixe *a* dans le sens indiqué par la flèche. Lorsque le cliquet 2, mobile autour d'un axe fixe *A*, s'engage entre les dents *d* de la crémaillère 1, cette dernière ne peut se déplacer que dans le sens indiqué par la flèche.

395

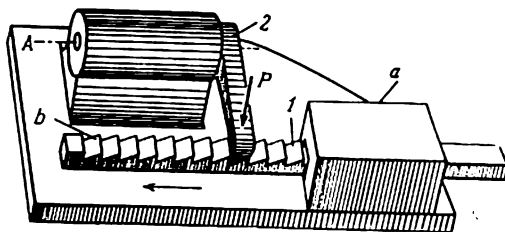
MÉCANISME À ROCHET AVEC CRÉMAILLÈRE À FUSEAUX

RE
Tr


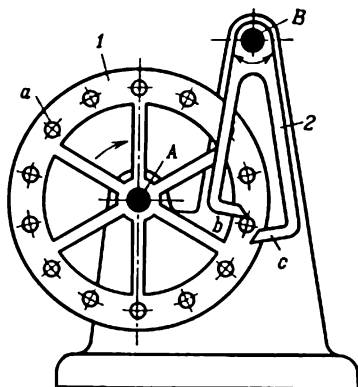
La crémaillère à rochet 1, munie de fuseaux *a*, se déplace d'un mouvement de translation dans un guidage fixe *b* dans le sens indiqué par la flèche. Le cliquet 1, mobile autour d'un axe fixe *A*, est serré par la force *P* contre les rouleaux *a* de la crémaillère 1 et ne lui permet de se déplacer que dans le sens indiqué par la flèche.

396

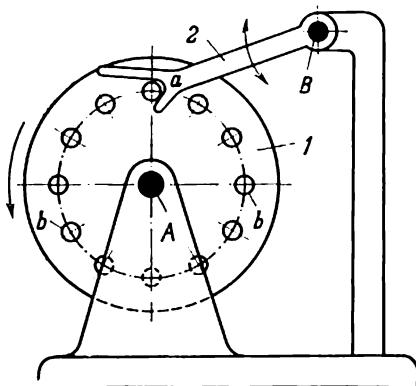
MÉCANISME TRIDIMENSIONNEL À ROCHET AVEC CRÉMAILLÈRE

RE
Tr


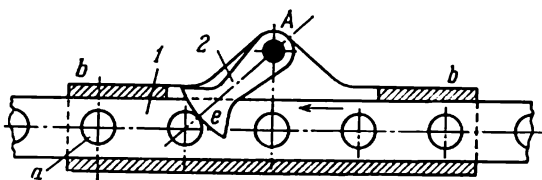
La crémaillère à rochet 1 portant les dents obliques *b* est animée d'un mouvement de translation dans un guidage fixe *a* dans le sens indiqué par la flèche. Le cliquet 2, mobile autour d'un axe fixe *A*, est serré en permanence par le poids *P* contre les dents de la crémaillère à rochet 1, ne lui permettant de se déplacer que dans le sens indiqué par la flèche.



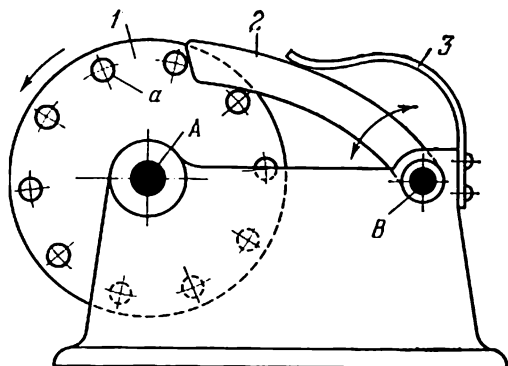
La roue 1 portant les fuseaux *a* tourne autour d'un axe fixe *A* dans le sens indiqué par la flèche et subit en permanence l'action d'un moment extérieur. La fourche d'ancrage 2 portant deux dents *b* et *c* oscille autour d'un axe fixe *B*. Lorsque la fourche 2 oscille autour de l'axe *B*, la roue à fuseaux 1 tourne avec des arrêts.



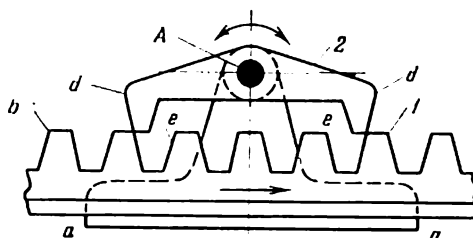
La roue à fuseaux 1 portant les fuseaux *b* tourne autour d'un axe fixe *A* dans le sens indiqué par la flèche. Le cliquet profilé 2 qui comporte une rainure *a* tourne autour d'un axe fixe *B*. La roue 1 ne peut tourner que dans le sens indiqué par la flèche. Par sa rainure *a*, le cliquet 2 empêche la roue 1 de tourner dans le sens opposé.



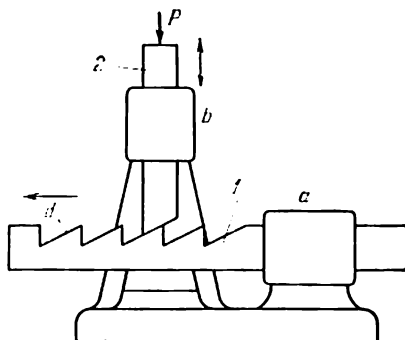
La crémaillère à rochet 1 portant les fuseaux *a* se déplace d'un mouvement de translation dans un guidage fixe *b — b* dans le sens indiqué par la flèche. Le profil de travail *e* du cliquet 2 qui tourne autour d'un axe fixe *A* est tracé suivant un arc de cercle de centre *A*. La crémaillère 1 ne peut se déplacer que dans le sens indiqué par la flèche. Sa marche arrière est rendue impossible par le cliquet 2.



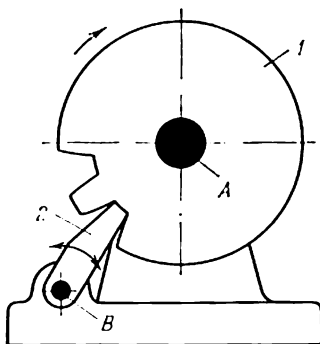
La roue à fuseaux 1 portant les fuseaux *a* tourne autour d'un axe fixe *A* dans le sens indiqué par la flèche. Le cliquet 2 pivote autour d'un axe fixe *B*, étant serré par le ressort 3 contre les fuseaux *a* de la roue 1. La roue 1 peut tourner non seulement dans le sens indiqué par la flèche, mais aussi dans le sens inverse, si la résistance du ressort 3 est surmontée.



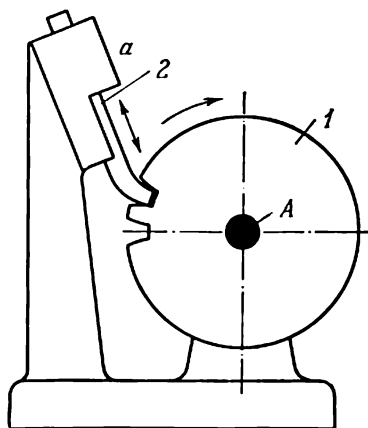
La crémaillère à rochet 1 portant les dents trapézoïdales *b* se déplace d'un mouvement de translation dans un guidage fixe *a — a* dans le sens indiqué par la flèche. Le cliquet à deux bras 2 pivote autour d'un axe fixe *A* et s'engage alternativement par ses extrémités *d* dans les creux *e* des dents *b*. Lorsque le cliquet 2 oscille, la crémaillère 1 effectue un mouvement de translation avec des arrêts.



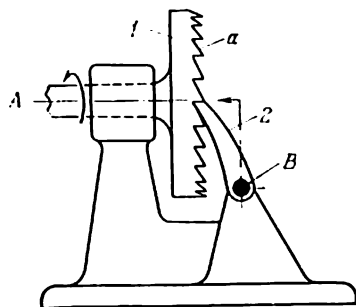
La crémaillère à rochet 1 portant les dents obliques *d* se déplace d'un mouvement de translation dans un guidage fixe *a* dans le sens indiqué par la flèche. Le cliquet prismatique 2 effectue un mouvement de translation dans un guidage fixe *b*. Le cliquet 2 est serré en permanence par la force *P* contre les dents *d* de la crémaillère à rochet 1, ne permettant à cette dernière de se déplacer que dans le sens indiqué par la flèche.



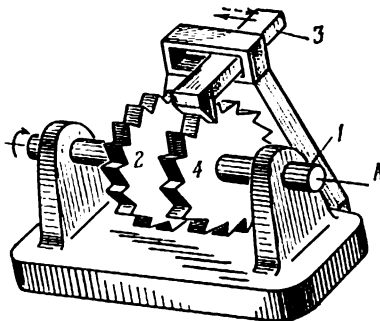
La roue à rochet 1 tourne autour d'un axe fixe A. Le cliquet d'arrêt 2 pivote autour d'un axe fixe B. Lorsque le cliquet 2 entre en prise avec la roue 1, cette dernière ne peut tourner que dans le sens indiqué par la flèche.



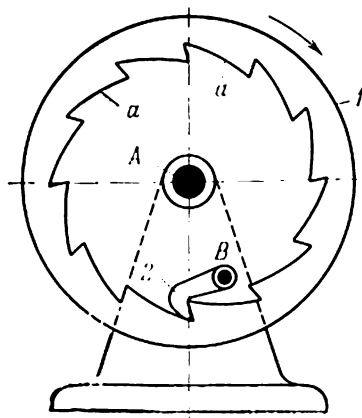
La roue à rochet 1 tourne autour d'un axe fixe A. Le cliquet prismatique 2 glisse dans un guidage fixe a. Lorsque le cliquet 2 entre en prise avec la roue 1, cette dernière ne peut tourner que dans le sens indiqué par la flèche.



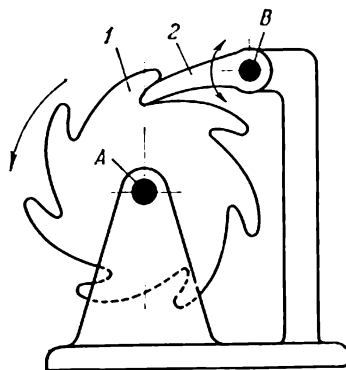
La roue à rochet 1, mobile autour d'un axe fixe A, porte les dents *a* situées sur sa surface frontale. Le cliquet 2 pivote autour d'un axe fixe B. Les axes A et B ne se coupent pas et sont perpendiculaires entre eux. Le plan de rotation central du cliquet 2 est tangent au cercle primitif des dents de la roue 1.



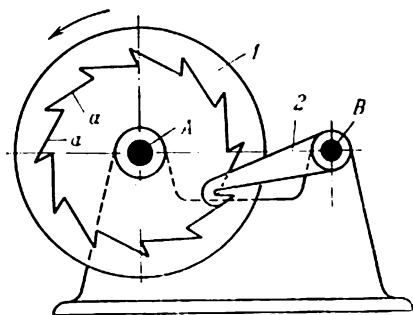
Les roues à rochet 2 et 4, calées sur l'arbre 1, tournent autour d'un axe fixe A. Les dents des roues 2 et 4 sont décalées les unes par rapport aux autres d'un demi-pas d'engrenage. Le cliquet 3 peut engrener alternativement avec les roues 2 et 4. Il en résulte que l'arbre 1 tourne d'un angle qui correspond au demi-pas d'engrenage des roues à rochet 2 et 4.



La roue à rochet *1*, mobile autour d'un axe fixe *A*, porte les dents *a* qui sont situées sur sa surface intérieure. Le cliquet *2* pivote autour d'un axe fixe *B* et bloque la roue *1*. La roue *1* ne peut tourner que dans le sens indiqué par la flèche.



Les dents profilées confèrent à la roue à rochet 1, qui tourne autour d'un axe fixe A dans le sens de la flèche, la possibilité d'une courte marche arrière chaque fois que la roue tourne d'une dent. Le cliquet tourne autour d'un axe fixe B.



La roue à rochet *1*, mobile autour d'un axe fixe *A*, porte les dents *a* qui sont situées sur sa surface intérieure. Le cliquet *2* pivote autour d'un axe fixe *B* et bloque la roue *1*. La roue *1* ne peut tourner que dans le sens indiqué par la flèche. L'axe de rotation *B* du cliquet *2* se trouve en dehors de la roue *1*.

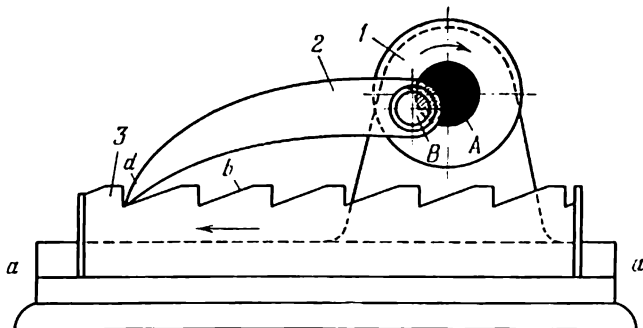
2. Mécanismes à quatre éléments d'usage général (410-421)

410

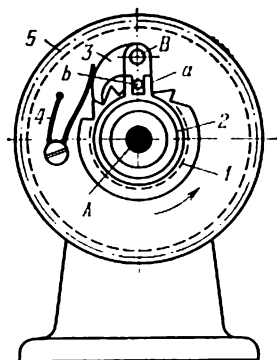
MÉCANISME À ROCHET AVEC CLIQUET
ANIMÉ D'UN MOUVEMENT COMBINÉ

RE

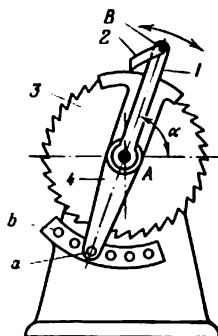
Q



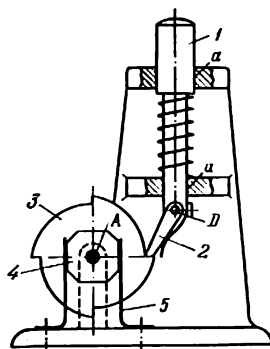
L'élément 1 qui tourne autour d'un axe fixe A constitue un couple de rotation B avec le cliquet 2. Le cliquet 2 engrène avec la crémaillère à rochet 3 qui coulisse dans un guidage fixe $a - a$. Lorsque l'élément 1 tourne dans le sens indiqué par la flèche, le cliquet 2 reçoit un mouvement combiné; par son extrémité d, il glisse et bute contre les dents b de la crémaillère 3, imprimant ainsi à cette dernière un mouvement intermittent dans le sens indiqué par la flèche.



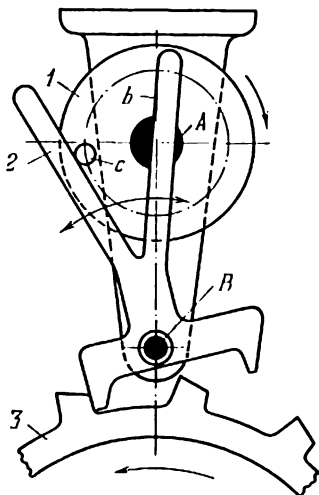
La roue dentée 5, mobile autour d'un axe fixe A, porte un cliquet 3 qui peut pivoter autour d'un axe B et qui comporte un ergot b. La bague 2, solidaire de la roue à rochet 1, possède des butées a. Lorsque la roue à rochet 1 tourne, la butée a qui appuie sur l'ergot b relève le cliquet 3, ce qui atténue le bruit. Le ressort 4 sert à assurer l'effort de contact entre le cliquet 3 et la roue à rochet 1.



Le levier 1 est animé d'un mouvement d'oscillation autour d'un axe fixe A d'un angle déterminé α . Lorsque le levier 1 est en mouvement, le cliquet 2, qui pivote autour d'un axe B et appartient au levier 1, fait tourner la roue à rochet 3 autour de l'axe fixe A. On règle l'angle de rotation de la roue 3 en déplaçant le fixateur a du levier 4 dans les orifices b du support.



Lorsqu'on appuie sur le bouton 1, la roue à rochet 3 et l'élément carré 4, mobile autour d'un axe fixe A et solidaire de cette roue, tournent d'un angle de 90° sous l'action du cliquet 2 qui constitue le couple de rotation D avec le bouton 1. Les ressorts 5 immobilisent l'élément 4 après sa rotation.



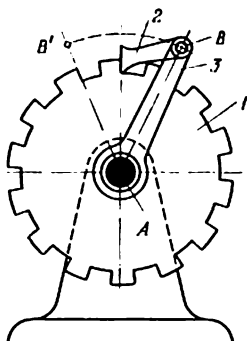
Le disque *1*, mobile autour d'un axe fixe *A*, porte le fuseau *C* qui entre périodiquement en prise avec les côtés *b* de la fourche d'ancrage bilatérale *2*. Lorsque le disque *1* est en mouvement, la fourche *2* reçoit un mouvement d'oscillation autour d'un axe fixe *B*. La roue *3* qui subit l'action constante d'un couple moteur tourne avec arrêts.

| | | |
|-----|--|-----------------|
| 415 | MÉCANISME DE L'ÉCHAPPEMENT À ANCRE | RE Q |
| | <div data-bbox="187 243 412 540" data-label="Image"> </div> <div data-bbox="428 235 866 379" data-label="Text"> <p>Lorsque la fourche d'ancrage 2, mobile autour d'un axe fixe B, est en mouvement d'oscillation, la roue à rochet 1, qui subit l'action d'une charge Q, tournera chaque fois d'une dent autour d'un axe fixe A.</p> </div> | |
| 416 | MÉCANISME À ROCHET AVEC CLIQUET RÉVERSIBLE ANIMÉ D'UN MOUVEMENT CONTINU | RE Q |
| | <div data-bbox="308 673 721 1044" data-label="Image"> </div> <div data-bbox="171 1055 866 1201" data-label="Text"> <p>La roue à rochet 1 tourne autour d'un axe fixe A. Le cliquet réversible 2 tourne autour de l'axe fixe B qui appartient à l'élément 3. L'élément 3 se déplace d'un mouvement alternatif dans un guidage fixe $b - b$. Le sens de rotation de la roue à rochet 1 dépend de la position B ou B' de l'axe du cliquet réversible 2.</p> </div> | |

417

MÉCANISME À ROCHET AVEC CLIQUET RÉVERSIBLE

RE
Q

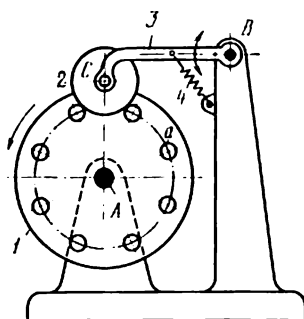


La roue à rochet 1 est mobile autour d'un axe fixe A. Le cliquet réversible 2 tourne autour de l'axe B qui appartient à l'élément 3. L'élément 3 tourne fou autour de l'axe A. Le sens de rotation de la roue à rochet 1 dépend de la position B ou B' du cliquet réversible 2.

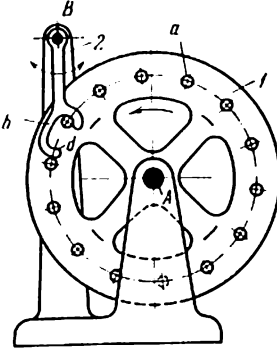
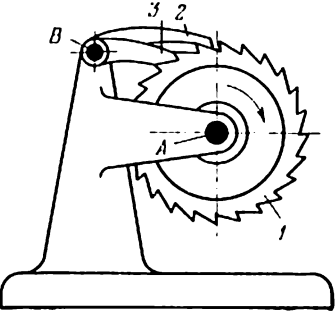
418

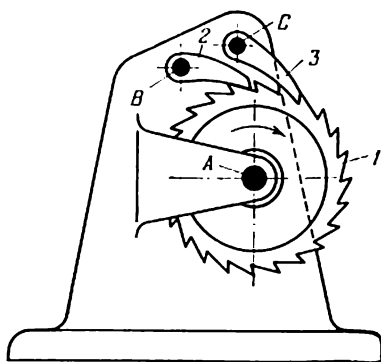
MÉCANISME À ROCHET AVEC ROUE À FUSEAUX ET CLIQUET À GALET

RE
Q



La roue 1 portant les fuseaux a tourne autour d'un axe fixe A dans le sens indiqué par la flèche. Le cliquet 3, pivotant autour d'un axe fixe B, est serré par le ressort 4 contre les fuseaux. Le cliquet comporte un galet 2 qui tourne fou sur un axe C. La roue 1 peut tourner non seulement dans le sens indiqué par la flèche, mais également dans le sens opposé. Cependant dans ce dernier cas il faut appliquer du côté de la roue un effort un peu plus grand.

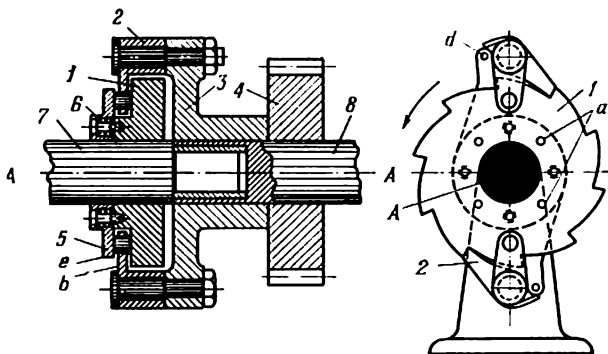
| | | |
|-----|---|-----------------------|
| 419 | MÉCANISME À ROCHET AVEC ROUE À FUSEAUX ET CLIQUET PROFILÉ | RE Q |
| |  <p>La roue à fuseaux 1, mobile autour d'un axe fixe A, subit l'action d'un couple moteur extérieur. Le cliquet profilé comportant une encoche b peut osciller autour d'un axe fixe B. Lorsque le cliquet 2 est en mouvement d'oscillation, la roue 1 tourne avec des arrêts dans le sens indiqué par la flèche.</p> | |
| 420 | MÉCANISME À ROCHET AVEC DEUX CLIQUETS | RE Q |
| |  <p>La roue à rochet 1, mobile autour d'un axe fixe A, engrène avec les cliquets 2 et 3 qui pivotent autour d'un axe fixe B. Les longueurs des parties en contact des cliquets 2 et 3 diffèrent du demi-pas d'engrenage. Les axes de rotation des cliquets coïncident. La présence de deux cliquets revient à doubler le nombre de dents de la roue à rochet 1. La roue 1 ne peut tourner que dans le sens indiqué par la flèche.</p> | |



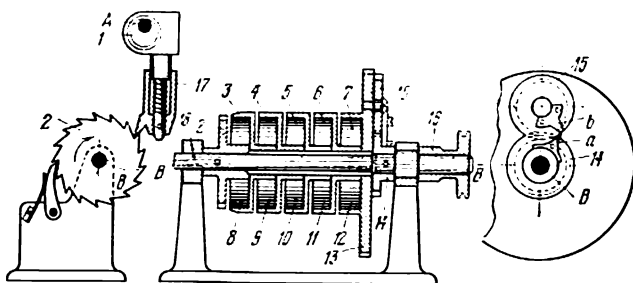
La roue à rochet 1, mobile autour d'un axe fixe A, engrène avec les cliquets 2 et 3 qui pivotent autour des axes fixes B et C. La présence de deux cliquets revient à doubler le nombre de dents de la roue à rochet 1. La roue 1 ne peut tourner que dans le sens indiqué par la flèche. Les longueurs des parties en contact des cliquets 2 et 3 diffèrent du demi-pas d'engrenage.

3. Mécanismes à éléments multiples d'usage général (422-452)

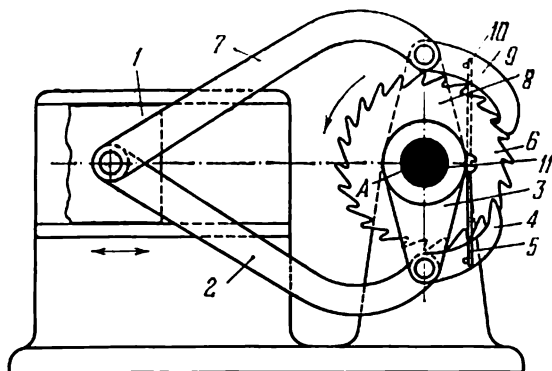
| | | |
|-----|--|---------------------------------------|
| 422 | <p align="center">MECANISME A ROCHET, A DENTURE INTERIEURE AVEC QUATRE CLIQUETS MENANTS</p> | <p align="center">RE M</p> |
| | <div data-bbox="366 333 665 674" data-label="Image"> </div> <p data-bbox="174 701 861 897">La roue à rochet 1 portant les dents situées sur sa surface intérieure tourne autour d'un axe fixe A. La roue 1 engrène par ses dents a avec les quatre cliquets 2 qui pivotent autour des axes B de l'élément 3. Les ressorts 4 serrent les cliquets 2 contre les dents a. Lorsque l'élément 3 est en mouvement, la roue 1 tourne à la même vitesse angulaire et ne peut tourner par rapport à l'élément 3 que dans le sens opposé à celui des aiguilles d'une montre.</p> | |



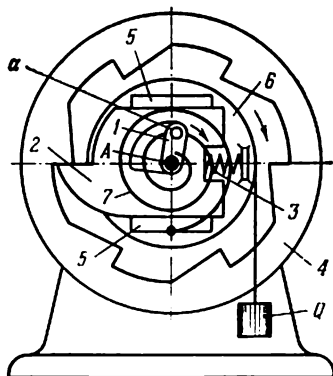
Lorsque l'arbre 7 tourne autour d'un axe fixe *A*, la roue à rochet 1, reliée au premier, imprime à la bride 3, rigidement montée sur l'arbre 8, au moyen de cliquets 2 un mouvement de rotation dans le sens de la flèche. L'arbre 8 reçoit donc une rotation à une vitesse angulaire égale à la vitesse angulaire de l'arbre 7. Les bouchons de friction, serrés entre le plateau de friction 5 et la roue 1 au moyen des ressorts 6 et des goujons *a*, sont logés dans les orifices des tenons *b* des cliquets 2. Lorsque la vitesse angulaire de l'arbre 8 mis en mouvement par la roue dentée 4 augmente, les cliquets 2 pivotent autour de leurs axes et désengrènent de la roue à rochet 1. La rotation des cliquets est limitée par les ergots *d*. La commande de roue libre une fois déclenchée, l'arbre 8 reste en repos jusqu'à ce que les cliquets 2, ayant opéré une rotation autour de leurs axes dans le sens inverse, entrent en prise avec la roue à rochet 1, imprimant ainsi à l'arbre 8 une vitesse angulaire égale à celle de l'arbre 7.



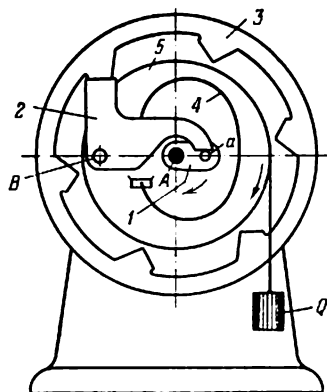
Lorsque l'excentrique 1 tourne autour d'un axe fixe A, le loquet 17, animé d'un mouvement alternatif, fait tourner la roue à rochet 2 qui est calée sur l'arbre 18 tournant autour d'un axe fixe B. En tournant, l'arbre 18 remonte successivement les ressorts 3, 4, 5, 6 et 7 dont les extrémités extérieures sont fixées sur les boîtes 8, 9, 10, 11 et 12, et les extrémités intérieures sur les douilles de ces boîtes et sur la roue 2. On imprime ainsi à la roue 13 un mouvement de rotation. Pour éviter que les ressorts ne soient remontés au-delà d'une certaine limite, l'on a prévu un mécanisme d'arrêt constitué des roues dentées 14 et 15 comportant les dents a et b qui, après un certain nombre de rotations de l'arbre 18, butent l'une contre l'autre, empêchant ainsi la rotation ultérieure de l'arbre 18. On peut également remonter les ressorts à la main, en tournant la tête 16 dans le sens des aiguilles d'une montre.



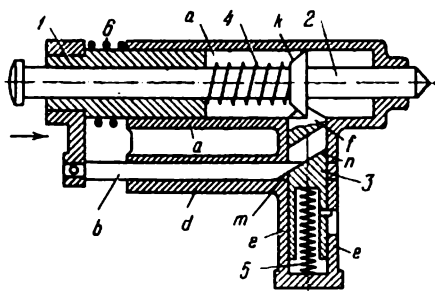
Lorsque l'élément 1 se déplace de gauche à droite, ce mouvement est transmis au moyen du levier 2 au levier 3 qui porte le cliquet d'arrêt 4. Le levier 3 est monté fou sur l'arbre 11 et tourne autour d'un axe fixe A. Sollicité par le ressort 5, le cliquet d'arrêt 4 agit sur les dents de la roue à rochet 6. Cette dernière ainsi que l'arbre 11 se mettent à tourner dans le sens inverse des aiguilles d'une montre. Lorsque l'élément 1 se déplace de droite à gauche, ce mouvement est transmis au moyen du levier 7 au levier 8 monté fou sur l'arbre 11. Le cliquet d'arrêt 9, qui bute contre les dents de la roue à rochet sous l'action du ressort 10, fait tourner cette roue, en même temps que l'arbre 11, dans le même sens. Le cliquet d'arrêt 4 glisse alors sur les dents de la roue à rochet 6. On transforme ainsi le mouvement alternatif de l'élément 1 en mouvement de rotation de l'arbre 11.



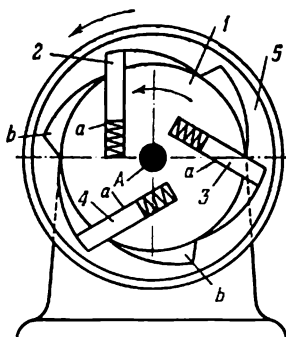
Le disque 6, mobile autour d'un axe fixe A, subit l'action d'un couple créé par la charge Q. Le disque 6 est relié par le ressort 7 à l'élément 1. Le disque 6 comporte le guidage 5 dans lequel se déplace le cliquet 2. Ce cliquet engrène avec la roue à rochet fixe 4. Lorsque l'élément 1 tourne sous l'action du ressort en spirale 7, il désengrène par son ergot a le cliquet 2 de la roue à rochet 4 et repousse le ressort 3. Le disque 6 tourne jusqu'à ce que le cliquet 2 entre en prise avec la dent suivante de la roue fixe 4 sous l'action du ressort 3. Lorsque l'élément 6 commence à tourner, la manivelle 1 s'arrête sous l'action d'un mécanisme non figuré sur le dessin. Lors de la rotation de l'élément 6 le ressort en spirale 7 est remonté, et le processus reprend.



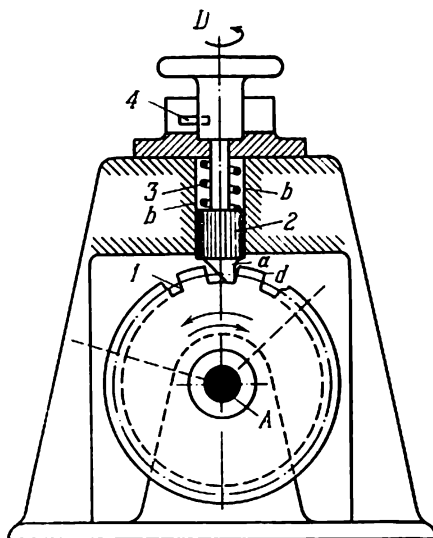
Le disque 5, mobile autour d'un axe fixe *A*, subit l'action d'un couple moteur créé par le poids *Q*. L'une des extrémités du ressort 4 est reliée au disque 5, et l'autre agit sur le cliquet 2 qui s'articule en *B* sur le disque 5. L'élément 1 tourne sous l'action du ressort 4 qui agit par l'intermédiaire du cliquet 2 sur le tenon *a* de cet élément. Le cliquet 2 désengrène de la roue à rochet fixe 3, et le disque 5 se met à tourner sous l'action du poids *Q*. Cette rotation continue jusqu'à ce que le cliquet 2, butant contre le tenon *a* de l'élément 1 bloqué par un dispositif spécial non représenté sur la figure, entre en prise avec la dent suivante de la roue 3. Lorsque le disque 5 tourne, le ressort 4 se tend, et le processus recommence.



L'élément 1, qui comporte le coin *b*, coulisce dans un guidage fixe *a*. Le taquet 3, coulisant dans un guidage fixe *e*, se termine par l'arrêt *f* qui immobilise la pièce *k* de la tige 2. Cette dernière coulisce dans l'élément 1. Le taquet 3 est serré par le ressort 5, et l'élément 1 est repoussé par le ressort 6. Lorsqu'on appuie sur l'élément 1 dans le sens de la flèche, ce dernier agit par le coin *m* sur la partie biseautée *n* du taquet 3 et désengrène l'arrêt de la pièce *k*, libérant ainsi l'élément 2. Le ressort 4 entraîne l'élément 2 et l'élément 1 dans un mouvement dont le sens est indiqué par la flèche.



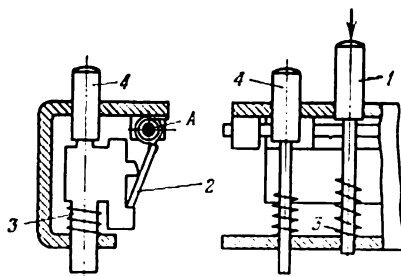
L'élément 1 est mobile autour d'un axe fixe A. Trois cliquets prismatiques 2, 3 et 4, dont les axes de glissement forment entre eux des angles de 120° , coulissent dans les rainures a disposées de façon symétrique. La roue à rochet 5 portant les dents b est montée folle sur un axe A. Les dents b, situées sur la surface intérieure de la roue à rochet 5, engrènent avec les cliquets 2, 3 et 4, permettant ainsi à la roue 5 de tourner seulement dans le sens indiqué par la flèche à une vitesse angulaire égale à celle de l'élément 1. Lorsque l'élément 1 tourne dans le sens opposé, la roue 5 reste en repos.



La roue à rochet 1 tourne autour d'un axe fixe A. Sollicité par le ressort 3, le taquet 2 peut se déplacer d'un mouvement de translation dans un guidage fixe $b - b$. Le taquet 2 comporte la dent a qui engrène avec les dents d de la roue 1. Le doigt 4 fixe la position du taquet 2. En tournant le taquet 2 d'un angle de 180° , on peut limiter le mouvement de la roue 1 dans les deux sens.

431

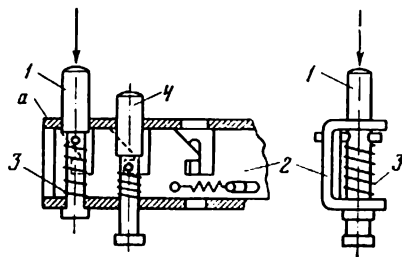
MÉCANISME À ROCHET AVEC QUELQUES ÉLÉMENTS À TAQUET COMMUN

RE
M

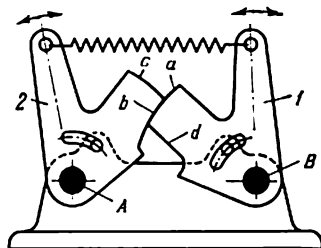
Lorsqu'on appuie sur l'élément 1, le taquet commun 2 tourne autour d'un axe fixe A et libère l'élément 4 qui est ensuite ramené à sa position initiale sous l'action du ressort 3.

432

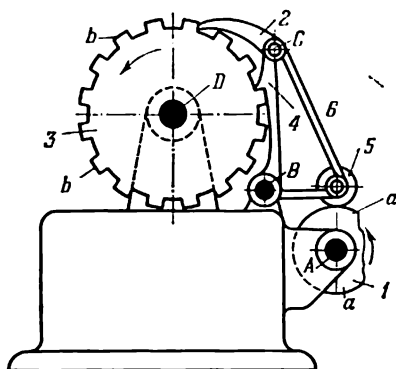
MÉCANISME À ROCHET AVEC QUELQUES ÉLÉMENTS À TAQUET COMMUN

RE
M

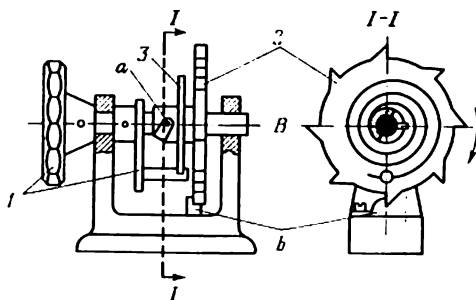
Lorsqu'on appuie sur l'élément 1, le taquet commun 2 se déplace dans le guidage fixe a et libère le deuxième élément 4 qui est ensuite ramené à sa position initiale sous l'action du ressort 3.



Les éléments 1 et 2 tournent autour des axes fixes B et A. Les éléments 1 et 2 jouent alternativement le rôle de l'élément menant ou de l'élément mené. Lorsque l'élément 1 tourne dans le sens des aiguilles d'une montre, l'élément 2 reste immobile jusqu'à ce que le bras a du levier 1 glisse dans la rainure b du levier 2. Lorsque le levier 1 se trouve dans sa position extrême, le bras a sort de l'encoche b, et le levier 2 tourne dans le sens des aiguilles d'une montre, le bras c glissant dans l'encoche d.



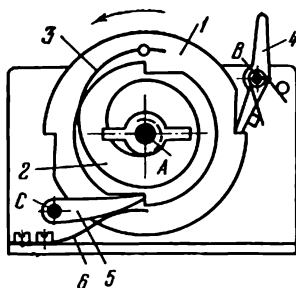
La came 1 tourne autour d'un axe fixe A et, agissant sur le rouleau 5, fait tourner l'élément 6 autour d'un axe fixe B. Le cliquet 2 pivote autour de l'axe C de l'élément 6 et engrène avec les dents b de la roue à rochet 3 qui tourne autour d'un axe fixe D. Lorsque le rouleau 5 roule sur la partie profilée de la came, le cliquet 2 fait tourner la roue à rochet 3 dans le sens indiqué par la flèche. Lorsque le rouleau 5 se déplace sur l'arc a — a de la came 1, l'ergot 4 de l'élément 6 s'oppose à la rotation ultérieure de la roue 3.



Lorsqu'on tourne la manivelle 1 autour d'un axe fixe B, le ressort 3 se comprime et, en même temps, l'ergot a glissant dans la rainure hélicoïdale de la roue à rochet 2 déplace cette dernière le long de son propre axe jusqu'à ce que la dent de la roue 2 quitte la butée b du montant. La roue 2 effectue ensuite un mouvement hélicoïdal et avance d'une dent.

436

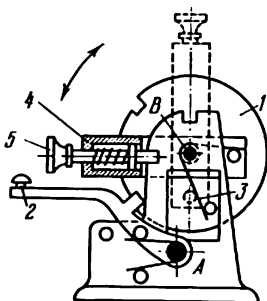
MÉCANISME À ROCHET À ACTION DOUBLE

RE
M

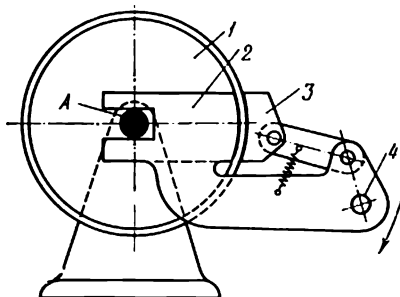
Les disques 1 et 2 sont montés fous sur un axe fixe A. Le cliquet 4 pivote autour d'un axe fixe B. Lorsqu'on débraye le cliquet 4, le disque 1 tourne d'un demi-tour dans le sens de la flèche sous l'action du ressort 3 dont une extrémité est fixée sur le disque 2 et l'autre, sur le disque 1. On ramène le ressort 3 à sa position initiale en tournant le disque 2 d'un demi-tour dans le même sens. On bloque le disque 2 par le cliquet 5, mobile autour d'un axe fixe C et serré par le ressort 6.

437

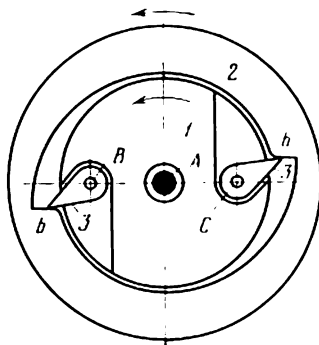
MÉCANISME À ROCHET À ACTION DOUBLE

RE
M

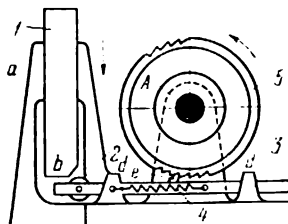
Lorsqu'on débraye le cliquet 2 pivotant autour d'un axe fixe A, le disque 1, mobile autour d'un axe fixe B, tourne sous l'action du ressort 3 dans un sens puis dans l'autre. On serre le ressort 3 en déplaçant l'élément 4, muni d'un goujon coulissant 5, de la position indiquée en trait discontinu à la position représentée sur la figure et vice versa.



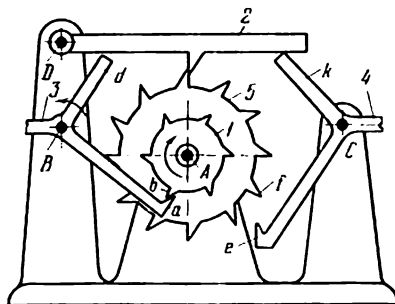
Le rebord en saillie de la jante de la roue 1, mobile autour d'un axe fixe A, peut glisser dans la rainure arquée formée par les éléments 2 et 3. L'élément 2 est muni d'une poignée 4. Lorsqu'on déplace la poignée 4, solidaire de l'élément 2, dans le sens indiqué par la flèche, les éléments 2 et 3 glissent librement sur le rebord de la jante de la roue 1. Lorsqu'on déplace la poignée 4 dans le sens opposé, les éléments 2 et 3 se rapprochent et serrent la jante de la roue 1, grâce à quoi tous les éléments et la roue 1 se déplacent comme un tout entier.



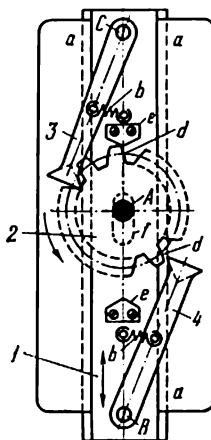
L'élément 1, mobile autour d'un axe fixe A, comporte deux cliquets 3 qui pivotent autour des axes B et C. L'élément 2 qui tourne librement autour de l'axe A possède des saillies b. Lorsque l'élément menant 1 tourne dans le sens indiqué par la flèche, les cliquets 3 butent contre les saillies et entraînent l'élément 2. Lorsque l'élément 1 s'arrête, l'élément 2 peut poursuivre son mouvement par inertie. Si l'élément 1 tourne dans le sens opposé, les cliquets 3 désengrènent et la roue 2 reste immobile.



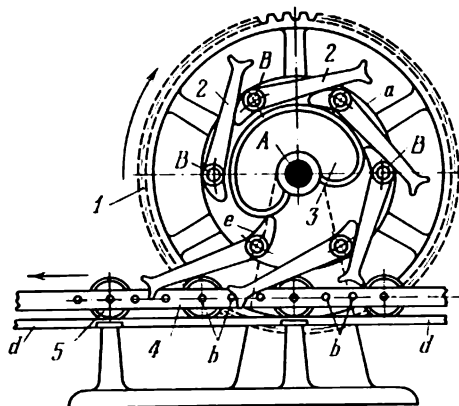
L'élément prismatique 1, animé d'un mouvement de translation dans un guidage fixe *a*, comporte un biseau *b*. Le cliquet à crémaillère 3, qui coulisse dans un guidage *d — d'*, comporte une dent *e* et un galet 2. La roue à rochet 5 est mobile autour d'un axe fixe *A*. Lorsque l'élément menant 1 descend, le biseau *b* agit sur le galet 2 et déplace la crémaillère 3. La crémaillère 3 fait tourner par sa dent *e* la roue 5 d'une dent dans le sens indiqué par la flèche. Lorsque l'élément 1 remonte, le ressort 4 ramène la crémaillère 3 à sa position primitive.



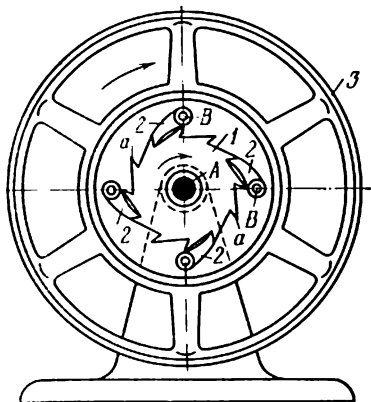
Les roues à rochet 1 et 5, solidaires l'une de l'autre, tournent autour d'un axe fixe A. La rotation des roues 1 et 5 s'effectue à l'aide de deux cliquets 3 et 4, mobiles autour des axes fixes B et C. Le cliquet 3 engrène par son extrémité a avec la dent b de la roue 1 et en même temps il désengrène par son extrémité d le cliquet d'arrêt 2 pivotant autour d'un axe fixe D. Après la rotation de la roue 1 d'un angle quelconque, le cliquet 3 désengrène, et les roues 1 et 5 se trouvent bloquées par le cliquet d'arrêt 2. Sous l'action d'un dispositif de commande particulier, le cliquet 4 engrène ensuite par son extrémité e avec la dent de la roue 5 et désengrène en même temps par son doigt k le cliquet d'arrêt 2. En agissant alternativement sur les roues 1 et 5 au moyen des cliquets 3 et 4, on obtient un mouvement intermittent des roues 1 et 5 dans le sens indiqué par la flèche.



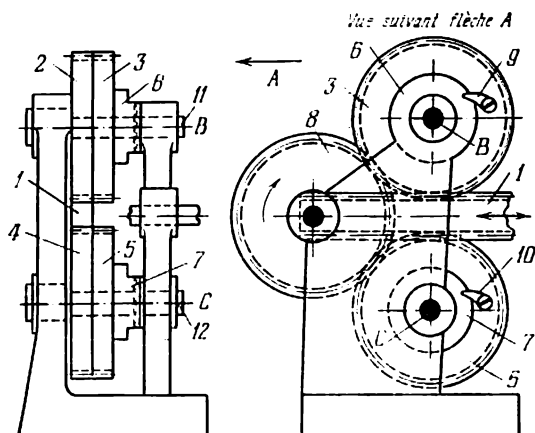
L'élément 1 est animé d'un mouvement de translation dans un guidage fixe $a - a$. Les cliquets 3 et 4 tournent autour des axes C et B de l'élément 1 et engrenent alternativement avec les dents d de la roue 2, mobile autour d'un axe fixe A . Les cliquets 3 et 4 sont munis de ressorts b . Lorsque l'élément 1 se déplace d'un mouvement alternatif, il glisse par sa rainure f sur la douille de la roue 2 et fait tourner cette dernière par les cliquets 3 et 4 dans le sens indiqué par la flèche. Les cliquets 3 et 4 empêchent la roue 2 de tourner dans le sens inverse. Les pièces e servent à immobiliser la roue 2 au moment où les cliquets 3 et 4 engrenent et désengrenent.



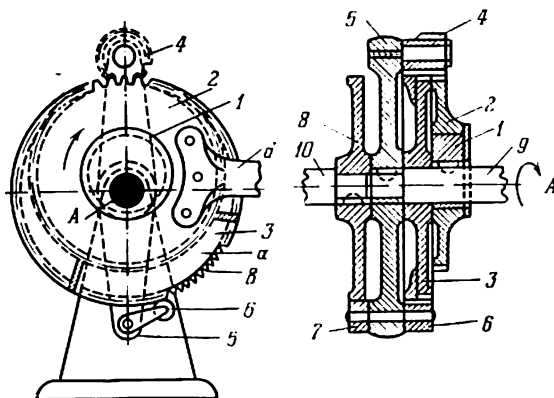
La roue 1 tourne autour d'un axe fixe A. Le disque a est rendu solidaire de la couronne de la roue. Les cliquets 2, qui pivotent librement autour des axes B, engrenent périodiquement avec les fuseaux b de la crémaillère 4. Cette dernière roule par ses rouleaux 5 sur un plan fixe d. Lorsque la roue 1 tourne, les cliquets 2 déplacent la crémaillère 4. La came fixe 3, sur le profil de laquelle glissent les queues e des cliquets 2, a pour but de désengrener les cliquets 2 et de les empêcher de se renverser.



La roue à rochet 1, mobile autour d'un axe fixe A, engrène par ses dents a avec quatre cliquets 2. Tous ces cliquets pivotent autour des axes B de la roue 3 qui tourne librement autour de l'axe A. Le nombre de cliquets qui se trouvent simultanément en prise est au moins deux. Lorsque la roue 1 est en mouvement, la roue 3 tourne à la même vitesse angulaire.



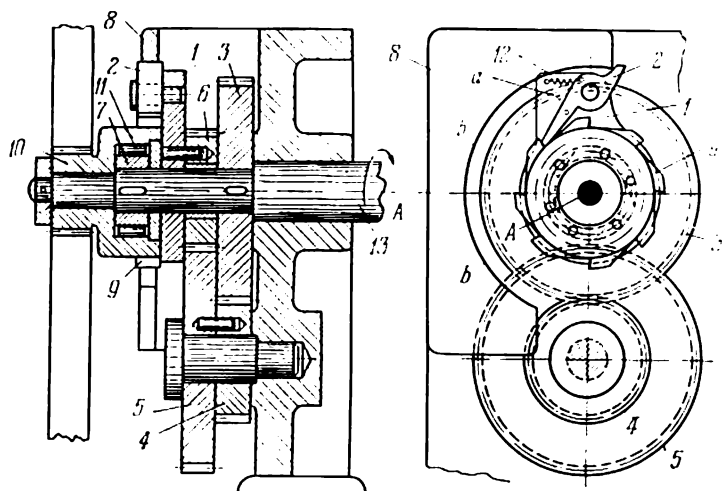
Les roues dentées 2 et 4 et les roues à rochet 6 et 7 sont calées sur les arbres 11 et 12 qui tournent autour des axes fixes B et C. Les cliquets 9 et 10 sont fixés sur les roues dentées 3 et 5 qui tournent librement sur les arbres 11 et 12. La rotation des roues dentées 2 et 4, due au mouvement alternatif de la crémaillère 1, est transmise par l'intermédiaire des roues à rochet 6 et 7 et des cliquets 9 et 10 aux roues dentées 3 et 5 de manière à les faire tourner alternativement dans un sens ou dans l'autre selon la direction du mouvement de la crémaillère. La roue dentée menée 8, qui est en prise avec les roues dentées 3 et 5, tourne de façon continue dans le sens indiqué par la flèche.



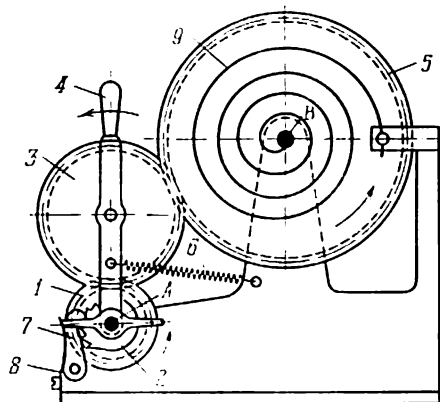
L'excentrique rond 1 fixé sur l'arbre menant 9 tourne autour d'un axe fixe A. La roue dentée 2 portant 98 dents est montée folle sur l'excentrique 1 mais ne peut tourner étant bloquée par la manivelle d. La roue dentée 3 portant 120 dents tourne librement sur l'arbre 9. Les roues dentées 2 et 3 sont en prise avec le satellite 4 monté sur le levier 5 qui est fixé sur l'arbre menant 9. Lorsque l'arbre menant 9 est en mouvement, la roue dentée 3 est mise en mouvement par le satellite 4. Le rapport de transmission est égal à

$$i_{13} = \frac{5}{4}.$$

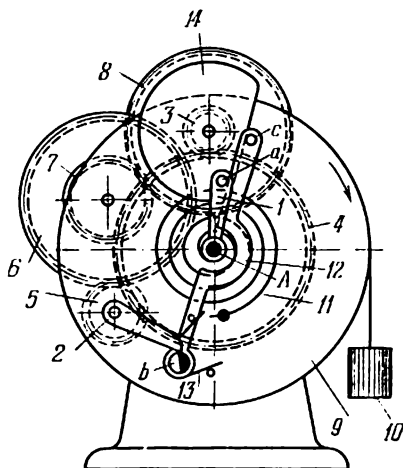
Le levier 5 porte à son autre extrémité le rouleau 6 qui roule sur la couronne de la roue dentée 2 ayant la forme d'un cercle comportant une petite cavité a. La dimension de la cavité est choisie de telle sorte que lorsque le rouleau 6 roule sur cette cavité le cliquet 7, monté sur le même axe que le rouleau, entre en prise avec la roue à rochet 8, fixée sur l'arbre 10, et la fait tourner de $1/12$ de tour. Ainsi lorsque l'arbre menant 9 tourne de $1/4$ de tour, l'arbre mené 10 effectue $1/12$ de tour dans le même sens.



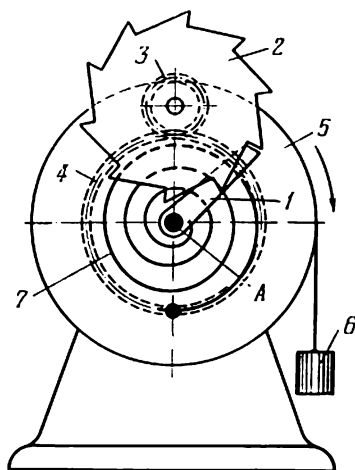
L'élément 1 sur lequel s'articule le cliquet 2 reçoit un mouvement de rotation depuis un engrenage constitué des roues 3, 4, 5. La vitesse angulaire de rotation de l'élément 1 est supérieure à celle de l'entraîneur 7 monté rigidement sur l'arbre 13 tournant autour d'un axe fixe A. Le cliquet 2 subit périodiquement l'action du profil $b-b$ de la came 8 fixée sur le support. Lorsque la came 8 entre en contact avec le profil $b-b$, le cliquet 2 désengrène de la roue à rochet 9 et imprime à la roue dentée 10 un mouvement au moyen d'un manchon de marche libre constitué des éléments 7 et 11. Dès que le cliquet 2 désengrène de la came 8, il entre aussitôt en prise avec la roue à rochet 9 sous l'action du ressort 12, imprimant à la roue 10 une vitesse considérable. On obtient un nombre constant de tours de la roue 10 en faisant désengrener le cliquet 2 de la roue à rochet 9 et en le fixant au moyen d'un arrêttoir qu'on introduit dans le trou a.



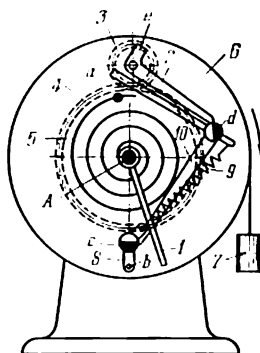
Lorsque la roue menante 1 rigidement liée au rochet 2 tourne autour d'un axe fixe A dans le sens de la flèche, la roue menée 5 tourne autour d'un axe fixe B dans le sens indiqué sur la figure. Les roues sont toujours en prise grâce au levier 4, sur lequel sont fixés la roue 3 et le ressort 6. La roue à cliquet 2 est maintenue dans la position requise à l'aide du cliquet 7 et du ressort 8. Lorsqu'on tourne le levier 4 dans le sens indiqué sur le dessin, le ressort 9 remet la roue 5 à sa position initiale.



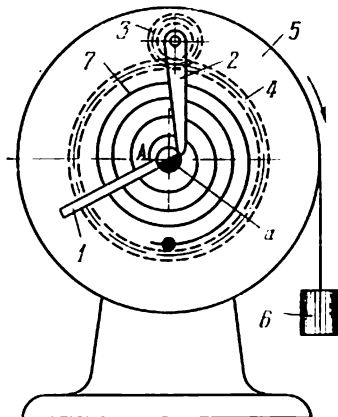
Le disque 9, mobile autour d'un axe fixe A, subit l'action du couple moteur créé par le poids 10. Le cliquet 2 est relié à l'aide des roues dentées 5, 6, 7 et 8 à la roue 3 qui est en prise avec la roue fixe 4. Le disque 9 joue le rôle de l'entraîneur dans l'engrenage planétaire constitué des roues 3 et 4. Le ressort 11 est fixé à la roue 4 et à l'élément 1 comportant le goujon a qui est en contact avec l'élément 12 portant sur son axe une surface de friction b. Sous l'action du ressort 13, l'élément 12 touche par son goujon c l'élément 14 rendu solidaire de la roue dentée 3. Sollicité par le ressort en spirale 11, l'élément 1 tourne et imprime le mouvement à l'élément 12, libérant ainsi le cliquet 2. Le disque 9 est entraîné en rotation à l'aide du poids 10. La roue 3 roule sur la roue fixe 4 et effectue un tour autour de son axe, après quoi le cliquet 2 empêche de nouveau le mouvement du mécanisme. Le ressort 11 se tend alors, car lorsque le disque 9 se met à tourner l'élément 1 s'immobilise à l'aide d'un mécanisme qui n'est pas représenté sur la figure.



Le disque 5, mobile autour d'un axe fixe 4, subit l'action du couple moteur créé par le poids 6. La roue à rochet 2 est rendue solidaire de la roue dentée 3 qui est en prise avec la roue fixe 4. Le disque 5 joue le rôle de l'entraîneur dans l'engrenage planétaire constitué des roues 3 et 4. Le ressort 7 est fixé par une extrémité au disque 5 et par l'autre à l'élément 1. Sous l'action du ressort 7, l'élément 1 tourne et désengrène de la roue à rochet 2. Le disque 5 est mis en mouvement de rotation à l'aide du poids 6. La roue 3 roule sur la roue fixe 4 jusqu'à ce que la roue à rochet 2 entre en prise avec l'élément 1 qui est préalablement bloqué à l'aide d'un dispositif non représenté sur la figure. En même temps le ressort 7 se tend.



Le disque 6, mobile autour d'un axe fixe A, subit l'action du couple moteur créé par le poids 7. Le cliquet 2 est rigidement lié à la roue 3 qui est en prise avec la roue fixe 4. Le ressort 5 est fixé par une extrémité à l'élément 1 et par l'autre au disque 6 qui joue le rôle de l'entraîneur dans l'engrenage planétaire constitué des roues 3 et 4. Sollicité par le ressort en spirale 5, l'élément 1 reçoit un mouvement de rotation et agit sur le goujon b de l'élément 8, en faisant tourner ce dernier. Sous l'action du ressort 9, l'élément 10 tourne d'un petit angle, glisse et sort de la surface de friction c de l'élément 8. La surface de friction d tourne en même temps que l'élément 10, libérant le cliquet 2. Le disque 6 reçoit un mouvement de rotation et la roue 3, roulant sur la roue fixe 4, effectue un tour. Le bras e du cliquet 2, agissant sur le bras a de l'élément 10, entraîne ce dernier en rotation de sorte qu'il vienne à nouveau en contact avec la surface de friction de l'élément 8 préalablement bloqué à l'aide d'un dispositif non représenté sur la figure. Lorsque le disque 6 tourne, le ressort 5 subit une tension. Après un tour de la roue 3, le cliquet 2 effectue à nouveau le freinage du mouvement du mécanisme.



Le disque 5, mobile autour d'un axe fixe A, subit l'action du couple moteur créé par le poids 6. Le cliquet 2 est solidaire de la roue dentée 3 qui est en prise avec la roue fixe 4. Le disque 5 joue le rôle de l'entraîneur dans l'engrenage planétaire composé des roues 3 et 4. L'élément 1 possède une surface de friction *a* au milieu de son diamètre. Le ressort 7 est fixé par une extrémité au disque 5 et par l'autre à l'élément 1. Sollicité par le ressort 7, l'élément 1 reçoit un mouvement de rotation. Le cliquet 2 n'est donc plus en contact avec la surface de friction, et le disque 5 se met à tourner. La roue dentée 3 roule sur la roue fixe 4 jusqu'à ce que le cliquet 2 se met en contact avec la surface de friction et arrête le mouvement. Le ressort 7 se tend simultanément, car l'élément 1 est bloqué par un mécanisme non représenté sur la figure.

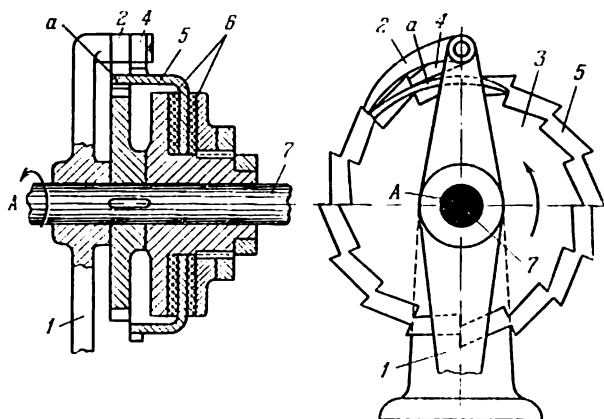
4. Mécanismes avec arrêts (453-457)

453

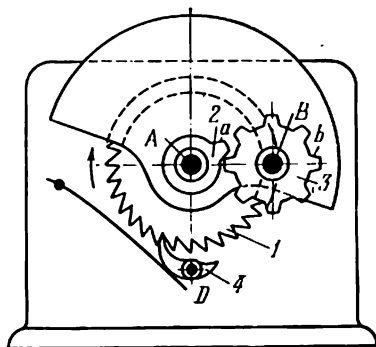
MÉCANISME JUMELÉ À ROCHET AVEC
ARBRE MENÉ EFFECTUANT DES ARRÊTS

RE

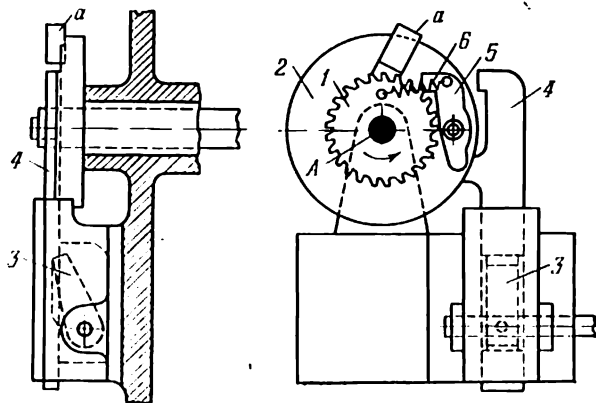
Ar



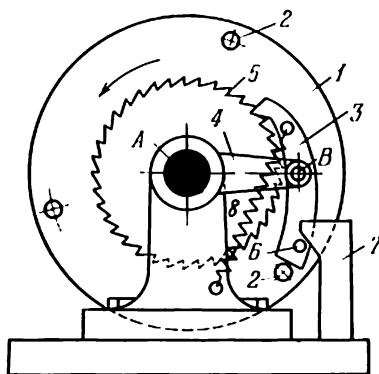
Le levier 1, oscillant autour d'un axe fixe A, imprime le mouvement de rotation autour de ce même axe à l'arbre 7 et au cliquet 2 qui bute contre les dents de la roue à rochet 3 calée sur l'arbre 7. Le cliquet 4 articulé sur le levier 1 fait tourner la roue à rochet 5 placée entre les disques de friction 6. La saillie a de la roue 5 désengrène le cliquet 2 de la roue 3 si bien que l'arbre 7 s'immobilise. L'arbre 7 reste en repos tant que la saillie a ne dégage pas la dent suivante de la roue à rochet 3, avec laquelle doit engrener le cliquet 2.



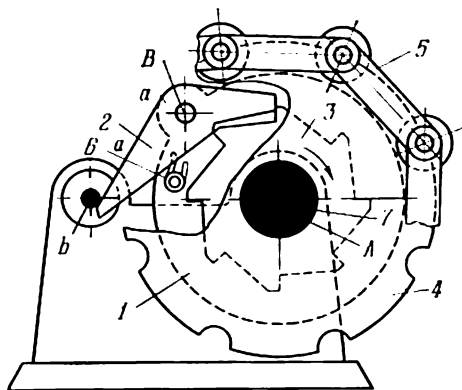
La roue à rochet 1 est mobile autour d'un axe fixe A. Lorsque la roue à rochet 1 tourne dans le sens indiqué par la flèche, la roue 2, munie d'une dent *a* et rigidement reliée à la roue à rochet 1, entraîne en rotation autour d'un axe fixe B la roue 3 comportant huit dents. Lorsque la roue dentée 1 fait huit tours, la roue dentée 3 effectue un seul tour avec huit périodes de mouvement et huit périodes de repos. Le cliquet 4, mobile autour d'un axe fixe D, empêche la rotation de la roue à rochet 1 dans le sens inverse de la flèche.



Le mécanisme est destiné à transformer le mouvement rotatif de la roue à rochet 1, mobile autour d'un axe fixe A, en mouvement rotatif du disque 2 autour du même axe avec des arrêts, dont la durée dépend de la rotation du cliquet 3 qui maintient la tige 4 dans la position supérieure. En s'abaissant sous l'effet de la pesanteur, la tige 4 libère le cliquet 5 pivotant autour d'un axe fixé sur le disque 2. Le cliquet 5, subissant l'action du ressort 6, vient en prise avec la roue à rochet 1. Le disque 2 commence alors à tourner en même temps que la roue à rochet 1. La saillie a du disque 2 déplace la tige 4 vers le haut.

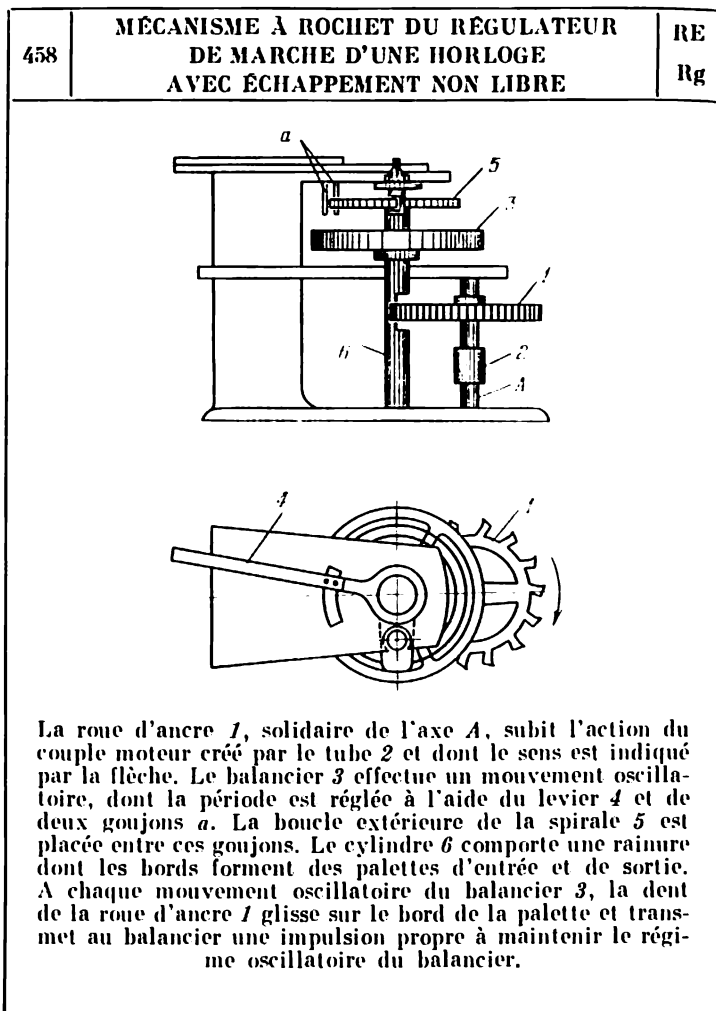


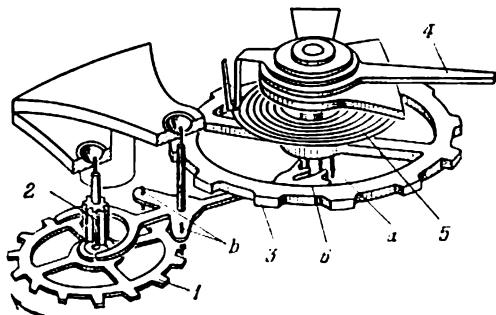
Le disque 1, mobile autour d'un axe fixe A, comporte des fuseaux 2 qui butent contre la queue du cliquet 3 et amènent ce dernier en prise avec la roue à rochet 5 pivotant autour d'un axe A, assurant ainsi la rotation de la roue à cliquet 5. Le fuseau 6, porté par le cliquet 3, bute contre le biseau du montant fixe 7 et glisse sur lui. Le cliquet 3 tourne alors autour d'un axe B et désengrène de la roue à rochet 5. Le cliquet 3 revient à sa position initiale à l'aide du ressort 8.



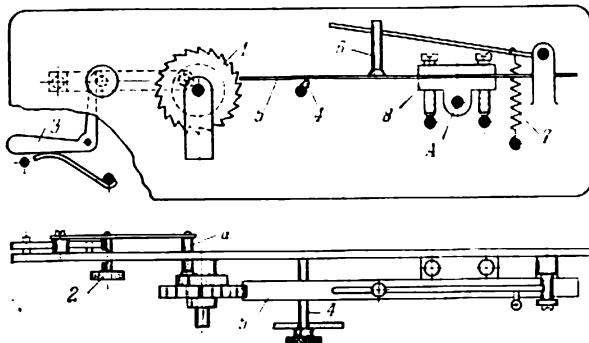
La douille 1 est emmanchée sur l'arbre menant 7 mobile autour d'un axe fixe A ; en un point B de cette douille s'articule le cliquet 2. Amené par le ressort 6 en prise avec la roue à rochet 3, le cliquet 2 commande la rotation du pignon 4, solidaire de cette roue à rochet, qui imprime le mouvement à la chaîne à rouleaux 5. Au moment où le cliquet 2 touche le doigt fixe b, ce cliquet désengrène de la roue à rochet 3, et le pignon 4 ainsi que la chaîne 5 restent immobiles tant que le doigt b glisse sur le côté a — a du cliquet 2. Le mécanisme trouve son application dans les convoyeurs. Les arrêts périodiques de la chaîne sont utilisés pour charger le convoyeur.

5. Mécanismes des régulateurs (458-464)

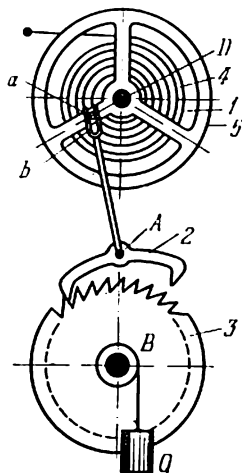




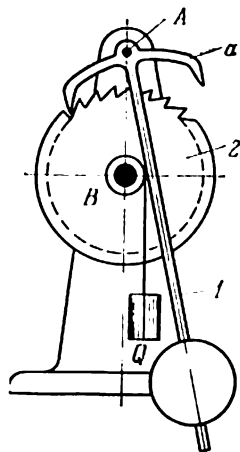
La roue d'ancre 1 subit l'action du couple moteur créé par le tube 2 et dont le sens est indiqué par la flèche. Le balancier 3 effectue un mouvement oscillatoire dont la période peut être réglée dans certaines limites à l'aide du levier 4 agissant sur le ressort en spirale 5. A chaque mouvement oscillatoire du balancier 3, le goujon d'impulsion *a* fixé sur le rai du balancier s'engage dans la rainure de la fourche 6 et déplace celle-ci d'une position limite à l'autre. Les goujons *b* de l'ancre 6 laissent tourner la roue d'ancre 1 de la moitié du pas. Lorsque la roue d'ancre 1 tourne de la moitié du pas, la dent de la roue repousse le goujon *b*, imprimant ainsi au balancier 3 une impulsion propre à maintenir le mouvement oscillatoire du balancier 3.



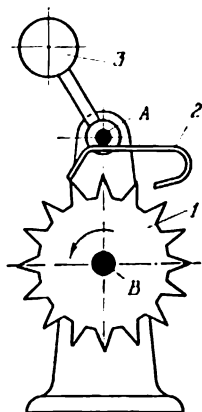
La roue à rochet 1 est mise en mouvement par un mécanisme qui n'est pas représenté sur la figure. Lorsqu'on appuie sur le bouton 2, le goujon a qui freine la roue 1 libère cette dernière, tandis que le levier 3 qui pénètre dans la rainure de l'axe du bouton 2 maintient le goujon a écarté. La roue à rochet 1 se met alors à tourner à une vitesse croissante. Après une courte accélération de la roue 1 dont la vitesse ne dépasse toutefois pas la vitesse normale pour l'appareil considéré, la plaque élastique 5 est dégagée par la rotation du levier 4. Lorsque la plaque 5 entre en contact avec les dents de la roue à rochet 1, elle commence à osciller. Lorsque la plaque 5 s'écarte vers le bas, elle frappe la dent et freine la roue 1, tout en recevant une impulsion motrice. Pendant que la plaque 5 fait une oscillation complète, la roue à rochet 1 tourne d'une dent. Le réglage de la période et de l'amplitude d'oscillation de la plaque 5 est réalisé au moyen du damper 6 dont l'extrémité porte un coussinet en feutre. Sollicité par le ressort 7, le damper est serré contre la plaque 5 dont il modifie la longueur normale. En faisant tourner l'étau 8 par rapport à l'axe fixe A, on modifie l'angle de fixation de la plaque 5.



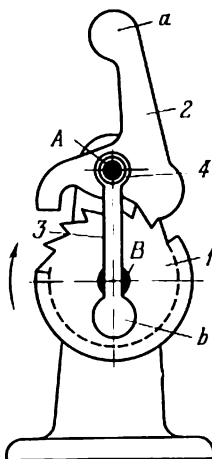
Pendant l'oscillation de la fourche à ancre 2 autour d'un axe fixe *A* due à l'action du ressort en spirale 1, la roue à rochet 3 mise en mouvement par un couple moteur créé par le poids *Q* tourne autour d'un axe fixe *B* marquant des arrêts périodiques. La fourche à ancre 2 est mise en mouvement par le ressort en spirale 4 qui imprime la rotation au volant 5 mobile autour d'un axe fixe *D* et muni d'un doigt *a* glissant dans une fourche *b*.



Lorsque le pendule *1* et la fourche à ancre *a* qui en est solidaire oscillent autour d'un axe fixe *A*, la roue à rochet *2* qui subit l'action du couple moteur créé par le poids *Q* tourne autour d'un axe fixe *B* avec des arrêts périodiques.



La roue à rochet 1 effectue un mouvement de rotation autour d'un axe fixe B dans le sens indiqué par la flèche et la fourche à ancre 2 reçoit un mouvement d'oscillation autour d'un axe fixe A, ce mouvement étant utilisé également pour la mise en action du marteau 3 de la sonnette, solidaire de la fourche 2.



Lorsque la roue à rochet 1 tourne autour d'un axe fixe B dans le sens indiqué par la flèche, la fourche à ancre 2 effectue un mouvement d'oscillation autour d'un axe fixe A.

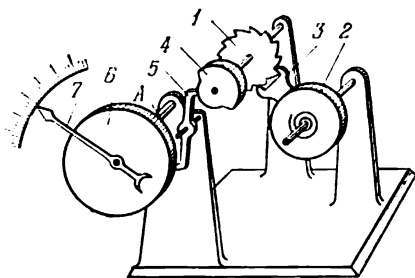
Les poids a et b maintiennent la fourche 2 en équilibre.

6. Mécanismes des dispositifs de mesure et d'essai (465)

465

MÉCANISME À ROCHET DU TACHYMÈTRE CHRONOMÉTRIQUE

RE
ME



Le tachymètre chronométrique destiné à mesurer le nombre de tours en trois secondes de l'arbre à essayer comporte un élément du mécanisme d'horlogerie. Lorsqu'on appuie sur un bouton (non représenté sur la figure), la roue à rochet 1 se met à tourner. La vitesse de rotation de la roue 1 peut être réglée par le balancier 2 comportant le cliquet 3. L'axe de la roue 1 porte la came 4 qui, après une rotation d'un certain angle, libère le cliquet 5 pour trois secondes de sorte que la roue à rochet 6 et l'aiguille 7, reliées à l'arbre à essayer par l'arbre A, effectuent pendant ces trois secondes une rotation d'un angle correspondant. L'échelle du tachymètre est graduée de manière que l'aiguille 7 indique le nombre de tours pour une minute et non pour trois secondes.

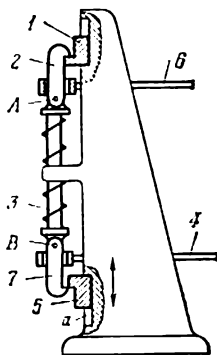
7. Mécanismes d'arrêt, de blocage et de verrouillage (466-475)

| | | |
|--|---|----------|
| 466 | MÉCANISME A ROCHET AVEC ARRÊTOIRS À BILLES | RE AV |
| <div data-bbox="379 383 671 764" data-label="Image"> </div> <p data-bbox="174 788 860 883">La rotation de la monture <i>I</i> autour d'un axe fixe <i>A</i> n'est possible que dans le sens indiqué par la flèche. Lorsque la monture tourne en sens inverse, ces billes se coincent dans les encoches cunéiformes <i>a</i>.</p> | | |

468

MÉCANISME À ROCHET DE L'ARRÊTOIR DOUBLE

RE
AV

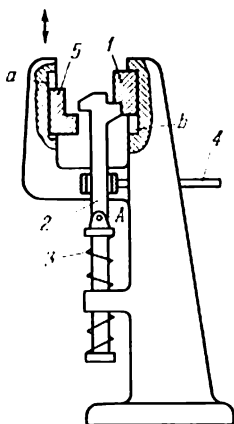


L'élément 1 est maintenu dans la position représentée sur la figure par le cliquet 2 et par le ressort 3. L'élément 5 effectue un mouvement de translation dans un guidage fixe *a*. En faisant tourner les cliquets 2 et 7 autour des axes *A* et *B*, on peut libérer ou bloquer séparément chacun des éléments 1 et 5 à l'aide des leviers 6 et 4.

469

MÉCANISME À ROCHET DE L'ARRÊTOIR DOUBLE

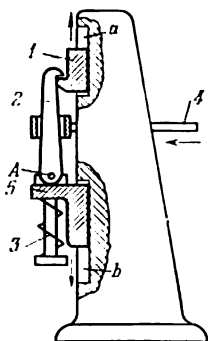
RE
AV



L'élément 1 est maintenu dans la position représentée sur la figure par le cliquet 2 et par le ressort 3. L'élément 5 effectue un mouvement de translation dans un guidage fixe *a*. Lorsqu'on fait tourner le cliquet 2 autour d'un axe *A* à l'aide du levier 4, l'élément 5 s'arrête, tandis que l'élément 1 reçoit un mouvement de translation dans un guidage *b*.

470

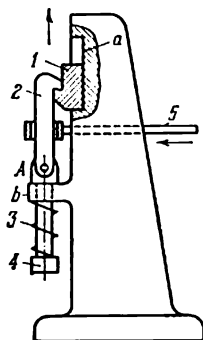
MÉCANISME À ROCHET DE L'ARRÊTOIR DOUBLE

RE
AV

Les éléments 1 et 5 sont maintenus dans la position représentée sur la figure par le cliquet 2 et par le ressort 3. Lorsqu'on fait tourner le cliquet 2 autour d'un axe A à l'aide du levier 4, les éléments 1 et 5 se déplacent dans les guidages fixes a et b dans les sens indiqués par les flèches.

471

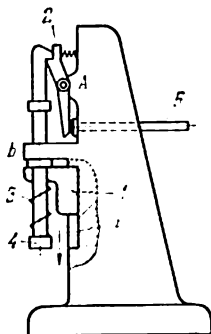
MÉCANISME À ROCHET DE L'ARRÊTOIR

RE
AV

L'élément 1 est animé d'un mouvement de translation dans un guidage fixe a. Le ressort 3 se tend au moment où l'élément 1 se déplace dans le sens indiqué par la flèche. Lorsqu'on fait tourner le cliquet 2 autour d'un axe A à l'aide de l'élément 5, le ressort 3 ramène à l'état initial l'élément 4 animé d'un mouvement de translation dans un guidage fixe b.

472

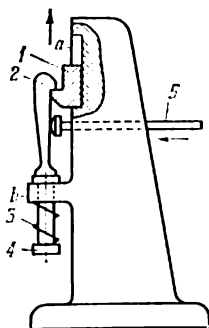
MÉCANISME À ROCHET DE L'ARRÊTOIR

RE
AV

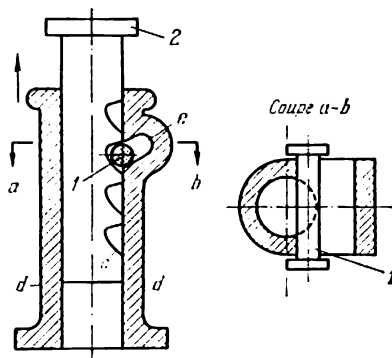
L'élément 1 se déplace d'un mouvement de translation dans un guidage fixe *a*. Le ressort 3 se comprime au moment où l'élément 1 se déplace dans le sens indiqué par la flèche. Lorsqu'on fait tourner le cliquet 2 autour d'un axe *A* à l'aide de l'élément 5, le ressort 3 déplace l'élément 4 animé d'un mouvement de translation de même sens dans un guidage fixe *b*.

473

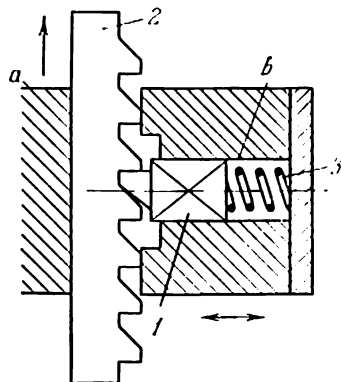
MÉCANISME À ROCHET DE L'ARRÊTOIR

RE
AV

L'élément 1 effectue un mouvement de translation dans un guidage fixe *a*. Le ressort 3 se comprime au moment où l'élément 1 se déplace dans le sens indiqué par la flèche. Lorsque le cliquet 2, se présentant sous la forme d'un ressort plat, est dégagé par l'élément 5, le ressort 3 ramène à l'état initial l'élément 4 animé d'un mouvement de translation dans un guidage fixe *b*.



La crémaillère ronde 2 couissant dans un guidage fixe $d - d$ comporte des encoches c qui reçoivent l'arrêt cylindrique 1. Le montant du mécanisme possède une encoche e . Le mouvement de translation de la crémaillère 2 n'est possible que dans le sens indiqué par la flèche. Lorsque la crémaillère 2 se déplace dans le sens inverse de la flèche, l'arrêt 1 coince la crémaillère.



La crémaillère à rochet 2 glisse dans un guidage fixe *a*. L'arrêt prismatic 1 glisse dans un guidage fixe *b*. L'arrêt 1, sollicité par le ressort 3, est serré en permanence contre les dents de la crémaillère à rochet 2 ne lui permettant de se déplacer que dans le sens indiqué par la flèche.

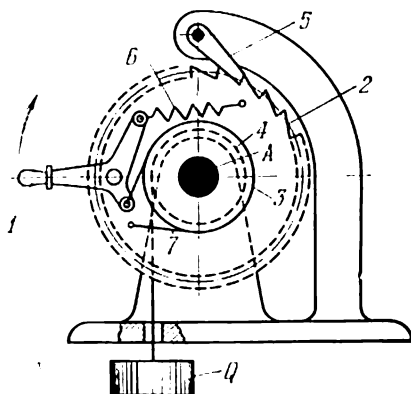
8. Mécanismes des accouplements (476-477)

476

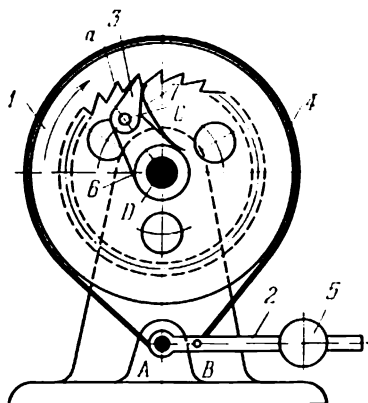
MÉCANISME À ROCHET DU FREIN A BANDE POUR LEVAGE DE CHARGE

RE

Ac



Lorsqu'on tourne la poignée 1 dans le sens indiqué par la flèche, la bande de frein 7 est serrée, et la roue à rochet 2, la jante de frein 3 et le tambour 4 tournent comme un seul bloc autour d'un axe fixe A, assurant le levage de la charge Q. Le cliquet 5 laisse tourner librement la roue à rochet 2. Le ressort 6 assure la tension initiale de la bande. Lorsqu'on abaisse la poignée 1, le frein est serré sous l'action du poids et le cliquet 5 empêche ce dernier de descendre.



La poulie 1, comportant un cliquet engrenant intérieurement et mobile autour d'un axe fixe D, est embrassée par une bande de frein 4 dont l'extrémité A est fixée au montant du mécanisme et l'extrémité B au levier 2 pivotant autour d'un axe fixe A. Le cliquet 3 tourne autour de l'axe C de la manivelle 6, laissant tourner librement la roue à rochet 1. L'effort de freinage est réglé par le déplacement du poids 5 sur le levier 2 tournant autour de l'axe A. La rotation de la poulie 1 en sens inverse est bloquée par le levier 6 portant le cliquet 3 serré par le ressort 7.

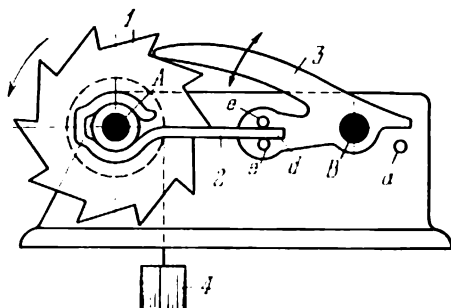
9. Mécanismes des appareils de levage (478-487)

478

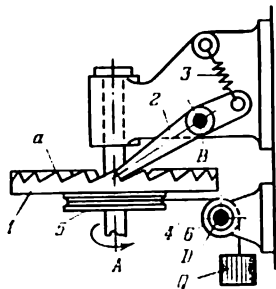
MÉCANISME À ROCHET AVEC CLIQUET
À RESSORT POUR LEVAGE DE CHARGE

RE

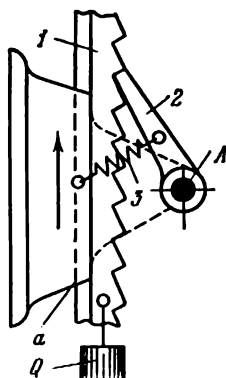
AL



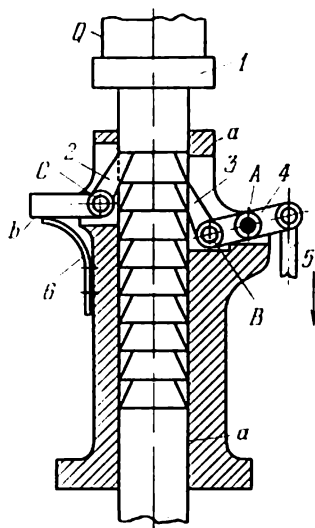
La roue à rochet 1 qui subit l'action du couple moteur créé par le poids 4 tourne autour d'un axe fixe A. Le cliquet 3 est animé d'un mouvement de rotation autour d'un axe fixe B. Le ressort plat 2 embrasse le moyeu de la roue 1, glissant par son extrémité d entre les doigts c du cliquet 3. Quand la roue 1 tourne, le ressort 2 tend à tourner le cliquet jusqu'à la butée a, amortissant ainsi les chocs entre le cliquet et les dents de la roue 1.



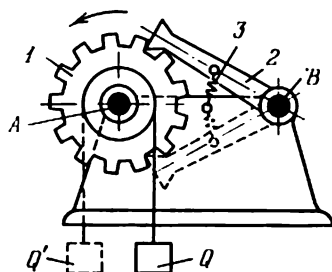
La roue à rochet *1* portant les dents *a* situées sur sa surface frontale et mobile autour d'un axe fixe *A* subit l'action d'un couple extérieur nécessaire au levage de la charge *Q*. La charge *Q* est suspendue par un élément flexible *4* passé autour de la poulie *6* qui tourne autour d'un axe fixe *D*. L'élément *4* s'enroule sur la poulie *5* rendue solidaire de la roue *1*. La marche arrière de la roue *1* est empêchée par le cliquet *2* tournant autour d'un axe fixe *B*. Le ressort *3* assure l'effort de contact entre le cliquet *2* et la roue *1*.



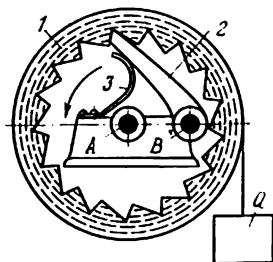
La crémaillère à rochet 1 glissant dans un guidage fixe *a* subit l'action d'une force extérieure nécessaire au levage de la charge *Q*. Lorsque le cliquet 2, mobile autour d'un axe fixe *A*, engrène avec les dents de la crémaillère 1, cette dernière ne peut se mouvoir que vers le haut. Le ressort 3 assure l'effort de contact entre le cliquet 2 et la crémaillère 1.



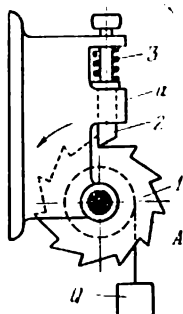
La crémaillère ronde 1 glisse dans un guidage fixe a. Le levage de la charge Q est réalisé à l'aide de la tige 5 qui met le levier 4 en mouvement d'oscillation autour d'un axe fixe A. Le levier 4 constitue un couple de rotation B avec le cliquet 3 qui, en butant contre les dents rondes de la crémaillère 1, déplace cette dernière vers le haut. La crémaillère 1 ne peut faire marche arrière en raison du cliquet 2, pivotant autour d'un axe C, dont la queue b est serrée par le ressort 6.



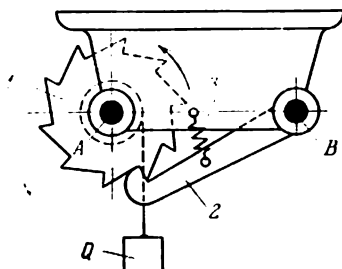
La roue à rochet *1*, mobile autour d'un axe fixe *A*, subit l'action d'un couple extérieur nécessaire au levage de la charge *Q*. Lorsque le cliquet *2*, mobile autour d'un axe fixe *B*, engrène avec les dents de la roue *1*, cette dernière ne peut tourner que dans le sens indiqué par la flèche. Le ressort *3* assure l'effort de contact entre le cliquet *2* et la roue *1*. Si l'on fait passer la charge *Q* à la position *Q'*, le cliquet *2* doit prendre la position représentée par un trait discontinu.



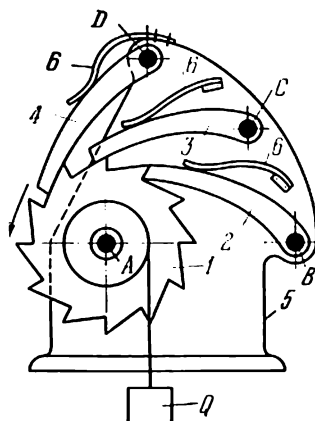
La roue à rochet 1, mobile autour d'un axe fixe A, subit l'action d'un couple extérieur nécessaire au levage de la charge Q . Lorsque le cliquet 2, mobile autour d'un axe fixe B, engrène avec les dents de la roue 1 situées sur sa surface intérieure, la rotation de cette dernière n'est possible que dans le sens indiqué par la flèche. Le ressort 3 assure l'effort de contact entre le cliquet 2 et la roue 1.



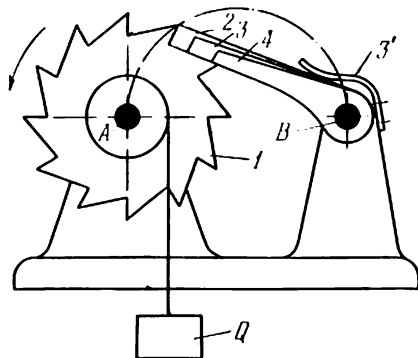
La roue à rochet *1*, mobile autour d'un axe fixe *A*, subit l'action d'un couple extérieur nécessaire au levage de la charge *Q*. Lorsque le cliquet *2*, mobile autour d'un axe fixe *B*, engrène avec les dents de la roue *1* situées sur sa surface intérieure, la rotation de cette dernière n'est possible que dans le sens indiqué par la flèche. Le ressort *3* assure l'effort de contact entre le cliquet *2* et la roue *1*.



La roue à rochet *1*, mobile autour d'un axe fixe *A*, subit l'action d'un couple extérieur nécessaire au levage de la charge *Q*. Lorsque le cliquet *2*, mobile autour d'un axe fixe *B*, engrène avec les dents de la roue *1*, la rotation de cette dernière n'est possible que dans le sens indiqué par la flèche. Le ressort *3* assure l'effort de contact entre le cliquet *2* et la roue *1*.

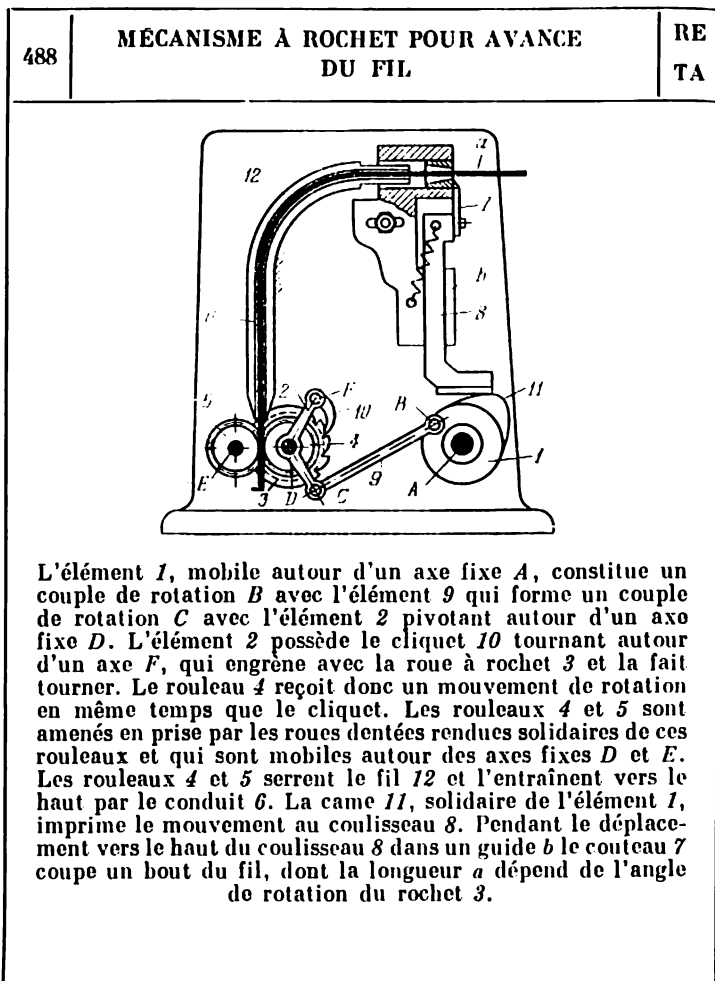


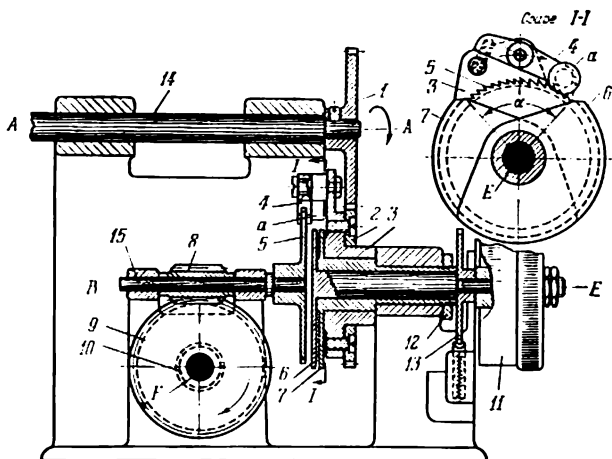
La roue à rochet 1, soumise à l'action d'un couple constant créé par la charge Q , tourne autour d'un axe fixe A dans le sens indiqué par la flèche, assurant le levage de la charge Q . Les cliquets 2, 3 et 4 tournent autour des axes fixes B , C et D du montant 5. Les ressorts 6 assurent l'effort de contact entre les cliquets et la roue à rochet 1. Les longueurs des parties où les cliquets 2, 3 et 4 sont en contact avec les dents de la roue à rochet 1 se différencient de $1/3$ du pas d'engrenage. La présence de trois cliquets revient à tripler le nombre de dents de la roue à rochet 1. La rotation de la roue 1 n'est possible que dans le sens indiqué par la flèche.



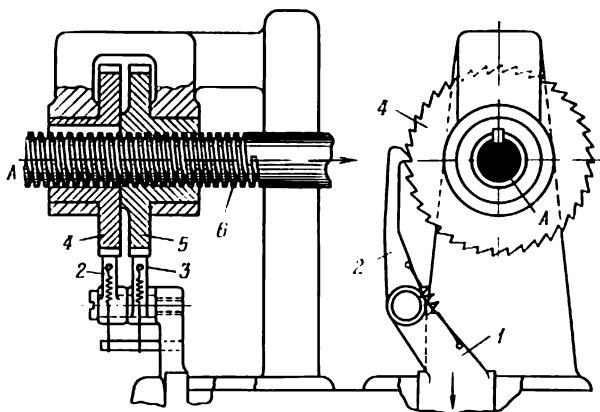
La roue à rochet *1*, soumise à l'action d'un couple constant créé par la charge *Q*, tourne autour d'un axe fixe *A* dans le sens indiqué par la flèche, assurant le levage de la charge *Q*. Les cliquets *2*, *3* et *4* tournent autour d'un axe fixe commun *B*. Le ressort *3'* assure l'effort de contact entre les cliquets et la roue *1*. Les longueurs des parties où les cliquets *2*, *3* et *4* sont en contact avec les dents de la roue à rochet *1* se différent de $\frac{1}{3}$ du pas d'engrenage. La présence de trois cliquets revient à tripler le nombre de dents de la roue à rochet *1*. La rotation de la roue *1* n'est possible que dans le sens indiqué par la flèche.

10. Mécanismes de triage, d'avance et d'alimentation (488-492)

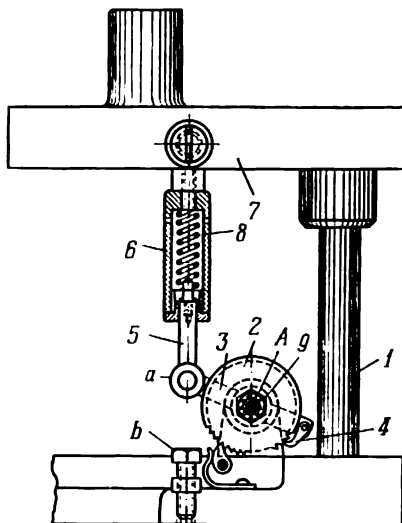




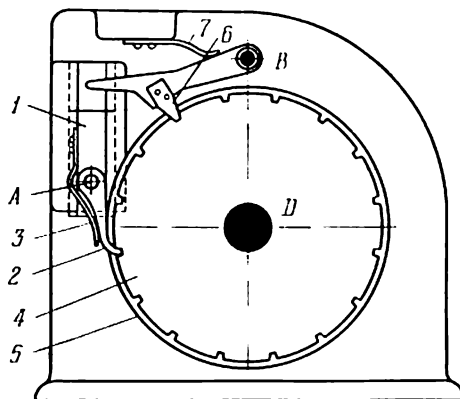
L'arbre 14 qui tourne autour d'un axe fixe A imprime le mouvement au cliquet 4 à l'aide des roues dentées 1, 2 et du disque 3. Le cliquet 4 portant sur son axe le rouleau a bute contre les dents de la roue à rochet 5 pivotant autour d'un axe fixe B et fait tourner cette dernière en même temps que l'arbre 15 jusqu'à ce que le rouleau a commence à se déplacer sur les cames 6 et 7 qui tournent autour d'un axe fixe E. Lorsque l'arbre 15 tourne, le mouvement est transmis au moyen du couple hélicoïdal 8 et 9 à la vis d'avance 10 pivotant autour d'un axe fixe F. La valeur de l'avance du chariot est fonction de la position des cames 6 et 7. Lorsque le secteur α de la roue à rochet 5 augmente, la valeur de l'avance pour un tour du disque 3 augmente aussi, et lorsque le secteur diminue, la valeur de l'avance diminue respectivement. On règle la valeur de l'avance par le limbe 11 en tournant la came 6 par rapport à la came 7. La roue dentée 13, tournant en même temps que le limbe 11, est bloquée dans la position requise. Le nombre de graduations du limbe 11 correspond au nombre de dents de la roue 13 et de la roue à rochet 5. Le moment initial de l'avance est déterminé par la rotation de la came 7 bloquée à l'aide de l'écrin 12.



Lorsque le coulisseau 1 se déplace dans le sens indiqué par la flèche, les cliquets 2 et 3, butant contre les dents des roues à rochet 4 et 5 mobiles autour d'un axe fixe A, les font tourner d'une dent. Le nombre de dents de la roue à rochet 4 est égal au nombre de dents de la roue à rochet 5 moins une dent. La vis d'avance 6 est jointe à la roue à rochet par une clavette coulissante, et elle constitue avec la roue à rochet 5 un couple hélicoïdal. Si l'on désengrène le cliquet 3, le déplacement axial de la vis d'avance 6 sera égal à zéro. Si l'on désengrène le cliquet 2, le déplacement axial de la vis 6 sera proportionnel à l'angle de rotation de la roue 5. Si les deux cliquets 2 et 3 sont en prise, le déplacement de la vis sera proportionnel à la différence entre les angles de rotation des roues 4 et 5.



Lorsque la traverse 7 s'abaisse, le cliquet 4, mis en mouvement par les leviers 3 et 5, glisse sur les dents de la roue à rochet 2 mobile autour d'un axe fixe A. Le poinçon 1 s'abaisse alors et l'arbre 9 reste immobile. Au moment du contact de la charnière a avec la butée réglable b, le ressort 8 commence à se serrer. Pendant le mouvement de retour du poinçon 1, le levier 5 ne commencera à se déplacer qu'après le desserrage du ressort à la longueur initiale. Ensuite, le cliquet 4, butant contre les dents de la roue à rochet 2, provoque la rotation de cette dernière et de l'arbre 9 et le mécanisme (non représenté sur la figure) avance un nouveau lot de pièces brutes dans la matrice et enlève les pièces finies. Le guidage 6 est rendu solidaire de la traverse 7. Le ressort 8 sert à la mise en marche du mécanisme d'avance à un mouvement déterminé.



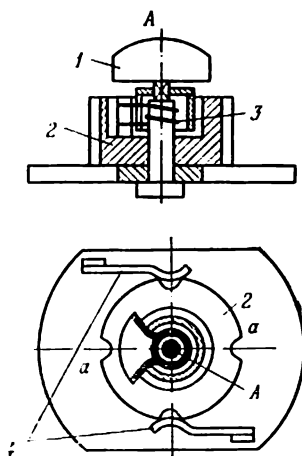
Lorsque le coulisseau 1 se déplace vers le bas, le cliquet 2, sollicité par le ressort 3, s'engage dans les évidements de la roue 4 et fait tourner cette dernière avec le disque d'avance 5 autour d'un axe fixe D. L'angle de rotation est fixé par le cliquet 6 pivotant autour d'un axe fixe B et sollicité par le ressort 7. Lorsque le coulisseau 1 se déplace vers le haut, le cliquet 2 sort de l'évidement et son axe A relève le cliquet 6, surmontant la résistance du ressort 7. Avant que le cliquet 6 ne vienne occuper sa position initiale, le cliquet 2 tourne la roue 4 au cours de sa descente.

11. Mécanismes de commutation, d'enclenchement et de déclenchement (493)

493

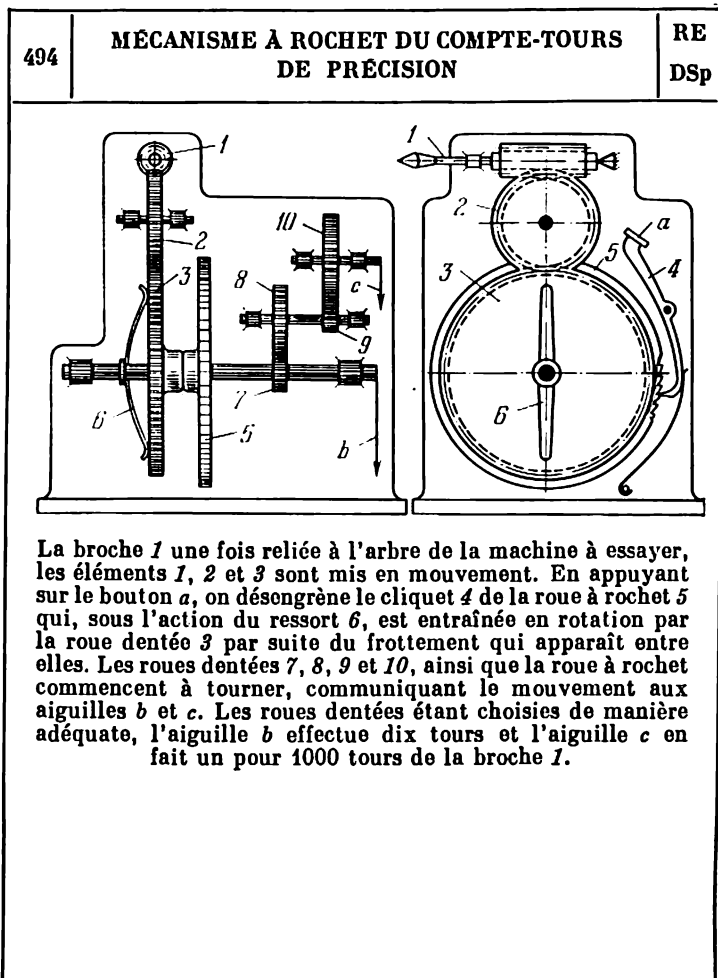
MÉCANISME DE COMMUTATION A ROCHET

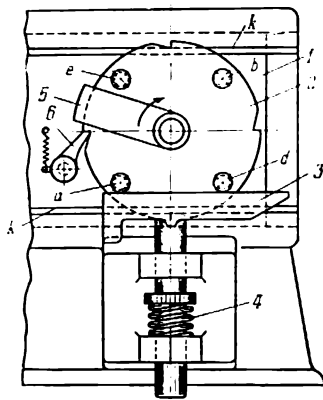
RE
CE



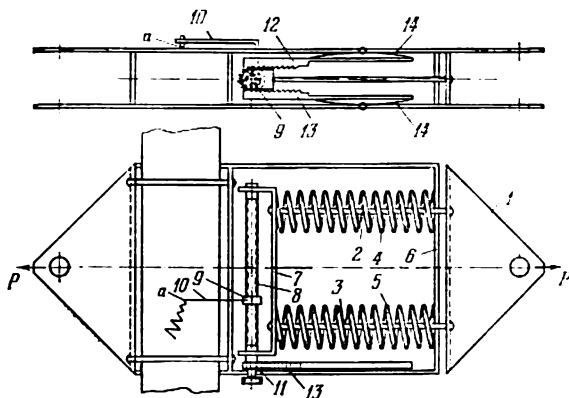
Lorsque l'élément 1 tourne autour d'un axe fixe A, l'élément 2 reçoit un déplacement d'une position à l'autre au moyen du ressort 3, et il est fixé par les cliquets 4 qui s'engagent dans les rainures de l'élément 2.

12. Mécanismes d'autres dispositifs spéciaux (494-502)



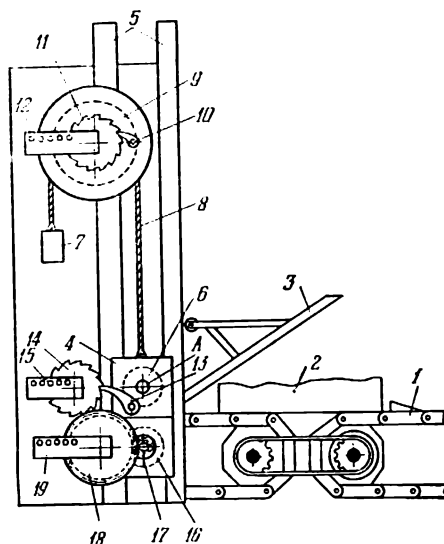


Lorsque le coulisseau 1 comportant la roue à rochet 2 se déplace dans un guidage fixe $k - k$ vers la gauche, l'élément 3 reste immobile jusqu'au moment où le rouleau d du coulisseau 1 désengrène de l'élément 3. Ensuite, sollicité par le ressort 4, l'élément 3 prend la position supérieure. Lorsque le coulisseau 1 se déplace vers la droite, le rouleau d , butant contre l'élément 3, provoque la rotation de la roue à rochet 2 comportant le disque 5 (on voit sur la figure une partie du disque) dans le sens des aiguilles d'une montre jusqu'à ce que le rouleau b déplace l'élément 3 dans sa position inférieure. Les rouleaux d et b se déplacent alors sur l'élément 3. Les rouleaux a , d , b , c étant disposés à un angle de 90° , le disque 5 tourne d'un angle de 90° pour chaque marche double du coulisseau 1. Le disque 5 ne tourne que dans le sens des aiguilles d'une montre, car la rotation en sens inverse est empêchée par le cliquet 6 fixé sur le coulisseau 1.

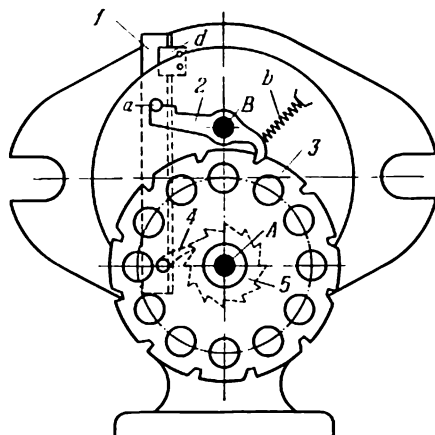


L'effort de traction P appliqué à la biellette 1 est transmis à l'aide des tiges 2 et 3 aux ressorts en spirale 4 et 5 situés entre le cadre 6 de l'appareil et le cadre mobile 7 . Le cadre 7 possède la vis 8 , sur laquelle se déplace l'écrou 9 comportant le levier 10 muni d'un crayon a . Le crayon a se déplace sur le papier dans la direction où agit la force et en même temps perpendiculairement à l'action de la force à l'aide de la roue à rochet 11 serrée des deux côtés par les crémaillères 12 et 13 . Les crémaillères sont fixées au corps par des ressorts à lame plate 14 qui les serrent contre la roue à rochet. Lorsque les ressorts de force 4 et 5 sont serrés, la roue à rochet 11 est entraînée en rotation au moyen de la crémaillère 12 , et lorsqu'ils sont desserrés, au moyen de la crémaillère 13 qui la fait tourner dans le même sens.

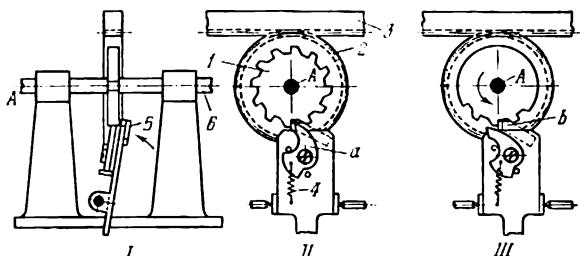
MÉCANISME À ROCHET DU COMPTEUR AUTOMATIQUE DES TRONCS D'ARBRE POUR ÉLEVATEURS À CHÂÎNES LONGITUDINAUX



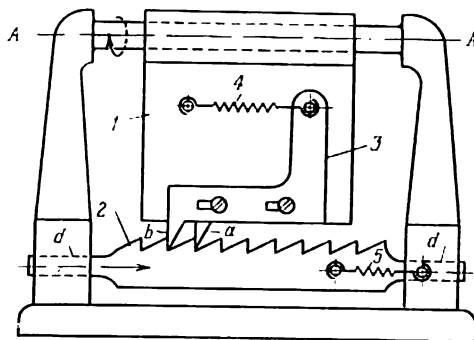
Lorsque le transporteur 1 est en mouvement, le tronc d'arbre 2 se déplace et relève le volet 3 et les coulisseaux 4 qui sont solidaires de ce volet et qui glissent dans les guidages parallèles 5. L'arbre 6 tourne librement autour de l'axe A dans les coulisseaux 4. Lorsque l'arbre 6 se déplace vers le haut, la charge 7 suspendue par le câble 8 descend et fait tourner le disque 9 dans le sens inverse des aiguilles d'une montre. La rotation du disque 9 est transmise à l'aide du cliquet 10 et du rochet 11 au compteur 12 qui enregistre la somme des diamètres des troncs d'arbre. Le cliquet 13, effectuant un mouvement vers le haut en même temps que le coulisseau 4, transmet son mouvement à l'aide du rochet 14 au compteur 15 qui enregistre le nombre de troncs d'arbre. En passant entre les rouleaux cannelés 6 et 16, le tronc d'arbre 2 fait tourner l'arbre inférieur 16. La rotation de l'arbre 16 est transmise à l'aide d'une paire de pignons 17 et 18 au compteur 19 qui enregistre la longueur en mètres des troncs d'arbre. Après le passage de chaque tronc d'arbre, l'arbre 6, le coulisseau 4 et le volet 3 reviennent à leur position initiale sous l'effet de leur propre poids et ils ramènent le disque 9 à sa position initiale à l'aide du câble 8.



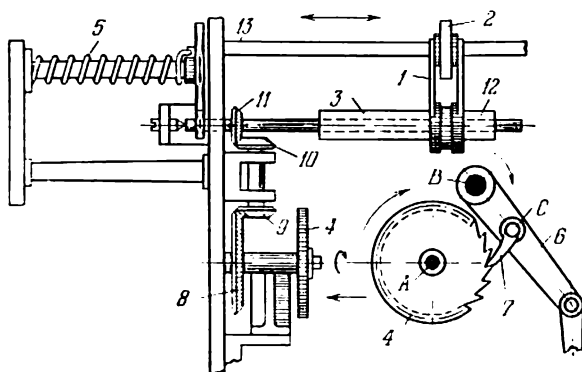
Le disque à tourelle 3 est mobile autour d'un axe fixe A. Lorsque le coulisseau 1 se déplace dans le guidage *d* vers le bas, il agit par la butée *a* sur le cliquet 2, mobile autour d'un axe fixe B, le fait tourner et libère le disque à tourelle 3. Le cliquet 2 du coulisseau 1 désengrène en même temps de la roue à rochet 5, passe à une autre dent et s'engage dans l'encoche de la dent suivante sous l'action d'un ressort plat. Lorsque le coulisseau 1 fait la course arrière, le cliquet 4 provoque la rotation de la roue à rochet 5 d'un pas de dents et fait donc tourner le disque à tourelle d'une division. Une fois dégagé de la butée *a*, le cliquet 2 s'engage dans la rainure du disque 3 à l'aide du ressort *b*, immobilisant ainsi le disque à tourelle.



La roue à rochet 1, calée sur un axe 6 et rendue solidaire de la roue dentée 2 qui engrène avec la crémaillère 3 fixée sur le chariot, subit l'action d'un couple moteur constant et tourne autour d'un axe fixe A (voir la fig. II). Lorsque la touche (la pièce 5) se déplace dans le sens de la flèche (voir la fig. I) le cliquet mobile a sort de l'entredent de la roue 1 et le cliquet b occupe sa place (voir la fig. III) pour empêcher la roue à rochet de tourner lorsqu'elle se trouve dans cette position. Dès que le cliquet a désengrène de la roue 1, il se met à tourner sous l'action du ressort 4 et occupe la position représentée sur la fig. III. Lorsque la pièce 5 se déplace dans le sens inverse de la flèche (voir la fig. I), le cliquet b sort de l'entredent et la roue à rochet 1 est dégagée, mais une fois en rotation cette dernière est entraînée par le cliquet mobile a, situé près de la dent suivante. La roue à rochet ne peut donc tourner que d'une division.



Lorsque la plaque 1 effectue un mouvement d'oscillation autour d'un axe fixe $A - A$ parallèlement au plan normal à la figure, la crémaillère 2, soumise à l'action du ressort 5, se déplace vers la droite après que la dent a rigidement fixée sur la plaque 1 désengrène de la dent de la crémaillère 2. Pendant son déplacement vers la droite, la crémaillère 2 entraîne dans son mouvement une plaque angulaire 3 dont la dent b reste en prise avec la dent de la crémaillère 2 animée d'un mouvement alternatif dans un guidage fixe $d - d$, lorsque la plaque oscille en dehors du plan de la figure. Le ressort 4 ramène la plaque 3 à sa position initiale après que la plaque 1 occupe l'autre position extrême par rapport au plan de la figure au cours de son mouvement d'oscillation, position où la dent b désengrène de la dent de la crémaillère 2.



La roue à rochet 4, mobile autour d'un axe fixe A, est entraînée en rotation par le cliquet 7 pivotant autour de l'axe fixe C du levier 6 qui tourne autour d'un axe fixe B. La roue 4 est rendue solidaire de la roue dentée conique 8 qui engrène avec la roue dentée conique 9 rigidement reliée à la roue dentée conique 10. Cette dernière entre en prise avec la roue dentée conique 11. La roue 11 est rendue solidaire de l'arbre 3 comportant un filetage qui constitue un couple hélicoïdal avec le chariot 1 glissant le long de l'arbre 13. L'arbre 13 comporte la roue 2 qui imprime des caractères. Le chariot 1 se déplace vers la droite à l'aide de la roue à rochet 4 déplaçant le papier et des roues dentées coniques. Le ressort 5 se comprime pendant le mouvement du chariot. Le cliquet 7 une fois écarté, le ressort 5 fait tourner l'axe 3 en sens inverse et le chariot 1 revient à sa position initiale.

v

Mécanismes à came et engrenage CE

1. Mécanismes à éléments multiples d'usage général M (503-506). 2. Mécanismes avec arrêts Ar (507-510). 3. Mécanismes de triage, d'avance et d'alimentation TA (511-513). 4. Mécanismes des dispositifs de mesure et d'essai ME (514-515). 5. Mécanismes servant à tracer les courbes TC (516). 6. Mécanismes d'autres dispositifs spéciaux DSp (517-518).

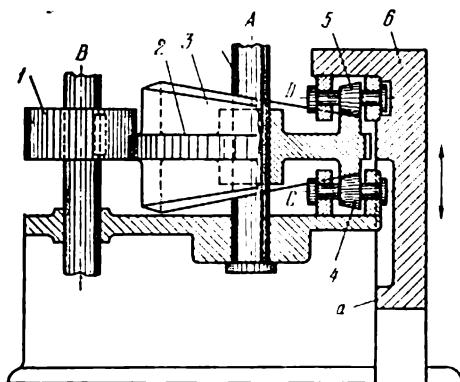
1. Mécanismes à éléments multiples d'usage général (503-506)

503

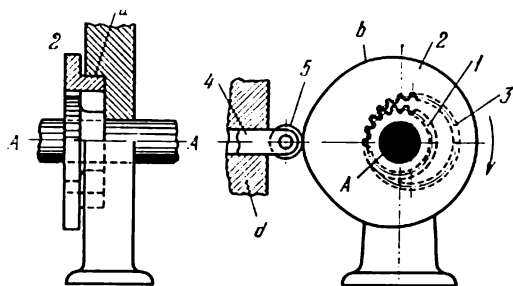
MÉCANISME TRIDIMENSIONNEL À CAME ET ENGRENAGE

CE

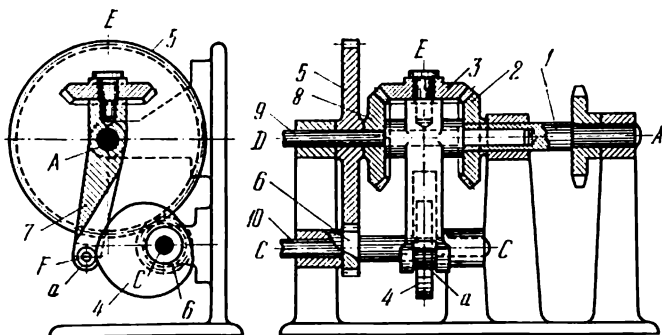
M



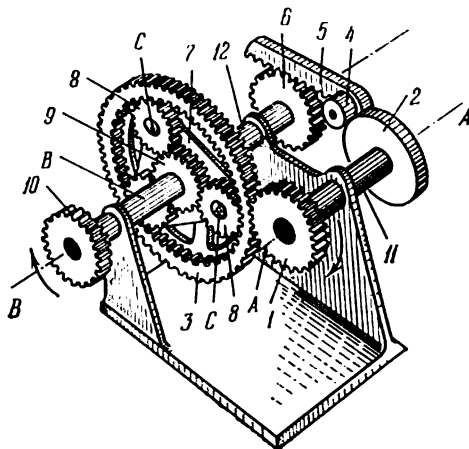
La roue dentée 1, mobile autour d'un axe fixe B, vient en prise avec la couronne dentée 2 de la came 3 qui tourne autour d'un axe fixe A et le long duquel elle peut glisser. La came 3 se présente sous la forme d'une rondelle avec deux faces obliques qui est en contact avec les rouleaux coniques 4 et 5. Le rouleau 4 tourne autour de l'axe C du montant et le rouleau 5 tourne autour de l'axe D du coulisseau 6 glissant dans un guidage rectiligne a. Lorsque la roue menante 1 est en mouvement de rotation, la came 3 bute par son profil contre le rouleau 4 et se meut le long de l'axe A, déplaçant en même temps le coulisseau mené 6 dans le guidage a parallèlement à l'axe A. Pour obtenir le mouvement continu du mécanisme, il faut que la largeur des dents de la roue 1 permette la constance d'engrènement avec la couronne dentée 2.



La roue dentée 1, mobile autour d'un axe fixe A, vient en prise avec la roue 3 munie de dents situées sur la surface intérieure de la came 2. La came 2 tournant par rapport à un maneton fixe *a* agit par son profil *b* sur le rouleau 5 du poussoir 4 qui glisse dans un guidage rectiligne *d*. Lorsque la roue menante 1 est en rotation, effectuant n_1 tours par minute, la came 2 tourne, effectuant un nombre n_2 de tours par minute tel que $n_2 = \frac{z_1}{z_2} n_1$, où z_1 et z_2 sont les nombres de dents des roues 1 et 2. La roue 1 et la came 2 tournent dans le même sens.



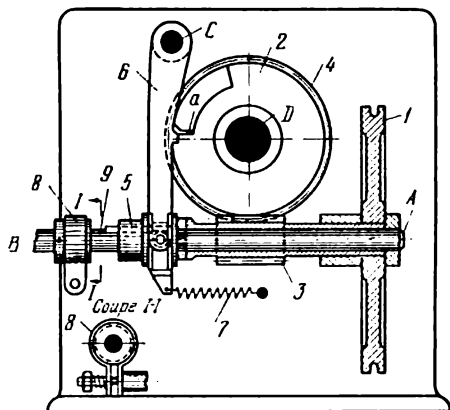
L'arbre 1 tournant autour d'un axe fixe A est solidaire de la roue dentée conique 2 qui vient en prise avec la roue conique 3 pivotant autour de l'axe E du porte-satellites 7 monté fou sur l'axe A. La roue 3 engrène avec la roue conique 8 rigidement reliée à l'arbre 9 qui tourne autour d'un axe fixe D. Les roues 2, 3 et 8 ont le même nombre de dents et constituent avec le porte-satellites 7 un différentiel conique à rapport de transmission i_{28} égal à $i_{28} = -1$. La chaîne fermée du différentiel est composée de la roue dentée 5, solidaire de l'arbre 9, qui engrène avec la roue 6 montée sur l'arbre 10. L'arbre 10 pivote autour d'un axe fixe C. La came 4, solidaire de l'arbre 10, agit par son profil sur le rouleau a mobile autour de l'axe F du porte-satellites 7. Lorsque l'arbre 1 est en mouvement de rotation uniforme, l'arbre 9 reçoit un mouvement de rotation et d'oscillation déterminé par le profil de la came 4.



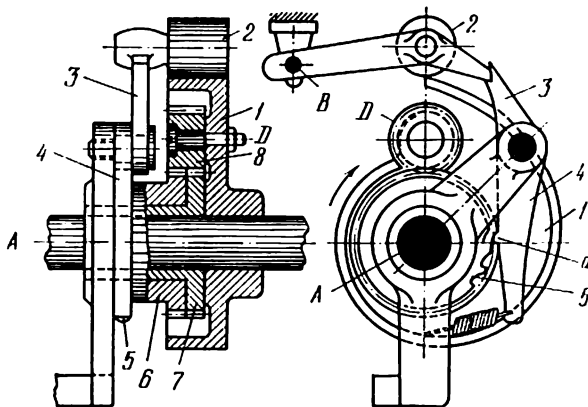
L'arbre menant 11, mobile autour d'un axe fixe A, est rigidement relié à la roue dentée 1 et à la came 2. La roue 1 vient en prise avec la roue dentée 3. La roue 3 engrène avec les satellites 8 qui engrenent à leur tour avec la roue dentée 9 rendue solidaire de l'arbre mené 12 pivotant autour d'un axe fixe B. En agissant sur le rouleau 4, la came 2 déplace la crémaillère 5 qui est en prise avec la roue dentée 6 rigidement reliée à l'arbre 12. Le porte-satellites 7, solidaire de l'arbre 12, constitue des couples de rotation C avec les satellites 8. Lorsque l'arbre 11 est en rotation uniforme, l'arbre 12 ainsi que la roue 10, solidaire du premier, tournent selon une loi composée définie par le profil de la came 2.

2. Mécanismes avec arrêts (507-510)

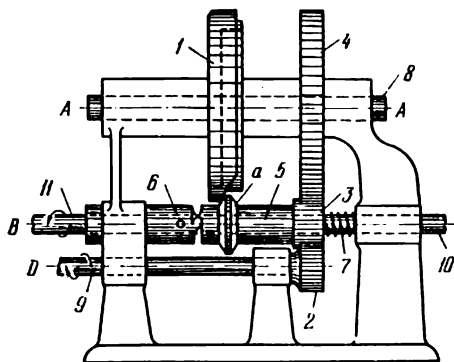
| | | |
|-----|---|----------|
| 507 | MÉCANISME TRIDIMENSIONNEL À CAME ET ENGRENAGE AVEC ARBRE MENÉ MARQUANT DES ARRÊTS | CE Ar |
|-----|---|----------|



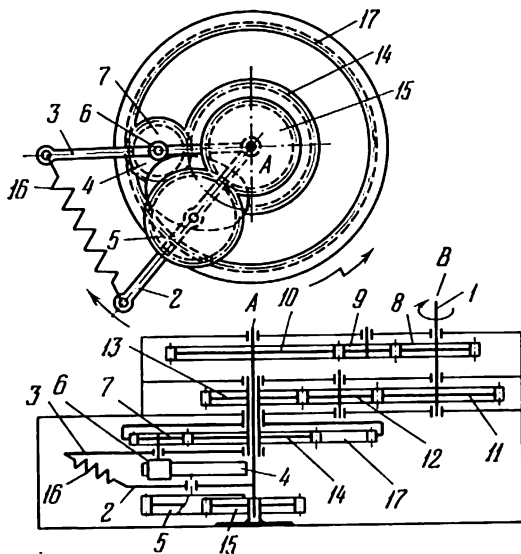
La douille de la vis sans fin 3, mobile autour d'un axe fixe A et mise en mouvement par la poulie 1, comporte sur sa surface en bout des dents qui viennent en prise avec l'accouplement 5 qui imprime la rotation à l'arbre 9 tournant autour d'un axe fixe B. Lorsque la poulie 1 est en rotation, la came 2 reçoit une rotation autour d'un axe fixe D à l'aide d'un couple hélicoïdal composé de la vis sans fin 3 et de la roue tangente 4. Le levier 6, soumis à l'action du profil α de la came 2, s'écarte périodiquement, se déplaçant à gauche de l'axe fixe C et surmontant la résistance du ressort 7. L'accouplement 5, joint à l'arbre 9 par une clavette coulisante, se déplace vers la gauche et désengrène de la douille de la vis tangente 3 si bien que l'arbre 9 est animé d'une rotation avec des arrêts. Le frein 8 permet un arrêt instantané de l'arbre 9.



La came 1, qui imprime le mouvement au levier 2, reçoit son mouvement de rotation autour d'un axe fixe A dans le sens indiqué par la flèche. Le rouleau du levier 2, mobile autour d'un axe fixe B, peut être maintenu à sa hauteur maximale à l'aide du cliquet 3 rigidement relié au levier 4 au moment où sa saillie *a* se déplace sur les saillies de la roue à rochet 5. La roue 5 reçoit une rotation autour de l'axe fixe A en même temps que la douille de la roue 6 autour de la douille de la roue fixe 7 du fait que la roue 6 possède une dent de moins que la roue 7. La roue 8, dont l'axe D appartient à la came 1, roule sur la roue 7. Lorsque la came 1 est en rotation, le levier 2 effectue un mouvement oscillatoire avec des arrêts observés à sa position supérieure, la durée de ces arrêts dépendant du nombre et de la disposition des cavités ménagées sur la roue à rochet 5.

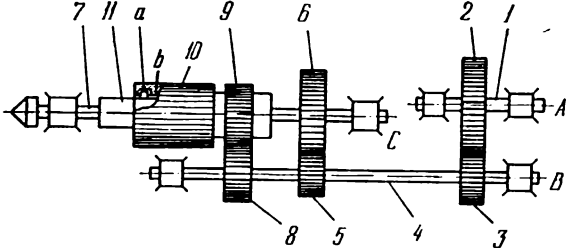


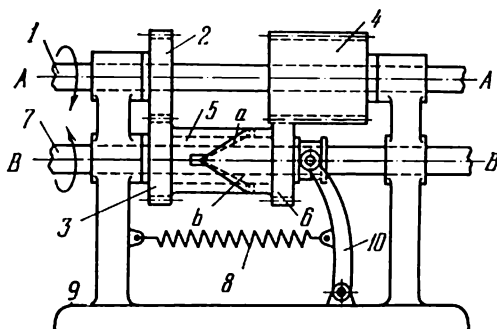
La came cylindrique 1, solidaire de l'arbre 8, tourne autour d'un axe fixe A — A. L'entraînement de la came 1 est réalisé par l'arbre 9 mobile autour d'un axe fixe D. La roue dentée 2 rigidement reliée à l'arbre 9 vient en prise avec la roue dentée 3 montée folle sur l'arbre 10. La roue dentée 4 est rendue solidaire de l'arbre 8. La came 1 agit par son profil sur le rouleau *a* de la douille 5 de la roue 3. L'arbre 11, tournant autour d'un axe fixe B, est joint à la douille 5 au moyen d'un accouplement à crabots 6. Lorsque l'arbre menant 9 est en rotation, la came 1 débraye périodiquement l'accouplement 6 et débranche l'arbre mené 11 en l'immobilisant. L'embrayage de l'accouplement 6 est réalisé à l'aide du ressort 7. La roue 3 est plus large que les roues 2 et 4.



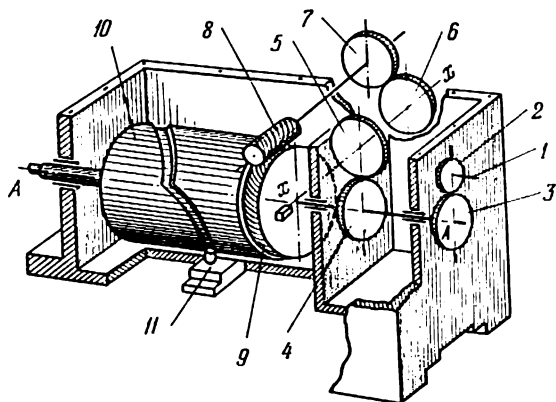
La came 4 et la roue dentée 15 sont fixées sur l'axe du porte-satellites 2. Le rouleau 6 et la roue 7 sont montés sur l'axe du porte-satellites 3. Le porte-satellites 2 est mis en mouvement par l'arbre 1 à l'aide des roues 8, 9, 10. La roue 7 est mise en mouvement autour de son axe à l'aide des roues 11, 12, 13, 14 et autour de l'arbre 1 du mécanisme à l'aide de la came 4. La roue 15 est fixe. L'effort de contact entre la came 4 et le rouleau 6 est assuré par le ressort 16. Lorsque l'arbre 1 tourne autour d'un axe fixe B, la roue 5 roule sur la roue fixe 15 et met en mouvement la came 4. La roue 7 fait tourner la roue 17 autour d'un axe fixe A. La came 4 assure la rotation de la roue 17 avec des arrêts.

3. Mécanismes de triage, d'avance et d'alimentation (511-513)

| | | |
|-----|--|------------------|
| 511 | MÉCANISME À CAME ET ENGRENAGE POUR AVANCE DE LA BROCHE | CE TA |
| |  <p>Le mouvement de l'arbre 1, mobile autour d'un axe fixe A, est transmis à l'arbre 4 pivotant autour d'un axe fixe B à l'aide des roues dentées 2 et 3. L'arbre 4 met en mouvement la broche 7, qui tourne autour d'un axe fixe C, à l'aide des roues dentées 6 et 5, ainsi que le tambour 10 à l'aide des roues dentées 8 et 9 dont le rapport de transmission est de valeur moins élevée. Par suite de la différence des vitesses angulaires, le tambour 10 tourne autour de la broche 7. La rainure curviligne intérieure b du tambour 10 agit sur le doigt a de la douille 11, entraînant cette dernière ainsi que la broche 7 qui en est solidaire dans le mouvement le long de l'axe C.</p> | |



Les roues dentées 2 et 4, rigidement reliées à l'arbre 1, tournent autour de l'axe fixe A — A de l'arbre 1. Les roues 2 et 4, qui n'ont pas le même nombre de dents, engrènent avec les roues 3 et 6. La roue 3, montée folle sur l'arbre 7 tournant autour d'un axe fixe B — B, est reliée à l'accouplement 5 portant une rainure cunéiforme *a*. La roue 6, solidaire de l'arbre menant 7, s'engage par sa saillie cunéiforme *b* dans la rainure de l'accouplement 5. Les vitesses de rotation des roues 3 et 6 n'étant pas égales, l'arbre mené 7 tourne, tout en se déplaçant d'un mouvement alternatif dans le guidage du bâti 9. Le levier 10 et le ressort 8 assurent l'effort de contact entre les éléments du mécanisme.



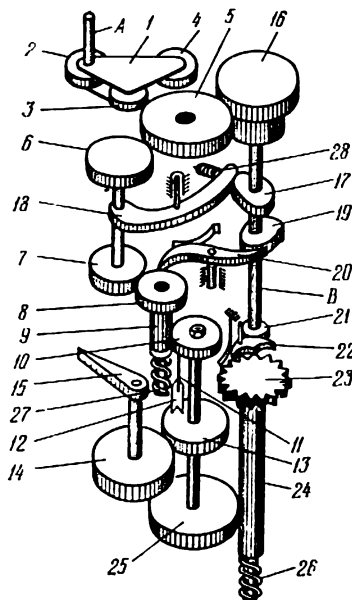
L'arbre menant 1 imprime le mouvement de rotation à l'arbre 10 autour d'un axe fixe *A — A* à l'aide des roues dentées 2 et 3, des roues hélicoïdales 4 et 5, des roues dentées de rechange 6 et 7 et d'un couple hélicoïdal 8 et 9. Lorsque le tambour 10 est en rotation, sa rainure curviligne agit sur le doigt du bâti 11, ce qui permet au tambour 10, ainsi qu'à la tête portant des roues dentées d'effectuer un mouvement de translation suivant l'axe *A — A*.

4. Mécanismes des dispositifs de mesure et d'essai (514-515)

514

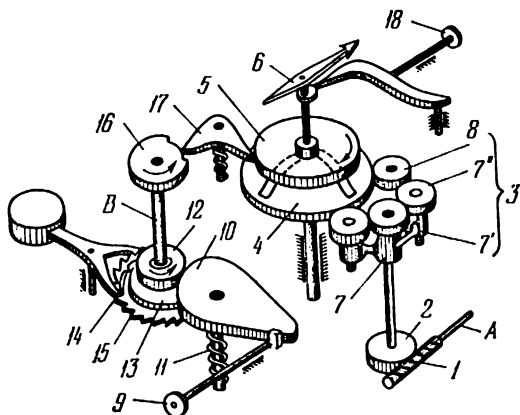
MÉCANISME À CAME ET ENRGENAGE DU TACHYMÈTRE D'HORLOGE

CE
ME



L'arbre d'admission *A* transmet la rotation à la roue dentée 5 à l'aide du redresseur 1 ; cette rotation a toujours lieu dans le même sens (lorsque la roue 2 tourne dans le sens inverse des aiguilles d'une montre, la roue 5 engrène avec la roue 4 et lorsque la roue 2 tourne dans le sens des aiguilles d'une montre, la roue 5 engrène avec la roue 3). La roue 5 provoque la rotation de la roue 16 du mécanisme d'horlogerie et en même temps celle de la roue 6 de l'organe de transmission.

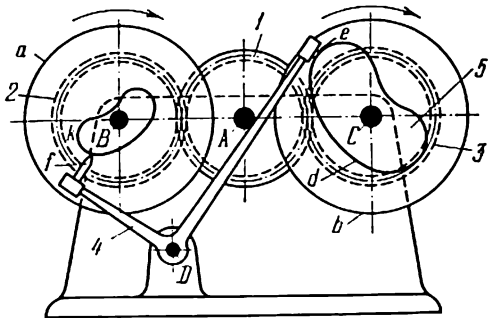
Lorsque la roue 5 tourne, le ressort du mécanisme d'horlogerie est remonté de manière continue. Le mécanisme d'horlogerie est réglé de manière que l'arbre de distribution *B* sur lequel sont montées les cames 17, 19 et 21 effectue un tour par seconde. Pendant la première moitié de la période, le levier 18 prend sous l'action de la came 17 la position où les roues 7 et 8 sont en prise et le cliquet 20 est desserré et écarté de la roue 8 par la came 19. L'aiguille 15 reçoit le mouvement à l'aide des roues 7, 8, 9, 10, des goujons 11, 12 et des roues 13, 14 (la roue 13 est montée folle sur l'axe). L'aiguille 15 tourne d'un angle proportionnel à l'angle de rotation de l'arbre à essayer pour 1/2 seconde. Les ressorts 26 et 27 sont alors remontés. Pendant l'autre moitié de la période, le levier 18 écarte l'axe des roues 6 et 7 sous l'action du ressort serré 28. Pendant ce temps, l'aiguille 15 et les roues 13, 14, 24, 25, 23 restent immobiles, car le cliquet 22 en butant contre les dents de la roue à rochet 23 empêche la rotation de cette dernière. Les roues 8, 9, 10 ainsi que le goujon 11 reviennent à l'état initial sous l'action du ressort 27. Si la vitesse angulaire de l'arbre à essayer durant la deuxième période et durant toutes les périodes suivantes de travail du tachymètre reste invariable, le goujon 11 de la roue 10 s'approche tout contre le goujon 12 de la roue 13 et l'aiguille 15 reste immobile. Si la vitesse angulaire de l'arbre à essayer diminue, le goujon 11 de la roue 10 n'atteint pas le goujon 12 de la roue 13 et pendant que le cliquet 22 s'écarte de la roue 23 (le cliquet 20 engrène pendant ce temps avec la roue 8) l'aiguille 15, subissant l'action du ressort 26, tourne en sens inverse tant que le goujon 12 ne bute contre le goujon fixe 11 de la roue 10. Si la vitesse angulaire de l'arbre à essayer augmente, le goujon 11 de la roue 10 bute contre le goujon 12 de la roue 13 et provoque la rotation de cette dernière ainsi que de l'aiguille 15 qui s'écarte d'un angle plus grand. Le ressort 26 reçoit alors une tension complémentaire. De cette façon, chaque nouvelle valeur de la vitesse angulaire de l'arbre à essayer est enregistrée par l'aiguille 15.



L'arbre *A* est entraîné dans le mouvement à l'aide de l'arbre de l'objet à essayer. La roue dentée 4 reçoit une rotation à l'aide d'un couple hélicoïdal 1 et 2 et d'un redresseur 3. La roue 4 est reliée par friction à la roue à rochet 5, sur l'axe de laquelle est fixée l'aiguille 6. Le mécanisme est conçu de manière que l'aiguille de l'appareil décline toujours dans le même sens, indépendamment de la direction de rotation de l'arbre à essayer. Lorsque la roue à vis 2 tourne dans le sens des aiguilles d'une montre, le harnais d'engrenages 7 tourne aussi dans le sens des aiguilles d'une montre et la roue 7', engrenant avec la roue 4, provoque la rotation de cette dernière dans le sens des aiguilles d'une montre. Lorsque la roue à vis 2 tourne dans le sens inverse des aiguilles d'une montre, le harnais d'engrenages 7 tourne aussi dans le sens inverse des aiguilles d'une montre et la roue 7'', engrenant avec la roue 8, fait tourner la roue 4 cette fois encore dans le sens des aiguilles d'une montre (les roues 7' et 7'' tournent fou sur le harnais d'engrenages 7). L'aiguille 6 enregistre la vitesse angulaire de l'arbre à essayer pour une période déter-

| | | |
|-----|---|--|
| 515 | <p align="center">MÉCANISME À CAME ET ENGRENAGE DU TACHYSCOPE</p> | <p align="center">CE ME</p> |
| | <p>minée définie par le mécanisme d'horlogerie. Lorsqu'on appuie sur le bouton 9, le segment denté 10 s'écarte et fait tourner sous l'action du ressort comprimé 11 la roue dentée 12 portant une rondelle à rochet 13. Le cliquet 14 qui bute contre une dent de la rondelle à rochet 13 est fixé sur la roue d'ancre 15 du mécanisme d'horlogerie. La roue d'ancre 15 et la rondelle 16, calées sur l'axe B, reçoivent un déplacement angulaire constant pour une unité de temps. Lorsque l'axe B est en rotation, la rondelle à rochet 16 agit sur le cliquet 17 et libère la roue 5. Cette dernière commence à tourner à une vitesse angulaire proportionnelle à celle de l'arbre à essayer. Au bout d'un certain temps, la rondelle à came 16 libère le cliquet 17 et celui-ci bloque la roue 5. En appuyant sur le bouton 18, on remet l'aiguille à zéro.</p> | |

5. Mécanismes servant à tracer les courbes (516)

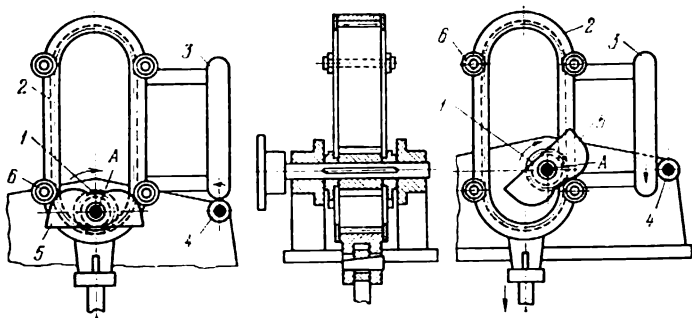
| | | |
|--|--|------------------|
| 516 | MÉCANISME À CAME ET ENGRENAGE D'UN DISPOSITIF REPRODUCTEUR SERVANT À TRACER UNE COURBE DONNÉE | CE TC |
|  <p>La roue dentée 1, mobile autour d'un axe fixe A, vient en prise avec deux roues dentées égales 2 et 3. Le disque b, sur lequel est fixée la came 5 de profil donné, est rendu solidaire de la roue 3. Le levier coudé 4 pivotant autour d'un axe fixe D glisse par sa pointe e sur le profil d de la came 5. La pointe f du levier 4 décrit alors une courbe donnée k dans le plan a lié à la roue 2.</p> | | |

6. Mécanismes d'autres dispositifs spéciaux (517-518)

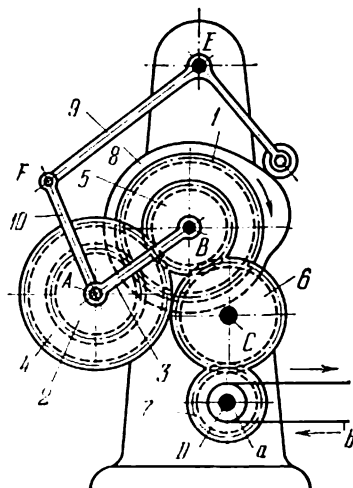
517

MÉCANISME À CAME ET ENGRENAGE DE LA MACHINE À LAVER

CE
DSp



L'élément 2, qui possède un profil denté constitué des tronçons d'une crémaillère dentée et de roues dentées rondes, vient en prise avec la roue dentée menante 1, mobile autour d'un axe fixe A. L'élément 2 se déplace d'un mouvement de translation dans le sens indiqué par la flèche sur les parties de l'engrenage qui correspondent aux crémaillères dentées. Lorsque la came 5 passe sur les parties correspondant aux roues dentées rondes, elle entre en contact avec les rouleaux 6, assurant ainsi le mouvement requis de l'élément 2. En outre, la direction indispensable du mouvement de l'élément 2 est assurée par les rouleaux 6, la crémaillère 3 et le rouleau 4.



La roue dentée 1 mobile autour d'un axe fixe B vient en prise avec le satellite 2 solidaire du satellite 4 qui engrène avec la roue dentée 5 tournant autour d'un axe B. Le porte-satellites 3, mobile autour de l'axe B, constitue des couples de rotation A avec les satellites 2 et 4. La roue 5 engrène avec la roue dentée 6 qui tourne autour d'un axe fixe C et qui engrène avec la roue 7 mobile autour d'un axe fixe D. Le tambour *a*, solidaire de la roue 7, met en mouvement la bande *b* du convoyeur. La came 8, solidaire de la roue 1, agit sur le levier coudé 9 tournant autour d'un axe fixe E. La bielle 10 constitue des couples de rotation A et F avec le porte-satellites 3 et avec le levier 9. Lorsque la roue 1 est en mouvement, le tambour menant *a* du convoyeur tourne à une vitesse angulaire variable, dont la loi dépend du profil de la came 8 et des dimensions des éléments du mécanisme.

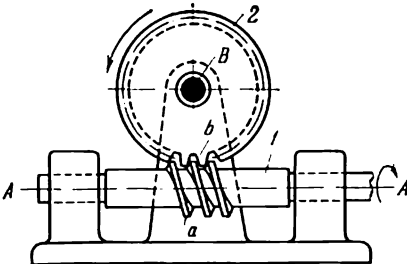
VI

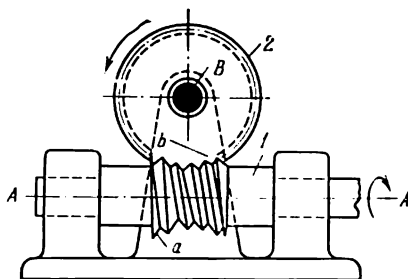
Mécanismes à vis sans fin

VF

1. Mécanismes à trois éléments d'usage général Tr (519-524). 2. Mécanismes à quatre éléments d'usage général Q (525-527). 3. Mécanismes à éléments multiples d'usage général M (528-535). 4. Mécanismes avec arrêts Ar (536-538). 5. Mécanismes de commutation, d'enclenchement et de déclenchement CE (539-540). 6. Mécanismes des boîtes de vitesse et des réducteurs BV (541). 7. Mécanismes pour opérations mathématiques OM (542-544). 8. Mécanismes des dispositifs de mesure et d'essai ME (545-547). 9. Mécanismes d'autres dispositifs spéciaux DSp (548-554).

1. Mécanismes à trois éléments d'usage général (519-524)

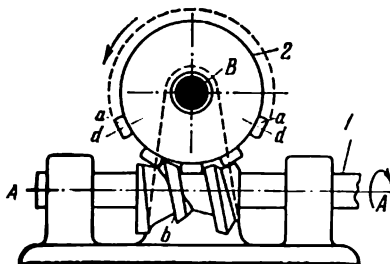
| 519 | MÉCANISME À TROIS ÉLÉMENTS ET À VIS SANS FIN | VF Tr |
|-----|--|----------|
| |  <p>Les dents a de la vis sans fin 1, mobile autour d'un axe fixe $A - A$, engrenent avec les dents b de la roue à vis 2 tournant autour d'un axe fixe B. Les axes A et B sont perpendiculaires entre eux et ne se coupent pas. Le rapport de transmission i_{12} du mécanisme est égal à</p> $i_{12} = \frac{\omega_1}{\omega_2} = \frac{z_2}{z_1} = \frac{R_2}{R_1} \frac{1}{\operatorname{tg} \beta},$ <p>où ω_1 et ω_2 sont les vitesses angulaires de la vis sans fin 1 et de la vis sans fin 2, z_1, le nombre de filets de la vis sans fin 1, z_2, le nombre de dents de la roue 2, R_1 et R_2, les rayons des cylindres primitifs de la vis sans fin 1 et de la roue 2, β, l'angle d'inclinaison du filet de la vis sans fin. La tangente de l'angle β est égale à</p> $\operatorname{tg} \beta = \frac{z_1 t}{2\pi R_1} = \frac{m z_1}{2 R_1},$ <p>où t est le pas d'engrenage et m le module d'engrenage. Les rayons R_1 et R_2 peuvent être déterminés par les équations</p> $R_1 = \frac{m z_1}{2 \operatorname{tg} \beta} \quad \text{et} \quad R_2 = \frac{m z_2}{2}.$ | |



Les dents *a* de la vis sans fin 1, mobile autour d'un axe fixe *A — A*, engrenent avec les dents *b* de la roue tangente 2 tournant autour d'un axe fixe *B*. La surface primitive de la vis sans fin 1 constitue un globoïde, c'est-à-dire une surface formée par la rotation d'un arc de cercle de rayon égal à celui du cercle primitif qu'on obtient en coupant la vis sans fin 2 par un plan normal à l'axe de la roue 2 et contenant l'axe *A — A* de la vis sans fin 1. Cet arc reçoit une rotation autour de l'axe *A — A*. Le rapport de transmission i_{12} du mécanisme est égal à

$$i_{12} = \frac{\omega_1}{\omega_2} = \frac{z_2}{z_1},$$

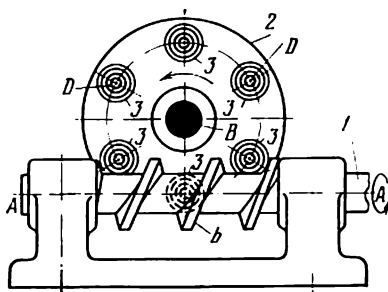
où ω_1 et ω_2 sont les vitesses angulaires de la vis sans fin 1 et de la roue 2, z_1 le nombre de filets de la vis sans fin 1 et z_2 le nombre de dents de la roue 2. Le mécanisme est conçu pour la transmission de grands efforts et de puissances.



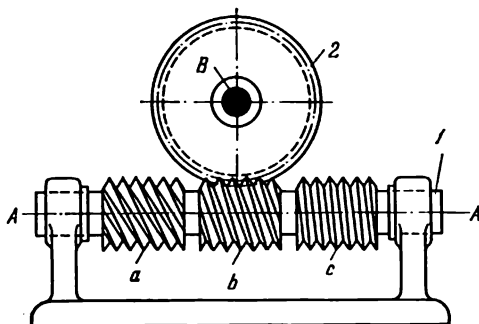
Les dents b de la vis sans fin 1 de forme globique, mobile autour d'un axe fixe $A - A$, engrenent avec les fuseaux cylindriques a de la roue à fuseaux 2 tournant autour d'un axe fixe B . Les fuseaux a sont situés sur la superficie cylindrique extérieure de la roue 2 et peuvent tourner librement autour de leurs axes d , ce qui réduit considérablement les pertes par frottement pendant l'engrènement. Le rapport de

transmission du mécanisme est égal à $i_{12} = \frac{\omega_1}{\omega_2} = \frac{z_2}{z_1}$,

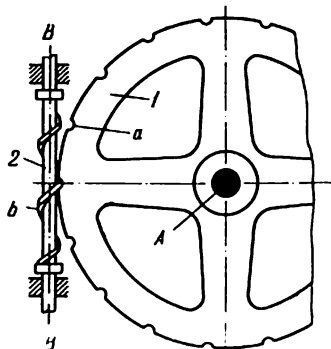
où ω_1 et ω_2 sont les vitesses angulaires de la vis sans fin 1 et de la roue 2 , z_1 le nombre de filets de la vis sans fin 1 et z_2 le nombre de fuseaux de la roue 2 .



Les dents b de la vis sans fin 1 , mobile autour d'un axe fixe $A - A$, engrenent avec les fuseaux cylindriques 3 de la roue 2 tournant autour d'un axe fixe B . Les fuseaux 3 sont situés sur le plan frontal de la roue 2 et peuvent tourner librement autour de leurs axes D , ce qui réduit considérablement les pertes par frottement pendant l'engrènement. Le rapport de transmission i_{12} du mécanisme est égal à $i_{12} = \frac{\omega_1}{\omega_2} = \frac{z_2}{z_1}$, où ω_1 et ω_2 sont les vitesses angulaires de la vis sans fin 1 et de la roue 2 , z_1 le nombre de filets de la vis sans fin 1 et z_2 le nombre de fuseaux de la roue 2 .



La vis sans fin 1, mobile autour d'un axe fixe A, comporte trois parties filetées *a*, *b* et *c* n'ayant pas le même nombre de filets et dont les angles d'inclinaison diffèrent. La roue à vis sans fin 2 tourne autour d'un axe fixe B. Le mécanisme peut reproduire par échelons trois rapports de transmission différents, selon que la partie *a*, *b* ou *c* de la vis sans fin 1 engrène avec la roue 2.



La roue tangente 1, mobile autour d'un axe fixe A, possède des rainures hélicoïdales *a* qui engrenent avec le filet hélicoïdal *b* de la vis sans fin 2 tournant autour d'un axe fixe B — B. La transmission du mouvement de la roue motrice 1 à la vis sans fin menée 2 n'est possible que si l'angle d'inclinaison du filet de la vis sans fin 2 est suffisamment grand.

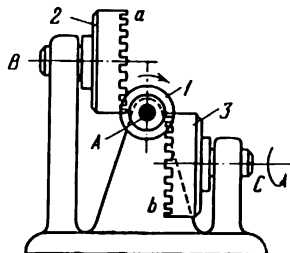
2. Mécanismes à quatre éléments d'usage général (525-527)

525

MÉCANISME À VIS SANS FIN AVEC DEUX ROUES À COURONNE

VF

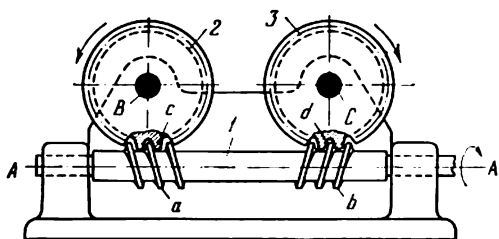
Q



La vis sans fin 1, mobile autour d'un axe fixe A, vient en prise avec les dents a et b des roues 2 et 3 tournant à leur tour autour des axes fixes B et C. Les dents a et b, situées sur la partie frontale des roues 2 et 3, constituent des roues à couronne. Les axes B et C des roues 2 et 3 sont parallèles entre eux et perpendiculaires à l'axe A de la vis sans fin 1. Les rapports de transmission i_{12} et i_{13} sont égaux à

$$i_{12} = \frac{\omega_1}{\omega_2} = \frac{z_2}{z_1} \quad \text{et} \quad i_{13} = \frac{\omega_1}{\omega_3} = \frac{z_3}{z_1},$$

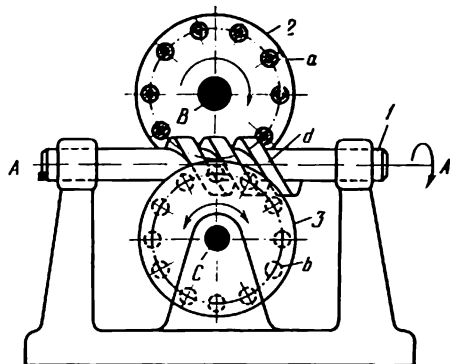
où ω_1 , ω_2 et ω_3 sont les vitesses angulaires de la vis sans fin 1 et des roues 2 et 3, z_1 le nombre de filets de la vis sans fin 1 et z_2 et z_3 les nombres de dents a et b des roues 2 et 3. Lorsque la vis sans fin menante 1 est en rotation, les roues menées 2 et 3 tournent dans les sens opposés.



La vis sans fin 1, mobile autour d'un axe fixe $A - A$, comporte des filets a et b dont les angles d'inclinaison sont de direction opposée. Les filets a et b viennent en prise avec les dents c et d des roues tangentes 2 et 3 tournant autour des axes fixes B et C . Les axes B et C sont parallèles entre eux et perpendiculaires à l'axe $A - A$ de la vis sans fin 1. Les rapports de transmission i_{12} et i_{13} sont égaux à

$$i_{12} = \frac{\omega_1}{\omega_2} = \frac{z_2}{z_1'} \quad \text{et} \quad i_{13} = \frac{\omega_1}{\omega_3} = \frac{z_3}{z_1''}$$

où ω_1 , ω_2 et ω_3 sont les vitesses angulaires de la vis sans fin 1 et des roues 2 et 3, z_1' le nombre de filets du filetage a , z_1'' le nombre de filets du filetage b , z_2 et z_3 le nombre de dents des roues 2 et 3. Lorsque la vis sans fin menante 1 est en rotation, les roues menées 2 et 3 tournent dans les sens opposés.



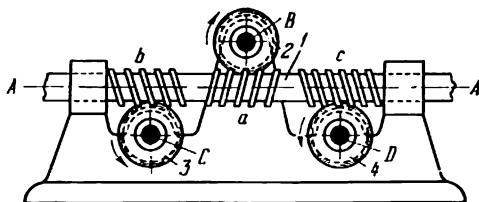
La vis sans fin *1*, mobile autour d'un axe fixe *A — A*, engrène avec les fuseaux *a* de la roue *2* et les fuseaux *b* de la roue *3*. Les roues *2* et *3* tournent autour des axes fixes *B* et *C*. Les fuseaux *a* et *b* peuvent tourner librement autour de leurs axes, ce qui réduit considérablement les pertes par frottement pendant l'engrènement. Les axes *B* et *C* des roues *2* et *3* sont parallèles entre eux et perpendiculaires à l'axe *A — A* de la vis sans fin *1*. Les rapports de transmission i_{12} et i_{13} sont égaux à

$$i_{12} = \frac{\omega_1}{\omega_2} = \frac{z_2}{z_1} \quad \text{et} \quad i_{13} = \frac{\omega_1}{\omega_3} = \frac{z_3}{z_1},$$

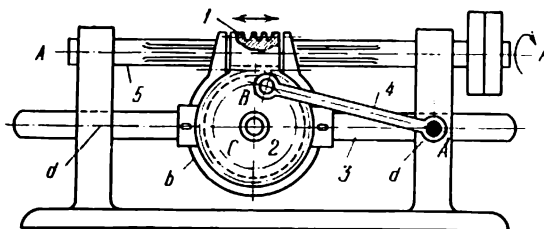
où ω_1 , ω_2 et ω_3 sont les vitesses angulaires de la vis sans fin *1* et des roues frontales *2* et *3*, z_1 le nombre de filets de la vis sans fin *1* et z_2 et z_3 sont les nombres des fuseaux *a* et *b* des roues *2* et *3*. Lorsque la vis sans fin menante *1* est en rotation, les roues menées *2* et *3* tournent dans les sens opposés.

3. Mécanismes à éléments multiples d'usage général (528-535)

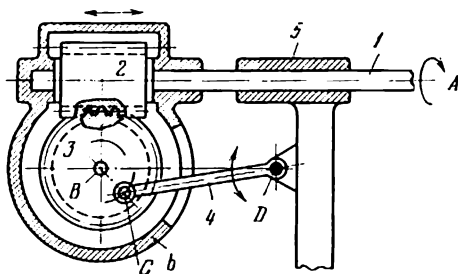
| | | |
|---|---|-----------------|
| 528 | MÉCANISME À VIS ET ENGRENAGE AVEC ROUE À SEGMENT | VF M |
| <div data-bbox="291 319 746 617" data-label="Image"> </div> <p data-bbox="168 641 862 907"> L'élément 1 muni d'un segment <i>a</i> portant des dents hélicoïdales tourne autour d'un axe fixe <i>A</i>. Les dents du segment engrènent avec les dents hélicoïdales de la roue 3, rigidement reliée à l'arbre 4 tournant autour d'un axe fixe <i>B — B</i>. La roue 3 est animée d'une rotation autour d'un axe fixe <i>B — B</i>. L'arbre 4 constitue un couple hélicoïdal <i>D</i> avec le bâti. La largeur de la couronne de la roue 3 dépasse celle de la couronne du segment hélicoïdal <i>a</i>. Lorsque la roue motrice 1 est en mouvement d'oscillation, l'arbre mené <i>B</i> effectue, outre la rotation autour de l'axe <i>B — B</i>, un mouvement alternatif le long de l'axe <i>B — B</i>. </p> | | |



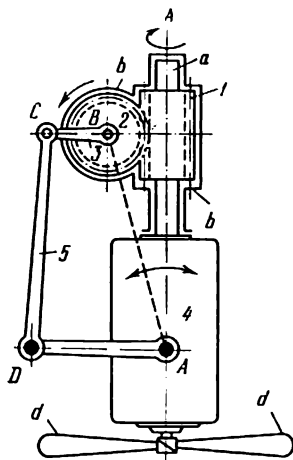
La vis sans fin *1*, mobile autour d'un axe fixe *A — A*, possède trois parties *a*, *b* et *c* comportant le même nombre de filets, mais de direction diverse. Lorsque la vis sans fin menante *1* est en rotation, les roues menées *2*, *3* et *4* entrent en prise avec les parties *a*, *b* et *c* de la vis sans fin *1* et tournent autour des axes fixes *B*, *C* et *D* dans les sens indiqués par les flèches.



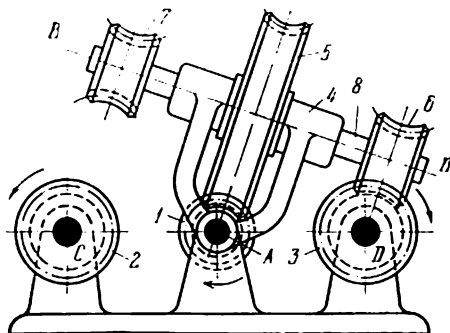
La vis sans fin 1, mobile autour de l'axe fixe $A - A$ de l'arbre cannelé 5, peut se déplacer d'un mouvement de translation le long de cet axe. La vis sans fin 1 engrène avec la roue sans fin 2 tournant autour de l'axe C de la boîte b qui est rendue solidaire du coulisseau 3 glissant dans les guides fixes $d - d$. La roue 2 constitue un couple de rotation B avec l'élément 4 mobile autour d'un axe A' . Lorsque l'arbre menant 5 tourne autour de l'axe A , la vis sans fin 1 imprime à la roue menée 2 une rotation et de surcroît un mouvement alternatif parallèle à l'axe $A - A$.



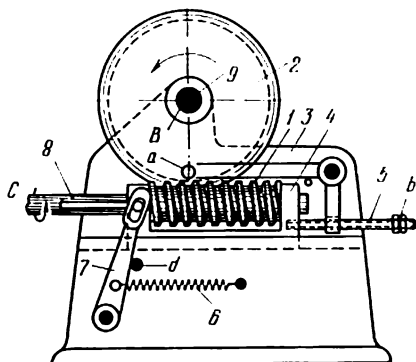
L'arbre 1, solidaire de la vis sans fin 2 mobile autour d'un axe fixe A, peut se déplacer d'un mouvement de translation dans un guidage 5 le long de l'axe A. La vis sans fin 2 engrène avec la roue tangente 3 tournant autour de l'axe B de la boîte b qui contient la vis sans fin 2 et la roue 3. La roue 3 constitue un couple de rotation C avec l'élément 4 tournant autour d'un axe fixe D. Pendant la rotation de l'arbre menant 1, la vis sans fin 2 imprime à la roue menée 3 une rotation et de surcroît un mouvement alternatif parallèle à l'axe A.



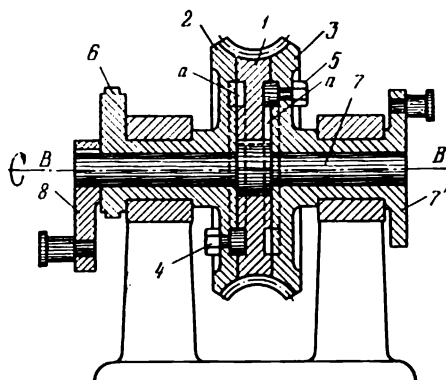
La vis sans fin 1, rigidement reliée à l'arbre *a* du moteur électrique 4, pivote autour d'un axe fixe *A* et vient en prise avec la roue tangente 2 tournant autour de l'axe *B* de la boîte *b* rendue solidaire du corps du moteur 4. La bielle 3, solidaire de la roue 2, constitue un couple de rotation *C* avec le levier oscillant 5 animé d'une rotation autour d'un axe fixe *D*. Lorsque l'arbre *a* tourne autour de son axe, le moteur électrique 4, avec les palettes *d* du ventilateur, reçoit une rotation autour de l'axe *A*.



La vis sans fin 1, mobile autour d'un axe fixe A, engrène avec la roue tangente 5 tournant autour d'un axe B — B. Les roues tangentes 5, 6 et 7 sont calées sur l'arbre 8 effectuant un mouvement de rotation dans les paliers de la fourche 4 qui peut tourner librement autour de l'axe A. Lorsque la fourche 4 tourne autour de l'axe A, les roues 6 et 7 viennent en prise avec les vis sans fin 3 et 2, provoquant ainsi la rotation périodique de celles-ci autour des axes fixes D et C. La transmission de la rotation des roues 6 et 7 aux vis sans fin 3 et 2 n'est possible que si l'on choisit assez grands les angles d'inclinaison des filets de ces dernières.



Lorsque l'arbre cannelé menant 8 est en rotation, la vis sans fin 1 entraîne à l'aide de la roue tangente 2 dans le mouvement de rotation l'arbre mené 9 mobile autour d'un axe fixe B dans le sens indiqué par la flèche. Lorsque le goujon a de la roue 2 entre en contact avec le levier coudé 3, la roue 2 et l'arbre 9 s'immobilisent. Comme l'arbre 8 continue à tourner, la vis sans fin 1, qui reste en prise avec la roue 2, se met à se déplacer vers la gauche le long de l'axe C de l'arbre 8 en même temps que le coulisseau 4 et la vis 5, surmontant la résistance du ressort 6. A la fin de la marche du coulisseau 4, l'écrou b de la vis 5 fait tourner le levier 3, libérant la roue 2. La roue 2 reçoit alors une rotation accélérée jusqu'à ce que le levier 7 touche le goujon d. La roue 2 et l'arbre 9 se déplacent ensuite d'un mouvement uniforme jusqu'au moment où le goujon a entre à nouveau en contact avec le levier coudé 3.



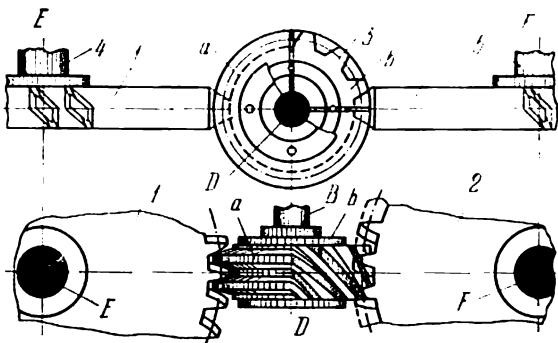
La roue tangente, mobile autour d'un axe fixe $B - B$, se compose de trois sections 1, 2 et 3. La section 1, montée rigidement sur l'arbre 7, comporte des rainures concentriques a . Les sections 2 et 3, montées folles sur l'arbre 7, peuvent être mises en mouvement à l'aide des boulons 4 et 5, dont les têtes cylindriques s'engagent dans les rainures concentriques des sections 1, 2 et 3. Étant donné que dans toutes les trois sections un certain nombre de dents sont enlevées, la rotation de la vis sans fin (non représentée sur la figure) se communique périodiquement à chacune des trois sections. De cette façon, la vis sans fin communique périodiquement le mouvement de rotation aux manivelles 8 et 7' ainsi qu'à l'excentrique 6.

4. Mécanismes avec arrêts (536-538)

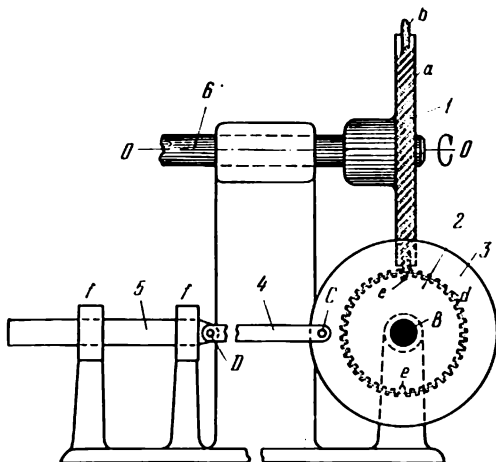
536

MÉCANISME À VIS SANS FIN AVEC ROUES MENÉES OBSERVANT DES ARRÊTS

VF
Ar



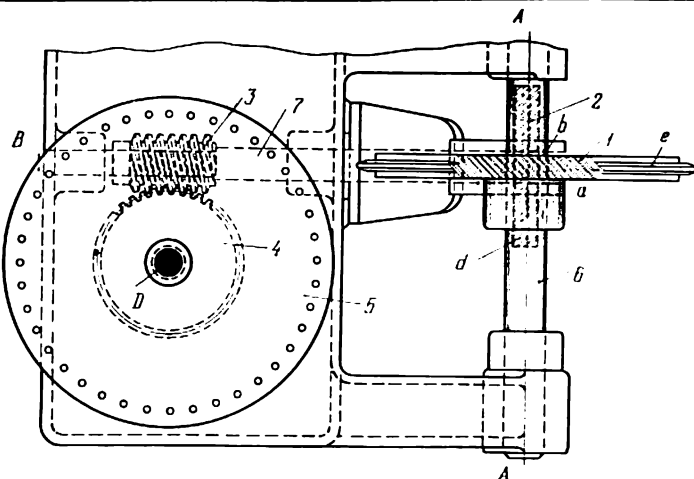
Les roues tangentes 1 et 2, rigidement reliées aux arbres 4 et 5, tournent autour des axes fixes E et F. La vis sans fin 3, solidaire de l'arbre B, effectue une rotation autour d'un axe fixe D. La vis sans fin 3 possède des dents hélicoïdales b filetées sur $1/4$ du cylindre primitif de la vis sans fin 3. Sur les $3/4$ restants du cylindre primitif de la vis sans fin 3 sont filetées deux dents circulaires a dont le filet a un angle d'inclinaison nul. Lorsque la vis sans fin menante est en rotation continue, les roues menées 1 et 2 tournent avec des arrêts. A la rotation des roues 1 et 2 correspond la période d'engrènement des dents b avec les dents des roues 1 et 2. A l'état de repos des roues 1 et 2 correspond la période d'engrènement des dents a avec les dents des roues 1 et 2. Les arbres 4 et 5 effectuent donc une rotation alternative. Les dents a en prise avec les dents des roues 1 et 2 empêchent la rotation spontanée de ces roues aux moments de repos.



La roue dentée hélicoïdale 1 est mobile autour d'un axe fixe $O - O$. Les dents hélicoïdales a de la roue 1 sont situées sur une partie de sa couronne. L'autre partie de la couronne porte un boudin b . La roue hélicoïdale 2, tournant autour d'un axe fixe B , comporte des dents hélicoïdales d et deux mortaises e . Le nombre de dents a est égal à celui de dents d situées sur une moitié de la couronne de la roue 2. Lorsque l'arbre menant 6 est en mouvement, la roue 2 tourne d'un angle de 180° pour un tour complet de l'arbre 6. Le boudin b glisse alors dans une des mortaises e , empêchant la rotation spontanée de la roue 2 au moment du repos. Le disque 3, solidaire de la roue 2, constitue un couple de rotation C avec la bielle 4, qui forme, à son tour, un couple de rotation D avec le coulisseau 5 glissant dans les guides $f - f$. Après chaque tour de l'arbre 6, le coulisseau mené 5 occupe la position limite gauche ou droite, en y observant des arrêts de longue durée.

**MÉCANISME À VIS ET ENGRENAGE AVEC
COMMANDE PAR ROUE
ET VIS SANS FIN ET AVEC
ROUE MENÉE OBSERVANT DES ARRÊTS**

VF
Ar



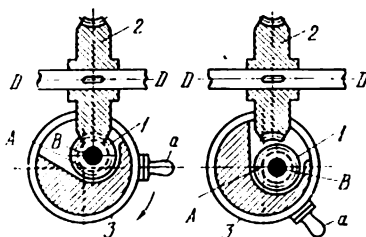
La roue dentée hélicoïdale 1 est mobile autour d'un axe fixe A — A. Les dents hélicoïdales a de la roue 1 sont situées sur une partie de sa couronne. L'autre partie de la couronne porte un boudin b. La roue hélicoïdale 2, tournant autour d'un axe fixe B, possède des dents hélicoïdales d et des mortaises e. Le nombre de dents a est égal au nombre de dents d ménagées entre les deux mortaises voisines e. Lorsque l'arbre menant A tourne, la roue 2 effectue une rotation d'un certain angle durant un tour de l'arbre 6 jusqu'à ce que le boudin b s'engage dans la mortaise e. La roue 2 reste en repos pendant le glissement du boudin b dans la mortaise e, empêchant ainsi la rotation spontanée de la roue 2. La roue 2 est rendue solidaire de l'arbre 7 portant la vis sans fin 3 qui engrène avec la roue tangente 4 animée d'un mouvement de rotation autour d'un axe fixe D. Lorsque l'arbre menant 6 est animé d'un mouvement de rotation, le disque mené 5, solidaire de la roue 4, tourne en observant des arrêts. L'angle de rotation du disque 5 et son temps de mouvement et de repos sont fonction du nombre de dents des roues hélicoïdales 1 et 2 et des roues tangentes 3 et 4.

5. Mécanismes de commutation, d'enclenchement et de déclenchement (539-540)

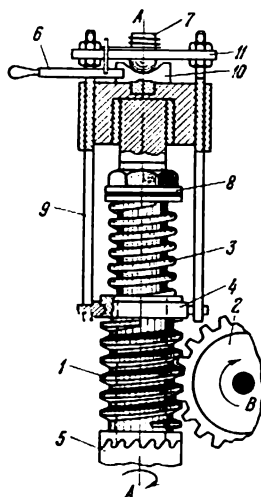
539

MÉCANISME À VIS SANS FIN AVEC LA VIS SANS FIN DÉBRAYABLE

VF
CE



La vis sans fin 1, mobile autour de l'axe fixe B de l'élément 3, engrène avec la roue tangente 2 tournant autour d'un axe fixe D — D. Le débrayage de la vis sans fin 1 est réalisé par la rotation de la poignée a de l'élément 3 autour d'un axe A.



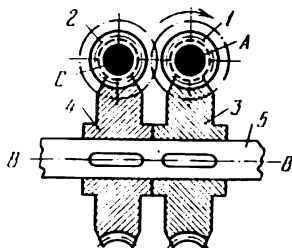
Sous une charge normale, la vis sans fin 1, mobile autour d'un axe fixe A — A, transmet à la roue tangente 2 un mouvement de rotation autour d'un axe fixe B. Sous une charge élevée, la poussée axiale de la vis sans fin 1 surmonte la résistance du ressort 3, et la vis sans fin 1, ainsi que la traverse 4, les tiges 9 et la traverse 11 montent, en débrayant l'accouplement 5 qui commande le mouvement de la vis sans fin 1. La roue tangente 2 s'arrête alors. La position débrayée de la vis sans fin 1 est fixée par la poignée 6 qui tourne avec le prisme 10 sous l'action du ressort 7. Lorsqu'on tourne la poignée 6 dans le sens inverse, la vis sans fin 1 s'abaisse sous l'action du ressort 3 et embraye l'accouplement 5. La tension du ressort 3 est réglée à l'aide de l'écrou 8.

6. Mécanismes des boîtes de vitesses et des réducteurs (541)

541

MÉCANISME À VIS SANS FIN DE LA BOÎTE DE VITESSES SIMPLE

VF
BV



La vis sans fin 1, mobile autour d'un axe fixe A, engrène avec la roue tangente 3, solidaire de l'arbre 5 et effectuant une rotation autour d'un axe fixe B — B'. La roue tangente 4, solidaire de l'arbre 5, est en prise avec la vis sans fin 2 tournant autour d'un axe fixe C. Le rapport de transmission i_{12} du mécanisme est égal à

$$i_{12} = \frac{z_3}{z_1} \cdot \frac{z_2}{z_4},$$

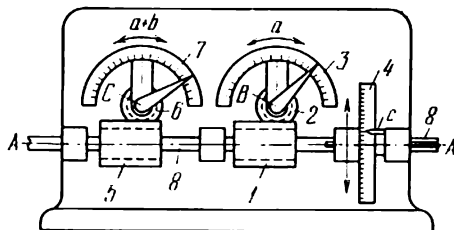
où z_3 et z_4 sont les nombres de dents 3 et 4, et z_1 et z_2 les nombres de filets des vis sans fin 1 et 2. Si la vis sans fin 1 est menante, la vis sans fin 2 ne peut être entraînée en rotation qu'à condition que l'angle d'inclinaison des filets de la vis sans fin 2 soit supérieur à l'angle de frottement. Le rendement de la transmission du mouvement de la roue à la vis sans fin étant insignifiant (moins de 0,5), il n'est pas rationnel d'utiliser cette boîte de vitesses pour la transmission de la puissance, mais elle pourrait se montrer très efficace pour obtenir de grands rapports de transmission.

7. Mécanismes pour opérations mathématiques (542-544)

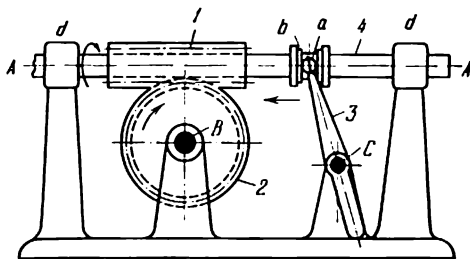
542

MÉCANISME D'ADDITION À VIS SANS FIN ET ENGRENAGE

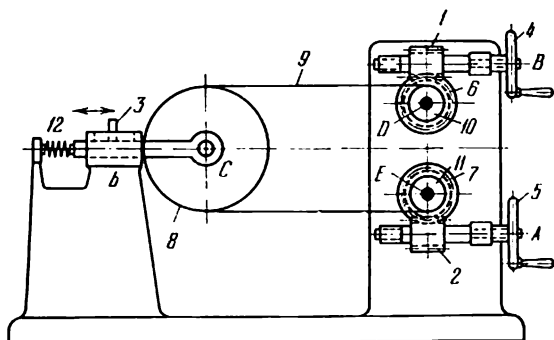
VF
OM



L'arbre 8, mobile autour d'un axe $A - A$, comporte une crémaillère ronde 1 et une vis sans fin 5, qui engrenent avec les roues 2 et 6 tournant autour des axes B et C . L'un des nombres à additionner a est introduit par la rotation de la roue dentée 2 comportant la crémaillère 1 liée à l'arbre 8. On porte sur l'échelle 3 la valeur de ce nombre à additionner. Lorsque la roue 2 tourne, l'arbre 8 se déplace d'un mouvement de translation et la vis sans fin 5, solidaire de cet arbre, provoque la rotation de la roue tangente 6 d'un angle égal à celui de la roue 2. L'autre nombre à additionner, b , est introduit par la rotation du disque 4 relié à l'arbre 8. La valeur du deuxième nombre à additionner est déterminée par la position de l'aiguille c sur le disque 4. Lorsque l'arbre 8 tourne, la roue dentée 2 reste immobile, et la roue tangente 6 effectue une rotation d'une valeur égale à celle du deuxième nombre à additionner. La somme $a + b$ est enregistrée sur l'échelle 7.



La vis sans fin 1, solidaire de l'arbre 4, tourne autour d'un axe fixe A — A et engrène avec la roue tangente 2 qui tourne, à son tour, autour d'un axe fixe B. L'arbre 4 peut effectuer un déplacement de translation dans un guidage d — d. Le levier 3, tournant autour d'un axe fixe C, glisse par son doigt a dans la coulisse b de l'arbre 4. Le déplacement angulaire de la roue 2 se compose de deux mouvements de rotation : le mouvement de la vis sans fin 1 qui tourne autour de l'axe A — A et le mouvement de la vis sans fin 1 qui se déplace d'un mouvement de translation le long de l'axe A — A. Lors de son dernier mouvement, la vis sans fin 1 agit comme une crémaillère.

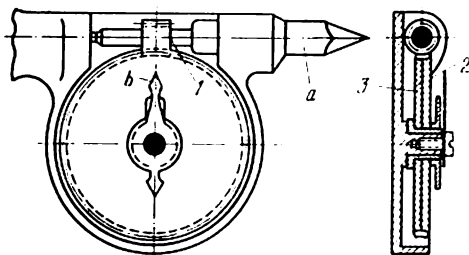


Les vis sans fin 1 et 2, mobiles autour des axes fixes B et A, sont entraînées dans le mouvement au moyen de volants à main 4 et 5. Les vis sans fin 1 et 2 engrenent avec les roues tangentes 6 et 7 tournant autour des axes fixes D et E. Les roues 6 et 7 sont rigidement reliées aux poulies 10 et 11, sur lesquelles s'enroule l'élément flexible 9. Ce dernier embrasse la poulie 8 qui constitue un couple de rotation C avec le coulisseau 3 glissant dans un guidage fixe b. Le ressort 12 assure l'effort de contact entre les éléments du mécanisme. Le déplacement linéaire du coulisseau 3 se compose de deux mouvements de rotation réalisés par rotation des volants 4 et 5.

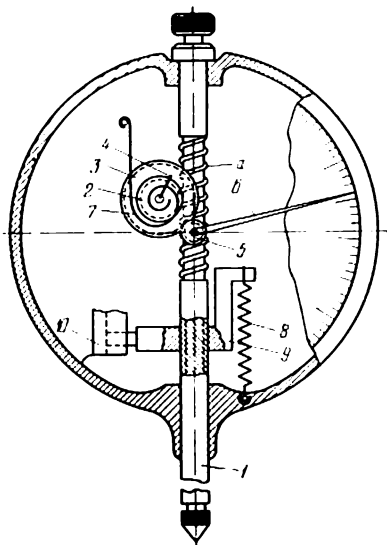
8. Mécanismes des dispositifs de mesure et d'essai (545-547)

545 MÉCANISME À VIS SANS FIN D'UN COMPTE-TOURS

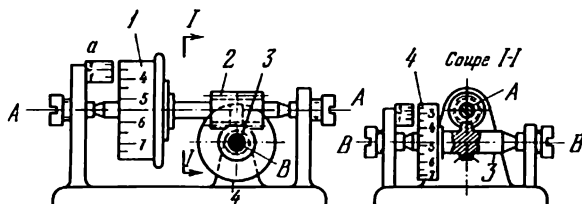
VF
ME



La rotation de la pointe *a* serrée contre le centre marqué sur la surface en bout de l'arbre à essayer est transmise à l'aide de la vis sans fin *1* aux roues tangentes *3* et *2* comportant respectivement 100 et 101 dents. La différence entre les vitesses de rotation de ces roues permet de mesurer le nombre de tours de l'arbre à essayer. La roue *3* comporte une aiguille *b* et la roue *2*, un cadran.

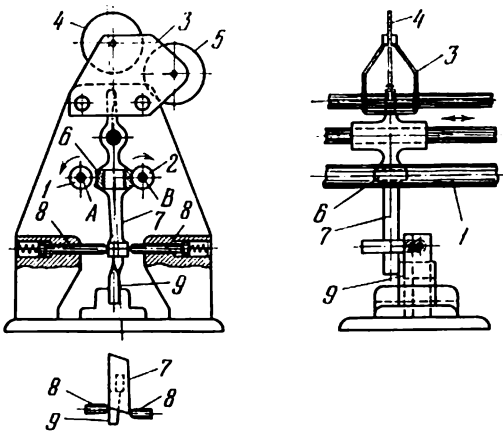


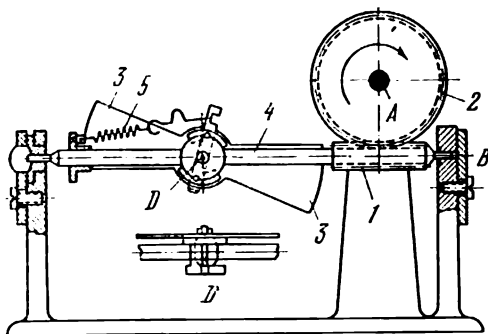
La tige de mesure 1 comporte dans sa partie moyenne la vis tangente *a* qui vient en prise avec une roue tangente 2 dont l'axe porte la roue dentée 3 et la petite aiguille 4 indiquant les millimètres entiers. La roue dentée 3 vient en prise avec la roue dentée 5, sur l'axe de laquelle est montée la grande aiguille 6 indiquant les centièmes de millimètre. Le ressort 7 sert à éliminer la course morte. Le ressort 8 provoque une pression constante de mesure. Après chaque tour de la tige 1, la pièce 9 se déplace dans le sens de son axe, en agissant sur le ressort 8 et en réglant l'effort de pression. Le guide 10 empêche la pièce 9 de pivoter.



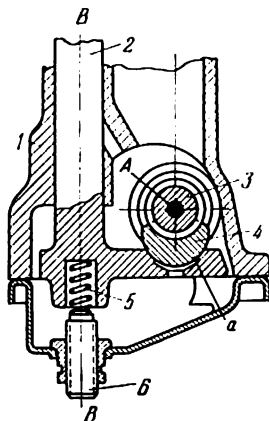
La vis sans fin 2, mobile autour d'un axe fixe $A - A$, engrène avec la roue tangente 3 tournant autour d'un axe fixe B . Le disque 1 est rigidement relié à l'arbre de la vis sans fin 2 et le disque 4, à l'arbre de la roue tangente 3. Le disque 4 enregistre les nombres entiers de rotation de la vis sans fin 2 et le disque 1 enregistre, à l'aide du vernier a , les nombres fractionnaires de rotation de la vis sans fin 1.

9. Mécanismes d'autres dispositifs spéciaux (548-554)

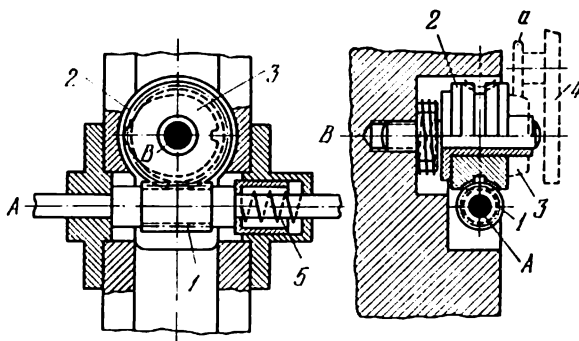
| | | |
|--|---|-------------------|
| 548 | MÉCANISME À VIS ET À VIS SANS FIN POUR BOBINAGE DU FIL | VF DSp |
|  | | |
| <p>Les vis sans fin 1 et 2, effectuant une rotation en sens contraire autour des axes fixes A et B, impriment au chariot 3 portant les disques 4 et 5 qui entraînent le fil un déplacement dans un sens ou dans l'autre, selon la vis qui vient en prise avec la roue tangente 6. L'élément 7, qui subit l'action des tiges à ressort 8, reçoit un mouvement sur le chanfrein 9 de sorte que l'élément 7 portant la roue 6 s'écarte périodiquement d'un côté ou de l'autre, assurant ainsi le renversement de marche du chariot 3 et par suite le bobinage du fil en quelques couches.</p> | | |



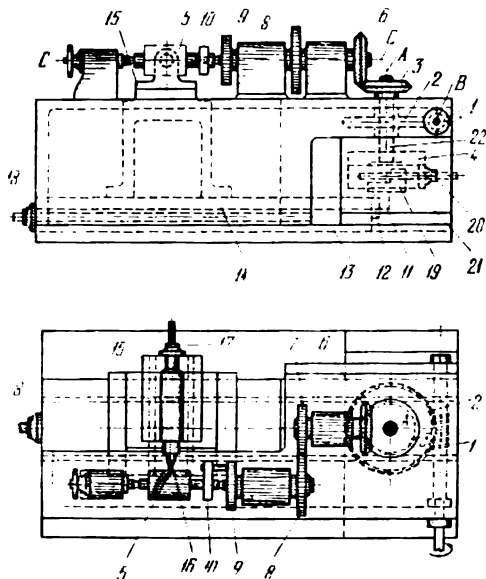
La roue tangente 2, mobile autour d'un axe fixe A, vient en prise avec la vis sans fin 1 qui pivote autour d'un axe fixe B. L'arbre 4 de la vis sans fin 1 porte l'axe D, sur lequel tournent les palettes 3 du moulinet. Après que la roue menante 2 a effectué un nombre déterminé de tours, le freinage a lieu, qui augmente lorsque s'accroît le nombre de tours de l'arbre 4, car la force centrifuge fait tourner les palettes 3 autour de l'axe D, surmontant la résistance du ressort 5. La transmission du mouvement de rotation de la roue 2 à la vis sans fin 1 est possible, si l'angle d'inclinaison des filets de la vis sans fin 1 est assez grand.



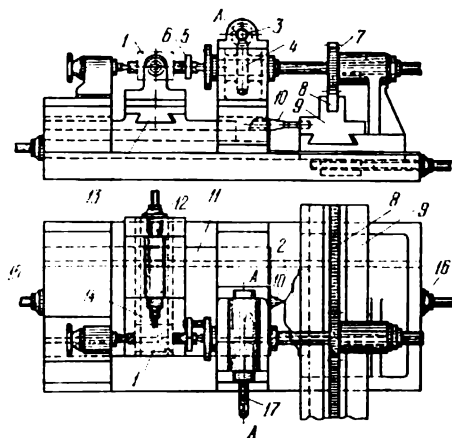
La vis sans fin 3, mobile autour d'un axe fixe A, engrène avec le demi-écrou sphérique 4 monté dans la cuvette sphérique a de l'arbre 2. Lorsque la vis sans fin 3 tourne, le demi-écrou 4 se déplace dans le sens parallèle à l'axe de la vis sans fin 3, provoquant la rotation de l'arbre 2, qui commande les roues avant du véhicule, autour d'un axe fixe B — B. La continuité d'engrènement du demi-écrou 4 avec la vis sans fin est assurée par le ressort 5, dont la tension est réglée par la vis 6. L'arbre 2, monté dans le corps 1 comme dans un palier, peut tourner autour d'un axe vertical.



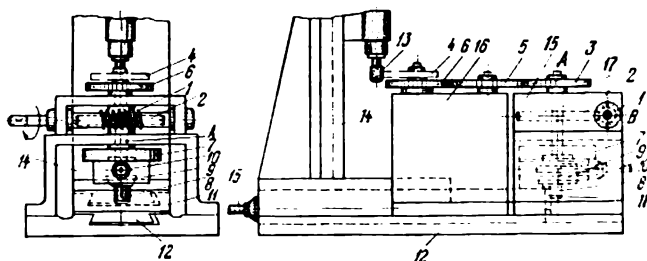
La vis sans fin 1, mobile autour d'un axe fixe A, engrène avec la roue tangente 2 tournant autour d'un axe fixe B. La came tridimensionnelle 3 rigidement reliée à la roue 2 imprime un mouvement alternatif au rouleau a du tube 4 du microscope. Le ressort 5 permet de rattraper les jeux dans le mécanisme.



L'arbre 22, mobile autour d'un axe fixe A, est mis en mouvement par la vis sans fin 1 tournant autour d'un axe fixe B et par la roue tangente 2 tournant autour de l'axe A. Le disque 4 avec son guidage et la roue dentée 3 sont montés sur l'arbre 22. Le coulisseau 19, dont la position est fixée par la vis 20, se déplace dans le guidage du disque 4. Le coulisseau 19 comporte un palier du goujon 11 présentant une partie saillante en forme de demi-cercle. Lorsque l'arbre 22 tourne, le goujon 11, dont le plan agit sur la plaque 12 fixée au bâti, déplace les coulisseaux 14 et 21 fixés sur le support 13. En même temps la pièce brute 5 reçoit un mouvement de rotation autour d'un axe fixe C à l'aide des roues dentées 3, 6, 7, 8 et des éléments 9 et 10. Le déplacement de la pièce brute 5 exécutée par la fraise 16 est réglé à l'aide de la vis 20. La distance minimale entre la rainure à came et le bout de la pièce brute est définie par le déplacement du support 14 à l'aide de la vis 18. La profondeur de fraisage de la rainure à came est réglée par le déplacement du support 15 à l'aide de la vis 17. On obtient la phase requise de la came en changeant les roues de l'engrenage 3, 6, 7, 8.



Lorsque l'arbre 17 tourne autour de l'axe A — A, le mouvement se communique simultanément à la pièce brute 1 ainsi qu'au gabarit 2. La pièce brute 1 est mise en mouvement à l'aide d'un couple roue-vis 3-4 et des éléments 5 et 6. Le gabarit 2 est mis en mouvement à l'aide d'un couple roue-vis 3-4 de la roue dentée 7 et de la crémaillère 8, fixées sur le coulisseau 9 qui porte le gabarit 2. Lorsque le coulisseau 9 se déplace, le gabarit 2 agit sur la butée 10, imprimant au coulisseau 11 un déplacement longitudinal. Le coulisseau 13 portant la fraise 14 se déplace également avec le coulisseau 11. On obtient l'écartement du support 9 pendant l'échange des gabarits 2 à l'aide de la vis 16. La vis 15 permet d'obtenir une distance minimale entre la rainure à came et le bout de la pièce brute. La vis 12 est destinée à régler la profondeur de fraisage de la rainure à came.



L'arbre 17 est mis en mouvement à l'aide de la vis tangente 1, mobile autour d'un axe fixe B, et à l'aide de la roue tangente 2 tournant autour d'un axe A. Le disque 7 avec son guidage et la roue dentée 3 sont fixés sur l'arbre 17. Le coulisseau 9, dont la position est fixée par la vis 10, se déplace dans le guidage du disque 7. Le coulisseau 9 comporte un palier du goujon 8 présentant une partie saillante en forme de demi-cercle. Lorsque l'arbre 17 tourne, le goujon 8, dont le plan agit sur la plaque 11 fixée au bâti, déplace les coulisseaux 15 et 16 fixés sur le support 12. La pièce brute 4 est entraînée simultanément en rotation autour de son axe à l'aide des roues dentées 3, 5 et 6. La vis 10 règle le déplacement de la pièce brute exécutée par la fraise 13. La vis 15 permet de fixer le rayon minimal de la came en déplaçant le support 14 de la fraise. On obtient la phase requise de la came en changeant les roues de l'engrenage.

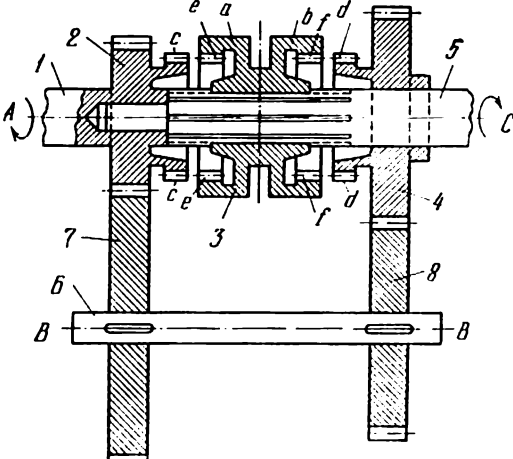
VII

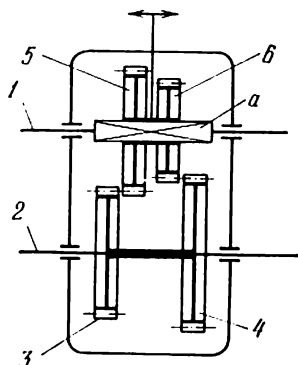
Mécanismes dentés composés

DC

1. Mécanismes des boîtes de vitesses et des réducteurs BV (555-581). 2. Mécanismes des boîtes de vitesses planétaires et des réducteurs BP (582-611). 3. Mécanismes des boîtes de vitesses différentielles et des réducteurs BD (612-637). 4. Mécanismes de transmission harmoniques MTH (638-644). 5. Mécanismes à éléments multiples d'usage général M (645-656). 6. Mécanismes pour opérations mathématiques OM (657-662). 7. Mécanismes des appareils de levage AL (663-670). 8. Mécanismes des machines et appareils produisant des vibrations MV (671-673). 9. Mécanismes des accouplements Ac (674-675). 10. Mécanismes des dispositifs de mesure et d'essai ME (676-679). 11. Mécanismes des freins Fr (680). 12. Mécanismes d'autres dispositifs spéciaux DSp (681-689).

1. Mécanismes des boîtes de vitesses et des réducteurs (555-581)

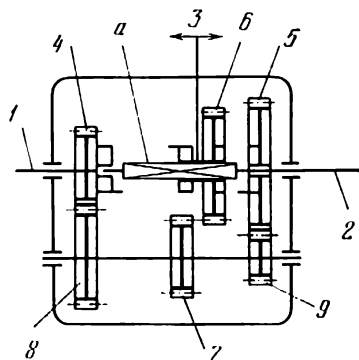
| | | |
|-----|--|--|
| 555 | <p align="center">MÉCANISME DENTÉ DE LA BOÎTE DE VITESSES À DEUX ÉTAGES AVEC ACCOUPLEMENT À DENTURE</p> | <p align="center">DC BV</p> |
| |  | |
| | <p>L'arbre menant 1, mobile autour d'un axe fixe A, est rigidement relié à la roue dentée 2. La roue dentée 4 est montée folle sur l'arbre mené 5. L'extrémité gauche de l'arbre mené 5 qui tourne autour d'un axe C possède des cannelures et porte l'accouplement à denture 3 composé des deux moitiés a et b comportant les dents e et f qui engrènent avec les dents c et d des roues 2 et 4. Les roues dentées 2 et 4 sont en prise permanente avec les roues dentées 7 et 8 fixées sur un arbre intermédiaire 6 tournant autour d'un axe fixe B. Lorsque l'accouplement 3 se déplace vers la gauche et lorsque la roue dentée a, fixée sur cet accouplement, engrène avec la roue dentée 2, le mouvement de l'arbre menant 1 sera transmis directement à l'arbre mené 5, c'est-à-dire que l'arbre 5 tournera à une vitesse angulaire égale à celle de l'arbre 1. Lorsque le chariot 3 se déplace vers la droite, la roue dentée b, fixée sur lui, engrène avec la roue dentée 4. Le mouvement de l'arbre menant 1 est alors transmis à l'arbre mené 5 par l'intermédiaire des roues dentées 2, 7, 8 et 4.</p> <p>Le rapport de transmission i_{15} sera égal à</p> $i_{15} = \frac{z_7}{z_2} \cdot \frac{z_4}{z_8},$ <p>où z_2, z_4, z_7 et z_8 sont les nombres de dents des roues 2, 4, 7 et 8.</p> | |



Les roues 5 et 6 rigidement reliées entre elles glissent sur le guidage rectiligne *a* de l'arbre 1. Lorsque l'arbre 1 tourne, l'arbre 2 peut avoir deux vitesses selon que les roues 5 et 3 ou les roues 6 et 4 sont mises en prise. Les rapports de transmission correspondants i_{12} sont égaux à

$$i_{12} = -\frac{z_3}{z_5} \quad \text{ou} \quad i_{12} = -\frac{z_4}{z_6},$$

où z_3 , z_4 , z_5 et z_6 sont les nombres de dents des roues 3, 4, 5 et 6.



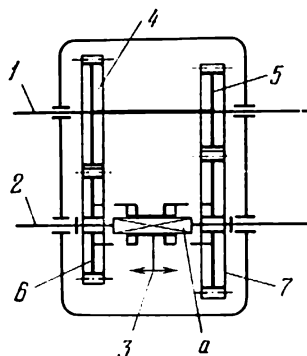
L'accouplement 3 comportant la roue dentée glisse sur le guidage rectiligne *a* de l'arbre 2. Lorsque l'accouplement 3 est à l'état neutre, l'arbre 1 tourne et l'arbre 2 reste immobile. L'accouplement 3 une fois embrayé avec la roue 4, les arbres 1 et 2 auront des vitesses angulaires de même valeur et de même signe. Lorsque l'accouplement 3 est embrayé avec la roue 5, les arbres 1 et 2 tourneront dans le même sens. Le rapport de transmission i_{12} sera égal à

$$i_{12} = \frac{z_8}{z_4} \cdot \frac{z_5}{z_9},$$

où z_4 , z_5 , z_8 et z_9 sont les nombres de dents des roues 4, 5, 8 et 9. Lorsque les roues 6 et 7 sont mises en prise, les arbres 1 et 2 effectuent une rotation dans le même sens dont le rapport de transmission i_{12} est égal à

$$i_{12} = \frac{z_8}{z_4} \cdot \frac{z_6}{z_7},$$

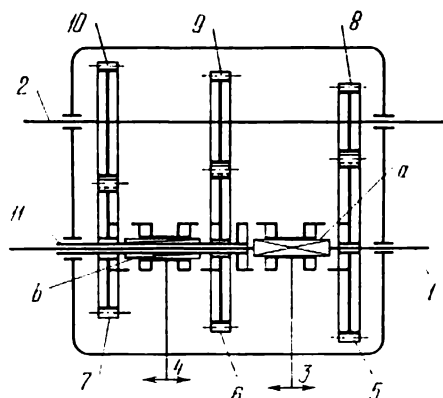
où z_6 et z_7 sont les nombres de dents des roues 6 et 7.



L'accouplement 3 glisse sur le guidage rectiligne *a* de l'arbre 2. Lorsque l'arbre 1 tourne, l'arbre 2 peut avoir deux vitesses selon que l'accouplement 3 est embrayé avec la roue 6 ou avec la roue 7. Les rapports de transmission correspondants i_{12} sont égaux à

$$i_{12} = -\frac{z_6}{z_4} \quad \text{ou} \quad i_{12} = -\frac{z_7}{z_5},$$

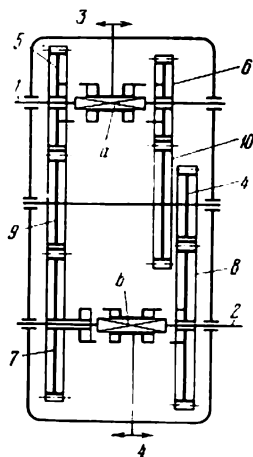
où z_4 , z_5 , z_6 et z_7 sont les nombres de dents des roues 4, 5, 6 et 7.



L'accouplement 3 glisse sur le guidage rectiligne *a* de l'arbre 1. L'accouplement 4 glisse sur le guidage rectiligne *b* de l'arbre creux 11. Lorsque l'arbre 1 tourne, l'arbre 2 peut avoir trois vitesses: la première vitesse est obtenue en embrayant l'accouplement 4 avec la roue 7 et l'accouplement 3 avec l'arbre creux 11, la deuxième vitesse, en embrayant l'accouplement 4 avec la roue 6 et l'accouplement 3 avec l'arbre creux 11, la troisième vitesse, en embrayant l'accouplement 3 avec la roue 5. Les rapports de transmission i_{12} sont respectivement égaux à

$$i_{12} = -\frac{z_{10}}{z_7} \quad \text{ou} \quad i_{12} = -\frac{z_9}{z_6} \quad \text{ou} \quad i_{12} = -\frac{z_8}{z_5},$$

où z_5 , z_6 , z_7 , z_8 , z_9 et z_{10} sont les nombres de dents des roues 5, 6, 7, 8, 9 et 10.

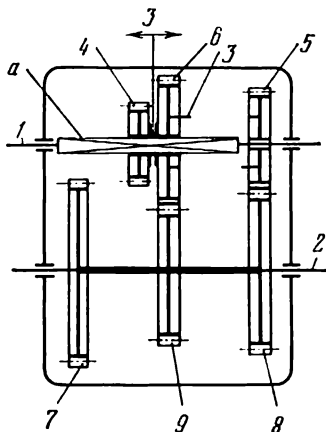


Les accouplements 3 et 4 glissent sur les guidages rectilignes *a* et *b* des arbres extérieurs 1 et 2. Lorsque l'arbre 1 tourne, l'arbre 2 peut avoir quatre vitesses selon que les accouplements 3 et 4 sont embrayés simultanément avec les roues 5 et 7 ou 5 et 8, 6 et 7 ou 6 et 8. Les rapports de transmission i_{12} sont respectivement égaux à

$$i_{12} = \frac{z_7}{z_5} \quad \text{ou} \quad i_{12} = \frac{z_9}{z_5} \frac{z_8}{z_4},$$

$$\text{ou} \quad i_{12} = \frac{z_{10}}{z_6} \frac{z_7}{z_9}, \quad \text{ou} \quad i_{12} = \frac{z_{10}}{z_6} \frac{z_8}{z_4},$$

où z_5 , z_6 , z_7 , z_8 , z_9 et z_{10} sont les nombres de dents des roues 5, 6, 7, 8, 9 et 10.

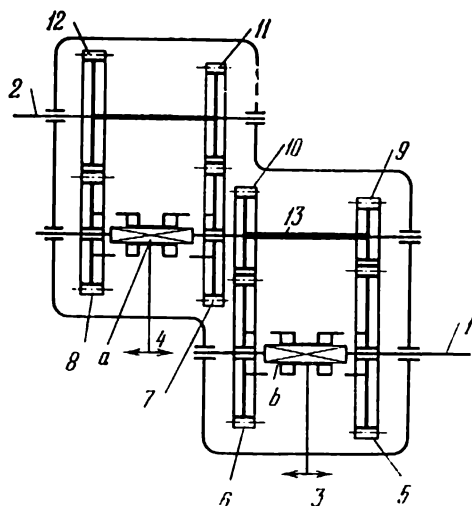


Les roues 4 et 6, rigidement reliées entre elles, glissent sur le guidage rectiligne *a* de l'arbre 1. La roue 6 est solidaire de l'accouplement 3. Lorsque l'arbre 1 tourne, l'arbre 2 peut avoir trois vitesses. La première vitesse est obtenue en embrayant les roues 4 et 7; la deuxième, en embrayant les roues 6 et 9; la troisième, en embrayant l'accouplement 3 avec la roue 5.

Les rapports i_{12} sont respectivement égaux à

$$i_{12} = -\frac{z_7}{z_4} \quad \text{ou} \quad i_{12} = -\frac{z_9}{z_6}, \quad \text{ou} \quad i_{12} = -\frac{z_8}{z_5},$$

où z_4 , z_5 , z_6 , z_7 , z_8 et z_9 sont les nombres de dents des roues 4, 5, 6, 7, 8 et 9.



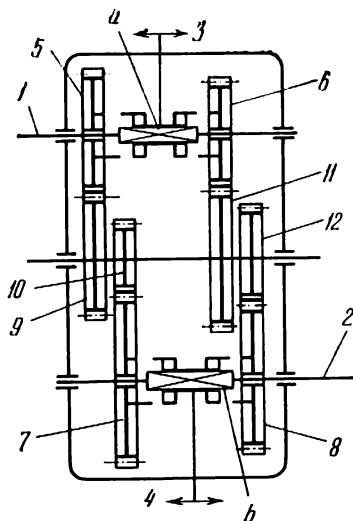
L'accouplement 3 glisse sur le guidage rectiligne *b* de l'arbre 1. L'accouplement 4 glisse sur le guidage rectiligne *a* de l'arbre intermédiaire 13. Lorsque l'arbre 1 tourne, l'arbre 2 peut avoir quatre vitesses selon que les accouplements 3 et 4 s'embrayent simultanément avec les roues 5 et 7, 5 et 8, 6 et 7 ou 6 et 8.

Les rapports de transmissions i_{12} sont respectivement égaux à

$$i_{12} = \frac{z_9}{z_5} \frac{z_{11}}{z_7} \quad \text{ou} \quad i_{12} = \frac{z_9}{z_5} \frac{z_{12}}{z_8},$$

$$\text{ou} \quad i_{12} = \frac{z_{10}}{z_6} \frac{z_{11}}{z_7} \quad \text{ou} \quad i_{12} = \frac{z_{10}}{z_6} \frac{z_{12}}{z_8},$$

où $z_5, z_6, z_7, z_8, z_9, z_{10}, z_{11}$ et z_{12} sont les nombres de dents des roues 5, 6, 7, 8, 9, 10, 11 et 12.

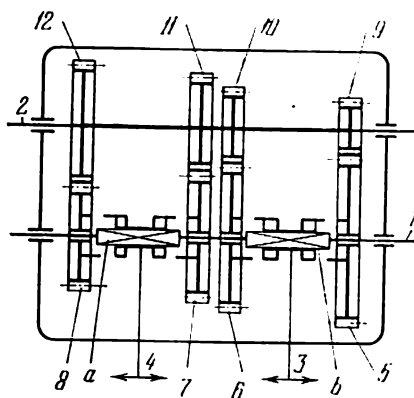


Les accouplements 3 et 4 glissent sur les guidages rectilignes *a* et *b* des arbres extérieurs 1 et 2. Lorsque l'arbre 1 tourne, l'arbre 2 peut avoir quatre vitesses selon que les accouplements 3 et 4 s'embrayent simultanément avec les roues 5 et 7, 5 et 8 ou 6 et 7, 6 et 8. Les rapports de transmission i_{12} sont respectivement égaux à

$$i_{12} = \frac{z_9}{z_5} \frac{z_7}{z_{10}} \quad \text{ou} \quad i_{12} = \frac{z_9}{z_5} \frac{z_8}{z_{12}},$$

$$\text{ou} \quad i_{12} = \frac{z_{11}}{z_8} \frac{z_7}{z_{10}}, \quad \text{ou} \quad i_{12} = \frac{z_{11}}{z_8} \frac{z_8}{z_{12}},$$

où $z_5, z_6, z_7, z_8, z_9, z_{10}, z_{11}$ et z_{12} sont les nombres de dents des roues 5, 6, 7, 8, 9, 10, 11 et 12.



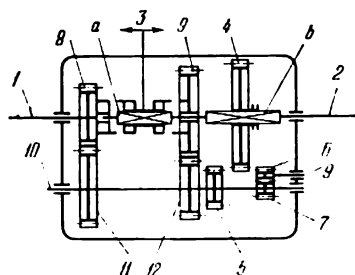
Les accouplements 4 et 3 glissent sur les guidages rectilignes *a* et *b* de l'arbre 1. Lorsque l'arbre 1 tourne, l'arbre 2 peut avoir quatre vitesses selon que les accouplements 3 et 4 s'embrayent avec les roues 5, 6 ou 7, 8. Les rapports de transmission i_{12} sont respectivement égaux à

$$i_{12} = -\frac{z_9}{z_5} \quad \text{ou} \quad i_{12} = -\frac{z_{10}}{z_6},$$

$$\text{ou} \quad i_{12} = -\frac{z_{11}}{z_7}, \quad \text{ou} \quad i_{12} = -\frac{z_{12}}{z_8},$$

où $z_5, z_6, z_7, z_8, z_9, z_{10}, z_{11}$ et z_{12} sont les nombres de dents des roues 5, 6, 7, 8, 9, 10, 11 et 12.

MÉCANISME DENTÉ DE LA BOÎTE DE VITESSES RÉVERSIBLE À QUATRE ÉTAGES AVEC ACCOUPLEMENT



La roue 8 est rigidement reliée à l'arbre 1. L'accouplement 3 peut glisser le long du guidage rectiligne *a* de l'arbre 2. La roue 9 tourne fou sur l'arbre 2. La roue 4 peut glisser le long du guidage rectiligne *b* de l'arbre 2 et engrener avec les roues 5 ou 6. La roue 6 tourne autour de l'arbre intermédiaire 9 et engrène avec la roue 7. Les roues 7, 5, 12 et 11 sont rendues solidaires de l'arbre intermédiaire 10. Lorsqu'on embraye l'accouplement 3 avec les roues 8 et 9 et on met en prises les roues 4 et 5, on peut obtenir les trois rapports de transmission i_{12} suivants :

$$i_{12} = 1, \quad i_{12} = \frac{z_{11}}{z_8} \frac{z_9}{z_{12}}, \quad i_{12} = \frac{z_{11}}{z_8} \frac{z_4}{z_5},$$

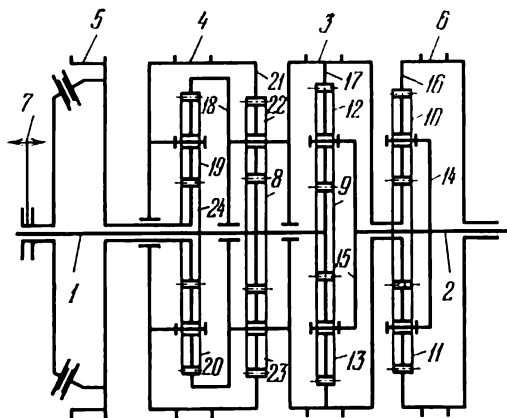
où $z_4, z_5, z_8, z_9, z_{11}$ et z_{12} sont les nombres de dents des roues 4, 5, 8, 9, 11 et 12.

Si la roue 4 est mise en prise avec la roue 6, le rapport de transmission i_{12} sera égal à

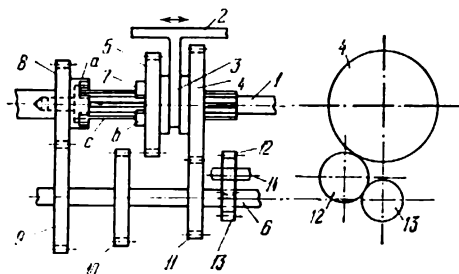
$$i_{12} = - \frac{z_{11}}{z_8} \frac{z_4}{z_7},$$

c.-à-d. que l'arbre 2 reçoit un mouvement inverse.

De cette façon, lorsque l'arbre 1 tourne, l'arbre 2 possède trois vitesses différentes de marche avant et une vitesse de marche arrière.



Les roues dentées 8 et 9 sont rigidement reliées à l'arbre 1. Les satellites 10, 11 et 12, 13, égaux et symétriquement disposés, tournent librement sur les porte-satellites 14 et 15, solidaires de l'arbre 2. La roue 16 à denture intérieure, rigidement reliée au tambour de frein 6, engrène avec les satellites 10 et 11. Les roues 17 et 18 à denture intérieure sont rendues solidaires du tambour de frein 3 et engrènent respectivement avec les satellites 12 et 13 et avec les satellites 19 et 20. La roue 21 à denture intérieure, rigidement reliée au tambour de frein 4, engrène avec les satellites 22 et 23. La roue dentée 24, rigidement reliée au tambour de frein 5, engrène avec les satellites 19 et 20. L'accouplement 7 effectue le freinage du tambour 5. Lorsque l'arbre 1 tourne, l'arbre 2 peut avoir quatre vitesses angulaires de marche avant, grâce au freinage effectué par les tambours 3, 4, 5 et grâce à l'embrayage de l'accouplement 7, et une vitesse de marche arrière grâce au freinage effectué par le tambour 6.



La roue 8, tournant fou sur l'arbre 1, possède une couronne portant des cames *a*, qui peut embrayer avec la couronne à came 7 du moyeu 3 glissant sur les cannelures *c* de l'arbre 1. Les roues 4 et 5 sont rigidement reliées au moyeu 3. Lorsqu'on déplace le levier 2 vers la gauche, les cames *b* de la couronne 7 embrayent avec les cames *a* et la rotation est transmise à l'arbre 6 à l'aide des roues 8 et 9. Le rapport de transmission i_{16} est égal à

$$i_{16} = - \frac{z_9}{z_8} ,$$

où z_8 et z_9 sont les nombres de dents des roues 8 et 9. Lorsqu'on met en prises les roues 4 et 11 ou 5 et 10, les rapports de transmission sont respectivement égaux à

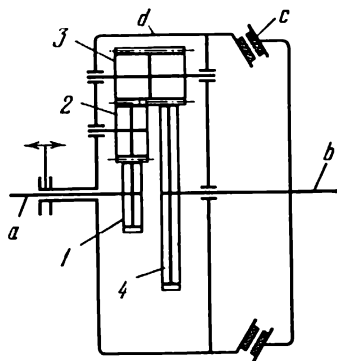
$$i_{16} = - \frac{z_{11}}{z_4} \quad \text{et} \quad i_{16} = - \frac{z_{10}}{z_5} ,$$

où z_4 , z_5 , z_{10} et z_{11} sont les nombres de dents des roues 4, 5, 10 et 11. Lorsqu'on déplace le levier 2 vers la droite, la roue 4 peut entrer en prise avec la roue intermédiaire 12, solidaire de l'arbre 14 dont l'axe de rotation ne coïncide pas avec le plan où sont situés les axes des roues 1 et 6. Le rapport de transmission i_{16} est en ce cas-là égal à

$$i_{16} = \frac{z_{13}}{z_4}$$

et l'arbre 6 effectue un mouvement inverse.

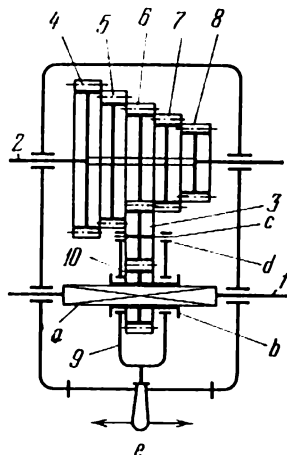
De cette façon, lorsque l'arbre 1 tourne, l'arbre 6 possède trois vitesses différentes de marche avant et une vitesse de marche arrière.



L'arbre *a* transmet la rotation à l'arbre *b* à l'aide des roues dentées 2, 3 et 4. Lorsque l'accouplement *c* est débrayé et le tambour *d* est desserré, les arbres *a* et *b* tournent à des vitesses angulaires de même signe et de même valeur. Quand le tambour *d* est freiné et quand l'accouplement *c* est embrayé, les arbres *a* et *b* tournent à des vitesses angulaires de signe contraire. La valeur du rapport de transmission i_{ab} est alors égale à

$$i_{ab} = -\frac{z_4}{z_1},$$

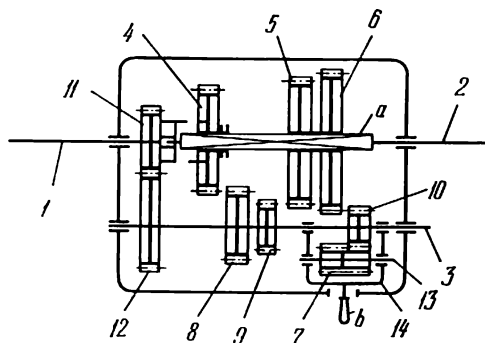
où z_1 et z_4 sont les nombres de dents des roues 1 et 4. Quand le tambour *d* est desserré et l'accouplement *c* est débrayé, les satellites 2 et 3 roulent sur les roues 1 et 4 et s'il y a un moment résistant sur l'arbre *b*, ce dernier restera immobile.



La chape 9 tourne autour de l'axe du coulisseau cylindrique *b* glissant sur le guide rectiligne *a* de l'arbre 1. La roue 10, rigidement reliée au coulisseau *b*, engrène avec la roue 3 dont l'axe *c* tourne dans les paliers *d* de la chape 9. La roue 3 peut être amenée en prise avec l'une des cinq roues 4, 5, 6, 7 et 8, solidaires de l'axe 2. La mise en prise de la roue 3 est réalisée à l'aide de la poignée *e* par rotation et déplacement de la chape 9 autour de l'axe 1 et le long de cet axe. Pour la position de la roue 3 représentée sur la figure, le rapport de transmission i_{12} est égal à

$$i_{12} = \frac{z_6}{z_{10}},$$

où z_6 et z_{10} sont les nombres de dents des roues 6 et 10. Lorsque l'arbre 1 tourne, l'arbre 2 peut avoir cinq vitesses différentes selon que la roue 4, 5, 6, 7 ou 8 qui est en prise avec la roue 3.



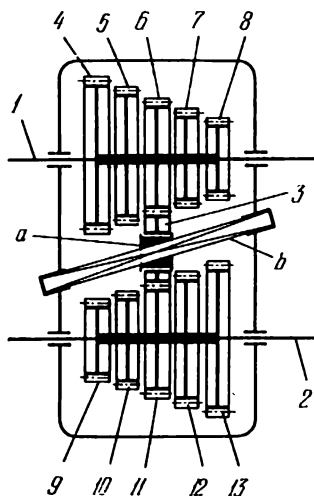
La roue 11 est rigidement reliée à l'arbre 1. Les roues 4, 5 et 6 peuvent glisser sur le guidage rectiligne *a* de l'arbre 2. Les roues 12, 8, 9 et 10 sont solidaires de l'arbre intermédiaire 3. En amenant les roues 4, 5 et 6 en prise avec les roues 8, 9 et 10, on obtient trois rapports de transmission différents i_{12} . On a donc

$$i_{12} = \frac{z_{12}}{z_{11}} \frac{z_4}{z_8}, \quad i_{12} = \frac{z_{12}}{z_{11}} \frac{z_5}{z_9}, \quad i_{12} = \frac{z_{12}}{z_{11}} \frac{z_6}{z_{10}}.$$

Le cadre 14 portant une poignée *b* peut tourner librement autour de l'axe de l'arbre 3 et il possède un arbre intermédiaire 13 qui est solidaire de la roue 7. Cette dernière engrène avec la roue 10. En tournant le cadre 14 par la poignée *b*, on peut amener la roue 7 en prise avec la roue 6. Le rapport de transmission i_{12} est alors égal à

$$i_{12} = - \frac{z_{12}}{z_{11}} \frac{z_6}{z_{10}}$$

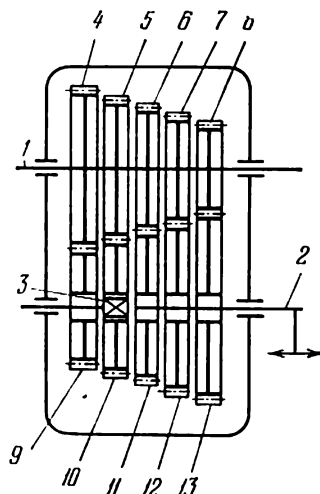
et l'arbre 2 effectue un mouvement inverse. Quand les roues 4 et 11 sont mises en prise, le rapport de transmission $i_{12} = 1$. De cette façon, lorsque l'arbre 1 tourne, l'arbre 2 peut avoir quatre vitesses différentes de marche avant et une vitesse de marche arrière.



La roue 3 tourne autour de l'axe du coulisseau cylindrique *a* glissant sur un guidage rectangulaire oblique *b*. Les arbres 1 et 2 sont chacun rigidement reliés aux cinq roues qui satisfont à la condition d'égalité des sommes des rayons des cercles primitifs des roues opposées. En déplaçant la roue 3 suivant le guidage *b*, on peut la mettre en prise avec chaque paire de roues opposées. Lorsque la roue 3 se trouve dans la position représentée sur la figure, le rapport de transmission i_{12} est égal à

$$i_{12} = \frac{z_{11}}{z_6},$$

où z_6 et z_{11} sont les nombres de dents des roues 6 et 11. Lorsque l'arbre 1 tourne, l'arbre 2 peut avoir cinq vitesses différentes selon que la roue 3 engrène avec l'une des paires de roues 4, 9 ; 5, 10 ; 6, 11 ; 7, 12 ou 8, 13.

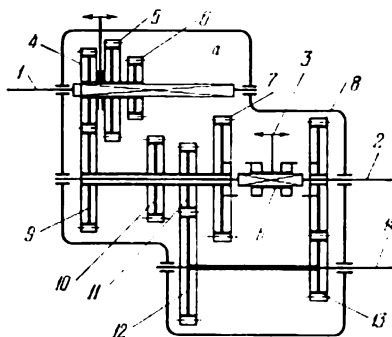


Les roues 4, 5, 6, 7 et 8 sont rigidement reliées à l'arbre 1. Les roues 9, 10, 11, 12 et 13 tournent librement sur l'arbre 2. La clavette coulissante 3 peut se déplacer suivant l'arbre 2, en réalisant ainsi la liaison rigide de ce dernier avec l'une des roues 9, 10, 11, 12 ou 13 et en mettant cette roue en prise avec les roues correspondantes 4, 5, 6, 7 et 8. Les roues 4, 5, 6, 7 et 8 et 9, 10, 11, 12, 13 satisfont à la condition d'égalité des sommes des rayons des cercles primitifs des roues opposées. Lorsque la clavette 3 se trouve dans la position représentée sur la figure, le rapport de transmission i_{12} est égal à

$$i_{12} = -\frac{z_{10}}{z_5},$$

où z_5 et z_{10} sont les nombres de dents des roues 5 et 10. Lorsque l'arbre 1 tourne, l'arbre 2 peut avoir cinq vitesses différentes selon que la roue 9, 10, 11, 12 ou 13 est rigidement liée avec l'arbre 2 au moyen de la clavette 3.

**MÉCANISME DENTÉ DE LA BOÎTE
DE VITESSES À SIX ÉTAGES
AVEC ACCOUPLEMENT MONTÉ
SUR L'ARBRE MENÉ**



Les roues 4, 5 et 6 glissent sur le guidage rectiligne *a* de l'arbre 1 et engrenent avec les roues rigidement reliées 9, 10 et 7 correspondantes. Ces dernières ainsi que la roue 11 sont librement montées sur l'arbre 2. L'arbre intermédiaire 14 est solidaire des roues 12 et 13 qui engrenent avec les roues 11 et 8. L'accouplement 3 glisse sur le guidage rectangulaire *b* de l'arbre mené 2 et peut embrayer avec la roue 7 ou la roue 8. Lorsqu'on met en prise les roues 4 et 9 et on embraye l'accouplement 3 avec la roue 7, le rapport de transmission i_{12} est égal à

$$i_{12} = - \frac{z_9}{z_4}.$$

Si l'accouplement 3 est embrayé avec la roue 8, le rapport de transmission i_{12} sera égal à

$$i_{12} = - \frac{z_9}{z_4} \frac{z_{12}}{z_{11}} \frac{z_8}{z_{13}}.$$

Si l'on met en prise les roues 5 et 10, les rapports de transmission i_{12} sont égaux à

$$i_{12} = - \frac{z_{10}}{z_5} \quad \text{ou} \quad i_{12} = - \frac{z_{10}}{z_5} \frac{z_{12}}{z_{11}} \frac{z_8}{z_{13}}$$

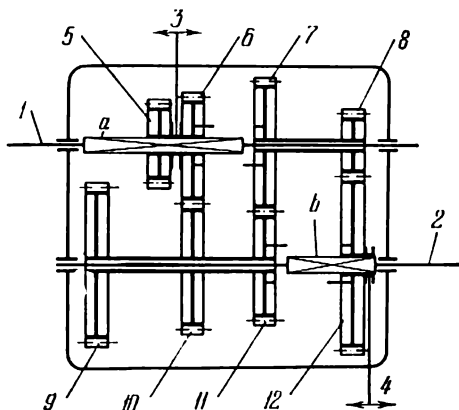
et, enfin, en amenant en prise les roues 6 et 7, on a

$$i_{12} = - \frac{z_7}{z_6} \quad \text{ou} \quad i_{12} = - \frac{z_7}{z_6} \frac{z_{12}}{z_{11}} \frac{z_8}{z_{13}},$$

où $z_4, z_5, z_6, z_7, z_8, z_9, z_{10}, z_{11}, z_{12}$ et z_{13} sont respectivement les nombres de dents des roues 4, 5, ..., 13.

De cette façon, lorsque l'arbre 1 tourne, l'arbre 2 peut avoir six vitesses différentes.

**MÉCANISME DENTÉ DE LA BOÎTE
DE VITESSES À SIX ÉTAGES
AVEC ACCOUPLEMENTS MONTÉS
SUR LES ARBRES MENANT ET MENÉ**



Les roues 5 et 6 rigidement reliées entre elles peuvent glisser sur le guidage rectangulaire *a* de l'arbre 1. Les roues 7 et 8, rigidement reliées entre elles, tournent librement autour d'un axe 1. Les roues 9, 10 et 11, rigidement reliées entre elles également, tournent librement autour d'un axe 2. La roue 12 peut glisser sur un guidage rectangulaire *b*. Les accouplements 3 et 4 peuvent embrayer avec les roues 7 et 11. Les accouplements 3 et 4 n'étant pas embrayés, le rapport de transmission i_{12} sera égal à

$$i_{12} = - \frac{z_{10}}{z_6} \frac{z_7}{z_{11}} \frac{z_{12}}{z_8},$$

si les roues 6 et 10 sont en prise, et sera égal à

$$i_{12} = - \frac{z_9}{z_5} \frac{z_7}{z_{11}} \frac{z_{12}}{z_8},$$

**MÉCANISME DENTÉ DE LA BOÎTE
DE VITESSES À SIX ÉTAGES
AVEC ACCOUPLEMENTS MONTÉS
SUR LES ARBRES MENANT ET MENÉ**

si les roues 5 et 9 sont en prise. L'accouplement 3 étant embrayé avec la roue 7 et l'accouplement 4 n'étant pas embrayé, le rapport de transmission i_{12} sera égal à

$$i_{12} = -\frac{z_{12}}{z_8}.$$

Si l'accouplement 3 est embrayé avec la roue 7 et l'accouplement 4 avec la roue 11, le rapport de transmission i_{12} sera égal à

$$i_{12} = -\frac{z_{11}}{z_7}.$$

L'accouplement 3 n'étant pas embrayé avec la roue 7 et l'accouplement 4 étant embrayé avec la roue 11, le rapport de transmission i_{12} sera égal à

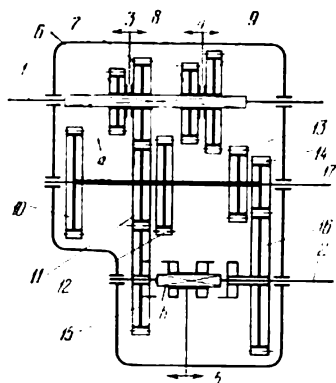
$$i_{12} = -\frac{z_{10}}{z_6}.$$

Si les roues 5 et 9 sont en prise, le rapport de transmission i_{12} sera égal à

$$i_{12} = -\frac{z_9}{z_5}.$$

Les grandeurs z_5 , z_6 , z_7 , z_8 , z_9 , z_{10} , z_{11} et z_{12} sont respectivement les nombres de dents des roues 5, 6, ..., 12. De cette façon, lorsque l'arbre 1 tourne, l'arbre 2 possède six vitesses différentes.

**MÉCANISME DENTÉ DE LA BOÎTE
DE VITESSES À HUIT ÉTAGES
AVEC DEUX PAIRES DE ROUES COULISSANTES
ET D'ACCOUPEMENTS**



Les roues 6, 7 et 8, 9 rigidement reliées entre elles peuvent glisser dans le guidage rectangulaire *a* de l'arbre 1. L'accouplement 5 peut glisser dans le guidage rectangulaire *b* de l'arbre 2 et peut embrayer avec les roues 15 ou 16. Les roues 10, 11, 12, 13 et 14 sont solidaires de l'arbre intermédiaire 17. Les roues 15 et 16 peuvent tourner librement sur l'arbre 2. Si l'accouplement 5 est embrayé avec la roue 15, on obtient quatre rapports de transmission différents i_{12} selon que la roue 6, 7, 8 ou 9 est en prise avec l'une des roues 10, 11, 12 ou 13. On a

$$i_{12} = \frac{z_{10}}{z_6} \frac{z_{15}}{z_{11}}, \quad i_{12} = \frac{z_{15}}{z_7},$$

$$i_{12} = \frac{z_{12}}{z_8} \frac{z_{15}}{z_{11}}, \quad i_{12} = \frac{z_{13}}{z_9} \frac{z_{15}}{z_{11}}.$$

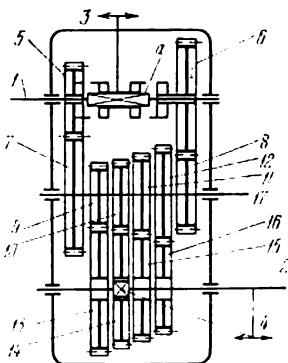
Si l'accouplement 5 est embrayé avec la roue 16, on obtient également quatre rapports de transmission différents i_{12} . On a

$$i_{12} = \frac{z_{10}}{z_6} \frac{z_{16}}{z_{14}}, \quad i_{12} = \frac{z_{11}}{z_7} \frac{z_{16}}{z_{14}},$$

$$i_{12} = \frac{z_{12}}{z_8} \frac{z_{16}}{z_{14}}, \quad i_{12} = \frac{z_{13}}{z_9} \frac{z_{16}}{z_{14}}.$$

Les grandeurs z_6, \dots, z_{16} sont les nombres de dents des roues correspondantes 6, ..., 16. De cette façon, lorsque l'arbre 1 tourne, l'arbre 2 possède huit vitesses différentes.

**MÉCANISME DENTÉ DE LA BOÎTE
DE VITESSES À HUIT ÉTAGES
AVEC ACCOUPLEMENT ET CLAVETTE
COULISSANTE**



Les roues 5 et 6 tournent librement sur l'arbre 1. L'accouplement 3 glisse sur le guidage rectangulaire *a* de l'arbre 1 et peut embrayer avec les roues 5 et 6. Les roues 7, 9, 10, 11, 12 et 8 sont rigidement reliées à l'arbre intermédiaire 17. Les roues 13, 14, 15 et 16 tournent librement sur l'arbre 2. La clavette rectangulaire coulissante 4 de l'arbre 2 peut s'accoupler avec l'une des roues 13, 14, 15 et 16. Les dimensions des roues 9, 10, 11, 12 et 13, 14, 15, 16 satisfont à la condition d'égalité de la somme des rayons des cercles primitifs de chacune des deux roues opposées. Lorsque l'accouplement 3 est embrayé avec la roue 5, on obtient quatre rapports de transmission différents en fonction de la position de la clavette coulissante 4. On a

$$i_{12} = \frac{z_7}{z_5} \frac{z_{13}}{z_9}, \quad i_{12} = \frac{z_7}{z_5} \frac{z_{14}}{z_{10}},$$

$$i_{12} = \frac{z_7}{z_5} \frac{z_{15}}{z_{11}}, \quad i_{12} = \frac{z_7}{z_5} \frac{z_{16}}{z_{12}}.$$

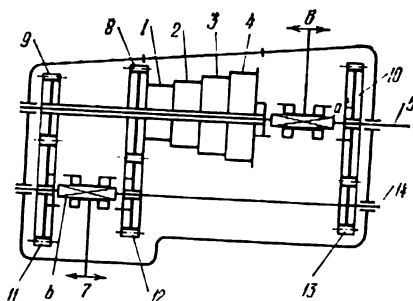
Si l'accouplement 3 est embrayé avec la roue 6, on obtient également quatre rapports de transmission différents. On a

$$i_{12} = \frac{z_8}{z_6} \frac{z_{13}}{z_9}, \quad i_{12} = \frac{z_8}{z_6} \frac{z_{14}}{z_{10}},$$

$$i_{12} = \frac{z_8}{z_6} \frac{z_{15}}{z_{11}}, \quad i_{12} = \frac{z_8}{z_6} \frac{z_{16}}{z_{12}}.$$

Les grandeurs z_8, \dots, z_{16} sont les nombres de dents des roues 8 ÷ 16. De cette façon, lorsque l'arbre 1 tourne, l'arbre 2 possède huit vitesses différentes.

MÉCANISME DENTÉ DE LA BOÎTE DE VITESSES À DOUZE ÉTAGES AVEC ÉLÉMENT FLEXIBLE



Les poulies 1, 2, 3 et 4 rigidement reliées entre elles et les roues 8 et 9 tournent librement sur l'arbre 5. Les roues 11 et 12 tournent librement sur l'arbre intermédiaire 14. La roue 13 est rigidement reliée à l'arbre 14. La roue 10 tourne librement sur l'arbre 5. Les accouplements 6 et 7 peuvent glisser sur les guidages rectilignes a et b des arbres 5 et 14. Si l'accouplement 6 est embrayé avec la poulie étagée et si l'accouplement 7 reste non embrayé, on peut obtenir quatre rapports de transmission différents en fonction de la poulie sur laquelle est mise la courroie. On a

$$i_1 = \frac{R}{R_1}, \quad i_2 = \frac{R}{R_2}, \quad i_3 = \frac{R}{R_3}, \quad i_4 = \frac{R}{R_4},$$

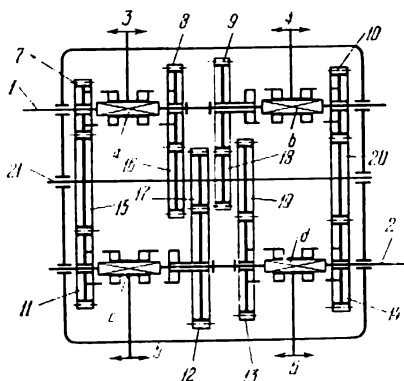
où R est le rayon de la poulie menante, et R_1, R_2, R_3 et R_4 les rayons des poulies 1, 2, 3 et 4. Si l'accouplement 6 est embrayé avec la roue 10 et l'accouplement 7 avec la roue 11, on obtient également quatre rapports de transmission. On a

$$i_{15} = i_1 \frac{z_{11}}{z_9} \frac{z_{10}}{z_{13}},$$

où $i = 1, 2, 3, 4$ et $z_9, z_{10}, z_{11}, z_{13}$ sont les nombres de dents des roues 9, 10, 11 et 13. Si l'accouplement 6 est embrayé avec la roue 10 et l'accouplement 7 avec la roue 12, on aura encore quatre rapports de transmission, à savoir

$$i_{15} = i_1 \frac{z_{12}}{z_8} \frac{z_{10}}{z_{13}},$$

où $i = 1, 2, 3, 4$ et z_8, z_{10}, z_{12} et z_{13} sont les nombres de dents des roues 8, 10, 12 et 13. De cette façon, lorsque l'arbre menant tourne, l'arbre mené 5 possède douze vitesses différentes.

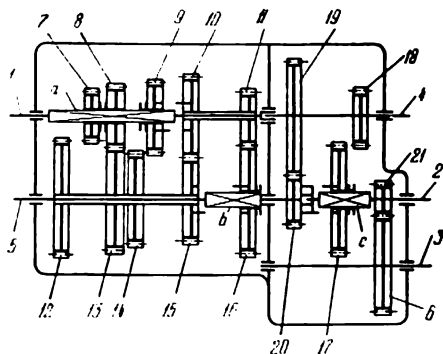


Les roues 7, 8, 9 et 10 tournent librement sur l'arbre 1. Les roues 11, 12, 13 et 14 tournent librement sur l'arbre 2. Les roues 15, 16, 17, 18, 19 et 20 sont rigidement liées à l'arbre intermédiaire 21. Quatre accouplements 3, 4, 5 et 6, symétriquement disposés, peuvent glisser sur les guidages rectangulaires a, b, c et d des arbres 1 et 2. Les accouplements peuvent être embrayés avec les roues 7, 8, 9, 10, 11, 12, 13 et 14. L'un des accouplements appartient à l'arbre 1 et l'autre à l'arbre 2. C'est ainsi que si l'accouplement 3 est embrayé avec la roue 7, l'accouplement 5 avec les roues 11 et 12 successivement, et l'accouplement 6 avec les roues 13 et 14, on peut obtenir quatre rapports de transmission différents i_{12} . On a

$$i_{12} = \frac{z_{11}}{z_7}, \quad i_{12} = \frac{z_{15}}{z_7} \frac{z_{12}}{z_{17}},$$

$$i_{12} = \frac{z_{15}}{z_7} \frac{z_{13}}{z_{19}}, \quad i_{12} = \frac{z_{15}}{z_7} \frac{z_{14}}{z_{20}},$$

où $z_7, z_8, z_{11}, z_{12}, z_{13}, z_{14}, z_{15}, z_{16}, z_{17}, z_{18}, z_{19}$ et z_{20} sont les nombres de dents des roues 7, 8, 11, 12, 13, 14, 15, 16, 17, 18, 19 et 20. L'accouplement 3 étant embrayé avec la roue 8 et les accouplements 5 et 6 avec les roues 11, 12, 13 et 14 successivement, on obtient encore quatre rapports de transmission différents. De la même façon, il est possible d'obtenir huit rapports de transmission, en embrayant l'accouplement 4 avec les roues 9 et 10 et les accouplements 5 et 6 avec les roues 11, 12 et 13, 14. De cette façon, lorsque l'arbre 1 tourne, l'arbre 2 possède seize vitesses différentes.



Les roues 7, 8 et 9 peuvent glisser sur le guidage rectangulaire *a* de l'arbre menant 1 et entrer en prise avec les roues 12, 13 et 14 rigidement reliées entre elles et tournant librement sur un arbre intermédiaire 5 portant la roue 15 qui engrène avec la roue 10. Les roues 10 et 11 tournent librement sur l'arbre 1. L'arbre 5 comporte un guidage rectangulaire *b*, sur lequel peut glisser la roue 16 en désengrenant de la roue 11 et en mettant en prise la roue 15. La roue 20, solidaire de l'arbre 5, engrène avec la roue 19. Les roues 18 et 19 sont rigidement reliées à l'arbre 4 qui constitue l'un des arbres menés. Le deuxième arbre mené 2 possède un guidage rectangulaire *c*, sur lequel peut glisser la roue 17 qui entre en prise avec la roue 18 et s'accouple avec la roue 20. La roue 21, rigidement reliée à l'arbre 2, entre en prise avec la roue 6 qui est rendue solidaire du troisième arbre mené 3. De cette façon, lorsque l'arbre menant 1 tourne, les arbres menés 2, 3 et 4 tournent à des vitesses différentes. Si on met en prise les roues 8 et 13, les roues 10 et 15 et les roues 18 et 17, les rapports de transmission i_{12} , i_{13} , i_{14} sont tels que

$$i_{12} = - \frac{z_{13}}{z_8} \frac{z_{10}}{z_{15}} \frac{z_{16}}{z_{11}} \frac{z_{19}}{z_{20}} \frac{z_{17}}{z_{18}},$$

$$i_{13} = \frac{z_{13}}{z_8} \frac{z_{10}}{z_{15}} \frac{z_{16}}{z_{11}} \frac{z_{19}}{z_{20}} \frac{z_{17}}{z_{18}} \frac{z_6}{z_{21}}, \quad i_{14} = \frac{z_{13}}{z_8} \frac{z_{10}}{z_{15}} \frac{z_{16}}{z_{11}} \frac{z_{19}}{z_{20}}.$$

Si les mêmes roues sont en prise et si la roue 17 est reliée à la roue 20, les rapports de transmission i_{12} , i_{13} , i_{14} seront tels que

$$i_{12} = - \frac{z_{13}}{z_8} \frac{z_{10}}{z_{15}} \frac{z_{16}}{z_{11}}, \quad i_{13} = \frac{z_{13}}{z_8} \frac{z_{10}}{z_{15}} \frac{z_{16}}{z_{11}} \frac{z_6}{z_{21}},$$

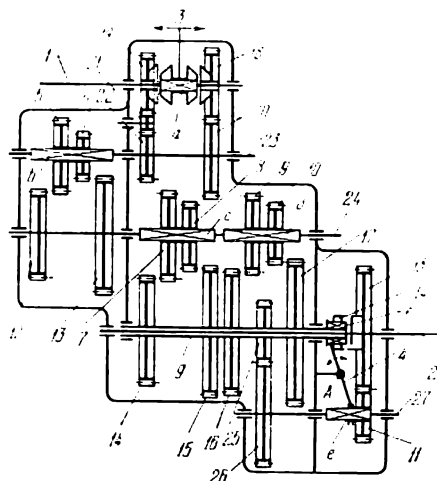
$$i_{14} = \frac{z_{13}}{z_8} \frac{z_{10}}{z_{15}} \frac{z_{16}}{z_{11}} \frac{z_{19}}{z_{20}},$$

c.-à-d. que le rapport de transmission i_{14} reste invariable. De façon analogue, on obtient les rapports de transmission, si l'on met en prise les roues 7 et 12 ou 9 et 14. Si les roues 7 et 8 ne sont pas en prise, et si la roue 17 est reliée à la roue 20 et la roue 9 à la roue 10, les rapports de transmission i_{12} , i_{13} et i_{14} seront tels que

$$i_{12} = - \frac{z_{16}}{z_{11}}; \quad i_{13} = \frac{z_{16}}{z_{11}} \frac{z_6}{z_{21}}, \quad i_{14} = \frac{z_{16}}{z_{11}} \frac{z_{19}}{z_{20}}.$$

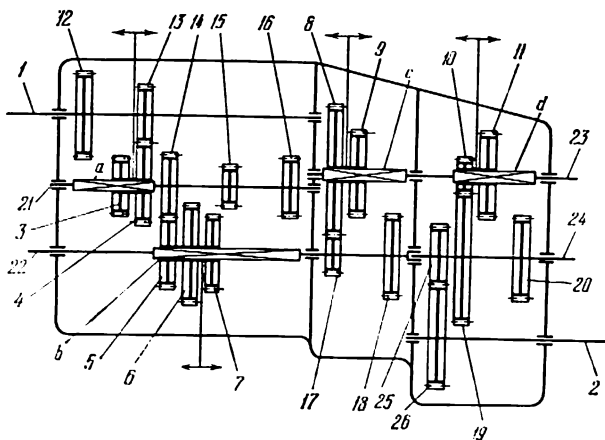
Les huit autres rapports de transmission peuvent être obtenus en embrayant la roue 16 avec la roue 15 et en mettant en prise les roues 7, 8, 9 avec les roues 12, 13, 14 et la roue 17 avec la roue 18. De cette façon, lorsque l'arbre 1 tourne, les arbres 2, 3 et 4 peuvent avoir seize vitesses différentes.

**MÉCANISME DENTÉ DE LA BOÎTE
DE VITESSES À SEIZE ÉTAGES
AVEC ACCOUPLEMENT À FRICTION
ET ROUES COULISSANTES**



Les disques de l'accouplement à friction 3 peuvent glisser sur le guidage rectangulaire a de l'arbre 1 et s'accoupler avec la roue 18 ou 19 tournant librement autour de l'arbre 1. La roue 19 peut entrer en prise avec le pignon parasite 21 qui engrène, à son tour, avec la roue 22 rendue solidaire de l'arbre 23. La roue 18 vient en prise avec la roue 20 solidaire de l'arbre 23. Les roues 5 et 6 peuvent glisser sur le guidage rectangulaire b de l'arbre 23 et entrer en prise avec les roues 12 et 13 solidaires de l'arbre 24. Les roues 7, 8, 9, 10 peuvent glisser sur les guidages rectangulaires c et d de l'arbre 24. Les roues 7, 8 et 9, 10 peuvent engrèner respectivement avec les roues 14, 15 et 16, 17 tournant librement sur l'arbre 2. La roue 25, rigidement reliée aux roues 14, 15 et 16, 17, engrène avec la roue 26, solidaire de l'arbre intermédiaire 27. L'accouplement 14 peut glisser sur le guidage rectangulaire f du manchon e. On embraye l'accouplement 14 avec la roue 13, rigidement reliée à l'arbre 2, en faisant pivoter l'entraîneur 4 autour d'un axe fixe A. En même temps la roue 11 engrène ou désengrène de la roue 13 par suite du déplacement de la roue 11 dans le guidage rectangulaire h de l'arbre 27.

Lorsque l'arbre 1 tourne, l'arbre 2 possède seize vitesses différentes selon que l'accouplement 3 ou 14 est embrayé et selon les roues coulissantes qui sont en prise.



Les roues 12 et 13, solidaires de l'arbre 1, peuvent engrener avec l'une des roues 3 ou 4 glissant sur le guidage rectangulaire *a* de l'arbre intermédiaire 21, auquel sont rigidement reliées les roues 14, 15 et 16. Les roues 5, 6 et 7 rigidement reliées entre elles peuvent glisser sur le guidage rectangulaire *b* de l'arbre intermédiaire 22 et engrener avec l'une des roues 14, 15 ou 16. Les roues 8, 9 et 10, 11 rigidement reliées entre elles peuvent glisser sur les guidages rectangulaires *c* et *d* de l'arbre intermédiaire 23 et engrener avec les roues 17, 18, solidaires de l'arbre 22, et avec les roues 19, 20, solidaires de l'arbre 24. La roue 25, solidaire de l'arbre 24, engrène avec la roue 26, solidaire de l'arbre 2. Lorsque l'arbre 1 tourne, l'arbre 2 peut avoir vingt-quatre vitesses différentes suivant que ce sont les roues coulissantes 3, 4 ou 5, 6, 7 ou 8, 9 ou 10, 11 qui viennent en prise avec les roues correspondantes rigidement reliées aux arbres 1, 21, 22, 24 et 2.

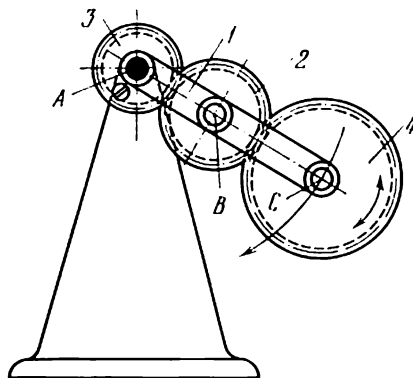
2. Mécanismes des boîtes de vitesses planétaires et des réducteurs (582-611)

582

MÉCANISME PLANÉTAIRE DENTÉ AVEC UN ENGRENAGE FIXE ET DEUX SATELLITES

DC

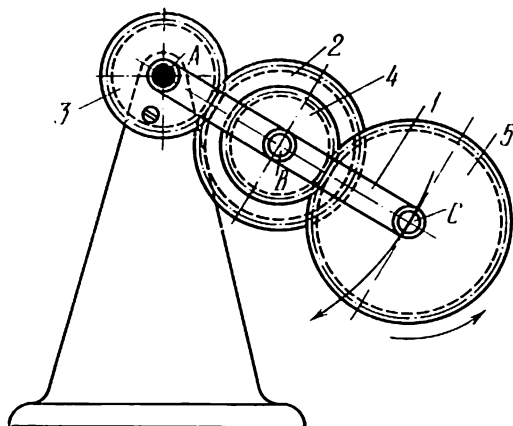
BP



Le porte-satellites 1, mobile autour d'un axe fixe A, constitue un couple de rotation B avec le satellite 2. Le satellite 2 engrène avec la roue dentée fixe 3 et le satellite 4. Les nombres de tours par minute n_1 du porte-satellites 1 et n_4 de la roue 4 satisfont à la condition

$$n_4 = n_1 \frac{z_3 - z_4}{z_4}$$

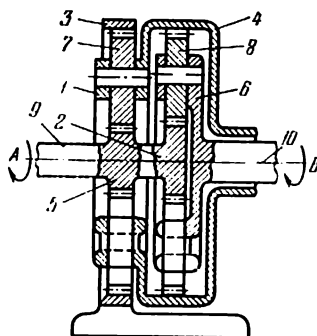
où z_3 et z_4 sont les nombres de dents des roues 3 et 4.



Le porte-satellites 1, mobile autour d'un axe fixe A, constitue un couple de rotation B avec les satellites 2 et 4, rigidement reliés entre eux et un couple de rotation C avec le satellite 5. Le satellite 2 vient en prise avec la roue dentée fixe 3. Le satellite 4 engrène avec le satellite 5. Les nombres de tours par minute n_1 de l'arbre 1 et n_5 de la roue 5 satisfont à la condition

$$n_5 = n_1 \frac{z_2 z_5 - z_3 z_4}{z_2 z_5},$$

où z_2 , z_3 , z_4 et z_5 sont les nombres de dents des roues 2, 3, 4 et 5.



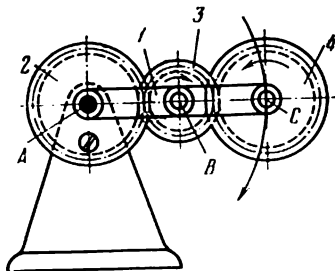
Les roues dentées 2 et 5, solidaires de l'arbre 9 tournant autour d'un axe fixe A, engrènent avec les satellites 8 et 7. Le satellite 7 engrène intérieurement avec la roue fixe 3. Le porte-satellites 1 comporte la couronne dentée 4 qui engrène intérieurement avec le satellite 8. Le porte-satellites 6 est rigidement lié à l'arbre 10, mobile autour d'un axe fixe B. La couronne 4 tourne librement sur l'arbre 10. L'arbre menant 9 transmet donc à deux éléments menés, l'arbre 10 et la couronne 4, une rotation dans le même sens. Les nombres de tours par minute n_5 , n_4 et n_6 des roues 5, 4 et du porte-satellites 6 sont liés par les conditions

$$n_4 = n_5 \frac{z_3}{z_3 + z_5}$$

et

$$n_6 = n_5 \frac{z_2 (z_3 + z_5) + z_4 z_3}{(z_2 + z_4) (z_3 + z_5)},$$

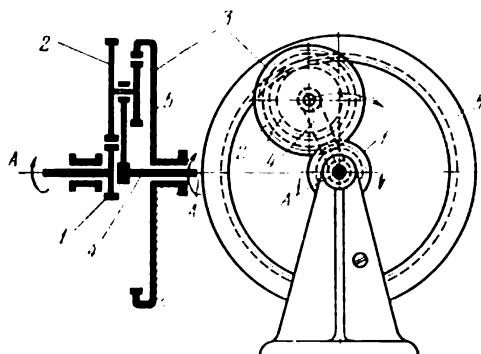
où z_2 , z_3 , z_4 et z_5 sont les nombres de dents des roues 2, 3, 4 et 5.



Le porte-satellites 1 tourne autour d'un axe fixe A. La roue 3 constitue un couple de rotation B avec le porte-satellites 1 et engrène avec la roue fixe 2 et la roue mobile 4 qui constitue, à son tour, un couple de rotation C avec le porte-satellites 1. Les nombres de tours par minute n_1 du porte-satellites 1 et n_4 de la roue 4 sont liés par la condition

$$n_4 = n_1 \frac{z_4 - z_2}{z_4},$$

où z_2 et z_4 sont les nombres de dents des roues 2 et 4. Si les dimensions des roues 2 et 4 sont égales, on observe le « paradoxe de Fergusson », autrement dit, la roue 4 effectue un mouvement de translation circulaire.



Le porte-satellites 1, mobile autour d'un axe fixe A, constitue un couple de rotation avec le satellite 2 qui engrène intérieurement avec la roue dentée 4 et extérieurement avec la roue dentée fixe 3. Lorsque le porte-satellites 1 tourne, la roue 2 roule sur la roue 3 en imprimant le mouvement à la roue 4 tournant autour de l'axe A. Pour observer la condition de coaxialité des éléments 4 et 3, les nombres de dents z_2 , z_3 et z_4 des roues 2, 3 et 4 doivent satisfaire à la condition

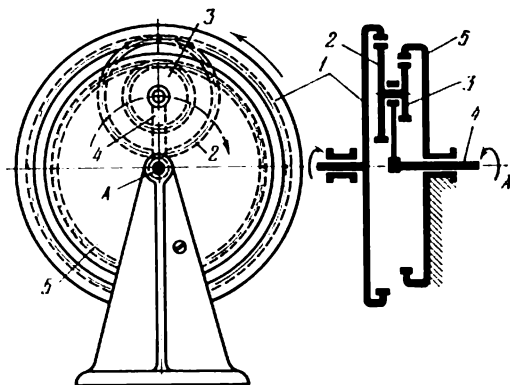
$$z_4 = z_3 + 2z_2.$$

Les nombres de tours par minute n_1 du porte-satellites 1 et n_4 de la roue 4 satisfont à la condition

$$n_4 = n_1 \frac{z_3 + z_4}{z_4}.$$

Le porte-satellites 1 et la roue 4 tournent dans le même sens.

voir 594



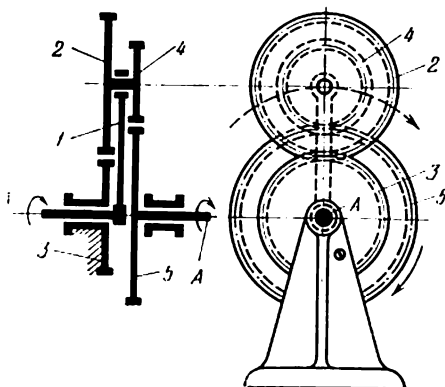
La roue dentée 1, mobile autour d'un axe fixe A, engrène intérieurement avec le satellite 2 rendu solidaire du satellite 3 qui engrène intérieurement avec la roue dentée fixe 5. Le porte-satellites 4 tournant autour de l'axe fixe A constitue un couple de rotation avec les satellites 2 et 3. Pour observer la condition de coaxialité des éléments 1 et 4, les nombres de dents z_1 , z_2 , z_3 et z_5 des roues 1, 2, 3 et 5 doivent satisfaire à la condition

$$z_1 + z_3 = z_2 + z_5.$$

Les nombres de tours par minute n_1 de la roue 1 et n_4 du porte-satellites 4 satisfont à la condition

$$n_4 = -n_1 \frac{z_1 z_3}{z_2 z_5 - z_1 z_3}.$$

Pour les rapports des dimensions des éléments du mécanisme indiqués sur la figure, la roue 1 et le porte-satellites 4 tournent dans les sens opposés.



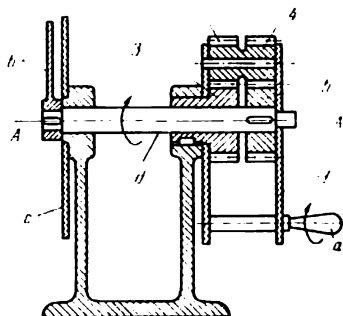
Le porte-satellites 1, mobile autour d'un axe fixe $A - A$, forme un couple de rotation avec les satellites 2 et 4 solidaires l'un de l'autre. Le satellite 2 engrène avec la roue dentée fixe 3, et le satellite 4 engrène avec la roue dentée 5 tournant autour de l'axe fixe $A - A$. Pour observer la condition de coaxialité des éléments 1 et 5, les nombres de dents z_2 , z_3 , z_4 et z_5 des roues 2, 3, 4 et 5 doivent satisfaire à la condition

$$z_2 + z_3 = z_4 + z_5.$$

Les nombres de tours par minute n_1 du porte-satellites 1 et n_5 de la roue 5 satisfont à la condition

$$n_5 = n_1 \frac{z_2 z_5 - z_3 z_4}{z_2 z_5}.$$

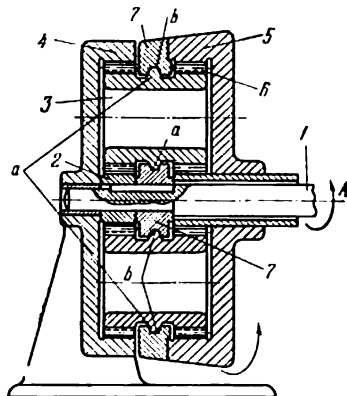
Pour les rapports des dimensions des éléments du mécanisme indiqués sur la figure, le porte-satellites 1 et la roue 5 tournent dans le même sens.



Le porte-satellites 1 muni de la poignée *a* tourne autour d'un axe fixe *A — A*, en formant un couple de rotation avec les satellites 2 et 4. Le satellite 2 engrène avec la roue dentée fixe 3, et le satellite 4 engrène avec la roue dentée 5 tournant autour d'un axe *A — A*. L'aiguille *b* est calée sur l'arbre de la roue 5. Les nombres de dents des roues sont égaux à $z_2 = z_5 = 20$ et $z_4 = z_3 = 19$. Avec les nombres de dents ci-dessus, le rapport de transmission i_{51} est égal à

$$i_{51} = 1 - \frac{z_4 z_3}{z_5 z_2} = 1 - \frac{19 \cdot 19}{20 \cdot 20} = \frac{39}{400} \approx \frac{1}{10}.$$

L'aiguille *b* effectue donc un tour, tandis que le porte-satellites 1 en fait dix. L'angle de rotation de l'aiguille *b* est enregistré sur un disque fixe *c*.



La roue dentée 2, solidaire de l'arbre 1, tourne autour d'un axe fixe A et vient en prise avec le satellite 3 solidaire du satellite 6. Les satellites 3 et 6 comportent des anneaux a qui s'engagent dans les gorges b de la roue dentée 5 et de la douille 7 calée sur l'arbre 1. L'anneau a glisse dans les gorges b, constituant ainsi le porte-satellites du mécanisme planétaire. Le satellite 3 engrène intérieurement avec la roue fixe 4, et le satellite 6 engrène intérieurement avec la roue dentée 5 tournant autour d'un axe A. Les nombres de dents z_3 , z_4 , z_5 , z_6 des roues 3, 4, 5 et 6 sont liés par des conditions.

$$z_3 = z_6 - 1, \quad z_5 = z_4 + 1.$$

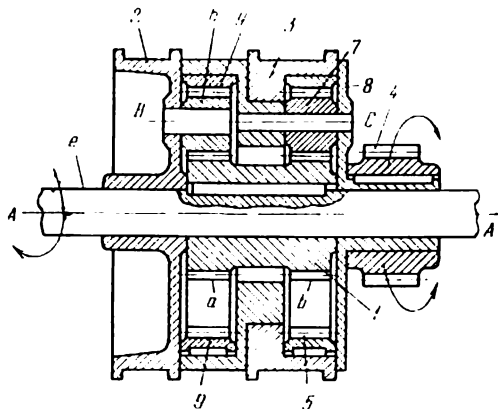
En outre, pour observer la condition de coaxialité des éléments 2 et 5, on doit satisfaire aux conditions

$$z_2 + 2z_3 = z_4 \quad \text{et} \quad z_5 - z_6 = z_4 - z_3.$$

Les nombres de tours par minute n_2 de la roue 2 et n_5 de la roue 5 satisfont à la condition

$$n_5 = n_2 \frac{z_2 z_3 z_5 - z_2 z_4 z_6}{z_2 z_3 z_5 + z_3 z_4 z_5}.$$

Les roues 2 et 5 tournent dans le même sens.

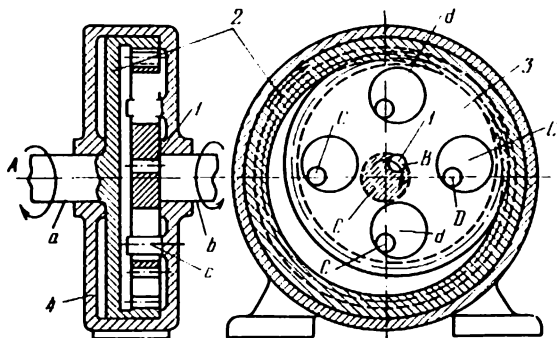


La roue dentée 1, mobile autour de l'axe fixe A — A de l'arbre *e*, comporte deux couronnes dentées *a* et *b* au nombre égal de dents. La roue 1 engrène par sa couronne *a* avec la roue dentée 6 et par sa couronne *b* avec la roue dentée 7. La roue 6 tourne autour de l'axe B du tambour de freinage 2 et engrène intérieurement avec la roue dentée 9. La roue 7 tourne autour de l'axe C du porte-satellites 8 et engrène intérieurement avec la roue dentée 5 du tambour de freinage 3. La roue dentée menée 4, solidaire du porte-satellites 8, tourne autour de l'axe fixe A — A de l'arbre *e*. Les nombres de dents z_5 , z_6 , z_7 et z_9 des roues 5, 6, 7 et 9 satisfont aux conditions $z_6 = z_7$ et $z_5 = z_9$. Les nombres de tours par minute n_4 de la roue 4 et n_1 de la roue 1 en mouvement direct, quand le tambour 2 est freiné, sont liés par le rapport suivant

$$n_4 = n_1 \frac{z_1}{z_1 + z_5}.$$

En mouvement inverse, quand le tambour 3 est freiné, le nombre de tours par minute n_4 est égal à

$$n_4 = -n_1 \frac{z_1}{z_5}.$$



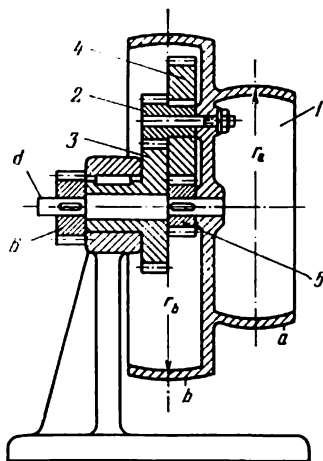
La manivelle 1, mobile autour de l'axe fixe A de l'arbre b, forme un couple de rotation avec la roue dentée 3. La roue 3 comporte quatre orifices ronds d symétriquement disposés, dont le rayon est égal au rayon de la manivelle 1. Les doigts c, solidaires de la boîte fixe 4, s'engagent dans les orifices d. Les diamètres des doigts sont égaux à celui du doigt de la manivelle 1. Par suite, les dimensions du mécanisme satisfont à la condition

$$AB = DC \text{ et } AD = BC.$$

La figure ABCD représente un parallélogramme. Les autres doigts c et les orifices d forment des parallélogrammes identiques. Comme la roue 3 est la bielle du parallélogramme, elle effectue un mouvement de translation, et tous les points de cette roue décrivent des cercles de rayon AB. La roue 3 engrène intérieurement avec la roue 2 de l'arbre a qui tourne autour de l'axe fixe A. Les nombres de tours par minute n_1 de la manivelle 1 et n_2 de la roue 2 sont liés par la condition

$$n_2 = n_1 \frac{z_2 - z_3}{z_2},$$

où z_1 et z_2 sont les nombres de dents des roues 2 et 3. Les arbres a et b tournent dans le même sens. Si le nombre de dents z_2 est proche du nombre de dents z_3 , le mécanisme transmet la rotation avec un grand rapport de transmission.

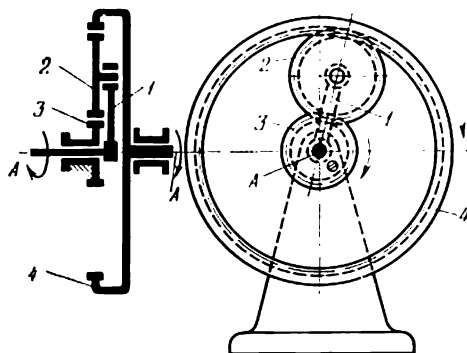


La poulie de commande *1* est composée de deux poulies *a* et *b* rigidement reliées entre elles de rayons r_a et r_b et joue le rôle d'un porte-satellites qui constitue un couple de rotation avec les satellites *2* et *4* solidaires l'un de l'autre. Le satellite *2* engrène avec la roue dentée fixe *3*, et le satellite *4* engrène avec la roue dentée *5* solidaire de la roue dentée menée *6* de l'arbre *d*. Les nombres de tours par minute n_1 de la poulie *1* et n_6 de la roue *6* sont liés par la condition

$$n_6 = -n_1 \frac{z_3 z_4 - z_2 z_5}{z_2 z_5},$$

où z_2 , z_3 , z_4 et z_5 sont les nombres de dents des roues *2*, *3*, *4* et *5*. La poulie *1* et la roue *6* tournent dans les sens opposés. En enlevant la courroie de la poulie *a* et en la mettant sur la poulie *b*, on provoque la rotation de la roue *6* à des vitesses angulaires ω_a et ω_b liées par la relation

$$\frac{\omega_a}{\omega_b} = \frac{r_b}{r_a}.$$



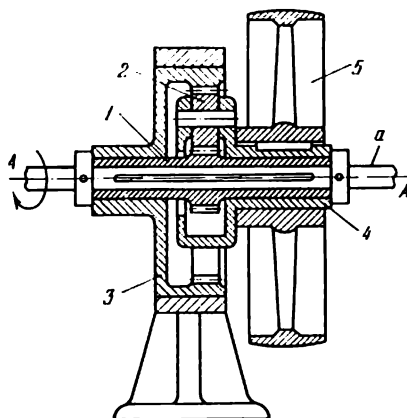
La roue dentée 1, mobile autour d'un axe fixe $A - A$, engrène avec le satellite 2, solidaire du satellite 3 qui engrène intérieurement avec la roue fixe 5. Le porte-satellites 4, tournant autour de l'axe fixe $A - A$, forme un couple de rotation avec les satellites 2 et 3. Pour observer la condition de coaxialité des éléments 1 et 5, les nombres de dents z_1 , z_2 , z_3 et z_5 des roues 1, 2, 3 et 5 doivent satisfaire à la condition

$$z_1 + z_2 + z_3 = z_5.$$

Les nombres de tours par minute n_1 de la roue 1 et n_4 du porte-satellites 4 satisfont à la condition

$$n_4 = n_1 \frac{z_1 z_3}{z_1 z_3 + z_2 z_5}.$$

La roue 1 et le porte-satellites 4 tournent dans le même sens.

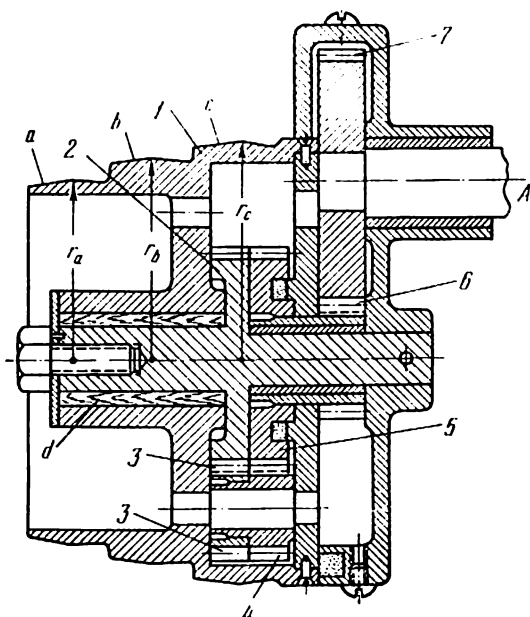


La roue dentée 1, mobile autour de l'axe fixe A — A de l'arbre a, vient en prise avec le satellite 2 qui constitue un couple de rotation avec le porte-satellites 4 auquel est rigidement reliée la poulie de commande 5. Le satellite 2 engrène intérieurement avec une roue dentée fixe 3. Lorsque la roue 1 tourne, la roue 2 roule sur la roue 3 et entraîne la poulie 5 en rotation autour de l'axe A — A. Les nombres de dents z_1 , z_2 et z_3 satisfont aux conditions $z_1 = z_2$ et $z_3 = 3z_1$. Les nombres de tours par minute n_1 de la roue 1 et n_5 de la poulie 5 sont alors liés par la relation

$$n_5 = \frac{n_1}{4},$$

c.-à-d. que la poulie de commande 5 tourne dans le même sens que la roue 1 à une vitesse angulaire quatre fois inférieure à celle de la roue 1.

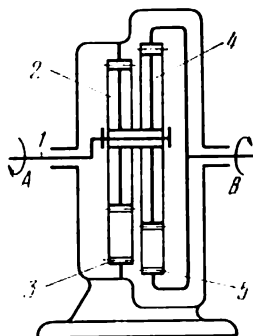
MÉCANISME PLANÉTAIRE DENTÉ D'UNE POULIE DE COMMANDE À TROIS ÉTAGES



La poulie de commande 1 se compose de trois poulies a, b et c, rigidement reliées entre elles, de rayons r_a , r_b et r_c . La poulie 1 joue le rôle d'un porte-satellites qui constitue des couples de rotation avec les satellites 3 et 4, rigidement reliés l'un à l'autre. Le satellite 3 engrène avec une roue dentée fixe 2, sur la douille d de laquelle tourne la poulie 1. Le satellite 4 engrène avec la roue dentée 5, solidaire de la roue dentée 7 mobile autour d'un axe fixe A. Les nombres de tours par minute n_1 de la poulie 1 et n_7 de la roue 7 sont liés par la relation

$$n_7 = -n_1 \frac{z_6}{z_7} \left(\frac{z_5 z_3 - z_4 z_2}{z_5 z_3} \right),$$

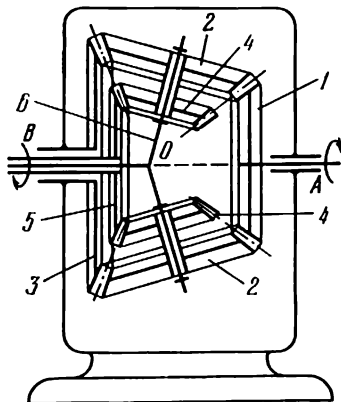
où z_2 , z_3 , z_4 , z_5 , z_6 et z_7 sont les nombres de dents des roues 2, 3, 4, 5, 6 et 7. La rotation de la roue 7 peut s'effectuer dans les deux sens selon le nombre de dents choisis des roues. En déplaçant la courroie sur la poulie a, b ou c, on peut obtenir la rotation de la roue 7 à des vitesses angulaires ω_a , ω_b ou ω_c liées par la relation $\omega_a r_a = \omega_b r_b = \omega_c r_c$.



Le porte-satellites *1*, mobile autour d'un axe fixe *A*, forme un couple de rotation avec les satellites *2* et *4* rigidement reliés l'un avec l'autre. Le satellite *2* engrène intérieurement avec la roue dentée fixe *3*, et le satellite *4* engrène intérieurement avec la roue dentée *5* tournant autour d'un axe fixe *B*. Si les nombres de dents z_2 , z_3 , z_4 et z_5 des roues *2*, *3*, *4* et *5* satisfont aux conditions $z_4 > z_2$ et $z_5 > z_3$, les nombres de tours par minute n_1 du porte-satellites *1* et n_5 de la roue *5* seront liés par la relation

$$n_5 = -n_1 \frac{z_3 z_4 - z_2 z_5}{z_2 z_5},$$

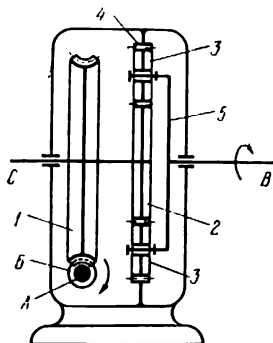
c.-à-d. que le porte-satellites *1* et la roue *5* tournent dans les sens opposés.



La roue conique dentée 1, mobile autour d'un axe fixe A, engrène avec les satellites coniques 2, solidaires des satellites coniques 4. Les satellites 2 et 4 constituent un couple de rotation avec le porte-satellites 6 tournant autour d'un axe fixe B. Le satellite 2 engrène avec la roue conique dentée fixe 3, et le satellite 4 engrène avec la roue conique dentée 5 tournant autour de l'axe fixe B. Les nombres de tours par minute n_1 de la roue 1 et n_5 de la roue 5 sont liés par la relation

$$n_5 = n_1 \frac{z_1}{z_2} \frac{(z_2 z_5 + z_3 z_4)}{(z_1 z_5 + z_3 z_2)},$$

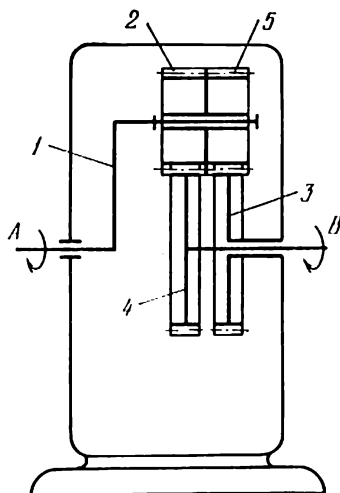
où z_1 , z_2 , z_3 , z_4 et z_5 sont les nombres de dents des roues 1, 2, 3, 4 et 5. Les roues 1 et 5 tournent dans les sens opposés.



La vis sans fin 6 tourne autour d'un axe fixe A perpendiculaire au plan de la figure et engrène avec la roue tangente 1 solidaire de l'arbre C. La roue dentée 2, également solidaire de l'arbre C, vient en prise avec les satellites 3 qui engrenent intérieurement avec la roue dentée fixe 4. Les satellites 3 constituent un couple de rotation avec le porte-satellites 5, solidaire de l'arbre B. Les nombres de tours par minute n_6 de la vis sans fin 6 et n_5 du porte-satellites 5 sont liés par la relation

$$n_5 = n_6 \frac{z_6}{z_1} \frac{z_2}{(z_2 + z_4)},$$

où z_1 est le nombre de dents de la roue tangente 1, z_6 , le nombre de filets de la vis sans fin 6, et z_2, z_4 , les nombres de dents des roues 2 et 4.



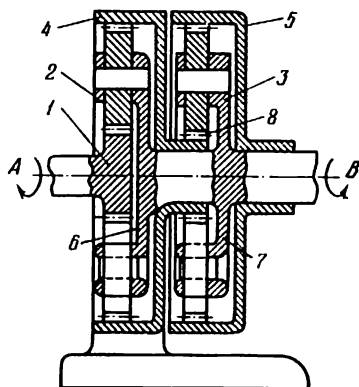
Le porte-satellites *1*, mobile autour d'un axe fixe *A*, constitue un couple de rotation cinématique avec les satellites *2* et *5* rigidement reliés l'un avec l'autre. Le satellite *2* engrène avec la roue dentée *4* tournant autour d'un axe fixe *B*, et le satellite *5* engrène avec la roue dentée fixe *3*. Les nombres de dents z_2 , z_3 , z_4 et z_5 des roues *2*, *3*, *4* et *5* sont liés par les relations

$$z_4 = z_3 + 1 \quad \text{et} \quad z_5 = z_2 + 1.$$

Les nombres de tours par minute n_1 du porte-satellites *1* et n_4 de la roue *4* sont liés par la relation

$$n_4 = n_1 \left(1 - \frac{z_2 z_3}{z_4 z_5} \right) = n_1 \left[1 - \frac{z_2 z_3}{(z_3 + 1)(z_2 + 1)} \right].$$

Lorsque le porte-satellites *1* tourne à une grande vitesse angulaire, la roue *4* tourne à une faible vitesse dans le même sens que le porte-satellites *1*.



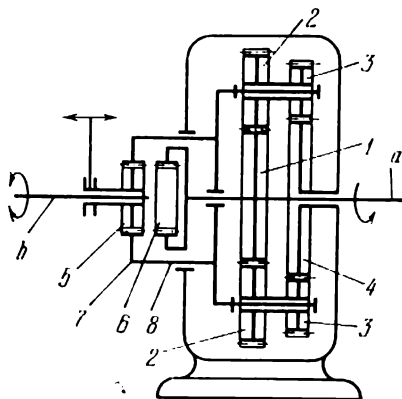
La roue dentée 1, solidaire de l'arbre A, engrène avec les satellites 2 qui sont, à leur tour, en prise intérieure avec la roue dentée fixe 4. Les porte-satellites 6 et 7 sont rigidement reliés à l'arbre B. Les satellites 3 engrènent avec la roue 8 appartenant au porte-satellites 6 et avec la roue 5 à denture intérieure tournant librement autour de l'arbre B. L'arbre menant A transmet donc une rotation dans le même sens à deux éléments menés, à l'arbre B et à la roue 5. Les nombres de tours par minute n_1 , n_5 et n_7 des roues 1, 5 et du porte-satellites 7 sont liés par les relations

$$n_5 = n_1 \frac{z_1}{z_5} \frac{(z_5 + z_8)}{(z_1 + z_4)}$$

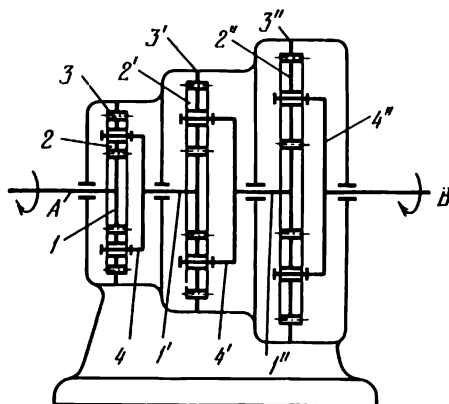
et

$$n_7 = n_1 = \frac{z_1}{z_1 + z_4},$$

où z_1 , z_4 , z_5 et z_8 sont les nombres de dents des roues 1, 4, 5 et 8.



La roue dentée 1, solidaire de l'arbre *a*, engrène avec les satellites 2. Les satellites 3, rigidement reliés aux satellites 2, engrènent avec la roue dentée fixe 4. L'arbre *a* comporte une couronne dentée 6 à denture intérieure, qui constitue l'une des moitiés du manchon de commande. L'autre moitié 5 du manchon de commande à denture extérieure appartient au porte-satellites 7. La roue 5 est montée avec une clavette appartenant à l'arbre *b* et peut glisser sur cette clavette. Lorsque l'arbre *a* est en mouvement, l'arbre *b* peut tourner dans les deux sens pour peu que l'on embraye ou que l'on débraye les roues 5 et 6. Dans la position représentée sur la figure, la rotation de l'arbre *a* est transmise aux satellites 2 et 3 au moyen de la roue 1. Les satellites 3 roulent sur la roue fixe 4, en imprimant un mouvement à l'entraîneur 7. Lorsque la roue 5 engrène avec la roue 6, les satellites 2 et 3 désengrènent et la rotation de l'arbre *a* est directement transmise à l'arbre *b* qui tourne à la même vitesse angulaire que l'arbre *a*.

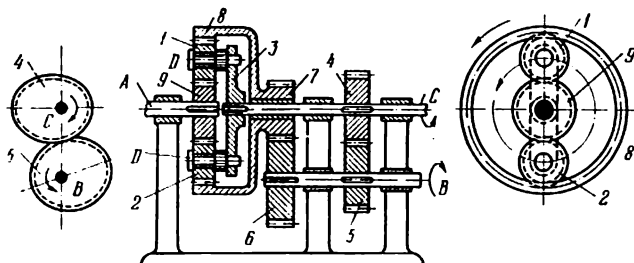


Chaque étage du mécanisme est composé des pignons planétaires mobiles $1, 1', 1''$ et des pignons satellites symétriquement disposés $2, 2', 2''$ qui entrent en prise avec les roues correspondantes $1, 1', 1''$ et engrenent intérieurement avec les pignons fixes $3, 3', 3''$. Les porte-satellites $4, 4', 4''$ forment des couples de rotation avec les satellites 2 . Lorsque le pignon 1 tourne autour d'un axe A , le porte-satellites $4''$ effectue une rotation dans le même sens autour d'un axe B . Les nombres de tours par minute n_1 de la roue 1 et $n_{4''}$ du porte-satellites $4''$ satisfont à la condition

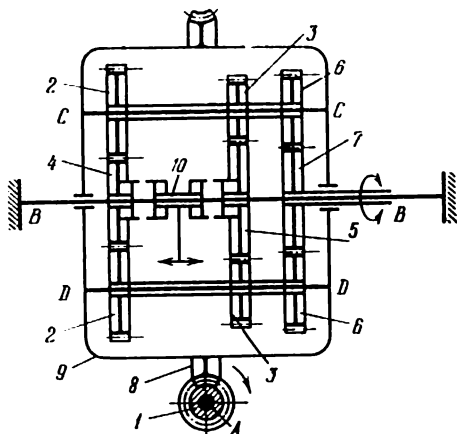
$$i_{14''} = \frac{n_1}{n_{4''}} = i_{14} \cdot i_{1'4'} \cdot i_{1''4''} =$$

$$= \left(1 + \frac{z_3}{z_1}\right) \left(1 + \frac{z_{3'}}{z_{1'}}\right) \left(1 + \frac{z_{3''}}{z_{1''}}\right),$$

où $z_1, z_{1'}, z_{1''}, z_3, z_{3'}, z_{3''}$ et $z_{3''}$ sont les nombres de dents des roues correspondantes $1, 1', 1'', 3, 3'$ et $3''$.



La roue dentée non ronde 5 et la roue dentée ronde 6 sont rendues solidaires de l'arbre B. La roue 5 engrène avec la roue dentée non ronde 4 solidaire de l'arbre C. La roue 6 engrène avec la roue 7 tournant librement autour de l'arbre C. La roue 7 est rigidement reliée à la roue 8 portant une denture intérieure. Le porte-satellites 3, solidaire de l'arbre C, constitue des couples de rotation D avec les satellites 1 et 2. Les satellites 1 et 2 viennent en prise avec la roue 8 et la roue 9 rigidement reliée à l'arbre A. Lorsque l'arbre B ou C est en mouvement uniforme, l'arbre A reçoit un mouvement non uniforme.

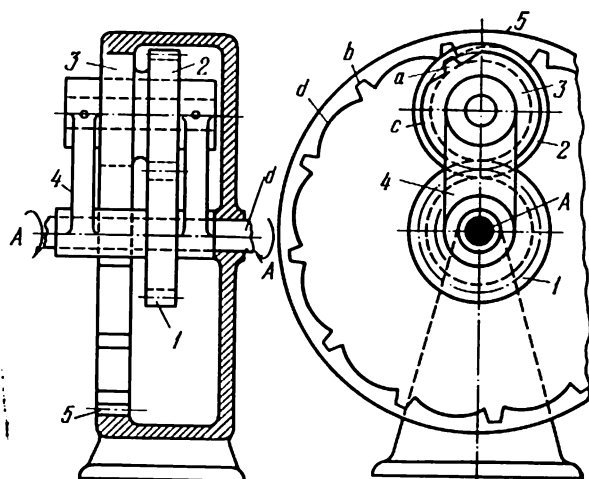


La vis sans fin 1, mobile autour d'un axe fixe A, vient en prise avec la roue tangente 8 du porte-satellites 9 ayant la forme d'une boîte tournant autour d'un axe fixe B - B. Les satellites 2, 3 et 6 rigidement reliés entre eux tournent autour des axes fixes C - C et D - D du porte-satellites 9. Les satellites 2 engrènent avec la roue dentée 4, les satellites 3 avec la roue dentée 5 et les satellites 6 avec la roue dentée menée 7 tournant librement autour de l'axe B - B. Les roues 4 et 5 peuvent tourner librement autour de l'axe B - B ou bien être bloquées par la mise en prise du manchon 10 avec la roue 4 ou la roue 5, assurant ainsi le mouvement de la roue 7 dans les deux sens.

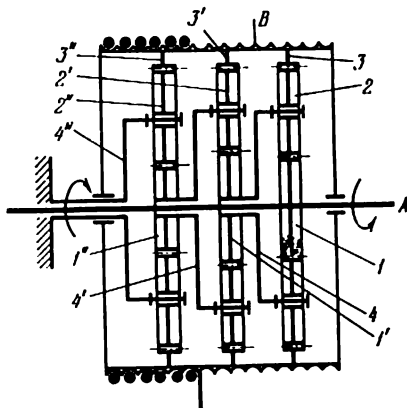
Les nombres de dents z_2, z_3, z_4, z_5, z_6 et z_7 des roues 2, 3, 4, 5, 6 et 7 satisfont aux conditions $z_4 = z_2$ et $z_5 > z_7 > z_2 > z_6 > z_3$. Les nombres de tours par minute n_1 de la vis sans fin 1 et n_7 de la roue 7 pendant le mouvement direct satisfont à la condition $n_7 = -n_1 \frac{z_1}{z_8} \frac{z_7 - z_6}{z_7}$. Pendant le mouvement inverse, les nombres de tours n_1 et n_7 satisfont à la condition

$$n_7 = -n_1 \frac{z_1}{z_8} \left(\frac{z_6 z_5 - z_7 z_3}{z_7 z_2} \right),$$

où z_1 est le nombre de filets de la vis sans fin 1 et z_8 le nombre de dents de la roue tangente 8.



La roue dentée menante 1, mobile autour d'un axe fixe $A - A$, vient en prise avec le satellite 2, solidaire du satellite 3. Le satellite 3 possède une dent a qui lui permet d'engrener avec les évidements b de la roue fixe 5 à denture intérieure. Les roues 3 et 5 comportent des arcs de blocage c et d . Les satellites 2 et 3 constituent un couple de rotation avec le porte-satellites 4 tournant autour de l'axe fixe $A - A$. Le porte-satellites 4 ne tourne qu'au moment où les roues 3 et 5 sont en prise. Pendant que l'arc c glisse sur l'arc d , le porte-satellites 4 marque un temps d'arrêt. Le nombre d'arrêts du porte-satellites 4 pour un tour complet est égal au nombre d'évidements b de la roue 5.

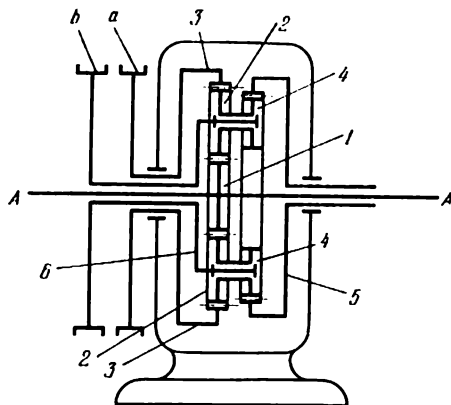


Les roues dentées 1, 1' et 1'' en prise avec les satellites 2 sont rigidement reliées à l'arbre A qui met en mouvement le tambour B du palan électrique. Les satellites 2' et 2'' constituent des couples de rotation avec les porte-satellites 4' et 4'' et engrenent intérieurement avec les roues dentées 3' et 3'' du tambour B.

La roue dentée 1', solidaire du porte-satellites 4, engrène avec les satellites 2' qui, à leur tour, engrènent intérieurement avec la roue 3' du tambour B. Le porte-satellites 4', formant des couples de rotation avec les satellites 2', possède une roue dentée 1'' qui lui est solidaire et qui engrène avec les roues dentées 2''. La roue 2'' constitue des couples de rotation avec le porte-satellites fixe 4' et engrène intérieurement avec la roue dentée 3'' du tambour B. Les nombres de tours par minute n_1 de la roue 1 et n_3 du tambour B sont liés par la relation

$$n_3 = -n_1 \times \frac{z_1 z_{1'} z_{1''}}{z_3 (z_{1''} + z_{3''}) (z_1 + z_3) + z_{1'} z_{3''} (z_1 + z_3) + z_1 z_{1'} z_{3''}}$$

où $z_1, z_{1'}, z_{1''}, z_3, z_{3'}, z_{3''}$ sont respectivement les nombres de dents des roues 1, 1', 1'', 3, 3' et 3''. L'arbre A et le tambour B tournent donc dans les sens opposés. Le tambour B a néanmoins une vitesse angulaire inférieure à celle de l'arbre A. La rotation de l'arbre se transmet au tambour à l'aide de trois mécanismes planétaires successivement reliés comportant les roues 1, 2, 3, 1', 2', 3', 1'', 2'', 3'' et les porte-satellites 4, 4', 4''. L'élément 4' reste immobile.

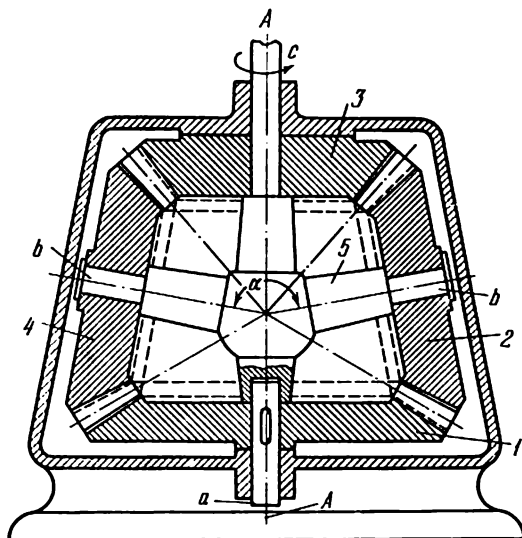


La roue dentée 1, mobile autour d'un axe fixe $A - A$, vient en prise avec les satellites 2. Les satellites 2 engrènent intérieurement avec la roue dentée 3, solidaire du tambour de freinage a . Les satellites 2 sont rigidement reliés aux satellites 4 qui engrènent intérieurement avec la roue dentée 5 tournant autour d'un axe fixe $A - A$. Le porte-satellites 6, qui forme un couple de rotation avec les satellites 2 et 4, tourne autour de l'axe $A - A$. Le tambour de freinage b est rigidement lié à l'arbre 6. Les mouvements direct et inverse de la roue 5 s'obtiennent en freinant les tambours a ou b . Pendant le mouvement direct, quand le tambour a est freiné, les nombres de tours par minute n_1 de la roue 1 et n_5 de la roue 5 sont liés par la relation

$$n_5 = n_1 \frac{z_4 + z_5}{z_1 + z_3},$$

où z_1 , z_3 , z_4 et z_5 sont les nombres de dents des roues 1, 3, 4 et 5. Pendant le mouvement inverse, quand le tambour b est freiné, les nombres de tours par minute n_1 et n_5 satisfont à la condition

$$n_5 = - n_1 \frac{z_1 z_4}{z_2 z_5}.$$

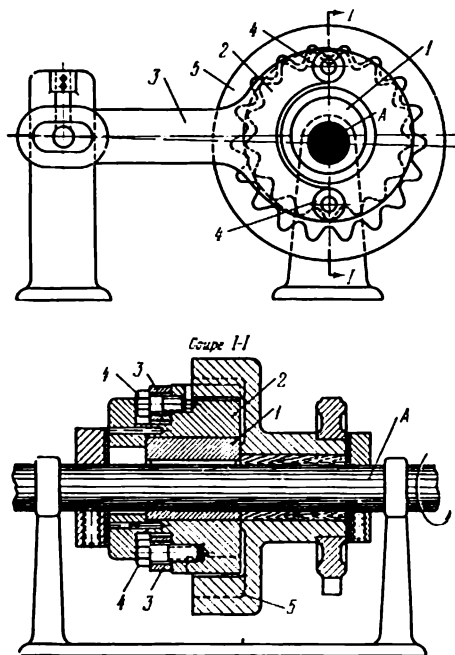


La roue dentée conique 1, solidaire de l'arbre *a*, tourne autour d'un axe fixe *A — A* et engrène avec les satellites coniques 2 et 4 dont les axes de rotation forment un angle quelconque α . Les satellites 2 et 4 sont en prise avec la roue dentée conique fixe 3. Le porte-satellites 5 est réalisé sous la forme d'un levier cruciforme comportant les doigts *b* qui constituent des couples de rotation avec les satellites 2 et 4. L'arbre *c* du porte-satellites 5 est mobile autour de l'axe fixe *A — A*. Les nombres de tours par minute n_1 de l'arbre *a* et n_5 de l'arbre *c* du porte-satellites 5 sont liés par la relation

$$n_5 = n_1 \frac{z_1}{z_1 - z_3},$$

où z_1 et z_3 sont les nombres de dents des roues 1 et 3.

MÉCANISME PLANÉTAIRE DENTÉ DU RÉDUCTEUR À GRAND RAPPORT DE TRANSMISSION

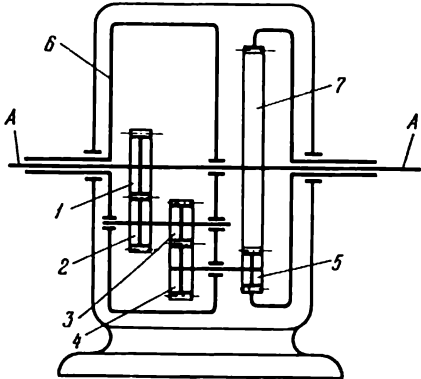


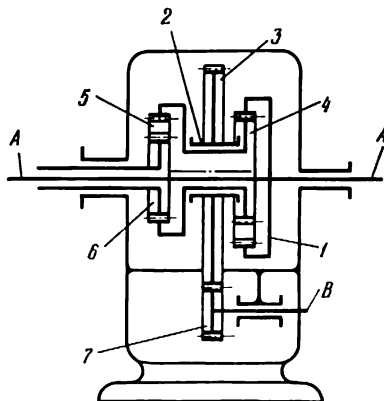
L'excentrique 1, mobile autour d'un axe fixe A, est embrassé par la douille de la roue dentée 2. La roue 2 engrène intérieurement avec la roue dentée 5 tournant autour de l'axe A. La chape 3, fixée à la roue 2 au moyen de la vis 4, empêche la rotation de cette roue. Les nombres de tours par minute n_1 de l'excentrique 1 et n_5 de la roue 5 sont liés par la relation

$$n_5 = n_1 \frac{z_5}{z_5 - z_2},$$

où z_2 et z_5 sont les nombres de dents des roues 2 et 5. On obtient un grand rapport de transmission quand le nombre de dents de la roue 2 diffère peu du nombre de dents de la roue 5.

3. Mécanismes des boîtes de vitesses différentielles et des réducteurs (612-637)

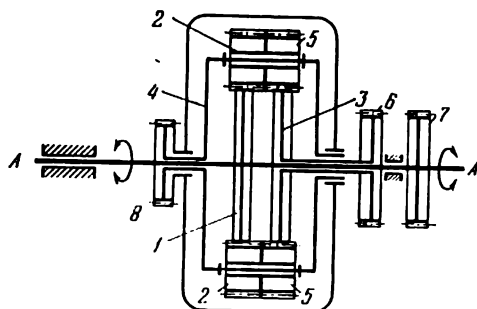
| 612 | MÉCANISME DIFFÉRENTIEL DENTÉ DU RÉDUCTEUR AVEC DEUX PAIRES DE SATELLITES | DC BD |
|-----|---|----------|
| |  <p>La roue dentée 1, mobile autour d'un axe fixe A — A, vient en prise avec le satellite 2 rigidement relié au satellite 3 qui engrène avec le satellite 4. Les satellites 2 et 3 forment un couple de rotation avec le porte-satellites 6 tournant autour de l'axe A — A. Le satellite 5, solidaire du satellite 4, engrène intérieurement avec la roue dentée 7 tournant autour de l'axe A — A. Les satellites 4 et 5 constituent un couple de rotation avec le porte-satellites 6. Les nombres de tours par minute n_1 de la roue 1, n_6 du porte-satellites 6 et n_7 de la roue 7 satisfont à la condition</p> $n_6 = \frac{z_2 z_4 z_7 n_1 + z_1 z_3 z_5 n_7}{z_2 z_4 z_7 + z_1 z_3 z_5},$ <p>où z_1, z_2, z_3, z_4, z_5 et z_7 sont les nombres de dents des roues 1, 2, 3, 4, 5 et 7.</p> | |



La roue dentée 1, mobile autour d'un axe fixe A — A, vient en prise avec un satellite qui se compose de la roue 4 à denture extérieure et de la roue 5 à denture intérieure, cette dernière étant solidaire de la roue 4. Le satellite 5 engrène avec la roue 6 tournant autour de l'axe fixe A — A. Le porte-satellites 2, qui se présente sous la forme d'un tourillon, possède la roue dentée 3 rendue solidaire de ce porte-satellites. La roue 3 est en prise avec la roue dentée 7 tournant autour d'un axe fixe B. Les nombres de tours par minute n_1 de la roue 1, n_7 de la roue 7 et n_6 de la roue 6 satisfont à la condition

$$n_7 = \frac{z_3}{z_7} \frac{z_1 z_5 n_1 - z_4 z_6 n_6}{z_4 z_6 - z_1 z_5},$$

où z_1, z_3, z_4, z_5, z_6 et z_7 sont les nombres de dents des roues 1, 3, 4, 5, 6 et 7.



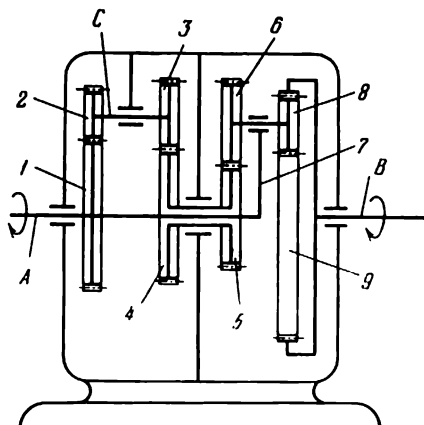
La roue dentée 1, mobile autour d'un axe fixe $A - A$, met en mouvement la roue dentée menée 7. La roue dentée 3, tournant autour de l'axe $A - A$, met en mouvement la roue dentée menée 6. Le porte-satellites 4, tournant autour de l'axe $A - A$, met en mouvement la roue dentée 8. Les roues 1 et 3 engrènent avec les satellites 5 et 2 qui constituent un couple de rotation avec le porte-satellites 4. Les nombres de dents z_1 , z_2 , z_3 et z_5 des roues 1, 2, 3 et 5 satisfont aux conditions

$$z_3 = z_2 + 1 \quad \text{et} \quad z_1 = z_3 + 1.$$

Les nombres de tours par minute n_6 , n_7 et n_8 des roues 6, 7 et 8 satisfont à la condition

$$n_8 = n_6 \frac{z_1 z_5}{z_1 z_5 - z_2 z_3} - n_7 \frac{z_2 z_3}{z_1 z_5 - z_2 z_3}.$$

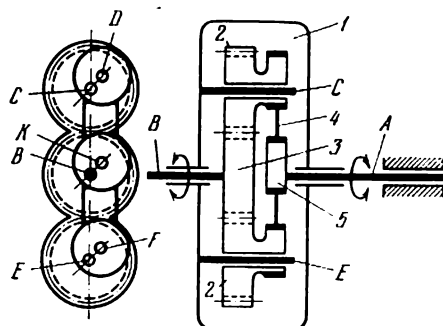
Pour les nombres de dents choisis, le mécanisme permet d'obtenir de grands rapports de transmission.



La roue dentée 1 et le porte-satellites 7 qui en est solidaire tournent autour d'un axe fixe A. La roue 1 engrène avec la roue dentée 2 tournant autour d'un axe fixe C. La roue 2 est solidaire de la roue dentée 3 qui engrène avec la roue 4 tournant autour de l'axe A. La roue 4 est rigidement reliée à la roue 5 qui vient en prise avec le satellite 6. Ce dernier est solidaire du satellite 8 qui engrène intérieurement avec la roue 9 mobile autour d'un axe fixe B. Les satellites 6 et 8 constituent un couple de rotation avec le porte-satellites 7. Les nombres de tours par minute n_1 et n_9 des roues 1 et 9 sont liés par la relation

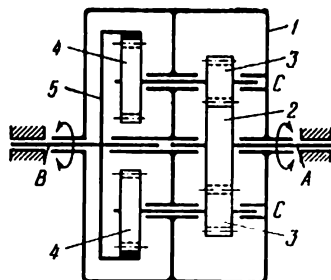
$$n_9 = n_1 \frac{z_5 z_8}{z_6 z_9} \left(1 - \frac{z_1 z_3}{z_2 z_4} + \frac{z_8 z_9}{z_5 z_8} \right),$$

où $z_1, z_2, z_3, z_4, z_5, z_6, z_8$ et z_9 sont les nombres de dents des roues 1, 2, 3, 4, 5, 6, 8 et 9.



L'excentrique rond 5 tourne autour d'un axe fixe A. Deux autres excentriques ronds sont rigidement reliés aux satellites 2 qui sont en prise avec la roue dentée 3 tournant autour d'un axe fixe B. Les excentriques ont des diamètres égaux et sont embrassés par les douilles de l'élément 4. Les excentriques et l'élément 4 forment deux parallélogrammes accouplés *CDKB* et *BKFE*. Les satellites 2 constituent des couples de rotation C et E avec le porte-satellites 1 qui se présente sous la forme d'une boîte mobile autour des axes fixes A et B. Les diamètres des cercles primitifs des roues 2 et 3 sont égaux entre eux. Les nombres de tours par minute n_1 du porte-satellites 1, n_3 de la roue 3 et n_5 de l'excentrique 5 sont liés par la relation

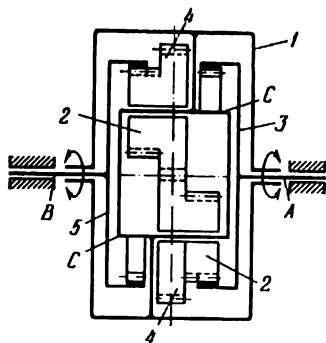
$$n_1 = \frac{n_3 + n_5}{2}.$$



Les roues dentées 2 et 5 sont rigidement reliées aux demi-axes A et B. La roue 2 engrène avec les satellites 3 mobiles autour des axes C du porte-satellites qui se présente sous la forme d'une boîte 1 tournant autour des demi-axes A et B. Les satellites 4, solidaires des satellites 3, engrènent intérieurement avec la roue 5. Les engrenages fixes 2 et 5 sont reliés aux éléments menants du mécanisme par les demi-axes A et B. Si les éléments menants tournent à la même vitesse et dans le même sens, les engrenages fixes 2 et 5 effectuent le même nombre de tours par minute que la boîte 1. Si les éléments menants ne font pas le même nombre de tours par minute, les satellites 3 et 4 commencent à tourner autour de leurs axes pendant la rotation des engrenages fixes 2 et 5. Les nombres de tours par minute n_2 , n_5 et n_1 des roues 2 et 5 et de la boîte 1 sont liés par la relation

$$n_1 = n_2 \frac{z_2 z_4}{z_2 z_4 + z_3 z_5} + n_5 \frac{z_3 z_5}{z_2 z_4 + z_3 z_5},$$

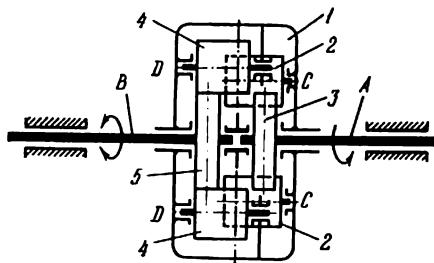
où z_2 , z_3 , z_4 et z_5 sont les nombres de dents des roues 2, 3, 4 et 5.



Deux roues dentées identiques 3 et 5, rigidement reliées aux demi-arbres A et B, engrènent intérieurement avec des satellites identiques 2 mobiles autour des axes C du porte-satellites qui se présente sous la forme d'une boîte 1 tournant autour des demi-axes A et B. Les satellites identiques 4 sont solidaires des satellites 2. Les engrenages fixes 3 et 5 sont reliés aux éléments menants du mécanisme par les demi-axes A et B. Si les éléments menants effectuent le même nombre de tours par minute et s'ils tournent dans le même sens, les engrenages fixes 3 et 5 effectuent autant de tours par minute que la boîte 1. Si les éléments menants ne font pas le même nombre de tours par minute, les satellites 2 et 4 se mettent à tourner autour de leurs axes pendant la rotation des engrenages fixes 3 et 5.

Les nombres de tours par minute n_3 , n_5 et n_1 des roues 3 et 5 et de la boîte 1 sont liés par la relation

$$n_1 = \frac{n_3 + n_5}{2}.$$

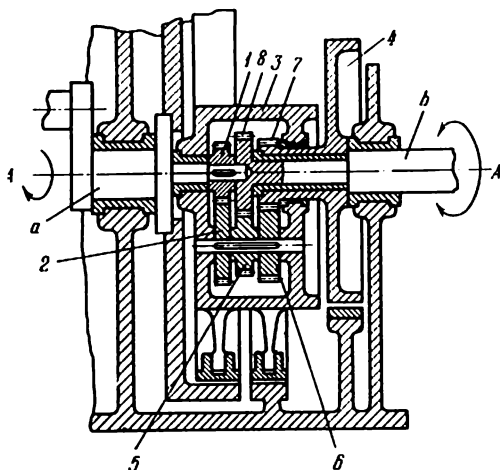


Deux roues dentées identiques 3 et 5, rigidement reliées aux demi-axes A et B, engrenent avec deux satellites identiques 2 et 4 mobiles autour des axes C et D du porte-satellites qui se présente sous la forme d'une boîte 1 tournant autour des demi-axes A et B. La longueur de chaque satellite 2 est choisie de manière qu'il entre en prise avec l'un des engrenages fixes 3 et 5 et avec celui des satellites 4 qui forme paire avec lui et qui engrene à son tour avec l'autre engrenage fixe. Les engrenages fixes 3 et 5 sont reliés aux éléments menants du mécanisme par les demi-axes A et B. Si les éléments menants effectuent le même nombre de tours par minute et s'ils tournent dans le même sens, les engrenages fixes 3 et 5 effectuent autant de tours par minute que la boîte 1. Si les éléments menants effectuent un nombre différent de tours, les satellites 2 et 4 se mettent à tourner autour de leurs axes pendant la rotation des engrenages fixes 3 et 5.

Les nombres de tours par minute n_3 de la roue 3, n_5 de la roue 5 et n_1 de la boîte 1 sont liés par la relation

$$n_1 = \frac{n_3 + n_5}{2}.$$

MÉCANISME DIFFÉRENTIEL DENTÉ RÉVERSIBLE DU RÉDUCTEUR AVEC TAMBOUR ET PORTE-SATELLITES DE FREINAGE



La roue dentée 1 de l'arbre *a* tourne autour d'un axe fixe *A—A* et engrène avec le satellite 2 rigidement relié aux satellites 5 et 6. Les satellites 2, 5 et 6 constituent un couple de rotation avec le porte-satellites 3 mobile autour de l'axe *A—A*. Le satellite 5 engrène avec la roue dentée 7 solidaire de l'arbre *b*. Le satellite 6 engrène avec la roue dentée 8 du tambour de freinage 4 tournant librement autour de l'axe de l'arbre *b*. Pour transmettre le mouvement de rotation direct de l'arbre *a* à l'arbre *b*, on freine le porte-satellites 3, et pour transmettre le mouvement de rotation inverse de l'arbre *a* à l'arbre *b* on freine le tambour 4. Si l'on veut que les arbres *a* et *b* restent coaxiaux, les nombres de dents z_1, z_2, z_3, z_4, z_7 et z_8 des roues 1, 2, 3, 5, 6, 7 et 8 doivent satisfaire aux conditions

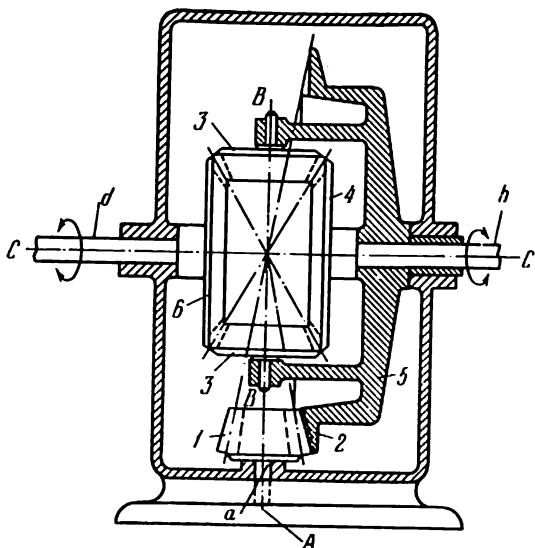
$$z_1 + z_2 = z_5 + z_8 = z_6 + z_7.$$

Les nombres de tours par minute n_1 de l'arbre *a* et n_8 de l'arbre *b* pendant la transmission du mouvement direct satisfont à la condition

$$n_8 = n_1 \frac{z_1 z_5}{z_2 z_8}.$$

Pendant le mouvement inverse, les nombres de tours par minute n_1 et n_8 satisfont à la condition

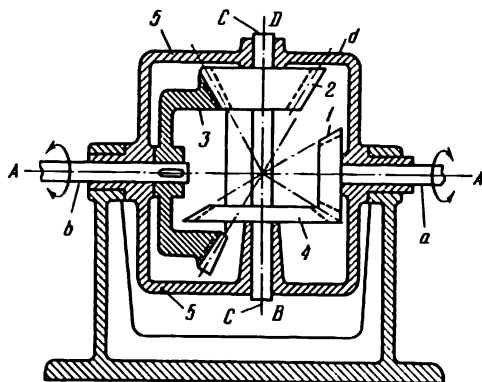
$$n_8 = -n_1 \frac{z_1}{z_8} \frac{(z_6 z_8 - z_5 z_7)}{(z_2 z_7 - z_1 z_6)}.$$



La roue dentée conique menante *1*, solidaire de l'arbre *a*, tourne autour d'un axe fixe *A*. La roue *1* engrène avec la roue dentée conique *2* rigidement reliée au porte-satellites *5*. Ce dernier forme des couples de rotation avec les satellites coniques *3* tournant autour des axes *B*. Les satellites *3* engrènent avec les roues dentées coniques *4* et *6*, solidaires des arbres *b* et *d* qui tournent autour d'un axe fixe *C - C*. Si le nombre de tours par minute de l'arbre *a* est égal à n_1 , les nombres de tours par minute n_4 et n_6 des arbres *b* et *d* sont liés par la relation

$$n_4 = 2 \frac{z_1}{z_2} n_1 - n_6,$$

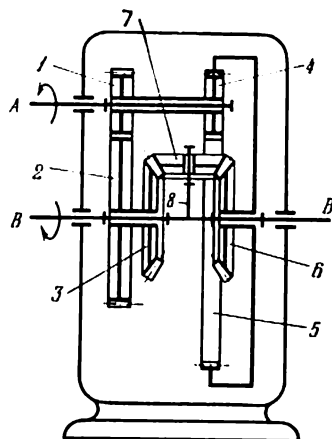
où z_1 et z_2 sont les nombres de dents des roues *1* et *2*.



La roue dentée conique 1 de l'arbre a , qui tourne autour d'un axe fixe $A - A$, vient en prise avec le satellite conique 4 qui constitue un couple de rotation B avec le porte-satellites 5 ayant la forme d'une boîte d . Le satellite conique 2, fixé sur l'arbre C du satellite 4, constitue un couple de rotation D avec le porte-satellites 5. Le satellite 2, qui engrène avec la roue dentée conique 3 de l'arbre b , tourne autour de l'axe fixe $A - A$. Les nombres de tours par minute n_1 de l'arbre a , n_3 de l'arbre b et n_5 du porte-satellites 5 sont liés par la relation

$$n_5 = \frac{z_3 z_4}{z_3 z_4 - z_1 z_2} n_3 - \frac{z_1 z_2}{z_3 z_4 - z_1 z_2} n_1,$$

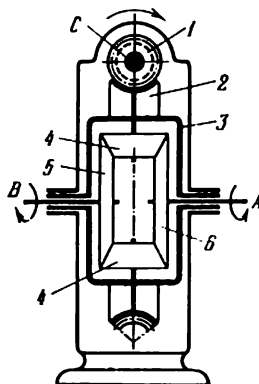
où z_1 , z_2 , z_3 et z_4 sont les nombres de dents des roues 1, 2, 3 et 4.



Les roues dentées 1 et 4, rigidement reliées entre elles, tournent autour d'un axe fixe A. La roue 1 engrène avec la roue dentée 2, mobile autour d'un axe fixe B — B. La roue 4 engrène intérieurement avec la roue dentée 5 tournant autour d'un axe B — B. Deux roues dentées coniques identiques 3 et 6, rigidement reliées aux roues 2 et 5, engrènent avec le satellite conique 7. Ce dernier constitue un couple de rotation avec le porte-satellites 8 tournant autour de l'axe B — B. Les nombres de tours par minute n_1 et n_8 de la roue 1 et du porte-satellites 8 sont liés par la relation

$$n_8 = -n_1 \frac{z_1 z_4 - z_2 z_5}{2z_1 z_5},$$

où z_1, z_2, z_4 et z_5 sont les nombres de dents des roues 1, 2, 4 et 5. Les arbres 1 et 8 tournent dans les sens inverses.

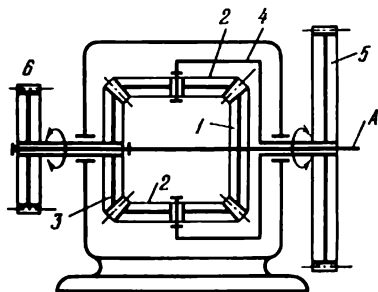


La vis sans fin 1, mobile autour d'un axe fixe C, engrène avec la roue tangente 2 solidaire du porte-satellites qui se présente sous la forme d'une boîte 3. Les satellites coniques semblables 4 tournent librement sur les axes de la boîte 3 et engrènent avec les roues coniques 5 et 6 reliées aux éléments menants du mécanisme par les demi-axes A et B. Si les éléments menants effectuent le même nombre de tours par minute et s'ils ont le même sens de rotation, les engrenages fixes 5 et 6 effectuent autant de tours par minute que la boîte 3. Si les éléments menants tournent à des vitesses angulaires différentes, les satellites 4 se mettent à tourner autour de leurs axes pendant la rotation des engrenages fixes 5 et 6.

Les nombres de tours par minute n_1 de la vis sans fin 1, n_4 de la roue 4 et n_6 de la roue 6 sont liés par la relation

$$n_1 = \frac{z_2}{z_1} \cdot \frac{n_4 + n_6}{2},$$

où z_1 est le nombre de filets de la vis sans fin 1, et z_2 le nombre de dents de la roue tangente 2.



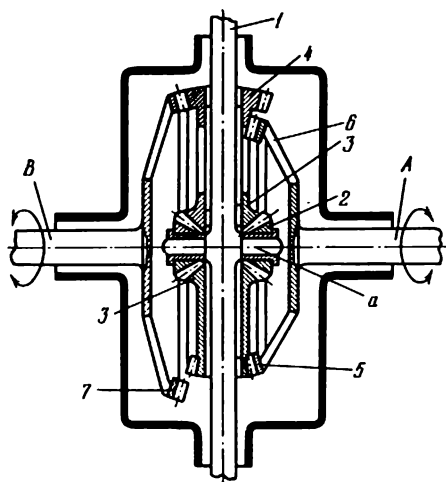
La roue dentée conique menée 1 du réducteur est mise en mouvement par la roue dentée 5, solidaire du porte-satellites 4, et par la roue 6 solidaire de la roue dentée conique 3. Les roues identiques 1 et 3 engrenent avec les satellites 2 qui constituent un couple de rotation avec le porte-satellites 4. Le nombre de tours par minute n_1 de la roue 1 est égal à

$$n_1 = 2n_5 - n_6,$$

où n_5 et n_6 sont les nombres de tours par minute des roues 5 et 6. Si la condition

$$n_5 = \frac{n_6}{2}$$

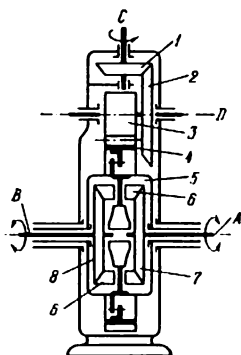
est remplie, la roue 1 reste immobile.



La rotation de l'arbre 1, qui constitue un porte-satellites, est transmise aux satellites 2 par des tenons *a*. Les satellites 2 engrenent avec les roues dentées coniques 3 solidaires des roues dentées coniques 4 et 5. Les roues dentées 4 et 5 engrenent avec les roues dentées 7 et 6 rigidement fixées sur les axes *A* et *B*. Le rapport du nombre de dents des roues 4 et 7 est égal au rapport du nombre de dents de roues 5 et 6. Il s'ensuit que si les nombres de tours des axes *A* et *B* sont égaux et si la rotation a lieu dans le même sens, les roues dentées 6 et 7 tournent à une vitesse angulaire égale. Si les éléments menants n'effectuent pas le même nombre de tours par minute, les satellites 2 commencent à pivoter autour de leurs axes. Dans le mécanisme considéré les axes *A* et *B* peuvent être non coaxiaux.

Les nombres de tours par minute n_1 du porte-satellites 1, n_5 de la roue 5 et n_7 de la roue 7 sont liés par la relation

$$n_1 = \frac{n_5 + n_7}{2}.$$

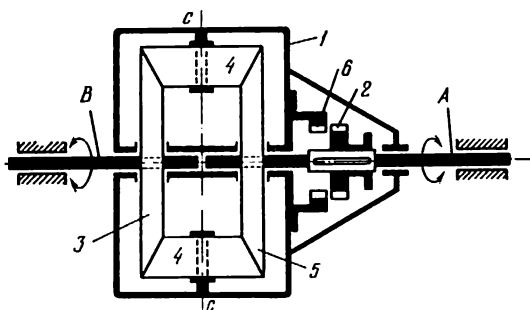


La roue dentée conique 1, mobile autour d'un axe fixe C , engrène avec la roue dentée conique 2 tournant autour d'un axe fixe D . La roue dentée cylindrique 3, solidaire de la roue 2, engrène avec la roue dentée cylindrique 4 rigidement reliée au porte-satellites qui se présente sous la forme d'une boîte 5. La boîte 5 comporte des axes sur lesquels sont librement montés les satellites identiques 6 qui engrènent avec les engrenages fixes identiques 7 et 8 reliés aux éléments menants du mécanisme par les demi-axes A et B . Si les éléments menants effectuent le même nombre de tours par minute et s'ils ont le même sens de rotation, les engrenages fixes 7 et 8 effectuent autant de tours par minute que la boîte 5. Si les éléments menants tournent à des vitesses différentes, les satellites 6 se mettent à tourner autour de leurs axes pendant la rotation des engrenages fixes 7 et 8.

Les nombres de tours par minute n_1 de la roue 1, n_7 de la roue 7 et n_8 de la roue 8 sont liés par la relation

$$n_1 = \frac{z_2 z_4}{z_1 z_3} \cdot \frac{n_7 + n_8}{2},$$

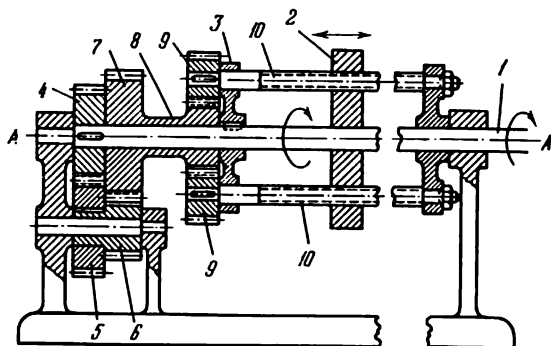
où z_1 , z_2 , z_3 et z_4 sont les nombres de dents des roues 1, 2, 3 et 4.



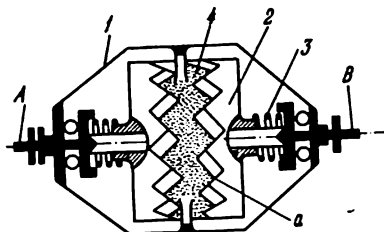
Deux roues coniques identiques 3 et 5, solidaires des demi-axes A et B, viennent en prise avec les satellites coniques 4 mobiles autour des axes C — C du porte-satellites qui se présente sous la forme d'une boîte 1 tournant autour des demi-axes A et B. Les nombres de tours par minute n_3 de la roue 3, n_5 de la roue 5 et n_1 de la boîte 1 sont liés par la relation

$$n_1 = \frac{z_3 + z_5}{2}.$$

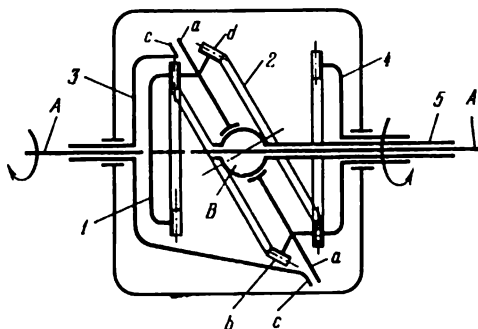
Le mécanisme comporte un manchon denté de blocage 2 glissant sur le demi-axe A et engrenant intérieurement avec la roue dentée 6 rigidement reliée à la boîte 1. Le manchon de blocage 2 une fois débrayé, les demi-axes A et B tournent à des vitesses angulaires qui varient selon les moments résistants exercés sur ces demi-axes. Lorsqu'on embraye le manchon 2, les demi-axes A et B tournent à une vitesse angulaire égale à celle de la boîte 1 du différentiel.



Le porte-satellites 3 et la roue 4 sont rigidement reliés à l'arbre 1. Deux satellites identiques 9 entrent en prise avec l'engrenage fixe 8 tournant librement sur l'arbre 1. La roue 7, solidaire de la roue 8, engrène avec la roue 6 rigidement reliée à la roue 5. Cette dernière vient, à son tour, en prise avec la roue 4. Les vis 10, solidaires des satellites 9, constituent des couples vis-écrou avec le chariot 2. Lorsque l'arbre 1 tourne, le chariot 2 reçoit une rotation autour de l'axe A — A et se déplace suivant cet axe.



Les manchons 2, munis de dents cunéiformes *a* dont l'angle au sommet est considérable, sont montés sur les demi-axes *A* et *B* et peuvent glisser le long de ces demi-axes. Les manchons 2 sont serrés à l'aide des ressorts comprimés 3 contre l'élément 4 relié à la boîte 1 du différentiel. Le degré de liberté supplémentaire, nécessaire à la rotation des demi-axes *A* et *B* à des vitesses angulaires différentes, est assuré par le glissement des dents cunéiformes *a* des manchons 2 sur les dents cunéiformes de l'élément 4.

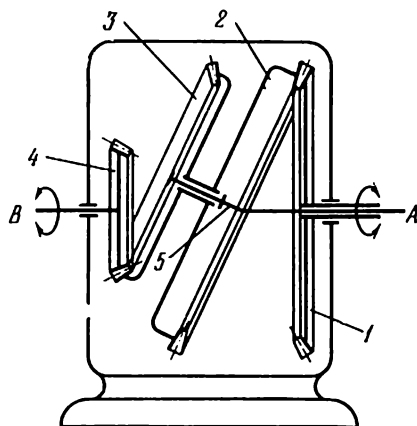


Le porte-satellites 3 et la roue 4 tournent librement autour de l'arbre A. La roue dentée 1, rigidement reliée à l'arbre A, engrène avec le satellite 2 qui comporte deux couronnes dentées identiques *d* et *b*. Le satellite 2 engrène avec la roue 4 au moyen de la couronne *d*. La rondelle oscillante, solidaire du satellite 2, glisse sur l'extrémité chanfreinée *c* du porte-satellites 3. Le satellite 2 forme un couple sphérique *B* avec l'élément fixe 5. Les nombres de tours par minute n_1 , n_4 et n_3 des roues 1 et 4 et du porte-satellites 3 sont liés par la relation

$$i_{14} = \frac{n_1 - n_3}{n_4 - n_3},$$

où i_{14} est le rapport de transmission égal à

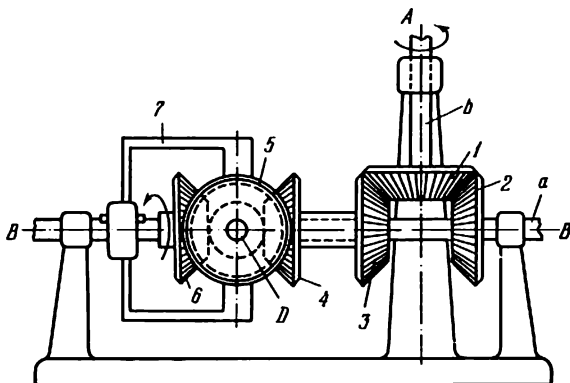
$$i_{14} = \frac{z_4}{z_1}.$$



La roue dentée conique 1, mobile autour d'un axe fixe A, vient en prise avec le satellite 2 ayant la forme d'une crémaillère dentée circulaire. Le satellite 2 est rigidement relié au satellite 3 réalisé, lui aussi, sous la forme d'une crémaillère circulaire et engrène avec la roue dentée conique 4 qui tourne autour d'un axe fixe B. Les satellites 2 et 3 constituent un couple de rotation avec le porte-satellites 5 tournant autour de l'axe A. Les nombres de tours par minute n_1 de la roue 1, n_4 de la roue 4 et n_5 du porte-satellites 5 satisfont à la condition

$$n_5 = \frac{z_2 z_4 n_4 - z_1 z_3 n_1}{z_2 z_4 - z_1 z_3},$$

où z_1 , z_2 , z_3 et z_4 sont les nombres de dents des roues 1, 2, 3 et 4.



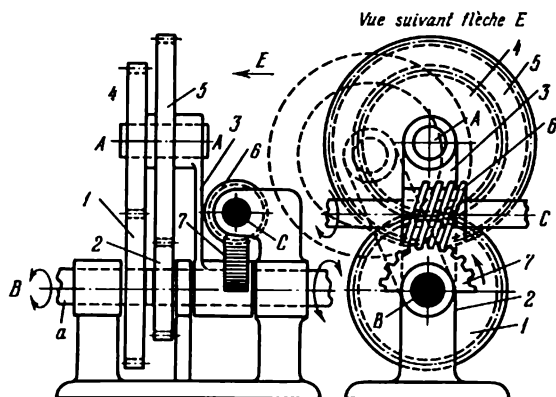
L'arbre b portant la roue dentée conique 1 tourne autour d'un axe fixe A . La roue 1 engrène avec les roues dentées coniques identiques 2 et 3 . La roue 2 est rigidement reliée à l'arbre a mobile autour d'un axe fixe $B - B$. La roue 3 et la roue dentée conique 4 qui en est solidaire sont folles sur l'arbre a . Le cadre 7 , qui constitue un porte-satellites, est rigidement relié à l'arbre a . Le porte-satellites 7 forme un couple de rotation D avec le satellite conique 5 qui engrène avec la roue 4 et la roue dentée conique 6 tournant librement sur l'arbre a .

Les nombres de dents z_1, z_2, z_3, z_4, z_5 et z_6 des roues $1, 2, 3, 4, 5$ et 6 satisfont aux conditions

$$z_1 = z_2 = z_3 \quad \text{et} \quad z_4 = z_5 = z_6.$$

Les nombres de tours par minute n_1 de la roue 1 et n_6 de la roue 6 sont liés par la relation

$$n_6 = -3n_1.$$



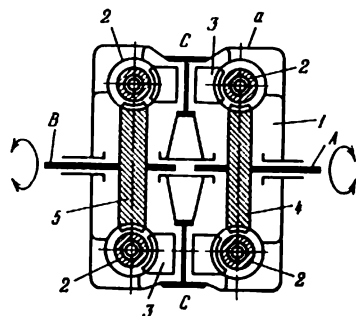
La roue dentée 1, mobile autour de l'axe fixe B de l'arbre a, engrène avec le satellite 4, solidaire du satellite 5 qui engrène avec la roue dentée 2 tournant autour de l'axe B. Les satellites 4 et 5 forment un couple de rotation A avec le porte-satellites 3, mobile autour de l'axe B. Le secteur denté 7, solidaire du porte-satellites 3, engrène avec la vis tangente 6 tournant autour d'un axe fixe C. Comme l'engrenage à vis tangente est autofreinant, le porte-satellites 3 reste immobile pendant la rotation de la roue 1 et les nombres de tours par minute n_1 de la roue 1 et n_2 de la roue 2 sont liés par la relation

$$n_2 = n_1 \frac{z_1 z_5}{z_2 z_4},$$

où z_1 , z_2 , z_4 et z_5 sont les nombres de dents des roues 1, 2, 4 et 5, c.-à-d. que le mécanisme fonctionne comme un simple réducteur à double train.

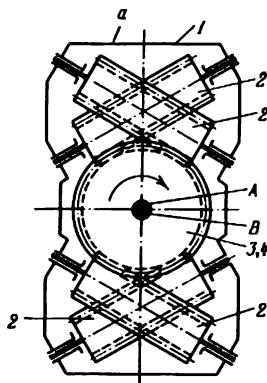
Si l'on met en rotation la vis tangente 6, le mécanisme commence à fonctionner comme un réducteur différentiel, car le secteur denté 7 imprime au porte-satellites 3 un déplacement d'un angle quelconque dans les limites admises par le secteur denté. Les nombres de tours par minute n_1 , n_2 des roues 1 et 2 et n_3 du porte-satellites 3 satisfont donc à la condition

$$n_3 = n_1 \frac{z_1 z_5}{z_1 z_5 - z_2 z_4} - n_2 \frac{z_2 z_4}{z_1 z_5 - z_2 z_4}.$$



Le porte-satellites *1* est réalisé sous la forme d'une boîte *a* mobile autour des demi-axes *A* et *B*. La boîte *a* constitue des couples de rotation avec quatre satellites tangents identiques *2* qui engrènent avec deux roues tangentes identiques *3* tournant autour des axes *C* de la boîte *a* et avec deux roues tangentes identiques *4* et *5* solidaires des demi-axes *A* et *B*. Les nombres de tours par minute n_1 de la boîte *a*, n_4 de la roue *4* et n_5 de la roue *5* sont liés par la relation

$$n_1 = \frac{n_4 + n_5}{2} .$$

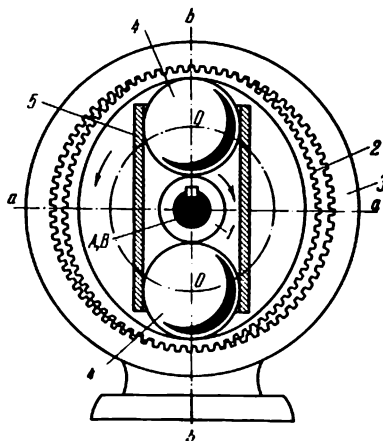


Le porte-satellites *1* est réalisé sous la forme d'une boîte *a* mobile autour des demi-axes *A* et *B*, perpendiculaires au plan de la figure. La boîte *a* forme des couples de rotation avec quatre satellites tangents identiques *2* qui engrenent les uns sur les autres et avec les roues tangentes identiques *3* et *4* solidaires des demi-axes *A* et *B*. Les nombres de tours par minute n_1 de la boîte *a*, n_3 de la roue *3* et n_4 de la roue *4* sont liés par la relation

$$n_1 = \frac{n_3 + n_4}{2}.$$

4. Mécanismes de transmission harmoniques (638-644)

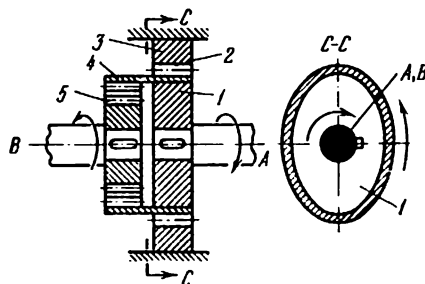
| 638 | MÉCANISME D'UNE TRANSMISSION COAXIALE PAR ENGRENAGE À DEUX ONDES AVEC GÉNÉRATEUR EN FORME DE CAME | DC MTH |
|--|--|-------------------|
| <div data-bbox="202 357 839 609" data-label="Image"> </div> <p data-bbox="165 623 865 847"> Le générateur d'ondes 1, constitué par une came de forme elliptique, tourne autour d'un axe fixe A. L'élément flexible 2, portant des dents situées sur sa surface extérieure, tourne autour d'un axe fixe B et engrène intérieurement avec les dents de la roue 3 rendue solidaire du montant. Un grand nombre de dents, situées symétriquement par rapport au petit axe de l'ellipse, sont en prise simultanément. Les billes 4 sont placées entre le générateur d'ondes 1 et la roue 2. Le rapport de transmission i_{12} est égal à </p> $i_{12} = \frac{\omega_1}{\omega_2} = \frac{n_1}{n_2} = -\frac{z_2}{2},$ <p data-bbox="165 916 865 1000"> où ω_1, ω_2 et n_1, n_2 sont les vitesses angulaires et les nombres de tours par minute du générateur d'ondes 1 et de l'élément 2, z_2, le nombre de dents de la roue 2 tel que </p> $z_2 = z_3 - 2.$ | | |



Le générateur d'ondes du mécanisme se présente sous la forme d'un porte-satellites 5 comprenant des billes 4 entraînées dans le mouvement au moyen d'une roue de friction cylindrique ronde 1 mobile autour d'un axe fixe A. L'élément flexible 2 dont la surface extérieure comporte des dents tourne autour d'un axe fixe B et engrène intérieurement avec les dents de la roue 3 rendue solidaire du montant. Un grand nombre de dents, situées symétriquement par rapport à l'axe $a - a$ perpendiculaire à l'axe $b - b$ passant par les centres O des billes 4, sont en prise simultanément. Le rapport de transmission est égal à

$$i_{52} = \frac{\omega_5}{\omega_2} = \frac{n_5}{n_2} = -\frac{z_2}{2},$$

où ω_5 , ω_2 et n_5 , n_2 sont les vitesses angulaires et les nombres de tours par minute du générateur d'ondes 5 et de l'élément 2, z_2 , le nombre de dents de la roue 2 tel que $z_2 = z_3 - 2$.



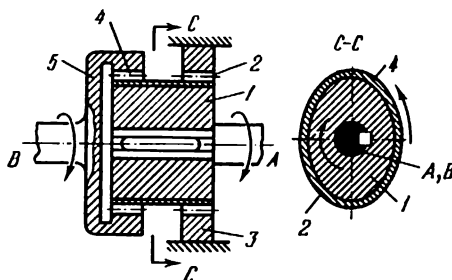
Le générateur d'ondes *1* en forme d'ellipse tourne autour d'un axe fixe *A*. L'élément flexible est composé de deux roues *2* et *4* à denture extérieure et intérieure reliées entre elles dont les nombres de dents z_2 et z_4 diffèrent de peu. La roue *2* engrène intérieurement avec la roue *3* rendue solidaire du montant. La roue *4* engrène avec la roue *5* tournant autour d'un axe fixe *B*. Le rapport de transmission i_{15} est égal à

$$i_{15} = \frac{\omega_1}{\omega_5} = \frac{n_1}{n_5} = - \frac{z_3 z_5}{z_3 + z_5 + 2},$$

où ω_1 , ω_5 et n_1 , n_5 sont les vitesses angulaires et les nombres de tours par minute du générateur d'ondes *1* et de la roue *5*, z_3 et z_5 , les nombres de dents des roues *3* et *5* tels que $z_3 =$

$$= z_2 + 2 \text{ et } z_5 = z_4 - 2.$$

**MÉCANISME D'UNE TRANSMISSION COAXIALE
PAR ENGRENAGE À DEUX ÉTAGES
ET À DEUX ONDES AVEC GÉNÉRATEUR
EN FORME D'ELLIPSE**



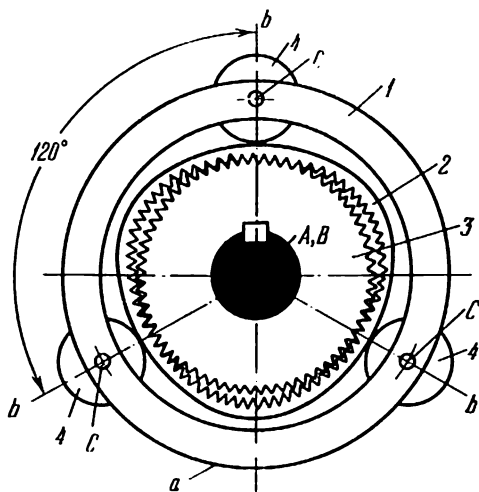
Le générateur d'ondes 1 en forme d'ellipse tourne autour d'un axe fixe A. L'élément flexible est composé de deux roues à denture extérieure 2 et 4 reliées entre elles dont les nombres de dents z_2 et z_4 diffèrent de peu. La roue 2 engrène avec la roue 3 rendue solidaire du montant. La roue 4 engrène avec la roue 5 tournant autour d'un axe fixe B. Le rapport de transmission est égal à

$$i_{15} = \frac{\omega_1}{\omega_5} = \frac{n_1}{n_5} = \frac{z_3 z_5}{z_5 - z_3 + 2},$$

où ω_1 , ω_5 et n_1 , n_5 sont les vitesses angulaires et les nombres de tours par minute du générateur d'ondes 1 et de la roue 5, z_3 et z_5 , les nombres de dents des roues 3 et 5 tels que $z_3 =$

$$= z_2 + 2 \text{ et } z_5 = z_4 + 2.$$

**MÉCANISME D'UNE TRANSMISSION COAXIALE
PAR ENGRENAGE À TROIS ONDES
AVEC GÉNÉRATEUR EXTÉRIEUR
À ROULEAUX**

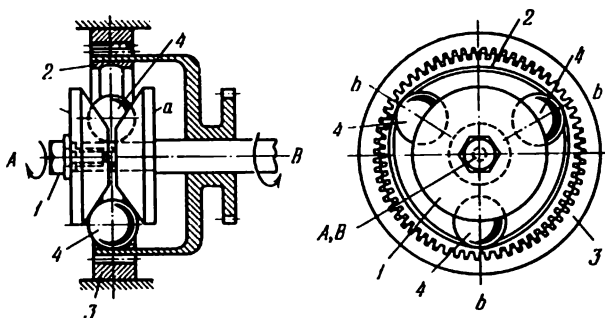


Le générateur d'ondes 1 se présente sous la forme d'un anneau *a*. Les rouleaux cylindriques ronds 4, mobiles autour des axes *C* de l'anneau *a*, sont décalés d'un angle de 120° . Le générateur d'ondes 1 tourne autour d'un axe fixe *A*. L'élément flexible 2 portant des dents situées sur sa surface intérieure tourne autour d'un axe fixe *B* et engrène avec les dents de la roue 3 rendue solidaire du montant. Un grand nombre de dents, situées symétriquement par rapport aux axes *b*, sont simultanément en prise. Le rapport de transmission i_{12} est égal à

$$i_{12} = \frac{\omega_1}{\omega_2} = \frac{n_1}{n_2} = \frac{z_2}{3},$$

où ω_1 , ω_2 et n_1 , n_2 sont les vitesses angulaires et les nombres de tours par minute du générateur d'ondes 1 et de l'élément 2 et z_2 , le nombre de dents de l'élément 2 tel que $z_2 = z_3 + 3$.

**MÉCANISME D'UNE TRANSMISSION
COAXIALE PAR ENGRENAGE
À TROIS ONDES AVEC GÉNÉRATEUR
À BILLES**



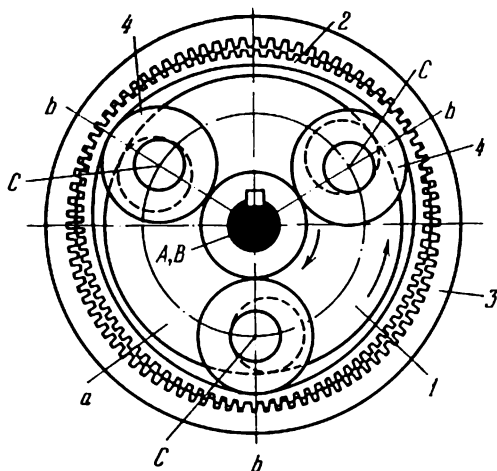
Le générateur d'ondes 1 se compose de deux cônes *a* entre lesquels sont placées des billes 4. Les axes *b* des billes 4 sont décalés d'un angle de 120° . Le générateur d'ondes 1 tourne autour d'un axe fixe *A*. L'élément flexible 2 portant des dents situées sur sa surface extérieure tourne autour d'un axe fixe *B* et engrène intérieurement avec les dents de la roue 3 rendue solidaire du montant. Un grand nombre de dents situées symétriquement par rapport aux axes *b* sont simultanément en prise. Le rapport de transmission i_{12} est égal à

$$i_{12} = \frac{\omega_1}{\omega_2} = \frac{n_1}{n_2} = -\frac{z_2}{3},$$

où ω_1 , ω_2 et n_1 , n_2 sont les vitesses angulaires et les nombres de tours par minute du générateur d'ondes 1 et de l'élément 2, et z_2 , le nombre de dents de l'élément 2 tel que $z_2 = z_3 - 3$.

**MÉCANISME D'UNE TRANSMISSION
COAXIALE PAR ENGRENAGE À TROIS ONDES
AVEC GÉNÉRATEUR
INTÉRIEUR À ROULEAUX**

**DC
MTH**



Le générateur d'ondes 1 se présente sous la forme d'un anneau *a*. Les rouleaux cylindriques ronds 4 sont décalés d'un angle de 120° et tournent autour des axes *C* de l'anneau *a*. Le générateur d'ondes 1 tourne autour d'un axe fixe *A*. L'élément flexible 2 portant des dents situées sur sa surface extérieure tourne autour d'un axe fixe *B* et engrène intérieurement avec les dents de la roue 3 rendue solidaire du montant. Un grand nombre de dents, situées symétriquement par rapport aux axes *b*, sont simultanément en prise. Le rapport de transmission i_{12} est égal à

$$i_{12} = \frac{\omega_1}{\omega_2} = \frac{n_1}{n_2} = -\frac{z_2}{3},$$

où ω_1 , ω_2 et n_1 , n_2 sont les vitesses angulaires et les nombres de tours par minute du générateur d'ondes 1 et de l'élément 2, et z_2 , le nombre de dents de l'élément 2 tel que $z_2 = z_3 - 3$.

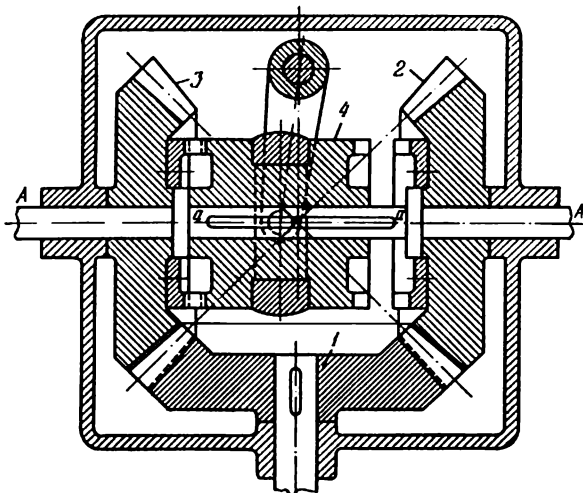
5. Mécanismes à éléments multiples d'usage général (645-656)

645

MÉCANISME DENTÉ DES ROUES CONIQUES AVEC MANCHON DE COMMANDE

DC

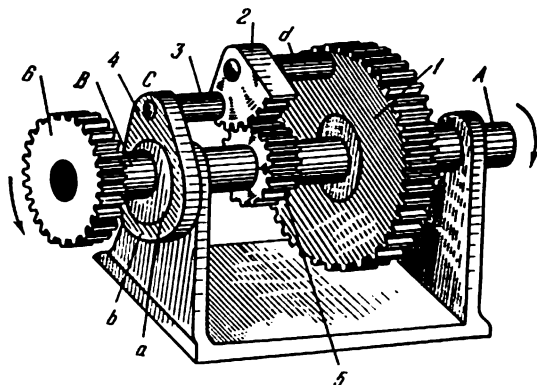
M₁



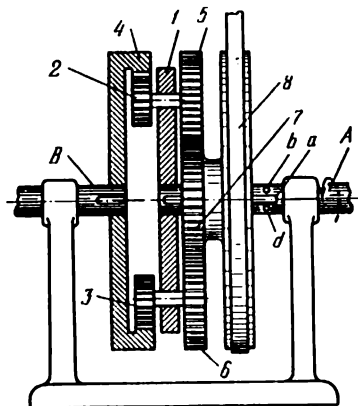
La roue conique 1 imprime un mouvement aux roues coniques 2 et 3 tournant librement sur l'arbre A. On fait tourner l'arbre A dans le sens voulu en embrayant le manchon 4 monté sur une clavette coulissante *a — a*.

**MÉCANISME DIFFÉRENTIEL DENTÉ POUR
IMPRIMER LE MOUVEMENT
DE ROTATION NON UNIFORME À L'ÉLÉMENT
MÈNÉ**

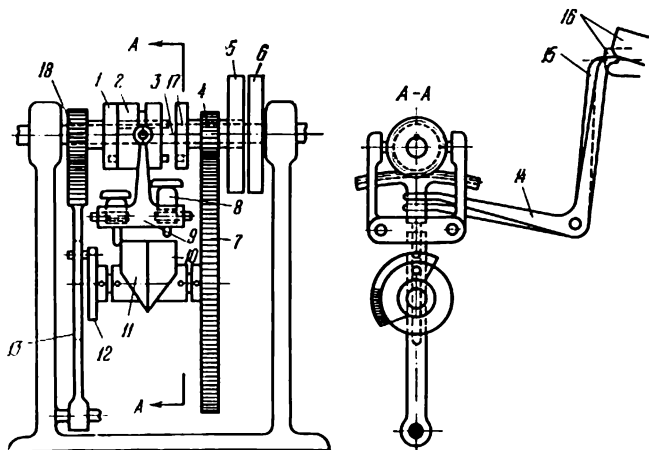
**DC
M**



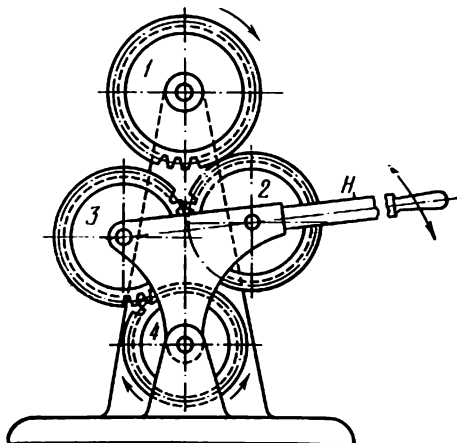
La commande indépendante des arbres *A* et *B* se fait au moyen d'engrenages qui sont en prise avec les roues *1* et *6*. Le secteur denté *2*, tournant fou sur le doigt *d* de la roue *1*, engrène avec la roue menée *5* qui tourne librement sur l'arbre *B*. L'excentrique rond *a*, solidaire de l'arbre *B*, est embrassé par la douille *b* de l'élément *4*. L'élément *4* forme un couple de rotation *C* avec le doigt *3* du secteur *2*. Lorsque les roues dentées *1* et *6* sont en mouvement uniforme, la roue dentée *5* reçoit un mouvement non uniforme.



Le porte-satellites 1, solidaire de l'arbre A, forme des couples de rotation avec les satellites dentés 2, 5 et 3, 6. La roue 4 à denture intérieure, solidaire de l'arbre B, engrène avec les satellites 2 et 3. La rotation de l'arbre menant A est transmise à l'arbre mené B à l'aide du porte-satellites 1 et des roues dentées 2, 3 et 4 et à la roue 7, montée folle sur l'arbre A, à l'aide des roues dentées 5 et 6. La roue 7 possède une saillie a qui est serrée contre le goujon d ou le goujon b, fixés sur l'arbre A, selon le sens de rotation de ce dernier. Si l'arbre A tourne dans le sens indiqué par la flèche, la saillie a agit sur le goujon d, et la roue 7 tourne en même temps que l'arbre A. Les roues dentées 2, 3, 5 et 6 font tourner la roue dentée 4 et l'arbre B à une vitesse angulaire égale à celle de l'arbre A. Si l'arbre A tourne en sens inverse, la roue 7 est freinée par la courroie 8, et la saillie a commence à se déplacer du goujon d vers le goujon b. La roue 7 est alors en retard par rapport à l'arbre A et au disque 1; les roues dentées 2, 3, 5 et 6 commencent ensuite à tourner et mettent en mouvement la roue 4 et l'arbre B qui tournent dans le même sens que l'arbre A. Les dimensions des roues sont choisies de manière que la vitesse angulaire de l'arbre B soit supérieure à celle de l'arbre A. L'arbre B peut donc rattraper le retard dû à la marche à vide d'un amplificateur spécial non représenté sur la figure. Quand la saillie a touche le goujon b, la roue 7 se met à tourner en même temps que l'arbre A et la vitesse de l'arbre B devient égale à celle de l'arbre A. La distance entre les goujons d et b est réglée de façon qu'on puisse compenser exactement la marche à vide de l'amplificateur.



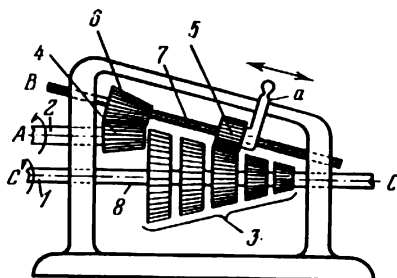
La poulie 5, mise en mouvement par un électromoteur, la roue dentée 4 et la bride 17 sont calées sur un axe tubulaire. Le mouvement de la roue 4 est transmis à la roue 7 sur l'axe de laquelle sont fixés les coins cylindriques 10 et 11 et la rondelle-manivelle 12. Le doigt de la rondelle 12 s'engage dans la rainure de la coulisse 13 en l'entraînant dans un mouvement oscillatoire. La coulisse se termine par un secteur denté qui engrène avec la roue dentée 18 de façon que cette dernière effectue un mouvement alternatif. La roue 18 et la rondelle 1 sont rigidement fixées sur le même axe tubulaire, à travers lequel passe l'arbre 3 qui porte à son extrémité la poulie 6. Le manchon 2, claveté sur l'arbre 3, est commandé par le bras 9. Lorsque le manchon 1 embraye avec la rondelle 2, la poulie 6 reçoit un mouvement alternatif. Lorsqu'on met en prise la rondelle 17, la poulie 6 reçoit un mouvement de rotation. Le déplacement du bras 9 vers la droite ou vers la gauche se fait à l'aide des coins cylindriques 10 et 11 qui entrent en contact avec les doigts 8. Ces derniers s'abaissent sous l'action des leviers coudés 14 et 15 (voir la vue suivant A — A), qui sont mis en mouvement par les cames 16 montées sur un arbre de distribution non représenté sur la figure.



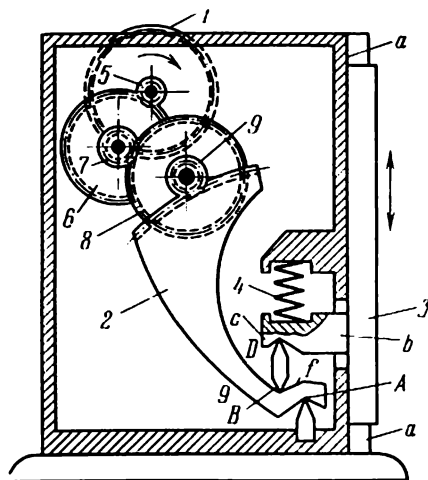
Lorsqu'on tourne la poignée *H* dans le sens des aiguilles d'une montre, la roue 1 vient en prise avec la roue 4 par l'intermédiaire de la roue 3. Si l'on tourne la poignée *H* dans le sens inverse des aiguilles d'une montre, les roues 1 et 4 s'engrènent successivement à l'aide des roues 2 et 3. Si la roue 1 est animée d'un mouvement de rotation dans le même sens, la roue 4 tourne dans les deux sens selon la position de la poignée.

**MÉCANISME D'UNE TRANSMISSION
PAR ROUES CONIQUES
ET ROUE CYLINDRIQUE À RAPPORT
DE TRANSMISSION VARIABLE**

**DC
M**

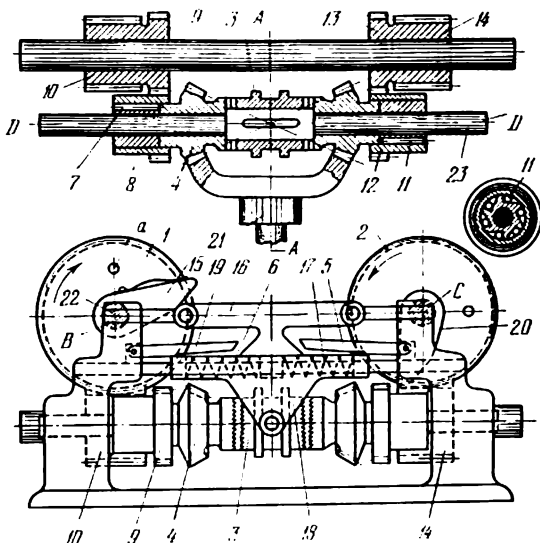


L'arbre 2 est mobile autour d'un axe fixe A. La roue conique ronde 4, rigidement reliée à l'arbre 2, engrène avec la roue conique ronde 6 rendue solidaire de l'arbre 7 tournant autour d'un axe fixe B. La roue cylindrique ronde 5, tournant autour de l'axe B, peut glisser sur l'axe B et engrener avec l'une des roues coniques 3, solidaires de l'arbre 8 tournant autour d'un axe fixe C. En amenant la roue 5 en prise avec les roues 3 au moyen de la poignée a, on obtient cinq rapports de transmission différents i_{21} entre les arbres 2 et 1.

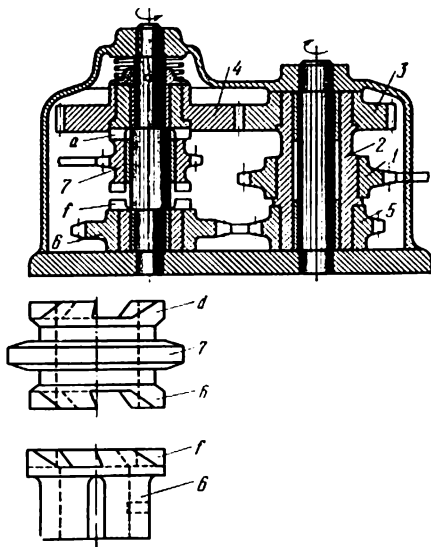


Le coulisseau 3, constituant l'élément mené, se déplace d'un mouvement de translation dans le guidage *a*. La saillie *b* du coulisseau 3 possède une rainure *c* dans laquelle s'engage au point *D* l'élément intermédiaire 9 ; celui-ci prend appui en *B* sur la rainure *f* de l'élément 2. Lorsque la roue 1 tourne, le segment denté 2 est mis en mouvement autour d'un point fixe *A* au moyen des roues intermédiaires 5, 6, 7, 8 et 9. Le coulisseau mené 3 prend alors la position voulue. Les ressorts 4 assurent l'effort de contact entre les éléments du mécanisme, éliminant ainsi l'influence des jeux dans les roues dentées.

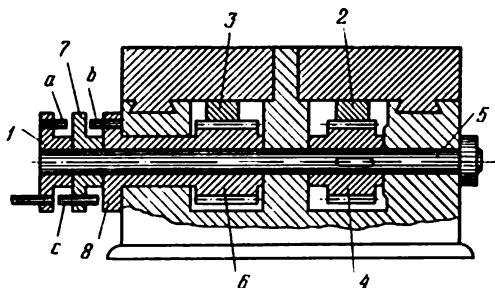
MÉCANISME DENTÉ POUR METTRE ALTERNATIVEMENT EN MOUVEMENT DEUX ARBRES



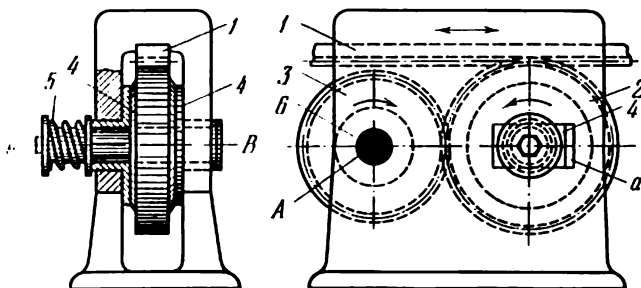
Lorsque l'arbre 21 tourne autour d'un axe fixe A—A, les roues tangentes 1 et 2 sont entraînées alternativement en rotation dans les deux sens autour des axes fixes B et C. Lorsque le manchon 3 est embrayé avec la roue 4 (le levier 5 bloque alors le manchon 3 dans sa position gauche), le mouvement est transmis à la roue tangente 1 au moyen de l'arbre 23 tournant autour d'un axe fixe D—D, du manchon de marche libre 7, des roues dentées 8, 9 et de la vis sans fin 10. La roue 2 reste alors en repos, car le manchon de marche libre 11 ne se coince pas dans le même sens que le manchon 7. Le goujon a de la roue 1 tourne et bute contre le levier 15 qui est monté fou sur l'arbre 22. Poussé par le levier 15, l'élément 16 se déplace vers la droite, en serrant le ressort 17. Sous l'action du ressort 17, l'élément 18 soulève le levier 5, et le manchon 3 embraye par son autre côté. Le levier 19 bloque alors le manchon 3 dans sa position droite. La roue 1 s'arrête, et la roue 2 est mise en mouvement au moyen du manchon de marche libre 11, des roues dentées 12, 13 et de la vis sans fin 14. La roue 1 reste au repos jusqu'à ce que le levier 20, agissant sur le levier 16, ne déplace ce dernier vers la gauche de sorte que l'élément 18, subissant l'action du ressort 17, provoque l'embrayage du manchon de l'autre côté.



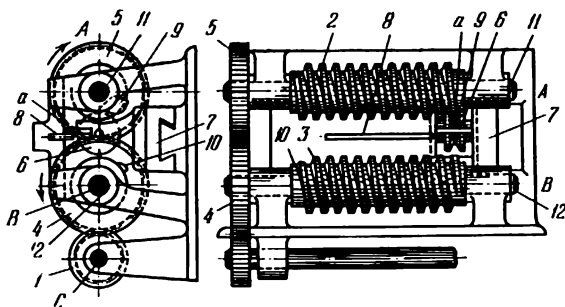
La roue à chaîne 1, calée sur la douille 2, est mise en mouvement par un moteur à marche réversible. La roue dentée 4 reçoit alors le mouvement de la roue dentée 3 dans un sens, et la roue à chaîne 6 reçoit son mouvement de la roue à chaîne 5 dans le sens opposé. Lorsque la roue 4 tourne dans un sens déterminé, la roue à chaîne 7 engrène par ses dents hélicoïdales *d* avec les dents hélicoïdales de la roue 4 et tourne dans le même sens. Lorsque la roue 4 tourne dans le sens inverse, la dent *a* de la roue 4 agit sur la dent *d* de la roue 7 et déplace cette dernière dans le sens axial. Les dents *b* de la roue 7 sont alors en prise avec les dents *f* de la roue 6, et la roue 7 se met à tourner dans le même sens. De cette façon, le changement du sens de rotation de la roue 1 n'a aucune influence sur le sens de rotation de la roue 7.



La roue menante 1 entraîne la crémaillère 2 dans un mouvement alternatif à l'aide de la roue dentée 4 solidaire de l'arbre 5. La roue dentée 6 comportant le disque 8 et montée librement sur l'arbre 5 imprime le mouvement à la crémaillère 3. La roue dentée 6 est mise en mouvement par la roue menante 1 par suite de l'engrenage successif des fuseaux *a*, *b*, *c* situés sur la roue menante 1 et sur les disques 7 et 8 montés librement sur l'arbre 5. Au début de la course aller et au début de la course retour de la crémaillère 2, la crémaillère 3 reste immobile jusqu'à ce que la roue menante 1 tourne d'un angle correspondant à deux tours moins deux fois l'épaisseur des fuseaux. Les fuseaux *a*, *b*, *c* engrènent alors et la roue dentée 6 commence à tourner, imprimant le mouvement à la crémaillère 3.

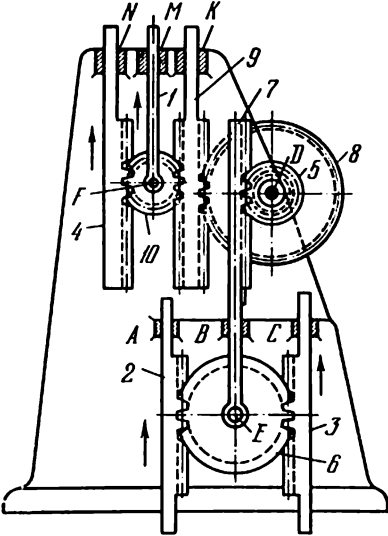


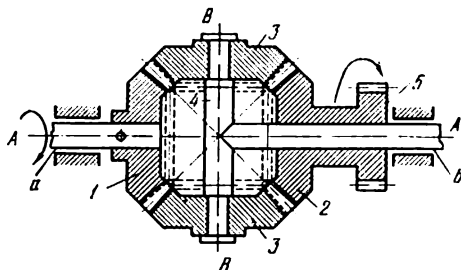
La roue 3, solidaire de l'arbre mené 6 mobile autour d'un axe fixe *A*, engrène avec la roue 2 tournant autour d'un axe *B — B*. Les brides 4 sont serrées contre la roue 2 par le ressort 5 et peuvent se déplacer avec la roue 2 dans le guidage fixe *a*. La crémaillère 1 se déplace d'un mouvement alternatif et les brides 4 prennent appui soit contre le côté gauche, soit contre le côté droit de la rainure *a*. Lorsque la bride prend appui contre le côté gauche, comme on le voit sur la figure, la roue 2 entre en prise avec la roue 3 et lui communique la rotation dans le sens indiqué par la flèche. Lorsque la bride prend appui contre le côté droit, la roue 2 commence à désengrener de la roue 3 et cette dernière reste immobile. L'arbre mené 6 effectue donc un mouvement intermittent dans le même sens.



Lorsque la roue dentée 1 tourne autour d'un axe fixe C, les vis 2 et 3 reçoivent à l'aide des roues dentées 4 et 5 un mouvement de rotation autour des axes fixes B et A dans les sens indiqués par les flèches. Si le rouleau 6 engrène avec la vis 2, il se déplace vers la droite avec le coulisseau 7, et s'il engrène avec la vis 3, il se déplace vers la gauche. Le contact entre le rouleau 6 et les vis 2 et 3 est assuré par la plaque a qui se déplace par rapport à un guidage fixe 8. Ayant atteint sa position limite droite, le rouleau 6 se déplace vers le bas le long du coulisseau 7 sous l'action de la came 9 fixée sur l'arbre 11. Lorsque le rouleau 6 atteint sa position limite gauche, il se déplace vers le haut le long du coulisseau 7 sous l'action de la came 10 fixée sur l'arbre 12. Le coulisseau 7 reçoit ainsi un mouvement alternatif.

6. Mécanismes pour opérations mathématiques (657-662)

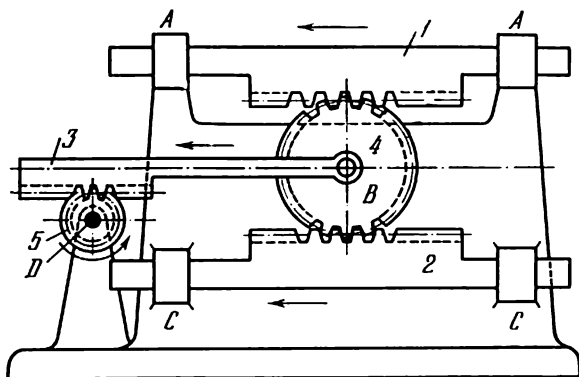
| 657 | MÉCANISME DIFFÉRENTIEL À ENGRENAGE ET CRÉMAILLÈRE POUR SOMMATION DE TROIS NOMBRES | DC OM |
|-----|--|----------|
| |  <p data-bbox="625 305 864 915">La crémaillère 2, animée d'un mouvement de translation dans un guidage fixe A, engrène avec la roue dentée 6 qui vient en prise avec la crémaillère 3 se déplaçant d'un mouvement de translation dans un guidage fixe C. La crémaillère 7 engrène avec la roue 5 tournant autour d'un axe fixe D et constitue un couple de rotation E avec la roue 6. La roue dentée 8, solidaire de la roue 5, vient en prise avec la crémaillère à double face 9 animée d'un mouvement de translation dans un guidage fixe K. La crémaillère 9 engrène avec la roue 10 qui engrène, à son tour, avec la crémaillère 4 animée d'un mouvement de translation dans un guidage fixe N. La roue 10 constitue un couple de rotation F avec l'élément 1 animé d'un mouvement de translation dans un guidage</p> <p data-bbox="174 915 864 1061">fixe M. Le premier nombre à additionner est proportionnel au déplacement linéaire s_2 de la crémaillère 2. Le deuxième nombre à additionner est proportionnel au déplacement linéaire s_3 de la crémaillère 3. Le troisième nombre à additionner est proportionnel au déplacement linéaire s_4 de la crémaillère 4. Le déplacement linéaire s_1 de la crémaillère 1 est proportionnel à la demi-somme des nombres à additionner s_2, s_3 et s_4 introduits à l'aide des crémaillères 2, 3 et 4, c.-à-d.</p> $s_1 = \frac{s_2 + s_3 + s_4}{2},$ <p data-bbox="174 1125 864 1209">car les nombres de dents z_5 et z_8 des roues 5 et 8 sont liés par le rapport $z_8 = 2z_5$. La somme des nombres à additionner figurera sur une échelle spéciale (non représentée sur la figure) qui enregistre le déplacement de l'élément 1.</p> | |



La roue dentée conique 1, solidaire de l'arbre *a*, tourne autour d'un axe fixe *A — A* et engrène avec deux satellites coniques identiques 3 qui forment des couples de rotation *B* avec le porte-satellites 4 dont l'arbre *b* tourne autour de l'axe *A — A*. Les satellites 3 engrènent avec la roue dentée conique 2 tournant librement sur l'arbre *b*. Les nombres de dents z_1 et z_2 des roues 1 et 2 sont égaux entre eux. Le premier nombre à additionner est proportionnel à l'angle φ_1 de rotation de l'arbre *a*. Le deuxième nombre à additionner est proportionnel à l'angle φ_2 de rotation de l'arbre *b* et est introduit à l'aide de la roue dentée 5. L'angle φ_4 est proportionnel à la demi-somme des nombres à additionner φ_1 et φ_2 introduits à l'aide de l'arbre *a* et de la roue 5, c.-à-d.

$$\varphi_4 = \frac{\varphi_1 + \varphi_2}{2}.$$

La somme des deux nombres à additionner est fournie par un dispositif spécial non représenté sur la figure.



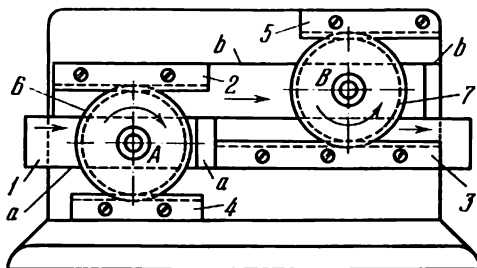
La crémaillère 1, animée d'un mouvement de translation dans un guidage fixe A — A, engrène avec la roue dentée 4 qui, à son tour, engrène avec la crémaillère 2 animée d'un mouvement de translation dans un guidage fixe C. La crémaillère 3 engrène avec la roue dentée 5 tournant autour d'un axe fixe D et constitue un couple de rotation B avec la roue 4. Le premier nombre à additionner est proportionnel au déplacement linéaire s_1 de la crémaillère 1. Le deuxième nombre à additionner est proportionnel au déplacement linéaire s_2 de la crémaillère 2. Le déplacement linéaire s_3 de la crémaillère 3 est proportionnel à la demi-somme des nombres à additionner s_1 et s_2 introduits à l'aide des crémaillères 1 et 2, c.-à-d.

$$s_3 = \frac{s_1 + s_2}{2}.$$

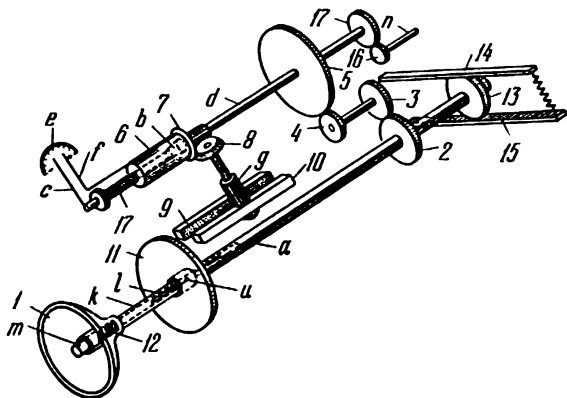
Le mécanisme donne la somme des nombres à additionner, en enregistrant l'angle φ_5 de rotation de la roue 5 égal à

$$\varphi_5 = \frac{s_3}{R} = \frac{1}{2R} (s_1 + s_2),$$

où R est le rayon du cercle primitif de la roue 5.

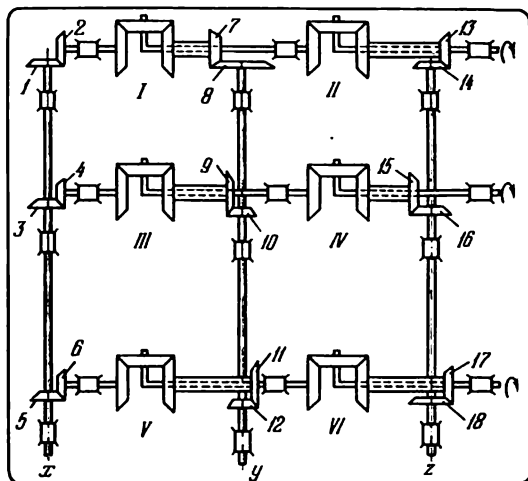


L'élément 1 , animé d'un mouvement de translation dans un guidage fixe $a - a$, forme un couple de rotation A avec la roue 6 roulant sur la crémaillère fixe 4 . La roue 6 engrène avec la crémaillère 2 animée d'un mouvement de translation dans un guidage fixe. La crémaillère 2 constitue un couple de rotation B avec la roue 7 ; le rayon du cercle primitif de cette dernière est égal à celui du cercle primitif de la roue 6 . La roue 7 est en prise avec la crémaillère 3 animée d'un mouvement de translation dans un guidage $a - a$ et roulant sur la crémaillère fixe 5 . Le déplacement s_2 de la crémaillère 2 est égal à $s_2 = 2s_1$ et le déplacement s_3 de la crémaillère 3 est égal à $s_3 = 2s_2 = 4s_1$, où s_1 est le déplacement de l'élément 1 .



On introduit le nombre à additionner par la rotation du volant *1* solidaire de l'arbre *a* dont le mouvement est transmis à l'arbre *d* comportant une aiguille *c* à l'aide des roues dentées 2, 3, 4 et 5. La grandeur du nombre est enregistrée sur l'échelle *e*. La rotation est transmise par le cône *b* à la douille de friction 6 sur laquelle est fixée une aiguille *f* qui tourne d'un même angle que l'aiguille *c*. En même temps la rotation de la douille 6 est transmise au moyen des roues dentées 7 et 8 à la roue dentée *g* qui déplace les crémaillères 9 et 10 en sens inverses. La crémaillère 9 se déplace vers la gauche et agit sur le disque 11, relié par le goujon *u* à la tige *k* logée dans la partie creuse de l'arbre *a*. De cette façon, lorsque le disque 11 se déplace sur l'arbre *a* dans les limites admises par la rainure *l*, la tige *k* se déplace aussi, en surmontant la résistance du ressort 12. Après l'introduction d'un des nombres à additionner, on appuie sur le bouton *m* de la tige *k* qui, avec le disque 11, commence à se déplacer vers la droite. Le disque 11 agit alors sur la crémaillère 9 et déplace cette dernière vers la droite également; la

| 661 | MÉCANISME À CRÉMAILLÈRE ET ENGRENAGE POUR SOMMATION, AVEC REMISE À ZÉRO À L'AIDE DES CRÉMAILLÈRES | DC OM |
|-----|---|------------------|
| | <p>crémaillère 10 se déplace donc vers la gauche. Ce mouvement s'observe jusqu'à ce que le disque 11 touche les deux crémaillères ; le déplacement ultérieur devient impossible. Lorsque les crémaillères 9 et 10, ainsi que le disque 11, occupent cette position, l'aiguille <i>f</i> se remet à zéro. L'aiguille <i>c</i> reste donc à son emplacement précédent. L'introduction des nombres à additionner suivants se fait de la même façon. De cette façon, lorsqu'on introduit une série de nombres, l'arbre <i>d</i> tourne d'un angle proportionnel à la somme des nombres à additionner. La somme indiquée par l'aiguille <i>c</i> est transmise aux autres mécanismes à l'aide des roues dentées 17, 16 et de l'arbre <i>n</i>. Le fixateur, composé de la roue dentée 13 et des crémaillères 14 et 15, sert à immobiliser le volant 1 et à créer sur l'arbre <i>d</i> un moment supérieur à celui qui apparaît entre la douille 10 et l'arbre <i>d</i>. Cela est nécessaire pour éliminer la rotation de l'arbre <i>d</i> pendant la remise à zéro de l'aiguille <i>c</i>.</p> <p>Le ressort effectue le serrage des roues dentées 7 et 8.</p> | |



Le mécanisme résout un système de trois équations avec trois inconnues

$$\begin{aligned}x + a_{11}y + b_{12}z &= c_1, \\x + a_{21}y + b_{22}z &= c_2, \\x + a_{31}y + b_{32}z &= c_3,\end{aligned}$$

où a, b, c sont les constantes données.

Les engrenages 1—2, 3—4, 5—6 ont un rapport de transmission égal à l'unité. Les engrenages 7—8, 9—10, 11—12 ont des rapports de transmission égaux à

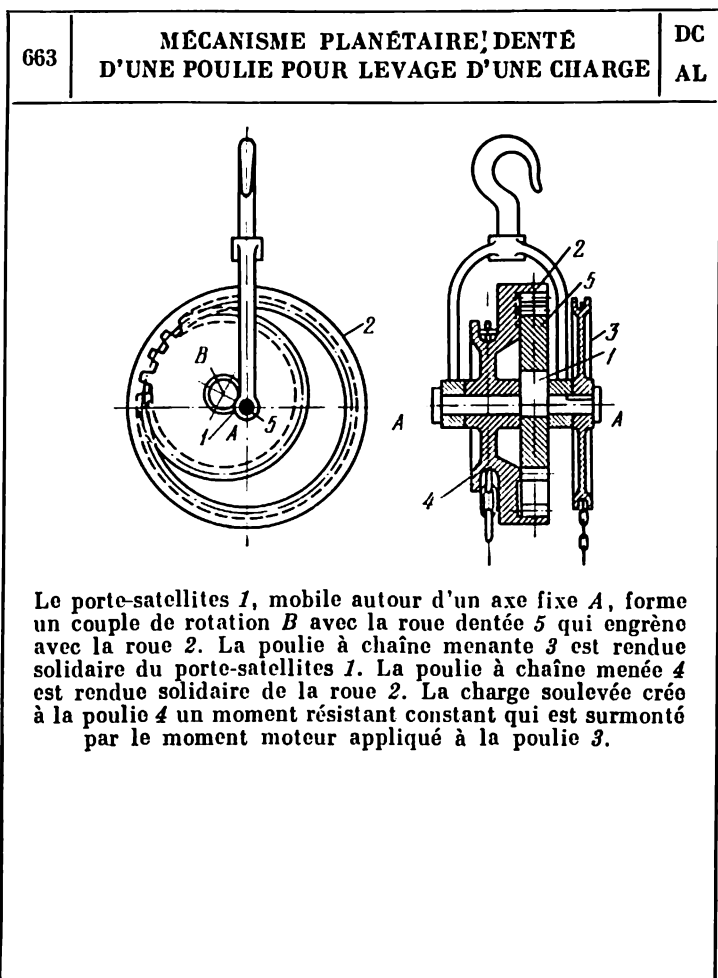
$$i_{7,8} = a_1, i_{9,10} = a_2, i_{11,12} = a_3.$$

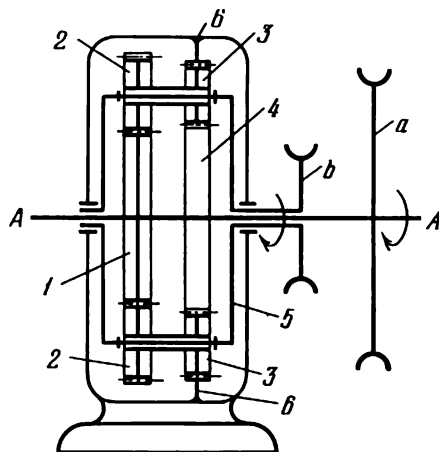
Les engrenages 13—14, 15—16, 17—18 ont des rapports de transmission égaux à

$$i_{13,14} = 0,5b_1, i_{15,16} = 0,5b_2, j_{17,18} = 0,5b_3.$$

En vertu de la propriété du différentiel conique, le porte-satellites du différentiel II tourne d'une grandeur égale à un quart du premier membre de la première équation, le porte-satellites du différentiel IV tourne d'une grandeur égale à un quart du premier membre de la deuxième équation et, enfin, le porte-satellites du différentiel VI tourne d'une grandeur égale à un quart du premier membre de la troisième équation. Les angles de rotation des axes x, y, z fourniront les inconnues.

7. Mécanismes des appareils de levage (663-670)

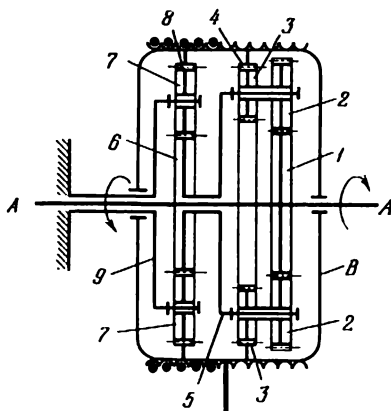




La roue dentée 1 et la poulie *a* sont rendues solidaires de l'arbre *A*. La roue 1 engrène avec les satellites 2 rigidement reliés aux satellites 3. Les satellites forment un couple de rotation avec le porte-satellites 5 muni d'une poulie *b*. Les satellites 3 engrènent intérieurement avec la roue fixe 6. Les nombres de tours par minute n_1 de la roue 1 et n_5 du porte-satellites 5 sont liés par la relation

$$n_5 = n_1 \frac{z_1 z_3}{z_1 z_3 + z_2 z_6}.$$

La poulie *b* tourne donc dans le même sens que la poulie *a*, mais à une vitesse angulaire réduite.

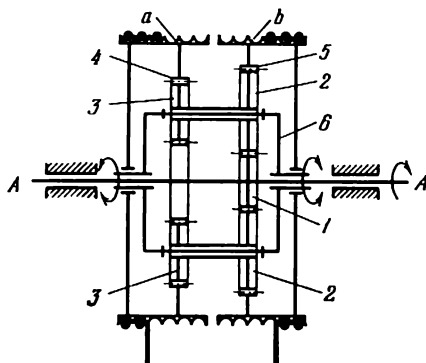


Le tambour *B* du palan électrique est mis en mouvement par l'arbre *A* auquel est rigidement reliée la roue dentée *1* qui engrène avec les satellites *2*. Les satellites *3*, solidaires des satellites *2*, engrènent intérieurement avec la roue dentée *4* du tambour *B*. Les satellites *2* et *3* forment un couple de rotation avec le porte-satellites *5*, solidaire de la roue dentée *6* qui engrène avec la roue *7* tournant autour des axes de l'élément fixe *9*. Les roues *7* engrènent intérieurement avec la roue dentée *8* appartenant au tambour *B*. Les nombres de tours par minute n_1 de l'arbre *A* et n_8 du tambour *B* sont liés par la relation

$$n_8 = -n_1 \left(\frac{z_1 z_3 z_8}{z_2 z_4 z_6 + z_2 z_4 z_8 + z_1 z_3 z_8} \right),$$

où z_1 , z_2 , z_3 , z_4 , z_6 et z_8 sont respectivement les nombres de dents des roues *1*, *2*, *3*, *4*, *6* et *8*.

L'arbre *A* et le tambour *B* tournent donc dans les sens inverses. Le tambour *B* a une vitesse angulaire inférieure à celle de l'arbre *A*.

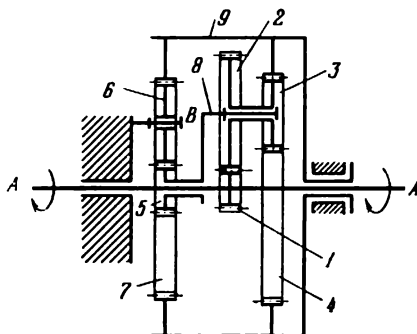


La roue dentée 1, mobile autour d'un axe fixe A, engrène avec les satellites 2 qui, à leur tour, sont en prise intérieure avec la roue dentée 5 rendue solidaire du tambour de levage b. Les satellites 2 sont solidaires des satellites 3 qui engrènent intérieurement avec la roue 4 rendue solidaire du tambour de levage a. Les satellites 2 et 3 forment des couples de rotation avec le porte-satellites 6 tournant autour de l'axe fixe A. Les nombres de tours par minute n_1 de la roue 1, n_5 du tambour 5 et n_4 du tambour 4 sont liés par la relation

$$n_1 = n_5 \frac{z_5}{z_1} \left(\frac{z_1 z_3 - z_2 z_4}{z_3 z_5 - z_2 z_4} \right) + n_4 \frac{z_4}{z_1} \left(\frac{z_2 z_5 - z_1 z_4}{z_3 z_5 - z_2 z_4} \right),$$

où z_1, z_2, z_3, z_4 et z_5 sont les nombres de dents des roues 1, 2, 3, 4 et 5.

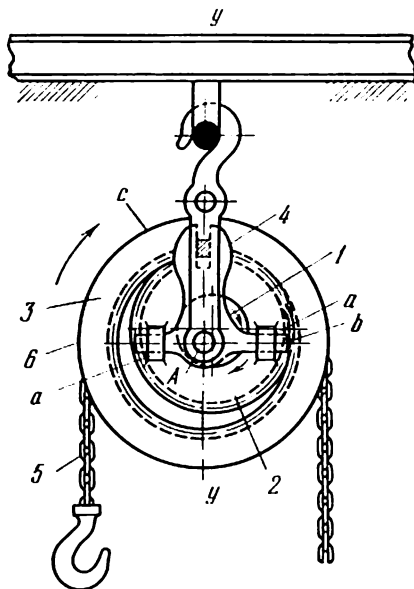
Le mécanisme est destiné à assurer différentes conditions pour le levage des charges. Si le tambour b est freiné, c'est le tambour a qui effectue le levage et vice versa. Si l'un des tambours tourne sous l'action d'une charge à descendre, l'autre tambour peut effectuer le levage d'une charge, etc.



La roue dentée 1, mobile autour d'un axe fixe *A*, engrène avec le satellite 2 rigidement relié au satellite 3 qui engrène intérieurement avec la roue dentée 4 du tambour 9 du palan. Le tambour 9 tourne autour d'un axe fixe *A*. La roue dentée 7, solidaire du tambour 9, engrène intérieurement avec la roue dentée 6 tournant autour d'un axe fixe *B*. La roue 6 est en prise avec la roue dentée 5 rendue solidaire du porte-satellites 8 qui constitue un couple de rotation avec les satellites 2 et 3. Les nombres de tours par minute n_1 de la roue 1 et n_9 du tambour 9 sont liés par la relation

$$n_9 = n_1 \frac{z_1 z_3 z_5}{z_2 z_4 z_7 - z_2 z_4 z_5 + z_1 z_3 z_7},$$

où z_1, z_2, z_3, z_4, z_5 et z_7 sont les nombres de dents des roues 1, 2, 3, 4, 5 et 7.



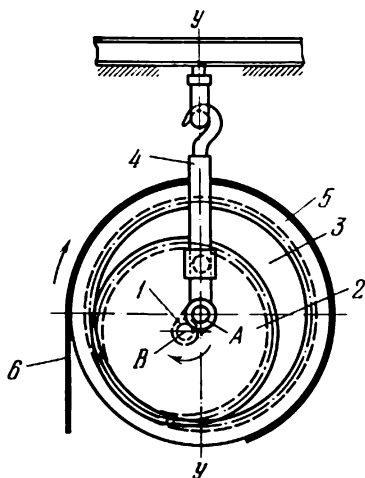
Le porte-satellites se présente sous la forme d'un excentrique rond 1 tournant autour de l'axe A du croisillon 4 animé d'un mouvement de translation le long de l'axe $y-y$. Le croisillon dont la douille embrasse l'excentrique 1 possède un guidage $a-a$ dans lequel il glisse par ses doigts b . Lorsque le porte-satellites 1 tourne, la roue 2 effectue un mouvement de translation circulaire. La roue 3, qui engrené intérieurement avec la roue 2, comporte la poulie 6, sur laquelle s'enroule la chaîne 5.

Les nombres de tours par minute n_1 de l'excentrique 1 et n_2 de la roue 3 sont liés par la relation

$$n_2 = n_1 \frac{z_3 - z_2}{z_3},$$

où z_2 et z_3 sont les nombres de dents des roues 2 et 3.

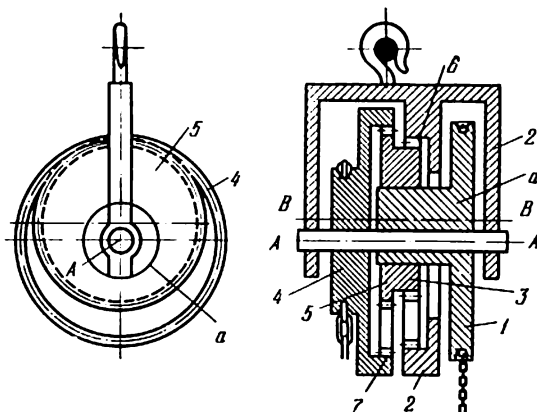
Lorsque l'excentrique 1 est en mouvement, la roue 3 portant la poulie 6 sur laquelle s'enroule la chaîne 5 tourne lentement, en levant la charge.



Le porte-satellites 1 tourne autour de l'axe A de l'élément 4 animé d'un mouvement de translation le long de l'axe $y - y$. La petite roue dentée 2 est rigidement reliée à l'élément 4. La roue 3 engrène intérieurement avec la roue 2 et forme un couple de rotation B avec le porte-satellites 1. Les nombres de tours n_1 du porte-satellites 1 et n_3 de la roue 3 sont liés par la relation

$$n_3 = n_1 \frac{z_3 - z_2}{z_3},$$

où z_2 et z_3 sont les nombres de dents des roues 2 et 3. Lorsque le porte-satellites 1 est en mouvement, la roue 3 portant le tambour 5 tourne lentement, enroulant le câble 6 auquel est fixée la charge.

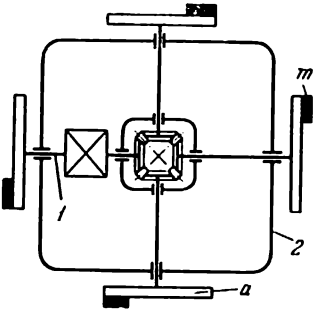


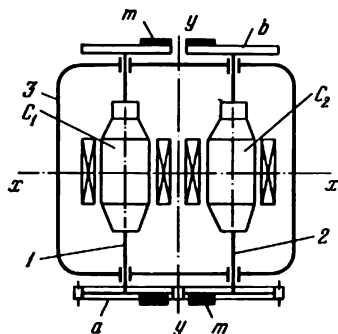
La poulie menante à chaîne 1 qui constitue un porte-satellites tourne autour de l'axe A de la boîte 2. L'excentrique a, rigidement relié à la poulie 1, forme un couple de rotation avec les satellites 3 et 5. Les satellites 3 et 5, rigidement reliés entre eux, engrènent intérieurement avec la roue 6' appartenant à la poulie à chaîne 4. Le nombre de tours par minute n_1 de la poulie 1 est lié au nombre de tours par minute n_4 de la poulie 4 par la relation

$$n_4 = n_1 \frac{z_7 z_3 - z_5 z_6}{z_7 z_3}$$

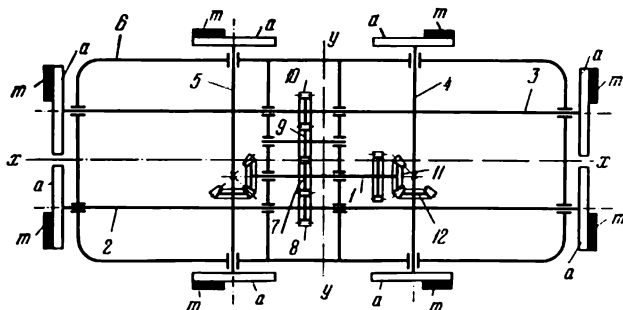
Les nombres de dents z_3 , z_5 , z_6 et z_7 des roues 3, 5, 6 et 7 sont choisis de manière que la différence $z_7 z_3 - z_5 z_6$ soit assez petite. Par conséquent, lorsque la poulie 1 est en mouvement, la poulie 4 tourne beaucoup plus lentement que la poulie 1.

8. Mécanismes des machines et appareils produisant des vibrations (671-673)

| 671 | MÉCANISME DENTÉ D'UNE MACHINE POUR ESSAI DE VIBRATION | DC MV |
|-----|--|----------|
| |  <p>Les masses égales m non équilibrées sont fixées sur les disques a de sorte que la résultante des forces non équilibrées soit dirigée suivant l'axe perpendiculaire au plan de la figure ou de sorte qu'apparaisse un couple moteur par rapport à cet axe. Le corps 2 de la machine est rigidement fixé sur la construction à essayer. Lorsque l'arbre 1 tourne, le corps 2, ainsi que la fondation ou l'appui à essayer subissent l'action d'une charge de vibration.</p> | |

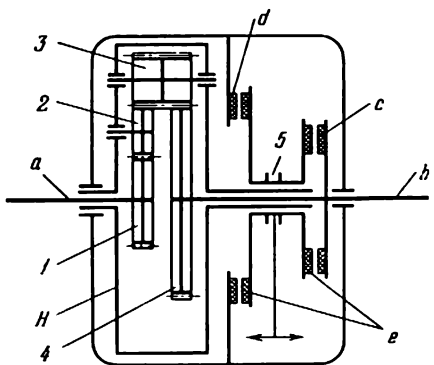


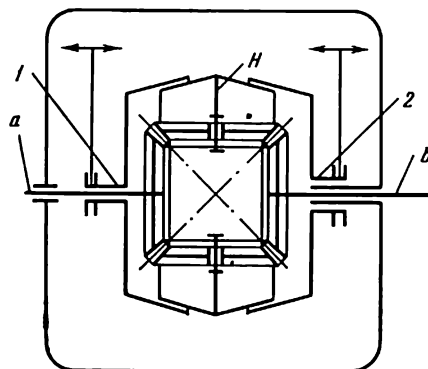
Les masses égales m non équilibrées sont fixées sur les roues dentées a et sur les disques b de sorte qu'apparaisse soit la résultante des forces non équilibrées dirigée suivant l'axe perpendiculaire au plan de la figure, soit un couple moteur par rapport à cet axe ou à l'axe x . Le corps 3 de la machine est fixé sur la construction à essayer. Le mouvement de rotation est créé par deux moteurs électriques accouplés C_1 et C_2 . Lorsque les arbres 1 et 2 tournent, le corps de la machine 3 , ainsi que la construction à essayer, subissent l'action d'une charge de vibration.



Les masses égales m non équilibrées sont fixées sur les disques a de sorte qu'apparaisse soit la résultante des forces non équilibrées dirigée suivant l'un des axes $x - x$, $y - y$ ou suivant l'axe perpendiculaire au plan de la figure, soit un couple moteur par rapport à l'un de ces axes. Les roues dentées 7, 8, 9, 10 transmettent le mouvement de rotation de l'arbre 1 aux arbres 2 et 3, et les roues coniques 11, 12 le transmettent aux arbres 4 et 5. Lorsque l'arbre 1 tourne, le corps de la machine 6 et la construction à essayer subissent l'action d'une charge de vibration.

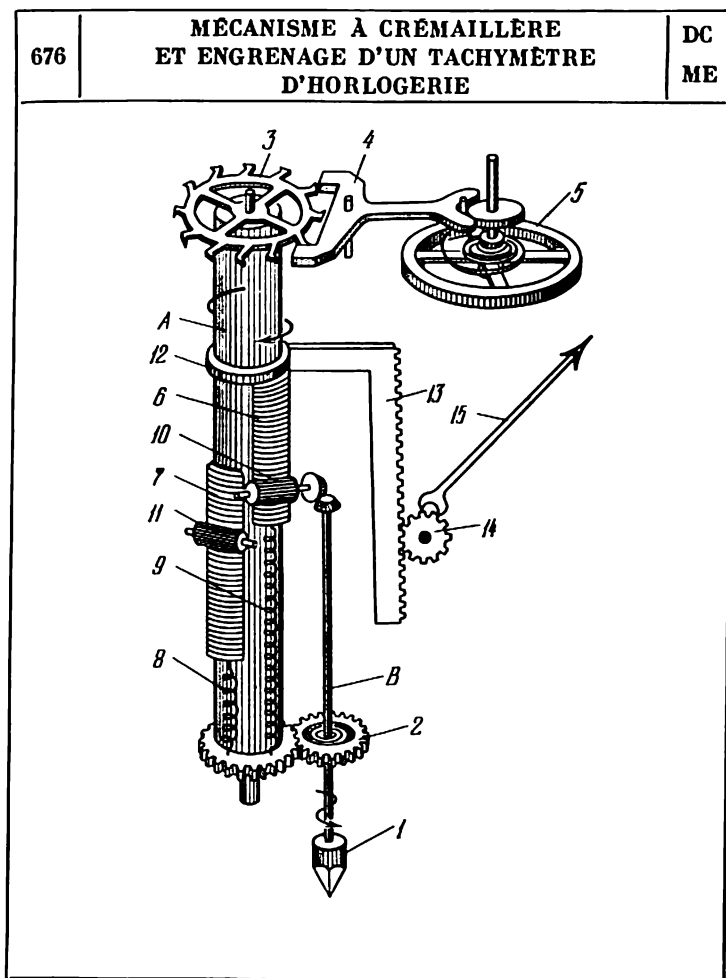
9. Mécanismes des accouplements (674-675)

| | | |
|-----|--|------------------|
| 674 | MÉCANISME DENTE D'UN ACCOUPLEMENT DE DÉBRAYAGE RÉVERSIBLE AVEC ROUES CYLINDRIQUES | DC Ac |
| |  <p>Les disques e de l'accouplement à friction 5 tournent avec le porte-satellites H et glissent le long de son axe. Le disque d est relié au corps. Le disque c est relié à l'arbre b de la roue 4. L'accouplement 5 se déplaçant vers la droite, les arbres a et b tournent à des vitesses angulaires de grandeur et de direction égales. L'accouplement 5 se déplaçant vers la gauche, les arbres a et b reçoivent une rotation en sens inverses. Le rapport de transmission est alors égal à</p> $i_{ab} = - \frac{z_4}{z_1},$ <p>où z_1 et z_4 sont les nombres de dents des roues 1 et 4. A l'état neutre de l'accouplement 5 et lorsqu'il y a un couple de réaction à l'arbre b, ce dernier reste immobile, et les satellites 3 tournent autour de la roue immobile 4.</p> | |

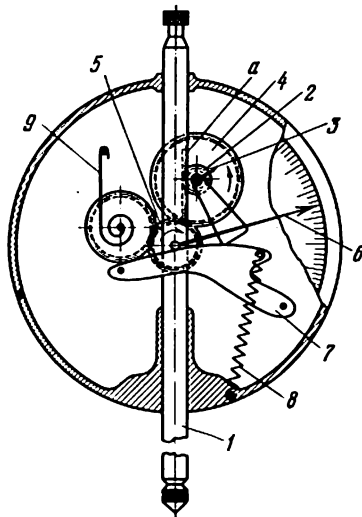


L'accouplement 1 tourne avec l'arbre menant *a* et glisse le long de son axe. L'accouplement 2 glisse le long d'un corps immobile. Lorsque l'accouplement 1 embraye avec le porte-satellites *H*, l'arbre mené *b* tourne dans le même sens que l'arbre menant *a*. Lorsque l'accouplement 2 embraye avec le porte-satellites *H*, l'arbre *b* tourne dans le sens inverse. Les accouplements 1 et 2 une fois débrayés et s'il y a un couple de réaction à l'arbre *b*, ce dernier reste immobile.

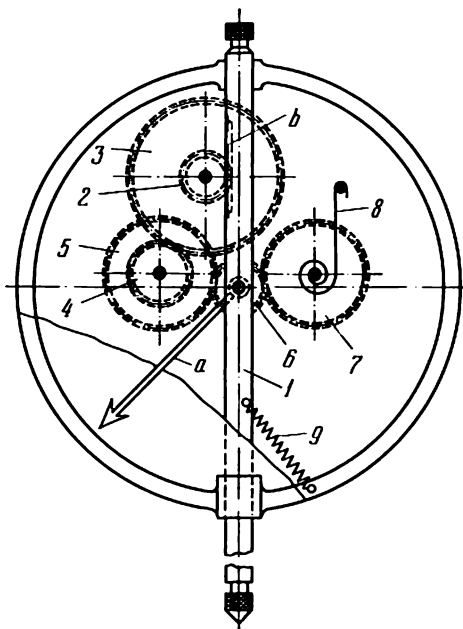
10. Mécanismes des dispositifs de mesure et d'essai (676-679)



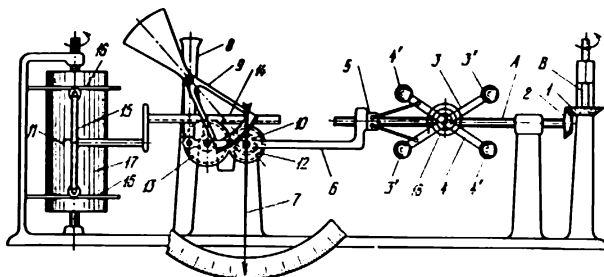
| | | |
|--|---|--|
| 676 | <p style="text-align: center;">MÉCANISME À CRÉMAILLÈRE ET ENGRENAGE D'UN TACHYMÈTRE D'HORLOGERIE</p> | <p style="text-align: center;">DC ME</p> |
| <p>L'arbre <i>B</i> qui met en mouvement l'arbre <i>A</i> reçoit la rotation de l'arbre à essayer par l'intermédiaire de l'embout <i>1</i> et de l'accouplement à friction logé dans la roue dentée <i>2</i>. La vitesse angulaire de l'arbre <i>A</i> est maintenue constante grâce à un mécanisme d'horlogerie composé des pièces <i>3</i>, <i>4</i>, <i>5</i>. Lorsque l'arbre à essayer tourne à une vitesse différente de celle de l'arbre <i>A</i>, l'accouplement à friction de la roue dentée <i>2</i> glisse et l'arbre <i>A</i> garde sa vitesse constante indépendamment de la vitesse de rotation de l'arbre à essayer. Les crémaillères cylindriques <i>6</i> et <i>7</i> qui glissent sur l'arbre <i>A</i> sont ramenées à l'état initial sous l'action des ressorts <i>8</i> et <i>9</i>. Le rouleau denté <i>10</i> est mis en mouvement par l'arbre <i>B</i>. Le rouleau fixe <i>11</i>, situé à un écartement de 120° du rouleau <i>10</i>, est serré contre l'arbre <i>A</i>. Pendant $1/3$ de tour de l'arbre <i>A</i>, la crémaillère <i>6</i> engrène avec le rouleau <i>10</i> et se déplace vers le haut d'une distance proportionnelle au nombre de tours de l'arbre <i>B</i> pendant cette durée. Pendant le tiers suivant, la crémaillère <i>6</i> engrène avec le rouleau fixe <i>11</i>, tout en restant à la même hauteur. De cette façon, les crémaillères <i>6</i> et <i>7</i> s'élèvent alternativement, proportionnellement au nombre de tours de l'arbre <i>B</i> pendant une durée égale à $1/3$ de tour de l'arbre <i>A</i>. Les crémaillères <i>6</i> et <i>7</i> déplacent vers le haut l'anneau <i>12</i> portant la crémaillère <i>13</i>. Cette dernière met en mouvement la roue dentée <i>14</i> et l'aiguille <i>15</i> qui enregistre la vitesse moyenne de l'arbre à essayer pour $1/3$ de tour de l'arbre <i>A</i>.</p> | | |



La tige de mesure 1 possède une crémaillère *a* qui engrène avec la roue 2. Lorsque la tige 1 se déplace, l'aiguille 3 enregistre sur la petite échelle les valeurs entières en millimètres. Le mouvement est transmis à la roue 5 par l'intermédiaire de la roue 4, et l'aiguille 6 enregistre sur la grande échelle les centièmes de millimètre. La tige de mesure 1 subit l'action du levier profilé 7 sollicité, à son tour, par le ressort 8. A mesure que le ressort 8 se détend, le bras de la force diminue et la pression exercée sur la tige de mesure à ses positions initiale et finale reste constante. La course morte est éliminée à l'aide du ressort en spirale 9.

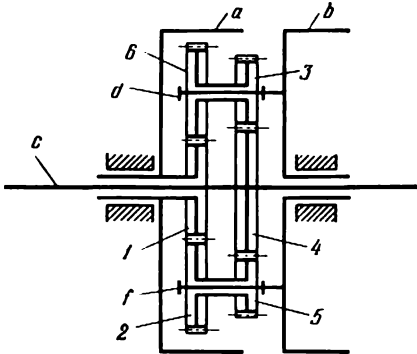


La crémaillère *b* de l'élément de mesure *1* provoque la rotation des roues dentées *2* et *3* fixées sur un axe commun. La roue *3* met en rotation la roue dentée *4*, sur l'axe de laquelle est montée la roue dentée *5* qui met en mouvement la roue dentée *6* comportant l'aiguille *a*. La course morte entre la crémaillère et la roue *2* est éliminée à l'aide de la roue dentée de serrage *7* munie d'un ressort en spirale *8*. Le ressort *9* assure la pression indispensable à la mesure.



L'arbre à essayer met en mouvement l'arbre A du tachymètre au moyen de l'arbre B et de l'engrenage 1, 2. Les leviers 3, 4 portant les charges 3', 4' sont articulés sur l'arbre A. Lorsque l'arbre A tourne, les charges 3' et 4' s'écartent sous l'action des forces centrifuges et la douille 5 se déplace, en même temps que le levier 6. Ce mouvement est transmis à l'aiguille 7 (à l'aide du levier 8 et du secteur denté 9, qui en est solidaire, et de la roue dentée 10) et à la plume 11 (à l'aide des roues dentées 12, 13, de la crémaillère 14 et du coulisseau 15 se déplaçant dans le guidage 16). Un mécanisme d'horlogerie imprime le mouvement de rotation au tambour 17. Le ressort 18 ramène les leviers 3 et 4 à leur position initiale. De cette façon, la vitesse angulaire de l'arbre à essayer est indiquée par l'aiguille 7 et en même temps enregistrée sur le tambour 17.

11. Mécanismes des freins (680)

| 680 | MÉCANISME DENTÉ D'UN FREIN AVEC DISPOSITIF DE SÉCURITÉ | DC Fr |
|-----|--|----------|
| |  <p>Le tambour <i>a</i> est rigidement relié à la roue <i>1</i> qui engrène avec deux roues identiques <i>2</i> et <i>6</i>. Les roues <i>2</i> et <i>6</i> sont rendues solidaires des deux roues identiques <i>5</i> et <i>3</i>. Les axes <i>d</i> et <i>f</i> des roues <i>2</i>, <i>5</i> et <i>6</i>, <i>3</i> sont rendus solidaires du tambour <i>b</i>. La roue menée <i>4</i> est rigidement reliée à l'axe <i>c</i>. Lorsque le tambour <i>b</i> est freiné, les axes <i>d</i> et <i>f</i> restent immobiles. Quand l'arbre <i>c</i> subit une surcharge, le tambour <i>b</i> commence à tourner et les roues <i>2</i>, <i>5</i> et <i>6</i>, <i>3</i> roulent sur les roues centrales <i>1</i> et <i>4</i>.</p> | |

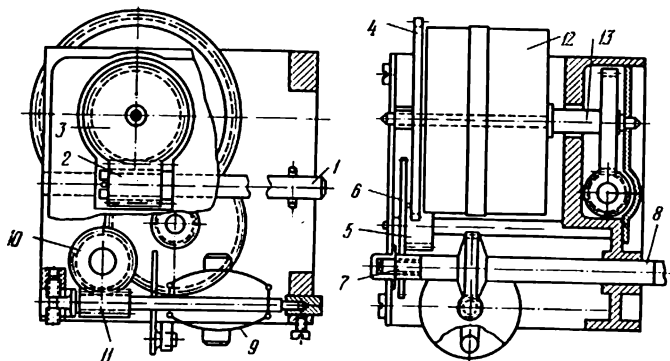
12. Mécanismes d'autres dispositifs spéciaux (681-689)

681

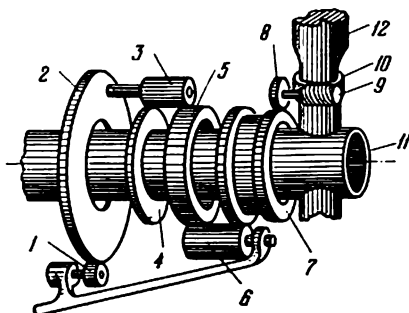
MÉCANISME À ENGRENAGE
ET VIS SANS FIN DE LA COMMANDE
ET DU RÉGULATEUR D'UN MOTEUR À RESSORT

DC

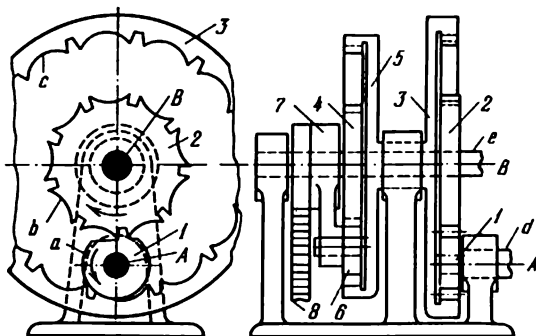
DSP



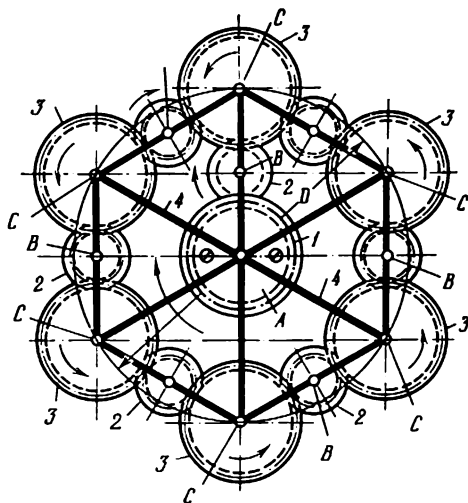
Lorsque l'arbre 1 tourne, les ressorts en spirale, fixés sur l'arbre 13 et placés dans le carter 12, sont remontés au moyen d'un engrenage à vis tangente 2, 3. L'énergie des ressorts en spirale est transmise par l'intermédiaire des roues dentées 4, 5, 6 et 7 à l'arbre mené 8. Le nombre de tours de l'arbre 8 est réglé à l'aide d'un régulateur à ressort centrifuge 9 mis en mouvement au moyen de la roue tangente 10 et de la vis tangente 11.



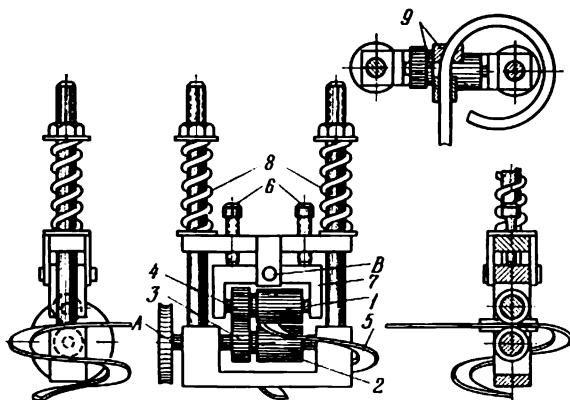
La roue dentée 4 et les pales d'hélice 12 sont rigidement reliées à l'arbre 11 du moteur. La roue dentée 1 est mise en mouvement par un moteur électrique non représenté sur la figure. Les roues dentées 4 et 5, qui engrenent avec le satellite 3, n'ont pas le même nombre de dents. Lorsque le moteur électrique est mis hors circuit, la roue dentée 2 reste immobile, et la rotation de la roue 4 est transmise à la roue dentée 7 au moyen du satellite 3 et de la roue dentée 5. Comme les vitesses angulaires des roues dentées 4 et 7 sont égales, le satellite 8 ne tourne pas autour de son axe et la pale reste à la même position. Lorsque le moteur électrique est mis en circuit, les roues dentées 4 et 7 se meuvent à des vitesses angulaires différentes, le satellite 8 tourne et fait tourner la pale à l'aide de la vis sans fin 9 et de la roue tangente 10.



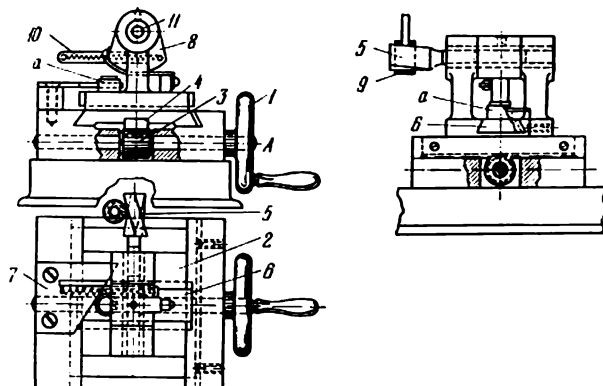
La roue menante à une dent 1, mobile autour de l'axe fixe A de l'arbre, engrène alternativement avec la roue dentée 2 ou la roue dentée 3, imprimant la rotation à l'une d'elles autour de l'axe B de l'arbre e et bloquant simultanément l'autre. Le blocage s'opère par le glissement de l'arc a, appartenant à la roue 1, sur les arcs de blocage b et c appartenant aux roues 2 ou 3. La roue dentée 4 est rigidement montée sur le même arbre que la roue 2, et la roue dentée 3, rigidement reliée à la roue 5, tourne librement sur le même arbre. Le mouvement des roues dentées 2 et 4 ou 3 et 5 est transmis au satellite 6 qui tourne alternativement autour de la roue 4 ou la roue 5. Le satellite met en mouvement le porte-satellites 7 relié à la chaîne 8 du convoyeur, en déplaçant ce dernier dans un sens ou dans l'autre.



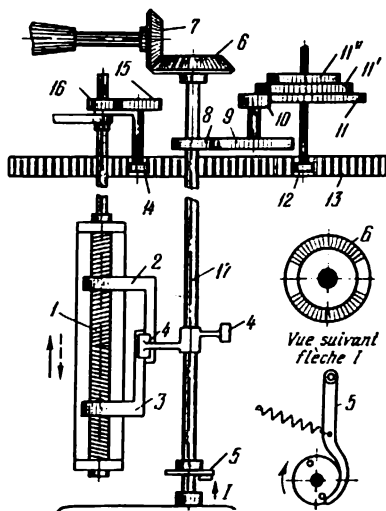
Le porte-satellites 4, mobile autour d'un axe fixe A , constitue des couples de rotation B et C avec les satellites 2 et 3. Le satellite 2 vient en prise avec la roue dentée fixe 1 et avec le satellite 3. Le porte-satellites 4 se présente sous la forme d'un polygone régulier. La longueur de chaque côté est égale à AC . Les sommets de l'hexagone sont situés sur un cercle de diamètre $D = 2AC$. Le porte-satellites hexagonal 4 constitue à ses sommets C des couples de rotation avec les roues 3 qui engrenent avec les satellites 2. Ces derniers constituent des couples de rotation B avec le porte-satellites 4. Les nombres de dents z_1 et z_3 de la roue 1 et de la roue 3 satisfont à la condition $z_1 = z_3$. Pour les dimensions admises des éléments du mécanisme, tous les points de la roue 3 effectuent un mouvement de translation circulaire à la vitesse du point C du porte-satellites 4.



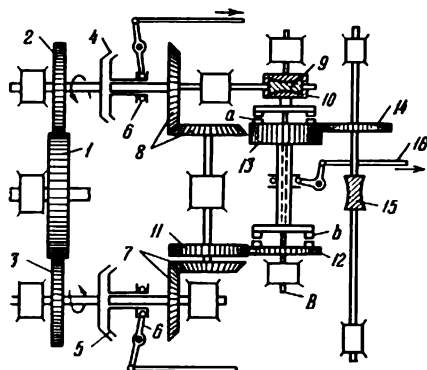
Les rouleaux 1 et 2, disposés à un certain angle l'un par rapport à l'autre, sont mis en mouvement par l'arbre A à l'aide de roues dentées 3 et 4. La bande de matériau 5, en passant entre les rouleaux en rotation, subit une pression différente. Le bord gauche de la bande s'étire plus fortement que le bord droit. La bande de matériau se déforme alors et se transforme en une spirale. L'angle entre les rouleaux est réglé à l'aide de deux vis 6 qui agissent sur la chape 7 laquelle peut pivoter autour de l'axe B. Le matériau est serré à l'aide des ressorts 8 dont la force est réglée. Les guidages 9 assurent le diamètre constant de la spirale.



Lorsqu'on tourne la poignée 1 autour d'un axe fixe A, le mouvement est transmis aux glissières 2 à l'aide de la roue dentée 3 et de la crémaillère 4 ; l'arbre 11 portant la pièce à usiner 5 se met à tourner. Le rouleau a, situé sur les glissières 6, entre en contact avec la came 7 et se déplace en même temps que les glissières 6 par rapport aux glissières 2 ; le secteur 8, réuni par une bande d'acier flexible aux glissières 6, tourne avec l'arbre 11. La pièce 5 reçoit donc un mouvement hélicoïdal nécessaire à la rectification de la surface hélicoïdale par la meule 9. Le ressort 10 assure le contact entre le rouleau a et la came 7.



La vis 1, comportant un filetage à gauche et à droite, les écrous 2 et 3 et le chariot de la bobine sont mis en mouvement alternatif dans le sens indiqué par la flèche à l'aide d'un mécanisme non représenté sur la figure. Les butées de changement 4, calées sur l'arbre 17, empêchent la rotation de ce dernier pendant qu'elles glissent sur les éléments 2 et 3. Dès que l'une des butées 4 quitte la surface des éléments 2 et 3, l'arbre 17 subit l'action du levier 5 et tourne; la roue 6, qui en est solidaire et qui possède deux secteurs dentés, vient en prise avec la roue 7. La rotation est transmise à la vis 1 à l'aide d'un engrenage 8, 9, 10, 11, 12, 13, 14, 15, 16. Il s'ensuit que la distance entre les éléments 2 et 3 diminue. Après avoir effectué la moitié d'un tour, la roue 6 s'arrête et le chariot portant la bobine reçoit un mouvement en sens inverse. S'étant déplacée d'une certaine distance, la crémaillère 13 diminue la vitesse angulaire de la bobine au moyen d'un mécanisme non représenté sur la figure. Chaque fois que l'arbre 17 change de sens de rotation, la vitesse angulaire de la bobine diminue par suite du déplacement de la crémaillère 13, tandis que la longueur de course du chariot diminue par suite de la diminution de la distance entre les éléments 2 et 3. Selon l'épaisseur du fil à bobiner, la roue 10 est amenée en prise avec les roues correspondantes 11' et 11".



La roue dentée 1 imprime le mouvement aux roues dentées 2 et 3. Lorsqu'on embraye l'accouplement 4 à l'aide de la tige 6, la rotation de la roue 2 est transmise à la vis sans fin 9, à la roue tangente 10 et, quand on embraye l'accouplement a, à la vis sans fin 15 à l'aide des roues dentées 13 et 14. Selon le sens de rotation de la vis sans fin 15, le pas de l'hélice (non représentée sur la figure) changera dans un sens ou dans l'autre. L'accouplement 5 une fois embrayé à l'aide de l'autre tige 6, la rotation de la roue 3 est transmise à la vis sans fin 9 au moyen des engrenages coniques 7 et 8, à la roue tangente 10, et ensuite, à l'aide des roues dentées 13 et 14, à la vis sans fin 15 qui tourne dans le sens inverse du précédent. Les engrenages à vis sans fin 9, 10 dont le rapport de transmission est grand servent à modifier lentement le pas de l'hélice. Les roues dentées 11 et 12 permettent de tourner vite les pales de l'hélice, ce qui a lieu au moment où l'on débraye l'accouplement a (à l'aide du levier 16) et on embraye l'accouplement b. Dans ce cas, quand l'accouplement 5 est embrayé, la rotation de la roue 3 est transmise à la vis sans fin 15 au moyen de l'engrenage conique 7, des roues dentées 11 et 12 et ensuite des roues coniques 13 et 14. Lorsque l'accouplement 4 est embrayé, la rotation de la roue 2 est transmise à la vis tangente 15, tournant dans le sens inverse, au moyen de l'engrenage conique 8, des roues dentées 11 et 12 et des roues dentées 13 et 14.

INDEX ALPHABÉTIQUE

- Mécanisme d'addition à vis sans fin** 571
- — à vis sans fin avec élément flexible 572
 - — à vis sans fin et engrenage 570
 - d'Artobolevski à coulisse et engrenage servant à tracer la cycloïde d'un cercle 217
 - — — servant à tracer la podaire de la cycloïde d'un cercle 215, 216
 - asymétrique, à pignon, à fuseaux et engrenage avec denture extérieure 341
 - d'avance à fuseau et engrenage 403
 - — à vis et engrenage 128
 - de blocage à fuseaux et rochet 359
 - à came et engrenage pour avance de la broche 535
 - — — pour avance d'une tête 537
 - — — avec crémaillère 152
 - — — à denture intérieure 528
 - — — d'un dispositif reproducteur servant à tracer une courbe donnée 542
 - — — de la machine à laver 543
 - — — pour reproduire le mouvement composé de l'élément mené 530
 - — — du tachymètre d'horloge 538-539
 - — — du tachyscope 540-541
 - à came et vis sans fin de fixation du tube d'un microscope 579
 - centroïdal à trois éléments des roues elliptiques 27
 - — — — des roues logarithmiques à un lobe 28
 - — — — des roues logarithmiques à deux lobes 29
 - — — — des roues logarithmiques à trois lobes 30
 - — — — des roues logarithmiques à quatre lobes 31

- Mécanisme centroïdal à trois éléments des roues ovales à deux lobes 32
 - — — des roues ovales à trois lobes 33
 - — — des roues ovales à quatre lobes 34
 - — — avec deux roues ovales 35
 - — — avec des roues elliptique et ovale 36, 37
 - — — avec une roue non ronde et une crémaillère 51
 - — — avec des roues ronde et non ronde 38-39
 - à coins et engrenage pour transformation du mouvement 680
 - de commutation à rochet 515
 - cosinusoidal à leviers et engrenage 226
 - à coulisse et engrenage de l'analyseur harmonique 239, 241
 - — — avec arrêt de l'élément mené 253
 - — — avec came à rainure 189
 - — — du coordinateur à crémaillère 229
 - — — du coordinateur hélicoïdal 231
 - — — du coordinateur spiroïdal 230
 - — — avec coulisse à course variable 186
 - — — avec coulisse curviligne reproduisant une courbe de bielle 207
 - — — avec coulisse de mouvement approximativement uniforme 185
 - — — destiné à modifier la course du coulisseau 181
 - — — du duplicateur de course de l'élément mené 191
 - — — avec élément mené de course réglable 283
 - — — de la griffe d'une caméra 260
 - — — de guidage approximatif 265
 - — — de l'intégrimètre radial 242, 243
 - — — du pétrin mécanique 299
 - — — de la raboteuse 307
 - — — avec roue elliptique 171
 - — — avec une roue non ronde et un élément flexible 192
 - — — avec des roues ronde et non ronde 169
 - — — avec deux roues rondes 163
 - — — avec secteur denté 170
 - — — servant à tracer une courbe de bielle complexe 218
 - — — servant à tracer des courbes de bielle complexes 224
 - — — servant à tracer les courbes d'après leurs projections 209
 - — — servant à tracer les courbes du type sinusoidal 210
 - — — servant à tracer les hyperboles 211
 - — — servant à tracer les parties d'une parabole 213
 - — — servant à tracer les parties d'une parabole cubique 214
 - — — servant à transformer le mouvement de rotation en mouvement oscillatoire 183
 - — — de la table vibrante 277
 - — — avec tige à course réglable 187

- Mécanisme à coulisse et engrenage pour usinage d'une rainure de
 - came du type sinusoïdal 313
 - — — pour usiner la rainure d'une came 298
 - à coulisseau et manivelle, avec coulisseau de mouvement uni-
 - forme 178
 - — — avec secteur denté et crémaillère 166
 - à crémaillère et ancre du chariot de la machine à écrire 523
 - à crémaillère et engrenage avec arrêt du coulisseau mené 248
 - — — avec crémaillère à fuseaux 329
 - — — avec deux crémaillères 686
 - — — avec roues à rochet 471
 - — — d'un indicateur 711, 712
 - — — de la mortaiseuse 306
 - — — pour rectification des surfaces hélicoïdales 721
 - — — pour sommation, avec remise à zéro à l'aide des cré-
 - maillères 693-694
 - — — d'un tachygraphe centrifuge 713
 - — — d'un tachymètre d'horlogerie 709-710
 - à crémaillère et fuseaux avec arrêts de la crémaillère 327
 - de débrayage à vis sans fin 568
 - denté d'un accouplement de débrayage réversible avec roues
 - coniques 708
 - d'un accouplement de débrayage réversible avec roues
 - cylindriques 707
 - de l'accouplement réversible de débrayage avec tambour
 - de frein 598
 - d'avance avec un accouplement à crabots 536
 - — — d'une bande 124
 - — — des pièces cylindriques 125
 - — — de la boîte de vitesses à deux étages 586, 588
 - — — — — avec accouplement à denture 585
 - — de la boîte de vitesses à trois étages 587, 589, 591
 - — de la boîte de vitesses à quatre étages 594
 - — — — — avec accouplement monté sur un arbre inter-
 - médiaire 592
 - — — — — avec accouplements montés sur les arbres
 - extérieurs 590, 593
 - — — — — avec tambours de frein 596
 - — de la boîte de vitesses réversible à quatre étages avec ac-
 - couplements 595
 - — — — — avec accouplement à crabots 597
 - — de la boîte de vitesses à cinq étages avec chape tournante
 - 599
 - — — — — avec clavette coulissante 602
 - — — — — avec guidage oblique 601
 - — de la boîte de vitesses réversible à cinq étages 600

- Mécanisme denté de la boîte de vitesses à six étages avec accouplement monté sur l'arbre mené 603
- — — — — avec accouplements montés sur les arbres menant et mené 604-605
 - — — — — à huit étages avec accouplement et clavette coulissante 607
 - — — — — avec deux paires de roues coulissantes et d'accouplements 606
 - — — — — à douze étages avec élément flexible 608
 - — — — — à seize étages avec accouplements à friction et roues coulissantes 612
 - — — — — avec quatre accouplements 609
 - — — — — avec trois arbres menés 610-611
 - — — — — à vingt-quatre étages avec roues coulissantes 613
 - — d'un cric à crémaillère avec cliquet d'arrêt 137
 - — destiné à inverser le sens de rotation de l'élément mené 681
 - — destiné à obtenir une bande spiralee 720
 - — destiné au rattrapage du jeu dans un engrenage 132
 - — destiné à résoudre un système d'équations algébriques linéaires 695
 - — du différentiel à coins 663
 - — — à engrenage hélicoïdal 657
 - — — avec manchon de blocage 661
 - — — avec roue tangente 668
 - — — avec roues coniques 659
 - — — avec roues coniques et cylindriques 660
 - — — avec des roues cylindriques à denture extérieure 652
 - — — avec des roues cylindriques à engrènement intérieur unique 650
 - — — avec des roues cylindriques à deux engrènements intérieurs 651
 - — d'un dispositif de chargement automatique 127
 - — avec élément mené à rotation irréversible 685
 - — d'un fixateur à crémaillère 135
 - — d'un frein avec dispositif de sécurité 714
 - — de l'hélice à pas réglable en vol 723
 - — d'une machine pour essai de vibration 704, 705
 - — du manchon de protection d'un accouplement élastique 133
 - — pour mettre alternativement en mouvement deux arbres 684
 - — de mise en place de l'élément mené 683
 - — à mouvement axial du cylindre distributeur d'une presse à platine 139
 - — de mouvement non réversible avec crémaillère 69
 - — à rapport de transmission variable 80
 - — des roues coniques à accouplement réversible 134-

- Mécanisme denté des roues coniques avec manchon de commande**
677
- — d'une serre à crémaillère 136
 - — d'un vibreur à masses multiples 706
 - — à trois éléments avec anneau de blocage et arrêts de la roue menée 104
 - — — pour avance et découpage du matériel 129
 - — — avec arcs de blocage et arrêts de la roue menée 113
 - — — avec arrêt de la roue menée et arcs de blocage 112
 - — — avec arrêt de la roue menée pourvue d'un secteur denté 115
 - — — avec arrêts et droite de blocage 96
 - — — avec arrêts de l'élément mené et leviers roulant avec glissement 99
 - — — avec arrêts de la roue menée 92, 105
 - — — avec arrêts de courte durée de la roue menée 106
 - — — avec arrêts de la roue menée et arcs de blocage 110, 116
 - — — avec arrêts de la roue menée et arcs de transition et de blocage 111
 - — — avec cliquet d'arrêt et arrêts de la roue menée 108
 - — — avec crémaillère circulaire 62
 - — — avec crémaillère curviligne oscillante et roue ronde 65
 - — — avec crémaillère à double face 60
 - — — avec crémaillère à double face et cames de sécurité 63
 - — — avec crémaillère à double face et dents de sécurité 64
 - — — avec crémaillère à double face et roue à rochet 66
 - — — avec crémaillère à mouvement intermittent 93
 - — — avec crémaillère à mouvement saccadé 94
 - — — avec crémaillère oscillante 68
 - — — avec crémaillère profilée 61
 - — — avec élément mené effectuant un mouvement avec retard 97
 - — — avec élément mené aux périodes de mouvement et de repos de durée égale 117
 - — — avec élément mené aux périodes de mouvement et de repos de durée inégale 118
 - — — avec leviers roulants et arrêts de l'élément mené 100
 - — — avec périodes égales de mouvement et de repos de l'élément mené 103
 - — — avec pignon de sûreté et arrêts de l'élément mené 101
 - — — avec rapport de transmission à deux étages 53

- Mécanisme denté à trois éléments avec rapport de transmission à trois étages 54
- — — avec rapport de transmission à quatre étages 57
- — — avec une roue à denture droite 43
- — — avec roue conique ronde et crémaillère ronde 72
- — — avec une roue cylindrique ronde et une crémaillère 42
- — — avec roue hélicoïdale et crémaillère ronde 78
- — — avec roue menée à mouvement intermittent 107
- — — avec roue menée à rotation alternée 52, 56
- — — avec roue menée profilée à rotation alternative 58, 59
- — — avec des roues cylindriques rondes à denture extérieure 40
- — — avec des roues cylindriques rondes à denture intérieure 41
- — — avec des roues ronde et non-ronde 48, 49, 50
- — — avec des roues rondes et non rondes jumelées 55
- — — avec des roues rondes hyperboloïdales 76
- — — avec des roues spiroïdales non rondes 47
- — — de la commande de deux crémaillères parallèles 67
- — — et à engrenage sphérique 83
- — — d'une hélice transporteuse 125
- — — à mouvement intermittent avec arrêts et arcs de blocage 109
- — — des roues coniques avec rotation alternative de l'élément mené 102
- — — des roues coniques rondes à denture extérieure 70
- — — des roues coniques rondes à denture intérieure 71
- — — des roues coniques spiroïdales 82
- — tridimensionnel à trois éléments avec arrêts de l'élément mené 114
- — — avec arrêts de l'élément mené et rainure de blocage 98
- — — avec roue conique spiroïdale 81
- — — avec roues rondes 77
- — à quatre éléments avec arrêts et arcs de blocage 95
- — — avec crémaillère à double face 85
- — — d'entraînement à action discontinuo 89
- — — pour entraînement de deux crémaillères non parallèles 84
- — — de trois roues elliptiques 86
- différentiel à came et engrenage du convoyeur 544
- à coin et engrenage servant à régler l'excentricité 131
- à crémaillère et engrenage pour sommation de deux nombres 691

Mécanisme différentiel denté de changement de pas de l'hélice 716

- — — pour imprimer le mouvement de rotation non uniforme à l'élément mené 678
- — — d'un palan électrique avec deux tambours de levage 699
- — — avec un parallélogramme à excentrique 649
- — — du réducteur avec deux paires de satellites 644
- — — — avec roues coniques 666
- — — — avec roues coniques et deux éléments menants 658
- — — — avec secteur denté 667
- — — — avec tourillon monté sur le porte-satellites 645
- — — avec roues coniques inégales 655
- — — avec roues coniques et porte-satellites menant 654
- — — à roues coniques pour sommation de deux nombres 690
- — — avec roues cylindriques permettant d'obtenir de grands rapports de transmission 647
- — — avec roues tangentes 669
- — — à trois éléments destiné à limiter le nombre de tours de l'axe de remontage d'un dispositif d'horlogerie 140
- — — fermé d'un palan électrique 700
- — — — du réducteur
- — — — du réducteur avec roues coniques 656
- — — réversible du réducteur avec tambour et porte-satellites de freinage 653
- — — tridimensionnel avec crémaillères circulaires 665
- — — tridimensionnel avec rondelle oscillante 664
- — — à engrenage et crémaillère pour sommation de trois nombres 689
- — — fermé à came et engrenage 529
- — — du réducteur d'un manchon de commande 646
- — — à leviers et engrenage, avec coulisseau et manivelle 196
- — — à rochet pour avance intermittente 512
- — — à vis et engrenage 662
- — — de division à rochet 517
- — — de l'échappement à ancre 416, 417, 428, 446
- — — — avec fourche bilatérale 445
- — — à engrenage et crémaillère pour mise en mouvement rotatif intermittent de l'arbre mené 687
- — — à engrenage et vis sans fin d'un appareil à copier 581
- — — — de la commande et du régulateur d'un moteur à ressort 715
- — — — pour usinage des cames harmoniques 554
- — — — pour usinage des cames tridimensionnelles 580
- — — à fuseaux et came avec arrêt de la roue à fuseaux 328
- — — à fuseaux et coulisse avec arrêts de la roue à fuseaux 363
- — — à fuseaux et crémaillère avec arrêts de la crémaillère 350

- Mécanisme à fuseaux et engrenage avec arrêts de la crémaillère 349
- — — avec arrêts de l'élément mené 347, 357, 360
- — — avec arrêts de l'élément mené et cliquet de blocage 345, 346, 347
- — — avec arrêts de la roue 351
- — — avec coulisse 326
- — — avec crémaillère à fuseaux 323
- — — avec crémaillère profilée 325
- — — avec disque à fuseaux à mouvement intermittent 362
- — — avec roue animée d'un mouvement non uniforme avec arrêts 358
- — — avec roue à fuseaux à direction de rotation variable 338
- — — avec roue menée à direction de rotation variable 339
- — — du compteur coaxial 408
- — — du compteur avec roue motrice comportant un fuseau et une rainure 348
- — — du compteur avec roue motrice à dent unique 407
- — — de la croix de Malte avec une commande par coulisse 387
- — — — avec commande à levier 383, 385
- — — — avec commande planétaire 384
- — — — à denture extérieure avec deux fuseaux 391
- — — — — avec trois fuseaux et rainures 375-376
- — — — — avec quatre rainures 365-366
- — — — — avec six rainures 367-368
- — — — — avec douze rainures 382
- — — — à denture intérieure avec trois rainures 389-390
- — — — — avec quatre rainures 369-370
- — — — — avec huit rainures 388
- — — — avec fuseau coulissant 377
- — — — avec fuseau ovale 392
- — — — avec deux fuseaux 394
- — — — pour faire tourner une table avec des arrêts 396
- — — — avec périodes de repos inégales 373
- — — — avec périodes inégales de mouvement et de repos 374
- — — — avec rainure de blocage 393, 398
- — — — avec trois rainures et denture intérieure 371-372
- — — — avec roue menée à rotation de direction variable 397
- — — — avec roues non rondes 378
- — — de la croix de Malte sphérique 399
- — — — avec verrouillage à levier 379-380, 381
- — — de quatre croix de Malte 386

- Mécanisme à fuseaux et engrenage pour dérouler le fil de chaîne de l'ensouple et l'envoyer vers le harnais 406
- — — du dispositif d'usinage des pignons 405
- — — d'une transmission avec axes perpendiculaires 331
- — — d'une transmission conique 333, 335
- à fuseaux et leviers avec arrêts de la roue à fuseaux 364
- de Guerchgorine à leviers et engrenage servant à tracer l'ellipse 242
- de guidage à leviers et engrenage de Norman 269
- jumelé à rochet avec arbre mené effectuant des arrêts 479
- à leviers et dents de la scie 310
- — et engrenage de l'accouplement à action discontinue 281
- — de l'accouplement de sécurité 280
- — pour addition, avec remise à zéro automatique de l'aiguille 244
- — — pour avance des feuilles de papier 297
- — — avec arrêt du coulisseau mené 251
- — — avec arrêts du coulisseau mené 249
- — — avec deux arrêts de l'élément mené 250
- — — avec came à rainure 175
- — — avec deux cames à rainure 188
- — — avec coulisseau de mouvement variable 177, 184
- — — avec crémaillère à fuseaux 324
- — — avec crémaillère menante 167
- — — avec crémaillère profilée 146
- — — avec crémaillère ronde 153
- — — avec deux excentriques destiné à reproduire la courbe de bielle 206
- — — avec élément mené à direction et à mouvement variables 190
- — — avec une roue excentrique coulissante 194
- — — avec roue non ronde et arrêt de l'élément mené 252
- — — avec roue non ronde et deux arrêts 259
- — — avec des roues ronde et non ronde 173
- — — avec des roues rondes et non ronde 193
- — — avec roues rondes et non rondes comportant une rainure de verrouillage 172
- — — avec roue profilée 147
- — — avec roue profilée et arrêt de l'élément mené 148
- — — des ciseaux 308
- — — de la commande d'un coulisseau 176
- — — de la commande romaine 174
- — — de commutation 282
- — — du compteur de métrage du papier 292
- — — du coordinateur polaire 232, 234
- — — du coordinateur tridimensionnel 233

- Mécanisme à leviers et engrenage du crible avec éléments élastiques 276
- — — du cylindre d'impression oscillant 294
- — — des cylindres 302
- — — de la croix de Malte avec période de mouvement uniforme 395
- — — destiné à régler le niveau du métal dans le bain de la linotype 293
- — — destiné à reproduire la rotation non uniforme de l'élément mené 201
- — — pour déplacement du coulisseau au cours du mouvement 182
- — — d'un dispositif à rectifier 301
- — — d'un dispositif servant à mesurer la développante 309
- — — pour enroulement du ruban sur la bobine d'une machine à écrire 287
- — — d'un essuie-glace d'automobile 305
- — — de la griffe d'une caméra 261, 262, 263
- — — de la griffe avec secteurs dentés 278
- — — de guidage approximatif 266
- — — de guidage précis 267
- — — de guidage de la presse 264
- — — pour imprimer la forme conique aux extrémités du cigare 286
- — — de l'intégrateur 246
- — — de la machine à écrire 296
- — — de la machine à laver 304
- — — de la machine à piston 274, 275
- — — du microscope 291
- — — à mouvement uniforme de l'élément mené 168
- — — de la navette 289
- — — pour obtenir des sinoïdes 208
- — — du pétrin mécanique 284, 300
- — — du planimètre 240, 247
- — — du planimètre planétaire 238
- — — du plongeur de la machine à coudre 295
- — — à quatre éléments avec crémaillère et deux secteurs menés 87
- — — pour rayage de canon 311
- — — de rotation d'une pale 149
- — — servant au contrôle du couvercle de la boîte de vitesses d'un tracteur 290
- — — servant à tracer des courbes de bielle complexes 219-223
- — — du stéréoscope 303
- — — du tachymètre 272
- — — du tachymètre centrifuge 271, 273

- Mécanisme à leviers et engrenage du tachymètre centrifuge avec boîte de vitesses 270
- — — pour traitement des fibres de lin 315
 - — — à trois éléments servant à tracer la cycloïde 123
 - à leviers et vis sans fin avec arbre coulissant 559
 - — — — avec vis sans fin coulissante 558
 - — — — d'un ventilateur suspendu 560
 - d'une manivelle à rayon variable avec fixateur denté 130
 - de multiplication à crémaillère et engrenage 692
 - multiplicateur différentiel à leviers et engrenage 228
 - d'Oustsov à leviers et engrenage destiné au serrage d'une bande 279
 - à pignon et engrenage pour avance intermittente des pièces profilées 402
 - à pignon, à fuseaux et engrenage avec denture extérieure 340, 342, 352, 353, 355
 - — — — avec denture intérieure 343, 344
 - — — — avec rouleaux de blocage 354
 - — — — avec trois éléments menés 356
 - planétaire à bielle et manivelle, à leviers et engrenage, à denture extérieure 150
 - — à came et engrenage avec arrêts 534
 - — — — avec levier mené marquant des arrêts 532
 - — à coulisse et engrenage 162, 197, 198
 - — — — avec arrêt approximatif de l'élément mené 258
 - — — — avec deux arrêts de l'élément mené 144
 - — — — avec quatre arrêts instantanés de l'élément mené 256
 - — — — avec arrêts prolongés de l'élément mené 257
 - — — — avec coulisse rectiligne 165
 - — — — avec deux coulisses 164
 - — — — avec coulisses de cardan 143
 - — — — destiné à reproduire le mouvement non uniforme de l'arbre mené 200
 - — — — d'un dispositif pour usinage des pièces ovales 285
 - — — — avec élément mené de course réglable 204
 - — — — avec élément mené à mouvements faiblement réversibles 180
 - — — — avec roue non ronde 151
 - — — — de la scie 288
 - — — — servant à tracer les ovales 225
 - — à coulisseau et manivelle, à leviers et engrenage 179
 - — — — — à denture intérieure 157
 - — denté avec arrêts de l'élément mené 638
 - — — d'une chaîne de convoyeur 717
 - — — du compensateur 679

- Mécanisme planétaire denté avec deux éléments menés 616, 633
- — — avec un engrenage fixe et deux satellites 614
- — — avec un engrenage fixe et trois satellites 615
- — — avec roues non rondes 636
- — — à engrenage hélicoïdal 631
- — — pour entraînement du marbre de la machine à impression 719
- — — de Fergusson 617
- — — avec manchon denté de commande 634
- — — d'un palan 697, 702
- — — d'un palan électrique 698
- — — d'un palan électrique à trois étages 639
- — — d'un palan avec excentrique 701
- — — d'une poulie à chaîne 703
- — — d'une poulie de commande à deux étages 625
- — — d'une poulie de commande à trois étages 628
- — — d'une poulie de commande fixée sur un porte-satellites 627
- — — d'une poulie pour levage d'une charge 696
- — — du réducteur avec élément mené à mouvement réversible 637
- — — du réducteur à deux étages et à dentures intérieures 629
- — — du réducteur à deux étages avec roues coniques 630
- — — du réducteur à trois étages avec roues coniques 641
- — — du réducteur à grand rapport de transmission 632, 643
- — — du réducteur avec parallélogramme de commande 624
- — — du réducteur avec un porte-satellites annulaire 622
- — — du réducteur avec roues coniques et satellites non coaxiaux 642
- — — du réducteur réversible avec tambours de freinage 640
- — — à trois éléments pour arrêlage d'horlogerie 138
- — — — avec roue conique ronde et crémaillère ronde 75
- — — — des roues coniques rondes à denture extérieure 73
- — — — des roues coniques rondes à denture intérieure 74
- — — — avec une roue cylindrique ronde et une crémaillère 46
- — — — avec roues cylindriques rondes à denture extérieure 44
- — — — avec roues cylindriques rondes à denture intérieure 45
- — — — servant à tracer la cardioïde 121
- — — — servant à tracer la cardioïde allongée 122
- — — — servant à tracer les ellipses 120
- — — — servant à tracer les épicycloïdes 119
- — — à trois étages 635
- — — à quatre éléments d'un réducteur à engrènement intérieur unique 618

- Mécanisme planétaire denté à quatre éléments d'un réducteur avec deux engrenements intérieurs 619
- — — — d'un réducteur avec deux engrenements extérieurs 620
 - — — — d'un réducteur avec satellite parasite 626
 - — — réversible avec deux tambours de freinage 623
 - — — pour toronnage des câbles 718
 - à engrenage et fuseaux à denture intérieure 336
 - — à fuseaux et engrenage avec denture intérieure 337
 - — de guidage à leviers et engrenage 268
 - — à leviers et engrenage d'arracheuse de lin 312
 - — — — avec arrêt de l'élément mené 255
 - — — — avec arrêt du levier oscillant mené 254
 - — — — d'un battant 314
 - — — — à denture extérieure 155
 - — — — à denture intérieure avec un parallélogramme 156, 159
 - — — — destiné à reproduire le mouvement combiné de l'élément mené 202
 - — — — avec élément mené de vitesse réglable 205
 - — — — avec levier oscillant et manivelle 195
 - — — — à deux leviers oscillants avec deux roues 158
 - — — — à deux leviers oscillants avec quatre roues 160
 - — — — avec parallélogramme et roue fixe 154
 - — — — du planimètre à denture extérieure 235, 237
 - — — — du planimètre à denture intérieure 236
 - — — — avec roues à mouvement progressif 199
 - — — servant à couper une bande de papier 317
 - — — pour usinage des pièces de profil complexe 316
 - — à leviers et excentrique 145
 - — réversible à leviers et engrenage 203
 - — à rochet et engrenage 472, 478
 - — — — avec élément élastique 475-477
 - — à vis et engrenage de la tête d'un outil 126
 - — — — à quatre éléments 90
 - — de Watt à coulisseau et manivelle, à leviers et engrenage 161
 - de Reuleaux à fuseaux et engrenage avec denture extérieure 321
 - — — — avec denture intérieure 322
 - de Roemer à crémaillère et engrenage 332
 - à rochet à action double 463
 - — de l'arrêt 495, 496
 - — de l'arrêt double 493-495
 - — de la commande à ressorts 452
 - — du compteur automatique des troncs d'arbre pour éleveurs à chaînes longitudinaux 519
 - — du compte-tours de précision 516
 - — du dispositif d'entraînement d'un pendule 522

- Mécanisme à rochet du disque à tourelle 520
- — du dynamographe de traction à ressort de Réviakine 518
- — du frein à bande 500
- — du frein à bande pour levage de charge 499
- — du manchon à griffes 419
- — du régulateur de détente avec échappement à ancre libre et chevilles 485
- — du régulateur de détente de l'obturateur d'un objectif 420
- — du régulateur d'échappement à pendule 488
- — du régulateur d'échappement à ressort 487
- — du régulateur d'échappement du réveil-matin 489
- — du régulateur de marche avec élément élastique 486
- — — — d'une horloge avec échappement non libre 484
- — de la roue avec quatre cliquets menants 470
- — d'une roue à dents profilées 439
- — d'une roue à denture intérieure avec cliquet extérieur 440
- — du tachymètre chronométrique 491
- — avec arrêtoir prismatique 424
- — avec arrêtoir à ressort 425
- — avec arrêtoirs à billes 492
- — avec bouton 444
- — avec chaîne de convoyeur effectuant des arrêts 483
- — avec cliquet 434
- — avec cliquet animé d'un mouvement combiné 441
- — avec cliquet à crémaillère 466
- — avec cliquet à friction 464
- — avec cliquet prismatique 418, 423, 435
- — avec cliquet à ressort 411, 424
- — — — pour levage de charge 501
- — avec cliquet réversible 447
- — — — animé d'un mouvement continu 446
- — avec deux cliquets 448, 449
- — avec deux cliquets menants 468
- — avec deux cliquets menants et un cliquet d'arrêt 467
- — avec trois cliquets pour levage de charge 508, 509
- — avec trois cliquets prismatiques menants 457
- — avec des cliquets à gradins 418
- — avec commande par came 461
- — avec crémaillère à denture droite 426
- — avec crémaillère à denture oblique 413, 425
- — avec crémaillère à fuseaux 427, 430
- — avec crémaillère lisse 414
- — avec disque mené effectuant des arrêts 481
- — avec disque mené effectuant des arrêts prolongés 482
- — avec élément élastique 454, 455

- Mécanisme à rochet avec élément mené à marche libre 465
- — avec éléments animés d'un mouvement oscillatoire 460
- — avec éléments en coin 456
- — avec quelques éléments à taquet commun 459
- — avec rainure hélicoïdale 462
- — avec roue à fuseaux 431
- — avec roue à fuseaux et cliquet à galet 447
- — avec roue à fuseaux et cliquet profilé 429, 448
- — avec roue menée effectuant des arrêts 480
- — avec roue à rochet à angle de rotation réglable 443
- — avec roue à rochet comportant des fuseaux 413
- — avec roue à rochet non ronde 422
- — avec deux roues à rochet 437
- — avec secteur à gradins 421
- — avec taquet radial tournant 458
- — pour avance automatique 513
- — pour avance intermittente 514
- — pour avance réglable 511
- — pour avance du fil 510
- — pour déplacement du chariot de la machine à écrire 521
- — pour levage de charge 505-507
- — pour transformer le mouvement alternatif en mouvement de rotation 453
- à rochet et crémaillère avec arrêtoir cylindrique 497
- — — avec arrêtoir prismatique 498
- — — avec cliquet à deux bras 432
- — — avec cliquet prismatique 433
- — — pour levage de charge 503
- — — du vérin 504
- — à denture extérieure avec cliquet réversible 419, 420
- — à denture intérieure avec cliquet intérieur 438
- — — avec cliquet réversible 412
- — — avec quatre cliquets menants 450
- à rochet et engrenage avec crémaillère à fuseaux 469
- — — de changement périodique des vitesses 473
- — — de la machine à écrire 524
- — — du remontoir d'horlogerie 415
- à rochet et leviers de la roue libre 451
- — à leviers et engrenage avec élément élastique 474
- silencieux à rochet 442
- tangentiel à vis et engrenage 227
- d'une transmission coaxiale par engrenage à deux ondes avec générateur en forme de bille 671
- — — — avec générateur en forme de came 670
- — — — à trois ondes avec générateur à billes 675
- — — — avec générateur extérieur à rouleaux 674

- Mécanisme d'une transmission coaxiale par engrenage à deux ondes avec générateur intérieur à rouleaux 676
- — — — à deux étages et à deux ondes avec générateur en forme d'ellipse 672, 673
- — — — par roues coniques et roue cylindrique à rapport de transmission variable 682
- tridimensionnel à came et engrenage 527
- — — — avec arbre mené marquant des arrêts 531, 533
- — — — à fuseaux et came avec arrêts de l'élément mené 361
- — — — avec arrêts de la roue à fuseaux 362
- — — — à fuseaux et engrenage 330
- — — — de la croix de Malte 400
- — — — avec éléments aux axes de rotation concourants 334
- — — — du moulin à meule 404
- — — — à mouvement intermittent 401
- — — — à rochet avec crémaillère 427
- — — — avec roue à denture latérale 436
- — — — pour levage de charge 502
- à trois éléments et à vis sans fin 547
- — — — avec vis globique 548
- à vis et engrenage avec commande par roue et vis sans fin et avec roue menée observant des arrêts 566
- — — — avec coulisseau menant observant des arrêts 565
- — — — à mouvement réversible 688
- — — — à mouvement réversible pour enroulement sur les bobines 722
- — — — à quatre éléments 91
- — — — à quatre éléments de la transmission télescopique 88
- — — — avec roue à segment 556
- à vis sans fin de la boîte de vitesses simples 569
- — — — d'un compte-tours 573, 575
- — — — de direction d'un véhicule automobile 578
- — — — avec éléments menés à mouvement intermittent 563
- — — — d'un indicateur de mesure 574
- — — — du moulinet d'un appareil télégraphique 577
- — — — avec un rapport de transmission variable par échelons 551
- — — — avec roue frontale à fuseaux 550
- — — — avec deux roues frontales à fuseaux 555
- — — — avec roue menée à mouvement intermittent 562
- — — — avec trois roues menées 557
- — — — avec roues menées observant des arrêts 564
- — — — avec roues menées à rotation périodique 561
- — — — avec roue tangente motrice 552
- — — — avec deux roues tangentes 554

- Mécanisme à vis sans fin avec deux roues à couronne 553
— — — — avec vis globique et roue à fuseaux 549
— — — — avec la vis sans fin débrayable 567
— à vis et à vis sans fin pour bobinage du fil 576
— à volute à trois éléments animés d'un mouvement hélicoïdal
79
Modèle d'un mécanisme planétaire denté à quatre éléments 624

À NOS LECTEURS

Les Editions Mir vous seraient très reconnaissantes de bien vouloir leur communiquer votre opinion sur le contenu de ce livre, sa traduction et sa présentation, ainsi que toute autre suggestion. Notre adresse : Editions Mir, 2, Pervi Rijski pércoulouk, Moscou, I-110, GSP, U.R.S.S.

Imprimé en Union Soviétique

Dans la même collection

A paraître

LES MÉCANISMES DANS LA TECHNIQUE MODERNE, T. 4

par I. Artobolevski

450 pages $11 \times 17,5$ cm, avec 1300 figures.

Reliure pelliculée.

Les machines et appareils modernes utilisent des mécanismes de structures et de fonctions diverses. Le constructeur, qui se propose de créer une machine ou un appareil quelconque, voit se poser le problème de choisir le schéma optimal du mécanisme susceptible de produire tel mouvement ou de matérialiser telle dépendance fonctionnelle. Ce choix sera grandement facilité grâce à l'ouvrage en cinq tomes « Les mécanismes dans la technique moderne » de l'académicien I. Artobolevski, ouvrage de référence d'une valeur inestimable. Le quatrième tome est consacré aux mécanismes à cames, aux mécanismes à friction et aux mécanismes à éléments flexibles. Le lecteur y trouvera les schémas de structure des mécanismes, les principales caractéristiques cinématiques, les descriptions utiles et les indications sur la destination fonctionnelle du mécanisme.

Le livre sera utile aux ingénieurs, constructeurs, chercheurs, aux professeurs et étudiants des écoles supérieures d'enseignement technique ainsi qu'aux inventeurs.

Dans la même collection

Ouvrages parus

AIDE-MÉMOIRE DE MATHÉMATIQUES SUPÉRIEURES

par M. Vygodski

870 pages $14,5 \times 22$ cm, avec 512 figures.

Reliure pelliculée.

Cet aide-mémoire composé par M. Vygodski, docteur ès sciences physico-mathématiques, inclut l'ensemble des matières de l'enseignement des mathématiques des écoles supérieures formant des ingénieurs de construction mécanique, du bâtiment, des transports, de l'électricité, de l'énergétique, des mines.

C'est à la fois un ouvrage de référence, où l'étudiant puisera de nombreux exemples et conseils pratiques, et un ouvrage de base fournissant des connaissances générales du niveau des programmes des universités techniques.
